



# Métallation et substitution nucléophile aromatique des acides benzoïques non protégés : application à la synthèse totale de l'apogossypol

Tin Thanh Le

## ► To cite this version:

Tin Thanh Le. Métallation et substitution nucléophile aromatique des acides benzoïques non protégés : application à la synthèse totale de l'apogossypol. Autre. Le Mans Université, 2011. Français. NNT : 2011LEMA1016 . tel-00689229

**HAL Id: tel-00689229**

<https://theses.hal.science/tel-00689229>

Submitted on 19 Apr 2012

**HAL** is a multi-disciplinary open access archive for the deposit and dissemination of scientific research documents, whether they are published or not. The documents may come from teaching and research institutions in France or abroad, or from public or private research centers.

L'archive ouverte pluridisciplinaire **HAL**, est destinée au dépôt et à la diffusion de documents scientifiques de niveau recherche, publiés ou non, émanant des établissements d'enseignement et de recherche français ou étrangers, des laboratoires publics ou privés.

# **THÈSE**

Présentée à

Université du Maine – U. F. R des Sciences et Techniques

Pour obtenir le grade de

**Docteur de l'Université du Maine**

Spécialité : Chimie fine – Chimie organique

Par

**LE Tin Thanh**

***Métallation et substitution nucléophile aromatique des acides benzoïques non protégés. Application à la synthèse totale de l'apogossypol***

Soutenue le 16 décembre 2011 devant la commission d'examen

M <sup>me</sup> Florence Mongin	Professeur, Université de Rennes 1	Rapporteur
M. Vincent Levacher	DR CNRS, Université de Rouen	Rapporteur
M <sup>me</sup> Nguyen Kim Phi Phung	Professeur, Université de Science	Examinateur
M. Philippe Bertus	Professeur, Université du Maine	Examinateur
M <sup>me</sup> Anne-Sophie Castanet	Professeur, Université du Maine	Co-dir. thèse
M. Jacques Mortier	Professeur, Université du Maine	Dir. thèse

**-2011-**



# Table des matières

<b>REMERCIEMENTS .....</b>	<b>I</b>
<b>LISTE DES FIGURES .....</b>	<b>III</b>
<b>LISTE DES SCHEMAS.....</b>	<b>IV</b>
<b>LISTE DES TABLEAUX.....</b>	<b>VIII</b>
<b>PRINCIPALES ABREVIATIONS .....</b>	<b>IX</b>
<b>INTRODUCTION GENERALE .....</b>	<b>1</b>
<b>CHAPITRE 1 — SYNTHESE TOTALE RACEMIQUE D'ANALOGUES STRUCTURAUX DE L'APOGOSSYPOL METTANT EN JEU DES REACTIONS DE METALLATION AROMATIQUE .....</b> 5	
<b>1- INTRODUCTION.....</b>	<b>5</b>
<b>2- STRUCTURE, STEREOISOMERIE ET TAUTOMERIE DU GOSSYPOL .....</b>	<b>8</b>
<b>3- BIOSYNTHÈSE DU GOSSYPOL.....</b>	<b>9</b>
<b>4- HEMISYNTHÈSE DE DERIVES DU GOSSYPOL.....</b>	<b>10</b>
<b>5- SYNTHESE TOTALE DU GOSSYPOL, DE SES DERIVES ET ANALOGUES – LITTERATURE.....</b>	<b>11</b>
<i>5-1- Synthèse totale asymétrique du gossypol par Meyers .....</i>	<i>11</i>
<i>5-2- Synthèse totale racémique de l'apogossypol protégé 1.39 et du 1,1'-didésoxygossypol (1.51).....</i>	<i>13</i>
<i>5-3- Synthèse d'analogues de l'hémigossypol, de l'apogossypol ou du gossypol diversement substitués en position 5 .....</i>	<i>16</i>
<b>6- BIOLOGIE DU GOSSYPOL ET DE SES DERIVES.....</b>	<b>20</b>
<i>6-1- Activité contraceptive.....</i>	<i>20</i>
<i>6-2- Activité antivirale et antiparasitaire .....</i>	<i>21</i>
<i>6-3- Activité antioxydante et inhibition de la prolifération des kératinocytes.....</i>	<i>22</i>
<i>6-4- Activité anticancéreuse .....</i>	<i>22</i>
<b>7- SYNTHESE TOTALE RACEMIQUE D'ANALOGUES STRUCTURAUX DE L'APOGOSSYPOL — RESULTATS</b>	
<b>ANTERIEURS.....</b>	<b>25</b>
<i>7-1- Ortho-métallation des acides benzoïques et naphtoïques .....</i>	<i>25</i>
<i>7-2- Synthèse d'analogues du gossypol – Études préliminaires .....</i>	<i>28</i>
<b>8- SYNTHESE TOTALE RACEMIQUE D'ANALOGUES STRUCTURAUX DE L'APOGOSSYPOL — RESULTATS .....</b> 33	<b>33</b>
<b>9- CONCLUSION – PERSPECTIVES .....</b>	<b>37</b>
<b>10- PARTIE EXPÉRIMENTALE .....</b>	<b>38</b>
<i>10-1- Instrumentation.....</i>	<i>38</i>
<i>10-2- Materials.....</i>	<i>38</i>
<i>10-3- Preparation of 4-hydroxy-6,7-dimethoxy-8-methyl-2-naphthoic acid (1.104).....</i>	<i>39</i>
<i>10-4- Lateral lithiation of 4-hydroxy-6,7-dimethoxy-8-methyl-2-naphthoic acid (1.104).....</i>	<i>39</i>
<i>10-5- Preparation of 3-(hydroxymethyl)-6,7-dimethoxy-5-alkylnaphthalen-1-ols 1.116 and 1.117a-d .....</i>	<i>42</i>
<i>10-6- Preparation of 6,7-dimethoxy-3-methyl-5-alkylnaphthalen-1-ols (1.118), 1.119a-d and 6,7-dimethoxy-2,8-dimethyl-1,2,3,4-tetrahydronaphthalene (1.120).....</i>	<i>44</i>
<i>10-7- Dimerization reactions. Preparation of binaphthalenes 1.121.....</i>	<i>47</i>
<i>10-8- Dimerization reactions. Preparation of binaphthalenes 1.122, 1.123a-d.....</i>	<i>47</i>
<b>CHAPITRE 2 — VERS LA SYNTHESE ATROPOSELECTIVE D'ANALOGUES DU GOSSYPOL .....</b> 53	
<b>1- INTRODUCTION.....</b>	<b>53</b>
<b>2- SYNTHESES ATROPOSELECTIVES DE BIARYLES - LITTERATURE .....</b>	<b>54</b>
<i>2-1- Couplage biarylque diastéréosélectif.....</i>	<i>54</i>
<i>2-2- Synthèse énantiomérisélective de biaryles .....</i>	<i>58</i>
<i>2-3- Transformations atroposélectives de biaryles pro-chiraux – Concept lactone.....</i>	<i>61</i>
<b>3- VERS LA SYNTHESE ATROPOSELECTIVE D'ANALOGUES DU GOSSYPOL EN UTILISANT LE CONCEPT LACTONE – RESULTATS .....</b>	<b>64</b>
<i>3-1- Rétsosynthèse .....</i>	<i>64</i>
<i>3-2- Synthèse de l'ester 2.15 (voie A).....</i>	<i>66</i>
<i>3-3- Synthèse de la lactone 2.14 à partir de l'ester 2.16 (voie B) .....</i>	<i>67</i>
<b>4- CONCLUSION – PERSPECTIVES .....</b>	<b>71</b>
<b>5- PARTIE EXPERIMENTALE .....</b>	<b>72</b>
<i>3-Bromo-4-hydroxy-6,7-dimethoxy-8-methylnaphthalen-2-carboxylic acid (2.19).....</i>	<i>72</i>
<i>3-Bromo-4,6,7-trimethoxy-8-methylnaphthalen-2-carboxylic acid (2.18) .....</i>	<i>73</i>

<i>3-Bromo-4,6,7-trimethoxy-8-methyl-2-naphthalen-2-carboxylic acid 6,7-dimethoxy-3,5-dimethyl-naphthalen-1-yl ester</i> (2.16) .....	73
<i>2,3,9,10,12-Pentamethoxy-1,8,13-trimethyl-5-oxa-benzo[b]chrysene-6-one</i> (2.14) .....	74
<i>2,2-Dimethyl-propionic acid 6,7-dimethoxy-3,5,dimethyl-naphthalen-1-yl ester</i> (2.20) .....	75
<b>CHAPITRE 3 — SUBSTITUTION NUCLEOPHILE AROMATIQUE DES ACIDES BENZOÏQUES PROTEGES – ÉTUDE DE L’INFLUENCE DES SUBSTITUANTS .....</b>	<b>77</b>
<b>1- INTRODUCTION.....</b>	<b>77</b>
<b>2- DEVELOPPEMENT DE LA REACTION S<sub>N</sub>Ar ASSISTEE PAR LES ESTERS.....</b>	<b>78</b>
<i>2-1- Nature de l’ester utilisé.....</i>	78
<i>2-2- Influence des nucléophiles carbonés sur la réaction S<sub>N</sub>Ar activée par les esters .....</i>	87
<i>2-3- Influence de la substitution de l’ester sur la réaction S<sub>N</sub>Ar .....</i>	89
<i>2-4- Synthèse atroposélective de biaryles chiraux.....</i>	92
<b>3- SUBSTITUTION NUCLEOPHILE AROMATIQUE ASSISTEE PAR LES OXAZOLINES.....</b>	<b>102</b>
<b>4- SUBSTITUTION NUCLEOPHILE AROMATIQUE ASSISTEE PAR LES AMIDES .....</b>	<b>103</b>
<b>5- CONCLUSION .....</b>	<b>104</b>
<b>CHAPITRE 4 — SUBSTITUTION NUCLEOPHILE AROMATIQUE DES ACIDES BENZOÏQUES NON PROTEGES POLYMETHOXYLES/HALOGENES AVEC LES ARYLORGANOMAGNESIENS ET LITHIENS .....</b>	<b>105</b>
<b>1- INTRODUCTION.....</b>	<b>105</b>
<b>2- METALLATION DES ACIDES HALOGENOBENZOÏQUES ET METHOXYBENZOÏQUES NON PROTEGES – LITTERATURE .....</b>	<b>107</b>
<b>3- LA REACTION S<sub>N</sub>ArAB – LITTERATURE ET TRAVAUX ANTERIEURS DE L’EQUIPE .....</b>	<b>110</b>
<i>3-1- Formation de liaisons carbone – hétéroatome (O, N) .....</i>	110
<i>3-2- Formation de liaison carbone – carbone.....</i>	113
<b>4- LA REACTION S<sub>N</sub>ArAB – INFLUENCE DU GROUPEMENT ALCOXY — RESULTATS.....</b>	<b>118</b>
<b>5- LA REACTION S<sub>N</sub>ArAB – INFLUENCE DES HALOGENES.....</b>	<b>122</b>
<i>5-1- Préparation d’acides poly(halogénobenzoïques).....</i>	122
<i>5-2- Réactivité des acides 2-fluoro-Z-halogénobenzoïques (3 ≤ Z ≤ 6) avec le bromure de p-méthoxyphénylmagnésium .....</i>	123
<i>5-3- Réaction S<sub>N</sub>Ar des acides 2,6- et 2,4-difluorobenzoïques et 2-chloro-6-fluorobenzoïque (4.8d, 4.8b et 4.9d) avec le p-méthoxyphényllithium .....</i>	127
<i>5-4- Application de la réaction S<sub>N</sub>ArAB à la synthèse des acides 3-halogénobiphenylcarboxyliques..</i>	131
<i>5-5- Réactivité des acides 2,3,6- et 2,4,6-trifluorobenzoïques (4.87) et (4.88) avec le bromure de p-méthoxyphényllithium .....</i>	134
<i>5-6- Synthèse de terphényles par S<sub>N</sub>ArAB — Résultats préliminaires.....</i>	135
<b>6- CONCLUSION – PERSPECTIVES .....</b>	<b>135</b>
<b>7- PARTIE EXPÉRIMENTALE .....</b>	<b>136</b>
<i>7-1- Reactions of 2,Z-dimethoxybenzoic acids (4.7a-d) and 2,3,4-trimethoxybenzoic acid (4.43) with 4-MeOC<sub>6</sub>H<sub>4</sub>MgBr (Table 12 and table 13) .....</i>	136
<i>7-2- Reactions of 2,3-dimethoxybenzoic acid (4.7a) and 2,6-dimethoxybenzoic acid (4.7d) with phenyllithium .....</i>	141
<i>7-3- Preparation of poly(halo)benzoic acids .....</i>	142
<i>7-4- S<sub>N</sub>Ar reactions of 2-fluoro-Z-halobenzoic acids with p-methoxyphenyllithium bromide (Table 14) .....</i>	145
<i>7-5- S<sub>N</sub>Ar reactions of 2,6-difluorobenzoic acid (4.8d) with p-methoxyphenyllithium (Table 15) .....</i>	154
<i>7-6- S<sub>N</sub>Ar reactions of 2,6-difluorobenzoic acid (4.8d), 2-chloro-6-fluorobenzoic acid (4.9d) and trifluorobenzoic acids 4.87 and 4.88 – Synthesis of 3-halo-[1,1'-biphenyl]-2-carboxylic acids 4.115-4.125 .....</i>	156
<i>7-7- Synthesis of terphenyls .....</i>	166
<b>CONCLUSION GENERALE .....</b>	<b>169</b>
<b>REFERENCES BIBLIOGRAPHIQUES ET NOTES .....</b>	<b>173</b>
<b>ANNEXE.....</b>	<b>185</b>
<b>ABSTRACT.....</b>	<b>187</b>
<b>RÉSUMÉ .....</b>	<b>188</b>

## Remerciements

Ce travail de recherche a été réalisé au Laboratoire de Synthèse Organique, dans l'Unité de Chimie Organique Moléculaire et Macromoléculaire (UCO2M, UMR CNRS 6011) de l'Université du Maine (France).

Je tiens à exprimer toute ma gratitude à M. Jacques MORTIER, Professeur de l'Université du Maine, qui m'a accueilli dans l'équipe et m'a guidé durant toutes ces années. Je le remercie pour l'enseignement dont j'ai bénéficié, pour la confiance qu'il m'a accordée. Ses compétences et ses nombreux conseils m'ont permis de progresser dans la recherche scientifique.

J'adresse ma profonde reconnaissance à ma co-directrice de thèse, M<sup>me</sup> Anne-Sophie CASTANET, Professeur de l'Université du Maine, pour ses nombreux conseils, son aide précieuse et sa grande disponibilité tout au long de ces trois années. Elle a passé beaucoup de temps pour la correction de ce manuscrit et m'a soutenu par sa confiance et sa sympathie. Pour tout cela, je la remercie vivement.

Je remercie M<sup>me</sup> Florence MONGIN, Professeur de l'Université Rennes 1, et M. Vincent LEVACHER, Directeur de recherche de l'Université de Rouen, qui ont accepté de juger ce travail en tenant le rôle de rapporteurs. J'adresse aussi mes remerciements à M. Philippe BERTUS, Professeur de l'Université du Maine, pour avoir accepté de participer au mon comité de suivi de thèse pendant mes trois ans de thèse et également d'examiner ce travail en étant membre de mon jury de thèse.

J'adresse mes remerciements à M<sup>me</sup> Kim Phi Phung NGUYEN, Professeur de l'Université de Science, mon maître de stage de licence, qui m'a beaucoup aidée dans l'acquisition des premières connaissances en chimie organique avant de venir en France. Je la remercie d'avoir accepté de venir en France pour participer à mon jury de thèse.

Je veux dire un grand merci à M<sup>me</sup> Christine SALUZZO, Professeur de l'Université du Maine et au Dr. Stéphane GUILLARME pour m'avoir encadrée pendant mon stage de Master II et pour m'avoir soutenue.

Je tiens à remercier M. Gilles DUJARDIN, Directeur de Recherche au CNRS, pour son accueil chaleureux. Mes remerciements vont également aux permanents de l'Unité : Amélie et Cécile pour leur gentillesse et leur disponibilité pour le service RMN; Patricia pour les analyses de spectrométrie de masse; Fred pour son travail pour le bon fonctionnement du laboratoire; Stéphanie, Morwenna, Fabien, Catherine, Maryvonne, Jizhen pour leur amabilité et leur gentillesse.

J'adresse également tous mes remerciements à Arnaud pour son aide précieuse et ses conseils scientifiques. Je remercie également Paul, Anthony, Ariane, Gwénaël, Sylvain et Mike pour les bons moments que nous avons passés ensemble.

Je voudrais exprimer aussi mes remerciements à Anh Bình, Anh Đìèn, avec qui j'ai acquis beaucoup de connaissances en chimie et aussi d'expériences pour travailler à la

palliasse. Je les remercie pour leurs conseils scientifiques, leurs aides et leurs encouragements.

Je remercie chaleureusement Anh Thy, Chị Trang, Anh Đệ, Chị Huyền, Anh Tâm, Chị Thu, Chị Cúc pour leurs encouragements et leurs soutiens.

Mes remerciements vont également à Minh Hà, Phương Anh, Vân Anh, Duy, Hạc pour leurs pensées, leurs soutiens, leurs encouragements. Merci pour les agréables moments que nous avons passés ensemble.

J'adresse également mes remerciements à Chị Diễm, Chị Thúy, Chị Thủy, Anh Tuấn, Nga, Anh Đạo, Hiền, Nhụng, Hương, Bé Châu, Bé Loan, Hà (x2), Hàng, Huyền, Hưng, Đạt avec qui j'ai partagé ma vie quotidienne pendant mon séjour en France.

Je dédie cette thèse à mes parents et à mes sœurs: merci pour votre amour, votre soutien inconditionnel, votre aide, vos conseils tout au long de ma vie quotidienne et de mes études. Mille mercis.

## Liste des Figures

Figure 1. Gossypol et apogossypol .....	2
Figure 2. Les deux formes atropoisomères ( <i>R</i> ) et ( <i>S</i> ) du gossypol .....	5
Figure 3. Structure du gossypol (1.1) et de l'apogossypol (1.2).....	6
Figure 4: Iminolactone gossylique 1.70, acide 1,1'-didésoxygossylique (1.71) et 1,1'-didésoxygossypol (1.72)	21
.....	
Figure 5. Dérivés nitriles gossyliques péri-diacyles 1.73 .....	22
Figure 6: Interactions moléculaires entre l'apogossypol et Bcl-2 .....	24
Figure 7. Structures de l'apogossypol (1.2), de l'apogossypolone (1.77) et de leurs analogues 1.74-1.76 ....	25
Figure 8. Métallation régioflexible de l'acide 3-méthoxybenzoïque (1.85).....	27
Figure 9. Spectre NOESY phasé de l'analogue méthylé de l'apogossypol tétraméthyléther 1.121.....	37
Figure 10. Analogues alkylés racémiques de l'apogossypol synthétisés par métallation latérale de 1.104 .	38
Figure 11. Application de la réaction de Meyers diastéréosélective à la synthèse de produits naturels.....	57
Figure 12. Intermédiaire réactionnel postulé par Cram.....	59
Figure 13. Ligands utilisés dans les couplages de Suzuki atropoénantiosélectifs .....	61
Figure 14. Stratégies utilisées pour l'ouverture atroposélective d'une lactone biarylque racémique .....	63
Figure 15. Application du concept lactone à la synthèse de produits naturels .....	64
Figure 16. Spectre NOESY phasé de 2.19 .....	69
Figure 17. Analyse RMN <sup>1</sup> H du composé 2.19 .....	69
Figure 18. Naphtol 1.118 et ester 2.20 .....	71
Figure 19. Complexation entre les esters 3.60a, 3.53 et les réactifs de Grignard. Ester 2,3-(méthylènedioxy)benzoïque 3.75 .....	91
Figure 20. Structure des esters BHA 3.80, 3.81, 3.82 et du benzyne 3.83.....	92
Figure 21. Acides 2,Z-diméthoxybenzoïques 4.7 et acides 2-fluoro-Z-halogénobenzoïques (4.8-4.10) .....	107
Figure 22. Acide 2-méthoxy-3-méthyl-1-naphtoïque 4.65.....	117
Figure 23. Complexation de l'acide 2,3-diméthoxybenzoïque avec les organomagnésiens.....	121
Figure 24. Esters 4.112, 4.113 et amide 4.114 .....	132
Figure 25. Fonctionnalisation des acides 3-halogénobiphényl-2-carboxyliques .....	136
Figure 26. Possible structures of <i>ipso</i> -substituted product synthesized by reaction of 4.87 with 4-MeOC <sub>6</sub> H <sub>4</sub> MgBr .....	163
Figure 27. <sup>19</sup> F- <sup>1</sup> H, <sup>19</sup> F- <sup>13</sup> C and <sup>19</sup> F- <sup>19</sup> F coupling constants of fluorobenzene derivatives.....	164
Figure 28. <sup>19</sup> F NMR spectrum (400MHz-CDCl <sub>3</sub> ) .....	165

## Liste des Schémas

Schéma 1. Réaction des dérivés d'acides benzoïques <i>ortho</i> -fluorés et <i>ortho</i> -méthoxylés avec ArM (M = Li, MgX).....	2
Schéma 2. Rétrosynthèse des analogues du gossypol et de l'apogossypol .....	8
Schéma 3. Formes tautomères symétriques du gossypol .....	9
Schéma 4. Biosynthèse du gossypol .....	10
Schéma 5. Synthèse de quelques dérivés importants du gossypol : gossypolone 1.16, bases de Schiff du gossypol 1.17, apogossypol (1.2), désapogossypol protégé 1.18.....	11
Schéma 6. Synthèse totale asymétrique du gossypol réalisée par Meyers.....	13
Schéma 7. Synthèse racémique de l'apogossypol protégé 1.39 par Edwards et Cashaw .....	14
Schéma 8. Synthèse de l'éther hexaméthylque de l'apogossypol 1.39 selon Venuti .....	15
Schéma 9. Synthèse du 1,1'-didésoxygossypol (1.51) .....	16
Schéma 10. Synthèse d'analogues de l'hémigossypol substitués en position 2,5 par des groupements alkyles. ....	17
Schéma 11. Synthèse du 5,5'-didés- <i>iso</i> -propyl- 5,5'-diéthylgossypol (1.62) .....	18
Schéma 12. Synthèse d'analogues de l'apogossypol substitués en position 5,5' par des groupements amides .....	19
Schéma 13. Synthèse d'analogues de l'apogossypol substitués en position 5,5' par des alkyles.....	20
Schéma 14. Formation de cétone et d'alcool tertiaire à partir de l'acide benzoïque et de RLi.....	26
Schéma 15. Addition conjuguée des organolithiens aux acides 1- et 2-naphtoïques .....	28
Schéma 16. Métallation de l'acide 1-naphtoïque (1.86) par LTMP .....	28
Schéma 17. Métallation de l'acide 1-naphtoïque (1.86) par LICKOR .....	28
Schéma 18. Métallation de l'acide vératrique (1.8) .....	30
Schéma 19. Mécanisme de formation de 1.98 .....	30
Schéma 20. Métallation latérale de l'acide 2-méthylvératrique (1.98a) .....	31
Schéma 21. Rétrosynthèse des composés 5,5'-didés- <i>iso</i> -propyl-5,5'-dialkylapogossypol 1.109 .....	32
Schéma 22. Métallation latérale de l'acide 4,6,7-triméthoxy-8-méthyl-2-naphtoïque (1.6a) .....	33
Schéma 23. Préparation de l'acide 4-hydroxy-6,7-diméthoxy-8-méthyl-2-naphtoïque (1.104) .....	34
Schéma 24. Métallation latérale de l'acide 4-hydroxy-6,7-diméthoxy-8-méthyl-2-naphtoïque (1.104) .....	34
Schéma 25. Synthèse des analogues 5,5'-didés- <i>iso</i> -propyl-5,5'-dialkylapogossypol 1.109 .....	36
Schéma 26. Principe général du couplage biarylque diastéréosélectif utilisant une agrafe chirale .....	55
Schéma 27. Utilisation d'une agrafe chirale dérivée d'un diol de symétrie C <sub>2</sub> .....	55
Schéma 28. Utilisation du couplage biarylque diastéréosélectif pour la synthèse de produits naturels et de ligands chiraux.....	56
Schéma 29. Principe général du couplage atropodiastéréosélectif intermoléculaire.....	56
Schéma 30. Mécanisme probable de la réaction de Meyers diastéréosélective .....	57
Schéma 31. Couplage d'Ullmann de la bromooxazoline 2.3.....	58
Schéma 32. Equilibre entre (S,S,S)-2.4 et (S,S,R)-2.4 .....	58
Schéma 33. Synthèse atropoénantiosélective d'un binaphthalène par S <sub>N</sub> Ar d'un 1-(I)-menthoxy naphtalène .....	59
Schéma 34. Couplage oxydant énantiomérisé utilisant un sel de cuivre associé à une amine chirale .....	60

<b>Schéma 35. Concept lactone .....</b>	<b>62</b>
<b>Schéma 36. Résolution cinétique dynamique lors de l'ouverture atroposélective d'une lactone biarylque</b>	<b>62</b>
<b>Schéma 37. Rétrosynthèse des analogues du gossypol (approches racémique et atroposélective).....</b>	<b>65</b>
<b>Schéma 38. Bromoesters 2.15 et 2.16, précurseurs potentiels de la lactone 2.14 .....</b>	<b>66</b>
<b>Schéma 39. Bromation du naphtol 1.118 par le NBS dans CCl<sub>4</sub> .....</b>	<b>67</b>
<b>Schéma 40. Synthèse de l'acide 3-bromo-4,6,7-triméthoxy-8-méthyl-naphtalène-2-carboxylique (2.18)....</b>	<b>68</b>
<b>Schéma 41. Synthèse du bromoester 2.16 .....</b>	<b>70</b>
<b>Schéma 42. Lactone 2.14 et ses précurseurs 1.6a et 1.118 .....</b>	<b>72</b>
<b>Schéma 43. S<sub>N</sub>Ar d'acides benzoïques protégés.....</b>	<b>77</b>
<b>Schéma 44. Synthèse du 4-fluorobenzo[j]fluoranthène 3.11.....</b>	<b>79</b>
<b>Schéma 45. Synthèse du diol 3.12 par S<sub>N</sub>Ar du 2-méthoxynaph-1-oate de phényle (3.1) .....</b>	<b>79</b>
<b>Schéma 46. Mécanisme de formation de la cétone 3.17 proposé par Miyano .....</b>	<b>80</b>
<b>Schéma 47. Synthèse du diacide binaphthalénique 3.19 .....</b>	<b>81</b>
<b>Schéma 48. Synthèse de la Taiwanine C 3.22a et de la Chinensine 3.22b .....</b>	<b>81</b>
<b>Schéma 49. Synthèse d'un antagoniste des récepteurs de la neurokinine .....</b>	<b>82</b>
<b>Schéma 50. Synthèse du triarylcarbinol 3.27 à partir du 2-méthoxybenzoate d'<i>iso</i>-propyle (3.26) .....</b>	<b>82</b>
<b>Schéma 51. Synthèse du cannabinol 3.35 .....</b>	<b>84</b>
<b>Schéma 52. Synthèse de l'acide 4'-méthylbiphénylcarboxylique 3.38 .....</b>	<b>85</b>
<b>Schéma 53. Synthèse de l'acide biphénylcarboxylique 3.42, précurseur de la fluorénone 3.43 .....</b>	<b>86</b>
<b>Schéma 54. Synthèse du blestriarène C racémique.....</b>	<b>87</b>
<b>Schéma 55. Réaction du bromure de benzylmagnésium (3.57) avec le benzoate 3.53 et naphtoate 3.1.....</b>	<b>89</b>
<b>Schéma 56. Influence d'un groupe méthoxy en position 3 sur la sélectivité S<sub>N</sub>Ar/addition 1,2.....</b>	<b>90</b>
<b>Schéma 57. Synthèse d'un intermédiaire clé dans la synthèse des michellamines .....</b>	<b>91</b>
<b>Schéma 58. <i>Ipo</i>-substitution d'un méthoxy activée en <i>para</i> par un ester BHA .....</b>	<b>92</b>
<b>Schéma 59. Préparation par S<sub>N</sub>Ar d'un intermédiaire clé de la synthèse de la blépharismine-3 .....</b>	<b>92</b>
<b>Schéma 60. Mécanisme de la réaction S<sub>N</sub>Ar activée par un ester chiral .....</b>	<b>94</b>
<b>Schéma 61. Réaction S<sub>N</sub>Ar utilisant le (<i>R</i>)-7-mésityl-2,2-diméthyl-2,3-dihydro-1<i>H</i>-indène comme auxiliaire chiral.....</b>	<b>95</b>
<b>Schéma 62. Synthèse d'un indanol chiral par S<sub>N</sub>Ar .....</b>	<b>95</b>
<b>Schéma 63. Mécanisme de la réaction S<sub>N</sub>Ar utilisant un groupe partant chiral.....</b>	<b>97</b>
<b>Schéma 64. Synthèse asymétrique de 1,1':5',1"- et 1,1':4',1"--ternaphtalènes .....</b>	<b>98</b>
<b>Schéma 65. Synthèse d'un catalyseur à base de ruthénium pour la métathèse d'oléfines .....</b>	<b>98</b>
<b>Schéma 66. Réaction S<sub>N</sub>Ar de l'ester (<i>S</i>)-2,3-éthylidènedioxybenzoate 3.110 avec l'aryllithien 3.111.....</b>	<b>99</b>
<b>Schéma 67. Mécanisme de la réaction S<sub>N</sub>Ar atroposélective de l'ester 3.110.....</b>	<b>100</b>
<b>Schéma 68. S<sub>N</sub>Ar du 2-méthoxynaphtoate 3.113 avec le naphtyllithium 3.114 en présence de ligands chiraux.....</b>	<b>100</b>
<b>Schéma 69. Synthèse asymétrique des binaphthyles 3.117 utilisant des esters à chiralité planaire.....</b>	<b>100</b>
<b>Schéma 70. Réaction S<sub>N</sub>Ar atroposélective d'un ester à chiralité planaire.....</b>	<b>101</b>
<b>Schéma 71. Synthèse de biaryles chiraux à partir des complexes (<math>\eta^6</math>-arène)Cr(CO)<sub>3</sub>.....</b>	<b>101</b>
<b>Schéma 72. Réaction S<sub>N</sub>Ar des complexes 3.119 et 3.120.....</b>	<b>102</b>
<b>Schéma 73. Réaction de Meyers. Substitution d'un groupe <i>ortho</i>-alcoxy ou <i>ortho</i>-fluoro par les réactifs organométalliques .....</b>	<b>102</b>
<b>Schéma 74. S<sub>N</sub>Ar de la 2,6-difluorooxazoline (3.130) .....</b>	<b>103</b>

Schéma 75. $S_NAr$ de l'amide 3.132 par le <i>s</i> -BuLi.....	104
Schéma 76. Synthèse d'isoindolin-1-ones substituées par réaction $S_NAr$ .....	104
Schéma 77. Synthèse d'acides benzoïques <i>ortho</i> -substitués par $S_NAr$ d'aryloxazolines .....	106
Schéma 78. Réaction de <i>s</i> -BuLi et <i>t</i> -BuLi avec l'acide 2-fluorobenzoïque (4.1a).....	106
Schéma 79. Métallation régioflexible de l'acide <i>ortho</i> -anisique (4.1b) .....	108
Schéma 80. Métallation régioflexible de l'acide <i>méta</i> -anisique (4.13).....	108
Schéma 81. Métallation de l'acide 2-fluorobenzoïque (4.1a).....	109
Schéma 82. Métallation des acides 2-chloro- et 2-bromobenzoïques (4.20a) et (4.20b).....	109
Schéma 83. Métallation des acides 4-halogénobenzoïques 4.26a-c .....	110
Schéma 84. Métallation des acides 3-halogénobenzoïques, 3,4-difluorobenzoïque et des acides 2,4-dihalogénobenzoïques .....	110
Schéma 85. Déplacement par les amines libres aliphatiques de l'atome de fluor d'acides 2-fluorobenzoïques 4.37 activés .....	111
Schéma 86. Réaction des arylamidures avec les acides 2-fluorobenzoïques 4.39 .....	111
Schéma 87. Réaction de l'acide 2-fluoro-4-bromobenzoïque (4.10b) avec les alcoolates de sodium.....	112
Schéma 88. Déplacement du fluor et du méthoxy des acides 4.1a et 4.1b par les amidures de lithium.....	112
Schéma 89. Amination des acides benzoïques polyméthoxylés 4.7a, 4.7d, 4.43 .....	112
Schéma 90. Amination de l'acide 2,6-difluorobenzoïque (4.8d).....	113
Schéma 91. Déplacement du fluor de l'acide 2-fluorobenzoïque (4.1a) par les organolithiens .....	113
Schéma 92. Réactions de MeMgBr avec l'acide perfluorobenzoïque 4.52 .....	114
Schéma 93. $S_NAr$ de l'acide 4-bromo-2-fluorobenzoïque (4.10b) avec les alkylorganomagnésiens .....	114
Schéma 94. $S_NAr$ de l'acide 3-fluorobiphényl-4-carboxylique 4.55 .....	115
Schéma 95. Mécanisme de la réaction $S_NAr$ des acides naphtoïques .....	116
Schéma 96. Réactions $S_NAr$ de l'acide 2-fluoro-6-triméthylsilylbenzoïque (4.66) avec les aryllithiens .....	118
Schéma 97. Acide 2,3,4-triméthoxybenzoïque (4.43) et 4-MeOC <sub>6</sub> H <sub>4</sub> MgBr .....	120
Schéma 98. Réaction $S_NAr$ de poly(méthoxy)benzonitrile avec EtMgBr .....	120
Schéma 99. Réaction de l'acide 2,3-diméthoxybenzoïque (4.7a) avec le <i>p</i> -méthoxyphényllithium .....	121
Schéma 100. Réaction de l'acide 2,6-diméthoxybenzoïque (4.7d) avec le phényllithium.....	122
Schéma 101. Mécanisme de décarboxylation des dialcoolates de dilithium.....	122
Schéma 102. Préparation des acides poly(halogéno)benzoïques .....	123
Schéma 103. Mécanisme de la réaction $S_NArAB$ .....	126
Schéma 104. Mécanisme de formation du 1-( <i>n</i> -butyl)-4-méthoxybenzène (4.103).....	128
Schéma 105. Formation du <i>p</i> -méthoxyphényllithium à partir de <i>t</i> -BuLi et du <i>p</i> -bromoanisole .....	129
Schéma 106. Mécanisme de formation de l'acide 4.105 .....	129
Schéma 107. Mécanisme de formation de l'acide 4.106 et de la cétone 4.107 .....	130
Schéma 108. Réaction de l'acide 2,4-difluorobenzoïque (4.8b) avec 4-MeOC <sub>6</sub> H <sub>4</sub> Li .....	131
Schéma 109. Réaction de l'acide 2-chloro-6-fluorobenzoïque (4.11d) avec 4-MeOC <sub>6</sub> H <sub>4</sub> Li .....	131
Schéma 110. Réaction $S_NAr$ de l'acide 2,3,6-trifluorobenzoïque (4.87).....	134
Schéma 111. Réactivité de l'acide 2,4,6-trifluorobenzoïque (4.88) avec 4-MeOC <sub>6</sub> H <sub>4</sub> MgBr .....	135
Schéma 112. Synthèse du terphényle 4.131 .....	135
Schéma 113. Synthèse des 5,5'-didés- <i>iso</i> -propyl-5,5'-dialkylapogossypol.....	169
Schéma 114. Concept lactone appliqué à la lactone .....	170
Schéma 115. Synthèse de nouveaux analogues de l'apogossypol .....	170

**Schéma 116. Réaction S<sub>N</sub>ArAB des acides 2,3-diméthoxybenzoïque et 2-fluoro-6-halogénobenzoïque .... 171**

## Liste des Tableaux

<b>Tableau 1. Synthèse de la lactone 2.14 par couplage pallado-catalysé .....</b>	<b>71</b>
<b>Tableau 2. Substitution nucléophile aromatique du 2-méthoxynapht-1-oate de phényle (3.1) avec les arylorganomagnésiens 3.2.....</b>	<b>78</b>
<b>Tableau 3. Synthèse de 1,1'-binaphthalènes par S<sub>N</sub>Ar de 1-méthoxynapht-2-oates d'alkyle 3.13 .....</b>	<b>80</b>
<b>Tableau 4. Réaction des 2-méthoxybenzoates d'aryle 3.28a-c avec les bromures d'aryl magnésiens 3.2a, 3.29a-c.....</b>	<b>83</b>
<b>Tableau 5. Réaction de l'ester 3.53 avec les organomagnésiens et organolithiens.....</b>	<b>88</b>
<b>Tableau 6. Influence de substituants méthoxy et halogène en position 3 du noyau aromatique benzoate..</b>	<b>89</b>
<b>Tableau 7. Réactivité du 2,3-diméthoxybenzoate 3.60a et des 3-halogéno-2-méthoxybenzoates 3.60b-d avec le bromure de benzylmagnésium.....</b>	<b>90</b>
<b>Tableau 8. Synthèse atroposélective de biaryles reposant sur l'utilisation d'esters chiraux.....</b>	<b>93</b>
<b>Tableau 9. Synthèse atroposélective des binaphthalènes utilisant des groupes partant chiraux .....</b>	<b>96</b>
<b>Tableau 10. Réaction des 2-[(-)-menthoxy]benzoates de 2-<i>tert</i>-butylphényle avec divers réactifs de Grignard.....</b>	<b>99</b>
<b>Tableau 11. Substitution nucléophile aromatique des acides 1- et 2-naphtoïques <i>ortho</i>-fluorés et <i>ortho</i>-méthoxylés par les arylorganomagnésiens ou lithiens.....</b>	<b>116</b>
<b>Tableau 12. Réaction des acides 2,Z-diméthoxybenzoïques (4.7a-d) avec le bromure de <i>p</i>-méthoxyphénylemagnésium .....</b>	<b>118</b>
<b>Tableau 13. Optimisation de la réaction S<sub>N</sub>ArAB entre l'acide 4.7a et le bromure de <i>p</i>-méthoxyphénylemagnésium .....</b>	<b>119</b>
<b>Tableau 14. Réactions S<sub>N</sub>Ar des acides 2-fluoro-Z-halogénobenzoïques avec le bromure de <i>p</i>-méthoxyphénylemagnésium .....</b>	<b>124</b>
<b>Tableau 15. Optimisation des conditions d'échange brome-lithium.....</b>	<b>127</b>
<b>Tableau 16. Réactions S<sub>N</sub>ArAB des acides 2,6-difluorobenzoïque et 2-chloro-6-fluorobenzoïque (4.8d et 4.9d) .....</b>	<b>132</b>
<b>Table 17. Theoretical <sup>19</sup>F-<sup>1</sup>H and <sup>19</sup>F-<sup>19</sup>F coupling constants for biphenyls 4.128 and 4.132.....</b>	<b>164</b>
<b>Table 18. Theoretical <sup>13</sup>C-<sup>19</sup>F coupling constants for biphenyls 4.128 and 4.132.....</b>	<b>165</b>

## Principales abréviations

AcOH	Acide acétique
Ac <sub>2</sub> O	Anhydride acétique
Ar	Aryle
Arom	Aromatique
BHA	2,6-Di- <i>tert</i> -butyl-4-méthoxyphényle
BHT	2,6-Di- <i>tert</i> -butyl-4-méthylphényle
BINAL-H	2,2'-Dihydroxy-1,1'-binaphthyllithium aluminum hydride
BINAP	2,2'-Bis(diphénylphosphino)-1,1'-binaphthyle
BINOL	1,1'-Bi-2-naphtol
Bn	Benzyle
CAN	Nitrate de cérium et d'ammonium
CHIRAPHOS	2,3-Bis(diphenylphosphino)butane
CIPE	Complex induced proximity effect
config.	Configuration
DABCO	1,4-Diazabicyclo[2,2,2]octane
DBDMH	1,3-Dibromo-5,5-diméthylhydantoïne
DCC	Dicyclohexylcarbodiimide
DCM	Dichlorométhane
DDQ	2,3-Dichloro-5,6-dicyano-1,4-benzoquinone
DEPT	Distortionless enhancement by polarization transfer
DIPEA	Di- <i>iso</i> -propyléthylamine
DIPP	2,6-Di- <i>iso</i> -propylphényle
DMA	Diméthylacétamide
DMAP	4-(Diméthylamino)pyridine
DME	1,2-Diméthoxyéthane
DMF	<i>N,N</i> -Diméthylformamide
DMPU	<i>N,N'</i> -Diméthylpropylèneurée
DMSO	Diméthylsulfoxyde
dr	Diastéréomérique ratio
ed	Excès diastéréomérique
EDCI	1-Éthyle-3-(3'-diméthylaminopropyle)carbodiimide
ee	Excès énantiomérique
EQ	External quench (piégeage externe)
équiv.	Équivalent
ET	État de transition
Et	Éthyle
FG	Groupe fonctionnel
GD	Groupe directeur
h	Heure
HMBC	Heteronuclear multiple bond correlation
HMPA	Hexaméthylphosphotriamide
HMTTA	Hexaméthyltriéthylène-tétraamine
HOBT	<i>N</i> -Hydroxybenzotriazole
HPLC	Chromatographie liquide à haute performance
HRMS	Spectrométrie de masse à haute résolution
HSQC	Heteronuclear single quantum coherence

Hz	Hertz
<i>i</i> -	<i>iso</i> -
IR	Infrarouge
ISQ	In situ quench (piégeage <i>in situ</i> )
LDA	Di- <i>iso</i> -propylamidure de lithium
LiHMDS	Bis(triméthylsilyl)amidure de lithium
LiCKOR	<i>n</i> -BuLi/ <i>t</i> -BuOK(ratio 1:1)
LiDMEA	2-(Diméthylamino)éthanolate de lithium
Litt.	Littérature
LTMP	2,2,6,6-Tétraméthylpipéridure de lithium
Me	Méthyle
Ment	Menthyle
MeO-BIPHEP	(6,6'-Dimethoxybiphenyl-2,2'-diyl)bis(diphenylphosphine)
MOM	Méthoxyméthyle
Mp	Melting point (point de fusion)
Mes	2,4,6-Triméthylphényle
n	Nombre de mole
NBS	<i>N</i> -bromosuccinimide
<i>n</i> -	Normal
NMP	<i>N</i> -Méthyl-2-pyrrolidinone
NMR	Nuclear magnetic resonance
NOE	Nuclear overhauser effect
NOESY	Nuclear overhauser enhancement spectroscopy
Nu	Nucléophile
Ox	Oxazoline
PCC	Chlorochromate de pyridinium
Ph	Phényle
Piv	Pivalate
PLA	Phénylalanine amonialysase
PMDTA	<i>N,N,N',N'',N'''</i> -Pentaméthyldiéthylénetriamine
PP	Diphosphate
PPE	Ester polyphosphate
Py	Pyridine
QUADAC	Quasi-diAnion complex
rdt	Rendement
RMN	Résonance magnétique nucléaire
rt	Room temperature
S	Solvant
<i>s</i> -	Secondaire
SET	Single-electron transfer
S <sub>N</sub> Ar	Substitution nucléophile aromatique
S <sub>N</sub> ArAB	Substitution nucléophile aromatique des acides benzoïques
t	Temps
<i>t</i> -	Tertiaire
TA	Température ambiante
TBAF	Fluorure de tétrabutylammonium
TBDMS	<i>tert</i> -Butyldiméthylsilyle
Tf	Triflate
TFA	Acide trifluoroacétique
TFAA	Anhydride trifluoroacétique

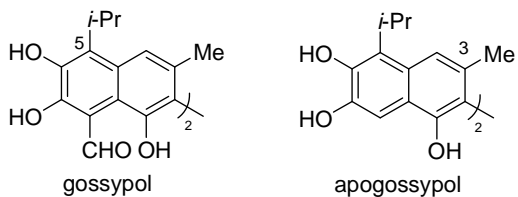
THF	Tétrahydrofurane
TMEDA	<i>N,N,N',N'</i> -Tétraméthyléthylènediamine
TMP	2,2,6,6-Tétraméthylpipéridine
TMS	Tétraméthylsilane
TMSCl	Chlorure de triméthylsilyle
VIH	Virus de l'immunodéficience humaine de type 1

# Introduction générale

La métallation dirigée des cycles aromatiques est un outil très utile en synthèse organique car elle offre un accès large aux composés aromatiques polysubstitués qui constituent les motifs structuraux essentiels de nombreux pharmacophores, ligands, complexants, cryptants et matériaux moléculaires. Dans notre équipe, nous nous intéressons plus particulièrement à la métallation des acides carboxyliques en série benzénique. Des conditions opératoires permettant d'*ortho*-métaller les acides benzoïques sans protection préalable de la fonction acide carboxylique ont été mises au point au laboratoire et les réactions de métallation des acides benzoïques et naphtoïques diversement substitués par des bases fortes telles que les amidures de lithium encombrés (LDA, tétraméthylpipéridure de lithium – LTMP) et les alkylolithiens ont été étudiées. L'objectif de ces travaux est notamment de déterminer les paramètres qui gouvernent la régiosélectivité de ces transformations.

Ces travaux méthodologiques trouvent actuellement une application dans la synthèse totale d'analogues structuraux du gossypol, le pigment principal des graines du cotonnier (Figure 1). De nombreuses vertus thérapeutiques sont attribuées au gossypol (contraceptif oral masculin, activité antivirale sur les virus du VIH ou de l'herpès, antipaludéen...) mais ce sont ses propriétés anticancéreuses qui sont actuellement les plus étudiées. Le gossypol est un bon ligand des protéines de la famille Bcl-2 impliquées dans l'apoptose et son activité antitumorale est actuellement évaluée dans des études cliniques de phase II. On ne connaît quasiment rien de l'influence des deux groupements lipophiles 5,5'-di-*iso*-propyle et 3,3'-diméthyle sur les propriétés biologiques du gossypol. Toutefois des études récentes de docking suggèrent qu'il pourrait être possible de moduler l'activité biologique de cette molécule en modifiant notamment la nature des substituants en 5,5'. L'apogossypol correspond au gossypol déformylé. Il présente également des propriétés antitumorales et est moins毒ique et plus stable que le gossypol. Dans ce contexte, dans une première partie de ce travail, nous avons développé une voie de synthèse originale d'analogues de l'apogossypol utilisant comme étapes clés des métallations, permettant de remplacer les groupements *iso*-propyles par des groupements structurellement proches (éthyle, *n*-propyle, butyle...) ou plus éloignés...

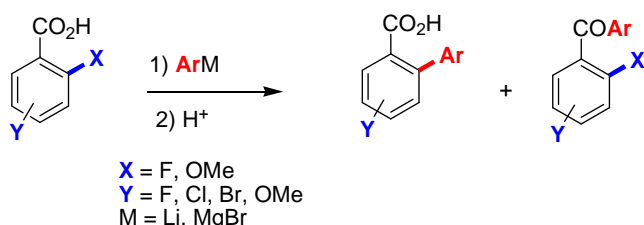
## Introduction générale



**Figure 1. Gossypol et apogossypol**

Dans le cadre de recherches sur la métallation d'acides benzoïques simples, il a été montré au laboratoire que le *t*-butyllithium réagit de façon inattendue avec l'acide 2-fluorobenzoïque pour donner le produit de substitution nucléophile aromatique et ne donne pas le produit de métallation du substrat comme observé avec *s*-BuLi/TMEDA. La substitution nucléophile aromatique des acides benzoïques *ortho*-fluorés ou *ortho*-méthoxylés non protégés (acronyme S<sub>N</sub>ArAB) est étudiée de façon systématique dans l'équipe depuis 2009. Lorsque les amidures de lithium sont utilisés comme nucléophiles, la réaction S<sub>N</sub>ArAB permet un accès performant à des acides anthraniliques simples et originaux qui sont des composés importants, notamment sur le plan biologique (thèse de Mickaël Belaud, 2010). Avec les aryllithiens ou les réactifs de Grignard, les acides naphtoïques *ortho*-fluorés ou *ortho*-méthoxylés donnent avec de très bons rendements les biaryles alors que les cétones résultant de l'addition de l'organométallique sur le carbonyle sont formées en quantité importante lorsque les acides 2-fluoro et 2-méthoxybenzoïques sont utilisés comme substrats (thèse de Regadia Aissaoui, soutenance prévue en janvier 2012).

L'influence des substituants portés par le cycle aromatique sur la réaction S<sub>N</sub>ArAB utilisant les réactifs de Grignard et les organolithiens a été étudiée au cours de ce travail (Schéma 1).



**Schéma 1. Réaction des dérivés d'acides benzoïques *ortho*-fluorés et *ortho*-méthoxylés avec ArM (M = Li, MgX)**

Ce mémoire est divisé en 4 chapitres. Dans une première partie, les résultats biologiques récents liés au gossypol ainsi que ses principales synthèses chimiques font l'objet d'une courte présentation bibliographique. Les travaux antérieurs de l'équipe sur la synthèse d'analogues de l'apogossypol sont résumés et les résultats expérimentaux obtenus au cours de ma thèse dans ce domaine sont ensuite décrits. Le deuxième chapitre concerne la synthèse atroposélective d'analogues structuraux de l'apogossypol. Dans le troisième chapitre, une revue complète de la réaction de substitution nucléophile aromatique activée par les esters est présentée. Les principales caractéristiques de la réaction S<sub>N</sub>Ar activée par les oxazolines sont également décrites brièvement. Enfin, dans la dernière partie de ce manuscrit, l'effet d'un atome d'halogène (F, Cl, Br) ou d'un alcoxy supplémentaire sur la réaction S<sub>N</sub>ArAB a été

### *Introduction générale*

évalué. Il est montré que les acides 2-fluoro-6-halogénobenzoïques permettent un accès simple et efficace à des biaryles par substitution nucléophile aromatique.

# Chapitre 1 — Synthèse totale racémique d'analogues structuraux de l'apogossypol mettant en jeu des réactions de métallation aromatique

## 1- Introduction

Le gossypol (1,1',6,6',7,7'-hexahydroxy-5,5'-di-*iso*-propyl-3,3'-diméthyl-2,2'-binaphthalène-8,8'-dicarboxaldéhyde) (**1.1**) est le pigment principal des semences de coton. Ce composé binaphthalénique polyhydroxylé de symétrie C2 existe sous deux formes atropoisomères (*R*) et (*S*). La déconnexion de la liaison C2-C2' donne deux naphtalènes identiques (Figure 2).

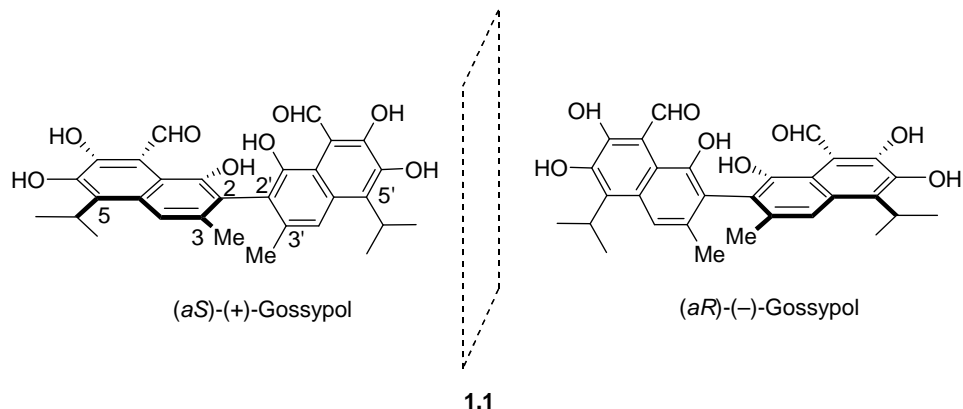


Figure 2. Les deux formes atropoisomères (*R*) et (*S*) du gossypol

De nombreuses vertus thérapeutiques sont attribuées au gossypol<sup>1</sup>: contraceptif oral masculin, antiviral, antipaludéen... Mais ce sont les propriétés anticancéreuses du gossypol qui sont actuellement les plus étudiées. Le gossypol est un bon ligand des protéines Bcl-2 qui interviennent dans la régulation de l'apoptose. Ces protéines sont souvent surexprimées dans de nombreux types de tumeurs humaines et leur inhibition constitue une cible de choix pour restaurer un processus normal d'apoptose. Or des chercheurs de l'université du Michigan ont montré que le gossypol assimilé par voie orale génère une telle inhibition. Plusieurs brevets ont été déposés<sup>2</sup> et une start-up, Ascenta Therapeutics (Malvern, Pennsylvania),<sup>3</sup> a été créée

<sup>1</sup> Revues récentes : (a) Kenar, J. A. *J. Am. Oil Chem. Soc.* **2006**, 83, 269. (b) Dodou, K. *Expert Opin. Investig. Drugs* **2005**, 14, 1419.

<sup>2</sup> (a) Wang, S.; Yang, D. WO2005094804 A1, 2005. (b) Flack, M. R.; Knazek, R.; Reidenberg, M. US5385936, 1995 et US 6114397, 2000.

pour développer cliniquement le produit par l'Université du Michigan. L'apogossypol (**1.2**) (Figure 3) correspond au gossypol déformylé. Il est moins毒性和 plus stable que le gossypol.<sup>4</sup> Alors que les deux fonctions aldéhydes du gossypol sont indispensables pour cibler certaines protéines telles que les déhydrogénases, l'apogossypol présente également des propriétés antitumorales prometteuses.<sup>5</sup>

D'un point de vue structural, le gossypol est constitué de deux parties: un bloc hydrophile et un bloc lipophile. Compte tenu de sa structure complexe, on trouve peu de travaux décrivant sa synthèse chimique.<sup>6</sup> Une seule synthèse totale asymétrique a été réalisée<sup>7</sup> et seules les activités anticancéreuses du produit naturel, de prodrogues obtenues par modification structurale de la partie hydrophile (Figure 3) et de dérivés d'hémisynthèse (bases de Schiff, esters, éthers, etc...) avaient été décrites dans la littérature au commencement de nos travaux sur le gossypol. L'influence des deux groupements lipophiles 5,5'-di-*iso*-propyle et 3,3'-diméthyle sur les propriétés thérapeutiques du gossypol n'avait pas été étudiée. Des études de docking suggéraient néanmoins qu'il devait être possible de moduler l'activité biologique du gossypol (en termes d'efficacité et de spécificité) en modifiant notamment la nature des substituants en 5,5'.<sup>8</sup>

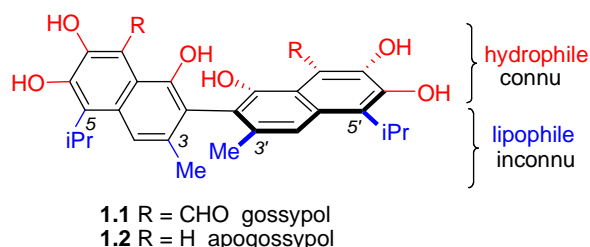


Figure 3. Structure du gossypol (**1.1**) et de l'apogossypol (**1.2**)

Dans ce contexte, nous avons entrepris des travaux dont l'objectif était de développer de nouvelles voies de synthèse de substances analogues du gossypol et de l'apogossypol en remplaçant les deux groupes *iso*-propyles et méthyles par des groupes structurellement proches (éthyle, *n*-propyle, *n*-butyle, etc...) ou plus éloignés (esters, alkylsulfényle, sulfonyle, etc...) afin de tester leurs propriétés biologiques.

La rétrosynthèse initialement envisagée est résumée dans le Schéma 2. Compte tenu de

<sup>3</sup> Ascenta Therapeutics Web site. <http://www.ascenta.com/development/index.php#at101> (accessible au 15 octobre 2011). Voir aussi : Wang, S.; Yang, D. US2003008924A1, 2003.

<sup>4</sup> Becattini, B.; Kitada, S.; Leone, M.; Monosov, E.; Chandler, S.; Zhai, D.; Kipps, T. J.; Reed, J. C.; Pellecchia, M. *Chem. Biol.* **2004**, *11*, 389.

<sup>5</sup> Kitada, S.; Kress, C. L.; Krajewska, M.; Jia, L.; Pellecchia, M.; Reed, J. C. *Blood* **2008**, *111*, 3211.

<sup>6</sup> (a) Edward, J. D. Jr.; Cashaw, J. L. *J. Am. Chem. Soc.* **1956**, *78*, 3224. (b) Edward, J. D. Jr.; Cashaw, J. L. *J. Am. Chem. Soc.* **1958**, *80*, 3798. (c) Ognyanov, V. I.; Petrov, O. S.; Tiholov, E. P.; Mollov, N. M. *Helv. Chim. Acta* **1989**, *72*, 353. (d) Venuti, M. C. *J. Org. Chem.* **1981**, *46*, 3124. (e) Shirley, D. A.; Dean, W. L. *J. Am. Chem. Soc.* **1957**, *79*, 1205.

<sup>7</sup> (a) Meyers, A. I.; Willemse, J. J. *Chem. Commun.* **1997**, 1573. (b) Meyers, A.; Willemse, J. J. *Tetrahedron* **1998**, *54*, 10493.

<sup>8</sup> Brown, W. M.; Metzger, L. E.; Barlow, J. P.; Humsaker, L. A.; Deck, L. M.; Royer, R. E.; Vander Jagt, D. L. *Chem.-Biol. Interact.* **2003**, *143-144*, 481.

notre expérience dans le domaine, les réactions d'*ortho*-métallation, de métallation à distance et de métallation latérale ont été privilégiées comme étapes clés à plusieurs niveaux de la synthèse. Nous avons ainsi envisagé d'introduire simultanément les deux fonctions aldéhydiques des analogues du gossypol **1.3** par métallation après construction du binaphthalène **1.4** (analogues de l'apogossypol) grâce à la double assistance électronique (*ortho* et *péri*) des groupements méthoxy. Les deux fonctions aldéhydiques peuvent également être installées par des réactions classiques de formylation (Vilsmaier-Haack etc...). Le composé **1.4** est accessible par couplage oxydant du naphtalène **1.5** (synthèse racémique). La molécule **1.5** peut être préparée par réduction de **1.6**, synthétisable par condensation de Stobbe à partir de **1.7**. La diversité structurale pourrait être créée à plusieurs niveaux de la synthèse : par *ortho*-lithiation de **1.8** ou par métallation latérale de **1.7**, **1.6** ou **1.4**.

Finalement, il devrait être possible de préparer des analogues chiraux grâce au « concept lactone », stratégie utilisée avec succès par Bringmann pour d'autres composés polyaromatiques (voir le chapitre 2, page 61).<sup>9</sup> Les oxazaborolidines chirales sont susceptibles de réduire asymétriquement les lactones **1.9**. Ces dernières peuvent être synthétisées à partir des deux sous-unités naphtaléniques **1.6** et **1.5**.

---

<sup>9</sup> (a) Bringmann, G.; Menche, D. *Acc. Chem. Res.* **2001**, *34*, 615. (b) Bringmann, G.; Pfeifer, R. M.; Schreiber, P.; Hartner, K.; Kocher, N.; Brun, R.; Peters, K.; Peters, E. M.; Breuning, M. *Tetrahedron* **2004**, *60*, 6335.

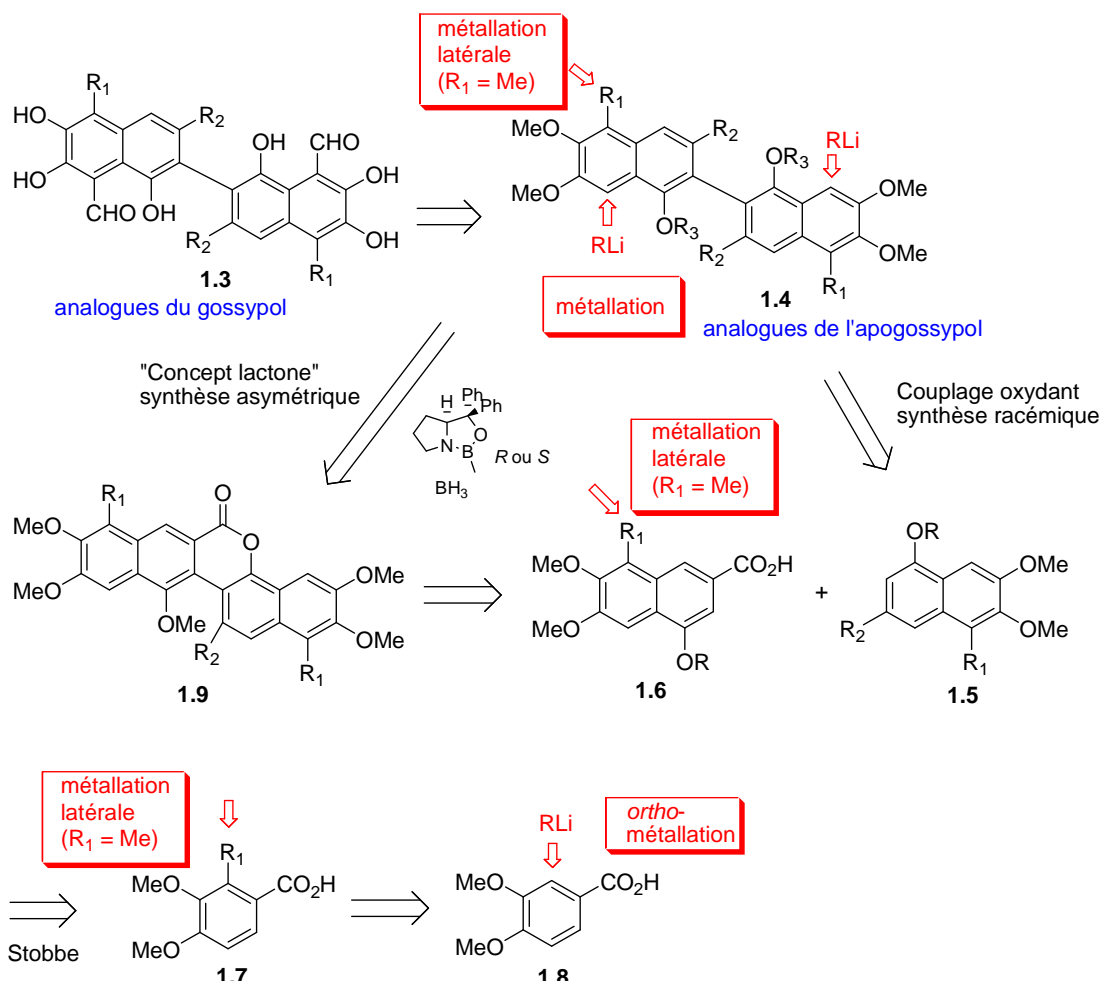


Schéma 2. Rétrosynthèse des analogues du gossypol et de l'apogossypol

La première partie de ce chapitre résume les principales voies d'accès au gossypol et à ses analogues. Les activités biologiques sont ensuite présentées. Les résultats antérieurs de l'équipe dans le domaine sont enfin brièvement décrits avant la description du travail réalisé au cours de cette thèse.

## 2- Structure, stéréoisométrie et tautométrie du gossypol

Le squelette binaphthalénique du gossypol comporte six groupes OH. Les deux groupements hydroxyles en position 1, 1' (position *péri*) sont plus réactifs que les quatre OH restants en 6,6' et 7,7' et permettent une chimie très riche notamment en raison de la proximité des deux fonctions -CHO en 8,8'. Les deux fonctions aldéhydes permettent une chimie diversifiée.<sup>1</sup> Il est généralement considéré qu'elles sont à l'origine de la toxicité de la molécule.<sup>10</sup> Les quatre groupes alkyles, deux méthyles et deux *iso*-propyles respectivement en position 3,3' et 5,5' se trouvent situés du même côté du plan naphtalénique et constituent la région lipophile du gossypol, alors que les groupes hydroxyles et aldéhydes définissent la région lipophobe (Figure 3).

<sup>10</sup> Vander Jagt, D. L.; Deck, L. M.; Royer, R. E. *Current Med. Chem.* **2000**, 7, 479.

Le gossypol existe sous la forme de deux atropoisomères (Figure 2). Les énantiomère (–) et (+) correspondent respectivement au (*R*)-gossypol et au (*S*)-gossypol. Les deux atropoisomères sont présents dans les graines de coton et leurs proportions relatives varient d'une espèce à l'autre.<sup>11</sup> Ils sont optiquement stables dans les conditions employées lors des études pharmacologiques (température ambiante, pH neutre). Des études sur la stabilité conformationnelle du gossypol ont montré que la barrière rotationnelle autour de la liaison 2,2'-naphtyle est supérieure à 50 kcal/mol.<sup>12</sup> Le dédoublement du (+/–)-gossypol est généralement réalisé par cristallisation ou chromatographie de diastéréoisomères dérivés du gossypol, le plus souvent des bases de Schiff.<sup>13</sup>

De plus, le gossypol peut exister sous trois formes tautomères symétriques ou asymétriques : (i) aldéhyde, (ii) cétol et (iii) lactol (Schéma 3).

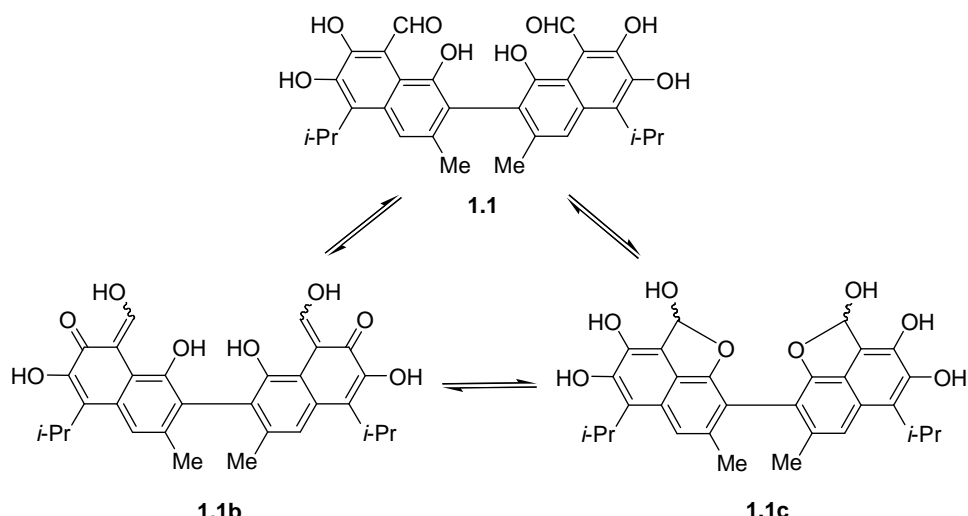


Schéma 3. Formes tautomères symétriques du gossypol

### 3- Biosynthèse du gossypol

Le gossypol est un disesquiterpène issu de l'acide mévalonique **1.10**.<sup>14</sup> Le premier intermédiaire cyclique dans la biosynthèse du gossypol correspond au (+)- $\delta$ -cadinène **1.13** (Schéma 4). **1.13** est issu, via le diphosphate de nérolidyle **1.12**, du diphosphate de farnésyle **1.11**. Les intermédiaires entre le  $\delta$ -cadinène et le désoxyhémidigossypol **1.14** n'ont pas été identifiés. **1.14** est converti en hémigossypol **1.15**. La dimérisation de **1.15**, grâce à une enzyme peroxidase,<sup>15</sup> fournit un mélange de (+)- et (–)-gossypol.

<sup>11</sup> (a) Cass, G. B.; Tiritan, E.; Matlin, S. A.; Freire, E. E. *Phytochemistry* **1991**, *30*, 2655. (b) King, T. J.; de Silva, L. B. *Tetrahedron Lett.* **1968**, *3*, 261. (c) Datta, S. C.; Murti, V. V. S.; Seshadri, T. R. *Indian J. Chem., Sect. B* **1972**, *10*, 263.

<sup>12</sup> Jaroszewski, J. W.; Strom-Hansen, T.; Hansen, L. L. *Chirality* **1992**, *4*, 216.

<sup>13</sup> (a) Tyson, R. *Chem. Ind. (London)* **1988**, 118. (b) Matlin, S. A.; Belenguer, A.; Tyson, R. G.; Brookes, A. N. *J. High Resolut. Chromatogr. Chromatogr. Commun.* **1987**, *10*, 86.

<sup>14</sup> Stipanovic, R. D.; Bell, A. A.; Benedict, C. R. *Biologically active natural products : Agrochemicals*, CRC Press, 1999, chapitre 18.

<sup>15</sup> (a) Kumar, S.; Adediran, S. A.; Nukaga, M.; Pratt, R. F. *Biochemistry* **2004**, *43* (9), 2664. (b) Liu, J.; Stipanovic, R. D.; Bell, A. A.; Puckhaber, L. S.; Magill, C. W. *Phytochemistry* **2008**, *69*, 3038.

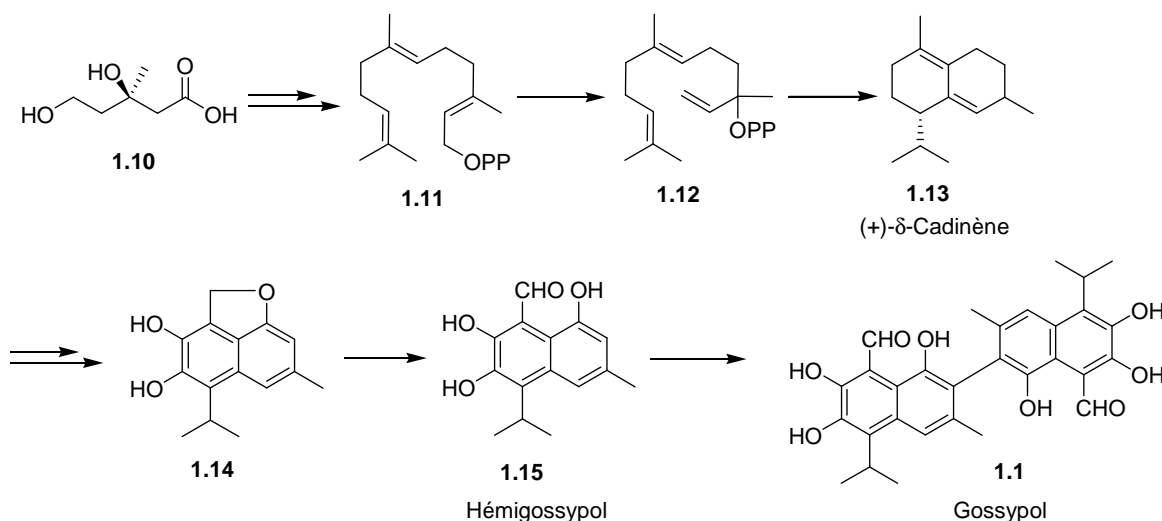


Schéma 4. Biosynthèse du gossypol

#### 4- Hémisynthèse de dérivés du gossypol

La chimie du gossypol a fait l'objet récemment d'une revue et le lecteur pourra utilement s'y référer.<sup>1a</sup>

Le Schéma 5 présente quelques transformations importantes du gossypol. Une des réactions les plus fréquemment utilisées est la condensation du gossypol avec une amine primaire. En effet, afin de diminuer la toxicité du gossypol, attribuée notamment à la présence des deux fonctions aldéhydes, de nombreuses bases de Schiff 1.17 ont été préparées et leurs propriétés pharmacologiques évaluées.<sup>16</sup>

L'apogossypol (1.2) peut être obtenu à partir du gossypol (1.1) en chauffant ce dernier dans une solution aqueuse concentrée d'hydroxyde de sodium.<sup>17</sup> Le traitement de l'apogossypol protégé par une solution concentrée d'acide sulfurique provoque la perte des deux groupements *iso*-propyles pour conduire au désapogossypol protégé 1.18.<sup>17c</sup>

La gossypolone 1.16 est obtenue par oxydation du gossypol, notamment en présence de  $\text{FeCl}_3$  dans un mélange acide acétique/acétone.<sup>18</sup>

<sup>16</sup> Voir Dao, V. T. thèse de doctorat de l'université Paris XI-Orsay, n° d'ordre 7072, 2002. <http://tel.archives-ouvertes.fr/docs/00/04/59/23/PDF/tel-00004168.pdf> (accessible au 15 octobre 2011) et références citées.

<sup>17</sup> (a) Carruth, F. E. *J. Am. Chem. Soc.* **1918**, *40*, 647. (b) Clark, E. P. *J. Biol. Chem.* **1928**, *78*, 159. (c) Adams, R.; Butterbaugh, D. J. *J. Am. Chem. Soc.* **1938**, *60*, 2174.

<sup>18</sup> Hass, R. H.; Shirley, D. A. *J. Org. Chem.* **1965**, *30*, 4111.

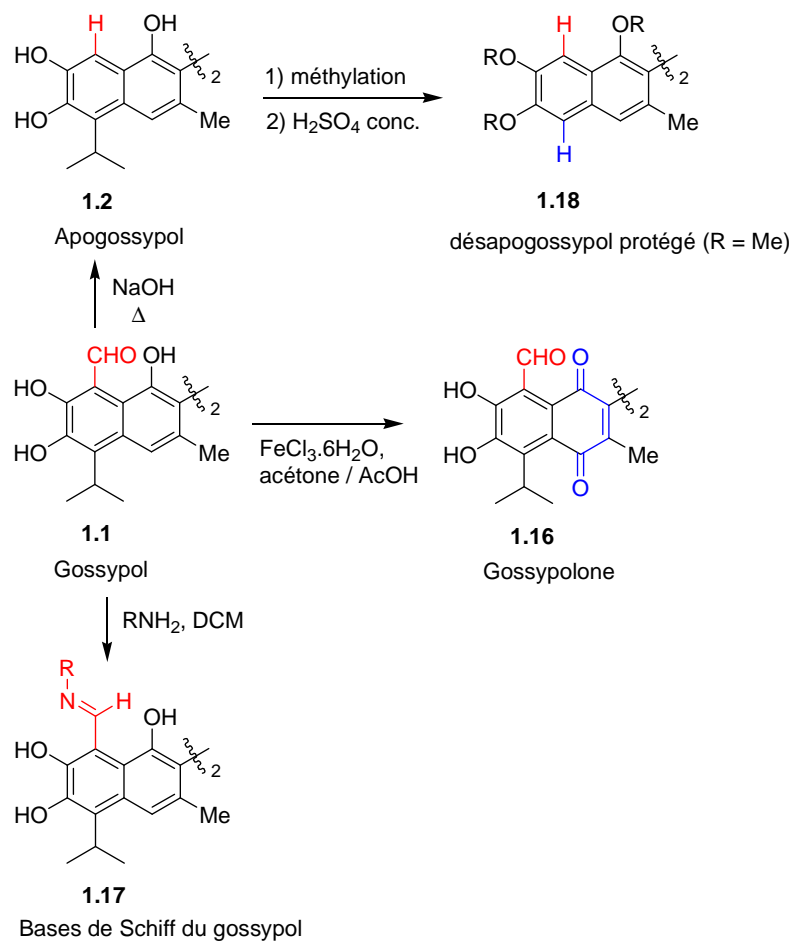


Schéma 5. Synthèse de quelques dérivés importants du gossypol : gossypolone 1.16, bases de Schiff du gossypol 1.17, apogossypol (1.2), désapogossypol protégé 1.18

## 5- Synthèse totale du gossypol, de ses dérivés et analogues – Littérature

### 5-1- Synthèse totale asymétrique du gossypol par Meyers

Une seule synthèse totale asymétrique du gossypol est décrite dans la littérature.<sup>7b</sup> La chiralité est introduite au niveau de la jonction des cycles binaphyles grâce à un couplage de type Ullmann utilisant comme précurseur chiral une bromonaphthyloxazoline (Schéma 6).<sup>19</sup> L'oxazoline 1.20 est préparée à partir de l'acide 2,3,4-triméthoxybenzoïque (1.19). Par réaction avec le chlorure d'*iso*-propylmagnésium (5 équiv.),<sup>20,21</sup> le déplacement d'un groupe méthoxy est observé et l'oxazoline 1.21 est obtenue avec un bon rendement (96 %). Un groupe formyle est introduit par métallation régiosélective utilisant EVL-HMPA (EVL : 1-éthoxyvinyllithium)<sup>22</sup> suivie d'un piégeage par le DMF. Après réduction par LiAlH<sub>4</sub> puis

<sup>19</sup> (a) Nelson, T. D.; Meyers, A. I. *Tetrahedron Lett.* **1993**, 34, 3061. (b) Nelson, T. D.; Meyers, A. I. *J. Org. Chem.* **1994**, 59, 2655. (c) Nelson, T. D.; Meyers, A. I. *J. Org. Chem.* **1994**, 59, 7184. (c) Meyers, A. I.; McKennon, M. J. *Tetrahedron Lett.* **1995**, 36, 5869.

<sup>20</sup> Gant, T. G.; Meyers, A. I. *Tetrahedron* **1994**, 50, 2297.

<sup>21</sup> (a) Reuman, M.; Meyers, A. I. *Tetrahedron* **1985**, 41, 837. (b) Meyers, A. I.; Williams, B. E. *Tetrahedron Lett.* **1978**, 19, 223. (c) Meyers, A. I.; Mihelich, E. D. *Angew. Chem., Int. Ed. Engl.* **1976**, 15, 270.

<sup>22</sup> Shimano, M.; Meyers, A. I. *J. Am. Chem. Soc.* **1994**, 116, 10815.

traitement par NaH et MeI, l'oxazoline **1.22** est isolée avec un rendement de 72 %. L'oxazoline est transformée en aldéhyde **1.23** qui est converti en naphtol **1.24** par la séquence réactionnelle : {(1) condensation de Stobbe,<sup>23</sup> (2) cyclisation,<sup>6c</sup> (3) saponification}. Après protection du naphtol, le traitement de **1.26** successivement par le chlorure d'oxalyle, le (*S*)-(+)-*t*-leucinol puis le chlorure de thionyle conduit à l'oxazoline (*S*)-**1.27** avec un rendement de 87 %. La bromation régiosélective de (*S*)-**1.27** est effectué par réaction de Br<sub>2</sub> dans l'acide acétique pour donner (*S*)-**1.28** (74 %).

Le couplage de type Ullmann de (*S*)-**1.28** est réalisé en présence de Cu<sup>0</sup> au reflux du DMF. Le diastéréoisomère résultant (*aS,S*)-**1.29** est converti en bis-carbinol (*S*)-**1.30** avec un rendement de 72 %.<sup>24</sup> Le bis-carbinol (*S*)-**1.30** est réduit en (*S*)-**1.31** par traitement avec du Pd/C sous atmosphère d'hydrogène à 40 psi.<sup>25</sup> La déprotection des huit groupes protecteurs est effectuée par le tribromure de bore. Une oxydation de Swern<sup>26</sup> conduit au (*S*)-gossypol (*S*)-**1.1** avec un rendement de 81 % pour les deux dernières étapes.

<sup>23</sup> Johnson, W. S.; Daub, G. H. *Org. Reactions* **1951**, 6, 1.

<sup>24</sup> Meyers, A. I.; Himmelsbach, R. J.; Reuman, M. J. *J. Org. Chem.* **1983**, 48, 4053.

<sup>25</sup> Moorlag, H.; Meyers, A. I. *Tetrahedron Lett.* **1993**, 34, 6993.

<sup>26</sup> (a) Omura, K.; Swern, D. *Tetrahedron* **1978**, 34, 1651. (b) Marx, M.; Tidwell, T. T. *J. Org. Chem.* **1984**, 49, 788.

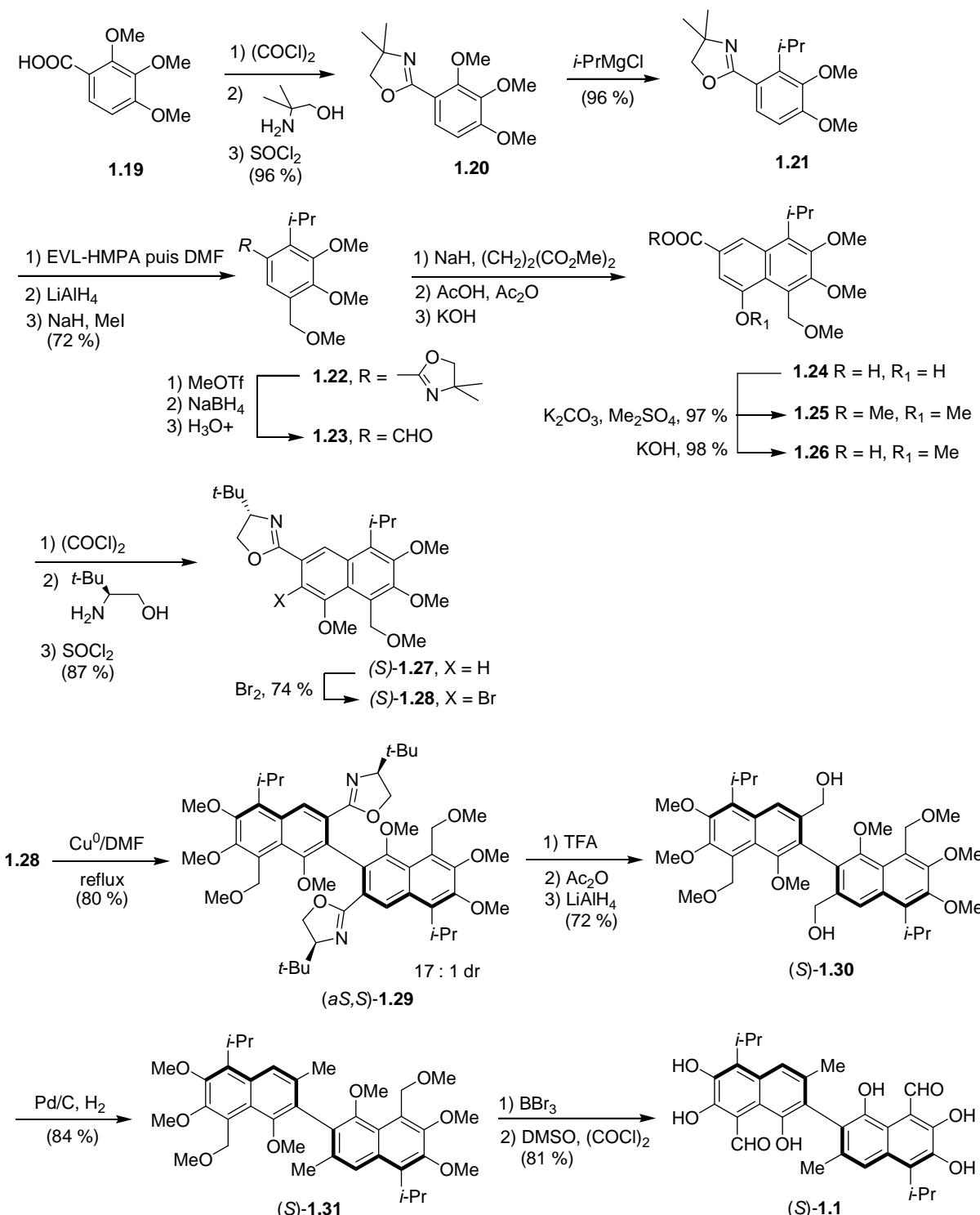


Schéma 6. Synthèse totale asymétrique du gossypol réalisée par Meyers

### 5-2- Synthèse totale racémique de l'apogossypol protégé 1.39 et du 1,1'-didésoxygossypol (1.51)

La première synthèse totale racémique de l'apogossypol protégé 1.39 a été réalisée par Edwards et Cashaw.<sup>27</sup> Par réaction du 1-bromo-2-*iso*-propyl-3,4-diméthoxybenzène (1.32)

<sup>27</sup> Edwards, J. D. Jr.; Cashaw, J. L. *J. Am. Chem. Soc.* **1957**, 79, 2283 et ref<sup>6b</sup>.

avec le bromure d'éthylmagnésium puis piégeage par DMF, l'aldéhyde **1.33** est obtenu avec un rendement de 91 % (Schéma 7).<sup>28,29</sup> La condensation de Stobbe<sup>30</sup> de **1.33** conduit à l'hémi-ester **1.34** (80 %). La cyclodéshydratation de **1.34** avec l'acétate de sodium, dans AcOH/Ac<sub>2</sub>O suivie d'une étape de saponification génère l'acide **1.35** (86 %). Le naphtol **1.36** est préparé par réduction de ce dernier avec LiAlH<sub>4</sub> (93 %). L'hydrogénéation de **1.36** avec du Pd/C conduit au naphtol **1.37** (41 %). La dimérisation de **1.37** est réalisée par simple chauffage et produit le binaphtol **1.38** avec un rendement quantitatif. La méthylation de **1.38** permet l'isolation de l'hexaméthyle éther apogossypol **1.39** avec un rendement de 42 %.

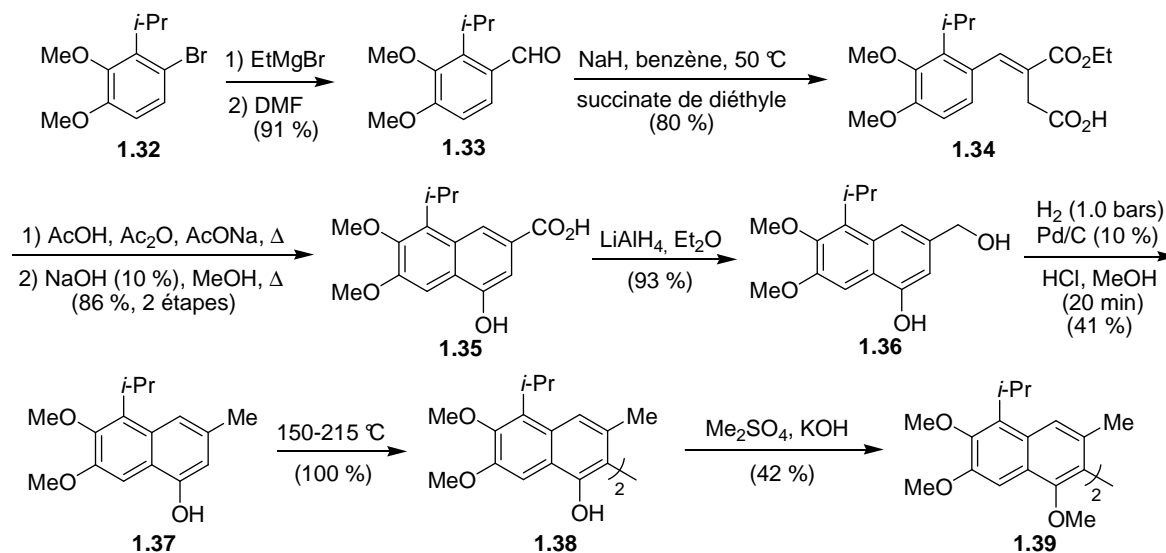


Schéma 7. Synthèse racémique de l'apogossypol protégé **1.39** par Edwards et Cashaw

Venuti a préparé l'apogossypol protégé **1.39** selon une voie de synthèse différente (Schéma 8).<sup>6d</sup> L'aldéhyde **1.33**, également obtenu par réaction du bromure aromatique **1.32** (80 %),<sup>31</sup> est traité avec Me<sub>3</sub>SiCN/ZnI<sub>2</sub>, métallé par *n*-BuLi puis mis en réaction avec le crotonate de *tert*-butyle<sup>32</sup> pour donner le cétoester **1.40** (88 %). La fonction cétone est réduite (H<sub>2</sub>, Pd/C) dans un mélange d'acide acétique et d'acide perchlorique<sup>33</sup> pour conduire quantitativement au produit **1.41**. Le traitement de ce dernier par l'ester polyphosphosphate (PPE)/CH<sub>2</sub>Cl<sub>2</sub><sup>34</sup> conduit à la tétralone **1.42** (86 %). La cétone **1.42** est ensuite convertie en acétate d'énol en présence d'acétate d'*iso*-propényle et d'une quantité catalytique de H<sub>2</sub>SO<sub>4</sub> et l'acétate d'énol intermédiaire est aromatisé par le chloranil<sup>35</sup> pour conduire à l'acétate **1.43**.

<sup>28</sup> Nelson, D. J.; Uschak, E. A. *J. Org. Chem.* **1977**, 42, 3308.

<sup>29</sup> La synthèse du 1-bromo-2-*iso*-propyl-3,4-diméthoxybenzène **1.32** à partir du 3-*iso*-propylcatéchol est décrite par Mollov. Voir ref<sup>6c</sup>.

<sup>30</sup> Bell, K. H.; Weiss, U. *Aust. J. Chem.* **1965**, 18, 1273.

<sup>31</sup> (a) Edwards, J. D.; Cashaw, J. L. *J. Org. Chem.* **1955**, 20, 847. (b) Edwards, J. D.; Cashaw, J. L. *J. Am. Chem. Soc.* **1956**, 78, 3821.

<sup>32</sup> Hunig, S.; Wehner, G. *Chem. Ber.* **1980**, 113, 302.

<sup>33</sup> Horning, E. C.; Reisner, D. B. *J. Am. Chem. Soc.* **1949**, 71, 1036.

<sup>34</sup> Kanaoka, Y.; Machida, M.; Yonemitsu, O.; Ban, Y. *Chem. Pharm. Bull.* **1965**, 13, 1065.

<sup>35</sup> Fu, P. P.; Harvey, R. G. *Chem. Rev.* **1978**, 78, 317.

(98 %). Après réduction par  $\text{NaBH}_4$ <sup>36</sup> (96 %), le naphtol **1.37** est dimérisé par chauffage puis méthylé ( $\text{Me}_2\text{SO}_4$ ) pour donner l'hexaméthyle éther apogossypol **1.39** avec un rendement de 87 %.

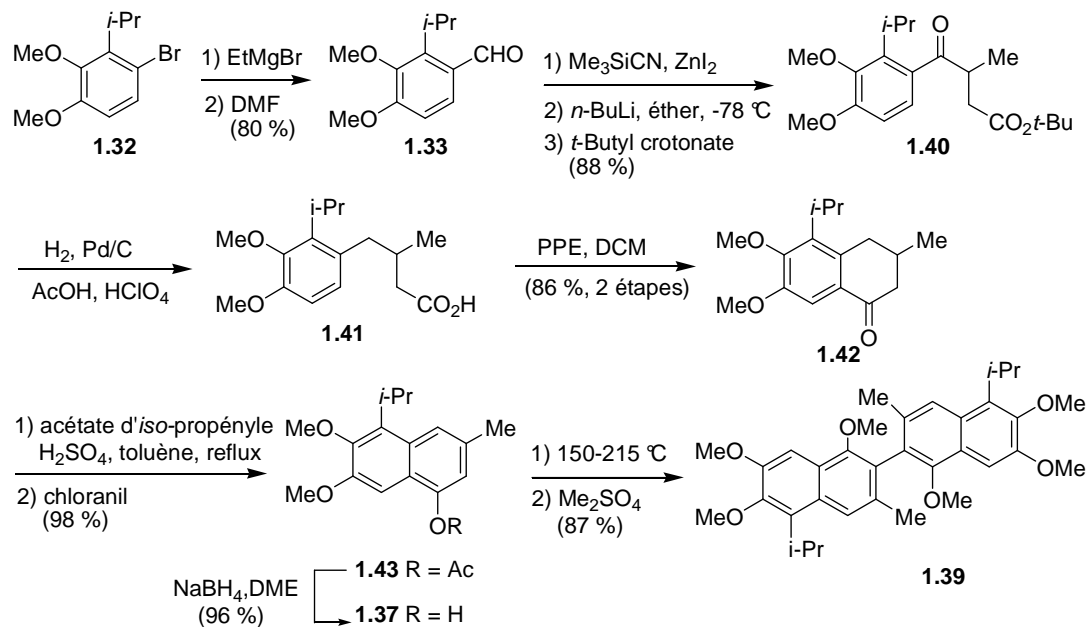


Schéma 8. Synthèse de l'éther hexaméthyl de l'apogossypol **1.39** selon Venuti

Le 1,1'-didésoxygossypol **1.51** a été préparé par Vander Jagt (Schéma 9).<sup>37</sup> La réaction du 1-bromo-2-*iso*-propyl-3,4-diméthoxybenzène (**1.32**) avec le bromure d'éthylmagnésium suivie du piégeage par le 3-méthyl-4-oxobut-2-énoate d'éthyle conduit au produit d'addition **1.44** (79 %). L'acide obtenu par saponification de **1.44** est ensuite réduit ( $\text{H}_2$ ,  $\text{Pd/C}$ ) pour donner **1.45** (89 %). Ce dernier est cyclisé grâce à l'ester polyphosphate (PPE, 80 %) et la cétone intermédiaire est réduite en alcool ( $\text{NaBH}_4$ ) qui se déhydrate pour former **1.46** (91 %). La bromation de **1.46** ( $\text{Br}_2/\text{DCM}$ ) conduit au bromure vinylique **1.47** (91 %). Ce dernier est aromatisé par action du DDQ dans le benzène pour donner le bromonaphthalène **1.48** (92 %). La dimérisation de **1.48** s'effectue en présence de *n*-BuLi/ $\text{CoCl}_2$  et donne **1.49** (53 %). La formylation est réalisée par réaction de **1.49** en présence de  $\text{TiCl}_4$  et de méthyldichlorométhyléther (84 %). Les éthers méthyliques de **1.50** sont déprotégés par  $\text{BBr}_3$  pour former le 1,1'-didésoxygossypol (**1.51**).

<sup>36</sup> Quick, J.; Crelling, J. K. *J. Org. Chem.* **1978**, *43*, 155.

<sup>37</sup> Royer, R. E.; Deck, L. M.; Vander Jagt, T. J.; Martinez, F. J.; Mills, R. G.; Young, S. A.; Vander Jagt, T. L. *J. Med. Chem.* **1995**, *38*, 2427.

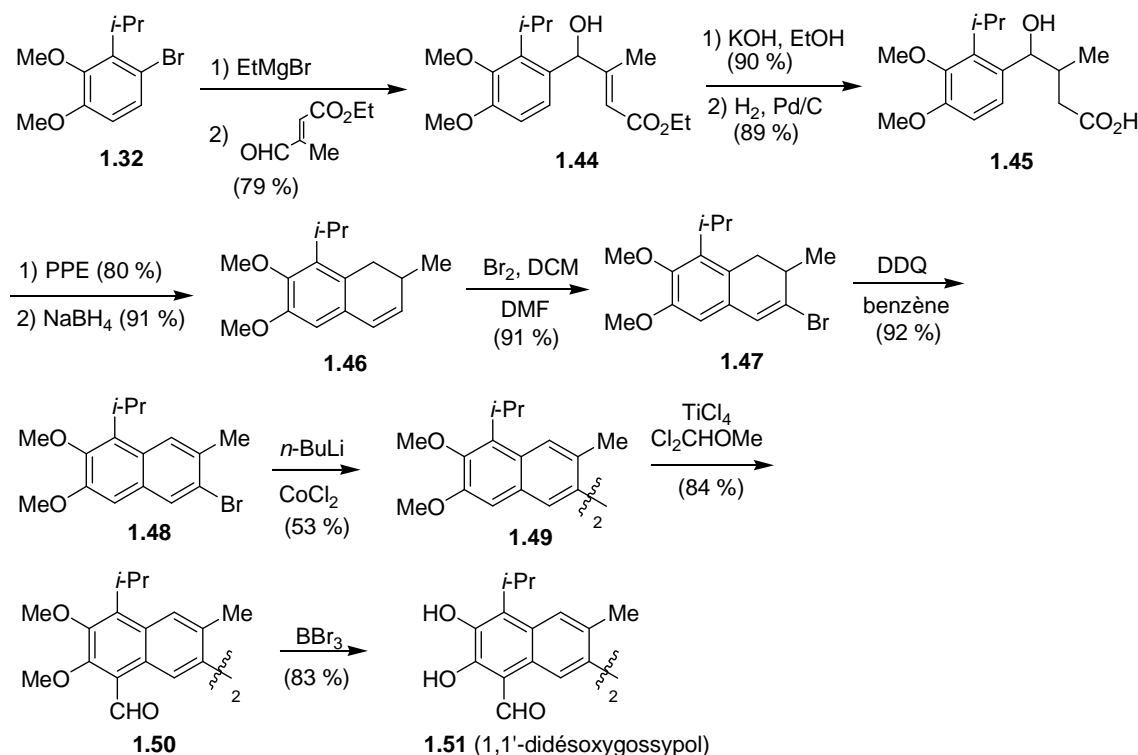


Schéma 9. Synthèse du 1,1'-didésoxygossypol (1.51)

### 5-3- Synthèse d'analogues de l'hémigossypol, de l'apogossypol ou du gossypol diversement substitués en position 5

Deck a récemment décrit la synthèse totale d'analogues de l'hémigossypol diversement substitués par des groupements alkyles en position 2,5.<sup>38</sup> Les organomagnésiens dérivés des 1-bromo-2-alkyl-3,4-diméthoxybenzène **1.52a-c**<sup>31a,39</sup> sont condensés avec les dérivés 4-oxobut-2-énate d'éthyle **1.53a,b** pour conduire aux lactones **1.54a-c** (63-70 %). Ces dernières sont transformées en naphtols **1.55a-c** par traitement avec  $\text{BBr}_3$  par une séquence réactionnelle consistant en {(1) ouverture de la lactone, (2) cyclisation de Friedel-Craft, (3) déshydratation et (4) aromatisation} (70-90 %). La formylation de **1.55a-c** est réalisée par réaction avec  $\text{TiCl}_4/\text{MeOCHCl}_2$  et fournit les composés **1.56a-c** avec des rendements faibles (10-20 %). L'anhydrohémigossypol **1.57a** et ses dérivés **1.57b,c** sont également formés (4-25 %) et peuvent être convertis en aldéhydes **1.56a-c** en présence d'acide chlorhydrique (Schéma 10).

<sup>38</sup> Wei, J.; Vander Jagt, D. L.; Royer, R. E.; Deck, L. M. *Tetrahedron Lett.* **2010**, *51*, 5757.

<sup>39</sup> Deck, L. M.; Brazwell, E. M.; Vander Jagt, D. L.; Royer, R. E. *Org. Prep. Proced. Int.* **1990**, *22*, 495.

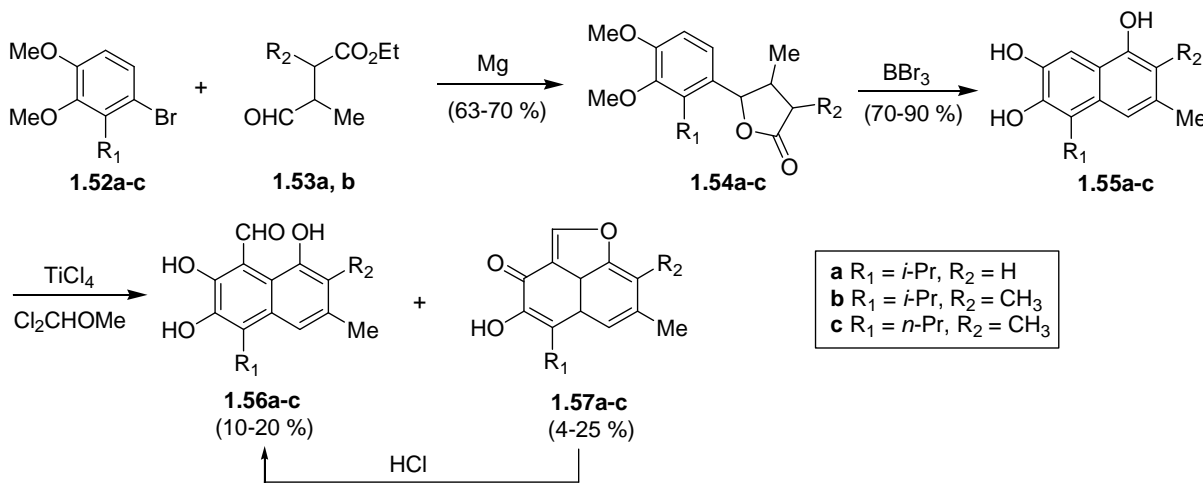


Schéma 10. Synthèse d'analogues de l'hémigossypol substitués en position 2,5 par des groupements alkyles.

Par ailleurs, le 5,5'-didés-*iso*-propyl-5,5'-diéthylgossypol (**1.62**) a été préparé par hémisynthèse à partir du gossypol (Schéma 11).<sup>41</sup> Le gossypol (**1.1**) est traité par de la soude pour donner l'apogossypol (**1.2**), qui est ensuite méthylé pour donner le composé **1.39** (81 % pour les deux réactions). Le dialdéhyde **1.58** est obtenu par traitement avec le méthyldichlorométhyléther en présence de TiCl<sub>4</sub> (70 %). La réaction de Wittig du dialdéhyde **1.58** avec le méthylénetriphénylphosphorane conduit au composé divinylique **1.59** (87 %) qui est hydrogéné pour donner le composé **1.60** (96 %). Les essais de formylation de **1.60** dans un grand nombre de conditions (Vilsmeier-Haack, *N,N*-diphénylformamidine...) ont échoué. Comme les réactions de formylation sont favorisées en *ortho* d'une fonction hydroxyle, **1.60** est déprotégé par BBr<sub>3</sub> puis formylé par le méthyldichlorométhyléther en présence de TiCl<sub>4</sub> pour conduire au composé cible 5,5'-didés-*iso*-propyl-5,5'-diéthylgossypol (**1.62**). Ce composé présente une stabilité modérée, et bien qu'un rendement brut satisfaisant soit obtenu pour les deux étapes, la purification conduit à un rendement en produit final analytiquement pur de seulement 5 % (sur deux étapes depuis **1.60**).

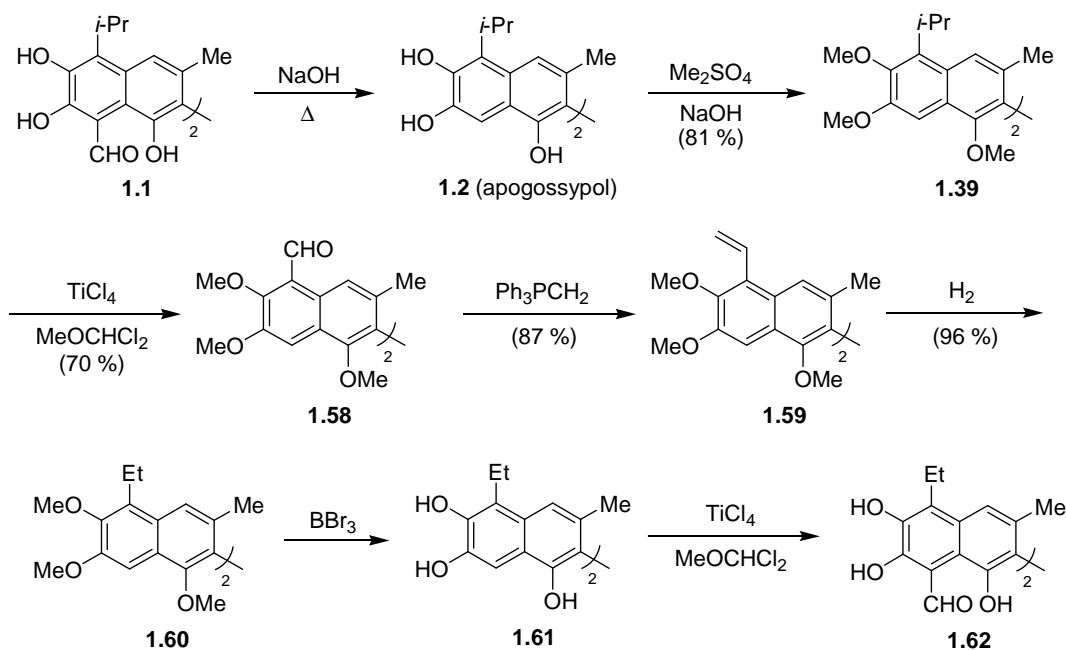


Schéma 11. Synthèse du 5,5'-didés-iso-propyl- 5,5'-diéthylgossypol (1.62)

Parallèlement à nos travaux, le groupe de Pellecchia a développé la synthèse d'analogues de l'apogossypol substitués en position 5,5' par des amides ou des chaînes alkyles.<sup>40</sup>

L'apogossypol protégé **1.39** est préparé comme décrit précédemment à partir du gossypol.<sup>41</sup> Le traitement du composé **1.39** par  $\text{TiCl}_4$  à température ambiante suivie de l'addition du méthyl dichlorométhyléther provoque la perte des groupes *iso*-propyles puis une réaction de bisformylation pour conduire à l'aldéhyde **1.58** (40 %) (Schéma 12). **1.58** est oxydé en acide **1.63** avec l'hypochlorite de sodium (85 %).<sup>37</sup> Le composé **1.63** est ensuite couplé avec différentes amines commerciales en présence de 1-éthyl-3-(3'-diméthylaminopropyl)carbodiimide (EDCI) à température ambiante pour donner les amides **1.64** (40-50 %).<sup>42</sup> La déprotection des composés **1.64** par le tribromure de bore conduit aux analogues de l'apogossypol **1.65** (65-80 %) (Schéma 12).<sup>37</sup>

<sup>40</sup> Wei, J.; Kitada, S.; Rega, M. F.; Stebbins, J. L.; Zhai, D.; Cellitti, J.; Yuan, H.; Emdadi, A.; Dahl, R.; Zhang, Z.; Yang, L.; Reed, J. C.; Pellecchia, M. *J. Med. Chem.* **2009**, 52, 4511.

<sup>41</sup> Meltzer, P. C.; Bickford, H. P.; Lambert, G. J. *J. Org. Chem.* **1985**, 50, 3121.

<sup>42</sup> Yamanoi, Y.; Nishihara, H. *J. Org. Chem.* **2008**, 73, 6671.

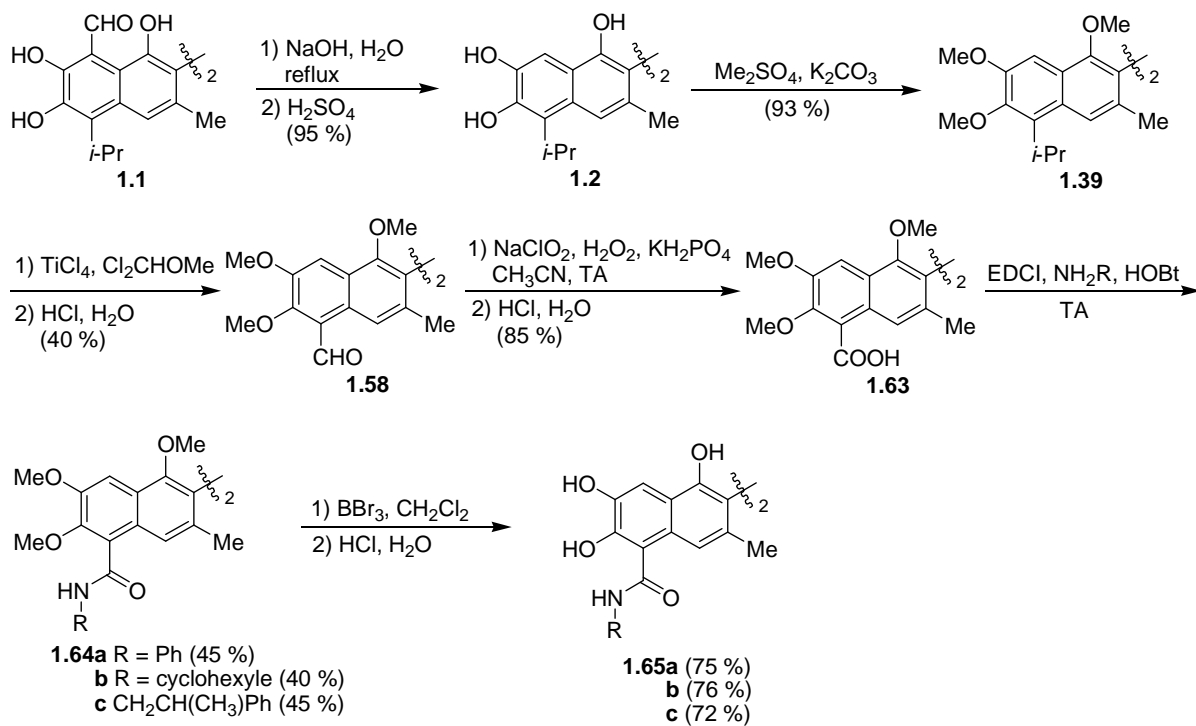


Schéma 12. Synthèse d'analogues de l'apogossypol substitués en position 5,5' par des groupements amides

La synthèse des analogues de l'apogossypol **1.69** substitués par des chaînes alkyles en 5,5' est décrite dans le Schéma 13.<sup>40</sup> Le composé **1.58** est mis en réaction avec divers réactifs de Grignard ou alkyllithiens pour donner les alcools benzyliques **1.66**. Les composés **1.66** bruts sont oxydés par le chlorochromate de pyridinium pour conduire aux cétones **1.67** avec des rendements très modestes ( $\approx 20\%$ ). La fonction cétone de **1.67** est ensuite réduite en groupement alkyle par le triéthylsilane dans l'acide trifluoroacétique (80-90 %). Les éthers méthyliques de **1.68** sont déprotégés par BBr<sub>3</sub> pour conduire aux analogues **1.69** de l'apogossypol substitués en 5,5' par des alkyles (70-80 %).

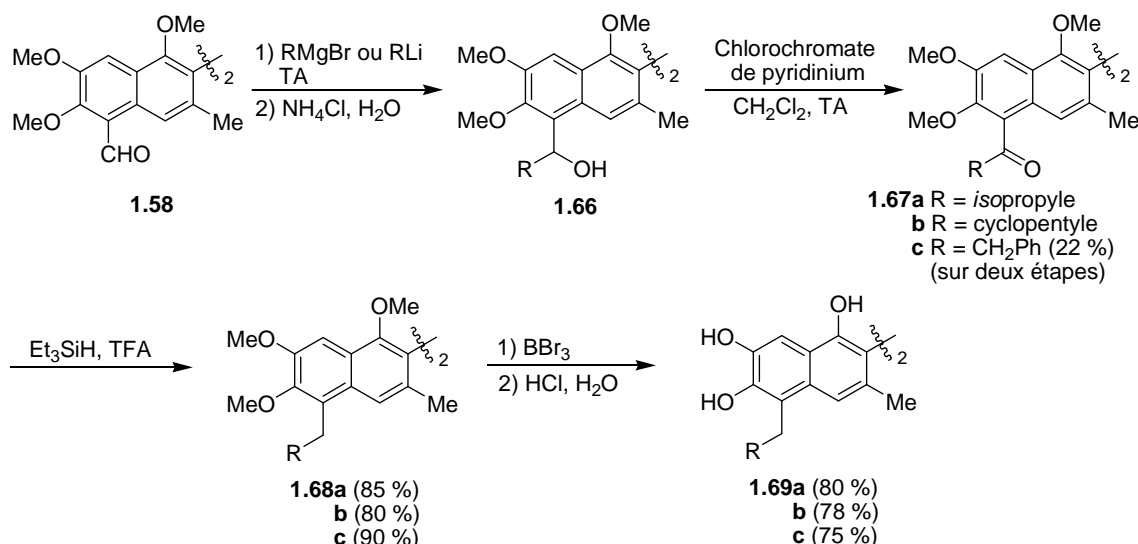


Schéma 13. Synthèse d'analogues de l'apogossypol substitués en position 5,5' par des alkyles

## 6- Biologie du gossypol et de ses dérivés

### 6-1- Activité contraceptive

Les premiers travaux sur les propriétés biologiques du gossypol ont été menés dans le cadre d'études sur son action contraceptive. En effet, une diminution significative de la natalité avait été remarquée en Chine dans les régions de production du coton. Cette observation a été associée aux habitudes alimentaires des populations locales qui utilisaient l'huile des graines de cotonnier dans leurs préparations culinaires. Par la suite, le gossypol a été reconnu comme l'agent responsable de la dénatalité observée.<sup>43</sup> Des études cliniques plus approfondies ont été réalisées dans dix-huit provinces chinoises avec la participation de milliers de volontaires. Elles ont révélé que la dose moyenne de 20 mg/jour pendant deux mois conduit à la stérilité masculine. Toutefois l'inconvénient majeur de ce contraceptif est l'irréversibilité de son action observée chez 10 % des patients un an après l'arrêt du traitement. Une hypokaliémie pouvant conduire à une arythmie cardiaque a également été observée chez 0.75 % des patients. Il a été montré que seul le (–)-gossypol est contraceptif,<sup>44</sup> tandis que la toxicité est comparable pour les deux énantiomères. Une étude structurale sur l'activité contraceptive du gossypol (**1.1**) a révélé que les dérivés éthers méthyliques du gossypol (éther tétraméthylélique ou éther hexaméthylélique du gossypol) sont moins actifs que le gossypol lui-même.<sup>45</sup> Il a été découvert d'autre part que l'activité contraceptive de **1.1** est liée à la présence de la fonction aldéhyde. L'inhibition de la lactase déshydrogénase LDH-C4, indispensable à la capacitation,<sup>46</sup> serait notamment responsable de l'action contraceptive du

<sup>43</sup> (a) Minerva, S. *Ginecol.* **2007**, 59, 299. (b) Coutinho, F. M. *Contraception* **2002**, 65, 259. (c) Qian, S.-Z.; Wang, Z. -G. *Annu. Rev. Pharmacol. Toxicol.* **1984**, 24, 329. (d) Segal, S. J. *Gossypol, a Potential Contraceptive for Men*, Plenum Press, New York, 1985.

<sup>44</sup> Yu, Y.; Deck, A.; Hunsaker, L. A. *Biochem. Pharmacol.* **2001**, 62, 81.

<sup>45</sup> Wichmann, K.; Krusius, T.; Sinervirta, R.; Puranen, J.; Janne, J. *Contraception* **1986**, 33, 519.

<sup>46</sup> La capacitation correspond à l'ensemble des modifications membranaires et intracellulaires qui rendent les spermatozoïdes capables de féconder l'ovocyte.

gossypol.<sup>1b</sup>

## 6-2- Activité antivirale et antiparasitaire

Le gossypol présente une activité antivirale sur les virus enveloppés tels que le virus de l'immunodéficience humaine de type 1 (VIH-1) ou le virus de l'herpès simplex de type 2. Par contre, il n'a aucun effet sur les poliovirus, virus non enveloppés.<sup>47</sup> Les deux énantiomères du gossypol ne montrent pas la même activité antivirale.<sup>47c</sup> Ainsi pour le VIH-1, la concentration inhibitrice à 50 % ( $IC_{50}$ ) est de 5,2  $\mu\text{M}$  pour le (–)-gossypol alors qu'elle atteint 50,7  $\mu\text{M}$  pour l'énanthiomère (+). L'étude de l'activité anti-VIH de divers dérivés du gossypol (iminolactone gossylique **1.70**, acide 1,1'-didésoxygossylique (**1.71**), 1,1'-didésoxygossypol (**1.72**), Figure 4)<sup>37</sup> révèle que les groupements phénoliques en position *péri* 1,1' ne sont pas responsables de l'activité biologique de même que les fonctions aldéhydes du gossypol responsables de la toxicité de cette molécule. L'activité anti-VIH du gossypol est due à l'inhibition de l'enzyme transcriptase inverse VIH-1.<sup>48</sup>

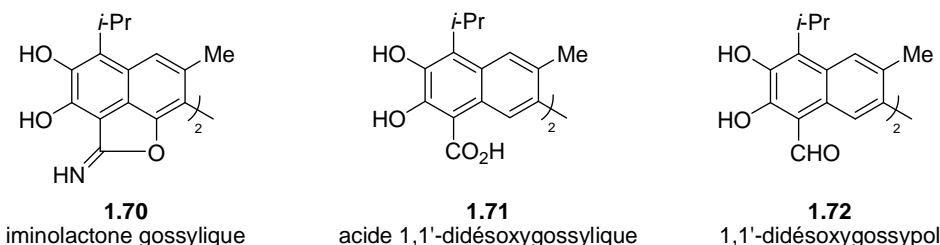


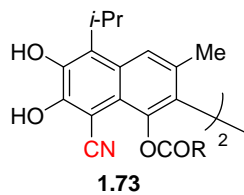
Figure 4: Iminolactone gossylique **1.70**, acide 1,1'-didésoxygossylique (**1.71**) et 1,1'-didésoxygossypol (**1.72**)

L'activité antiparasitaire la plus importante du gossypol est certainement l'inhibition de la croissance du parasite *Plasmodium Falciparum* responsable du paludisme. Des dérivés du gossypol (par exemple les dérivés nitriles gossyliques *péri*-diacyles **1.73**, Figure 5) présentent une activité anti-malaria très intéressante.<sup>10,49</sup> Ils exerçaient leur activité biologique en inhibant la lactate déshydrogénase (LDH) et la malate déshydrogénase (MDH) parasitaire, deux enzymes responsables de la production d'énergie cellulaire.<sup>10</sup>

<sup>47</sup> (a) Radloff, R. J.; Deck, L. M.; Royer, R. E. *Pharmacology Res. Comm.* **1986**, *18*, 1063. (b) Dorsett, P. H.; Kerstine, E. E. *J. Pharm. Sci.* **1975**, *64* (6), 1073. (c) Lin, T. S.; Schinazi, R.; Griffith, B. P.; August, E. M.; Eriksson, B. F. H.; Zheng, D. K.; Huang, L.; Prusoff, W. H. *Antimicrob. Agents Chemother.* **1989**, *33* (12), 2149.

<sup>48</sup> (a) Lin, T. S.; Shinazi, R. F.; Zhu, J. *Biochem. Pharmacol.* **1993**, *46* (2), 251. (b) Keller, P. A.; Birch, C.; Leach, S. P.; Tyssen, D.; Griffith, R. J. *Mol. Graphics Model.* **2003**, *21*, 365.

<sup>49</sup> (a) Royer, R. E.; Deck, L. M.; Campos, N. M.; Hunsaker, L. A.; Vander Jagt, D. L. *J. Med. Chem.* **1986**, *29*, 1799. (b) Razakantoanina, V.; Nguyen, K. P. P.; Jaureguiberry, G. *Parasit. Res.* **2000**, *86*, 665.



**Figure 5.** Dérivés nitriles gossyliques péri-diacyles 1.73

### 6-3- Activité antioxydante et inhibition de la prolifération des kératinocytes

Il est connu que les polyphénols sont des antioxydants puissants et le gossypol ne déroge pas à cette règle. Par ailleurs, il a été montré que le gossypol est un inhibiteur efficace de la prolifération des kératinocytes HPV-16.<sup>1</sup> Ces deux caractéristiques font du gossypol une molécule très intéressante pour le traitement du psoriasis.<sup>50,51</sup>

### 6-4- Activité anticancéreuse

Le gossypol inhibe la croissance de nombreuses lignées cellulaires tumorales *in vitro* (cancer des ovaires, du sein, du col de l'utérus, des poumons, du colon, de la prostate, mélanome...).<sup>52</sup> Les activités sont de l'ordre du micromolaire. Le (–)-gossypol est nettement plus actif que l'énanthiomère (+).<sup>53</sup> Plusieurs brevets ont été déposés<sup>2a,54</sup> et une licence d'exploitation a été acquise par la société Ascenta Therapeutics (San Diego, Californie) pour le développement commercial d'un dérivé du (–)-gossypol (AT 101), actuellement en phase clinique.<sup>55</sup>

Il a été mis en évidence que le gossypol exerce son action tumorale en induisant l'apoptose des cellules tumorales.<sup>56</sup> Les mécanismes de l'apoptose sont régulés par les

<sup>50</sup> Le psoriasis est une affection d'origine génétique qui, à la suite de l'action de certains facteurs tels que des blessures ou une infection, conduit à une surproduction de cellules cutanées, les kératinocytes, qui provoquent un épaissement de la peau avec des parties écailleuses, rouges à la surface. À ce jour, aucun traitement curatif permettant de guérir complètement du psoriasis n'est connu.

<sup>51</sup> Dodou, K.; Anderson, R. J.; Lough, W. J.; Small, D. A. P.; Shelley, M. D.; Groundwater, P. W. *Bioorg. Med. Chem.* **2005**, *13*, 4228.

<sup>52</sup> (a) Ref <sup>1b</sup>. Voir aussi : (b) ref <sup>16</sup>. (c) Gunassekaran, G. R.; Priya, D. K. D.; Gayathri, R.; Sakthisekaran, D. *Biochem. Biophys. Res. Commun.* **2011**, *411*, 661.

<sup>53</sup> Il est à noter que les études de phase cliniques II portent sur le (–)-gossypol et non sur le gossypol racémique. Voir également Qiu, J.; Levin, L. R.; Buck, J.; Reidenberg, M. M. *Exp. Biol. Med.* **2002**, *227*, 398.

<sup>54</sup> (a) Wang, S.; Yang, D. WO2002097053A3, 2002. Voir aussi : (b) Wang, S.; Chen, J.; Keana, J. F. W.; Guao, M.; US20080021110 A1, 2008.

<sup>55</sup> Actuellement en phase clinique II aux Etats-Unis pour des patients atteints de glioblastome, de carcinome cortical adrenal, de cancer de la prostate. Voir : (a) <http://clinicaltrials.gov/ct2/show/NCT00891072> (b) <http://clinicaltrials.gov/ct2/show/NCT00848016> (c) <http://clinicaltrials.gov/ct2/show/NCT00666666> (accessible au 27 octobre 2011).

<sup>56</sup> (a) Wolter, K. G.; Wang, S. J.; Henson, B. S.; Wang, S.; Griffith, K. A.; Kumary, B.; Chen, J.; Carey, T. E.; Bradford, C. R.; D'Silva, N. J. *Neoplasia* **2006**, *8*, 163. (b) Zhang M.; Liu, H.; Tian, Z.; Griffith, B. N.; Ji, M.; Quentin Li, Q. *Life Sciences* **2007**, *80*, 767. (c) Gilbert, N. E.; O'Reilly, J. E.; George Chang, C. J.; Lit, Y. C.; Brueggemeier, R. W. *Life Sciences* **1995**, *57*, 61. (d) Xu, L.; Yang, D.; Wang, S.; Tang, W.; Liu, M.; Davis, M.; Chen, J.; Rae, J. M.; Lawrence, T.; Lippman, M. E. *Mol. Cancer Ther.* **2005**, *4*, 197. (e) Oliver, C. L.; Bauer, J. A.; Wolter, K. G.; Ubell, M. L.; Narayan, A.; O'Connell, K. M.; Fisher, S. G.; Wang, S.; Wu, X.; Ji, M.; Carey, T. E.; Bradford, C. R. *Clin. Cancer Res.* **2004**, *10*, 7757. (f) Chang J. S.; Hsu, Y. L.; Kuo, P. L.; Chiang, L. C.; Lin, C. C. *Clin. Exp. Pharmacol. Physiol.* **2004**, *31* (10), 716. (g) Carruthers, N. J.; Dowd, M. K.; Stemmer, P. M. *Eur. J. Pharmacology* **2007**, *555*, 106. (h) Wang, G.; Nikolovska-Coleska, Z.; Yang, C. Y.; Wang, R.; Tang,

protéines de la famille Bcl-2 qui comprend trois groupes de protéines : les protéines antiapoptotiques à multidomaines BH1-4 (Bcl-2, Bcl-X<sub>L</sub>...), les protéines proapoptotiques à multidomaines BH1-3 (Bax, Bak...) et protéines proapoptotiques à BH3-seulement (Bid, Bad...). La direction ou non vers l'apoptose dans une cellule, est définie par le ratio entre les protéines pro- et antiapoptotiques. En effet, les protéines antiapoptotiques sont capables d'empêcher l'apoptose en formant des hétérodimères avec les protéines proapoptotiques Bax/Bak *via* la poche hydrophobe du domaine BH3. Les protéines proapoptotiques à BH3-seulement peuvent se lier à la poche hydrophobe de Bcl-2 pour libérer Bax/Bak et/ou activer directement Bax/Bak. Lorsque les protéines Bax/Bak sont activées, elles forment des oligomères permettant la perméabilisation de la mitochondrie, point de départ de la mort cellulaire.<sup>57</sup> De nombreuses tumeurs sont caractérisées par une surexpression de protéines antiapoptotiques. Ainsi Bcl-2 est notamment surexprimée dans 80 % des lymphomes à cellules B, dans 30-60 % des cancers de la prostate, dans 90 % des adénocarcinomes colorectaux et Bcl-X<sub>L</sub> est surexprimée, par exemple, dans les cancers du sein et des poumons.<sup>58</sup> L'expression accrue de ces protéines contribue à la prolifération des cellules néoplasiques. De plus, les traitements radiothérapeutiques et cytotoxiques du cancer provoquant indirectement l'apoptose, l'efficacité de ces traitements anticancéreux conventionnels est fortement réduite en présence d'une concentration élevée de Bcl-2. C'est pourquoi, l'inhibition de ces protéines constitue une cible de choix pour restaurer un processus normal d'apoptose dans les cellules cancéreuses et rendre les cellules tumorales plus sensibles aux traitements de chimiothérapie et radiothérapie.

Il a été montré que le gossypol est capable de se lier à une poche hydrophobe présente à la surface des protéines antiapoptotiques de la famille Bcl-2 et ainsi, il permet de restaurer un phénomène normal d'apoptose.<sup>58</sup> Des études de docking basé sur la protéine Bcl-2 ont conduit récemment Pellecchia à sélectionner et tester divers analogues du gossypol. Les deux fonctions aldéhydes sont inutiles pour l'activité anticancéreuse et l'apogossypol (+/-) inhibe Bcl-2 et Bcl-X plus efficacement que le gossypol (+/-) tout en présentant une toxicité moindre et une meilleure stabilité.<sup>5</sup> Par ailleurs, contrairement au gossypol, les deux énantiomères de l'apogossypol présentent une activité anticancéreuse comparable et identique à celle du composé racémique.<sup>59</sup> Les études de docking réalisées suggèrent que l'apogossypol (**1.2**) forme deux liaisons hydrogènes avec les résidus Arg 143 et Tyr 105 de Bcl-2 par l'intermédiaire des groupes hydroxyles respectivement en position 1 et 1' (Figure 6). Des interactions de type liaison hydrogène impliquent également les résidus Trp 141 et Tyr 199 de Bcl-2 ainsi que le groupement hydroxyle en position 6' de **1.2**. Les deux groupements isopropyles s'insèrent dans deux poches hydrophobes de Bcl-2 (P1 et P2). Toutefois, il apparaît

G.; Guo, J. *J. Med. Chem.* **2006**, *49*, 6139. (i) Volate, S. R.; Kawasaki, B. T.; Hurt, E. M.; Milner, J. A.; Kim, Y. S.; White, J.; Farrar, W. L. *Mol. Cancer Ther.* **2010**, *9* (2), 461. (j) Pang, X.; Wu, Y.; Wu, Y.; Lu, B.; Chen, J.; Wang, J.; Yi, Z.; Qu, W.; Liu, M. *Mol. Cancer Ther.* **2011**, *10*, 795. (k) Balakrishnan, K.; Wierda, W. G.; Keating M. J.; Gandhi, V. *Blood* **2008**, *112* (5), 1971. (l) Sung, B.; Ravindran, J.; Prasad, S.; Pandey, M. K.; Aggarwal, B. B. *J. Biol. Chem.* **2010**, *285* (46), 35418.

<sup>57</sup> Johnstone, R. W.; Ruefli, A. A.; Lowe, S. W. *Cell* **2002**, *108*, 153.

<sup>58</sup> Kitada, S.; Leone, M.; Sareth, S.; Zhai, D.; Reed, J. C.; Pellecchia, M. *J. Med. Chem.* **2003**, *46*, 4259.

<sup>59</sup> Wei, J.; Rega, M. F.; Kitada, S.; Yuan, H.; Zhai, D.; Risbood, P.; Seltzman, H. H.; Twine, C. E.; Reed, J. C.; Pellecchia, M. *Cancer Letters* **2009**, *273*, 107.

que ces deux alkyles n'occupent pas totalement ces poches hydrophobes et qu'il serait préférable de les remplacer par des groupes hydrophobes stériquement plus importants.

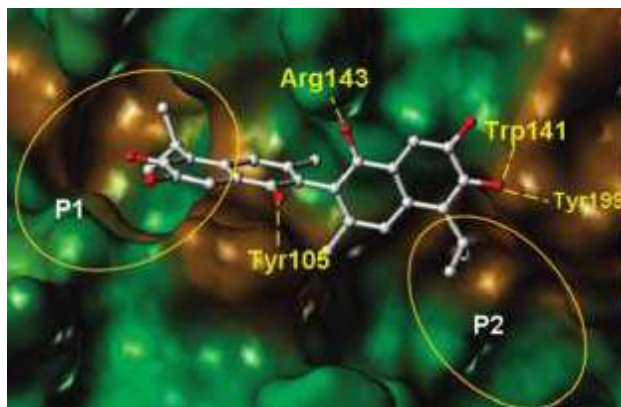


Figure 6: Interactions moléculaires entre l'apogossypol et Bcl-2

Une série d'analogues substitués en position 5,5' par divers groupements hydrophobes (alkyles, cétones, amides) a donc été synthétisée par l'équipe de Pellecchia et leur effet sur la viabilité cellulaire de lignées cellulaires cancéreuses surexprimant Bcl-2 a été mesuré.<sup>40</sup> Les tests effectués ont confirmé qu'il est possible d'améliorer l'interaction avec Bcl-2 en remplaçant les groupements *iso*-propyles en 5,5' par des groupements hydrophobes plus longs et plus flexibles. Parmi les différents analogues de l'apogossypol testés, les dérivés **1.74** et **1.75**<sup>60</sup> (Figure 7) apparaissent comme des inhibiteurs de Bcl-2 et Bcl-X particulièrement prometteurs<sup>40,61</sup> et montrent une efficacité sur des cellules cancéreuses surexprimant Bcl-2 supérieure à celle de l'apogossypol (**1.2**). Le composé **1.76**, un analogue de l'apogossypolone<sup>62</sup> **1.77**, semble également particulièrement efficace.<sup>63</sup>

<sup>60</sup> Racémique ou optiquement pur.

<sup>61</sup> (a) Wei, J.; Kitada, S.; Rega, M. F.; Emdadi, A.; Yuan, H.; Cellitti, J.; Stebbins, J. L.; Zhai, D.; Sun, J.; Yang, L.; Dahl, R.; Zhang, Z.; Wu, B.; Wang, S.; Reed, T. A.; Lawrence, N.; Sebti, S.; Reed, J. C.; Pellecchia, M. *Mol. Cancer Ther.* **2009**, 8, 904. (b) Wei, J.; Stebbins, J. L.; Kitada, S.; Dash, R.; Placzek, W.; Rega, M. F.; Wu, B.; Cellitti, J.; Zhai, D.; Yang, L.; Dahl, R.; Fisher, P. B.; Reed, J. C.; Pellecchia, M. *J. Med. Chem.* **2010**, 53, 4166.

<sup>62</sup> La gossypolone résulte de l'oxydation du gossypol. Elle présente également une activité anticancéreuse. (a) Shelley, M. D.; Hartley, L.; Fish, R. G.; Groundwater, P.; Morgan, J. J. G.; Mort, D.; Mason, M.; Evans, A. *Cancer Lett.* **1999**, 135, 171. (b) Flack, M. R.; Knazek, R.; Reidenberg, M. U.S. Patent 40862, 2009. L'apogossypolone **1.77** est un inhibiteur de Bcl-2 présentant une activité anticancéreuse notable. (a) Wang, S.; Nikolovska-Coleska, Z.; Yang, C.-Y.; Chen, J. WO 2006050447 A2, 2006. (b) Sun, J.; Li, Z.-M.; Hu, Z.-Y.; Zeng, Z.-L.; Yang, D.-J.; Jiang, W.-Q. *Oncol. Rep.* **2009**, 22, 193. (c) Arnold, A. A.; Aboukameel, A.; Chen, J.; Yang, D.; Wang, S.; Al-Katib, A.; Mohammad, R. M. *Mol. Cancer* **2008**, 7, 20.

<sup>63</sup> Wei, J.; Kitada, S.; Stebbins, J. L.; Placzek, W.; Zhai, D.; Wu, B.; Rega, M. F.; Zhang, Z.; Cellitti, J.; Yang, L.; Dahl, R.; Reed, J. C.; Pellecchia, M. *J. Med. Chem.* **2010**, 53, 8000.

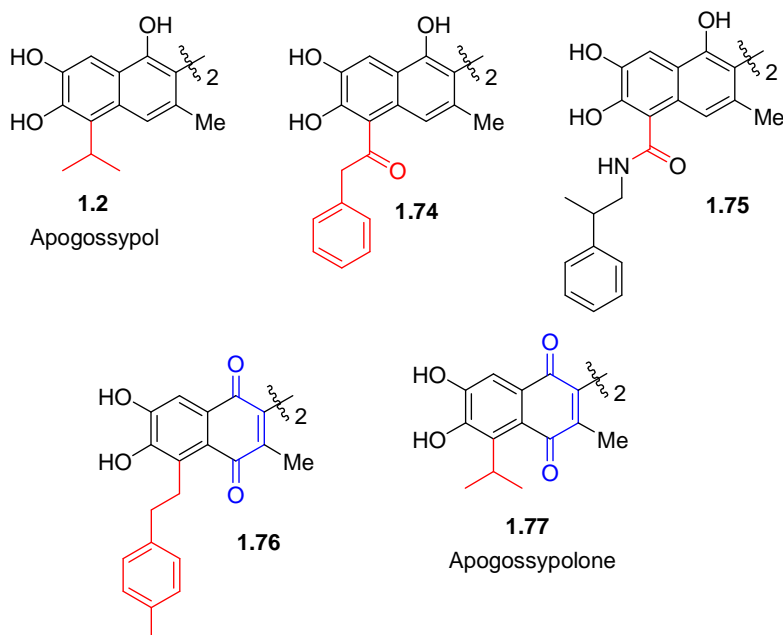


Figure 7. Structures de l'apogossypol (1.2), de l'apogossypolone (1.77) et de leurs analogues 1.74-1.76

## 7- Synthèse totale racémique d'analogues structuraux de l'apogossypol — Résultats antérieurs

Dans le schéma rétrosynthétique envisagé (Schéma 2), les réactions d'*ortho*-métallation et de métallation à distance d'acides benzoïques et naphtoïques substitués interviennent comme étapes clés à trois niveaux. Dans ce paragraphe, quelques rappels bibliographiques sur la métallation des acides benzoïques et naphtoïques sont présentés. Les résultats obtenus précédemment au laboratoire sur la synthèse d'analogues du gossypol en utilisant les réactions d'*ortho*-lithiation sont également résumés.

### 7-1- *Ortho*-métallation des acides benzoïques et naphtoïques

Pendant longtemps, la fonction acide carboxylique a été considérée comme incompatible avec l'utilisation d'organolithiens. Il était généralement admis que l'organolithien en excès additionne le carboxylate **1.79** pour conduire à un intermédiaire dilithié tétraédrique **1.80** (Schéma 14). La formation de l'alcool **1.83** se produit lorsque la cétone **1.81**, qui est formée par décomposition de l'intermédiaire tétraédrique *avant* hydrolyse réagit avec une troisième molécule d'organolithien pour donner **1.82**. À des températures supérieures à 20 °C, l'attaque nucléophile devient compétitive avec la déprotonation de l'acide carboxylique et l'intermédiaire **1.84** est formé.<sup>64</sup>

<sup>64</sup> Einhorn, C.; Einhorn, J.; Luche, J.-L. *Tetrahedron Lett.* **1991**, 32, 2771.

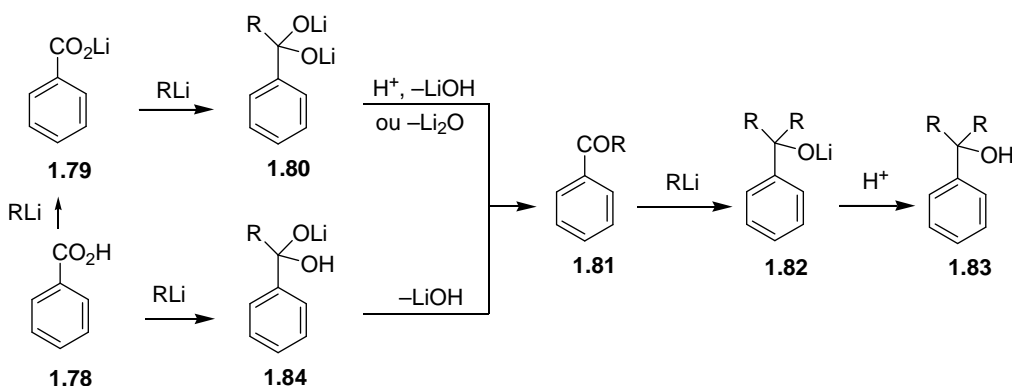


Schéma 14. Formation de cétone et d'alcool tertiaire à partir de l'acide benzoïque et de RLi

Beak, Meyers et Snieckus ont tenté de contourner la difficulté en préconisant l'emploi de groupes *ortho*-directeurs protégés tels que les fonctions dialkylamide tertiaire et oxazoline.<sup>65</sup> Cependant, la déprotection de ces groupements nécessite des conditions souvent drastiques (HCl 12*N* au reflux pour les amides tertiaires) incompatibles avec de nombreuses fonctions chimiques. En fonction du type de substitution choisi, l'hydrolyse peut même devenir impossible.

Dans ce contexte, des conditions expérimentales permettant de métallier le cycle aromatique, sans protection préalable de la fonction acide carboxylique, ont été mises au point précédemment dans l'équipe. L'agent métallant utilisé peut être le complexe 1:1 *s*-BuLi/TMEDA (THF, -78 °C) mais les bases amidures et organopotassiques de type Lochmann-Schlosser sont également efficaces dans certains cas.<sup>66</sup>

Relativement aux groupes *ortho*-directeurs connus, la fonction CO<sub>2</sub>H présente un pouvoir *ortho*-directeur moyen. Même si cela peut paraître paradoxal au premier abord, cette caractéristique est plutôt un avantage. En effet, alors que les groupes amides secondaire ou tertiaire et oxazoline acidifient comparativement beaucoup trop fortement leur position adjacente qui est exclusivement métallée, quelles que soient les conditions réactionnelles utilisées, il est possible avec les dérivés d'acides benzoïques de changer la position de métallation en modulant les conditions expérimentales, notamment en changeant la base. Ainsi, les alkylolithiens réagissent la plupart du temps selon un mécanisme de type CIPE (Complex Induced Proximity Effect) sous contrôle cinétique<sup>67</sup> et la position *ortho* du carboxylate est souvent la seule métallée. L'effet CIPE résume l'échange hydrogène-lithium

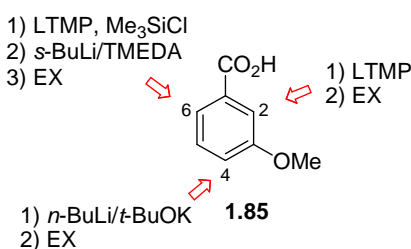
<sup>65</sup> (a) Snieckus, V. *Chem. Rev.* **1990**, 90, 879. (b) Quéguiner, G.; Marsais, F.; Snieckus, V.; Epszajn, J. *Adv. Heterocyclic Chem.* **1991**, 52, 187. (c) Schlosser, M. *Organometallics in Synthesis. A Manual*; Wiley: Chichester, 2nd Edition, 2002.

<sup>66</sup> (a) Gohier, F.; Castanet, A.-S.; Mortier, J. *Org. Lett.* **2003**, 5, 1919. (b) Gohier, F.; Mortier, J. *J. Org. Chem.* **2003**, 68, 2030. (c) Tilly, D.; Samanta, S. S.; De, A.; Castanet, A.-S.; Mortier, J. *Org. Lett.* **2005**, 7, 827. (d) Tilly, D.; Castanet, A.-S.; Mortier, J. *Chem. Lett.* **2005**, 34, 446. (e) Gohier, F.; Castanet, A.-S.; Mortier, J. *Synth. Comm.* **2005**, 35, 831. (f) Gohier, F.; Castanet, A.-S.; Mortier, J. *J. Org. Chem.* **2005**, 70, 1501. (g) Nguyen, T. H.; Chau, N. T. T.; Castanet, A.-S.; Nguyen, K. P. P.; Mortier, J. *Org. Lett.* **2005**, 7, 2445. (h) Tilly, D.; Samanta, S. S.; Castanet, A.-S.; De, A.; Mortier, J. *Eur. J. Org. Chem.* **2006**, 7, 827. (i) Tilly, D.; Castanet, A.-S.; Mortier, J. *Tetrahedron Lett.* **2006**, 47, 1121. (j) Nguyen, T. H.; Castanet, A.-S.; Mortier, J. *Org. Lett.* **2006**, 8, 765.

<sup>67</sup> Whisler, M. N.; MacNeil, S.; Snieckus, V.; Beak, P. *Angew. Chem. Int. Ed.* **2004**, 43, 2206.

en deux étapes : dans un premier temps, un complexe de préolithiation se forme entre l'organolithien (acide de Lewis) et le groupe directeur de métallation (base de Lewis). Cette complexation entraîne des perturbations d'ordre stéreoélectronique, stérique, inductif, et de résonance, au niveau de la molécule et l'effet de proximité facilite la déprotonation en *ortho*. Les bases amidures métallent le substrat sous contrôle thermodynamique avec une régiosélectivité généralement différente des alkyllithiens. La base de Lochmann-Schlosser LiCKOR (*n*-BuLi/*t*-BuOK, ratio 1:1),<sup>68</sup> plus "vorace" et moins sélective, est davantage sensible à l'encombrement stérique et réagit préférentiellement en *ortho* du groupe *ortho*-directeur le plus électronégatif.

La différence de réactivité entre les différentes bases est parfaitement illustrée lors de la métallation de l'acide 3-méthoxybenzoïque (**1.85**).<sup>66j</sup> Ainsi le 2,2,6,6-tétraméthylpipéridure de lithium (LTMP) métalle sélectivement la position C2. Traité par le mélange superbasique (*n*-buyllithium/*tert*-butanolate de potassium à -50 °C), l'acide **1.85** est métallé sélectivement en C4. Les acides 3-méthoxybenzoïques substitués en C6 peuvent être synthétisés en utilisant la séquence {(1) LTMP, Me<sub>3</sub>SiCl, -78 °C; (2) *s*-BuLi/TMEDA, -78 °C > -30 °C; (3) EX; (4) H<sub>3</sub>O<sup>+</sup>}.



**Figure 8. Métallation régioflexible de l'acide 3-méthoxybenzoïque (1.85)**

La réactivité des acides naphtoïques vis-à-vis des bases lithiées est relativement complexe. Une étude réalisée précédemment au sein du laboratoire a permis de montrer que les bases alkyllithiées donnent des réactions d'addition-1,4 avec les acides 1- et 2-naphtoïques (**1.86**) et (**1.87**) (Schéma 15).<sup>69</sup> Lorsque **1.88** et **1.89** sont piégés par l'addition d'un électrophile, la réaction conduit aux acides dihydronaphtoïques 1,1,2-trisubstitués **1.90** et **1.91**.

<sup>68</sup> Revues : (a) Lochmann, L. *Eur. J. Inorg. Chem.* **2000**, 1115. (b) Schlosser, M. *Eur. J. Org. Chem.* **2001**, 3975. (c) Schlosser, M. *Pure Appl. Chem.* **1988**, 60, 1627.

<sup>69</sup> (a) Plunian, B.; Mortier, J.; Vaultier, M. *J. Org. Chem.* **1996**, 61, 5206. (b) Mortier, J.; Vaultier, M.; Plunian, B.; Sinbandhit, S. *Can. J. Chem.* **1999**, 77, 98 et références citées. (c) Plunian, B.; Vaultier, M.; Mortier, J. *Chem. Comm.* **1998**, 1, 81.

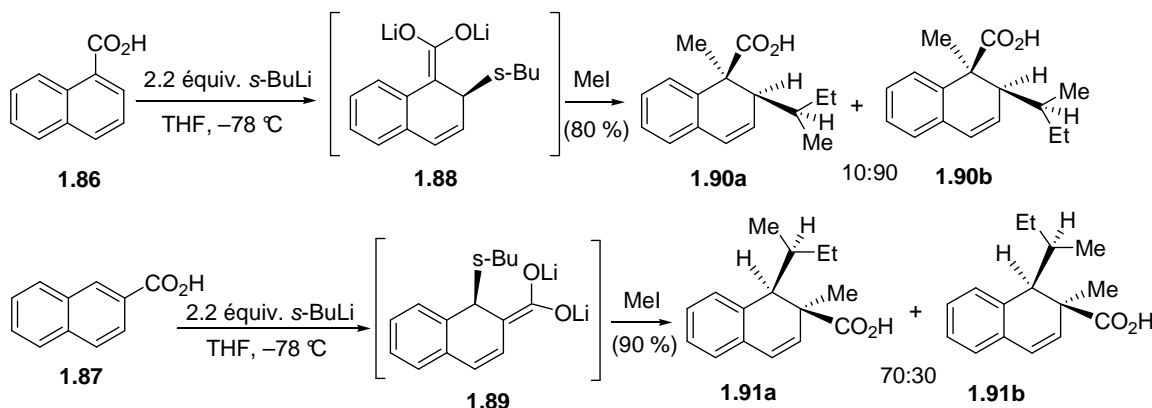


Schéma 15. Addition conjuguée des organolithiens aux acides 1- et 2-naphtoïques

Par ailleurs, la réactivité des acides 1- et 2-naphtoïques vis-à-vis des amidures de lithium encombrés a été étudiée (Schéma 16). Alors que **1.86** ne réagit pas dans les conditions de piégeage externe pour donner **1.93**, le mélange LTMP/TMSCl, (technique de piégeage *in situ*) permet d'obtenir l'acide 2-triméthylsilylnaphtoïque (**1.94**) avec un rendement de 65 %. Bien que l'équilibre entre **1.86** et **1.92** soit très déplacé vers la gauche, la vitesse de réaction du LTMP avec TMSCl est lente et ce dernier réagit avec **1.92** de façon irréversible pour conduire au composé *ortho*-silylé **1.94**.<sup>66d</sup>

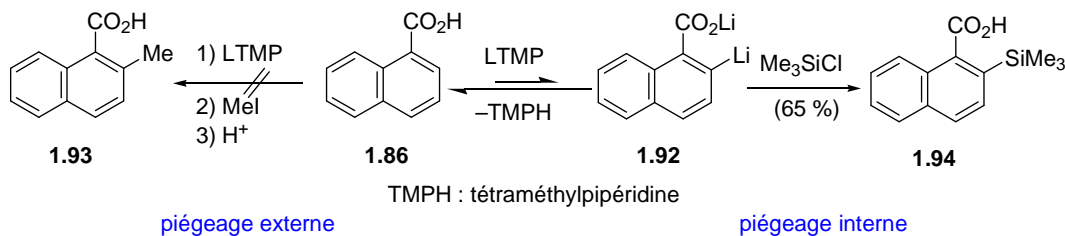


Schéma 16. Métallation de l'acide 1-naphtoïque (1.86) par LTMP

Enfin, l'utilisation de 4 équiv. de base LICKOR (formée à partir du mélange stoechiométrique *n*-BuLi/*t*-BuOK) dans le THF à -78 °C conduit à la déprotonation de l'acide 1-naphtoïque (**1.86**) en position *ortho* et péricyclique (Schéma 17).

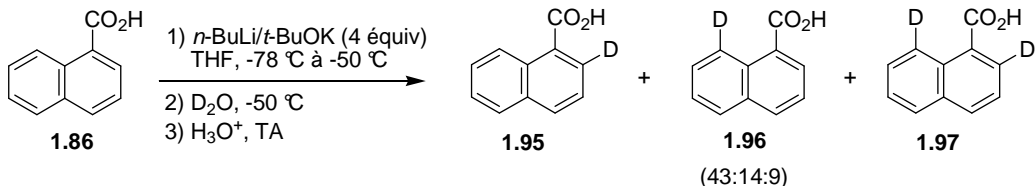


Schéma 17. Métallation de l'acide 1-naphtoïque (1.86) par LICKOR

A ce jour, aucune méthode efficace d'*ortho*-métallation de l'acide 2-naphtoïque (**1.87**) n'a été trouvée.

## 7-2- Synthèse d'analogues du gossypol – Études préliminaires

Dans le schéma rétrosynthétique initialement proposé (Schéma 2), les modifications

structurales peuvent être apportées à plusieurs étapes de la synthèse : par *ortho*-lithiation de **1.8** ou par métallation latérale de **1.7**, **1.6** ou **1.4**.

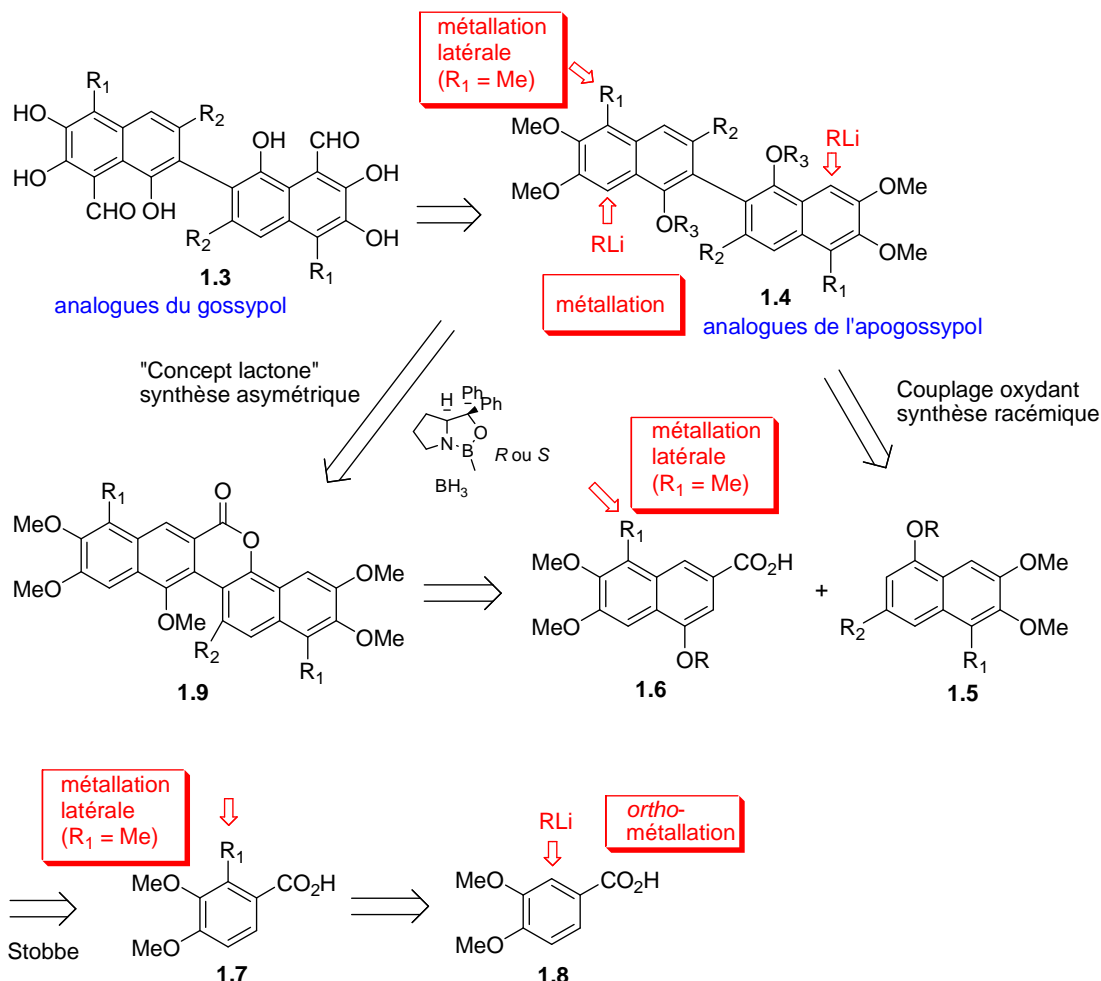


Schéma 2. Rétrosynthèse des analogues du gossypol et de l'apogossypol

Des conditions réactionnelles permettant l'*ortho*-méttallation de **1.8** et la métallation latérale de **1.7** et **1.6a** ( $R = R_1 = \text{Me}$ ) ont été mise au point par Thanh Chau précédemment au laboratoire.<sup>70</sup>

Ainsi, la première méthode générale de préparation d'acides vératriques substitués en position 2 a été décrite. La métallation de l'acide **1.8** par LTMP suivie du piégeage (externe) par divers électrophiles permet d'isoler avec des rendements corrects les acides **1.98** substitués en position 2, utilisés comme précurseurs dans de nombreuses synthèses de pesticides ou de composés pharmaceutiques (Schéma 18).<sup>71</sup> Lorsque LTMP et TMSCl sont

<sup>70</sup> Voir Chau, N. T. T., thèse de doctorat, Université du Maine, 2008. [http://tel.archives-ouvertes.fr/docs/00/32/28/32/PDF/2008-09-17\\_TheseThanhChau.pdf](http://tel.archives-ouvertes.fr/docs/00/32/28/32/PDF/2008-09-17_TheseThanhChau.pdf) (accessible au 15 octobre 2011)

<sup>71</sup> Pour des applications de l'acide 3,4-diméthoxy-2-méthylbenzoïque, voir par exemple (a) Dressman, B. A.; Fritz, J. E.; Hammond, M.; Hornback, W. J.; Kaldor, S. W.; Kalish, V. J.; Munroe, J. E.; Reich, S. H.; Tatlock, J. H.; Shepherd, T. A.; Rodriguez, M. J.; Jungheim, L. N. World Patent WO9509843, 1995. (b) Golding, B. T.; Griffin, R. J.; Quarterman, C. P.; Slack, J. A.; Williams, J. G. U.S. Patent US6258840B1, 2001. Acide 2-chloro-3,4-diméthoxybenzoïque (c) Michelotti, E. L.; Springman, E. B.; Nguyen, D.; Shetty, R. S.; Lee, Y.; Moffett, K.

utilisés dans des conditions de piégeage *in situ*,<sup>72</sup> un changement complet de régiosélectivité est observé et l'acide 4,5-diméthoxy-2-triméthylsilylbenzoïque (**1.99**) est majoritairement formé.<sup>73</sup>

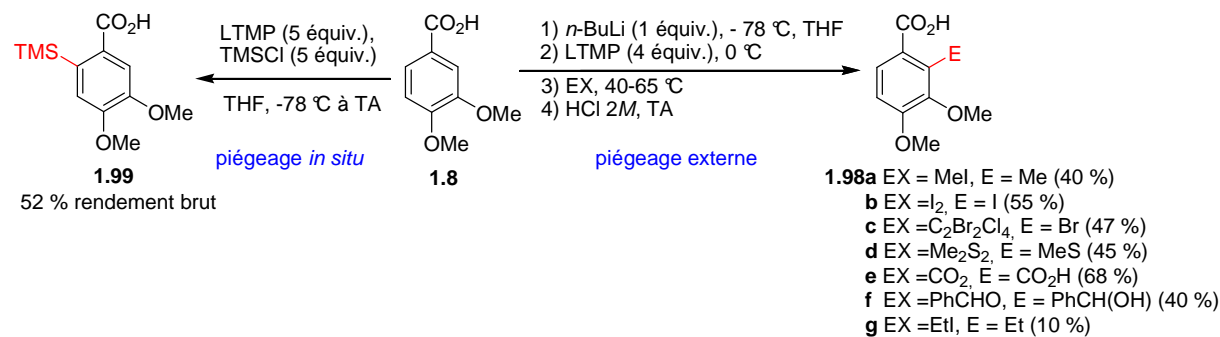


Schéma 18. Métallation de l'acide vératrique (1.8)

Les résultats obtenus peuvent être rationalisés de la façon suivante. Le fait que la réaction de **1.8** par LTMP/TMSCl dans les conditions de piégeage *in situ* ne soit pas régiosélective est une indication forte que les trois dianions **1.100-1.102** ont été formés. Dans les conditions de piégeage externe, il y a isomérisation des 5-lithio- et 6-lithio 3,4-diméthoxybenzoates de lithium (**1.100** et **1.101**), grâce à une séquence protonation/déprotonation faisant intervenir la 2,2,6,6-tétraméthylpipéridine (TMP)/LTMP, pour donner **1.102** lithié en C2 qui est thermodynamiquement plus stable (Schéma 19).<sup>74</sup>

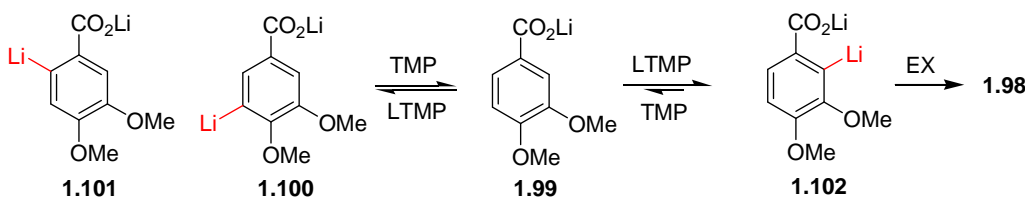


Schéma 19. Mécanisme de formation de **1.98**

En règle générale, les alkylbenzènes à chaîne longue sont difficilement accessibles par réaction directe d'un aryllithien avec un halogénure d'alkyle. Ainsi, la réaction de EtI avec le dianion **1.102** conduit à l'acide 2-éthyl-3,4-diméthoxybenzoïque (**1.98g**) avec un rendement très faible (10 %). Or la réaction de métallation latérale (en position benzylique) a été largement étudiée dans la littérature et les anions benzyliques sont souvent plus réactifs vis-à-

K.; Ludington, J. L.; Fujimoto, T. T.; Konteatis, Z. D.; Liu, B.; Hollinger, F.; Dorsey, B. D. WO06062982A2, 2006. (d) Blaszykowski, C.; Aktoudianakis, E.; Bressy, C.; Alberico, D.; Lautens, M. *Org. Lett.* **2006**, 8, 2043. (e) Betzemeier, B.; Krist, B.; McConnell, D.; Steurer, S.; Impagnatiello, M.; Weyer-Czernilofsky, U.; Hilberg, F.; Brueckner, R.; Daimann, G.; Heckel, A.; Kley, J.; Lehmann-Lintz, T.; Roth, G. European Patent EP1645556A1, 2006.

<sup>72</sup> Piégeage *in situ* : le substrat est ajouté à une solution contenant LTMP et TMSCl, voir Krizan, T. D.; Martin, J. C. *J. Am. Chem. Soc.* **1983**, 105, 6155 et références citées.

<sup>73</sup> Les acides 3,4-diméthoxy-2-triméthylsilylbenzoïque et 3,4-diméthoxy-5-triméthylsilylbenzoïque sont formés avec des rendements bruts inférieurs à 10 %.

<sup>74</sup> En raison de l'effet coopératif des groupements CO<sub>2</sub>Li et OMe qui stabilise l'anion lithié dans la position *ortho* commune par complexation.

vis des halogénures d'alkyle à chaîne longue.<sup>75</sup> Afin de disposer d'une synthèse permettant l'accès à des analogues du gossypol présentant en position 5,5' de longues chaînes alkyles, la réaction de métallation latérale de l'acide 2-méthylvératrique (**1.98a**) a été étudiée. Dans les conditions optimales {(1) LDA (5 équiv, TA, 2 h), (2) MeI (8 équiv, TA, 3 h)}, l'acide 3,4-diméthoxy-2-éthylbenzoïque (**1.98g**) est obtenu avec un rendement brut de 90 %.<sup>76</sup> L'acide 2-*n*-propylvératrique (**1.98h**), formé avec un rendement de 62 %, est un précurseur de l'analogue *n*-propylé du gossypol **1.103** de même formule brute que le gossypol et dont la préparation constitue un objectif immédiat (Schéma 20).

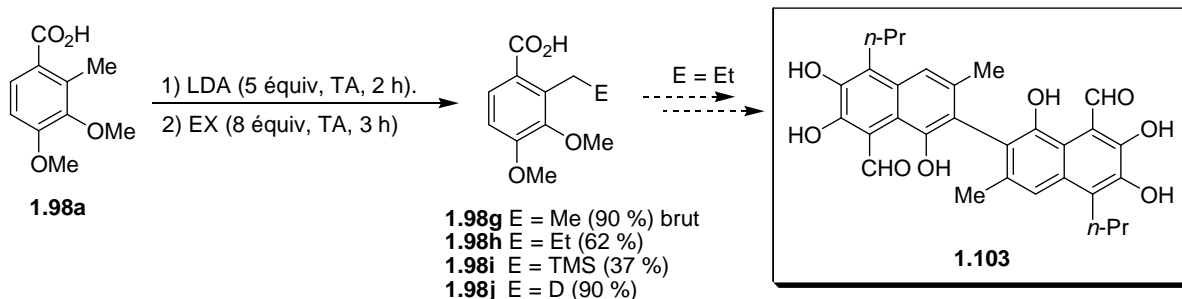


Schéma 20. Métallation latérale de l'acide 2-méthylvératrique (**1.98a**)

Pour la synthèse des analogues du gossypol, il peut cependant apparaître plus intéressant d'introduire la diversité structurale à un stade plus avancé de la synthèse.

En principe, la métallation latérale de **1.104** ou **1.6a** suivie d'une réaction d'alkylation devrait donner, via **1.105** ou **1.106**, les acides naphtoïques **1.107** ou **1.108** possédant un substituant alkyle. La réduction du carboxylate des composés **1.107** ou **1.108** suivie de la dimérisation du naphtalène obtenu devrait fournir les dérivés de l'apogossypol **1.109**. (Schéma 21).

<sup>75</sup> Clark, R. D.; Jahangir, A. *Org. Reactions* **1995**, 47, 1.

<sup>76</sup> Rendement brut. Le composé **1.98g** n'est pas aisément purifié par recristallisation ou chromatographie sur gel de silice.

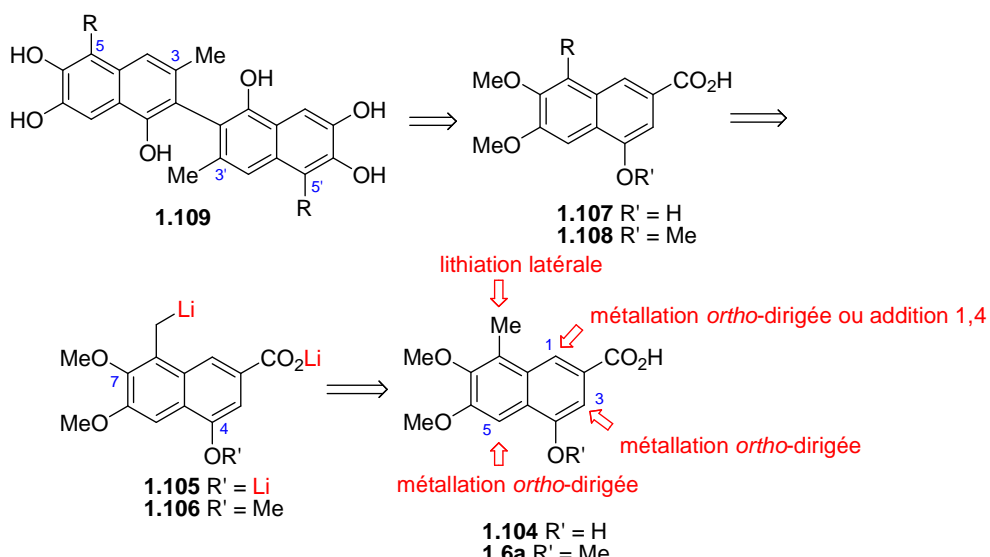


Schéma 21. Rétrosynthèse des composés 5,5'-didés-iso-propyl-5,5'-dialkylapogossypol 1.109

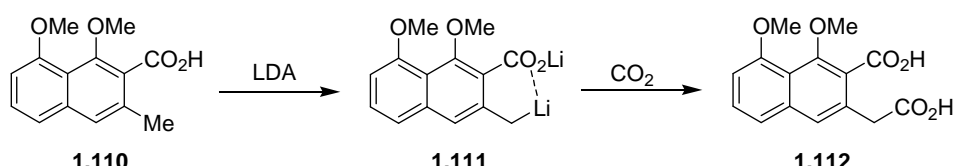
Cependant, les acides 1- et 2-naphtoïques ont une réactivité complexe vis-à-vis des organolithiens (voir paragraphe 7-1, page 25). Par conséquent, les composés **1.104** et **1.6a** sont également potentiellement métallables par les bases fortes en *ortho* du carboxylate et/ou des méthoxy en position 1, 3, ou 5. Le groupe  $\text{CO}_2\text{Li}$  pourrait également favoriser l'addition 1,4 du réactif organométallique au système  $\pi$  du naphtalène. De plus, la réaction de lithiation latérale des composés aromatiques nécessite la présence en *ortho* d'un groupement qui soit capable de délocaliser une charge négative ou de stabiliser l'anion par coordination.<sup>75,77</sup> Alors que la lithiation latérale de l'acide *ortho*-toluïque est facilement réalisée par traitement avec la base LDA, la réaction de l'*ortho*-méthylanisole avec les bases lithiées conduit à la formation concurrente des produits d'*ortho*-lithiation.<sup>75,77</sup> Par ailleurs, à notre connaissance, un seul exemple de lithiation latérale d'un dérivé de l'acide naphtoïque a été mentionné dans la littérature.<sup>78</sup>

Comme la lithiation latérale de **1.104** implique la formation d'un trianion **1.105** qui est sans précédent dans la série du naphtalène, la métallation de l'acide 4,6,7-triméthoxy-8-méthylbenzoïque **1.6a** a été testée de façon préliminaire. LTMP (5 équiv.) déprotoonne latéralement l'acide **1.6a** et l'alkylation ultérieure avec  $\text{MeI}$  et  $\text{EtI}$  conduit efficacement aux produits **1.108a** (90 %) et **1.108b** (77 %). Avec le diméthylsulfure, le produit monoalkylé

<sup>77</sup> Clayden, J. *Organolithiums: Selectivity for Synthesis*; Pergamon: Oxford, 2002.

<sup>78</sup> Dolbier, W. R.; Enoch, H. O. *J. Am. Chem. Soc.* **1977**, 99, 4533.

Le composé **1.110** est converti, par réaction avec le LDA, en dianion **1.111** stabilisé par coordination du lithium avec le carboxylate. Le piégeage de l'anion par la carboglace suivie d'une hydrolyse acide conduit à l'acide naphtalèneacétique **1.112** (~85 %).



**1.108d** est remétallé pendant le piégage pour conduire au composé **1.108c**.<sup>79</sup> L'utilisation de LTMP/TMSCl dans les conditions de piégeage *in situ*<sup>80</sup> permet d'isoler **1.108e** avec un rendement de 88 %.

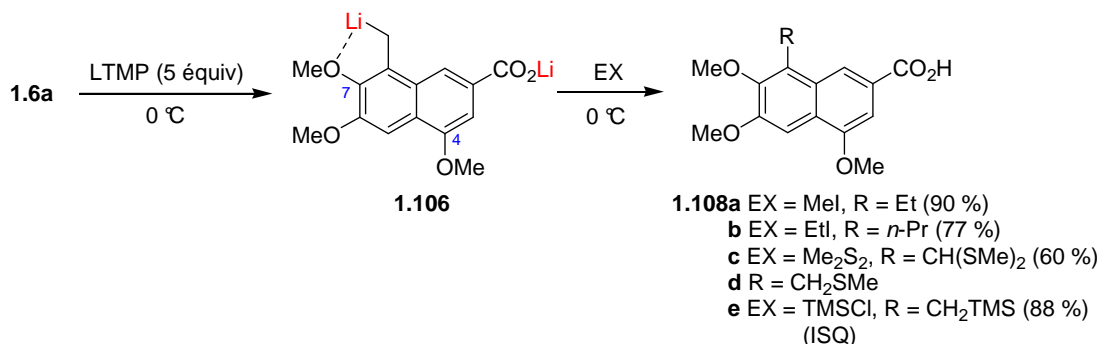


Schéma 22. Métallation latérale de l'acide 4,6,7-triméthoxy-8-méthyl-2-naphtoïque (1.6a)

N'ayant pas trouvé de conditions réactionnelles efficaces pour dimériser les naphtalènes **1.108**, il est apparu nécessaire de mettre au point la métallation latérale du composé **1.104**. Ceci a constitué l'un des objectifs de ma thèse.

## 8- Synthèse totale racémique d'analogues structuraux de l'apogossypol — Résultats

La préparation de l'acide naphtoïque **1.104** est décrite dans le Schéma 23. La réduction de l'acide 3,4-diméthoxy-2-méthylbenzoïque (**1.98a**)<sup>81</sup> par LiAlH<sub>4</sub>/PCC<sup>82</sup> donne l'aldéhyde **1.113**. Le composé **1.113** est soumis à des conditions de condensation de Stobbe<sup>6d</sup> en utilisant *t*-BuOK et le succinate de diméthyle pour donner l'hémiester **1.114** qui n'est pas isolé mais directement mis en réaction avec l'acétate de sodium dans AcOH/Ac<sub>2</sub>O (1:1). Après saponification, l'acide naphtoïque **1.104** est isolé avec un rendement de 68 % (calculé sur 3 étapes).

<sup>79</sup> La remétallation de **1.108d** est vraisemblablement plus rapide que la destruction de l'excès de LTMP par l'électrophile. Voir ref<sup>66f</sup>.

<sup>80</sup> **1.6a** est ajouté à un mélange de LTMP/TMSCl à -78 °C. Voir ref<sup>72</sup>.

<sup>81</sup> Préparé par métallation de l'acide vératrique avec LTMP (4 équiv.) à 0 °C suivie du piégeage du dianion par l'iodométhane. Voir: Chau, N. T. T.; Nguyen, T. H.; Castanet, A.-S.; Nguyen, K. P. P.; Mortier, J. *Tetrahedron* **2008**, *64*, 10552.

<sup>82</sup> Borchardt, R. T.; Bhatia, P. *J. Med. Chem.* **1982**, *25*, 263.

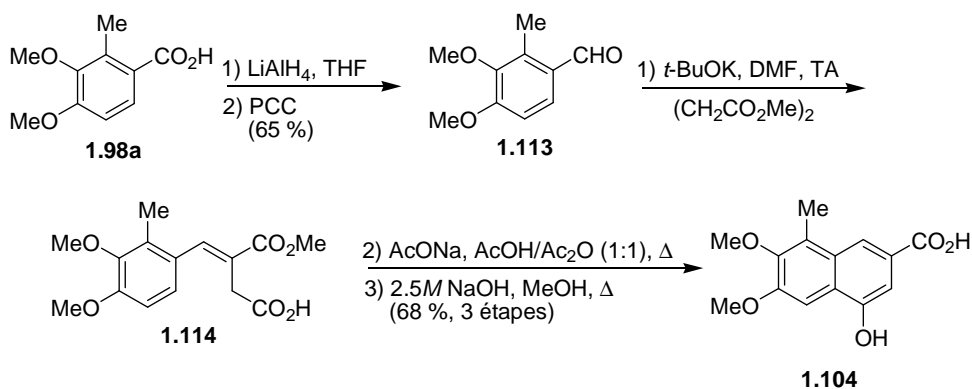


Schéma 23. Préparation de l'acide 4-hydroxy-6,7-diméthoxy-8-méthyl-2-naphtoïque (1.104)

La métallation latérale de l'acide naphtoïque **1.104** avec LTMP suivie de l'alkylation par MeI du trianion résultant donne le produit **1.107a** avec un excellent rendement (96 %) (Schéma 24). Pour cette transformation, les meilleures résultats sont obtenus lorsque la réaction est réalisée avec 7 équivalents de LTMP dans THF à 0 °C, après avoir préalablement formé *in situ* le sel de dilithium **1.115** avec 2 équiv. de *n*-BuLi à -78 °C. Un excès de LTMP est nécessaire très probablement en raison de la complexation des électrons p des groupements méthoxy et alcoolate par la base.<sup>83</sup> Les conditions de métallation optimisées ont été utilisées pour faire réagir **1.105** avec différents iodoalcanes. Les dérivés alkylés **1.107a-d** sont isolés avec d'excellents rendements. La bonne stabilité thermique de **1.105** est à souligner. En effet aucune réaction d'autocondensation de **1.105** n'est observée, même à 0 °C. Cette propriété est certainement à relier à la présence en position 4 de l'alcoolate (OLi) qui diminue l'électrophilie du groupement carbonyle grâce à son effet donneur d'électrons.

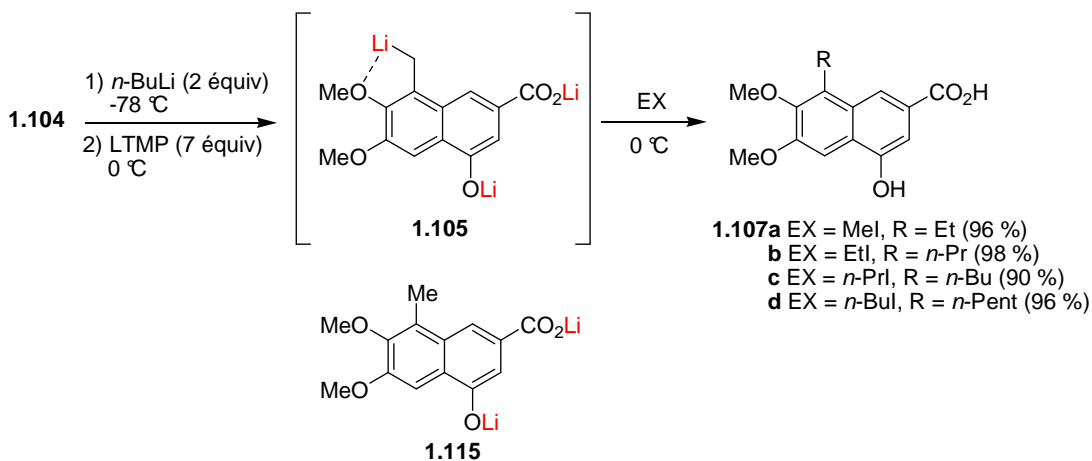


Schéma 24. Métallation latérale de l'acide 4-hydroxy-6,7-diméthoxy-8-méthyl-2-naphtoïque (1.104)

Les naphtalènes **1.104** et **1.107a-d** sont convertis en alcools **1.116** et **1.117a-d** par réduction avec LiAlH<sub>4</sub> au reflux du THF (Schéma 25). L'hydrogénéation catalytique de **1.116** et **1.117a-d** pour donner les composés 5-alkyl-6,7-diméthoxy-3-méthynaphtalèn-1-ols **1.118**

<sup>83</sup> Marsais, F.; Cronnier, A.; Trecourt, F.; Quéguiner, G. *J. Org. Chem.* **1987**, 52, 1133.

et **1.119a-d** n'est pas simple.<sup>84,85</sup> Dans les conditions expérimentales utilisées par Meyers,<sup>7</sup> **1.116** est transformé directement en 1,2,3,4-tétrahydronaphtalène **1.120** (86 %). À température plus élevée (70 °C), un mélange de **1.118** et **1.120** est obtenu (55:45). Les meilleurs rendements de **1.118** et **1.119a-d** ont été obtenus lorsque la réduction est réalisée avec Pd/C à 10 % sous une pression de 3.5 bars de H<sub>2</sub> et une quantité catalytique de HCl pour des temps de réaction plus courts (10-45 min).<sup>86</sup>

---

<sup>84</sup> Hudlicky, M. *Reductions in Organic Chemistry*, Wiley: New York, 1984, pp. 76.

<sup>85</sup> (a) Bringmann, G.; Ochse, M.; Götz, R. *J. Org. Chem.* **2000**, 65, 2069. (b) Bringmann, G.; Hamm, A.; Schraut, M. *Org. Lett.* **2003**, 5, 2805.

<sup>86</sup> Frija, L. M. T.; Cristiano, M. L. S.; Guimarães, E. M. O.; Martins, N. C.; Loureiro, R. M. S.; Bickley, J. F. *J. Mol. Catal. A: Chem.* **2005**, 242 (1-2), 241.

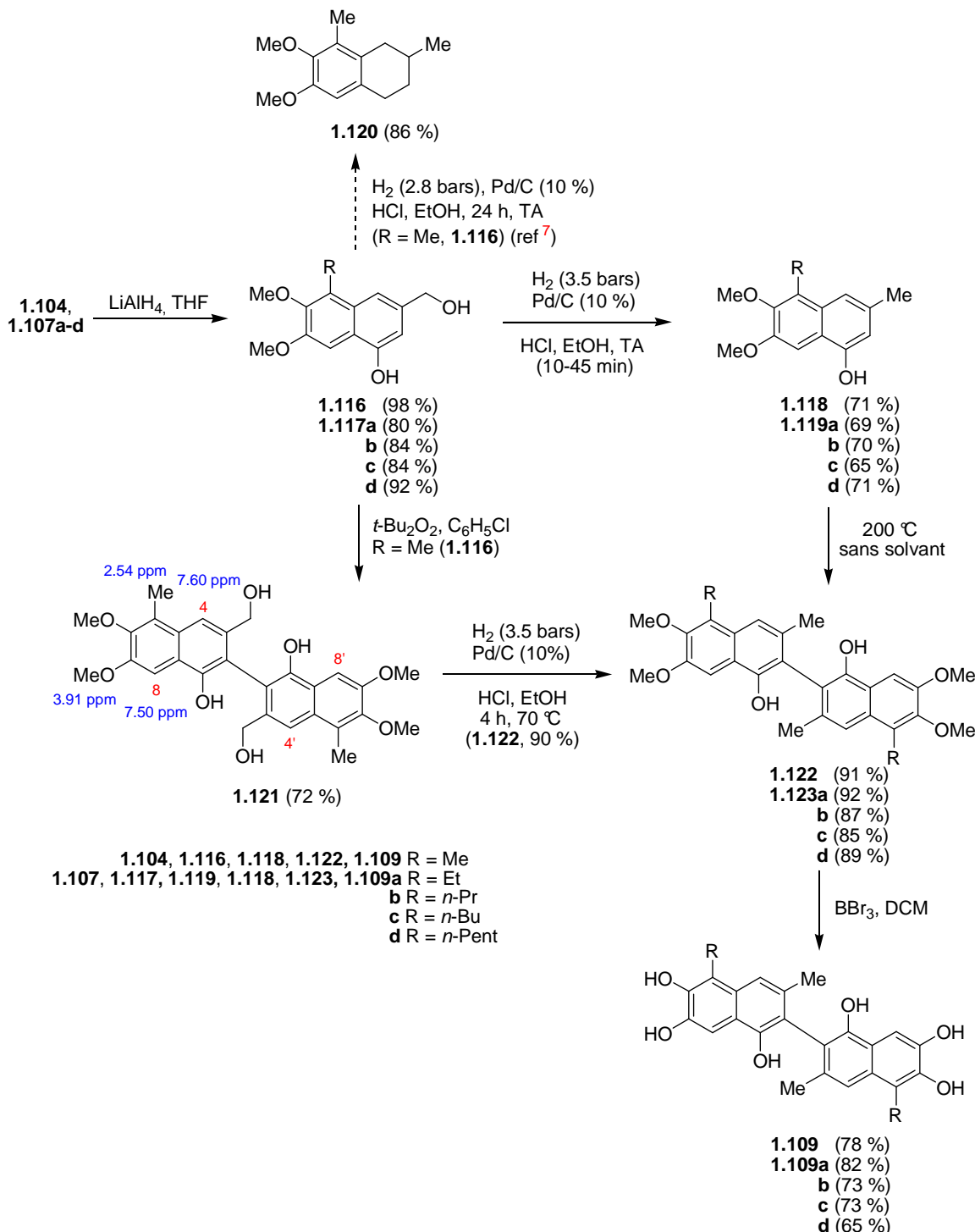
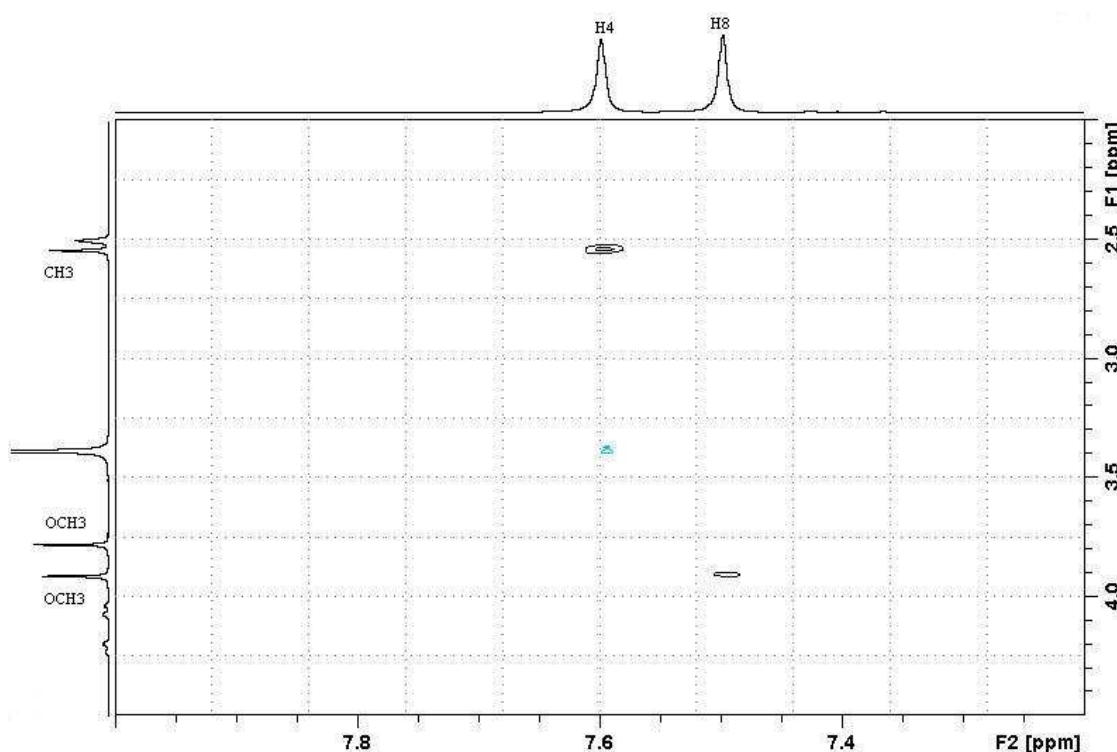


Schéma 25. Synthèse des analogues 5,5'-didés-iso-propyl-5,5'-dialkylapogossypol 1.109

Le couplage oxydant de **1.116** menant au binaphthalènediol **1.121** a été réalisé avec *t*-Bu<sub>2</sub>O<sub>2</sub> avec un rendement de 72 %.<sup>87</sup> La structure de **1.121** est déterminée par analyse du spectre NOESY phasé de **1.121** (Figure 9). Les protons H4, H4' (7.60 ppm) montrent clairement les interactions avec le groupe méthyle à 2.54 ppm. Il y a aussi des interactions

<sup>87</sup> Armstrong, D. R.; Breckenbridge, R. J.; Cameron, C.; Nonhebel, D. C.; Pauson, P. L.; Perkins, P. G. *Tetrahedron Lett.* **1983**, 24, 1071.

entre H8, H8' (7.50 ppm) et MeO (3.91 ppm).

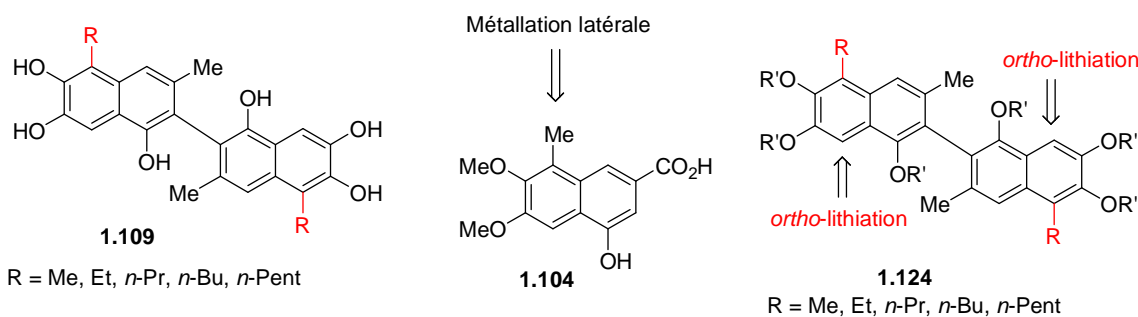


**Figure 9. Spectre NOESY phasé de l'analogue méthylé de l'apogossypol tétraméthyléther 1.121**

Par simple chauffage à 200 °C, sans solvant, les composés **1.118**, **1.119a-d** dimérisent pour donner les binaphtols **1.122**, **1.123a-d** avec des rendements élevés (> 85 %). Le binaphtol **1.122** est également obtenu par hydrogénéation catalytique du composé **1.121** (90 %). La déméthylation ultérieure utilisant le tribromure de bore  $\text{BBr}_3$ <sup>37</sup> conduit aux 5,5'-didés-*iso*-propyl-5,5'-dialkylapogossypol **1.109**, **1.109a-d** attendus. Les conversions de ces réactions sont bonnes (> 90 %) mais la purification est délicate. Les analogues **1.109**, **1.109a-d** ont été isolés avec de bons rendements (65-82 %).

## 9- Conclusion – Perspectives

Le présent travail a permis de préparer divers 5,5'-didés-*iso*-propyl-5,5'-dialkylapogossypol racémiques **1.109a-d**, des analogues structurellement très proches de l'apogossypol (Figure 10). Pour ce faire, nous avons mis à profit les compétences du laboratoire dans le domaine des réactions de métallation. L'étape clé de notre synthèse correspond à la métallation latérale de l'acide 4-hydroxy-6,7-diméthoxy-8-méthyl-2-naphtoïque (**1.104**) par le tétraméthylpipéridure de lithium (LTMP) suivie du piégeage du trianion ainsi généré par des iodoalcanes. Une large gamme d'électrophiles pourrait être utilisée dans cette transformation et la stratégie développée permet potentiellement d'introduire en position 5 du squelette naphtalénique une grande variété de substituants. Les naphtalènes substitués obtenus à l'issue de l'étape de métallation sont réduits puis dimérisés dans des conditions oxydantes pour conduire au squelette racémique de l'apogossypol.



**Figure 10.** Analogues alkylés racémiques de l'apogossypol synthétisés par métallation latérale de 1.104

La formylation en position 8,8' des composés **1.124** permettrait d'accéder à des analogues du gossypol. Les essais préliminaires réalisés utilisant  $\text{TiCl}_4/\text{MeOCHCl}_2$  n'ont pas permis d'isoler les composés souhaités. Les travaux sur la formylation de **1.124** devront être poursuivis et dans ce cadre, la métallation des composés **1.124** par les bases fortes pourra être étudiée.

## 10- Partie expérimentale

### 10-1- Instrumentation

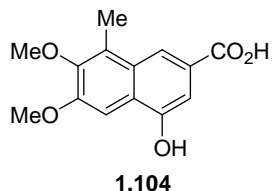
$^1\text{H}$  200 MHz,  $^1\text{H}$  400 MHz,  $^{13}\text{C}$  50 MHz, and  $^{13}\text{C}$  100 MHz NMR spectra were recorded on a Bruker DPX 200 spectrometer or a Bruker AC-400 spectrometer. IR spectra were recorded neat or as thin films using a Nicolet Avatar 370 DTGS FT-IR spectrometer. High resolution mass spectra were determined on a Micromass GCT Premier. Melting points were measured on Büchi a Melting Point B-540 apparatus and are uncorrected. Elemental analyses were performed by the *Service de Microanalyse*, CNRS ICSN, Gif-sur-Yvette.

### 10-2- Materials

For standard working practice, see ref<sup>65c</sup>. THF was purchased from Aldrich and dried using the drying station GT S100 (Glass Technology). *n*-BuLi and *s*-BuLi were purchased from Acros Chemicals and the Aldrich Chemical Company as solutions in cyclohexane and were titrated periodically against *N*-benzylbenzamide.<sup>88</sup> Tetramethyl-1,2-ethylenediamine (TMEDA) was distilled from  $\text{CaH}_2$ . Potassium *tert*-butylate (*t*-BuOK) was sublimated. LTMP was prepared by reacting *n*-BuLi (1 equiv.) at 0 °C with anhydrous 2,2,6,6-tetramethylpiperidin (1 equiv.) in dry THF (1.3 mL/mmol of LTMP) for 30 min. Flash column chromatography was carried out using Merck Kieselgel 60 silica gel (particle size: 32-63 Å). Analytical TLC was performed using Merck precoated silica gel 60 F-254 sheets.

<sup>88</sup> Burchat, A. F.; Chong, J. M.; Nielsen, N. *J. Organomet. Chem.* **1997**, 542, 281.

### 10-3- Preparation of 4-hydroxy-6,7-dimethoxy-8-methyl-2-naphthoic acid (1.104)



To a solution of 3,4-dimethoxy-2-methylbenzaldehyde (**1.113**)<sup>89</sup> (6.50 g, 0.036 mol) and dimethyl succinate (4.8 mL, 0.036 mol) in dry DMF (150 mL) was added *t*-BuOK (4.83 g, 0.043 mol). The mixture was allowed to stir at rt overnight. Water (100 mL) was added and the mixture was washed with diethyl ether (3 × 100 mL). The aqueous layer was acidified to pH 3 by adding aq. 3*M* HCl and extracted with diethyl ether (3 × 100 mL). The combined organic layers were dried over MgSO<sub>4</sub>, and the solvent was evaporated *in vacuo* to yield half ester acid **1.114** (10.26 g). The crude compound **1.114** was then dissolved in acetic acid/acetic anhydride (1:1, 200 mL), dry sodium acetate (6.50 g, 0.079 mol) was added, and the mixture was refluxed overnight. The resulting solution was cooled at 0 °C and neutralized to pH 6-7 with aq. 2.5*M* NaOH. Diethyl ether (100 mL) was added to dissolve the yellow precipitate. The aqueous layer was extracted with diethyl ether (5 × 100 mL). The combined organic layers were dried over MgSO<sub>4</sub> and the solvent was evaporated *in vacuo* to give a crude residue (21.71 g) which was dissolved in aq. 2.5*M* NaOH/methanol (1:1, 250 mL). The mixture was refluxed overnight. After evaporation of MeOH, the resulting solution was acidified at 0 °C to pH 2 by adding aq. 3*M* HCl, the precipitate was filtered and washed with hot chloroform. The precipitate was dissolved in ethylacetate, the organic layer was dried (MgSO<sub>4</sub>), and concentrated *in vacuo* to yield 4-hydroxy-6,7-dimethoxy-8-methyl-2-naphthoic acid (**1.104**) as a pale yellow solid [6.37 g, 68 % calculated from 3,4-dimethoxy-2-methylbenzaldehyde **1.113**]. Mp > 250 °C (decomposition). <sup>1</sup>H NMR (400 MHz, acetone-*d*<sub>6</sub>) δ 8.23 (s, 1H), 7.56 (s, 1H), 7.48 (s, 1H), 4.02 (s, 3H), 3.86 (s, 3H), 2.61 (s, 3H). <sup>13</sup>C NMR (50 MHz, DMSO-*d*<sub>6</sub>) δ 167.8, 152.7, 152.4, 147.2, 128.5, 126.6, 126.2, 124.4, 117.3, 106.7, 99.7, 60.2, 55.4, 11.2. IR (ATR, cm<sup>-1</sup>): 3418, 3002, 2942, 1678, 1601. HRMS calcd for C<sub>14</sub>H<sub>15</sub>O<sub>5</sub> ([M+H]<sup>+</sup>): 263.0919. Found: 263.0912.

### 10-4- Lateral lithiation of 4-hydroxy-6,7-dimethoxy-8-methyl-2-naphthoic acid (1.104)

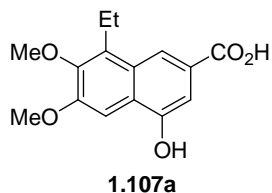
#### *Lateral lithiation of 4-hydroxy-6,7-dimethoxy-8-methyl-2-naphthoic acid (1.104). General procedure*

To a stirred solution of dilithium salt **1.115** [prepared by addition of 2 equiv of *n*-BuLi to 4-hydroxy-6,7-dimethoxy-8-methyl-2-naphthoic acid (**1.104**) (0.524 g, 2 mmol) at -78 °C] in dry THF (8 mL) at 0 °C, was added dropwise LTMP (14 mmol) in dry THF (16 mL). The

<sup>89</sup> Prepared from 3,4-dimethoxy-2-methylbenzoic acid (**1.98a**) according to: ref<sup>82</sup>. Compound **1.98a** was prepared by metalation of veratric acid with LTMP (4 equiv.) at 0 °C followed by quench with iodomethane. See: Chau, N. T. T.; Nguyen, T. H.; Castanet, A.-S.; Nguyen, K. P. P.; Mortier, J. *Tetrahedron* **2008**, 64, 10552.

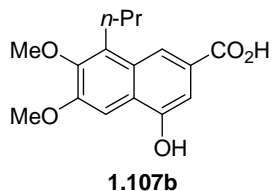
mixture was stirred at 0 °C for 15 min and the electrophile (MeI, EtI, *n*-PrI, *n*-BuI, 10 equiv) was slowly added. The resulting solution was stirred for 1-3 h and quenched with water (5 mL). The aqueous phase was washed with ethylacetate ( $2 \times 20$  mL), acidified to pH 1-2 by adding aq. 2*M* HCl, and extracted with ethylacetate ( $3 \times 40$  mL). The combined organic layers were dried over MgSO<sub>4</sub>, and concentrated *in vacuo*. The crude residue was chromatographed over silica gel (ethylacetate) to give naphthoic acids **1.107a-d**.

**8-Ethyl-4-hydroxy-6,7-dimethoxy-2-naphthoic acid (1.107a)**



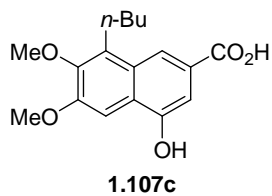
Prepared according to the general procedure using iodomethane (1.3 mL, 20 mmol) as an electrophile. Stirring was maintained at 0 °C for 1 h. Purification by column chromatography on silica gel (ethylacetate) yielded 8-ethyl-4-hydroxy-6,7-dimethoxy-2-naphthoic acid (**1.107a**) as a beige solid (0.532 g, 96 %). Mp 226-228 °C. <sup>1</sup>H NMR (400 MHz, acetone-*d*<sub>6</sub>)  $\delta$ : 8.28 (s, 1H), 7.59 (s, 1H), 7.49 (s, 1H), 4.03 (s, 3H), 3.91 (s, 3H), 3.15 (q, *J* = 7.6 Hz, 2H), 1.30 (t, *J* = 7.6 Hz, 3H). <sup>13</sup>C NMR (100 MHz, acetone-*d*<sub>6</sub>)  $\delta$ : 171.1, 154.5, 153.5, 148.5, 134.2, 129.1, 127.2, 126.4, 119.2, 107.8, 101.2, 61.2, 56.0, 19.8, 15.9. IR (ATR, cm<sup>-1</sup>): 3338, 2934, 1671, 1602, 1582, 1471, 1435, 1407, 1278, 1257, 1230, 1213, 1177. HRMS calcd for C<sub>15</sub>H<sub>17</sub>O<sub>5</sub> ([M+H]<sup>+</sup>): 277.1076. Found: 277.1074.

**4-Hydroxy-6,7-dimethoxy-8-propyl-2-naphthoic acid (1.107b)**



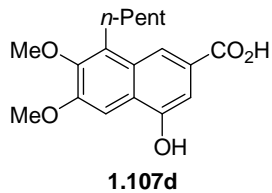
Prepared according to the general procedure using iodoethane (1.6 mL, 20 mmol) as an electrophile. Stirring was maintained at 0 °C for 2 h. Purification by column chromatography on silica gel (ethylacetate) afforded 4-hydroxy-6,7-dimethoxy-8-propyl-2-naphthoic acid (**1.107b**) as a beige solid (0.566 g, 98 %). Mp 226-228 °C. <sup>1</sup>H NMR (400 MHz, acetone-*d*<sub>6</sub>)  $\delta$ : 8.26 (s, 1H), 7.57 (s, 1H), 7.45 (s, 1H), 4.01 (s, 3H), 3.89 (s, 3H), 3.08 (m, 2H), 1.69 (m, 2H), 1.05 (t, *J* = 7.5 Hz, 3H). <sup>13</sup>C NMR (100 MHz, acetone-*d*<sub>6</sub>)  $\delta$ : 168.3, 154.3, 153.3, 148.8, 132.5, 129.4, 126.9, 126.2, 119.3, 107.6, 101.1, 61.0, 55.9, 28.5, 24.9, 14.7. IR (ATR, cm<sup>-1</sup>): 3390, 2963, 2929, 2873, 1675, 1617, 1468. HRMS calcd for C<sub>16</sub>H<sub>22</sub>NO<sub>5</sub> ([M+NH<sub>4</sub>]<sup>+</sup>): 308.1498. Found: 308.1495.

**8-Butyl-4-hydroxy-6,7-dimethoxy-2-naphthoic acid (1.107c)**



Prepared according to the general procedure using 1-iodopropane (2 mL, 20 mmol) as an electrophile. Stirring was maintained at 0 °C for 3 h. Purification by column chromatography on silica gel (ethylacetate) afforded 8-butyl-4-hydroxy-6,7-dimethoxy-2-naphthoic acid (**1.107c**) as a beige solid (0.545 g, 90 %). Mp 178-181 °C. <sup>1</sup>H NMR (400 MHz, acetone-*d*<sub>6</sub>) δ: 8.27 (s, 1H), 7.57 (s, 1H), 7.46 (s, 1H), 4.01 (s, 3H), 3.89 (s, 3H), 3.11 (m, 2H), 1.65 (m, 2H), 1.50 (m, 2H), 0.99 (t, *J* = 7.3 Hz, 3H). <sup>13</sup>C NMR (100 MHz, acetone-*d*<sub>6</sub>) δ: 168.6, 154.3, 153.4, 148.6, 132.7, 129.3, 127.0, 126.2, 119.4, 107.6, 101.1, 61.0, 55.9, 34.0, 26.2, 23.7, 14.3. IR (ATR, cm<sup>-1</sup>): 3350, 2944, 2868, 1672, 1601, 1466, 1422, 1353, 1240, 1203, 1166, 1112, 1087. HRMS calcd for C<sub>17</sub>H<sub>21</sub>O<sub>5</sub> ([M+H]<sup>+</sup>): 305.1389. Found: 305.1389.

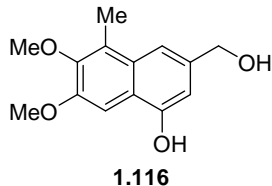
**4-Hydroxy-6,7-dimethoxy-8-pentyl-2-naphthoic acid (1.107d)**



Prepared according to the general procedure using 1-iodobutane (2.3 mL, 20 mmol) as an electrophile. Stirring was maintained at 0 °C for 3 h. Column chromatography on silica gel (ethylacetate) yielded 4-hydroxy-6,7-dimethoxy-8-pentyl-2-naphthoic acid (**1.107d**) as a beige solid (0.608 g, 96 %). Mp 198-204 °C. <sup>1</sup>H NMR (400 MHz, acetone-*d*<sub>6</sub>) δ: 8.28 (s, 1H), 7.59 (s, 1H), 7.50 (s, 1H), 4.02 (s, 3H), 3.90 (s, 3H), 3.09 (m, 2H), 1.69 (m, 2H), 1.53-1.38 (m, 4H), 0.94 (t, *J* = 7.1 Hz, 3H). <sup>13</sup>C NMR (100 MHz, acetone-*d*<sub>6</sub>) δ: 168.6, 154.3, 153.3, 148.6, 132.7, 129.3, 127.2, 126.2, 119.3, 107.6, 101.0, 61.0, 55.9, 32.9, 31.4, 26.5, 23.1, 14.3. IR (ATR, cm<sup>-1</sup>): 3361, 2930, 2857, 1672, 1601, 1465, 1428, 1402, 1351, 1238, 1199, 1164, 1110, 1088. HRMS calcd for C<sub>18</sub>H<sub>26</sub>NO<sub>5</sub> ([M+NH<sub>4</sub>]<sup>+</sup>): 336.1811. Found: 336.1816.

## 10-5- Preparation of 3-(hydroxymethyl)-6,7-dimethoxy-5-alkylnaphthalen-1-ols 1.116 and 1.117a-d

### 3-(Hydroxymethyl)-6,7-dimethoxy-5-methylnaphthalen-1-ol (1.116)

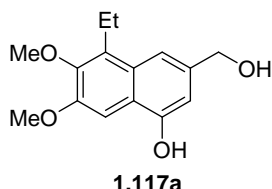


To a suspension of LiAlH<sub>4</sub> (0.30 g, 7.92 mmol) in dry THF (3 mL) was added dropwise a solution of 4-hydroxy-6,7-dimethoxy-8-methyl-2-naphthoic acid (**1.104**) (1.04 g, 3.96 mmol) in dry THF (12 mL).<sup>90</sup> The reaction mixture was refluxed overnight, hydrolyzed (10 mL) and acidified to pH 1-2 by adding aq. 2M HCl. The aqueous layer was extracted with diethyl ether (3 × 20 mL). The combined organic layers were dried over MgSO<sub>4</sub> and concentrated *in vacuo* to yield 3-(hydroxymethyl)-6,7-dimethoxy-5-methyl-naphthalen-1-ol (**1.116**) as a beige solid (0.96 g, 98 %). Mp 175-177 °C. <sup>1</sup>H NMR (400 MHz, acetone-*d*<sub>6</sub>) δ: 8.84 (s, 1H), 7.50 (s, 1H), 7.38 (s, 1H), 6.91 (s, 1H), 4.70 (d, *J* = 5.8 Hz, 1H), 4.17 (t, *J* = 5.8 Hz, 2H), 3.96 (s, 3H), 3.82 (s, 3H), 2.52 (s, 3H). <sup>13</sup>C NMR (100 MHz, CDCl<sub>3</sub>) δ: 151.8, 150.7, 146.8, 137.4, 129.4, 124.8, 120.9, 112.3, 106.4, 99.2, 64.3, 59.6, 54.5, 10.5. IR (ATR, cm<sup>-1</sup>): 3419, 3169, 2935, 2872, 1607. HRMS calcd for C<sub>14</sub>H<sub>17</sub>O<sub>4</sub> ([M+H]<sup>+</sup>): 249.1127. Found: 249.1136. Anal. calcd for C<sub>14</sub>H<sub>16</sub>O<sub>4</sub>: C, 67.73; H, 6.50. Found: C, 67.83; H, 6.51.

### General procedure for the preparation of 1.117a-d

To a suspension of LiAlH<sub>4</sub> (4 equiv) in dry THF (1 mL/mmol of **1.107a-d**) was added dropwise a solution of **1.107a-d** in dry THF (3 mL/mmol). The reaction mixture was heated at 30 °C overnight. After hydrolysis and acidification to pH 1-2 (aq. 2M HCl), the aqueous layer was extracted with diethyl ether (3 × 20 mL). The combined organic layers were dried over MgSO<sub>4</sub>, and concentrated *in vacuo* to yield spectroscopically pure compounds **1.117a-d**.

### 5-Ethyl-3-(hydroxymethyl)-6,7-dimethoxynaphthalen-1-ol (1.117a)

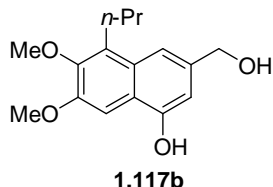


Prepared according to the general procedure from 8-ethyl-4-hydroxy-6,7-dimethoxy-2-naphthoic acid (**1.107a**) (0.800 g, 2.90 mmol). Standard workup gave 5-ethyl-3-(hydroxymethyl)-6,7-dimethoxynaphthalen-1-ol (**1.117a**) as a beige solid (0.605 g, 80 %). Mp 150-152 °C. <sup>1</sup>H NMR (400 MHz, acetone-*d*<sub>6</sub>) δ: 8.71 (s, 1H), 7.50 (s, 1H), 7.43 (s, 1H), 6.88

<sup>90</sup> Takeya, T.; Doi, H.; Ogata, T.; Otsuka, T.; Okamoto, I.; Kotani, E. *Tetrahedron* **2004**, 60, 6295.

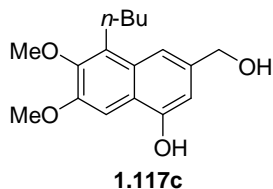
(s, 1H), 4.70 (d,  $J = 5.7$  Hz, 2H), 4.10 (t,  $J = 5.7$  Hz, 1H), 3.95 (s, 3H), 3.86 (s, 3H), 3.12 (q,  $J = 7.5$  Hz, 2H), 1.23 (t,  $J = 7.5$  Hz, 3H).  $^{13}\text{C}$  NMR (100 MHz, acetone- $d_6$ )  $\delta$ : 153.4, 152.2, 147.9, 139.3, 132.4, 129.9, 122.7, 113.3, 107.6, 101.0, 65.5, 61.0, 55.7, 19.6, 15.7. IR (ATR,  $\text{cm}^{-1}$ ): 3431, 3201, 2954, 2866, 1605, 1467, 1409, 1250, 1219. HRMS calcd for  $\text{C}_{15}\text{H}_{18}\text{O}_4$  ( $[\text{M}]^+$ ): 262.1205. Found: 262.1194.

**3-(Hydroxymethyl)-6,7-dimethoxy-5-propynaphthalen-1-ol (1.117b)**



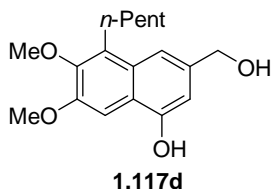
Prepared according to the general procedure from 4-hydroxy-6,7-dimethoxy-8-propyl-2-naphthoic acid (**1.107b**) (0.400 g, 1.38 mmol). Standard workup gave 3-(hydroxymethyl)-6,7-dimethoxy-5-propynaphthalen-1-ol (**1.117b**) as a beige solid (0.320 g, 84 %). Mp 169-170 °C.  $^1\text{H}$  NMR (400 MHz, acetone- $d_6$ )  $\delta$ : 8.69 (s, 1H), 7.50 (s, 1H), 7.42 (s, 1H), 6.87 (s, 1H), 4.68 (d,  $J = 5.6$  Hz, 2H), 4.08 (t,  $J = 5.6$  Hz, 1H), 3.95 (s, 3H), 3.85 (s, 3H), 3.03-2.99 (m, 2H), 1.70-1.61 (m, 2H), 1.03 (t,  $J = 7.5$  Hz, 3H).  $^{13}\text{C}$  NMR (100 MHz, acetone- $d_6$ )  $\delta$ : 153.4, 152.1, 148.2, 139.3, 130.8, 130.2, 122.6, 113.4, 107.5, 101.0, 65.4, 60.9, 55.7, 28.6, 24.7, 14.8. IR (ATR,  $\text{cm}^{-1}$ ): 3431, 3425, 3175, 2947, 2867, 1606, 1468, 1415. HRMS calcd for  $\text{C}_{16}\text{H}_{21}\text{O}_4$  ( $[\text{M}+\text{H}]^+$ ): 277.1440. Found: 277.1436.

**5-Butyl-3-(hydroxymethyl)-6,7-dimethoxynaphthalen-1-ol 1.117c**



Prepared according to the general procedure from 8-butyl-4-hydroxy-6,7-dimethoxy-2-naphthoic acid (**1.107c**) (0.800 g, 2.63 mmol). Standard workup gave 5-butyl-3-(hydroxymethyl)-6,7-dimethoxynaphthalen-1-ol (**1.117c**) as a beige solid (0.644 g, 84 %). Mp 171-173 °C.  $^1\text{H}$  NMR (400 MHz, acetone- $d_6$ )  $\delta$ : 8.69 (s, 1H), 7.50 (s, 1H), 7.42 (s, 1H), 6.87 (s, 1H), 4.68 (d,  $J = 5.8$  Hz, 2H), 4.07 (t,  $J = 5.8$  Hz, 1H), 3.95 (s, 3H), 3.86 (s, 3H), 3.06-3.02 (m, 2H), 1.66-1.58 (m, 2H), 1.52-1.43 (m, 2H), 0.97 (s,  $J = 7.3$  Hz, 3H).  $^{13}\text{C}$  NMR (100 MHz, acetone- $d_6$ )  $\delta$ : 153.3, 152.2, 148.2, 139.3, 131.0, 130.2, 122.6, 113.5, 107.5, 101.0, 65.5, 60.9, 55.7, 33.8, 26.2, 23.7, 14.3. IR (ATR,  $\text{cm}^{-1}$ ): 3405, 3169, 2956, 2930, 2869, 1606, 1467, 1410. HRMS calcd for  $\text{C}_{17}\text{H}_{22}\text{O}_4$  ( $[\text{M}]^+$ ): 290.1518. Found: 290.1514.

**3-(Hydroxymethyl)-6,7-dimethoxy-5-pentylnaphthalen-1-ol (1.117d)**



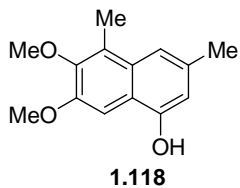
Prepared according to the general procedure from 4-hydroxy-6,7-dimethoxy-8-pentyl-2-naphthoic acid (**1.107d**) (0.496 g, 1.56 mmol). Standard workup gave 3-(hydroxymethyl)-6,7-dimethoxy-5-pentylnaphthalen-1-ol (**1.117d**) as a beige solid (0.435 g, 92 %). Mp 150-152 °C. <sup>1</sup>H NMR (400 MHz, acetone-*d*<sub>6</sub>) δ: 8.72 (s, 1H), 7.50 (s, 1H), 7.42 (s, 1H), 6.88 (s, 1H), 4.69 (s, 2H), 4.12 (bs, 1H), 3.95 (s, 3H), 3.86 (s, 3H), 3.05-3.01 (m, 2H), 1.68-1.60 (m, 2H), 1.49-1.35 (m, 4H), 0.92 (t, *J* = 7.2 Hz, 3H). <sup>13</sup>C NMR (100 MHz, acetone-*d*<sub>6</sub>) δ: 153.4, 152.2, 148.2, 139.3, 131.1, 130.2, 122.6, 113.4, 107.6, 101.0, 65.5, 60.9, 55.7, 33.0, 31.2, 26.5, 23.2, 14.4. IR (ATR, cm<sup>-1</sup>): 3418, 3174, 2950, 2931, 2865, 1606, 1464, 1410. HRMS calcd for C<sub>18</sub>H<sub>25</sub>O<sub>4</sub> ([M+H]<sup>+</sup>): 305.1753. Found: 305.1738.

**10-6- Preparation of 6,7-dimethoxy-3-methyl-5-alkylnaphthalen-1-ols (1.118), 1.119a-d and 6,7-dimethoxy-2,8-dimethyl-1,2,3,4-tetrahydronaphthalene (1.120)**

**General procedure**

To a solution of 3-(hydroxymethyl)-6,7-dimethoxy-5-alkylnaphthalen-1-ols **1.116**, **1.117a-d** in ethanol (10 mL/mmol) was added 10 % Pd/C (0.160 g/mmol) and aq. 1*M* HCl (1 mL/mmol). The reaction mixture was stirred for 45 min at 25 °C (10 min for **1.116**) under a hydrogen pressure of 3.5 bar. The catalyst was filtered off over Celite 545® and washed with acetone. The combined filtrates were concentrated *in vacuo* to give a residue which was dissolved in DCM (10 mL/mmol). The DCM layer was washed with sat. NaHCO<sub>3</sub>, water, and dried over MgSO<sub>4</sub>. Concentration *in vacuo* gave a residue which was purified by chromatography on silica gel (cyclohexane/ethylacetate 8:2).

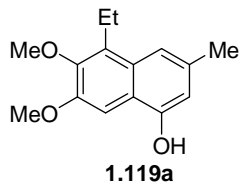
**6,7-Dimethoxy-3,5-dimethylnaphthalen-1-ol (1.118)**



Prepared according to the general procedure from 3-(hydroxymethyl)-6,7-dimethoxy-5-methylnaphthalen-1-ol (**1.116**) (1.656 g, 6.67 mmol). Standard workup followed by recrystallization (cyclohexane/ethylacetate 9:1) provided pure 6,7-dimethoxy-3,5-dimethylnaphthalen-1-ol (**1.118**) as a beige solid (1.100 g, 71 %). Mp 165 °C. <sup>1</sup>H NMR (400 MHz, DMSO-*d*<sub>6</sub>) δ: 9.86 (s, 1H), 7.35 (s, 1H), 7.09 (s, 1H), 6.66 (s, 1H), 3.88 (s, 3H), 3.73 (s, 3H), 2.43 (s, 3H), 2.37 (s, 3H). <sup>13</sup>C NMR (100 MHz, DMSO-*d*<sub>6</sub>) δ: 152.2, 150.2, 146.7, 133.4, 129.6, 124.4, 119.8,

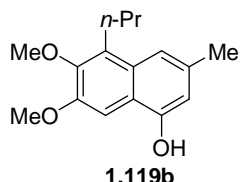
113.9, 109.5, 99.6, 60.1, 55.1, 21.7, 11.1. IR (ATR,  $\text{cm}^{-1}$ ): 3342, 2932, 1605, 1583. HRMS calcd for  $\text{C}_{14}\text{H}_{17}\text{O}_3$  ( $[\text{M}+\text{H}]^+$ ): 233.1178. Found: 233.1168.

**5-Ethyl-6,7-dimethoxy-3-methylnaphthalen-1-ol (1.119a)**



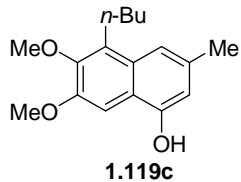
Prepared according to the general procedure from 5-ethyl-3-(hydroxymethyl)-6,7-dimethoxynaphthalen-1-ol (**1.117a**) (0.470 g, 1.80 mmol). Standard workup and purification afforded 5-ethyl-6,7-dimethoxy-3-methylnaphthalen-1-ol (**1.119a**) as a pale yellow solid (0.305 g, 69 %). Mp 126-128 °C.  $^1\text{H}$  NMR (400 MHz,  $\text{CDCl}_3$ )  $\delta$ : 7.37 (s, 1H), 7.27 (s, 1H), 6.59 (s, 1H), 5.18 (s, 1H), 3.97 (s, 3H), 3.89 (s, 3H), 3.06 (q,  $J = 7.5$  Hz, 2H), 2.43 (s, 3H), 1.27 (t,  $J = 7.5$  Hz, 3H).  $^{13}\text{C}$  NMR (100 MHz,  $\text{CDCl}_3$ )  $\delta$ : 151.1, 150.8, 147.0, 133.5, 131.8, 129.4, 120.3, 115.8, 110.1, 99.6, 61.1, 55.5, 22.0, 19.1, 15.2. IR (ATR,  $\text{cm}^{-1}$ ): 3348, 2962, 2932, 1602, 1448, 1409, 1373, 1264, 1232, 1215, 1201, 1148. HRMS calcd for  $\text{C}_{15}\text{H}_{19}\text{O}_3$  ( $[\text{M}+\text{H}]^+$ ): 247.1334. Found: 247.1331.

**6,7-Dimethoxy-3-methyl-5-propylnaphthalen-1-ol (1.119b)**



Prepared according to the general procedure from 3-(hydroxymethyl)-6,7-dimethoxy-5-propylnaphthalen-1-ol (**1.117b**) (0.355 g, 1.28 mmol). Standard workup and purification provided 6,7-dimethoxy-3-methyl-5-propylnaphthalen-1-ol (**1.119b**) (0.234 g, 70 %) as an orange solid. Mp 132-134 °C.  $^1\text{H}$  NMR (400 MHz,  $\text{CDCl}_3$ )  $\delta$ : 7.36 (s, 1H), 7.25 (s, 1H), 6.58 (s, 1H), 5.05 (bs, 1H), 3.97 (s, 3H), 3.88 (s, 3H), 3.02-2.98 (m, 2H), 2.43 (s, 3H), 1.63-1.72 (m, 2H), 1.05 (t,  $J = 7.5$  Hz, 3H).  $^{13}\text{C}$  NMR (100 MHz,  $\text{CDCl}_3$ )  $\delta$ : 151.0, 150.8, 147.3, 133.4, 130.3, 129.7, 120.2, 116.0, 110.1, 99.6, 61.0, 55.5, 28.0, 24.0, 22.0, 14.6. IR (ATR,  $\text{cm}^{-1}$ ): 3401, 2956, 2924, 2868, 1601, 1582, 1464, 1411. HRMS calcd for  $\text{C}_{16}\text{H}_{21}\text{O}_3$  ( $[\text{M}+\text{H}]^+$ ): 261.1491. Found: 261.1503.

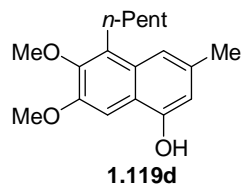
**5-Butyl-6,7-dimethoxy-3-methylnaphthalen-1-ol (1.119c)**



Prepared according to the general procedure from 5-butyl-3-(hydroxymethyl)-6,7-

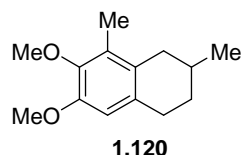
dimethoxynaphthalen-1-ol (**1.117c**) (0.500 g, 1.72 mmol). Standard workup and purification afforded 6,7-dimethoxy-5-butyl-3-methylnaphthalen-1-ol (**1.119c**) as an orange oil (0.307 g, 65 %).  $^1\text{H}$  NMR (400 MHz,  $\text{CDCl}_3$ )  $\delta$ : 7.37 (s, 1H), 7.25 (s, 1H), 6.58 (s, 1H), 5.21 (s, 1H), 3.96 (s, 3H), 3.88 (s, 3H), 3.01-3.04 (m, 2H), 2.43 (s, 3H), 1.59-1.66 (m, 2H), 1.44-1.53 (m, 2H), 0.97 (t,  $J = 7.2$  Hz, 3H).  $^{13}\text{C}$  NMR (100 MHz,  $\text{CDCl}_3$ )  $\delta$ : 151.0, 150.8, 146.9, 133.5, 130.5, 129.6, 120.4, 115.7, 110.1, 99.6, 61.1, 55.4, 32.9, 25.7, 23.2, 22.0, 14.0. IR (ATR,  $\text{cm}^{-1}$ ): 3375, 2954, 2930, 2868, 1578, 1465, 1411, 1335, 1246, 1212, 1148, 1093, 1043. HRMS calcd for  $\text{C}_{17}\text{H}_{23}\text{O}_3$  ( $[\text{M}+\text{H}]^+$ ): 275.1647. Found: 275.1639.

**6,7-Dimethoxy-3-methyl-5-pentylnaphthalen-1-ol (1.119d)**



Prepared according to the general procedure from 3-(hydroxymethyl)-6,7-dimethoxy-5-pentylnaphthalen-1-ol (**1.117d**) (0.424 g, 1.39 mmol). Standard workup and purification provided 6,7-dimethoxy-3-methyl-5-pentylnaphthalen-1-ol (**1.119d**) as an orange oil (0.286 g, 71 %).  $^1\text{H}$  NMR (400 MHz,  $\text{CDCl}_3$ )  $\delta$ : 7.34 (s, 1H), 7.24 (s, 1H), 6.56 (s, 1H), 5.52 (bs, 1H), 3.95 (s, 3H), 3.87 (s, 3H), 2.99-3.03 (m, 2H), 2.41 (s, 3H), 1.68-1.60 (m, 2H), 1.49-1.34 (m, 4H), 0.91 (t,  $J = 7.2$  Hz, 3H).  $^{13}\text{C}$  NMR (100 MHz,  $\text{CDCl}_3$ )  $\delta$ : 151.0, 147.1, 133.5, 130.6, 129.7, 120.5, 115.9, 110.2, 99.7, 61.1, 55.5, 32.4, 30.5, 26.0, 22.6, 22.1, 14.1. IR (ATR,  $\text{cm}^{-1}$ ): 3371, 2954, 2926, 2860, 1603, 1467, 1410. HRMS calcd for  $\text{C}_{18}\text{H}_{25}\text{O}_3$  ( $[\text{M}+\text{H}]^+$ ): 289.1804. Found: 289.1802.

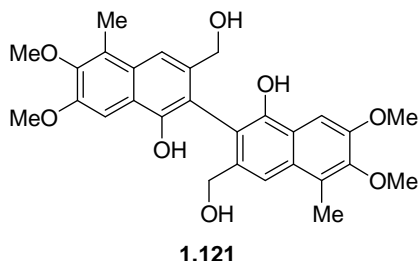
**6,7-Dimethoxy-2,8-dimethyl-1,2,3,4-tetrahydronaphthalene (1.120)**



To a solution of 3-(hydroxymethyl)-6,7-dimethoxy-5-methylnaphthalen-1-ol (**1.116**) (77 mg, 0.31 mmol) in ethanol (4 mL) were added 10 % Pd/C (0.15 g) and aq. 3M HCl (0.25 mL). The reaction mixture was stirred for 24 h at 25 °C under a hydrogen pressure of 2.8 bar. The catalyst was filtered off over Celite 545® and washed with ethanol (2 × 20 mL). The filtrate was concentrated *in vacuo* and the residue was dissolved in DCM (20 mL). The DCM layer was washed with sat.  $\text{NaHCO}_3$  (10 mL), water (10 mL), dried over  $\text{MgSO}_4$ , and concentrated *in vacuo* to yield 6,7-dimethoxy-2,8-dimethyl-1,2,3,4-tetrahydronaphthalene (**1.120**) as a yellow orange oil (59 mg, 86 %).  $^1\text{H}$  NMR (200 MHz,  $\text{DMSO}-d_6$ )  $\delta$ : 6.56 (s, 1H), 3.72 (s, 3H), 3.60 (s, 3H), 2.72-2.49 (m, 4H), 2.04 (s, 3H), 1.80-1.72 (m, 2H), 1.30-1.19 (m, 1H), 1.04 (d,  $J = 6.4$  Hz, 3H).  $^{13}\text{C}$  NMR (100 MHz,  $\text{CDCl}_3$ )  $\delta$ : 149.2, 144.1, 131.0, 129.1, 127.1, 108.9, 59.4, 54.6, 34.4, 30.2, 29.1, 28.4, 21.3, 10.5. HRMS calcd for  $\text{C}_{14}\text{H}_{24}\text{NO}_2$  ( $[\text{M} + \text{NH}_4]^+$ ): 238.1807. Found: 238.1813.

### 10-7- Dimerization reactions. Preparation of binaphthalenes 1.121

**3,3'-Bis(hydroxymethyl)-6,6',7,7'-tetramethoxy-5,5'-dimethyl-2,2'-binaphthyl-1,1'-diol (1.121)**



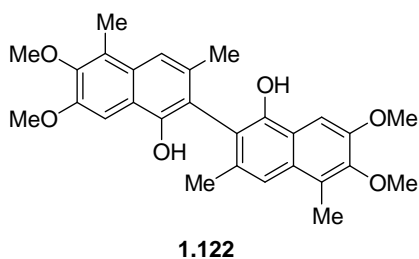
To a solution of 3-(hydroxymethyl)-6,7-dimethoxy-5-methylnaphthalen-1-ol (**1.116**) (113 mg, 0.45 mmol) in chlorobenzene (6 mL) was added di-*t*-butyl peroxide (82 µL, 0.45 mmol).<sup>6c,87,91</sup> The mixture was heated at 105 °C for 50 h, then cooled and concentrated *in vacuo*. The crude residue was recrystallized in benzene to yield 3,3'-bis(hydroxymethyl)-6,6',7,7'-tetramethoxy-5,5'-dimethyl-2,2'-binaphthyl-1,1'-diol (**1.121**) as a white solid (80 mg, 72 %). Mp 289–291 °C. <sup>1</sup>H NMR (200 MHz, DMSO-*d*<sub>6</sub>) δ: 8.33 (s, 2H), 7.60 (s, 2H), 7.50 (s, 2H), 5.00 (bs, 2H), 4.21 (d, *J* = 14.0 Hz, 2H), 4.05 (d, *J* = 14.0 Hz, 2H), 3.91 (s, 6H), 3.78 (s, 6H), 2.54 (s, 6H). In the NOESY spectrum, the protons H<sub>4</sub>, H<sub>4'</sub> (7.60 ppm) show clear interactions with the methyl group at 2.54 ppm. There are also spatial interactions between H<sub>8</sub>, H<sub>8'</sub> (7.50 ppm) and MeO (3.91 ppm). <sup>13</sup>C NMR (100 MHz, DMSO-*d*<sub>6</sub>) δ: 150.6, 149.2, 146.7, 137.6, 128.9, 124.9, 121.4, 115.0, 112.5, 100.4, 61.6, 60.2, 55.4, 11.4. IR (KBr, cm<sup>-1</sup>): 3465, 3348, 2942, 1741, 1686, 1604, 1577, 1470, 1253, 1083, 1004, 844. HRMS calcd for C<sub>28</sub>H<sub>31</sub>O<sub>8</sub> ([M+H]<sup>+</sup>): 495.2019. Found: 495.2028.

### 10-8- Dimerization reactions. Preparation of binaphthalenes 1.122, 1.123a-d

#### General procedure

The neat compounds **1.118**, **1.119a-d** were heated overnight at 200 °C<sup>27</sup> to give the products **1.122**, **1.123a-d** which were purified by sublimation.

**2-(1-Hydroxy-6,7-dimethoxy-3,5-dimethylnaphthalen-2-yl)-6,7-dimethoxy-3,5-dimethylnaphthalen-1-ol (1.122)**

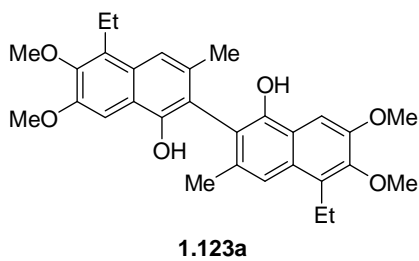


Prepared according to the general procedure from 6,7-dimethoxy-3,5-dimethylnaphthalen-1-ol (**1.118**) (0.400 g, 1.72 mmol). 2-(1-Hydroxy-6,7-dimethoxy-3,5-

<sup>91</sup> Armstrong, D. R.; Cameron, C.; Nonhebel, D. C.; Perkins, P. G. *J. Chem. Soc., Perkin Trans. 2* **1983**, 563.

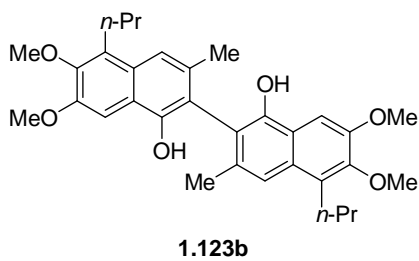
dimethylnaphthalen-2-yl)-6,7-dimethoxy-3,5-dimethylnaphthalen-1-ol (**1.122**) was isolated as a brown solid (0.364 g, 91 %). Mp > 290 °C (decomposition).  $^1\text{H}$  NMR (400 MHz, DMSO- $d_6$ )  $\delta$ : 8.23 (s, 2H), 7.48 (s, 2H), 7.33 (s, 2H), 3.90 (s, 6H), 3.76 (s, 6H), 2.51 (s, 6H), 1.98 (s, 6H).  $^{13}\text{C}$  NMR (100 MHz, DMSO- $d_6$ )  $\delta$ : 150.3, 149.4, 146.6, 133.5, 128.9, 124.3, 120.7, 118.2, 115.3, 100.5, 60.2, 55.3, 20.5, 11.2. IR (ATR, cm $^{-1}$ ): 3342, 2954, 2901, 1604, 1573, 1486, 1473, 1457, 1412, 1400, 1368, 1334, 1244, 1189, 1138. HRMS calcd for C<sub>28</sub>H<sub>31</sub>O<sub>6</sub> ([M+H] $^+$ ): 463.2121. Found: 463.2138.

**5-Ethyl-2-(5-ethyl-1-hydroxy-6,7-dimethoxy-3-methylnaphthalen-2-yl)-6,7-dimethoxy-3-methylnaphthalen-1-ol (1.123a)**



Prepared according to the general procedure from 5-ethyl-6,7-dimethoxy-3-methylnaphthalen-1-ol (**1.119a**) (0.295 g, 1.20 mmol). 5-Ethyl-2-(5-ethyl-1-hydroxy-6,7-dimethoxy-3-methylnaphthalen-2-yl)-6,7-dimethoxy-3-methylnaphthalen-1-ol (**1.123a**) was isolated as a brown solid (0.270 g, 92 %). Mp > 290 °C (decomposition).  $^1\text{H}$  NMR (400 MHz, DMSO- $d_6$ )  $\delta$ : 8.27 (s, 2H), 7.49 (s, 2H), 7.36 (s, 2H), 3.91 (s, 6H), 3.81 (s, 6H), 3.02 (q,  $J$  = 7.5 Hz, 4H), 1.97 (s, 6H), 1.24 (t,  $J$  = 7.5 Hz, 6H).  $^{13}\text{C}$  NMR (50 MHz, DMSO- $d_6$ )  $\delta$ : 150.3, 149.6, 146.2, 133.6, 130.5, 127.9, 121.1, 118.0, 114.9, 100.8, 60.5, 55.3, 20.7, 18.5, 15.4. IR (ATR, cm $^{-1}$ ): 3383, 2958, 2925, 1600, 1573, 1456, 1401, 1367, 1236, 1191, 1140. HRMS calcd for C<sub>30</sub>H<sub>35</sub>O<sub>6</sub> ([M+H] $^+$ ): 491.2434. Found: 491.2441.

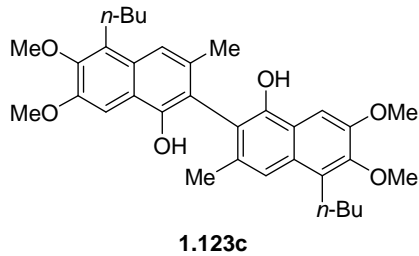
**2-(1-Hydroxy-6,7-dimethoxy-3-methyl-5-propylnaphthalen-2-yl)-6,7-dimethoxy-3-methyl-5-propylnaphthalen-1-ol (1.123b)**



Prepared according to the general procedure from 6,7-dimethoxy-3-methyl-5-propylnaphthalen-1-ol (**1.119b**) (0.300 g, 1.15 mmol). 2-(1-Hydroxy-6,7-dimethoxy-3-methyl-5-propylnaphthalen-2-yl)-6,7-dimethoxy-3-methyl-5-propylnaphthalen-1-ol (**1.123b**) was isolated as a brown solid (0.260 g, 87 %). Mp 247-248 °C.  $^1\text{H}$  NMR (400 MHz, DMSO- $d_6$ )  $\delta$ : 7.95 (s, 2H), 7.51 (s, 2H), 7.35 (s, 2H), 3.91 (s, 6H), 3.82 (s, 6H), 2.98 (t,  $J$  = 7.9 Hz, 4H), 1.99 (s, 6H), 1.64-1.70 (m, 4H), 1.04 (t,  $J$  = 7.5 Hz, 6H).  $^{13}\text{C}$  NMR (50 MHz, DMSO- $d_6$ )  $\delta$ : 150.2, 149.5, 146.5, 133.5, 128.9, 128.2, 121.1, 118.0, 115.0, 100.8, 60.4, 55.3, 27.4, 23.7,

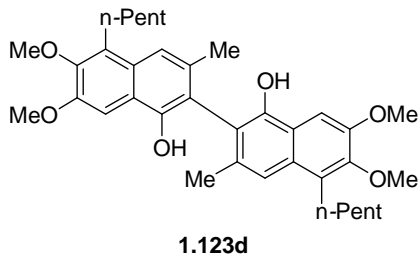
20.7, 14.5. IR (ATR,  $\text{cm}^{-1}$ ): 3429, 3392, 2931, 2868, 1600, 1574, 1462, 1417, 1404, 1250, 1140, 1096. HRMS calcd for  $\text{C}_{32}\text{H}_{39}\text{O}_6$  ( $[\text{M}+\text{H}]^+$ ): 519.2747. Found: 519.2759.

**5-Butyl-2-(5-butyl-1-hydroxy-6,7-dimethoxy-3-methylnaphthalen-2-yl)-6,7-dimethoxy-3-methylnaphthalen-1-ol (1.123c)**



Prepared according to the general procedure from 6,7-dimethoxy-5-butyl-3-methylnaphthalen-1-ol (**1.119c**) (0.375 g, 1.36 mmol). 5-Butyl-2-(5-butyl-1-hydroxy-6,7-dimethoxy-3-methylnaphthalen-2-yl)-6,7-dimethoxy-3-methylnaphthalen-1-ol (**1.123c**) was isolated as a brown solid (0.318 g, 85 %). Mp 148-152 °C.  $^1\text{H}$  NMR (400 MHz, acetone- $d_6$ )  $\delta$ : 7.64 (s, 2H), 7.54 (s, 2H), 7.43 (s, 2H), 3.96 (s, 6H), 3.89 (s, 6H), 3.10-3.06 (m, 4H), 2.07 (s, 6H), 1.72-1.64 (m, 4H), 1.59-1.50 (m, 4H), 1.02 (t,  $J = 7.2$  Hz, 6H).  $^{13}\text{C}$  NMR (100 MHz, acetone- $d_6$ )  $\delta$ : 151.9, 151.1, 148.4, 134.6, 130.4, 130.1, 122.0, 116.6, 116.4, 101.7, 61.0, 55.7, 33.9, 26.2, 23.8, 21.1, 14.3. IR (ATR,  $\text{cm}^{-1}$ ): 3432, 2958, 2930, 2864, 1598, 1462, 1417, 1373, 1250, 1204, 1140, 1099. HRMS calcd for  $\text{C}_{34}\text{H}_{43}\text{O}_6$  ( $[\text{M}+\text{H}]^+$ ): 547.3060. Found: 547.3077.

**2-(1-Hydroxy-6,7-dimethoxy-3-methyl-5-pentylnaphthalen-2-yl)-6,7-dimethoxy-3-methyl-5-pentylnaphthalen-1-ol (1.123d)**



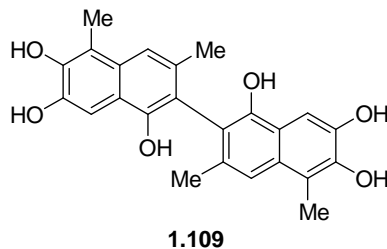
Prepared according to the general procedure from 6,7-dimethoxy-3-methyl-5-pentylnaphthalen-1-ol (**1.119d**) (0.292 g, 1.01 mmol). 2-(1-Hydroxy-6,7-dimethoxy-3-methyl-5-pentylnaphthalen-2-yl)-6,7-dimethoxy-3-methyl-5-pentylnaphthalen-1-ol (**1.123d**) was isolated as a brown solid (0.259 g, 89 %). Mp 131-133 °C.  $^1\text{H}$  NMR (400 MHz, acetone- $d_6$ )  $\delta$ : 7.56 (s, 2H), 7.55 (s, 2H), 7.44 (s, 2H), 3.96 (s, 6H), 3.89 (s, 6H), 3.09-3.05 (m, 4H), 2.08 (s, 6H), 1.75-1.67 (m, 4H), 1.56-1.40 (m, 8H), 0.95 (t,  $J = 7.1$  Hz, 6H).  $^{13}\text{C}$  NMR (100 MHz, acetone- $d_6$ )  $\delta$ : 151.9, 151.2, 148.3, 134.6, 130.5, 130.1, 122.0, 116.5, 116.4, 101.7, 61.0, 55.8, 33.1, 31.4, 26.4, 23.2, 21.1, 14.4. IR (ATR,  $\text{cm}^{-1}$ ): 3420, 2928, 2858, 1598, 1461, 1417, 1372, 1243, 1199, 1141. HRMS calcd for  $\text{C}_{36}\text{H}_{47}\text{O}_6$  ( $[\text{M}+\text{H}]^+$ ): 575.3373. Found: 575.3365.

**G. Deprotection of the methoxy groups. Preparation of 5,5'-dides-*iso*-propyl-5,5'-dialkylapogossypols **1.109**, **1.109a-d****

*General procedure*

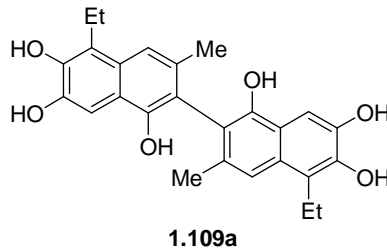
To a solution of binaphthalenes **1.122**, **1.123a-d** dissolved in dry DCM (40 mL/mmol) at  $-78\text{ }^{\circ}\text{C}$  was added dropwise  $\text{BBr}_3$  (1*M* in DCM) (10 equiv).<sup>40</sup> The reaction mixture was stirred for 1 h at  $-78\text{ }^{\circ}\text{C}$  and for 1 h at rt. Aq. 6*M* HCl (50 mL/mmol) (cooled beforehand at  $0\text{ }^{\circ}\text{C}$ ) was added and the reaction mixture was stirred at  $0\text{ }^{\circ}\text{C}$  for 1 h. The aqueous layer was extracted with diethyl ether, the combined organic layers were washed with water and brine, dried over  $\text{MgSO}_4$ , and concentrated *in vacuo*. The residue was purified by flash chromatography on silica gel (cyclohexane/ethylacetate 8:2  $\rightarrow$  5:5) and C-18 column chromatography ( $\text{H}_2\text{O}/\text{acetonitrile}$ ) to provide pure 5,5'-dides-*iso*-propyl-5,5'-dialkylapogossypols **1.109**, **1.109a-d**.

**3,5-Dimethyl-2-(1,6,7-trihydroxy-3,5-dimethylnaphthalen-2-yl)naphthalen-1,6,7-triol (1.109)**



Prepared according to the general procedure from 2-(1-hydroxy-6,7-dimethoxy-3,5-dimethylnaphthalen-2-yl)-6,7-dimethoxy-3,5-dimethylnaphthalen-1-ol (**1.122**) (0.112 g, 0.24 mmol). 3,5-Dimethyl-2-(1,6,7-trihydroxy-3,5-dimethylnaphthalen-2-yl)naphthalene-1,6,7-triol (**1.109**) was isolated as a beige solid (0.077 g, 78 %).  $\text{Mp} > 150\text{ }^{\circ}\text{C}$  (decomposition).  $^1\text{H}$  NMR (200 MHz, acetone-*d*<sub>6</sub>)  $\delta$ : 7.54 (s, 2H), 7.30 (s, 2H), 7.20 (bs, 2H), 2.52 (s, 6H), 2.08 (s, 6H).  $^{13}\text{C}$  NMR (50 MHz, acetone-*d*<sub>6</sub>)  $\delta$ : 150.8, 145.1, 144.6, 134.0, 131.1, 119.4, 116.0, 115.8, 114.7, 103.6, 21.0, 11.1. IR (KBr,  $\text{cm}^{-1}$ ): 3442, 2921, 1691, 1639, 1619, 1508, 1458, 1349, 1310, 1232, 1165, 1041, 854. HRMS calcd for  $\text{C}_{24}\text{H}_{23}\text{O}_6$  ([M+H]<sup>+</sup>): 407.1495. Found: 407.1478.

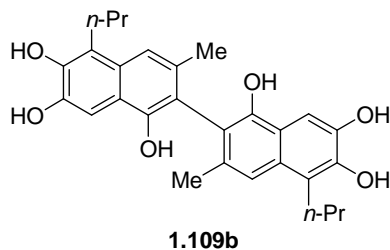
**5-Ethyl-2-(5-ethyl-1,6,7-trihydroxy-3-methylnaphthalen-2-yl)-3-methylnaphthalen-1,6,7-triol (1.109a)**



Prepared according to the general procedure from 5-ethyl-2-(5-ethyl-1-hydroxy-6,7-

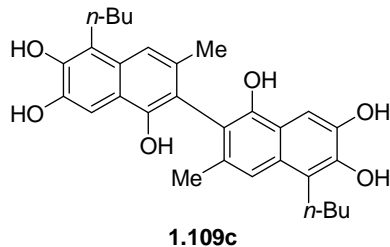
dimethoxy-3-methylnaphthalen-2-yl)-6,7-dimethoxy-3-methylnaphthalen-1-ol (1.123a) (0.101 g, 0.21 mmol), 5-ethyl-2-(5-ethyl-1,6,7-trihydroxy-3-methylnaphthalen-2-yl)-3-methylnaphthalene-1,6,7-triol (**1.109a**) was isolated as a beige solid (0.073 g, 82 %). Mp > 150 °C (decomposition). <sup>1</sup>H NMR (400 MHz, acetone-*d*<sub>6</sub>) δ: 8.86 (bs, 2H), 7.56 (s, 2H), 7.38 (s, 2H), 7.14 (s, 2H), 3.12 (q, *J* = 7.5 Hz, 4H), 2.07 (s, 6H), 1.30 (t, *J* = 7.5 Hz, 6H). <sup>13</sup>C NMR (50 MHz, acetone-*d*<sub>6</sub>) δ: 151.0, 144.6 (2), 134.1, 130.2, 122.4, 119.7, 115.7, 114.6, 103.9, 21.1, 19.2, 14.7. IR (ATR, cm<sup>-1</sup>): 3440, 2962, 2929, 2872, 1613, 1504, 1446, 1264, 1213, 1154. HRMS cacl for C<sub>26</sub>H<sub>27</sub>O<sub>6</sub> ([M+H]<sup>+</sup>): 435.1808. Found: 435.1803.

**3-Methyl-5-propyl-2-(1,6,7-trihydroxy-3-methyl-5-propynaphthalen-2-yl)naphthalen-1,6,7-triol (1.109b)**



Prepared according to the general procedure from 2-(1-hydroxy-6,7-dimethoxy-3-methyl-5-propynaphthalen-2-yl)-6,7-dimethoxy-3-methyl-5-propynaphthalen-1-ol (**1.123b**) (0.100 g, 0.19 mmol). 3-Methyl-5-propyl-2-(1,6,7-trihydroxy-3-methyl-5-propynaphthalen-2-yl)naphthalene-1,6,7-triol (**1.109b**) was isolated as a beige solid (0.065 g, 73 %). Mp > 150 °C (decomposition). <sup>1</sup>H NMR (400 MHz, acetone-*d*<sub>6</sub>) δ: 8.87 (bs, 2H), 7.56 (s, 2H), 7.40 (bs, 2H), 7.37 (s, 2H), 7.13 (s, 2H), 3.09-3.05 (m, 4H), 2.06 (s, 6H), 1.79-1.70 (m, 4H), 1.09 (t, *J* = 7.5 Hz, 6H). <sup>13</sup>C NMR (50 MHz, acetone-*d*<sub>6</sub>) δ: 150.9, 145.0, 144.5, 134.0, 130.5, 121.0, 119.6, 115.9, 114.6, 103.9, 28.1, 23.9, 21.1, 14.8. IR (ATR, cm<sup>-1</sup>): 3445, 2956, 2929, 2864, 1698, 1614, 1504, 1447, 1376, 1349, 1243, 1210, 1148, 1089. HRMS calcd for C<sub>28</sub>H<sub>30</sub>O<sub>6</sub> ([M]<sup>+</sup>): 462.2042. Found: 462.2052.

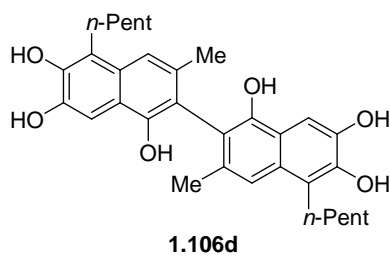
**5-Butyl-2-(5-butyl-1,6,7-trihydroxy-3-methylnaphthalen-2-yl)-3-methylnaphthalene-1,6,7-triol (1.109c)**



Prepared according to the general procedure from 5-butyl-2-(5-butyl-1-hydroxy-6,7-dimethoxy-3-methylnaphthalen-2-yl)-6,7-dimethoxy-3-methylnaphthalen-1-ol (**1.123c**) (0.051 g, 0.093 mmol). 5-Butyl-2-(5-butyl-1,6,7-trihydroxy-3-methylnaphthalen-2-yl)-3-methylnaphthalene-1,6,7-triol (**1.109c**) was isolated as a beige solid (0.033 g, 73 %). Mp > 150 °C (decomposition). <sup>1</sup>H NMR (400 MHz, acetone-*d*<sub>6</sub>) δ: 7.76 (s, 2H), 7.62 (s, 2H),

7.54 (s, 2H), 7.36 (s, 2H), 7.12 (bs, 2H), 3.11-3.07 (m, 4H), 2.05 (s, 6H), 1.73-1.66 (m, 4H), 1.59-1.49 (m, 4H), 1.01 (t,  $J = 7.3$  Hz, 6H).  $^{13}\text{C}$  NMR (50 MHz, acetone- $d_6$ )  $\delta$ : 150.9, 144.9, 144.4, 133.9, 130.4, 121.1, 119.6, 115.7, 114.5, 103.8, 32.9, 25.7, 23.8, 21.1, 14.4. IR (ATR,  $\text{cm}^{-1}$ ): 3411, 2958, 2925, 2854, 1738, 1614, 1505, 1449, 1351, 1228, 1147. HRMS calcd for  $\text{C}_{30}\text{H}_{34}\text{O}_6$  ([M] $^+$ ): 490.2355. Found: 490.2362.

**3-Methyl-5-pentyl-2-(1,6,7-trihydroxy-3-methyl-5-pentylnaphthalen-2-yl)naphthalene-1,6,7-triol (1.109d)**



Prepared according to the general procedure from 2-(1-hydroxy-6,7-dimethoxy-3-methyl-5-pentylnaphthalen-2-yl)-6,7-dimethoxy-3-methyl-5-pentylnaphthalen-1-ol (**1.123d**) (0.055 g, 0.095 mmol). 3-Methyl-5-pentyl-2-(1,6,7-trihydroxy-3-methyl-5-pentylnaphthalen-2-yl)naphthalene-1,6,7-triol (**1.109d**) was isolated as a beige solid (0.032 g, 65 %). Mp > 150 °C (decomposition).  $^1\text{H}$  NMR (400 MHz, acetone- $d_6$ )  $\delta$ : 7.54 (s, 2H), 7.34 (s, 2H), 3.09-3.05 (m, 4H), 2.04 (s, 6H), 1.75-1.67 (m, 4H), 1.55-1.39 (m, 8H), 0.94 (t,  $J = 7.1$  Hz, 6H).  $^{13}\text{C}$  NMR (50 MHz, acetone- $d_6$ )  $\delta$ : 150.9, 144.9, 144.5, 134.0, 130.5, 121.2, 119.6, 115.8, 114.5, 103.8, 33.0, 30.4, 26.0, 23.4, 21.1, 14.5. IR (ATR,  $\text{cm}^{-1}$ ): 3403, 2953, 2924, 2857, 1697, 1614, 1589, 1505, 1448, 1352, 1269, 1228, 1165. HRMS calcd for  $\text{C}_{32}\text{H}_{39}\text{O}_6$  ([M+H] $^+$ ): 519.274.

# Chapitre 2 — Vers la synthèse atroposélective d'analogues du gossypol

## 1- Introduction

Dans le précédent chapitre, la synthèse *racémique* d'analogues de l'apogossypol a été réalisée. Comme les deux atropoisomères du gossypol présentent des activités biologiques différentes (cf. chapitre 1), il est intéressant de disposer d'une voie d'accès atroposélective aux analogues du gossypol et de l'apogossypol. À l'instar du gossypol, de nombreuses molécules biologiquement actives présentent dans leur squelette un biaryle chiral.<sup>92</sup> On peut citer, entre autres, la vancomycine (antibiotique),<sup>93</sup> la korupensamine A (anti VIH),<sup>94</sup> la steganone (anti-leucémique)<sup>95</sup> ... Par ailleurs, les biaryles chiraux ont trouvé de nombreuses applications comme auxiliaires ou ligands chiraux<sup>96</sup> (par exemple le BINAP (2,2'-bis(diphénylphosphino)-1,1'-binaphthyl)<sup>97</sup> ou le MeO-BIPHEP ((6,6'-diméthoxybiphényl-2,2'-diyl)bis(diphénylphosphine))<sup>98</sup> ...) et sont largement utilisés en synthèse ou catalyse asymétrique. Enfin les biaryles chiraux sont également très utiles dans le domaine des matériaux, par exemple pour l'élaboration de cristaux liquides.<sup>99</sup> Pour toutes les applications précédemment citées, il est essentiel de contrôler la stéréochimie de l'axe biaryl. Historiquement, les premières voies d'accès aux biaryles chiraux ont consisté à synthétiser le racémique puis à dédoubler ce dernier.<sup>100</sup> Malheureusement, si un seul des deux énantiomères a une application, alors 50 % minimum du racémique formé est inutilisable. Pour éviter cet écueil, différentes méthodes de synthèse atroposélectives de biaryles ont été développées.

<sup>92</sup> (a) Torssell, K. B. G. *Natural Product Chemistry*; Taylor & Francis: New York, 1997. (b) Okuda, T.; Yoshida, T.; Hatano, T. In *Prog. Chem. Org. Nat. Prod.*; Herz, W.; Kirby, G. W.; Moore, R. E.; Steglich, W.; Tamm, C.; Eds.; Springer: Wien, 1995; Vol. 66, p 1. (c) Bringmann, G.; Pokorny, F. In *The Alkaloids*; Cordell, G. A., Ed.; Academic: New York, 1995; Vol. 46, p 127.

<sup>93</sup> (a) Nicolaou, K. C.; Li, H.; Boddy, C. N. C.; Ramanjulu, J. M.; Yue, T.-Y.; Natarajam, S.; Chui, X. J.; Bräse, S.; Rübsam, F. *Chem. Eur. J.* **1999**, 5, 2584. (b) Williams, D. H.; Bardsley, B. *Angew. Chem. Int. Ed.* **1999**, 38, 1172.

<sup>94</sup> Lipshutz, B. H.; Keith, J. M. *Angew. Chem. Int. Ed.* **1999**, 38, 3530.

<sup>95</sup> Monovich, L. G.; Le Huérou, Y.; Rönn, M.; Molander, G. A. *J. Am. Chem. Soc.* **2000**, 122 (1), 52.

<sup>96</sup> (a) Walsh, P. J.; Lurain, A. E.; Balsells, J. *Chem. Rev.* **2003**, 103, 3297. (b) Pu, L. *Chem. Rev.* **2004**, 104, 1687. (c) Mikami, K.; Yamanaka, M. *Chem. Rev.* **2003**, 103, 3369.

<sup>97</sup> Noyori, R. *Angew. Chem. Int. Ed.* **2002**, 41, 2008.

<sup>98</sup> Schmid, R.; Foricher, J.; Cereghetti, M.; Schönholzer, P. *Helv. Chim. Acta* **1991**, 74, 370.

<sup>99</sup> (a) Goodby, J. W.; Clark, N. A.; Lagerwall, S. T. *Ferroelectric Liquid Crystals: Principles, Properties and Applications*; Gordon and Breach: Philadelphia, 1991. (b) Collings, P. J.; Hird, M. *Introduction to Liquid Crystals Chemistry and Physics*; Taylor and Francis: London, 1997.

<sup>100</sup> Voir par exemple (a) Kazlauskas, R. J. *J. Am. Chem. Soc.* **1989**, 111, 4953. (b) Jacques, J.; Fouquay, C. *Org. Synth.* **1988**, 67, 1.

Dans ce chapitre, les principales méthodes de synthèse stéréosélectives de biaryles chiraux sont présentées succinctement, puis nos travaux vers la synthèse asymétrique d'analogues du gossypol sont décrits.

## 2- Synthèses atroposélectives de biaryles - Littérature

Diverses approches, conceptuellement très différentes, ont été développées pour la synthèse atroposélective des biaryles chiraux. Ces méthodes peuvent schématiquement être classées en trois catégories :<sup>101</sup>

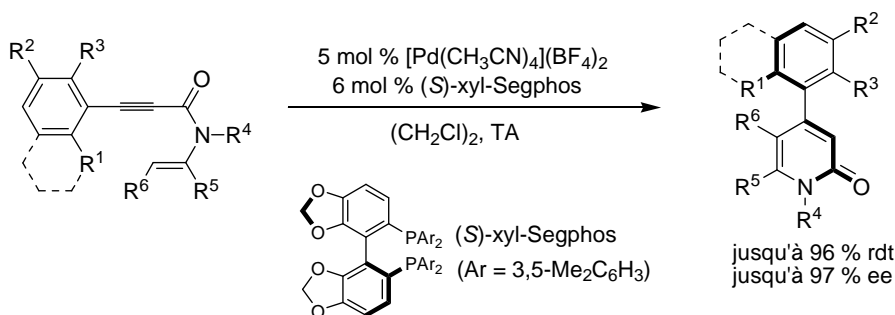
- (i) Dans la première approche, la plus classique, la création de la liaison C-C biaryl et l'induction chirale ont lieu simultanément. Selon le substrat et la réaction mise en œuvre, le couplage biaryl peut être atropodiastéréosélectif ou atropoénantiosélectif.
- (ii) La deuxième stratégie consiste à convertir atroposélectivement un biarile achiral ou racémique afin d'obtenir une molécule optiquement active. Dans cette approche, le couplage non atroposélectif des deux entités aromatiques précède l'introduction de la chiralité.
- (iii) Enfin, dans une troisième approche, un substituant non aromatique d'un cycle aromatique est transformé de façon atroposélective en un second noyau aromatique. Cette troisième approche ne sera pas présentée dans la suite de ce mémoire.<sup>102</sup>

### 2-1- Couplage biaryl diastéréosélectif

Les couplages biaryliques diastéréosélectifs ont été réalisés principalement par (i) l'utilisation d'une agrafe chirale reliant les deux entités aromatiques (couplage intramoléculaire) ou (ii) l'utilisation d'un dérivé aromatique substitué par un auxiliaire chiral en position *ortho* (couplage intermoléculaire).

<sup>101</sup> Revues : (a) Lloyd-Williams, P.; Giralt, E. *Chem. Soc. Rev.* **2001**, 30, 145. (b) Kamikawa, K.; Uemura, M. *Synthlett* **2000**, 7, 938. (c) Stanforth, S. P. *Tetrahedron* **1998**, 54, 263. (d) Bringmann, G., Walter, R.; Weirich, R. dans: Helmchen, G.; Hoffmann, R. W.; Mulzer, J.; Schaumann, E. (Eds.), *Methods of Organic Chemistry* (Houben Weyl), fourth ed., vol. E21a, Thieme, Stuttgart, **1995**, 567. (e) Bringmann, G.; Walter, R.; Weirich, R. *Angew. Chem.* **1990**, 102, 1006. (f) Bringmann, G.; Walter, R.; Weirich, R. *Angew. Chem. Int. Ed. Engl.* **1990**, 29, 977. (g) Lutomski, K. A.; Meyers, A. I. dans : Morrison, J. D. (Ed.) *Asymmetric Synthesis*, vol. 3, Academic Press, New York, **1984**, 213. (h) Bringmann, G.; Mortimer, A. J. P.; Keller, P. A.; Gresser, M. J.; Garner, J.; Breuning, M. *Angew. Chem. Int. Ed.* **2005**, 44, 5384. (i) Bringmann, G.; Gulder, T.; Gulder, T. A. M.; Breuning, M. *Chem. Rev.* **2011**, 111, 563.

<sup>102</sup> Voir par exemple Imase, H.; Suda, T.; Shibata, Y.; Noguchi, K.; Hirano, M.; Tanaka, K. *Org. Lett.* **2009**, 11 (8), 1805.



### 2-1-1- Couplage intramoléculaire atropodiastéréosélectif.

Le couplage de deux unités arylées, préfixées par une agrafe chirale, a été utilisé avec succès pour la synthèse de divers biaryles chiraux. Si l'agrafe chirale ne se retrouve pas dans le squelette du composé final souhaité, cette stratégie nécessite des étapes supplémentaires pour introduire puis éliminer l'auxiliaire chiral (Schéma 26).

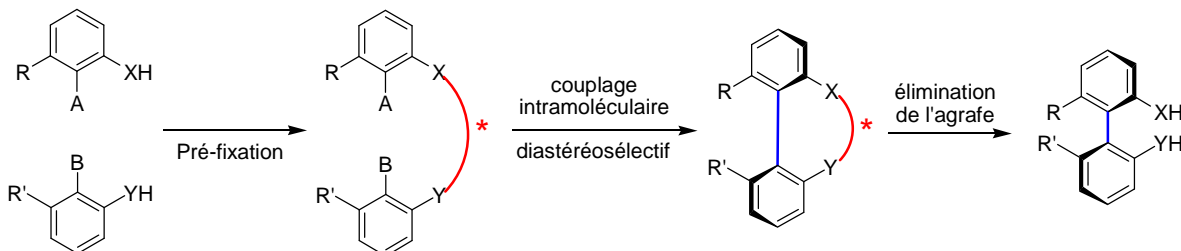


Schéma 26. Principe général du couplage biaryl diastéréosélectif utilisant une agrafe chirale

Cette méthode permet l'accès efficace aux biaryles symétriques ou dissymétriques et la formation intramoléculaire de la liaison biaryllique s'effectue généralement par couplage d'Ullmann,<sup>103</sup> couplage de cuprates mixtes<sup>104</sup> ou couplage oxydant<sup>105</sup> avec des rendements corrects (50-80 %). De très bonnes inductions chirales ont pu être obtenues en utilisant comme agrafes chirales des diols de symétrie  $C_2$ <sup>103,105</sup> (BINOL, diols dérivés de l'acide tartrique...) (Schéma 27).

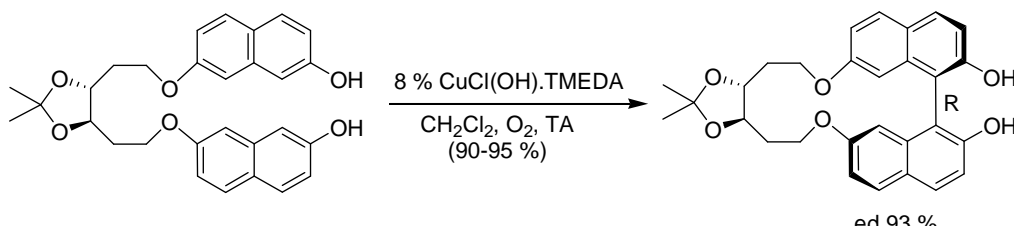


Schéma 27. Utilisation d'une agrafe chirale dérivée d'un diol de symétrie  $C_2$

Cette approche a notamment trouvé des applications dans la synthèse de produits naturels<sup>106</sup> et de ligands pour la catalyse asymétrique (Schéma 28).<sup>107</sup>

<sup>103</sup> (a) Miyano, S.; Fukushima, H.; Handa, S.; Ito, H.; Hashimoto, H. *Bull. Chem. Soc. Jpn.* **1988**, *61*, 3249. (b) Miyano, S.; Handa, S.; Shimizu, K.; Tagami, K.; Hashimoto, H. *Bull. Chem. Soc. Jpn.* **1984**, *57*, 1943.

<sup>104</sup> (a) Lipshutz, B. H.; Kayser, F.; Liu, Z.-P. *Angew. Chem. Int. Ed.* **1994**, *33*, 1842. (b) Lipshutz, B. H.; Siegmann, K.; Garcia, E.; Kayser, F. *J. Am. Chem. Soc.* **2002**, *115*, 9276.

<sup>105</sup> Lipshutz, B. H.; James, B. J.; Vance, S.; Carrico, I. *Tetrahedron Lett.* **1997**, *38* (5), 753.

<sup>106</sup> (a) Lipshutz, B. H.; Müller, P.; Leinweber, D. *Tetrahedron Lett.* **1999**, *40*, 3677. (b) Lin, G.-Q.; Zhong, M. *Tetrahedron: Asymmetry* **1997**, *8*, 1369. (c) Lin, G.-Q.; Zhong, M. *Tetrahedron Lett.* **1997**, *38*, 1087. (d) Baker, R. W.; Kyasnoor, R. V.; Sargent, M. V.; Skelton, B. W.; White, A. H. *Aust. J. Chem.* **2000**, *53*, 487. (e) Lipshutz, B. H.; Liu, Z.-P.; Kayser, F. *Tetrahedron Lett.* **1994**, *35*, 5567.

<sup>107</sup> (a) Madec, J.; Michaud, G.; Genêt, J.-P.; Marinetti, A. *Tetrahedron: Asymmetry* **2004**, *15*, 2253. (b) Michaud, G.; Bulliard, M.; Ricard, L.; Genêt, J.-P.; Marinetti, A. *Chem. Eur. J.* **2002**, *8*, 3327. (c) Qiu, L.; Wu, J.; Chan, S.; Au-Yeung, T. T. L.; Ji, J.-X.; Guo, R.; Pai, C.-C.; Zhou, Z.; Li, X.; Fan, Q.-H.; Chan, A. S. C. *Proc. Natl. Acad. Sci. U.S.A.* **2004**, *101*, 5815.

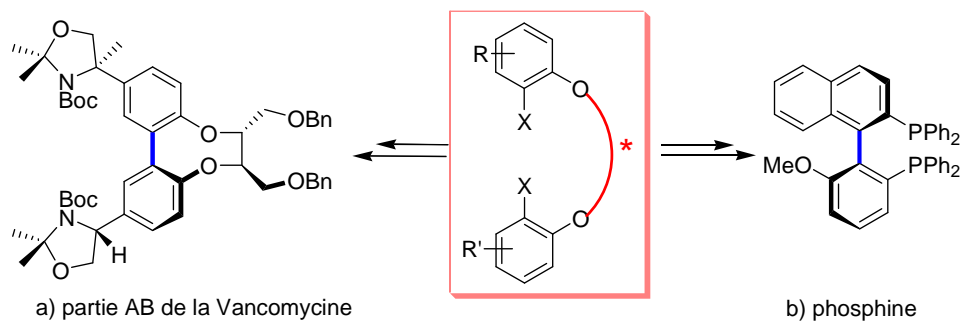


Schéma 28. Utilisation du couplage biarylique diastéréosélectif pour la synthèse de produits naturels et de ligands chiraux

### 2-1-2- Couplage atropodiastérosélectif intermoléculaire

La fonctionnalisation en *ortho* d'un des deux partenaires de couplage par un auxiliaire chiral peut être une méthode efficace pour la synthèse atroposélective de biaryles chiraux (Schéma 29).

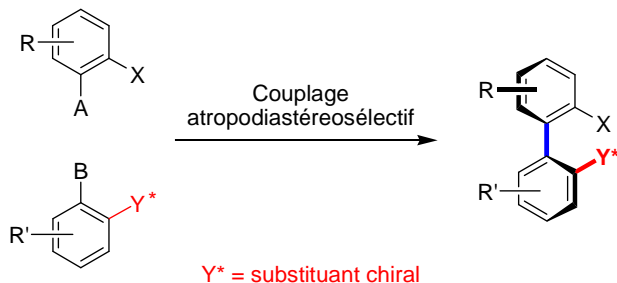


Schéma 29. Principe général du couplage atropodiastérosélectif intermoléculaire

Diverses réactions de couplage intermoléculaires peuvent être mises en œuvre, notamment la substitution nucléophile aromatique ( $S_NAr$ ) d'*ortho*-méthoxyaryloxazolines chirales développées par Meyers (désignée dans la suite de ce mémoire par le terme réaction de Meyers) ou le couplage diastéréosélectif d'Ullmann.

L'accès aux biaryles chiraux par réaction de substitution nucléophile aromatique d'*ortho*-méthoxyaryloxazolines chirales a été développé par Meyers.<sup>20,21a,108</sup> Dans cette transformation, le substituant oxazoline facilite l'attaque du nucléophile (un arylorganomagnésien) en stabilisant la charge négative qui se développe lors de la réaction et induit la stéréosélectivité. La réaction se déroule selon un mécanisme d'addition-élimination et la diastéréosélectivité est déterminée par les deux étapes. En général, la présence en *ortho* du Mg d'un substituant capable de se complexer à celui-ci est nécessaire pour assurer un état de transition bien défini et conduire à d'excellentes diastéréosélectivités (> 98 : 2). Le mécanisme probable de la réaction est illustré dans le Schéma 30. La réaction commence par la complexation du Mg par les doublets de l'oxygène (du méthoxy) et de l'azote (de l'oxazoline). Le groupe R<sup>2</sup> de l'oxazoline protège la face inférieure de l'oxazoline d'une attaque nucléophile et l'organomagnésien réagit préférentiellement par la face supérieure de l'oxazoline. Dans le complexe 2.1 formé avant élimination de Mg(OMe)Br, la libre rotation

<sup>108</sup> Mortier, J. *Curr. Org. Chem.* **2011**, 15, 2413.

autour de la liaison  $\sigma$  est possible et en fonction des effets stériques et électroniques des groupes en *ortho* (2'-OMe et 6'-R<sup>1</sup>), la formation de l'un ou l'autre des diastéréoisomères peut être favorisée. Avec R<sup>1</sup> = CH<sub>2</sub>OTBDMS, la formation du diastéréoisomère *S* est préférée et d'excellentes diastéréosélectivités sont observées.

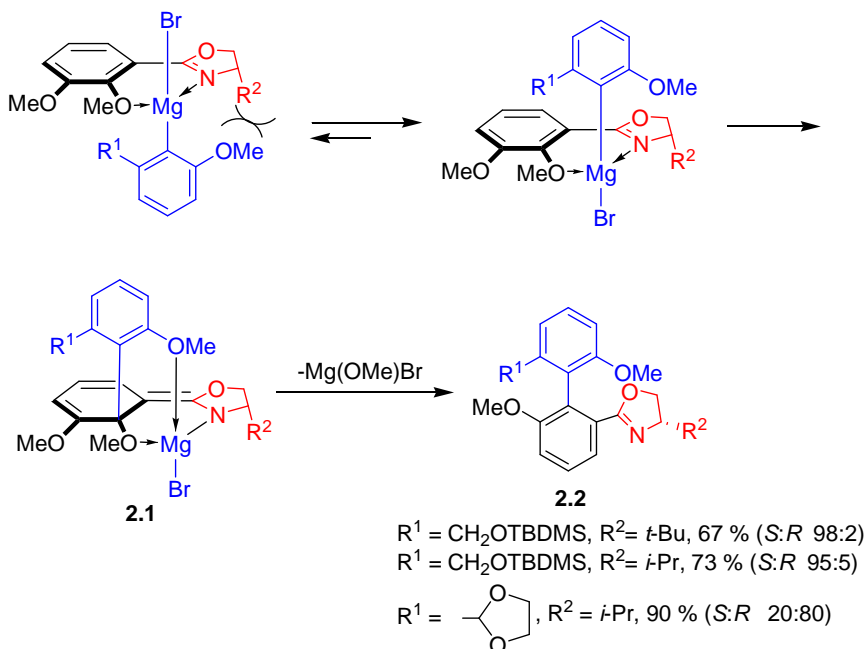


Schéma 30. Mécanisme probable de la réaction de Meyers diastéréosélective

Cette approche a été très largement appliquée pour la synthèse de produits naturels (par exemple (–)-isoschizandrin, (–)-ancistrocladinine, (–)-steganone, desertorin C...) (Figure 11).<sup>20,21a,108</sup>

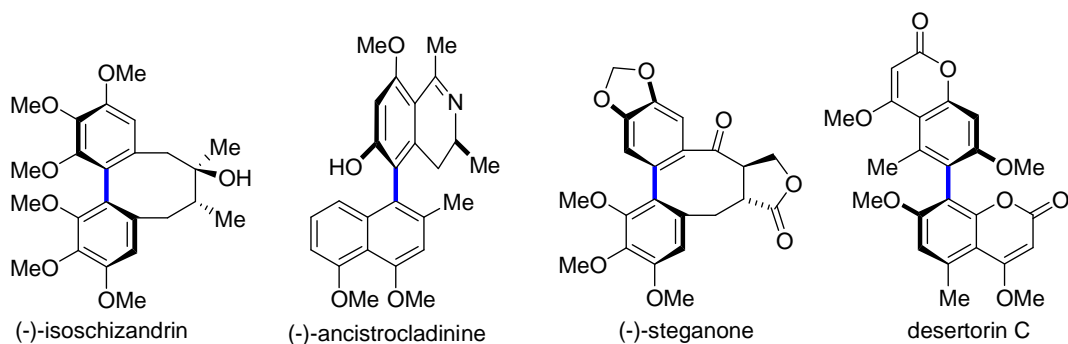


Figure 11. Application de la réaction de Meyers diastéréosélective à la synthèse de produits naturels

Les biaryles chiraux peuvent aussi être synthétisés par couplage d'Ullmann diastéréosélectif. Ainsi la dimérisation de la bromooxazoline chirale **2.3** en présence de cuivre à 110 °C pendant 24 h dans le DMF conduit au biphenyle **2.4** avec un rendement de 58 % et le ratio diastéréomérique *SSS* : *SSR* est 94 : 6 (Schéma 31).<sup>109</sup> Sous contrôle thermodynamique, le diastéréoisomère (*S,S,R*)-**2.4** initialement formé est converti dans les

<sup>109</sup> Meyers, A. I.; Nelson, T. D.; Moorlag, H.; Rawson, D. J.; Meier, A. *Tetrahedron* **2004**, *60*, 4459.

conditions réactionnelles en diastéréoisomère (*S,S,S*)-**2.4**, plus stable (Schéma 32).

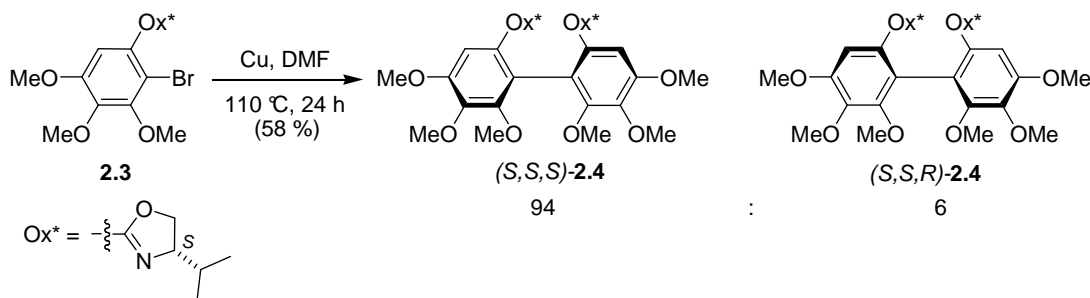


Schéma 31. Couplage d'Ullmann de la bromooxazoline 2.3

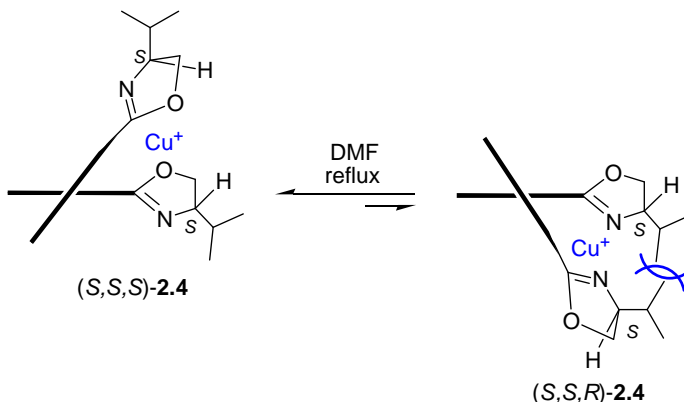


Schéma 32. Équilibre entre (S,S,S)-2.4 et (S,S,R)-2.4

Ce type de couplage a été utilisé dans la synthèse asymétrique du gossypol par Meyers (voir chapitre 1, partie 5-1, page 11).

## 2-2- Synthèse énantiométrique de biaryles

Les principales voies d'accès atropoénantiométriques aux biaryles chiraux reposent sur (i) l'utilisation d'un groupe partant chiral (ii) l'utilisation de ligands chiraux associés à divers métaux de transition.

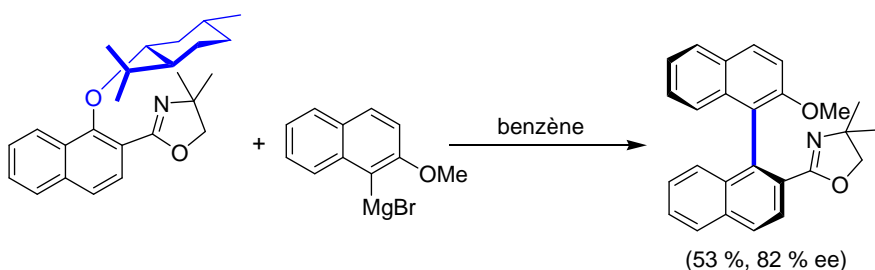
### 2-2-1- Couplages intermoléculaires utilisant des groupes partants chiraux

Cram et Miyano ont développé une version énantiométrique de la réaction de substitution nucléophile aromatique activée par les oxazolines<sup>110</sup> ou les esters encombrés.<sup>111</sup> La stratégie retenue consiste à utiliser comme groupe partant des substituants alcoxyles chiraux issus de substances naturelles (1-menthoxy, quinoxy, quinidinoxy, fenchoxy....). Lors de cette réaction, la meilleure efficacité de transfert chiral<sup>112</sup> est obtenue avec le 1-menthoxy (Schéma 33).<sup>110</sup>

<sup>110</sup> Wilson, J. M.; Cram, D. J. *J. Org. Chem.* **1984**, 49, 4930.

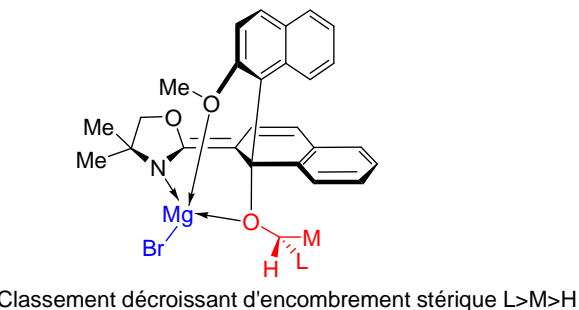
<sup>111</sup> Suzuki, T.; Hotta, H.; Hattori, T.; Miyano, S. *Chem. Lett.* **1990**, 807.

<sup>112</sup> L'efficacité de transfert chiral est défini par Cram par la relation (rendement chimique × excès énantiomérique)/100.



**Schéma 33. Synthèse atropoénantiosélective d'un binaphthalène par  $S_NAr$  d'un 1-(I)-menthoxynaphthalène**

La chélation du substrat au magnésium et les effets stériques expliquent la stéréochimie observée (Figure 12).



**Figure 12. Intermédiaire réactionnel postulé par Cram**

Le recours à des sulfoxydes chiraux en tant que groupes partants a également été testé.<sup>113</sup>

### 2-2-2- Couplages atropoénantiosélectifs catalysés par les métaux de transition

Des binaphhtols chiraux peuvent être préparés avec de bons rendements et une bonne atropoénantiosélectivité par couplage oxydant en présence de sels de cuivre et d'amines chirales (spartéine, dérivés de la proline...) (Schéma 34).<sup>114</sup>

<sup>113</sup> (a) Baker, R. W.; Pocock, G. R.; Sargent, M. V.; Twiss, E. *Tetrahedron: Asymmetry* **1993**, *4*, 2423. (b) Baker, R. W.; Sargent, M. V. *Pure Appl. Chem.* **1994**, *66*, 2143. (c) Baker, R. W.; Hockless, D. C. R.; Pocock, G. R.; Sargent, M. V.; Skelton, B. W.; Sobolev, A. N.; Twiss, E.; White, A. H. *J. Chem. Soc. Perkin Trans. 1* **1995**, 2615.

<sup>114</sup> (a) Nakajima, M.; Kanayama, K.; Miyoshi, I.; Hashimoto, S.-I. *Tetrahedron Lett.* **1995**, *36*, 9519. (b) Nakajima, M.; Miyoshi, I.; Kanayama, K.; Hashimoto, S.-I.; Noji, M.; Koga, K. *J. Org. Chem.* **1999**, *64*, 2264. (c) Kozlowski, M. C.; Morgan, B. J.; Linton, E. C. *Chem. Soc. Rev.* **2009**, *38*, 3193.

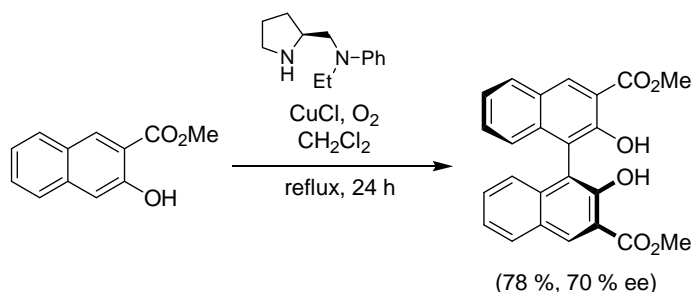


Schéma 34. Couplage oxydant énantiomérisant utilisant un sel de cuivre associé à une amine chirale

Cette réaction est principalement limitée à l'homocouplage, des couplages dissymétriques ont également été décrits mais conduisent généralement à des rendements plus modestes.<sup>115</sup>

Les couplages catalysés par les métaux de transition (couplage de Suzuki, Stille, Negishi, Kumada...) sont à l'heure actuelle une voie d'accès importante aux biaryles racémiques.<sup>116</sup> Ces réactions présentent plusieurs avantages : elles permettent l'accès à des biaryles symétriques ou dissymétriques (couplage croisé), ne sont pas limitées à une substitution particulière et les conditions réactionnelles utilisées sont relativement douces.

Bien que le couplage de Suzuki-Miyaura soit l'une des réactions de couplage biaryllique les plus utilisées,<sup>117</sup> les exemples de couplage atropoénantiomérisant sont relativement peu nombreux (Figure 13).

<sup>115</sup> Smrcina, M.; Poláková, J.; Vyskocil, S.; Kokovsky, P. *J. Org. Chem.* **1993**, 58, 4534.

<sup>116</sup> Hassan, J.; Sévignon, M.; Gozzi, C.; Schulz, E.; Lemaire, M. *Chem. Rev.* **2002**, 102, 1359.

<sup>117</sup> Hiyama, T. *Metal-Catalyzed Cross-coupling Reactions*; Diederich, F.; Stang, P. J. Ed.; Wiley-VCH, 1998.

<sup>118</sup> (a) Cammidge, A. N.; Crépy, K. V. L. *Chem. Comm.* **2000**, 1723. (b) Yin, J.; Buchwald, S. L. *J. Am. Chem. Soc.* **2000**, 122, 12051. (c) Castanet, A.-S.; Colobert, F.; Broutin, P.-E.; Obringer, M. *Tetrahedron: Asymmetry* **2002**, 13, 659. (d) Mikami, K.; Miyamoto, T.; Hatano, M. *Chem. Commun.* **2004**, 2082. (e) Bermejo, A.; Ros, A.; Fernandez, R.; Lassaletta, J. M. *J. Am. Chem. Soc.* **2008**, 130, 15798. (f) Uozumi, Y.; Matsuura, Y.; Arakawa, T.; Yamada, Y. M. A. *Angew. Chem. Int. Ed.* **2009**, 48, 2708.

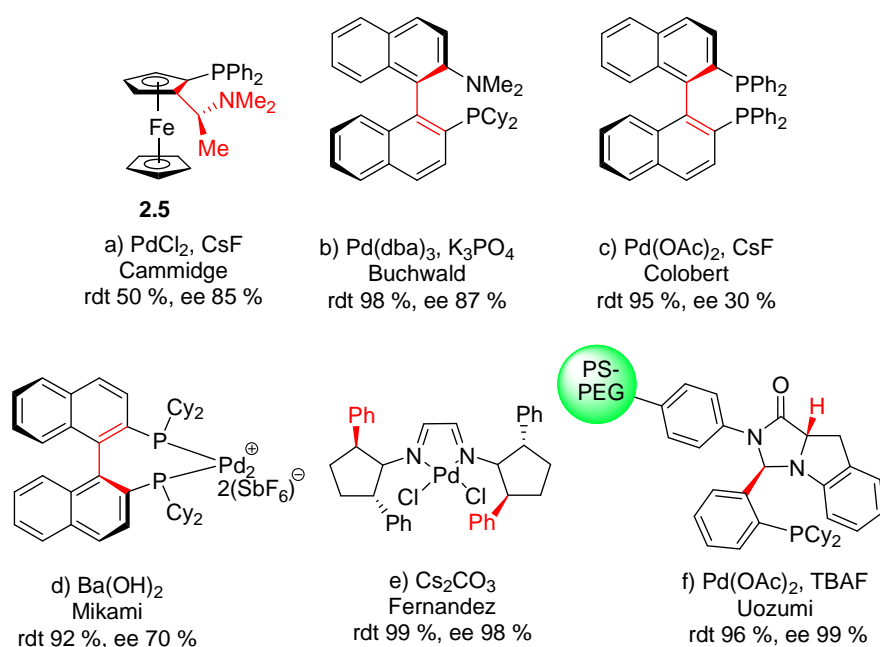


Figure 13. Ligands utilisés dans les couplages de Suzuki atropoénantiosélectifs

Le développement de la réaction de Suzuki atropoénantiosélective est relativement récent et il n'existe pas à l'heure actuelle de procédure standard; chaque nouveau système catalytique et substrat nécessitent une optimisation, souvent assez longue, des conditions réactionnelles. De plus, la réaction de couplage est généralement en concurrence avec l'hydrodéboronation, ce qui rend nécessaire l'utilisation d'un excès d'acide boronique.

### 2-3- Transformations atroposélectives de biaryles pro-chiraux – Concept lactone

A côté de ces synthèses directes de biaryles chiraux, diverses stratégies consistant à construire le biaryle chiral en deux étapes distinctes ont été élaborées. Une première approche consiste à désymétriser des biaryles achiraux.<sup>119,120</sup> Mais la transformation de biaryles pro-chiraux la plus utilisée en synthèse totale a été développée par Bringmann et repose sur l'ouverture atroposélective de lactones biarylques.<sup>121</sup> Cette stratégie est souvent désignée dans la littérature par le terme « concept lactone » (Schéma 35). L'estérification de l'acide *ortho*-halogénobenzoïque **2.6** avec le phénol **2.7** conduit au bromoester **2.8**, précurseur de la lactone racémique **2.9** par couplage pallado-catalysé intramoléculaire. L'ouverture atropoénantio- ou atropodiastéréosélective de la lactone **2.9** par une large gamme de

<sup>119</sup> Des bons rendements et une excellente énantiomériséité ont été obtenus lors de la réaction de 2,6-ditriflates achiraux avec des réactifs de Grignard en présence d'un complexe de palladium chiral. Voir (a) Kamikawa, T.; Hayashi, T. *Tetrahedron* **1999**, 55, 3455. (b) Kamikawa, T.; Uozumi, Y.; Hayashi, T. *Tetrahedron Lett.* **1996**, 37, 3161. (c) Hayashi, T.; Niizuma, S.; Kamikawa, T.; Suzuki, N.; Uozumi, Y. *J. Am. Chem. Soc.* **1995**, 117, 9101.

<sup>120</sup> Une excellente diastéréosélectivité a également été obtenue lors de la formation de lactames biarylques par réaction, avec le (*R*)-phénylglycinol, d'un biaryle substitué en *ortho*, *ortho'* par un groupement ester et une cétone. Voir (a) Penhoat, M.; Levacher, V.; Dupas, G. *J. Org. Chem.* **2003**, 68, 9517. (b) Bouet, A.; Heller, B.; Papamicaël, C.; Dupas, G.; Oudeyer, S.; Marsais, F.; Levacher, V. *Org. Biomol. Chem.* **2007**, 5, 1397.

<sup>121</sup> (a) Bringmann, G.; Breuning, M.; Tasler, S. *Synthesis* **1999**, 4, 525. (b) Bringmann, G.; Breuning, M.; Pfeifer, R.-M.; Schenk, W. A.; Kamikawa, K.; Uemura, M. *J. Organomet. Chem.* **2002**, 661, 31 et ref. citées dans ces deux revues.

nucléophiles permet d'accéder aux biaryles chiraux **2.10** avec une très bonne atroposélectivité (Schéma 35).

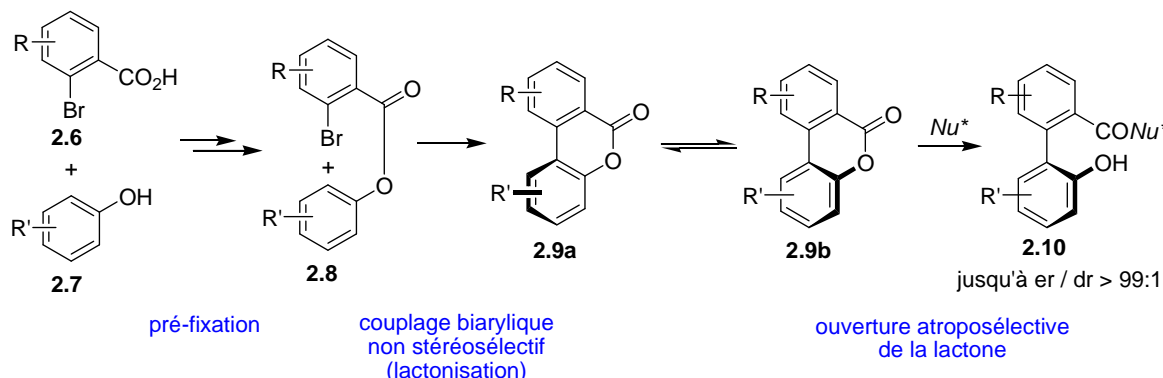


Schéma 35. Concept lactone

Les lactones biarylques **2.11** ne sont pas planes et existent sous la forme de deux atropoisomères. Lorsque ces énantiomères s'interconvertissent très rapidement et qu'ils réagissent avec des nucléophiles chiraux, il est possible d'obtenir par résolution cinétique dynamique très majoritairement un seul des deux atropoisomères à partir de la lactone biarylque racémique (Schéma 36).

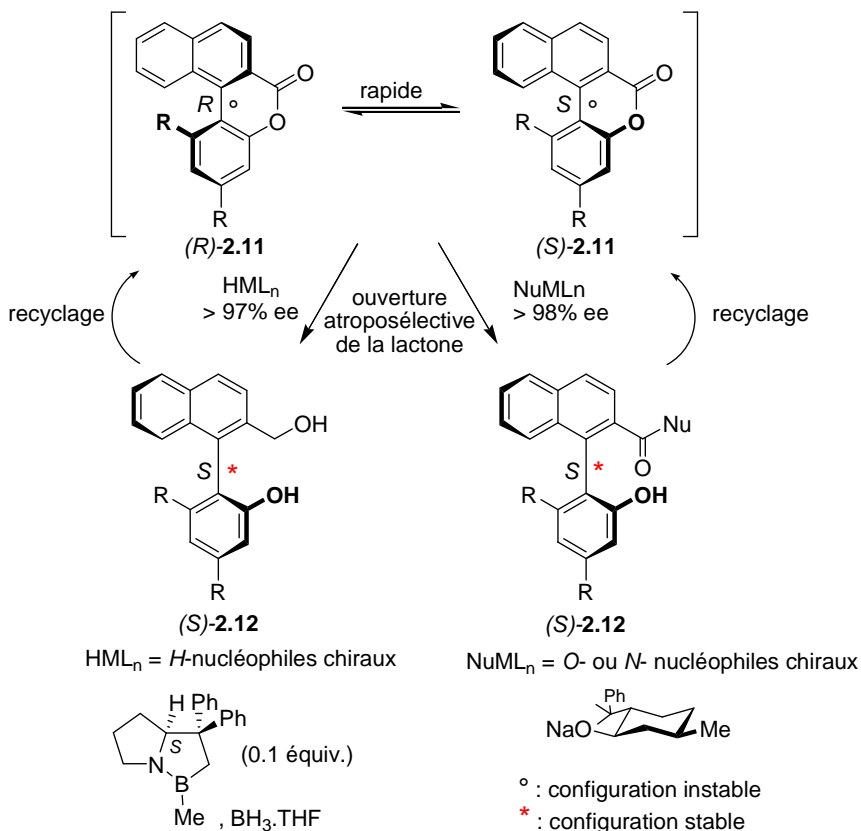


Schéma 36. Résolution cinétique dynamique lors de l'ouverture atroposélective d'une lactone biarylque

Trois méthodes peuvent être utilisées pour l'ouverture atroposélective des lactones : (i) l'ouverture des lactones par un nucléophile chiral chargé, (ii) la complexation du carbonyle de

la lactone par un acide de Lewis puis l'attaque par un nucléophile non chargé et (iii) l'activation et la stéréodifférentiation du système aromatique par la formation d'un complexe ( $\eta^6$ -arène)chrometricarbonyle ou un complexe du ruthénium chiral (Figure 14).

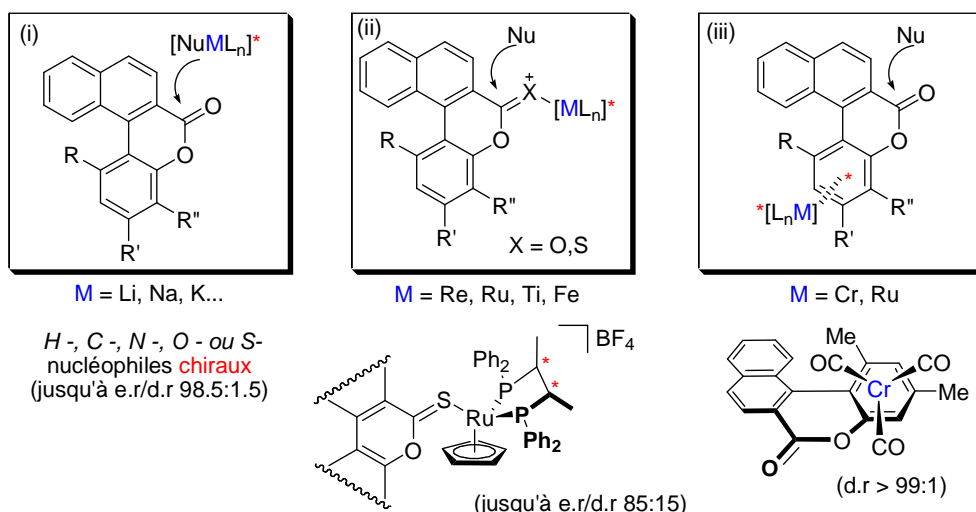


Figure 14. Stratégies utilisées pour l'ouverture atroposélective d'une lactone biaryllique racémique

La méthode la plus courante correspond au cas (i)<sup>9a,121,122</sup> et les nucléophiles chiraux les plus utilisés sont les alcoolates (par exemple mentholate de sodium),<sup>123</sup> les amidures (notamment le 1-phényléthylamidure de potassium)<sup>124</sup> ou des hydrures (complexes borane-oxazaborolidine ou BINAL-H).<sup>125</sup> En utilisant l'un ou l'autre des énantiomères de ces nucléophiles, il est possible de favoriser la formation du biaryle de configuration axiale *S* ou *R*. Par ailleurs, l'atropoisomère non désiré éventuellement formé peut être recyclé en préparant de nouveau la lactone initiale (Schéma 36).

La deuxième stratégie (cas ii) repose sur l'activation du carbonyle de la lactone par complexation avec un acide de Lewis, suivie de l'attaque de la lactone par un nucléophile non chargé chiral. Une alternative consiste à utiliser un acide de Lewis chiral, ce qui permet par la suite l'utilisation d'un nucléophile non chiral. Ainsi dans l'exemple présenté Figure 14 cas ii, la thionolactone est complexée par le complexe chiral ruthénium/*S,S*-CHIRAPHOS. A l'issue de la séquence réactionnelle, le complexe de ruthénium peut être récupéré et recyclé.

La troisième approche (cas iii) s'appuie sur la préparation de complexes de type ( $\eta^6$ -arène)chrometricarbonyle<sup>126</sup> ou ( $\eta^6$ -arène) cyclopentadiényleruthénium.<sup>127</sup> Un complexe

<sup>122</sup> Bringmann, G.; Tasler, S.; Pfeifer, R.-M.; Breuning, M. *J. Organomet. Chem.* **2002**, *661*, 49.

<sup>123</sup> Bringmann, G.; Breuning, M.; Walter, R.; Wuzik, A.; Peters, K.; Peters, E.-M. *Eur. J. Org. Chem.* **1999**, *3047*.

<sup>124</sup> Bringmann, G.; Breuning, M.; Tasler, S.; Endress, H.; Ewers, C. L. J.; Göbel, L.; Peters, K.; Peters, E.-M. *Chem. Eur. J.* **1999**, *5*, 3029.

<sup>125</sup> Bringmann, G.; Hartung, T. *Tetrahedron* **1993**, *49*, 7891.

<sup>126</sup> Bringmann, G.; Wuzik, A.; Stowasser, R.; Rummey, C.; Göbel, L.; Stalke, D.; Pfeiffer, M.; Schenk, W. A. *Organometallics* **1990**, *18*, 5017.

<sup>127</sup> Kamikawa, K.; Norimura, K.; Furusyo, M.; Uno, T.; Sato, Y.; Konoo, A.; Bringmann, G.; Uemura, M. *Organometallics* **2003**, *22*, 1038.

présentant une chiralité planaire est obtenu et une bonne atroposélectivité lors de l'ouverture de la lactone peut être observée, même en présence de nucléophiles achiraux (Figure 14 cas iii).

Le « concept lactone » a été appliqué à la synthèse de nombreux produits naturels tels que des naphtylisoquinolines (par exemple korupensamine B<sup>85a</sup> et dioncophylline C<sup>128</sup>), des sesquiterpènes dimériques (mastigophorene A),<sup>129</sup> des phénylanthaquinones (knipholone),<sup>130</sup> des bicoumarines (isokotanin A),<sup>131</sup> des biscarbazoles biarylques (bismurrayaqueinone-A)<sup>9a</sup> (Figure 15).

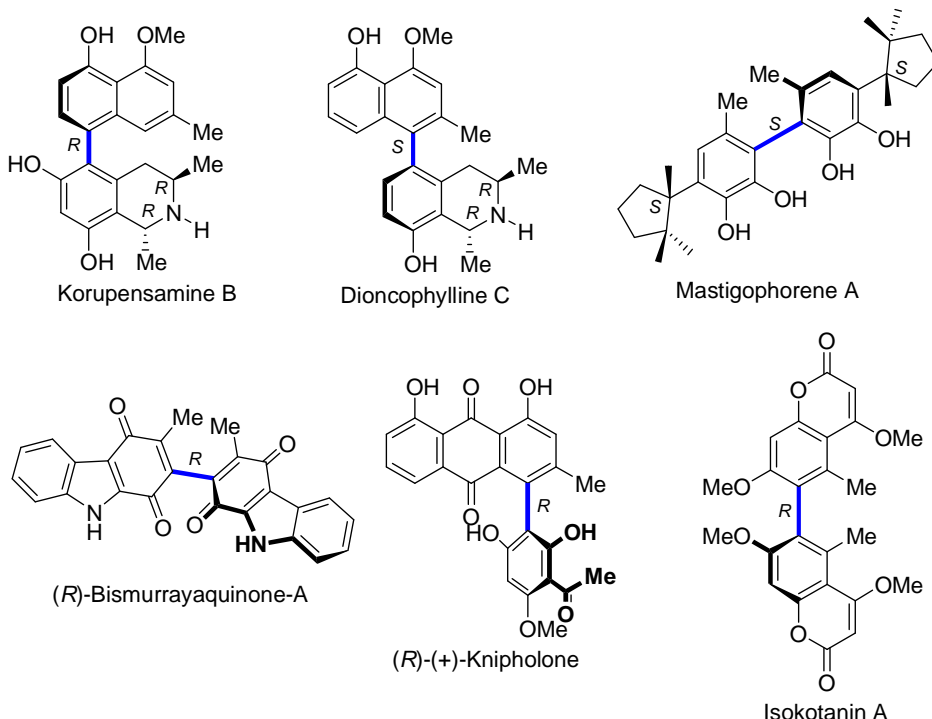


Figure 15. Application du concept lactone à la synthèse de produits naturels

### 3- Vers la synthèse atroposélective d'analogues du gossypol en utilisant le concept lactone – Résultats

#### 3-1- Rétrosynthèse

Bien que les biaryles chiraux possèdent des nombreuses applications, il n'existe que relativement peu de méthodes permettant la construction régio et stéréosélective de ces structures chirales... Parmi celles-ci, le « concept lactone » a été utilisé avec succès pour synthétiser une grande variété de composés naturels biarylques qui, pour certains, possèdent en *ortho*, *ortho'* de l'axe biarylque des substituants identiques à ceux du gossypol (par

<sup>128</sup> Bringmann, G.; Holenz, J.; Weirich, R.; Rübenacker, M.; Funke, C. *Tetrahedron* **1998**, *54*, 497.

<sup>129</sup> Bringmann, G.; Pabst, T.; Henschel, P.; Kraus, J.; Peters, K.; Peters, E.-M.; Rycroft, D. S.; Connolly, J. D. *J. Am. Chem. Soc.* **2000**, *122*, 9127.]

<sup>130</sup> Gerhard Bringmann, G.; Menche, D.; Kraus, J.; Mühlbacher, J.; Peters, K.; Peters, E. M.; Brun, R.; Bezabih, M.; Abegaz, B. M. *J. Org. Chem.* **2002**, *67*, 5595.

<sup>131</sup> Bringmann, G.; Hinrichs, J.; Henschel, P.; Kraus, J.; Peters, K.; Peters, E.-M. *Eur. J. Org. Chem.* **2002**, 1096.

exemple la mastigophorene A, l'isokotanin A (Figure 15)). Ces différents éléments nous ont amené à retenir cette stratégie pour la synthèse atroposélective d'analogues du gossypol.

Le schéma rétrosynthétique proposé est présenté ci-dessous.

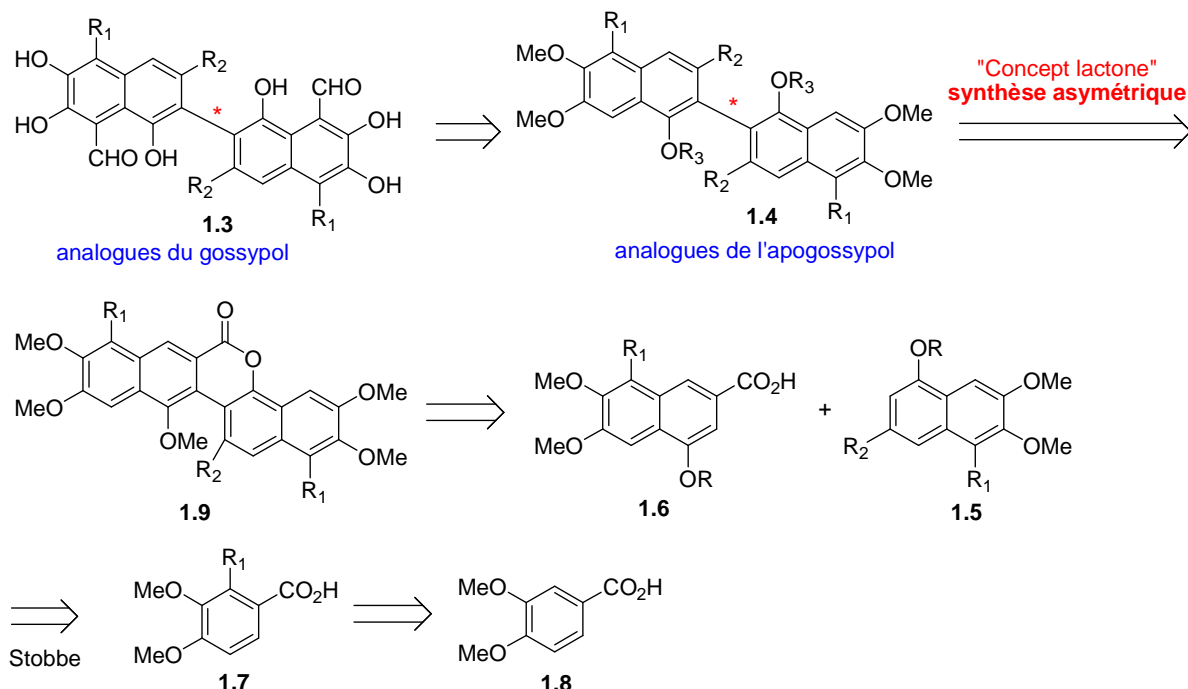


Schéma 37. Rétrosynthèse des analogues du gossypol (approches racémique et atroposélective)

Il devrait être possible d'accéder à des analogues chiraux du gossypol par ouverture par des nucléophiles chiraux des lactones **1.9**.<sup>9</sup> Ces dernières peuvent être synthétisées par condensation des deux sous-unités naphtaléniques **1.6** et **1.5** qui sont des intermédiaires synthétiques déjà préparés lors de la synthèse racémique des analogues de l'apogossypol.

Il a été décidé de mettre au point la synthèse asymétrique des analogues de l'apogossypol dans le cas du 5,5'-didés-*iso*-propyl-5,5'diméthylapogossypol. Deux précurseurs de la lactone **2.14** sont envisageables, à savoir les dérivés bromés **2.15** et **2.16** (Schéma 38). L'acide **1.6a** et l'alcool **2.17** devraient conduire à l'ester bromé **2.15** (voie A). De même, l'ester **2.16** pourrait être obtenu à partir des composés **1.118** et **2.18** issu de la bromation de **1.104** (voie B). Les précurseurs **1.104** et **1.118** ont été préparés lors de la synthèse racémique d'analogues de l'apogossypol (cf. chapitre 1, page 11).

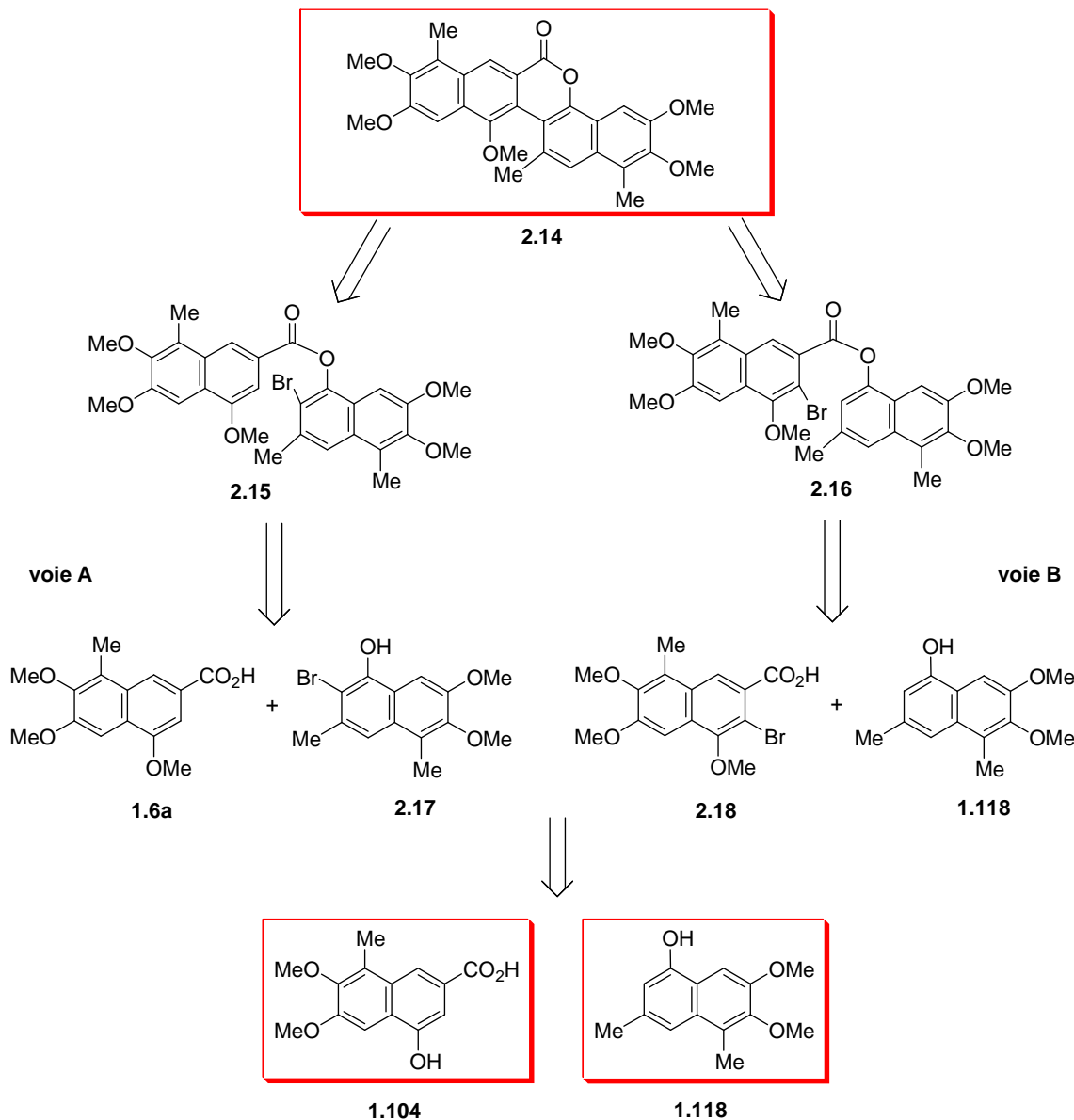


Schéma 38. Bromoesters 2.15 et 2.16, précurseurs potentiels de la lactone 2.14

### 3-2- Synthèse de l'ester 2.15 (voie A)

Au cours de la thèse de Thanh Chau,<sup>70</sup> un unique essai de bromation du 6,7-diméthoxy-3,5-diméthyl-1-naphtol **1.118** a été réalisé. Les conditions réactionnelles {1 équiv. de NBS dans le tétrachlorure de carbone à température ambiante} ont conduit à la formation du 2-bromo-6,7-diméthoxy-3,5-diméthyl-1-naphtalène-1-ol (**2.17**) avec un rendement brut de 83 %. La structure du composé **2.17** a été déterminée par les expériences de NOESY, HMBC et HSQC. En reprenant ce travail, il est apparu que ces conditions réactionnelles ne sont pas reproductibles. En fin de réaction, le produit 2-bromo-6,7-diméthoxy-3,5-diméthyl-naphtalén-1-ol (**2.17**) est effectivement le produit majoritairement formé mais il est isolé en mélange avec un autre produit bromé dans des proportions variables d'un essai à l'autre (Schéma 39). Des conditions de séparation efficaces de ces deux composés par chromatographie sur gel de silice ou recristallisation n'ont pu être trouvées.

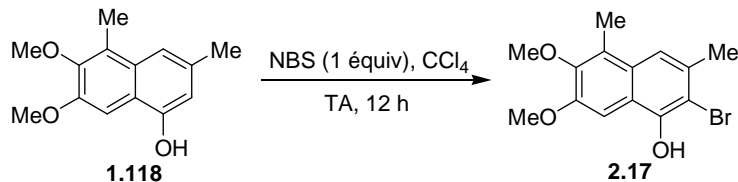


Schéma 39. Bromation du naphtol **1.118** par le NBS dans  $\text{CCl}_4$

La structure du deuxième produit formé n'a pas pu être identifiée, toutefois les spectres RMN  $^{13}\text{C}$  et DEPT135 permettent d'exclure un composé issu de la bromation benzylique de **2.17** alors qu'une analyse HPLC couplé masse permet d'écartier un dérivé dibromé.

D'autres conditions réactionnelles pour la bromation électrophile du 3,5-diméthyl-6,7-diméthoxy-1-naphtol **1.118** ont été testées. L'utilisation du dibrome (dans l'acide acétique<sup>132</sup> ou dans l'acétonitrile<sup>133</sup>), de la 1,3-dibromo-5,5-diméthylhydantoïne (DBDMH) dans l'acétate d'éthyle<sup>134</sup> ou du *N*-bromosuccinimide (NBS) dans le dichlorométhane en présence de di-*iso*-propylamine<sup>135</sup> conduit à un mélange complexe de produits non séparables.

Compte tenu du manque de reproductibilité observée lors de la bromation de **1.118**, la synthèse de la lactone **2.14** par la voie A n'a pas été poursuivie.

### 3-3- Synthèse de la lactone **2.14** à partir de l'ester **2.16** (voie B)

#### 3-3-1- Synthèse de l'acide 3-bromo-4,6,7-triméthoxy-8-méthyl-naphtalène-2-carboxylique (2.18)

La réaction de **1.104** avec la 1,3-dibromo-5,5-diméthylhydantoïne (DBDMH)<sup>136</sup> dans l'acétate d'éthyle à température ambiante conduit à l'acide 3-bromo-4-hydroxy-6,7-diméthoxy-8-méthyl-naphtalène-2-carboxylique (**2.19**) (70 %) facilement isolé par recristallisation (Schéma 40). Après protection de l'hydroxyle [ $\text{K}_2\text{CO}_3$ ,  $\text{Me}_2\text{SO}_4$ , acétone, TA] et saponification,<sup>137</sup> on obtient l'acide 3-bromo-4,6,7-triméthoxy-8-méthyl-naphtalène-2-carboxylique (**2.18**) (91 %).

<sup>132</sup> Lanfranchi, D. A.; Hanquet, G. *J. Org. Chem.* **2006**, 71, 4854.

<sup>133</sup> Carreño, M. C.; Ruano, J. L. G.; Sanz, G.; Toledo, M. A.; Urbano, A. *Synlett* **1997**, 1241.

<sup>134</sup> Connolly, T.J.; Matchett, M.; McGarry, P.; Sukhtankar, S.; Zhu, J. *Org. Proc. Res. Dev.* **2004**, 8, 624.

<sup>135</sup> Krohn, K.; Bernhard, S.; Flörke, U.; Hayat, N. *J. Org. Chem.* **2000**, 65, 3218.

<sup>136</sup> (a) Auerbach, J.; Weissman, S. A.; Blackblock, T. J.; Angelos, M. R.; Hoogsteen, K. *Tetrahedron Lett.* **1993**, 34, 931. (b) Chassaing, C.; Haudrechy, A.; Langlois, Y. *Tetrahedron Lett.* **1997**, 38, 4415.

<sup>137</sup> Tamura, Y.; Fukata, F.; Sasho, M.; Tsugoshi, T.; Kita, Y. *J. Org. Chem.* **1985**, 50, 2273.

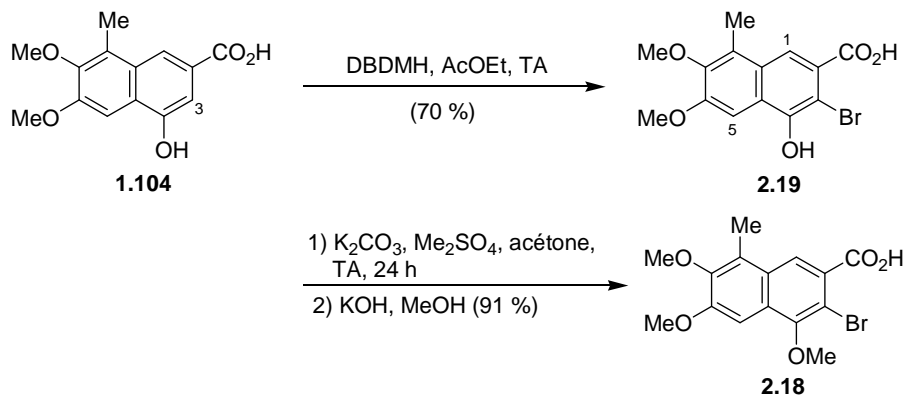


Schéma 40. Synthèse de l'acide 3-bromo-4,6,7-triméthoxy-8-méthyl-naphtalène-2-carboxylique (2.18)

La position de l'atome de brome pour le composé **2.19** a été établie par une expérience NOESY phasée (Figure 16). Cette expérience permet de mettre en évidence une tache de corrélation entre un proton aromatique à 7.77 ppm et les protons du groupement méthyle à 2.50 ppm ainsi qu'une tache de corrélation entre un proton aromatique à 7.53 ppm et les protons du groupement méthoxy (3.95 ppm). Seule la structure **2.19** est compatible avec ces résultats. En effet, l'isomère de position **2.19a** ne possède pas de proton aromatique à proximité du groupement méthyle et **2.19b** ne possède pas de proton aromatique adjacent à un groupement méthoxy.

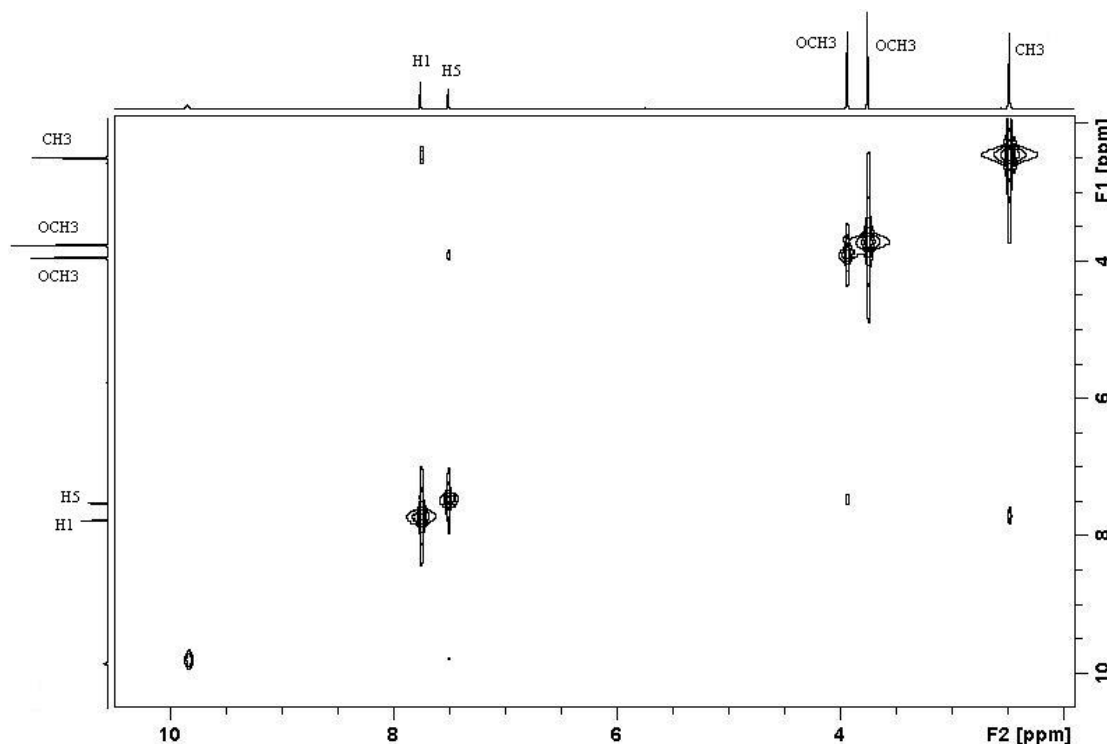


Figure 16. Spectre NOESY phasé de 2.19

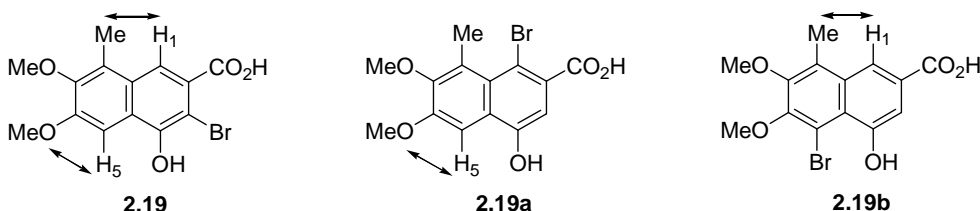


Figure 17. Analyse RMN  $^1\text{H}$  du composé 2.19

### 3-3-2- Synthèse du bromo-ester 2.16

L'acide **2.18** et l'alcool **1.118**, en présence de dicyclohexylcarbodiimide (DCC) et de 4-(diméthylamino)pyridine (DMAP) dans le DCM<sup>138</sup> conduisent au bromoester **2.16** avec un rendement modéré de 53 % après chromatographie sur gel de silice (Schéma 41). L'estérification réalisée dans les conditions développées par Yamaguchi {chlorure de 2,4,6-trichlorobenzoyle/Et<sub>3</sub>N/DMAP}<sup>139</sup> ne permet pas d'améliorer le rendement. Afin d'optimiser cette étape, il conviendrait de tester d'autres conditions d'estérification.<sup>140</sup>

<sup>138</sup> Bringmann, G.; Menche, D.; Mühlbacher, J.; Reichert, M.; Saito, N.; Pfeiffer, S. S.; Lipshutz, B. H. *Org. Lett.* **2002**, 4, 2833.

<sup>139</sup> (a) Tamiya, M.; Ohmori, K.; Kitamura, M.; Kato, H.; Arai, T.; Oorui, M.; Suzuki, K. *Chem. Eur. J.* **2007**, 13, 9791. (b) Inanaga, J.; Hirata, K.; Saeki, H.; Katsuki, T.; Yamaguchi, M. *Bull. Chem. Soc. Jpn.* **1979**, 52, 1989.

<sup>140</sup> Otera, J. *Esterification : Methods, reactions and applications*; Wiley-VCH Verlag GmbH & Co. KgaA, 2010.

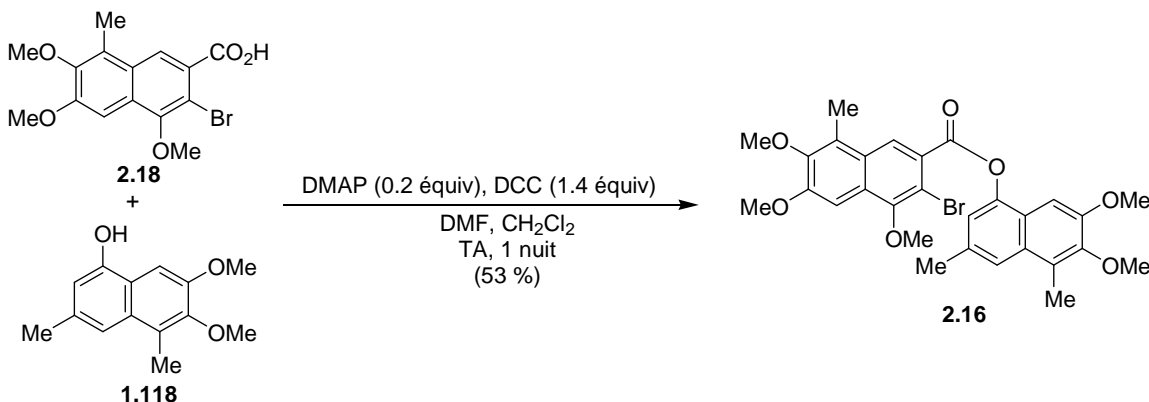


Schéma 41. Synthèse du bromoester 2.16

### 3-3-3- Synthèse de la lactone 2.14 par couplage pallado-catalysé

La formation de la lactone **2.14** par couplage pallado-catalysé du bromoester **2.16** en présence d'une base a ensuite été étudiée.

L'examen de la littérature<sup>9a,102i</sup> révèle que pour ce type de couplage, il est nécessaire d'optimiser, pour chaque substrat, le catalyseur et la base utilisée. Le diméthylacétamide (DMA) est le solvant classiquement utilisé pour cette réaction. La plupart des réactions d'arylation directe catalysées au Pd, décrites dans le cadre de synthèses totales de produits biologiques actifs, utilisent comme système catalytique le dichlorobis(triphénylphosphine)palladium(II) Pd(PPh<sub>3</sub>)<sub>2</sub>Cl<sub>2</sub> (avec ou sans triphénylphosphine supplémentaire), le palladium acéate (avec ou sans triphénylphosphine supplémentaire) ou le palladacycle de Hermann<sup>141</sup> (préparé à partir de palladium acéate Pd(OAc)<sub>2</sub> et de tri(*o*-tolyl)phosphine). Les quantités de palladium utilisées sont habituellement comprises entre 10 et 30 % molaire. Par ailleurs, des travaux de méthodologie montrent que pour ce type de couplage, le remplacement de la triphénylphosphine (ou de la tri(*o*-tolyl)phosphine) par d'autres ligands tels que la tricyclohexylphosphine P(cy)<sub>3</sub><sup>142</sup> ou le (2-(diphénylphosphino)-2'-(*N,N*-diméthylamino)biphényle peuvent permettre, pour certaines réactions, d'améliorer de façon très significative la conversion.<sup>143</sup> La nature de la base utilisée peut aussi avoir une influence notable sur le rendement de la réaction et les bases les plus fréquemment utilisées sont l'acétate de sodium NaOAc, le carbonate de potassium K<sub>2</sub>CO<sub>3</sub>, le carbonate de cézium Cs<sub>2</sub>CO<sub>3</sub> et le pivalate de sodium NaOPiv<sup>138,144</sup> ...

Le premier essai de couplage a été réalisé en utilisant l'acétate de sodium NaOAc (2 équiv.) et le palladium acéate Pd(OAc)<sub>2</sub> (0.1 équiv.) associé à la triphénylphosphine PPh<sub>3</sub> (0.2 équiv.) au reflux du DMA (entrée 1, Tableau 1). Dans ces conditions, la lactone **2.14** est formée avec un rendement brut de 40 %. Le remplacement de l'acétate de sodium par le pivalate de sodium permet d'augmenter le rendement brut jusqu'à 63 % (entrée 3) alors que la

<sup>141</sup> Bringmann, G.; Hinrichs, J.; Kraus, J.; Wuzik, A.; Schulz, T. *J. Org. Chem.* **2000**, 65, 2517.

<sup>142</sup> (a) Cuny, G. D. *Tetrahedron Lett.* **2004**, 45, 5167; (b) Fagnou, K.; Campeau, L.-C. *Chem. Comm.* **2006**, 1253.

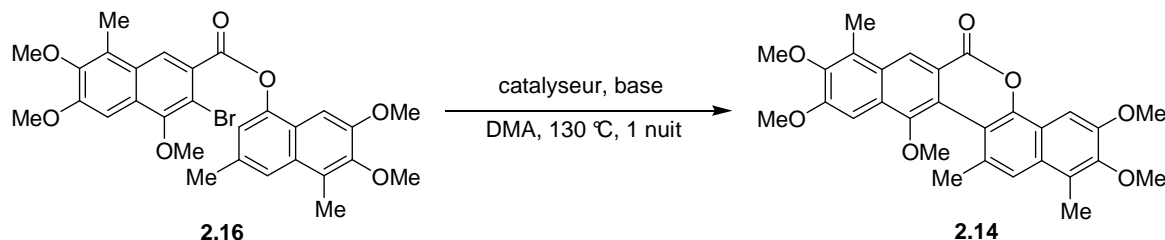
<sup>143</sup> Campeau, L.-C.; Parisien, M.; Leblanc, M.; Fagnou, K. *J. Am. Chem. Soc.* **2004**, 126, 9186.

<sup>144</sup> Alam, A.; Tsuboi, S. *Tetrahedron* **2007**, 63, 10454.

lactone n'est formée qu'à l'état de traces lorsque le pivalate de césum est utilisé comme base (entrée 5). Dans ce dernier cas, on isole comme sous-produit en fin de réaction le naphtol **1.118** et l'ester **2.20** (20 %) (Figure 18). Quelle que soit la base employée (NaOAc ou NaOPiv), l'augmentation de la quantité de Pd(OAc)<sub>2</sub> ne permet pas d'améliorer le rendement (entrées 2 et 4). Afin d'améliorer encore le rendement de cette étape, il serait intéressant de tester d'autres systèmes catalytiques (palladacycle de Hermann, palladium acétate associé à la tricyclohexylphosphine...).

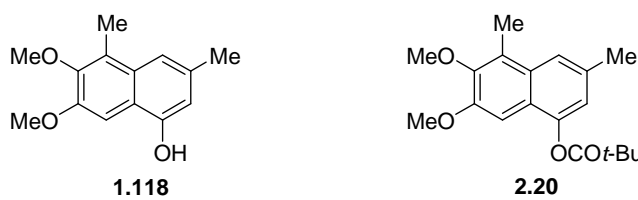
La purification de la lactone **2.14** n'est pas aisée et il n'a pas été possible de séparer le composé **2.14** du bromoester **2.16** par chromatographie sur gel de silice.

**Tableau 1. Synthèse de la lactone **2.14** par couplage pallado-catalysé**



Entrée	Catalyseur, base	Rendement brut <b>2.14</b> <sup>a</sup> (%)
1	Pd(OAc) <sub>2</sub> (0.1 équiv.), PPh <sub>3</sub> (0.2 équiv.), NaOAc (2 équiv.)	40
2	Pd(OAc) <sub>2</sub> (0.3 équiv.), PPh <sub>3</sub> (0.6 équiv.), NaOAc (2 équiv.)	25
3	Pd(OAc) <sub>2</sub> (0.1 équiv.), PPh <sub>3</sub> (0.2 équiv.), NaOPiv (2 équiv.)	63
4	Pd(OAc) <sub>2</sub> (0.2 équiv.), PPh <sub>3</sub> (0.4 équiv.), NaOPiv (2 équiv.)	59
5	Pd(OAc) <sub>2</sub> (0.1 équiv.), PPh <sub>3</sub> (0.2 équiv.), CsOPiv (2 équiv.)	<5

<sup>a</sup> Le rendement brut est calculé à partir du spectre RMN <sup>1</sup>H du brut réactionnel



**Figure 18. Naphtol **1.118** et ester **2.20****

#### 4- Conclusion – Perspectives

La stratégie retenue pour la synthèse asymétrique d'analogues de l'apogossypol repose sur le concept lactone. La lactone **2.14**, un intermédiaire clé de la synthèse a été préparée à partir de l'acide 4,6,7-triméthoxy-8-méthyl-naphtalène-2-carboxylique (**1.6a**) et du 6,7-diméthoxy-3,5-diméthyl-naphtalén-1-ol (**1.118**), des composés déjà préparés lors de nos travaux sur la synthèse racémique des analogues de l'apogossypol (Schéma 42). Il reste désormais à étudier l'ouverture de cette lactone par des nucléophiles chiraux. Parmi eux, on

pourra tester le complexe  $\text{BH}_3$ -oxazaborolidine chirale. Alternativement des alcoolates chiraux (mentholate de sodium) ou des amidures chiraux pourront être évalués.

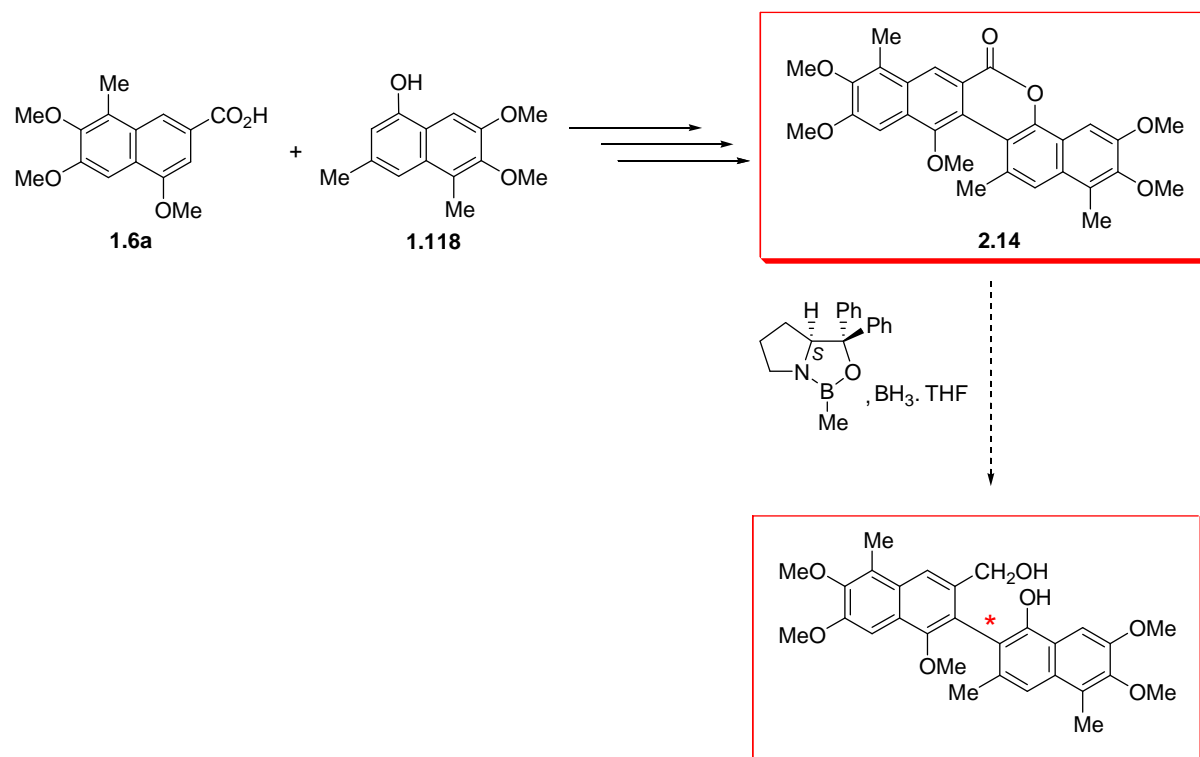
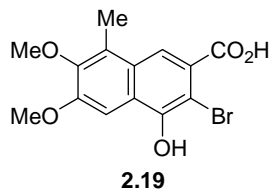


Schéma 42. Lactone 2.14 et ses précurseurs 1.6a et 1.118

## 5- Partie expérimentale

### 3-Bromo-4-hydroxy-6,7-dimethoxy-8-methylnaphthalen-2-carboxylic acid (2.19)

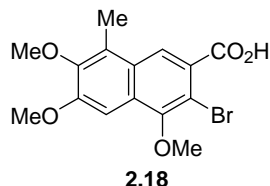


To a solution of 4-hydroxy-6,7-dimethoxy-8-methylnaphthalen-2-carboxylic acid (**1.104**) (0.159 g, 0.605 mmol) in ethylacetate (15 mL) was added 1,3-dibromo-5,5-dimethylhydantoin (DBDMH) (0.090 g, 0.308 mmol). <sup>134,145</sup> After 24 h stirring at room temperature, the reaction mixture was washed successively with a 0.6M solution of sodium sulfite (0.5 mL) and with water (3 x 10 mL). The organic phase was dried over  $\text{MgSO}_4$ , and concentrated *in vacuo*. Recrystallization (cyclohexane/ethylacetate) afforded 3-bromo-4-hydroxy-6,7-dimethoxy-8-methylnaphthalen-2-carboxylic acid (**2.19**) as a yellow solid (0.144 g, 70 %).  $\text{Mp} > 210 \text{ }^\circ\text{C}$  (decomposition)  $^1\text{H}$  NMR (400 MHz,  $\text{DMSO}-d_6$ )  $\delta$ : 7.77 (s, 1H), 7.53 (s, 1H), 3.95 (s, 3H,  $\text{OCH}_3$ ), 3.77 (s, 3H,  $\text{OCH}_3$ ), 2.50 (s, 3H,  $\text{CH}_3$ ).  $^{13}\text{C}$  NMR (50 MHz,

<sup>145</sup> (a) McKillop, A.; Turrell, A. G.; Young, D. W.; Taylor, E. C. *J. Am. Chem. Soc.* **1980**, *102*, 6504. (b) Albrecht, M. *Synthesis* **1996**, 230.

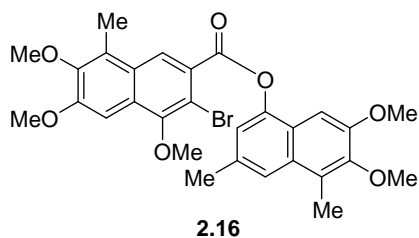
DMSO-*d*<sub>6</sub>)  $\delta$ : 168.0, 153.1, 149.4, 147.4, 129.4, 126.9, 126.5, 124.2, 118.0, 102.0, 100.2, 60.2, 55.5, 11.1. IR (ATR, cm<sup>-1</sup>): 3432, 2932, 1693, 1606. HRMS, calcd for C<sub>14</sub>H<sub>13</sub>BrO<sub>5</sub> ([M]<sup>+</sup>): 341.0025. Found: 341.0018.

**3-Bromo-4,6,7-trimethoxy-8-methylnaphthalen-2-carboxylic acid (2.18)**



To a solution of 3-bromo-4-hydroxy-6,7-dimethoxy-8-methylnaphthalen-2-carboxylic acid (**2.19**) (0.369 g, 1.08 mmol) in acetone (10 mL) were added successively potassium carbonate (0.552 g, 4 mmol) and dimethyl sulfate (0.21 mL, 2.2 mmol). The reaction mixture was stirred at room temperature for 24 h, filtered on celite, and washed with cyclohexane (2 × 10 mL). The solvent was evaporated, and the residue was dissolved in dichloromethane (20 mL). The DCM solution was washed with water (3 × 10 mL), dried over MgSO<sub>4</sub>, and concentrated *in vacuo*. The crude product was used without purification for the next step. A suspension of 3-bromo-4,6,7-trimethoxy-8-methyl-naphthalen-2-carboxylic acid methyl ester (0.400 g, 1.08 mmol) and KOH (0.24 g, 4.32 mmol) in methanol (40 mL) was refluxed overnight. The methanol was removed *in vacuo*, the residue was dissolved in water (40 mL), and acidified to pH 2 (aq. 3*M* HCl). The white precipitate was filtered off, washed with water and dissolved in ethylacetate (50 mL). This organic layer was dried over MgSO<sub>4</sub>, and concentrated *in vacuo* to yield 3-bromo-4,6,7-trimethoxy-8-methylnaphthalen-2-carboxylic acid (**2.18**) as a yellow solid (0.350 g, 91 %). Mp 198–200 °C. <sup>1</sup>H NMR (200 MHz, CDCl<sub>3</sub>)  $\delta$ : 8.43 (s, 1H), 7.34 (s, 1H), 4.05 (s, 3H, OCH<sub>3</sub>), 4.02 (s, 3H, OCH<sub>3</sub>), 3.89 (s, 3H, OCH<sub>3</sub>), 2.63 (s, 3H, CH<sub>3</sub>). <sup>13</sup>C NMR (50 MHz, CDCl<sub>3</sub>)  $\delta$ : 171.5, 155.1, 153.4, 148.1, 128.9, 128.3, 127.9, 125.7, 110.9, 99.4, 60.9, 60.8, 55.7, 11.3. IR (ATR, cm<sup>-1</sup>): 2931, 1690, 1607. HRMS, calcd for C<sub>15</sub>H<sub>15</sub>BrO<sub>5</sub> ([M]<sup>+</sup>): 355.0181. Found: 355.0162.

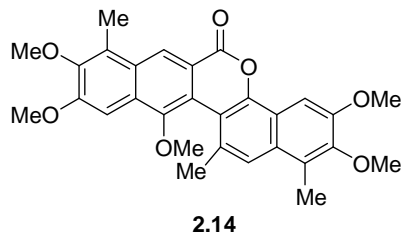
**3-Bromo-4,6,7-trimethoxy-8-methyl-2-naphthalen-2-carboxylic acid 6,7-dimethoxy-3,5-dimethyl-naphthalen-1-yl ester (2.16)**



At 0°C, to a solution of 3-bromo-4,6,7-trimethoxy-8-methylnaphthalen-2-carboxylic acid (**2.18**) (0.200 mg, 0.565 mmol) in a mixture of dry DMF (0.5 mL) and dry CH<sub>2</sub>Cl<sub>2</sub> (0.5 mL) were successively added 4-dimethylaminopyridine (DMAP) (12.8 mg, 0.113 mmol), 6,7-dimethoxy-3,5-dimethylnaphthalen-1-ol (**1.118**) (130 mg, 0.565 mmol) and dicyclohexylcarbodiimide (DCC) (162 mg, 0.791 mmol). The reaction mixture was stirred at

this temperature for 15 min then at rt overnight. After filtration, the solvent was removed *in vacuo*. The residue was dissolved in DCM (10 mL). The DCM solution was washed with 0.5M HCl ( $2 \times 5$  mL), and with sat. aq. NaHCO<sub>3</sub> ( $2 \times 5$  mL). The combined organic phases were dried over MgSO<sub>4</sub>, and concentrated *in vacuo*. Chromatography on silica gel (CH<sub>2</sub>Cl<sub>2</sub>) afforded ester **2.16** as a yellow solid (169 mg, 53 %). Mp 156 °C. <sup>1</sup>H NMR (400 MHz, CDCl<sub>3</sub>) δ: 8.51 (s, 1H), 7.61 (s, 1H), 7.39 (s, 1H), 7.25 (d, 1H, *J* = 1.5 Hz), 7.21 (s, 1H), 4.07 (s, 3H, OCH<sub>3</sub>), 4.06 (s, 3H, OCH<sub>3</sub>), 3.91 (s, 6H, 2OCH<sub>3</sub>), 3.85 (s, 3H, OCH<sub>3</sub>), 2.66 (s, 3H, CH<sub>3</sub>), 2.60 (s, 3H, CH<sub>3</sub>), 2.56 (s, 3H, CH<sub>3</sub>). <sup>13</sup>C NMR (100 MHz, CDCl<sub>3</sub>) δ: 165.2, 155.0, 153.4, 152.0, 148.2, 147.4, 145.9, 133.0, 130.2, 128.6, 128.0, 127.9, 127.0, 125.8, 124.5, 122.4, 121.5, 119.2, 110.5, 99.4, 98.5, 60.9, 60.7, 60.6, 55.6, 55.3, 21.7, 11.3. IR (ATR, cm<sup>-1</sup>): 2936, 1737, 1607, 1583. HRMS, calcd for C<sub>29</sub>H<sub>30</sub>BrO<sub>7</sub> ([M+H]<sup>+</sup>): 569.1175. Found : 569.1163.

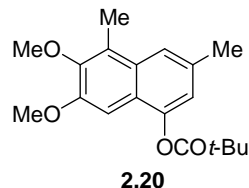
**2,3,9,10,12-Pentamethoxy-1,8,13-trimethyl-5-oxa-benzo[*b*]chrysene-6-one (2.14)**



Under an argon atmosphere, a 10 mL, oven-dried, round-bottomed flask, equipped with a reflux condenser, was charged with dry *N,N*-dimethylacetamide (DMA, 2 mL), ester **2.16** (70 mg, 0.123 mmol), palladium(II) acetate (2.76 mg, 0.0123 mmol), triphenylphosphine (6.5 mg, 0.0246 mmol), and sodium pivalate (30.5 mg, 0.246 mmol). The suspension was degassed three times, placed in a preheated (130 °C) oil bath, and stirred at 130 °C overnight. Removal of the solvent *in vacuo* at 40 °C gave a black oily residue which was chromatographed (cyclohexane/ethylacetate 95/1 → 9/1) to give the lactone **2.14** with 62 % of conversion.<sup>146</sup> <sup>1</sup>H NMR (200 MHz, CDCl<sub>3</sub>) δ: 8.83 (s, 1H), 7.75 (s, 1H), 7.68 (s, 1H), 7.61 (s, 1H), 4.10 (s, 3H, OCH<sub>3</sub>), 4.07 (s, 3H, OCH<sub>3</sub>), 3.92 (s, 3H, OCH<sub>3</sub>), 3.91 (s, 3H, OCH<sub>3</sub>), 3.55 (s, 3H, OCH<sub>3</sub>), 2.74 (s, 3H, CH<sub>3</sub>), 2.65 (s, 3H, CH<sub>3</sub>), 2.63 (s, 3H, CH<sub>3</sub>). <sup>13</sup>C NMR (100 MHz, CDCl<sub>3</sub>) δ: 162.4, 155.4, 153.4, 152.2, 148.5, 145.4, 131.5, 130.6, 129.3, 129.2, 128.5, 125.3, 123.4, 121.8, 119.9, 119.7, 119.2, 113.1, 99.8, 99.6, 61.1, 60.9, 60.8, 56.0, 55.8, 23.0, 11.7, 11.4. HRMS, calcd for C<sub>29</sub>H<sub>29</sub>O<sub>7</sub> ([M+H]<sup>+</sup>): 489.1913. Found : 489.1904.

<sup>146</sup> Isolated as a mixture with bromoester **2.16**

**2,2-Dimethyl-propionic acid 6,7-dimethoxy-3,5-dimethyl-naphthalen-1-yl ester  
(2.20)**



Compound **2.20** was isolated as a white solid (8 mg, 20 %) (table 1, entry 5).  $^1\text{H}$  NMR (200 MHz,  $\text{CDCl}_3$ )  $\delta$ : 7.53 (s, 1H), 6.98 (s, 2H), 3.91 (s, 3H,  $\text{OCH}_3$ ), 3.83 (s, 3H,  $\text{OCH}_3$ ), 2.56 (s, 3H,  $\text{CH}_3$ ), 2.49 (s, 3H,  $\text{CH}_3$ ), 1.49 (s, 9H,  $3\text{CH}_3$ ).  $^{13}\text{C}$  NMR (100 MHz,  $\text{CDCl}_3$ )  $\delta$ : 174.9, 149.9, 145.4, 143.9, 131.1, 128.3, 123.9, 120.5, 119.1, 117.2, 96.2, 58.7, 53.2, 37.3, 25.3, 19.7, 9.3. HRMS, calcd for  $\text{C}_{19}\text{H}_{24}\text{O}_4$  ( $[\text{M}]^+$ ): 316.1675. Found : 316.1660.



# Chapitre 3 — Substitution nucléophile aromatique des acides benzoïques protégés – Étude de l'influence des substituants

## 1- Introduction

Les réactions de substitution nucléophiles aromatique<sup>147</sup> de dérivés d'acides benzoïques ont été très étudiées dans la littérature et sont un outil important pour la création de liaisons C-C mais aussi C-N ou C-O. Afin de limiter l'addition du nucléophile sur le carbonyle, la fonction CO<sub>2</sub>H peut être protégée notamment sous la forme oxazoline, ester, amide. Ces groupements permettent la substitution d'un groupe *ortho*-alcoxy ou *ortho*-fluoro par les réactifs organométalliques selon un mécanisme d'addition-élimination (Schéma 43).

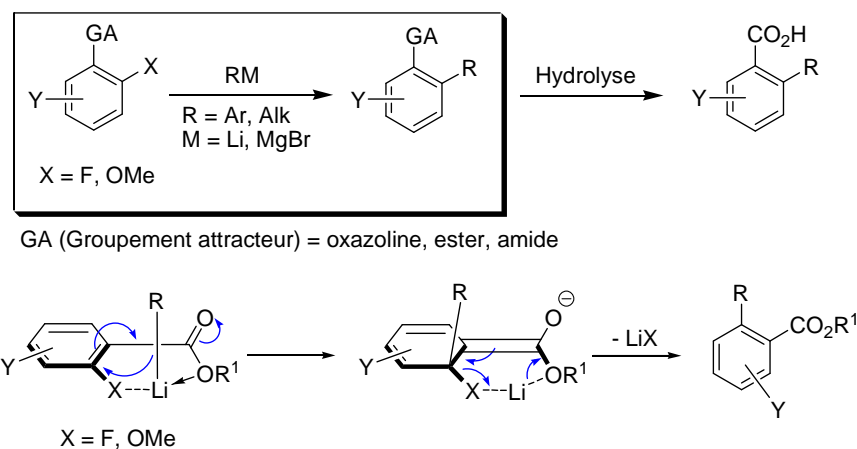


Schéma 43. S<sub>N</sub>Ar d'acides benzoïques protégés

La partie bibliographique qui suit décrit les réactions S<sub>N</sub>Ar utilisant des dérivés d'acides benzoïques et est limitée à l'utilisation de nucléophiles carbonés. Une revue complète des réactions S<sub>N</sub>Ar assistées par les esters est présentée. Les principales caractéristiques des S<sub>N</sub>Ar activées par les oxazolines et les amides sont ensuite décrites.

<sup>147</sup> Pour des informations générales sur la réaction de substitution nucléophile aromatique voir : (a) Suwinski, J.; Swierczek, K. *Tetrahedron* **2001**, 57, 1639. (b) Rossi, R. A.; Pierini, A. B.; Peñéñory, A. B. *Chem. Rev.* **2003**, 103, 71. (c) Makosza, M.; Wojciechowski, K. *Chem. Rev.* **2004**, 104, 2631. (d) Charushin, V. N.; Chupakhin, O. N. *Mendeleev Commun.* **2007**, 17, 249. (e) Crampton, M. R. In *Organic Reaction Mechanisms*; A. C. Knipe, W. E. W., Ed.; John Wiley & Sons: UK, 2004, p 189.

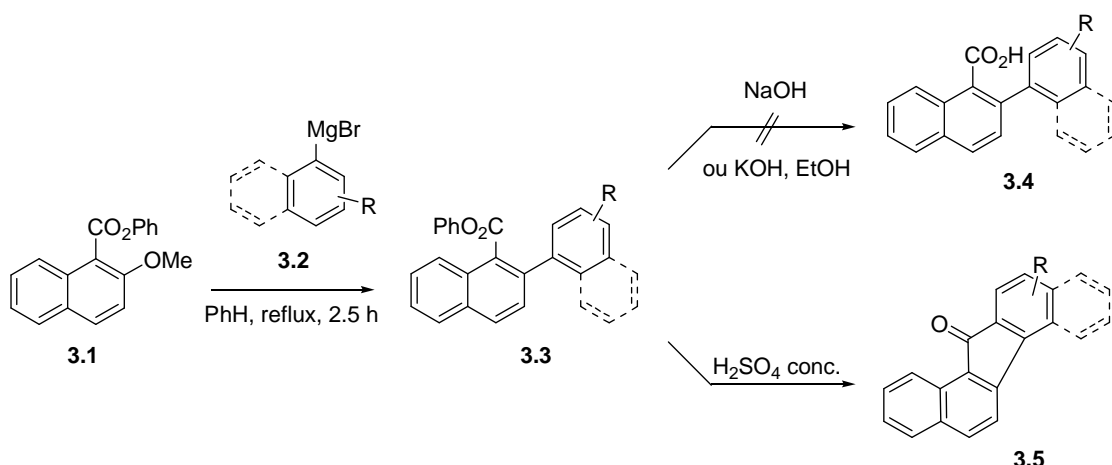
## 2- Développement de la réaction S<sub>N</sub>Ar assistée par les esters

### 2-1- Nature de l'ester utilisé

#### 2-1-1- Substitution nucléophile aromatique des 1- ou 2-naphtoates d'aryles ou d'alkyles

Les premières réactions de substitution nucléophile aromatiques activées par un ester ont été décrites par Fuson en 1956.<sup>148</sup> Ainsi, la réaction du 2-méthoxynapht-1-oate de phényle (**3.1**) avec divers arylorganomagnésiens **3.2** (phényle, *o*- et *p*-tolyle, 1-naphtyle) fournit avec de bons rendements les 2-arylnapht-1-oates de phényle correspondants **3.3** (Tableau 2). Les esters obtenus ne peuvent pas être déprotégés en acide naphtoïque **3.4** par action d'une solution aqueuse d'hydroxyde de sodium ou de potasse alcoolique. Toutefois, un traitement avec de l'acide sulfurique concentré permet de les transformer en fluorénones **3.5**.

**Tableau 2.** Substitution nucléophile aromatique du 2-méthoxynapht-1-oate de phényle (**3.1**) avec les arylorganomagnésiens **3.2**



ArMgBr <b>3.2</b>	Ar	<b>3.3, rdt (%)</b>	<b>3.5, rdt (%)</b>
<b>3.2a</b>	phényle-	70	79
<b>3.2b</b>	1'-naphtyle	78	71
<b>3.2c</b>	<i>o</i> -tolyle	63	74
<b>3.2d</b>	<i>p</i> -tolyle	63	60

Malgré le potentiel de cette réaction pour former des liaisons biarylques, très peu de travaux ont utilisé les conditions de S<sub>N</sub>Ar développées par Fuson, probablement en raison des difficultés liées à la déprotection des naphtoates de phényle. La réaction a cependant été appliquée à la synthèse de dérivés de fluorénones.

Ainsi la réaction de l'ester **3.1** avec le bromure de *p*-fluorophénylmagnésium (**3.6**) fournit avec un bon rendement le biphenyle **3.7**. Après cyclisation, la fluorénone **3.8** réagit avec l'organomagnésien **3.9** pour donner le fluorénol **3.10**, précurseur du 4-

<sup>148</sup> Fuson, R. C.; Wassmundt, F. W. *J. Am. Chem. Soc.* **1956**, 78, 5409.

fluorobenzo[*j*]fluoranthène **3.11**<sup>149</sup> par cyclodéshydratation (Schéma 44).

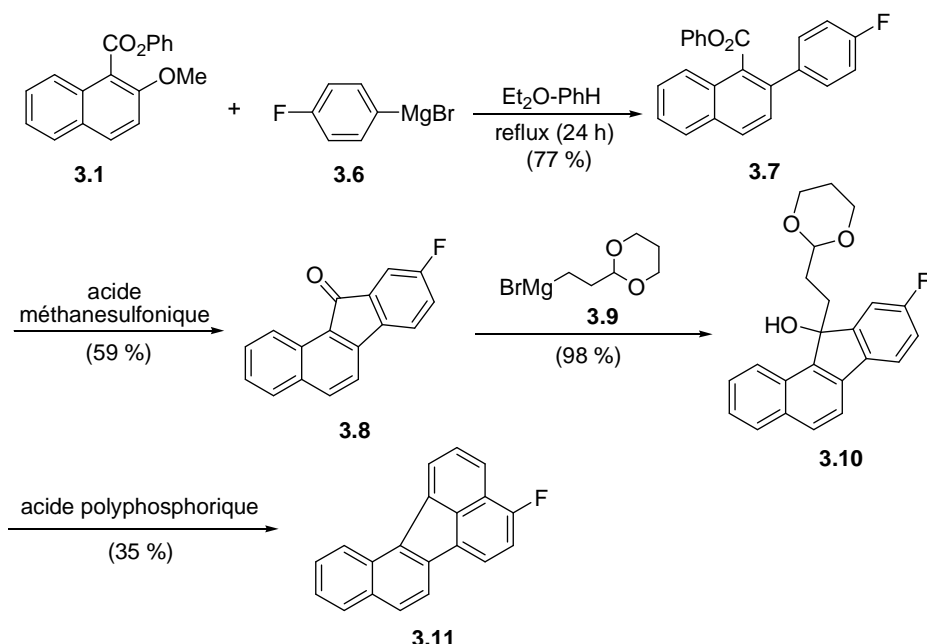


Schéma 44. Synthèse du 4-fluorobenzo[*j*]fluoranthène **3.11**

Des métabolites dihydrodiols du benzo[*j*]fluoranthène **3.12** ont été préparés selon une stratégie similaire (Schéma 45).<sup>150</sup>

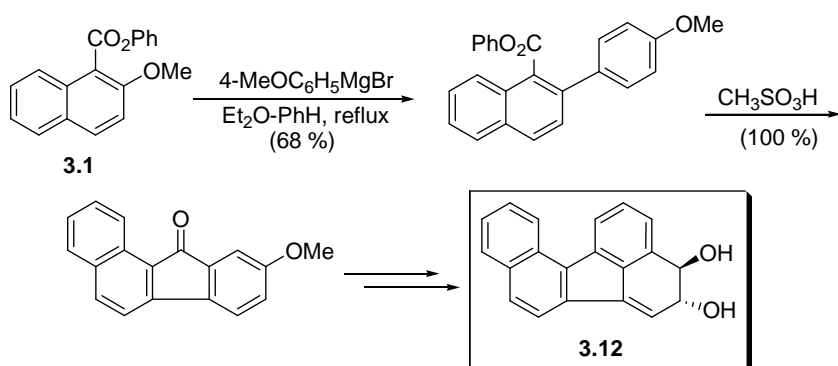


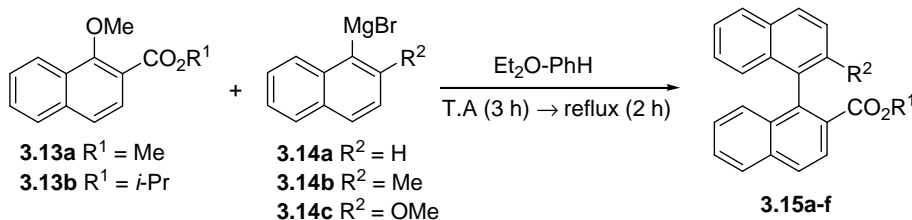
Schéma 45. Synthèse du diol **3.12** par  $S_NAr$  du 2-méthoxynaph-1-oate de phényle (3.1)

En 1990, Miyano a montré que la réaction du 1-méthoxynaph-2-oate d'*iso*-propyle (**3.13b**) avec divers naphtylorganomagnésiens **3.14** conduit, avec de bons rendements, aux 1,1'-binaphthalènes **3.15**, facilement saponifiables par une solution aqueuse de potasse (Tableau 3).<sup>151</sup>

<sup>149</sup> Rice, J. E.; He, Z.-M. *J. Org. Chem.* **1990**, 55, 5490.

<sup>150</sup> Rice, J. E.; Shih, H.-C.; Hussain, N.; LaVoie, E. J. *J. Org. Chem.* **1987**, 52, 849.

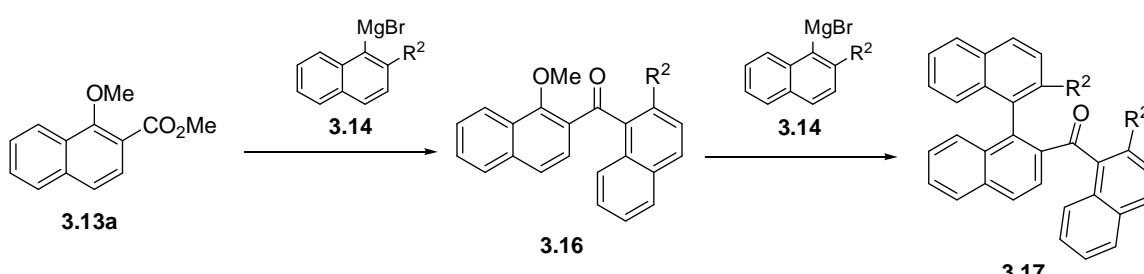
<sup>151</sup> Hotta, H.; Suzuki, T.; Miyano, S. *Chem. Lett.* **1990**, 143.

**Tableau 3.** Synthèse de 1,1'-binaphthalènes par S<sub>N</sub>Ar de 1-méthoxynapht-2-oates d'alkyle 3.13


Entrée	3.13	3.14 <sup>a</sup>	R <sup>1</sup>	R <sup>2</sup>	3.15a-f, rdt (%)
1	3.13a	3.14a	Me	H	52 [3.15a]
2	3.13b	3.14a	i-Pr	H	93 [3.15b]
3	3.13a	3.14b	Me	Me	90 [3.15c]
4	3.13b	3.14b	i-Pr	Me	82 [3.15d]
5	3.13a	3.14c	Me	OMe	50 [3.15e]
6	3.13b	3.14c	i-Pr	OMe	87 [3.15f]

<sup>a</sup> 3.14/3.13 = 1.8 (mol/mol); Et<sub>2</sub>O-PhH (1/1); température ambiante (3 h) puis reflux (2 h).

Alors que le groupement *iso*-propyle génère un encombrement stérique suffisant pour empêcher l'addition de l'organomagnésien sur le carboneyle de l'ester (entrées 2, 4, 6, Tableau 3), le naphtoate de méthyle 3.13a fournit, par réaction avec les réactifs de Gignard 3.14a et 3.14c, les biaryles 3.15 avec des rendements moyens en raison de la formation concurrente de la cétone 3.17 (entrées 1 et 5, Tableau 3). Il a été proposé par Miyano que l'addition de l'organomagnésien 3.14 au carboneyle de l'ester 3.13a donne la cétone 3.16 qui conduit à 3.17 par réaction S<sub>N</sub>Ar (Schéma 46).


**Schéma 46.** Mécanisme de formation de la cétone 3.17 proposé par Miyano

Il est à noter que pour le bromure de 2-méthoxy-1-naphtylmagnésium (3.14c), la coordination du groupement *o*-méthoxy au magnésium semble réduire l'encombrement stérique apparent du carbanion et favorise l'addition du nucléophile au carboneyle (entrée 5 vs 3, Tableau 3).

D'autres substituants alcoxy peuvent être utilisés comme groupes partants. Ainsi le 1-*iso*-propoxy-2-naphthoate d'*iso*-propyle (3.18), mis en réaction avec le bromure de 2-méthyl-1-naphtylmagnésium (3.14b), conduit au binaphthalène 3.15d, précurseur du diacide binaphthalénique 3.19 (Schéma 47). Ce diacide est largement utilisé pour la préparation de

divers dérivés binaphtyles optiquement actifs.<sup>152</sup>

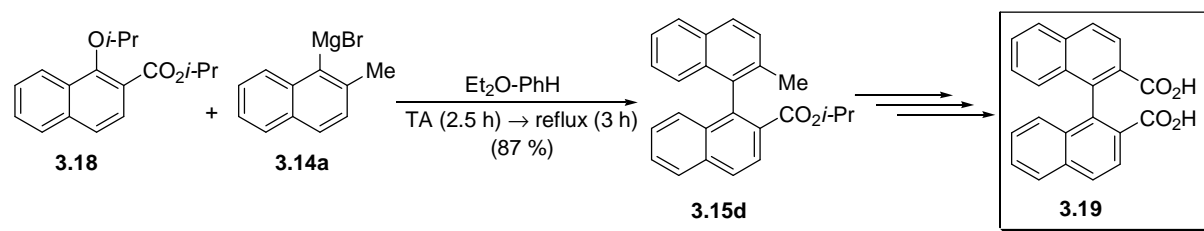


Schéma 47. Synthèse du diacide binaphtalénique 3.19

La substitution nucléophile aromatique de 1-méthoxynapht-2-oates d'*iso*-propyle a également été appliquée à la synthèse de divers composés d'intérêt pharmaceutique.

Les lignanes 1-arylnapthalènes présentent diverses activités pharmacologiques (anti-inflammatoire, antiviral, anticancéreuse...). La Taiwanine C 3.22a et la Chinensine 3.22b, deux lignanes naturelles, ont été synthétisées efficacement par couplage du 1-méthoxynapht-2-oate d'*iso*-propyle fonctionnalisé 3.20 avec le bromure d'arylémagnésien 3.21 (Schéma 48).<sup>153</sup>

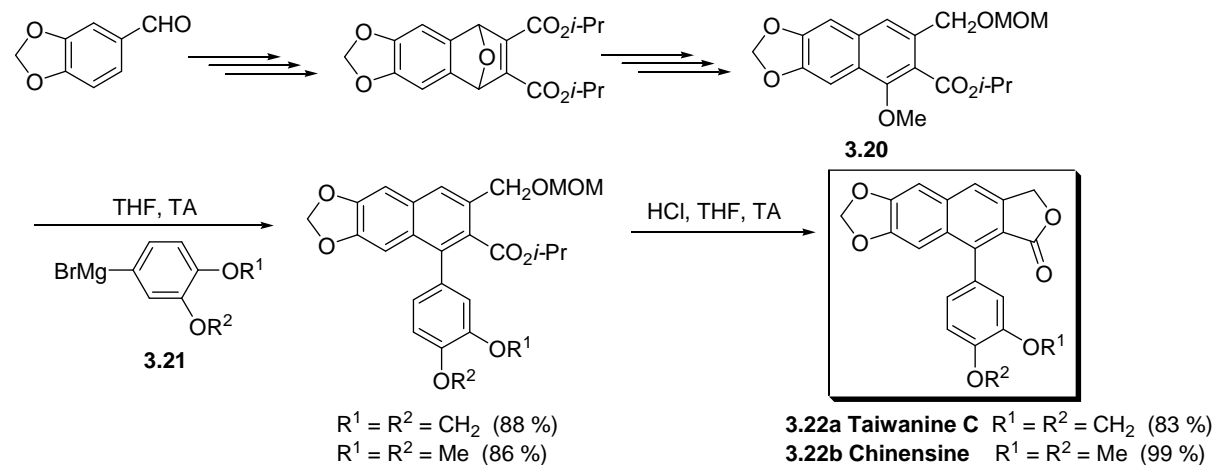


Schéma 48. Synthèse de la Taiwanine C 3.22a et de la Chinensine 3.22b

Dans le cadre de la synthèse du composé 3.25, un antagoniste des récepteurs de la neurokinine, l'ester méthylique 3.24 a été préparé à l'échelle du kilogramme par réaction de 3.23 avec le bromure d'éthylmagnésium (Schéma 49).<sup>154</sup> Dans ce cas, on n'observe pas l'addition du nucléophile au carbonyle de l'ester, probablement en raison de la présence du groupement nitrile qui favorise la réaction S<sub>N</sub>Ar.

<sup>152</sup> Oi, S.; Matsunaga, K.; Hattori, T.; Miyano, S. *Synthesis* **1993**, 895.

<sup>153</sup> Hattori, T.; Tanaka, H.; Okaishi, Y.; Miyano, S. *J. Chem. Soc., Perkin Trans. I* **1995**, 235.

<sup>154</sup> Parker, J. S.; Smith, N. A.; Welham, M. J.; Moss, W. O. *Org. Process Res. Dev.* **2004**, 8 (1), 45.

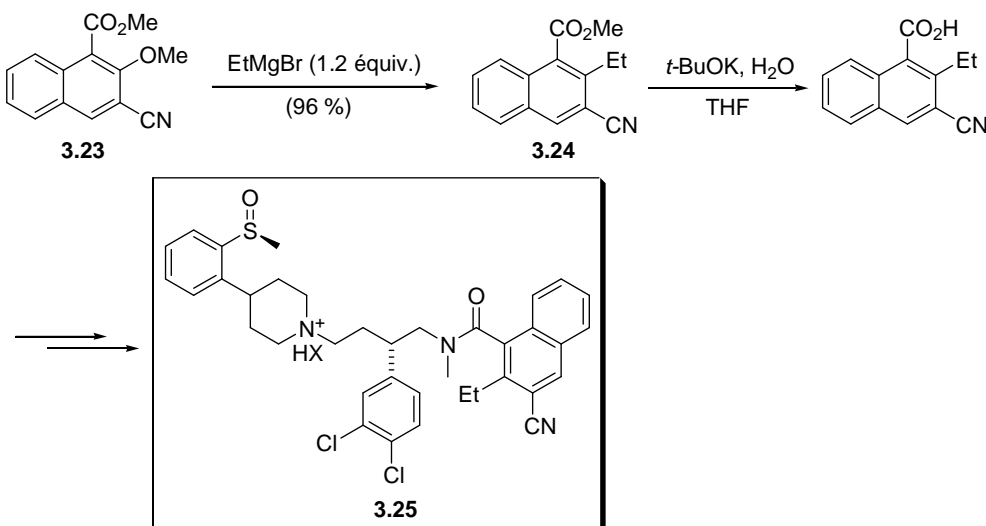


Schéma 49. Synthèse d'un antagoniste des récepteurs de la neurokinine

### 2-1-2- Substitution nucléophile aromatique de benzoates d'aryle - Synthèse de biphenyles

Alors que le 1-méthoxynapht-2-oate d'*iso*-propyle donne, par réaction avec l'organomagnésien **3.2a**, les produits d'*ipso*-substitution avec d'excellents rendements,<sup>155</sup> le 2-méthoxybenzoate d'*iso*-propyle (**3.26**) n'est pas un substrat adapté à la réaction S<sub>N</sub>Ar et conduit à la formation exclusive du triarylcarbinol **3.27** (Schéma 50).

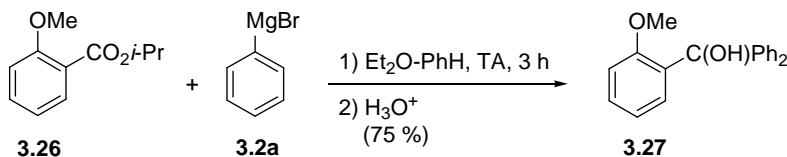
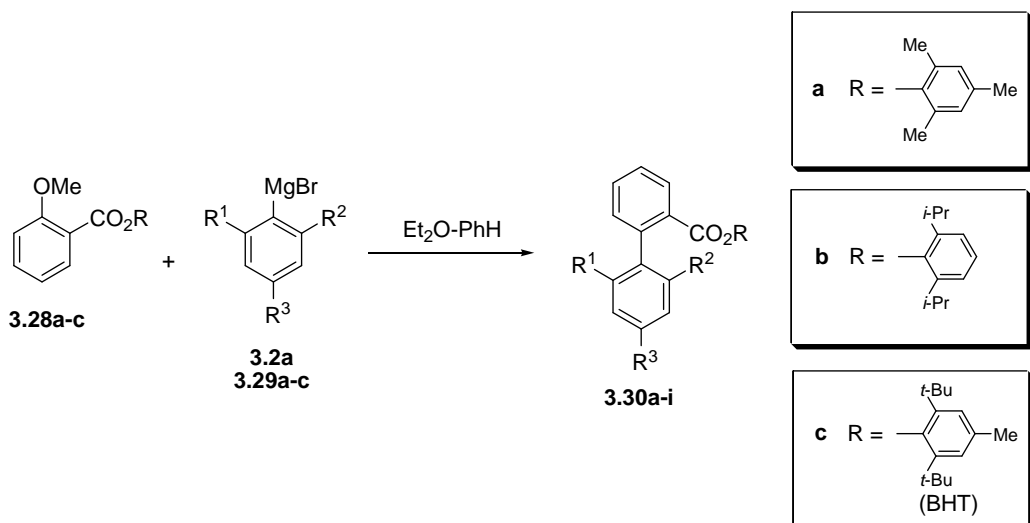


Schéma 50. Synthèse du triarylcarbinol **3.27** à partir du 2-méthoxybenzoate d'*iso*-propyle (**3.26**)

Pour éviter l'addition de l'organomagnésien au carbonyle du benzoate, il est nécessaire d'ajuster l'encombrement stérique de l'ester à celui de l'organomagnésien (Tableau 4). Ainsi la réaction du 2-méthoxybenzoate de mésityle (**3.28a**) avec le bromure de phénylmagnésium (**3.2a**) donne le biphenyle **3.30a** avec un rendement de 56 % accompagné du carbinol **3.27** (25 %) (entrée 1) alors que ce dernier produit n'est pas formé avec l'ester de 2,6-di-*iso*-propylphényle **3.28b** (entrée 2). Pour le bromure de 2-méthoxyphénylmagnésium (**3.29a**), il est nécessaire d'utiliser un ester encore plus encombré que **3.28b** et le 2-méthoxybenzoate de 2,6-di-*tert*-butyl-4-méthylphényle (**3.28c**) conduit au biphenyle **3.30e** avec un bon rendement (entrées 4 et 5). Avec les organomagnésiens très encombrés tels que **3.29c**, l'ester **3.28c** ne permet pas de synthétiser le produit de couplage et seul le produit issu de la déméthylation de **3.28c** est formé (entrée 9).

<sup>155</sup> Un dérivé naphtalénique peut être transformé dans une réaction S<sub>N</sub>Ar plus facilement qu'un dérivé benzénique analogue. Voir Brückner, R. *Mécanismes réactionnels en chimie organique*; De Boeck Université 1999.

<sup>156</sup> Hattori, T.; Suzuki, T.; Miyano, S. *J. Chem. Soc., Chem. Com.* **1991**, 1375.

**Tableau 4.** Réaction des 2-méthoxybenzoates d'aryle **3.28a-c** avec les bromures d'arylmgagnésiens **3.2a**, **3.29a-c**


Entrée	3.28	3.2a	$\text{R}^1$	$\text{R}^2$	$\text{R}^3$	3.30, rdt (%)
	3.29a-c					
1	<b>3.28a</b>	<b>3.2a</b>	H	H	H	56 [ <b>3.30a</b> ]
2	<b>3.28b</b>	"	"	"	"	71 [ <b>3.30b</b> ]
3	<b>3.28c</b>	"	"	"	"	96 [ <b>3.30c</b> ]
4	<b>3.28b</b>	<b>3.29a</b>	OMe	H	H	0 [ <b>3.30d</b> ] <sup>a</sup>
5	<b>3.28c</b>	"	"	"	"	98 [ <b>3.30e</b> ]
6	<b>3.28a</b>	<b>3.29b</b>	Me	H	H	70 [ <b>3.30f</b> ]
7	<b>3.28a</b>	<b>3.29c</b>	Me	Me	Me	68 [ <b>3.30g</b> ]
8	<b>3.28b</b>	"	"	"	"	80 [ <b>3.30h</b> ]
9	<b>3.28c</b>	"	"	"	"	0 [ <b>3.30i</b> ] <sup>b</sup>

<sup>a</sup> addition du réactif de Grignard au carbonyle. <sup>b</sup> déprotection du groupement méthoxy

Alors que les benzoates de 2,6-di-*iso*-propylphényle peuvent être hydrolysés relativement facilement en acide biphenylcarboxylique dans des conditions basiques (potasse alcoolique au reflux), la déprotection du résidu 2,6-di-*tert*-butylphényle des esters correspondants est beaucoup plus délicate et repose sur des réactions de transestérification intramoléculaires (lactonisation en milieu acide des biphenylestes possédant un substituant 2'-méthoxy) ou intermoléculaires (NaOMe dans toluène/1-méthyl-2-pipéridone (NMP), DMF ou HMPA suivi de l'hydrolyse de l'ester méthylique ainsi généré). Les synthèses suivantes permettent d'illustrer ces deux cas de figures.

Le cannabinol **3.35** est une molécule extraite de *cannabis sativa L.*<sup>157</sup> dont la synthèse totale a pu être réalisée en utilisant comme étape clé la substitution du 2-méthoxy-4-

<sup>157</sup> Heathcock, C. H.; Pirrung, M. C.; Montgomery, S. H.; Lampe, J. *Tetrahedron* **1981**, 23, 4087.

méthylbenzoate **3.31** par le bromure de 2,6-diméthoxy-4-pentylphénylemagnésium (**3.32**).<sup>158</sup> Le traitement de l'ester **3.33** par une solution aqueuse d'acide iodhydrique à 57 % au reflux de l'anhydride acétique permet d'isoler la lactone **3.34** avec un excellent rendement (91 %) (Schéma 51).

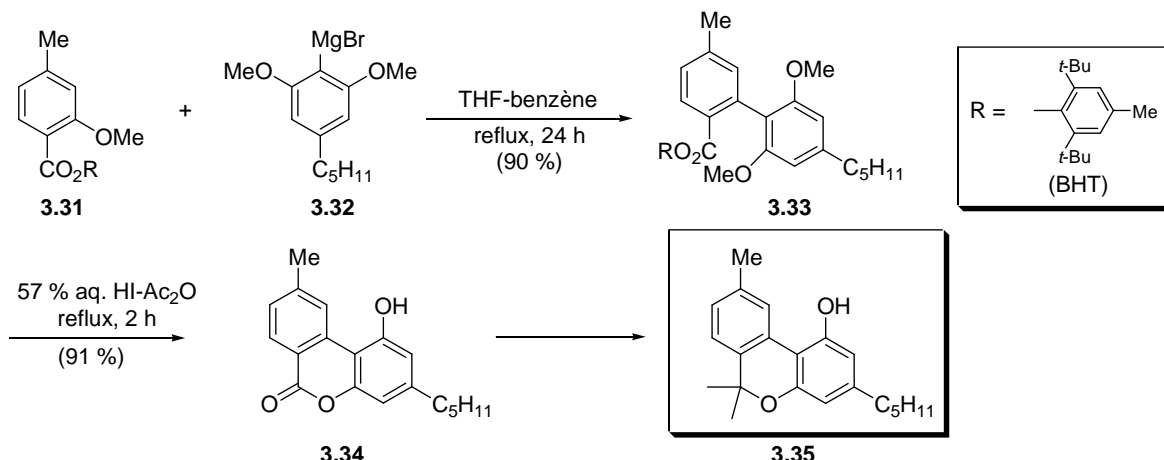


Schéma 51. Synthèse du cannabinoïde **3.35**

La réaction du 2-méthoxybenzoate de 2,6-di-*tert*-butyl-4-méthylphényle (**3.28c**) avec le bromure de 4-méthylphénylemagnésium (**3.36**) fournit le 4'-méthylbiphényl-2-carboxylate **3.37** avec un excellent rendement.<sup>159</sup> L'ester **3.37** est déprotégé avec un rendement quantitatif par transestérification avec le méthanolate de sodium dans un mélange toluène-DMF suivie d'une étape d'hydrolyse. L'acide 4'-méthylbiphénylcarboxylique **3.38** ainsi obtenu est un intermédiaire clé dans la synthèse du DuP753, un antagoniste des récepteurs de l'angiotensine II (Schéma 52).<sup>160</sup>

<sup>158</sup> Hattori, T.; Suzuki, T.; Hayashizaka, N.; Koike, N.; Miyano, S. *Bull. Chem. Soc. Jpn.* **1993**, 66 (10), 3034.

<sup>159</sup> Hattori, T.; Hayashizaka, N.; Miyano, S. *Synthesis* **1995**, 41.

<sup>160</sup> (a) Huang, H.-C.; Reitz, D. B.; Chamberlain, T. S.; Olins, G. M.; Corpus, V. M.; McMahon, E. G.; Palomo, M. A.; Koepke, J. P.; Smits, G. J.; McGraw, D. E.; Blaine, E. H.; Manning, R. E. *J. Med. Chem.* **1993**, 36, 2172.  
 (b) Kubo, K.; Kohara, Y.; Imamiya, E.; Sugiura, Y.; Inada, Y.; Furukawa, Y.; Nishikawa, K.; Naka, T. *J. Med. Chem.* **1993**, 36, 2182. et les références citées.

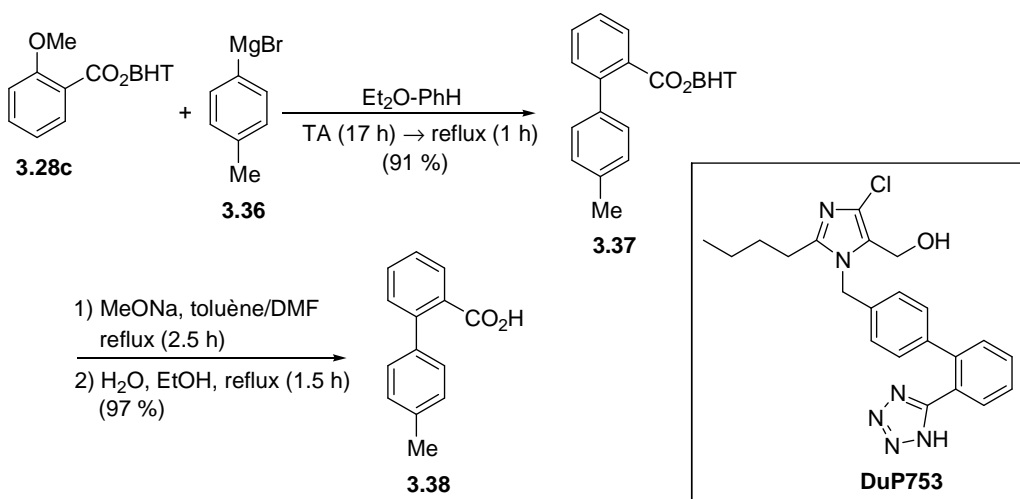


Schéma 52. Synthèse de l'acide 4'-méthylbiphénylcarboxylique 3.38

Pour des esters très encombrés stériquement, la réaction de transestérification peut échouer. Ainsi, alors que le couplage des 2-méthoxybenzoates de 2,6-di-*tert*-butylphényle **3.39a** et **3.39b** avec l'organomagnésien **3.40** fournit le biphénylester **3.41a** avec un excellent rendement, la conversion de **3.41a** en acide **3.42** par transestérification se révèle impossible.<sup>161</sup> Des conditions de déprotection « oxydantes » utilisant le nitrate de cérium et d'ammonium (CAN)<sup>162</sup> appliquées au benzoate de 2,6-di-*tert*-butyl-4-méthoxyphényle **3.41b** permettent d'isoler l'acide **3.42** avec un rendement modéré (54 %) (Schéma 53). L'acide **3.42** est un intermédiaire clé de la synthèse de la fluorénone **3.43**, utilisée pour lutter contre la dégénérescence du système nerveux central et périphérique.<sup>163</sup>

<sup>161</sup> Aki, S.; Haraguchi, Y.; Sakikawa, H.; Ishigami, M.; Fujioka, T.; Furuta, T.; Minamikawa, J.-I. *Org. Process Res. Dev.* **2001**, 5 (5), 535.

<sup>162</sup> Pirrung, M. C.; Heathcock, C. H. *J. Org. Chem.* **1980**, 45, 1727.

<sup>163</sup> Tanaka, T.; Sakurai, Y.; Fujisawa, N.; Hongoh, O.; Nishi, T. WO95/00468, 1995.

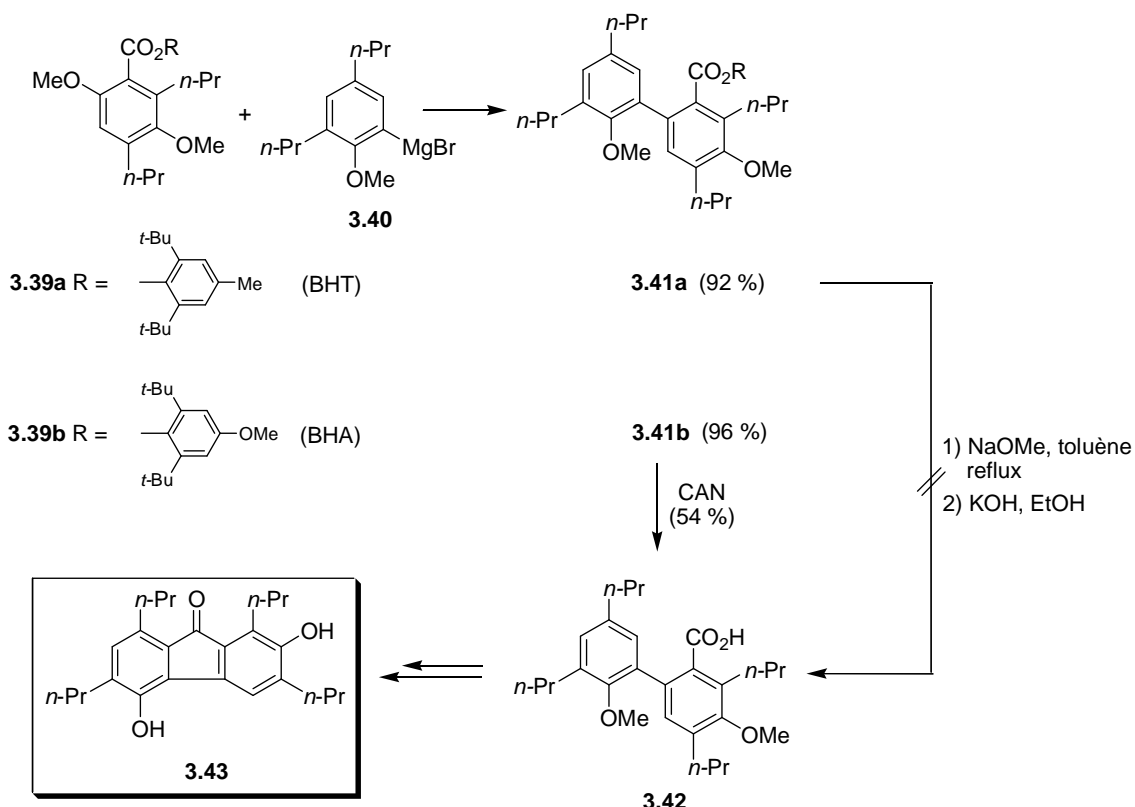


Schéma 53. Synthèse de l'acide biphenylcarboxylique 3.42, précurseur de la fluorénone 3.43

D'autres transformations intramoléculaires des biphenylestres sont possibles. Le blestriarène C **3.52**, un biphénanthrène naturel isolé d'orchidées, présente une activité antibactérienne intéressante.<sup>164</sup> Le couplage, dans le benzène, de l'organomagnésien **3.45** avec l'ester **3.44** produit le biphenyle **3.46** avec un excellent rendement. La complexation de l'organomagnésien au substrat est importante pour favoriser la  $S_NAr$  et la conversion est nettement plus faible (57 %) si la réaction est réalisée dans un mélange THF/benzène. L'ester **3.46**, par traitement avec le diéthylamidure de lithium, génère l'anion benzylique **3.47**, qui additionne intramoléculairement le carbonyle de l'ester pour conduire au phénanthrrol **3.49**. L'élimination de l'hydroxy *via* le triflate suivie de la déprotection du méthoxyméthyle éther donne le phénanthrène **3.50**, précurseur du biphénantrrol **3.51** par couplage oxydant. La déprotection des deux groupements hydroxy en 7,7' permet d'isoler le blestriarène C racémique (Schéma 54).<sup>165</sup>

<sup>164</sup> Yamaki, M.; Bai, L.; Inoue, K.; Takagi, S. *Phytochemistry* **1989**, 28, 3503.

<sup>165</sup> (a) Hattori, T.; Shimazumi, Y.; Yamabe, O.; Koshiishi, E.; Miyano, S. *Chem. Commun.* **2002**, 2234. (b) Hattori, T.; Shimazumi, Y.; Goto, H.; Yamabe, O.; Morohashi, N.; Kawai, W.; Miyano, S. *J. Org. Chem.* **2003**, 68, 2099.

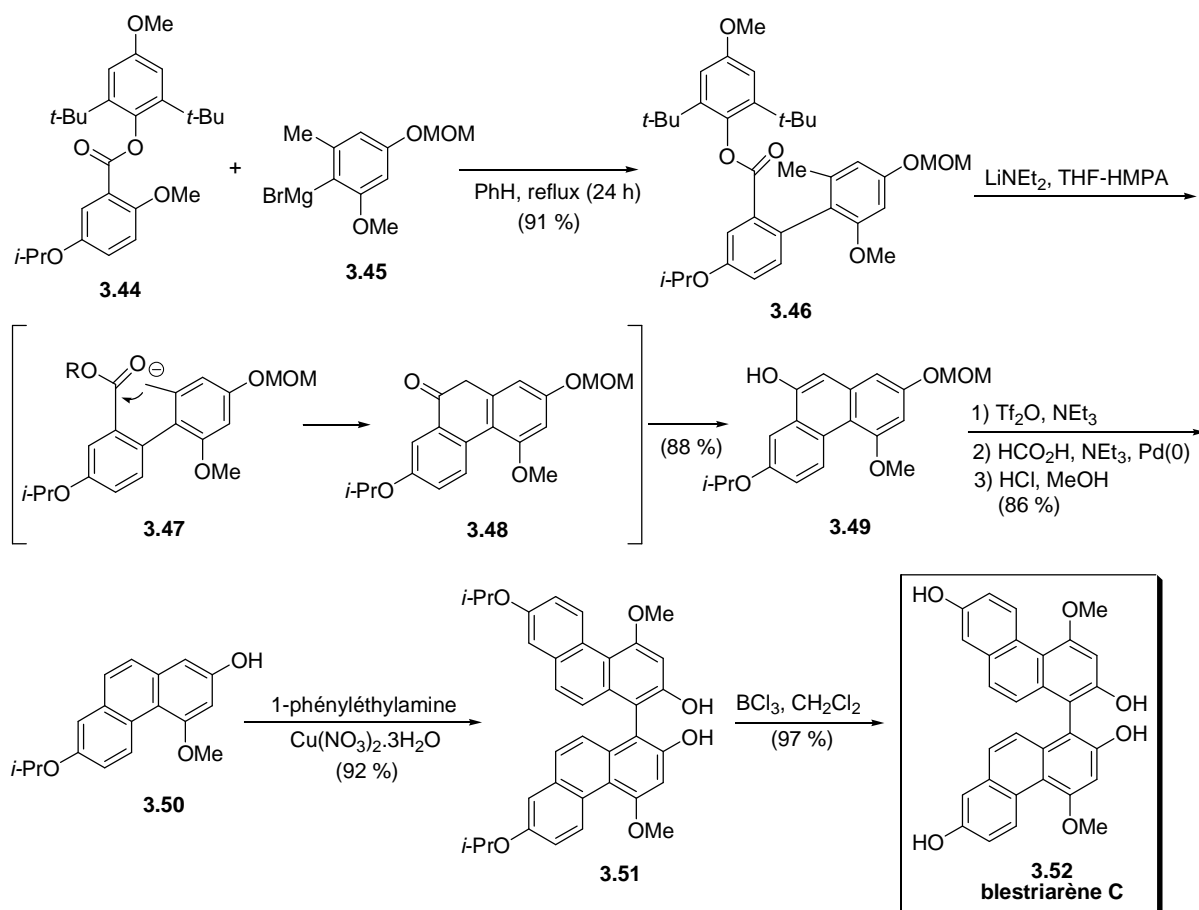


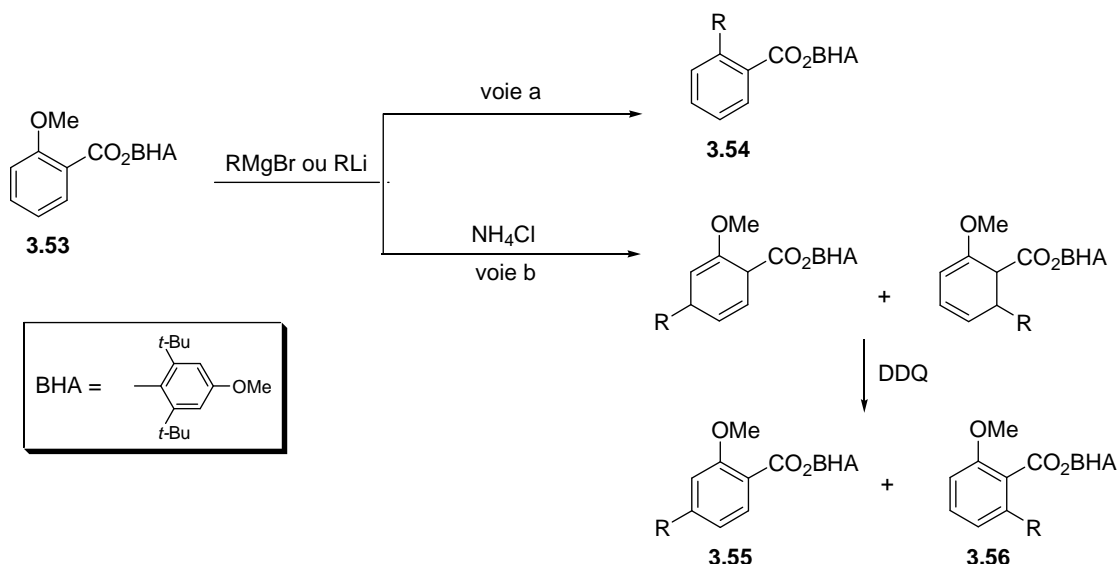
Schéma 54. Synthèse du blestriarène C racémique

## 2-2- Influence des nucléophiles carbonés sur la réaction S<sub>N</sub>Ar activée par les esters

La plupart des exemples décrits dans la littérature de S<sub>N</sub>Ar activées par les esters utilisent comme nucléophile un bromure d'arylmagnésium. La réactivité du 2-méthoxybenzoate de 2,6-di-*tert*-butyl-4-méthoxyphényle (**3.53**) vis-à-vis de divers organolithiens et magnésiens a été étudiée.<sup>166</sup> Tous les nucléophiles carbonés ne donnent pas lieu à la réaction S<sub>N</sub>Ar. Alors que d'excellents rendements en produits d'*ipso*-substitution (voie a, Tableau 5) sont obtenus avec *n*-BuMgBr, *i*-PrMgBr, le *n*-BuLi ou le phényllithium (entrées 1, 2, 5 et 6), les réactifs *t*-BuMgBr, PhCH<sub>2</sub>M (M = Li, MgBr) et allylLi conduisent à l'addition conjuguée du nucléophile sur le cycle aromatique pour donner des cyclohexadiènes (entrées 3, 4, 9 et 10). Un mécanisme opérant par transfert monoélectronique (Single Electron Transfer mechanism) a été proposé pour cette transformation. Par traitement avec la dichlorodicyanobenzoquinone (DDQ), les cyclohexadiènes réaromatisent (voie b, Tableau 5).

<sup>166</sup> Hattori, T.; Koike, N.; Satoh, T.; Miyano, S. *Tetrahedron Lett.* **1995**, 36, 4821.

Tableau 5. Réaction de l'ester 3.53 avec les organomagnésiens et organolithiens



Entrée	Nucléophile	Produits, rdt (%)		
		3.54	3.55	3.56
1 <sup>a</sup>	<i>n</i> -BuMgBr	93	-	-
2 <sup>a</sup>	<i>i</i> -PrMgBr	92	-	-
3 <sup>a</sup>	<i>t</i> -BuMgBr	-	74	-
4 <sup>a</sup>	PhCH <sub>2</sub> MgBr	-	76	-
5 <sup>b</sup>	PhLi	85	-	-
6 <sup>b</sup>	BuLi	70	-	-
7 <sup>b</sup>	<i>i</i> -PrLi	-	14	57
8 <sup>b</sup>	<i>t</i> -BuLi	50	33	-
9 <sup>b</sup>	Allyl-Li	-	73	-
10 <sup>b</sup>	PhCH <sub>2</sub> Li	-	71	-

<sup>a</sup>Et<sub>2</sub>O-PhH, TA. <sup>b</sup>THF, -78 °C.

Il convient toutefois de signaler que le substrat utilisé influence également le chemin réactionnel (voie a ou voie b). Ainsi alors que le bromure de benzylmagnésium (**3.57**) donne par réaction avec le benzoate **3.53** le produit d'addition 1,6 **3.58**, le 2-méthoxynapht-1-oate de phényle (**3.1**) réagit avec cet organomagnésien par réaction S<sub>N</sub>Ar et le 2-benzylnapht-1-oate de phényle (**3.59**) est isolé avec un rendement de 81 % (Schéma 55).<sup>148</sup>

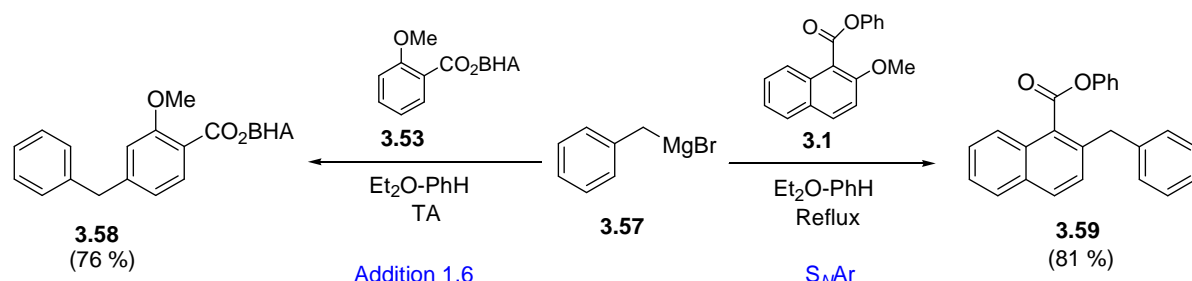


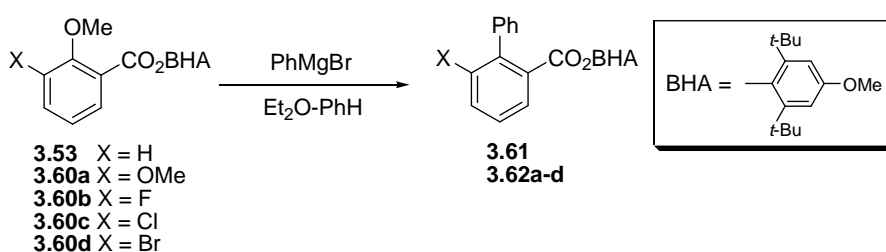
Schéma 55. Réaction du bromure de benzylmagnésium (**3.57**) avec le benzoate **3.53** et naphtoate **3.1**

### 2-3- Influence de la substitution de l'ester sur la réaction $\text{S}_{\text{N}}\text{Ar}$

L'influence de substituants méthoxy ou halogène (F, Cl, Br) en position 3 ou 5 du noyau aromatique benzoate a été étudiée par Miyano.<sup>167</sup>

Par rapport au 2-méthoxybenzoate **3.53**, la réaction  $\text{S}_{\text{N}}\text{Ar}$  est accélérée lorsqu'un groupement méthoxy ou un atome de fluor, chlore ou brome est installé en position 3 du benzoate (Tableau 6). Par ailleurs, en position 5 du benzoate, un atome de chlore favorise la réaction  $\text{S}_{\text{N}}\text{Ar}$  tandis qu'un substituant méthoxy en position 5 ralentit au contraire la réaction.

Tableau 6. Influence de substituants méthoxy et halogène en position 3 du noyau aromatique benzoate



Substrat	Température (°C), t (h)	<b>3.61, 3.62a-d, rdt (%)</b>
<b>3.53</b>	TA, 18-24 h puis reflux, 1 h	93
<b>3.60a</b>	TA, 1 h	94
<b>3.60b</b>	TA, 1 h	92
<b>3.60c</b>	TA, 1 h	98
<b>3.60d</b>	TA, 1 h	89

L'effet bénéfique du méthoxy ou d'un atome d'halogène en position 3 de l'ester permet de limiter l'addition du nucléophile au carbonyle de l'ester. Le carbinol **3.65** est formé avec un rendement de 21 % lors de la réaction du 2-méthoxybenzoate de 2,6-di-*iso*-propylphényle (**3.28b**) avec le bromure de phénylmagnésium (Schéma 56). La présence d'un substituant méthoxy en position 3 permet d'éviter l'addition du réactif de Grignard sur l'ester et seule la formation du produit d'*ipso*-substitution **3.64** est observée.

<sup>167</sup> Hattori, T.; Takeda, A.; Suzuki, K.; Koike, N.; Koshiishi, E.; Miyano, S. *J. Chem. Soc. Perkin Trans. 1* **1998**, 3661.

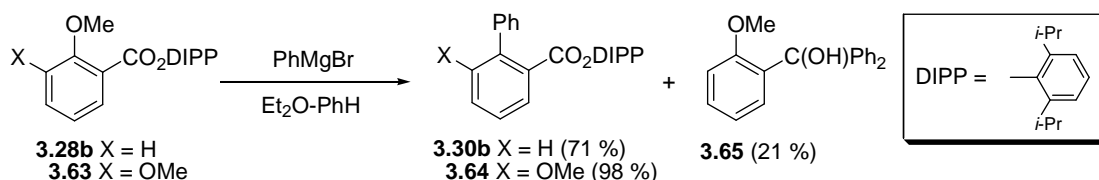
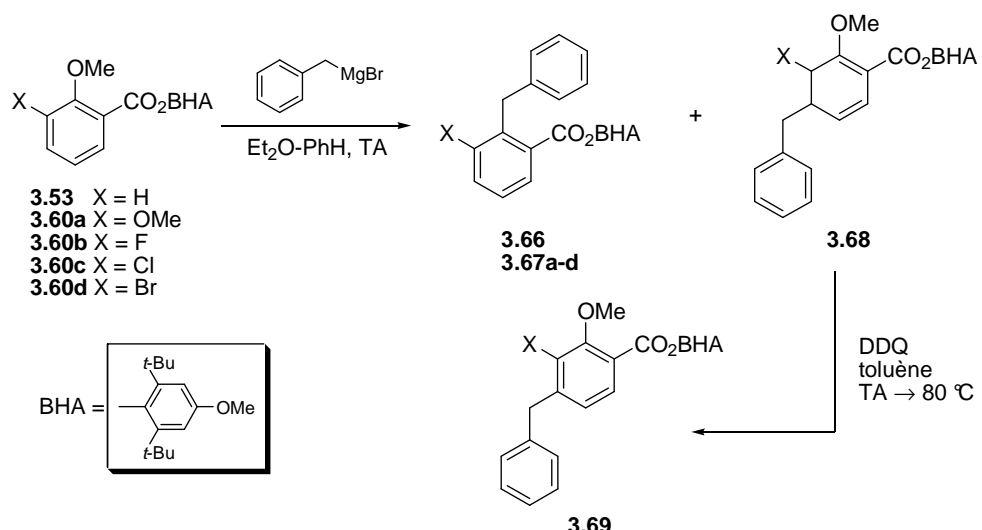


Schéma 56. Influence d'un groupe méthoxy en position 3 sur la sélectivité  $S_N\text{Ar}$ /addition 1,2

Enfin, alors que le 2-méthoxybenzoate **3.53** conduit, par réaction avec le bromure de benzylmagnésium, au produit d'addition conjuguée 1,6 (entrée 1, Tableau 7), un complet changement de sélectivité est obtenu avec le 2,3-diméthoxybenzoate **3.60a** et les 3-halogéno-2-méthoxybenzoates **3.60b-d**. Pour ces substrats, les produits d'*ipso*-substitution sont isolés avec d'excellents rendements (entrées 2-5).

Tableau 7. Réactivité du 2,3-diméthoxybenzoate **3.60a** et des 3-halogéno-2-méthoxybenzoates **3.60b-d** avec le bromure de benzylmagnésium



Entrée	Substrat	t (h)	<b>3.66, 3.67a-d, rdt (%)</b>	<b>3.69, rdt (%)</b>
1	<b>3.53</b>	96h	-	76
2	<b>3.60a</b>	6h	89	-
3	<b>3.60b</b>	3h	55	-
4	<b>3.60c</b>	3h	45	-
5	<b>3.60d</b>	3h	65	-

D'un point de vue stérique, un méthoxy ou un atome d'halogène en position 3 devrait retarder plutôt qu'accélérer la réaction  $S_N\text{Ar}$ .<sup>168</sup> Le pouvoir inductif attracteur des atomes d'halogène explique l'effet bénéfique de ces atomes sur la réaction  $S_N\text{Ar}$ .<sup>169,170</sup>

<sup>168</sup> La présence d'un méthyle en position 3 retarde la réaction  $S_N\text{Ar}$  voir Hattori, T.; Koike, N.; Miyano, S. *J. Chem. Soc., Perkin Trans. 1* **1994**, 2273.

<sup>169</sup> Il est généralement admis que les substituants électroattracteurs favorisent la  $S_N\text{Ar}$  alors que les groupements électrodonneurs la retardent. Voir Bunnett, J. F.; Zahler, R. E. *Chem. Com.* **1951**, 273.

L'effet bénéfique du brome en position 3 a été utilisé lors de l'allylation régiosélective du 3-bromo-2,6-diméthoxybenzoate **3.71**<sup>167</sup> en position 2 qui permet d'accéder au naphtol substitué **3.72**, un intermédiaire clé dans la synthèse des michellamines A-C<sup>171</sup> (Schéma 57).

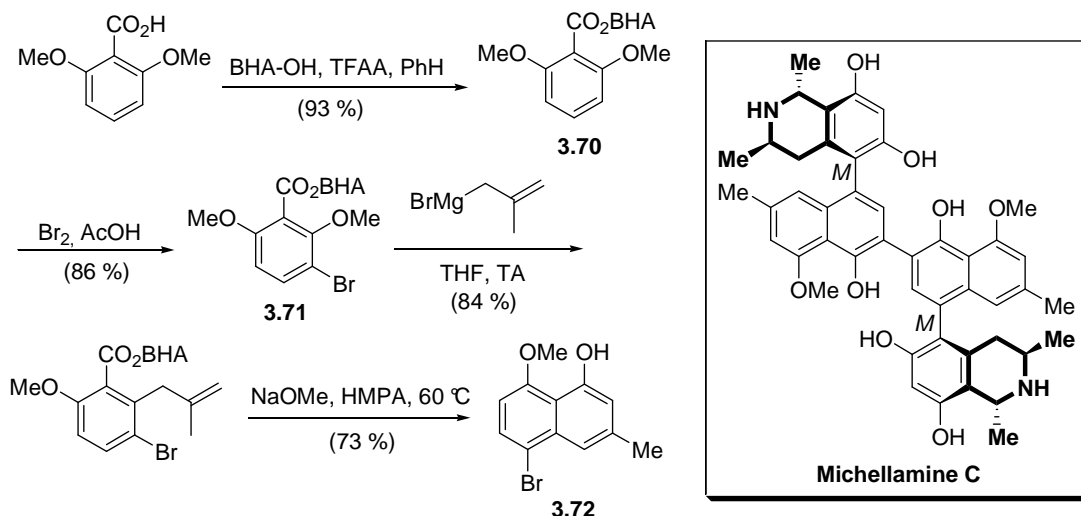


Schéma 57. Synthèse d'un intermédiaire clé dans la synthèse des michellamines

Avec le 2,3-diméthoxybenzoate **3.60a**, la réaction  $S_NAr$  met probablement en jeu le complexe **3.73** pour lequel le magnésium est complexé par les deux méthoxy en position 2 et 3. Ce complexe s'opposerait plus efficacement à la stabilisation par résonance de la liaison  $C_{ipso}$ -O et polariserait plus cette liaison que le complexe **3.74**, ce qui faciliterait l'*ipso*-substitution (Figure 19).<sup>167,172</sup> Ce mécanisme par double chélation est cohérent avec la réactivité du 2,3-(méthylènedioxy)benzoate **3.75**, pour lequel une telle double complexation est impossible stériquement et qui présente une réactivité similaire à celle du 2-méthoxybenzoate **3.53**.

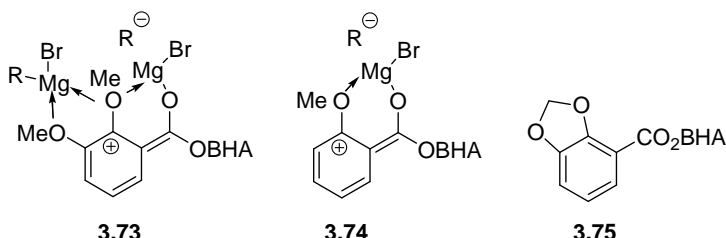


Figure 19. Complexation entre les esters **3.60a**, **3.53** et les réactifs de Grignard. Ester 2,3-(méthylènedioxy)benzoïque **3.75**

De plus, l'*ipso*-substitution d'un méthoxy en *para* d'un ester BHA est possible si la position méta est occupée par un substituant capable de complexer le cation métallique  $Mg^{2+}$

<sup>170</sup> Wells, K. M.; Shi, Y.; Lynch, J. E.; Humphrey, G. R.; R. P. Volante R. P.; Reider, P. J. *Tetrahedron Lett.* **1996**, 37, 6439.

<sup>171</sup> Boyd, M. R.; Hallock, Y. F.; Cardellina II, J. H.; Manfredi, K. P.; Blunt, J. W.; McMahon, J. B.; Buckheit Jr., R. W.; Bringmann, G.; Schäffer, M.; Cragg, G. M.; Thomas, D. W.; Jato, J. G. *J. Med. Chem.* **1994**, 37, 1740.

<sup>172</sup> Pour un effet similaire en série benzonitrile, voir Fuson, R. C; Chadwick, D. W. *J. Org. Chem.* **1948**, 13, 484.

(Schéma 58) et les 3,4-diméthoxy- et 3,4,5-triméthoxybenzoate **3.76** et **3.77** conduisent, avec d'excellents rendements, aux biphenyles **3.78** et **3.79**.<sup>167</sup>

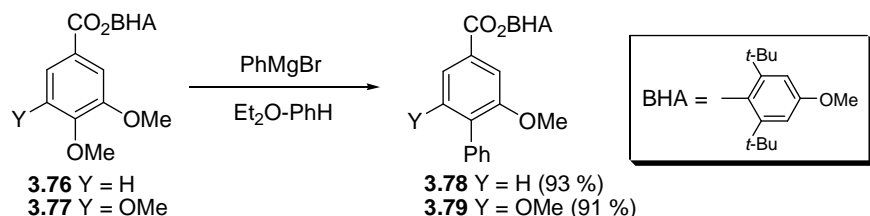


Schéma 58. *Ipo*-substitution d'un méthoxy activée en *para* par un ester BHA

Cette réaction a été appliquée dans le cadre de la synthèse totale de la blépharismine-3, une molécule possédant d'intéressantes propriétés photodynamiques (Schéma 59).<sup>173</sup>

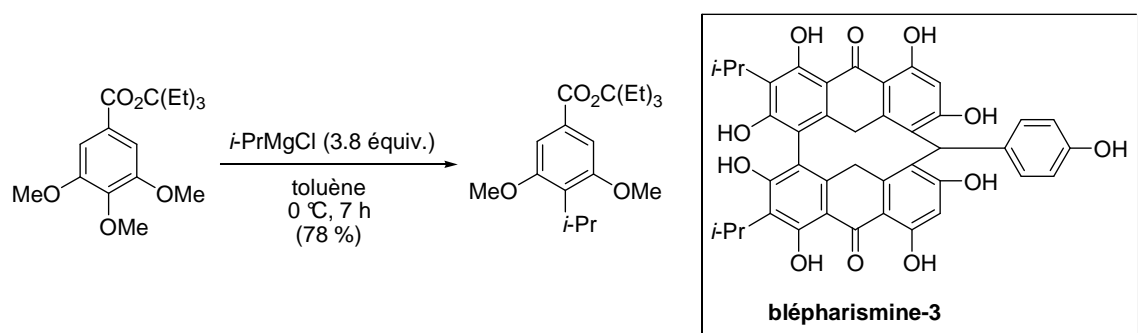


Schéma 59. Préparation par  $S_NAr$  d'un intermédiaire clé de la synthèse de la blépharismine-3

Les esters 3-halogéno-4-méthoxybenzoates **3.80** et le 3,4-difluorobenzoate **3.81** ne donnent pas de produit d'*ipo*-substitution par réaction avec le bromure de phénylmagnésium et la métallation en position 2 (en *ortho* de l'ester et de l'halogène) se produit. En fin de réaction, le 4-méthoxy-2-phénylbenzoate **3.82**, vraisemblablement issu du benzyne **3.83** est isolé avec un rendement de 21 % (Figure 20).<sup>167</sup>

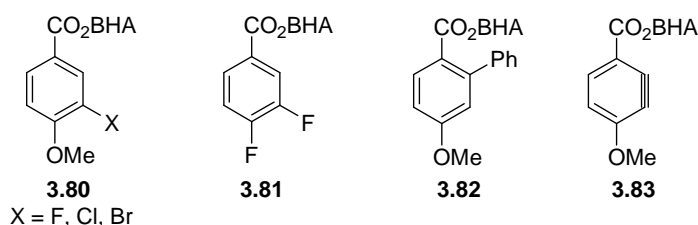


Figure 20. Structure des esters BHA **3.80**, **3.81**, **3.82** et du benzyne **3.83**

## 2-4- Synthèse atroposélective de biaryles chiraux.

La synthèse de biaryles chiraux a fait l'objet de nombreux travaux depuis 30 ans. Cet intérêt s'explique par le fait que ces motifs se retrouvent non seulement dans de nombreux produits naturels mais également dans des ligands chiraux utilisés efficacement en synthèse asymétrique. Plusieurs stratégies ont été développées pour la synthèse atroposélective de

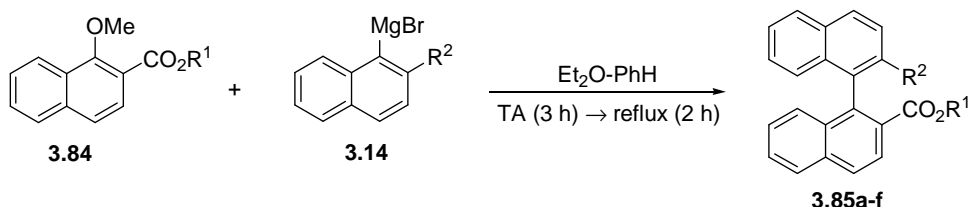
<sup>173</sup> Kojima, T.; Ohishi, T.; Yamamoto, I.; Matsuoka, T.; Kotsuki, H. *Tetrahedron Lett.* **2001**, 42, 1709.

biaryles chiraux par substitution nucléophile aromatique.

#### 2-4-1- Utilisation d'un ester chiral

L'utilisation d'esters chiraux pour la synthèse atroposélective de biaryles a été testée. Les diastéréosélectivités obtenues sont très faibles avec le 1-méthoxy-2-naphtoate de (–)-menthyle (< 10 %) (entrées 2, 4 et 6 Tableau 8) mais l'excès diastéréomérique peut atteindre jusqu'à 51 % quand l'ester (*S*)-1-phényléthylique **3.84a** est utilisé (entrée 5 Tableau 8).<sup>151</sup> Un éloignement trop important entre le centre chiral et le site de couplage explique probablement ces résultats mitigés.

**Tableau 8. Synthèse atroposélective de biaryles reposant sur l'utilisation d'esters chiraux**



Entrée	3.84	3.14	R <sup>1</sup>	R <sup>2</sup>	3.85a-f, rdt (%)	ed (%)	Config.
1	<b>3.84a</b>	<b>3.14a</b>	( <i>S</i> )-CHMePh	H	96 [ <b>3.85a</b> ]	28	<i>R</i>
2	<b>3.84b</b>	<b>3.14a</b>	(–)-Menthyle	H	86 [ <b>3.85b</b> ]	4.4	<i>R</i>
3	<b>3.84a</b>	<b>3.14b</b>	( <i>S</i> )-CHMePh	Me	93 [ <b>3.85c</b> ]	20	<i>R</i>
4	<b>3.84b</b>	<b>3.14b</b>	(–)-Menthyle	Me	99 [ <b>3.85d</b> ]	8.9	<i>S</i>
5	<b>3.84a</b>	<b>3.14c</b>	( <i>S</i> )-CHMePh	OMe	92 [ <b>3.85e</b> ]	51	<i>R</i>
6	<b>3.84b</b>	<b>3.14c</b>	(–)-Menthyle	OMe	88 [ <b>3.85f</b> ]	9.5	<i>R</i>

La réaction commence par la complexation du magnésium aux doublets de l'oxygène du carbonyle et du méthoxy (Schéma 60).<sup>174</sup> L'organomagnésien réagit préférentiellement par la face supérieure du naphtalène. L'induction asymétrique dépend des effets stériques et électroniques des substituants *ortho* de l'organomagnésien. La répulsion stérique entre les deux cycles naphtalènes conduit à l'intermédiaire (*S*)-**3.87** pour les réactifs **3.14a** et **3.14b**. Dans le cas de **3.14c**, la complexation du groupe méthoxy en position 2 avec le magnésium favorise la formation de l'intermédiaire (*R*)-**3.87**.

<sup>174</sup> Hattori, T.; Hotta, H.; Suzuki, T.; Miyano, S. *Bull. Chem. Soc. Jpn.* **1993**, *66*, 613.

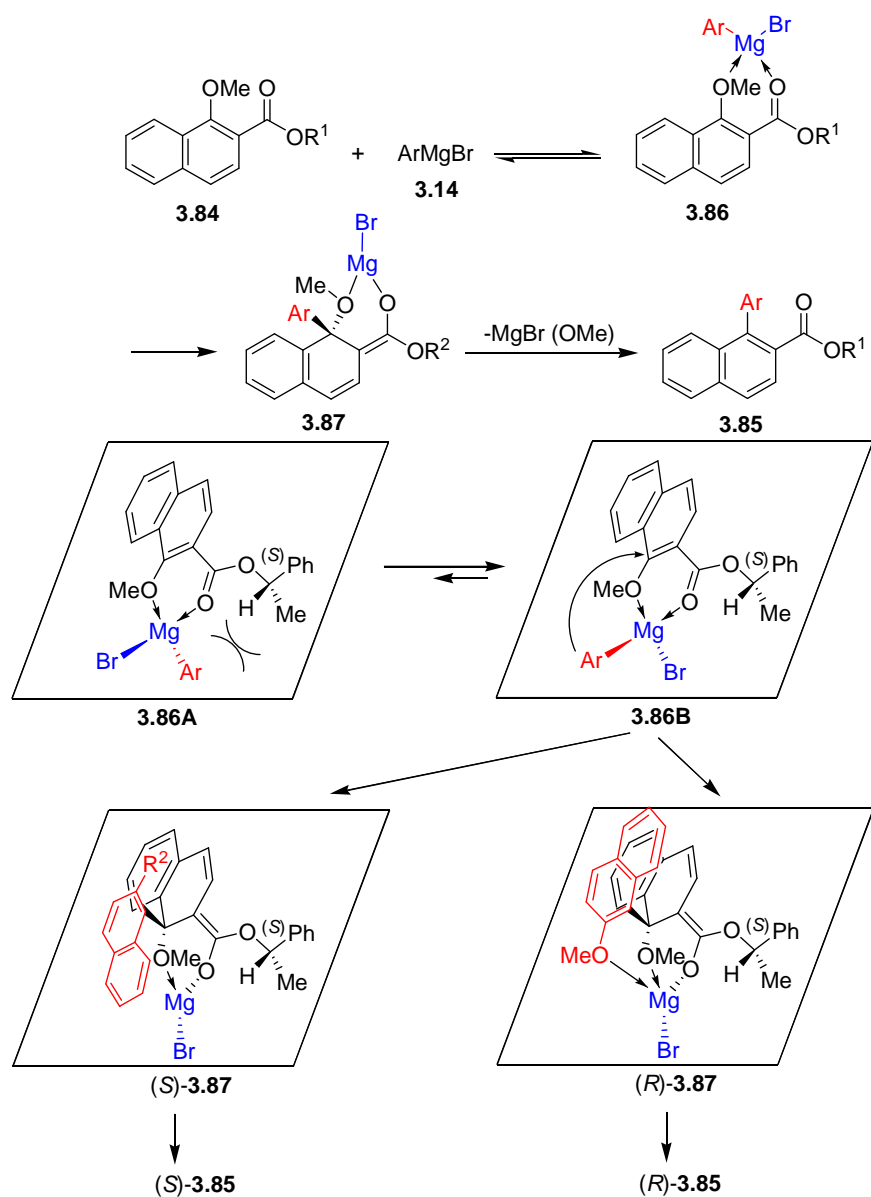
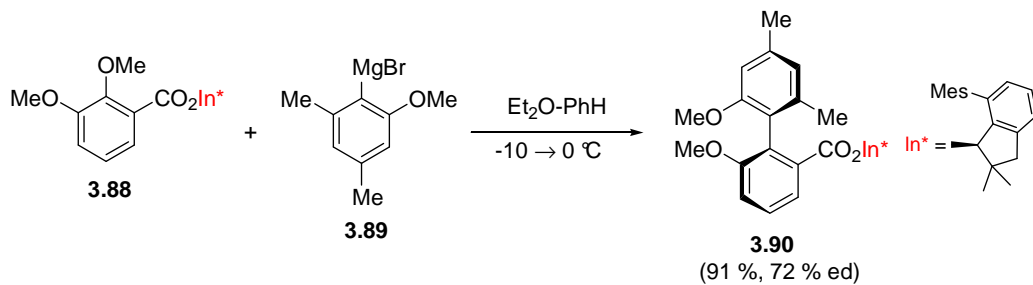


Schéma 60. Mécanisme de la réaction  $S_NAr$  activée par un ester chiral

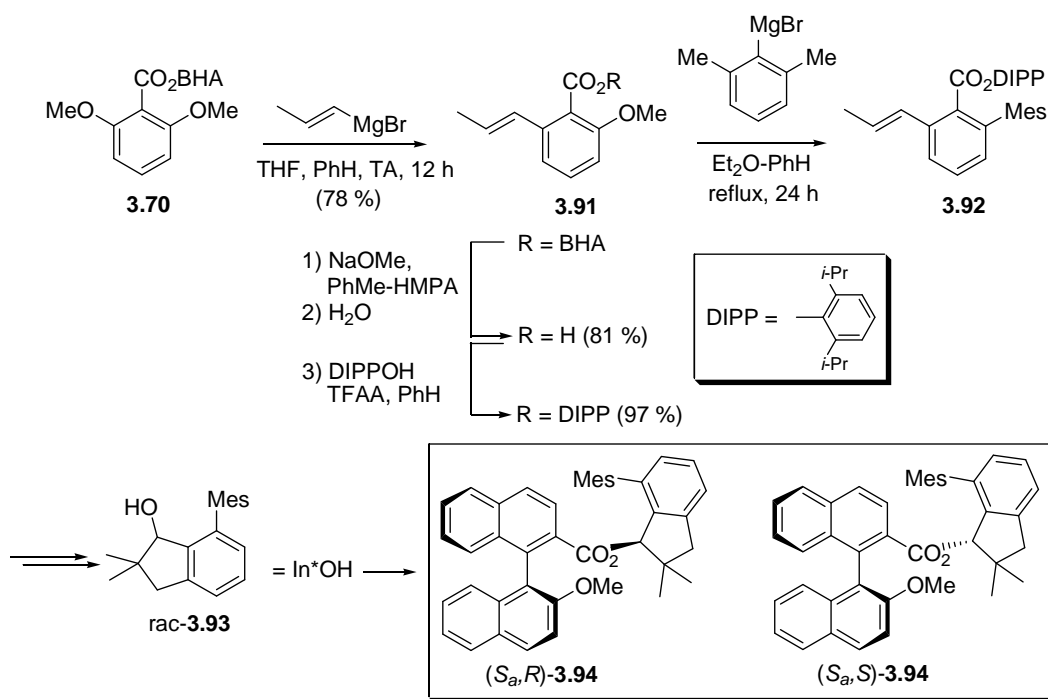
L'alcool chiral 7-mésityl-2,2-diméthylindan-1-ol a également été testé comme auxiliaire chiral lors du couplage du 2,3-diméthoxybenzoate **3.88** avec le bromure de 2-méthoxy-4,6-diméthylphénylmagnésium (**3.89**) (Schéma 61). Le biphenyle **3.90** est formé avec un rendement de 91 % et un excès diastéréomérique de 72 %.<sup>175</sup>

<sup>175</sup> Koshiishi, E.; Hattori, T.; Ichihara, N.; Miyano, S. *J. Chem. Soc., Perkin Trans. 1* **2002**, 377.



**Schéma 61.** Réaction  $S_NAr$  utilisant le (*R*)-7-mésityl-2,2-diméthyl-2,3-dihydro-1*H*-indène comme auxiliaire chirale

L'indanol chiral **3.93** utilisé dans la préparation de **3.88** est également préparé par réaction  $S_NAr$  (Schéma 62). Pour cela, les deux méthoxy du 2,6-diméthoxybenzoate **3.70** sont déplacés consécutivement par le bromure de prop-1-énymagnésium puis par le bromure de 2,6-diméthylphénylmagnésium pour conduire à l'ester 2,6-disubstitué **3.92**. Une suite de transformations usuelles conduit à l'alcool racémique **3.93**. La résolution optique de **3.93** repose sur son estérification avec l'acide (*S<sub>a</sub>*)-2'-méthoxy-1,1'-binaphtyl-2-carboxylique pour donner des esters chiraux **3.94**.<sup>175</sup>



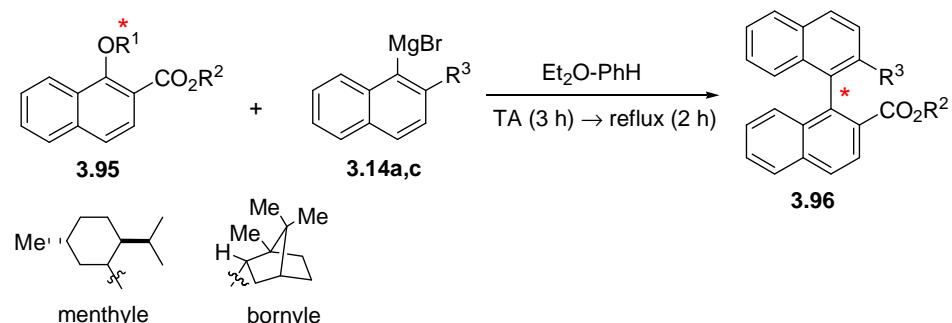
**Schéma 62.** Synthèse d'un indanol chiral par  $S_NAr$

#### 2-4-2- Utilisation d'un groupe partant chiral

Une synthèse asymétrique de binaphthalènes chiraux reposant sur l'utilisation de groupes partant chiraux a été développée par Miyano. D'excellents excès énantiomériques sont observés avec le (-)-menthoxy (entrée 1-5, Tableau 9).<sup>111,174</sup> L'induction chirale est essentiellement gouvernée par le groupe menthoxy et n'est influencée que marginalement par l'ester chiral en position 2 (entrée 1 vs 3). Le sens de l'induction asymétrique dépend cependant également de la nature du groupement  $\text{R}^3$  en position 2 de l'organomagnésien

(entrée 1 vs 2). Une stéréosélectivité très faible a été obtenue quand le bornyle est utilisé comme un groupe partant, sans doute parce que ce groupe est quasiment sphérique et ne produit pas une dissymétrie suffisante pour générer une bonne induction chirale.

**Tableau 9. Synthèse atroposélective des binaphtalènes utilisant des groupes partant chiraux**



Entrée	3.95	3.14a,c	R <sup>1</sup>	R <sup>2</sup>	R <sup>3</sup>	3.96a-f, rdt (%)	Rdt optique (%)	Config.
1	<b>3.95a</b>	<b>3.14c</b>	<i>l</i> -menthyle	<i>i</i> -Pr	OMe	92[ <b>3.96a</b> ]	97	aS-(S)
2	<b>3.95a</b>	<b>3.14a</b>	"	"	H	95[ <b>3.96b</b> ]	80	aS-(R)
3	<b>3.95b</b>	<b>3.14c</b>	<i>l</i> -menthyle	<i>l</i> -menthyle	OMe	81[ <b>3.96c</b> ]	98	aS-(S)
4	<b>3.95b</b>	<b>3.14a</b>	"	"	H	93[ <b>3.96d</b> ]	76	aS-(R)
5	<b>3.95c</b>	<b>3.14c</b>	<i>d</i> -menthyle	(S)-CHMePh	OMe	85[ <b>3.96e</b> ]	91	aR-(R)
6	<b>3.95c</b>	<b>3.14a</b>	"	"	H	74[ <b>3.96f</b> ]	91	aR-(S)
7	<b>3.85d</b>	<b>3.14c</b>	<i>l</i> -bornyle	<i>l</i> -bornyle	OMe	71[ <b>3.96g</b> ]	10	aR-(R)

Un mécanisme possible permettant d'expliquer l'atroposélectivité élevée observée est présenté dans le Schéma 63.<sup>174</sup> Le groupe menthoxy se positionne préférentiellement au-dessus du plan du naphtalène. Le carbanion naphtalénique approche par la face inférieure du plan du naphtalène **3.95**, afin de minimiser les répulsions stériques. Selon les effets stériques et électroniques des substituants *ortho* de l'organomagnésien, l'intermédiaire (S)-**3.98** ou (R)-**3.98** est formé.

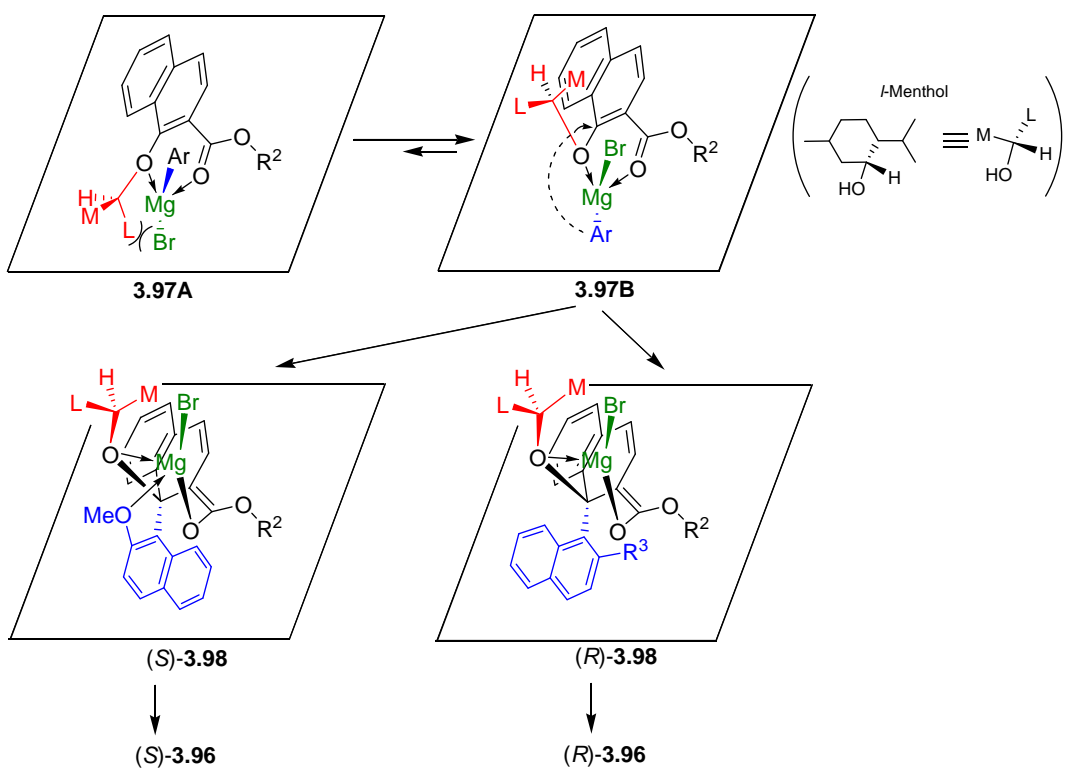


Schéma 63. Mécanisme de la réaction  $S_NAr$  utilisant un groupe partant chiral

Cette technique a été appliquée à la synthèse asymétrique de ternaphthalènes.<sup>176</sup> Ainsi le traitement du 1,5-dimenthoxy naphtalène 2,6-dicarboxylate de dimenthyle (**3.99**) et de son régioisomère, le 1,4-dimenthoxy naphtalène-2,3-dicarboxylate de dimenthyle (**3.100**), avec le bromure de 2-méthoxy naphtalène-1-ylmagnésium (**3.14c**) fournit, après purification par chromatographie sur gel de silice, le 2,2''-diméthoxy-1,1':5',1''-ternaphthalène-2',6'-dicarboxylate de dimenthyle (**3.101**) et le 2,2''-diméthoxy-1,1':4',1''-ternaphthalène-2',3'-dicarboxylate de dimenthyle (**3.102**) énantiométriquement et diastéréométriquement purs avec des rendements respectifs de 70 % et 63 % (Schéma 64).

<sup>176</sup> Hattori, T.; Iwato, H.; Natori, K.; Miyano, S. *Tetrahedron Asym.* **2004**, *15*, 881.

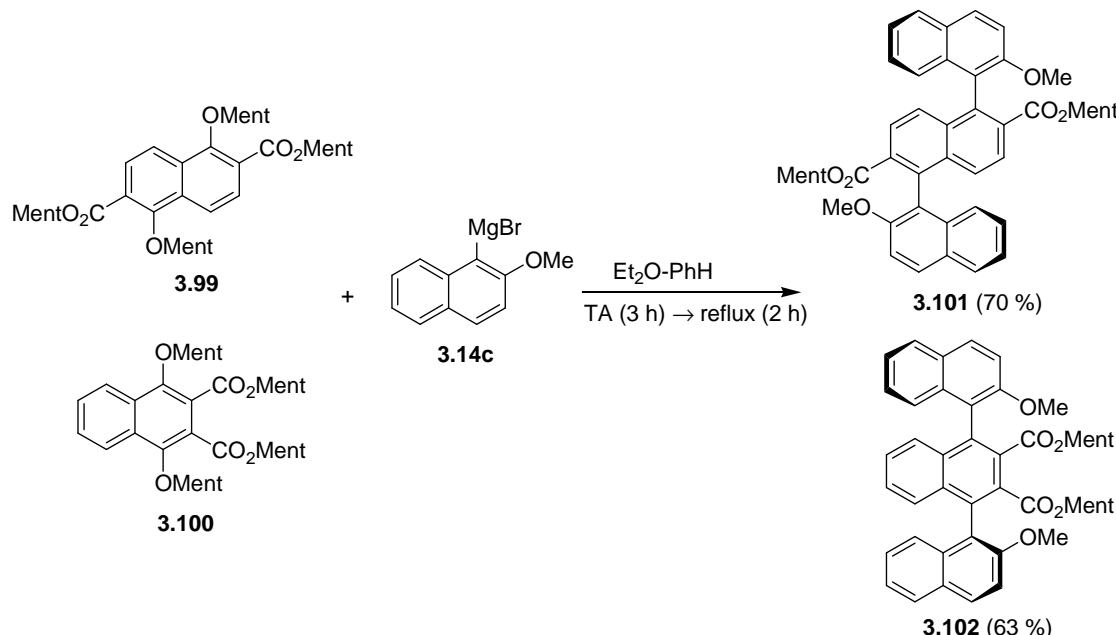


Schéma 64. Synthèse asymétrique de 1,1':5',1''- et 1,1':4',1''-ternaphthalènes

Par ailleurs, la réaction entre le naphtoate 3.103 et le naphtylmagnésien 3.104 constitue l'étape-clé de la synthèse du binaphthalène chiral 3.105 qui a été utilisé pour la préparation du catalyseur 3.106 dans le cadre d'études sur la métathèse asymétrique des oléfines (Schéma 65).<sup>177</sup>

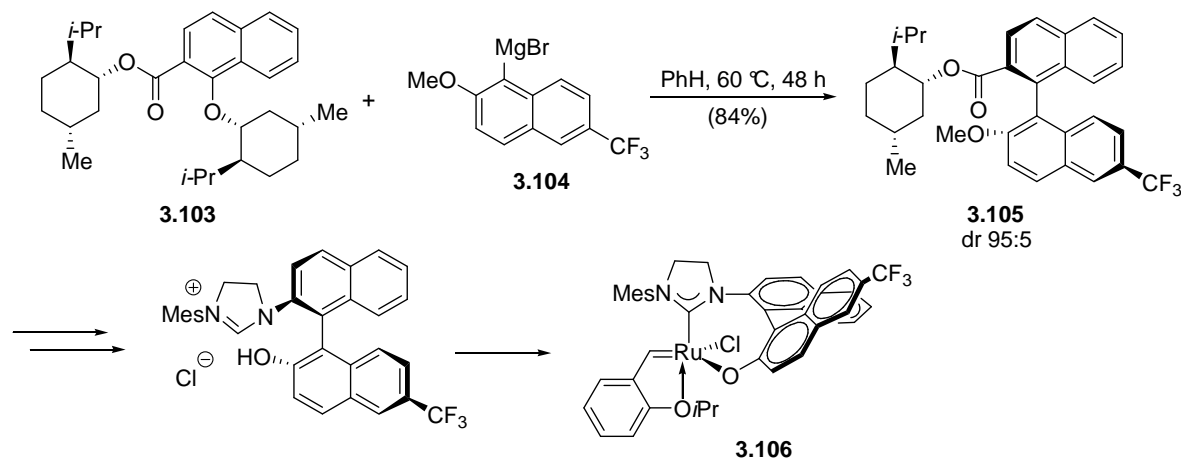
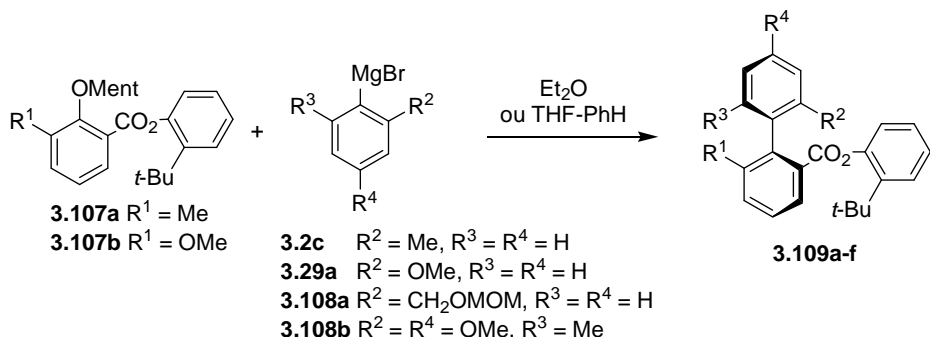


Schéma 65. Synthèse d'un catalyseur à base de ruthénium pour la métathèse d'oléfines

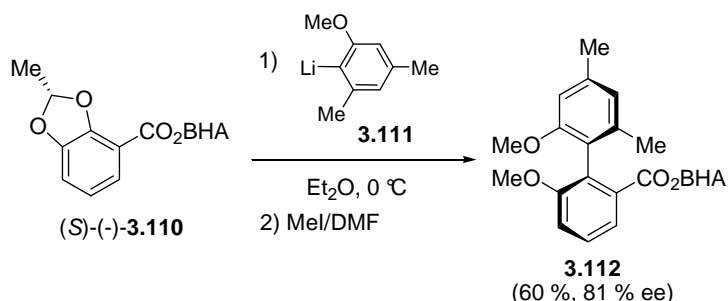
La technique peut être étendue efficacement à la synthèse asymétrique de biphenyles (Tableau 10).<sup>168</sup> La réaction des dérivés 2-[(-)-menthoxy]benzoates de 2-*tert*-butylphényle (3.107) avec les bromures de phénylmagnésium 3.2c, 3.29a, 3.108a,b conduit aux biphenyl-2-carboxylates 3.109 avec des énantioméries modérées à bonnes. Le biphenylester obtenu peut être facilement déprotégé par traitement avec la potasse alcoolique à température ambiante.

<sup>177</sup> Van Veldhuizen, J. J.; Gillingham, D. G.; Garber, S. B.; Kataoka, O.; Hoveyda, A. H. *J. Am. Chem. Soc.* **2003**, *125*, 12502.

**Tableau 10.** Réaction des 2-[(-)-menthoxy]benzoates de 2-*tert*-butylphényle avec divers réactifs de Grignard


<b>R<sup>1</sup></b>	<b>R<sup>2</sup></b>	<b>R<sup>3</sup></b>	<b>R<sup>4</sup></b>	<b>Produits</b>	<b>Rdt (%)</b>	<b>ee (%)</b>
Me	OMe	H	H	(+)-3.109a	65	62
Me	CH <sub>2</sub> OMOM	H	H	(S)-(+)3.109b	92	67
Me	Me	H	H	(S)-(+)3.109c	45	22
OMe	CH <sub>2</sub> OMOM	H	H	(R)-(+)3.109d	95	75
OMe	Me	H	H	(R)-(+)3.109e	95	56
OMe	OMe	Me	OMe	(R)-(+)3.109f	92	94

D'autre part, la réaction de l'ester (*S*)-2,3-éthylidènedioxybenzoate **3.110** avec l'aryllithien **3.111** conduit au biaryle **3.112** avec un rendement de 60 % et un excès énantiomérique de 81 % (Schéma 66).<sup>178</sup>


**Schéma 66.** Réaction  $S_N\text{Ar}$  de l'ester (*S*)-2,3-éthylidènedioxybenzoate **3.110** avec l'aryllithien **3.111**

Afin de limiter la répulsion stérique, l'aryllithien additionne le benzoate **3.110** du côté opposé à celui du méthyle du substituant éthylènedioxy (Schéma 67).

<sup>178</sup> Koike, N.; Hattori, T.; Takeda, A.; Okaishi, Y.; Miyano, S. *Chem. Lett.* **1997**, 641.

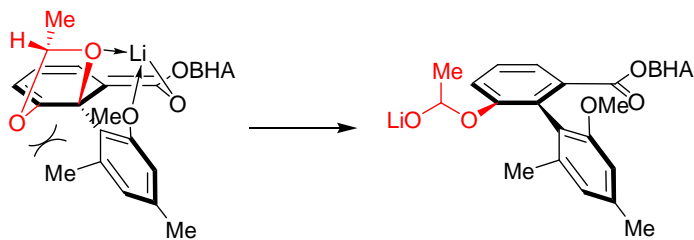


Schéma 67. Mécanisme de la réaction  $S_NAr$  atroposélective de l'ester 3.110

#### 2-4-3- $S_NAr$ en présence de ligands chiraux

La réaction du naphtyllithium 3.114 avec le 1-méthoxynaphtoate 3.113 dans le toluène en présence de (*R,R*)-1,2-diphénylethan-1,2-diol fournit le binaphtalène 3.115 avec un très bon rendement et un excès énantiomérique modéré (52 %) (Schéma 68).<sup>179</sup>

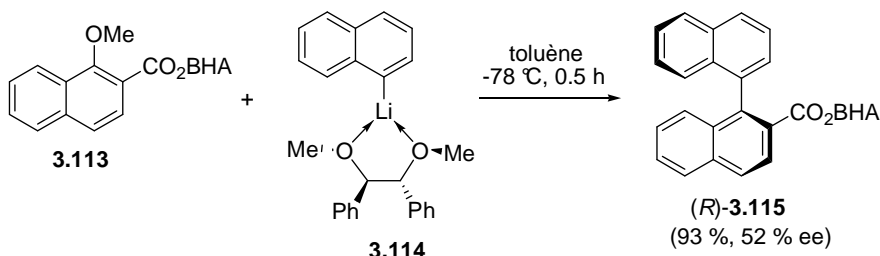


Schéma 68.  $S_NAr$  du 2-méthoxynaphtoate 3.113 avec le naphtyllithium 3.114 en présence de ligands chiraux

#### 2-4-4- $S_NAr$ avec des esters à chiralité planaire

La chiralité axiale biaryllique peut être efficacement induite par la chiralité planaire du substrat naphtoate. Ainsi l'oxanaphthalénophane (*R*)-3.116 réagit avec les bromures de 1-naphtylmagnésium 3.14a,c pour donner les binaphtyles 3.117 avec de très bonnes puretés énantiométriques (> 90 %) (Schéma 69).<sup>180</sup>

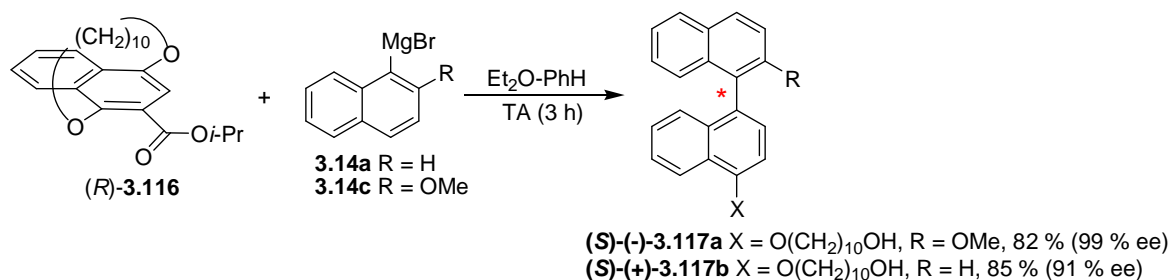


Schéma 69. Synthèse asymétrique des binaphtyles 3.117 utilisant des esters à chiralité planaire

Le cycle ansa protège la face supérieure du naphtoate contre l'attaque nucléophile du réactif de Grignard. Avec le bromure de 2-méthoxy-1-naphtylmagnésium (3.14c), la chélation du Mg par le méthoxy est observée et cela conduit à la formation de l'atropoisomère (*S*)-3.117 (Schéma 70).

<sup>179</sup> Shindo, M.; Yamamoto, Y.; Yamada, K. -I.; Tomioka, K. *Chem. Pharm. Bull.* **2009**, 57 (7), 752.

<sup>180</sup> Hattori, T.; Koike, N.; Okaishi, Y.; Miyano, S. *Tetrahedron Lett.* **1996**, 37, 2057.

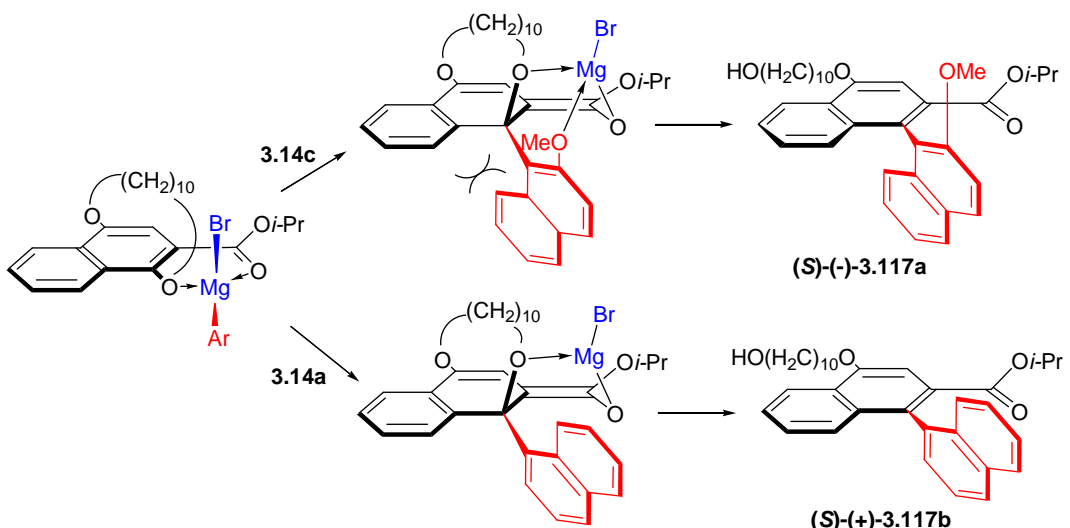


Schéma 70. Réaction SNAr atroposélective d'un ester à chiralité planaire

La synthèse atroposélective de biaryles chiraux par substitution nucléophile des complexes chiraux ( $\eta^6$ -arène)Cr(CO)<sub>3</sub> par des arylmagnésiens a également été décrite dans la littérature (Schéma 71).<sup>181</sup>

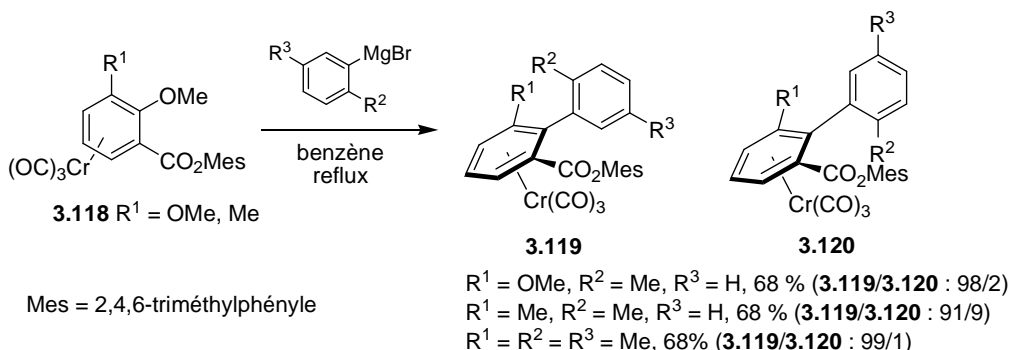


Schéma 71. Synthèse de biaryles chiraux à partir des complexes ( $\eta^6$ -arène)Cr(CO)<sub>3</sub>

La réaction se déroule vraisemblablement *via* le complexe **3.121** pour lequel le magnésium est complexé par deux atomes d'oxygène. La migration de l'aryle sur le C<sub>ipso</sub> conduit aux complexes **3.122** et **3.123** (Schéma 72). Dans le complexe formé avant l'élimination de Mg(OMe)Br, la libre rotation autour de la liaison  $\sigma$  est possible et en raison d'effets stériques, la formation du diastéréoisomère **3.119** est préférée.

<sup>181</sup> Kamikawa, K.; Uemura, M. *Tetrahedron Lett.* **1996**, 37, 6359.

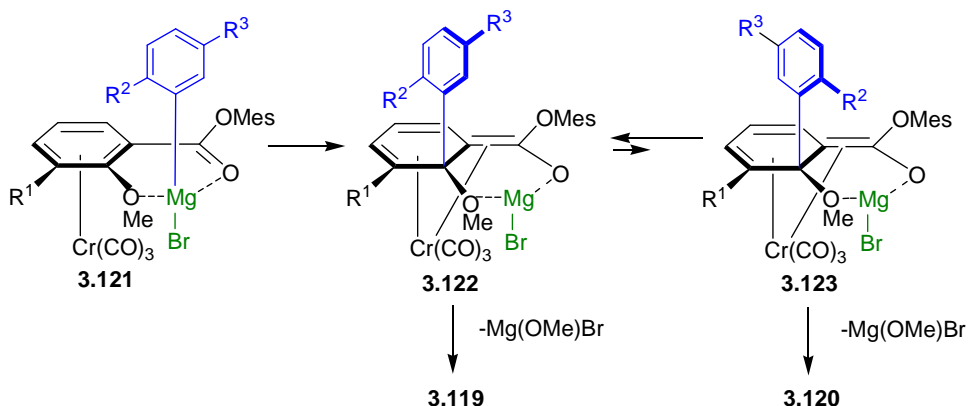


Schéma 72. Réaction S<sub>N</sub>Ar des complexes 3.119 et 3.120

### 3- Substitution nucléophile aromatique assistée par les oxazolines

La réaction de substitution nucléophile aromatique assistée par les oxazolines (réaction de Meyers) a trouvé de nombreuses applications dans le domaine de la chimie fine, de la synthèse de produits naturels, de la préparation de catalyseurs chiraux ou de l’élaboration de phases stationnaires chirales ou de matériaux pour l’optoélectronique.<sup>20,21a,108</sup>

Ce paragraphe est limité aux faits marquants de la réaction de Meyers. Cette réaction a fait l’objet très récemment d’une revue, que le lecteur pourra utilement consulter.<sup>108</sup>

Le groupe oxazoline permet la substitution d’un groupe *ortho*-alcoxy ou *ortho*-fluoré par les réactifs organométalliques.<sup>182</sup> Une grande variété de réactifs organométalliques (lithiens ou magnésiens) peuvent être utilisés et seuls les anions délocalisés (par exemple CH<sub>2</sub>=CHLi ou BnMgBr) sont inertes (Schéma 73).<sup>183</sup>

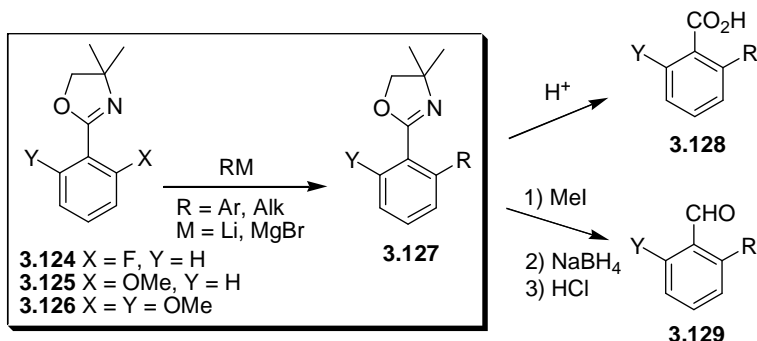


Schéma 73. Réaction de Meyers. Substitution d’un groupe *ortho*-alcoxy ou *ortho*-fluoro par les réactifs organométalliques

L’hydrolyse en milieu acide (H<sup>+</sup>/MeOH) des aryloxazolines monosubstituées 3.127 (Y = H) en acides carboxyliques 3.128 ou leur conversion en aldéhydes 3.129 se produit généralement avec des rendements modérés. Pour Y ≠ H, la déprotection de l’oxazoline n’est pas réalisable.<sup>20,21a</sup>

<sup>182</sup> Meyers, A. I.; Mihelich, E. D. *J. Am. Chem. Soc.* **1975**, 97, 7383.

<sup>183</sup> Meyers, A. I.; Gabel, R.; Mihelich, E. D. *J. Org. Chem.* **1978**, 43, 1372.

Les rendements de la substitution sont généralement bons mais diminuent notablement lors de l'utilisation d'aryloxazolines encombrées stériquement telles que les 2,6-diméthoxyaryloxazolines (**3.126**).<sup>184</sup> En effet, l'encombrement stérique provoqué par les deux groupes méthoxy empêche l'oxazoline et le noyau aromatique d'être coplanaires, ce qui inhibe la réaction.

Avec la 2,6-difluorooxazoline (**3.130**), il est possible d'introduire deux substituants identiques ou différents sur le noyau aromatique par réaction  $S_NAr$  (Schéma 74).<sup>21b</sup> À basse température ( $< 0^\circ\text{C}$ ), l'oxazoline **3.131** conduit à la formation du produit de monosubstitution. L'introduction du second substituant nécessite une température supérieure à  $25^\circ\text{C}$ .

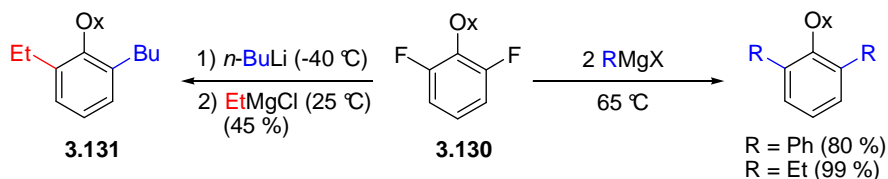


Schéma 74.  $S_NAr$  de la 2,6-difluorooxazoline (**3.130**)

Par ailleurs, la réaction de Meyers a été largement utilisée pour la synthèse de (hétéro)biaryles. Elle offre un accès efficace aux biaryles chiraux (cf. chapitre 2, page 56).

#### 4- Substitution nucléophile aromatique assistée par les amides

Alors que de nombreux exemples de substitution de méthoxy en *ortho* de benzamides ( primaire, secondaire ou tertiaire) par les amidures ont été décrits dans la littérature,<sup>185</sup> les exemples de formation de liaisons C-C sont nettement moins fréquents.

Le *s*-BuLi déplace le substituant méthoxy en *ortho* de l'amide de **3.132** pour conduire au composé **3.133** qui est ensuite métallé par l'excès de *s*-BuLi. L'anion **3.134** ainsi généré est piégé par MeI et donne **3.135** avec un rendement de 39 % (Schéma 75).<sup>186</sup>

<sup>184</sup> Meyers, A. I.; Williams, B. E. *Tetrahedron Lett.* **1978**, 3, 223.

<sup>185</sup> (a) Sasikumar, T. K.; Burnett, D. A.; Zhang, H.; Smith-Torhan, A.; Fawzi, A.; Lachowicz, J. E. *Bioorg. Med. Chem. Lett.* **2006**, 16 (17), 4543. (b) Guo, Z.; Schultz, A. G. *Tetrahedron Lett.* **2001**, 42 (9), 1603. (c) Kim, D.; Wang, L.; Hale, J. J.; Lynch, C. L.; Budhu, R. J.; MacCoss, M.; Mills, S. G.; Malkowitz, L.; Gould, S. L.; DeMartino, J. A.; Springer, M. S.; Hazuda, D.; Miller, M.; Kessler, J.; Hrin, R. C.; Carver, G.; Carella, A.; Henry, K.; Lineberger, J.; Schleif, W. A.; Emini, E. A. *Bioorg. Med. Chem. Lett.* **2005**, 15 (8), 2129.

<sup>186</sup> Clayden, J.; Foricher, Y. J. Y.; Lam, H. K. *Eur. J. Org. Chem.* **2002**, 3558.

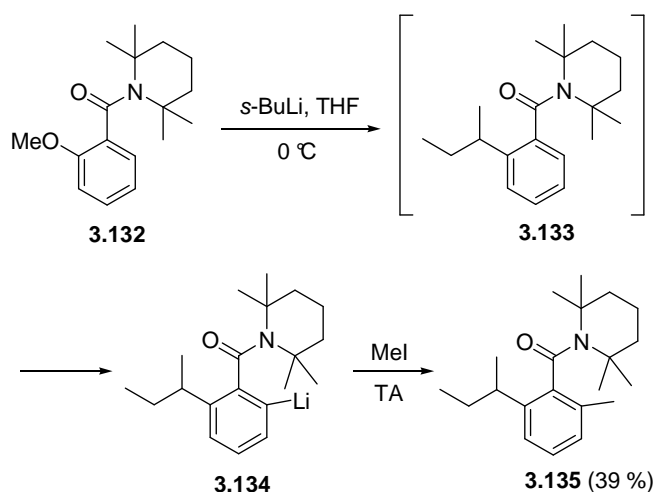


Schéma 75.  $\text{S}_\text{N}\text{Ar}$  de l'amide 3.132 par le  $s\text{-BuLi}$

Des isoindolin-1-ones substituées 3.137 ont été préparées par coupure basique de la liaison C-P de lactames phosphorylés obtenus par cyclisation basique (LiHMDS) d'*ortho*-méthoxy-N-(phosphorylméthyl)benzamides 3.136 (Schéma 76).<sup>187</sup>

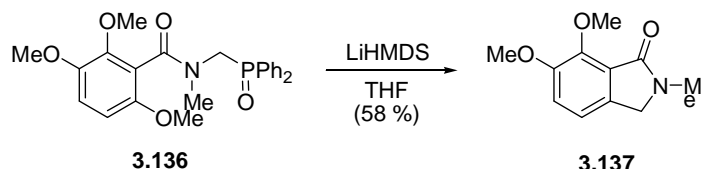


Schéma 76. Synthèse d'isoindolin-1-ones substituées par réaction  $\text{S}_\text{N}\text{Ar}$

## 5- Conclusion

Les réactions de substitution nucléophile aromatique assistée par les oxazolines ou les esters permettent d'accéder efficacement aux composés biraryliques. Toutefois, l'étape de déprotection permettant de libérer la fonction acide carboxylique peut être difficile à réaliser, en particulier dans le cas des dérivés 2,6-disubstitués.

Dans le chapitre suivant, la réaction de substitution nucléophile aromatique des acides *ortho*-fluoro ou *ortho*-méthoxybenzoïques non protégés (réaction  $\text{S}_\text{N}\text{ArAB}$ ) est étudiée. Nous montrons qu'il n'est pas indispensable de protéger la fonction acide carboxylique. Les substituants halogènes (F, Cl, Br) ou méthoxy sont susceptibles de diminuer voire d'inhiber l'addition du nucléophile sur le carbonyle et les produits d'*ipso*-substitution peuvent être isolés avec de bons rendements.

<sup>187</sup> (a) Hoarau, C.; Couture, A.; Deniau, E.; Grandclaudon, P. *Synthesis* **2000**, 655. (b) Moreau, A.; Couture, A.; Deniau, E.; Grandclaudon, P. *Synthesis* **2004**, 1664.

---

# Chapitre 4 — Substitution nucléophile aromatique des acides benzoïques non protégés polyméthoxylés/halogénés avec les arylorganomagnésiens et lithiens

---

## 1- Introduction

Les réactions de substitution nucléophile aromatique ( $S_NAr$ ) constituent une méthode simple de fonctionnalisation de noyaux aromatiques activés par un groupement électroattracteur.<sup>188</sup> Elles peuvent en particulier offrir une voie d'accès efficace aux biphenyles (nucléophile  $Nu^- = ArLi$  ou  $ArMgX$ ). À cet égard, elles peuvent être une alternative aux réactions de couplage catalysées au Pd (couplage de Suzuki, Stille, Negishi...). Dans l'industrie pharmaceutique, l'élimination des traces de métaux dans les principes actifs (Active Pharmaceutical Ingredients API), le plus souvent le palladium, pose un problème aigu dans la mesure où les teneurs résiduelles fixées par les autorités sanitaires sont très faibles.<sup>189</sup> Sur un plan pratique, quand le schéma synthétique impose d'utiliser un métal précieux en fin de synthèse et que les normes de teneur en métal permises dans le principe actif sont dépassées, il faut de façon un peu empirique trouver une méthode d'élimination, ce qui peut être coûteux en temps et en argent. Par ailleurs, les réactions de Stille, Suzuki ou Negishi nécessitent l'utilisation d'un dérivé de l'étain, du bore ou du zinc, fréquemment préparé par transmétallation à partir du dérivé lithien ou organomagnésien correspondant. La réaction  $S_NAr$  réalisée avec le lithien ou l'organomagnésien peut alors apparaître comme une méthode de couplage « plus directe ».

Il est généralement considéré que la réaction de substitution nucléophile aromatique d'acides benzoïques nécessite des étapes de protection et de déprotection du groupe carbonyle. Le groupe protecteur le plus utilisé est la fonction oxazoline. À partir d'un acide benzoïque **4.1** *ortho*-substitué par un atome de fluor ou par un groupe alcoxy (X = F et OR), la fonction carbonyle ( $CO_2H$ ) est préalablement protégée (**4.1** → **4.2**) (Schéma 77). Après substitution du fluor ou du méthoxy (**4.2** → **4.3**), une étape de déprotection pour libérer la fonction  $CO_2H$  et

---

<sup>188</sup> Chupakhin, O. N.; Charushin, V. N.; Vander Plas, H. C. *Nucleophilic Aromatic Substitution of Hydrogen*; Academic Press: San Diego, CA, 1994.

<sup>189</sup> L'Agence européenne d'évaluation des médicaments (EMEA) indique pour le palladium une dose journalière tolérée de 10 ppm et 1 ppm, si l'API est administré respectivement par voie orale et par voie parentérale, Committee for Medicinal Products for Human Use (CHMP), *Guideline on the specification limits for residues of metal catalysts or metal reagents*, London, 21 Février 2008, [http://www.ema.europa.eu/docs/en\\_GB/document\\_library/Scientific\\_guideline/2009/09/WC500003586.pdf](http://www.ema.europa.eu/docs/en_GB/document_library/Scientific_guideline/2009/09/WC500003586.pdf) (accessible au 29 septembre 2011).

obtenir le composé attendu **4.4** doit être ensuite effectuée.

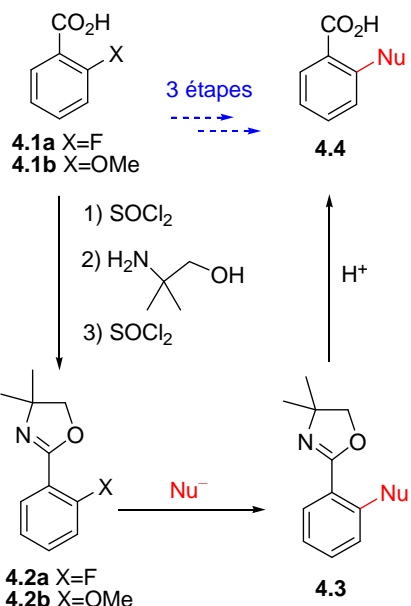


Schéma 77. Synthèse d'acides benzoïques *ortho*-substitués par  $S_NAr$  d'aryloxazolines

D'autres groupes protecteurs de la fonction carbonyle peuvent être utilisés, notamment les esters encombrés. Bien que de nombreuses publications utilisent les aryloxazolines et les esters pour promouvoir la réaction  $S_NAr$ , ces méthodes souffrent de diverses contraintes, la plus importante étant certainement la difficulté à retirer la protection du groupe carbonyle.

Précédemment, il a été découvert dans l'équipe que le *s*-BuLi et le *t*-BuLi ne métallent pas l'acide 2-fluorobenzoïque **4.1a** mais déplacent le fluor pour donner respectivement les produits d'*ipso*-substitution **4.5** (47 %) et **4.6** (63 %) (Schéma 78).<sup>190</sup>

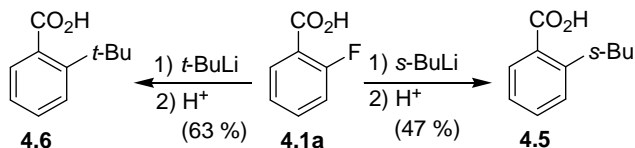


Schéma 78. Réaction de *s*-BuLi et *t*-BuLi avec l'acide 2-fluorobenzoïque (4.1a)

Par la suite, il a été montré que la réaction de substitution nucléophile aromatique des acides 2-fluoro- et 2-méthoxybenzoïque (**4.1a** et **4.1b**) avec les aryllithiens est concurrencée par l'addition nucléophile de l'anion sur le carboxylate, conduisant à des rendements médiocres en composés biarylques et à la formation importante de cétones.

Le choix judicieux de substituants sur le noyau aromatique doit permettre de favoriser la réaction  $S_NAr$ , notamment en modifiant la densité électronique au niveau du carboxylate et du noyau aromatique de l'acide benzoïque et/ou en gênant stériquement l'approche du nucléophile au carboxylate. Ainsi, il est connu que pour les substitutions assistées par les esters, les substituants méthoxy et les halogènes (F, Cl, Br) peuvent favoriser la réaction  $S_NAr$ .

<sup>190</sup> Bennetau, B.; Mortier, J.; Moyroud, J.; Guesnet, J. L. *J. Chem. Soc. Perkin Trans. 1* **1995**, 1265.

(cf. chapitre 3, page 89). Nous avons donc étudié la réaction des arylorganomagnésiens et des aryllithiens avec les acides 2,Z-diméthoxybenzoïques (**4.7**) et les acides 2-fluoro-Z-halogénobenzoïques (**4.8-4.10**) (pour  $3 \leq Z \leq 6$ ) (Figure 21). Potentiellement, ces substrats sont susceptibles de conduire, par réaction avec les organolithiens/magnésiens à diverses réactions compétitives : (i) le déplacement du fluor ou du méthoxy en *ortho* du groupement COOH (réaction  $S_NArAB$ ), (ii) l'addition du nucléophile sur le carboxylate, (iii) la métallation en *ortho* du carboxylate, de l'halogène ou du méthoxy. L'objectif de ce travail est donc d'évaluer l'influence de la substitution des acides benzoïques sur la réaction  $S_NArAB$  et de proposer des conditions réactionnelles qui permettent de synthétiser efficacement des biphenyles par cette réaction.

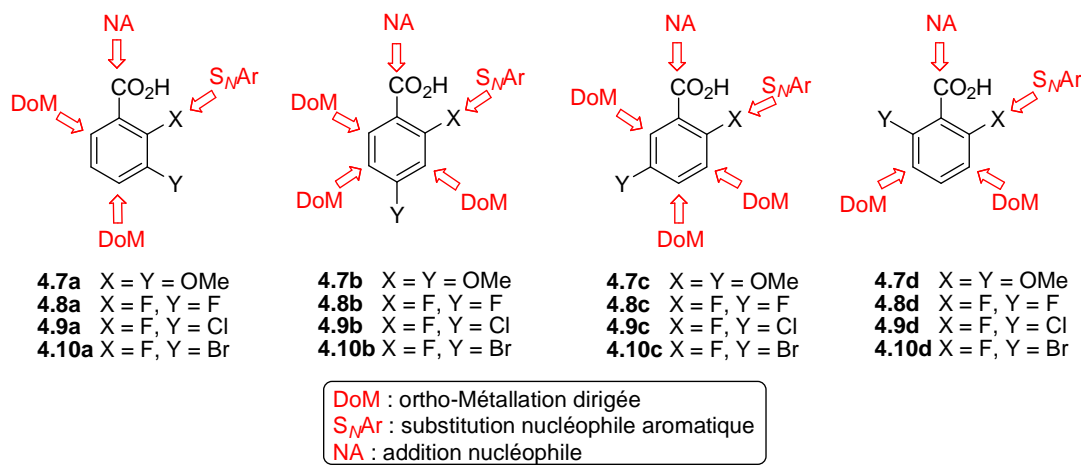


Figure 21. Acides 2,Z-diméthoxybenzoïques **4.7** et acides 2-fluoro-Z-halogénobenzoïques (**4.8-4.10**)

Dans ce chapitre, un résumé des principaux résultats obtenus au laboratoire dans le domaine de la métallation des acides méthoxybenzoïques et halogénobenzoïques est présenté. Les résultats de la littérature concernant la réaction  $S_NArAB$  sont ensuite décrits. L'influence d'un substituant méthoxy en position 3, 4, 5 ou 6 du noyau aromatique de l'acide 2-méthoxybenzoïque sur la réaction  $S_NArAB$  est évaluée. Enfin la réactivité des acides 2-fluoro-Z-halogénobenzoïques a été étudiée.

## 2- Métallation des acides halogénobenzoïques et méthoxybenzoïques non protégés – Littérature

La métallation des acides méthoxybenzoïques et halogénobenzoïques a été précédemment étudiée dans l'équipe. Comme la fonction acide carboxylique présente un pouvoir *ortho*-directeur moyen, les réactions de métallation peuvent être régioflexibles. Ainsi, la réaction de l'acide *ortho*-anisique (**4.1b**) avec le complexe 1:1 *s*-BuLi/TMEDA suivie du piégeage par des électrophiles divers, conduit à des acides anisiques **4.11** substitués dans la position *ortho* du carboxylate (Schéma 79). Avec la base de Schlosser-Lochmann (*n*-BuLi/*t*-BuOK), la position *ortho* du méthoxy est préférentiellement métallée et les acides **4.12** sont formés.<sup>66j,191</sup>

<sup>191</sup> Nguyen, T. H.; Chau, N. T. T.; Castanet, A.-S.; Nguyen, K. P. P.; Mortier, J. *J. Org. Chem.* **2007**, 72, 3419.

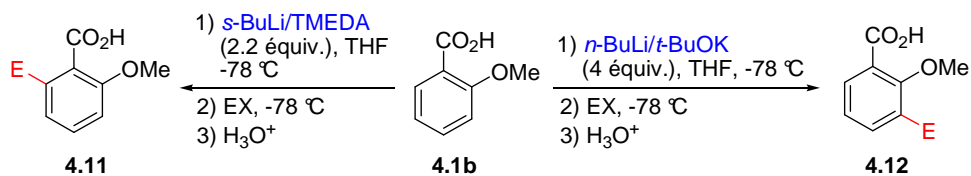


Schéma 79. Métallation régioflexible de l'acide *ortho*-anisique (4.1b)

De même, nous avons montré qu'il est également possible de sélectionner le site de métallation de l'acide 3-méthoxybenzoïque (**4.13**) par un simple changement de base (Schéma 80 et chapitre 1, partie 7-1, page 25).<sup>66g</sup>

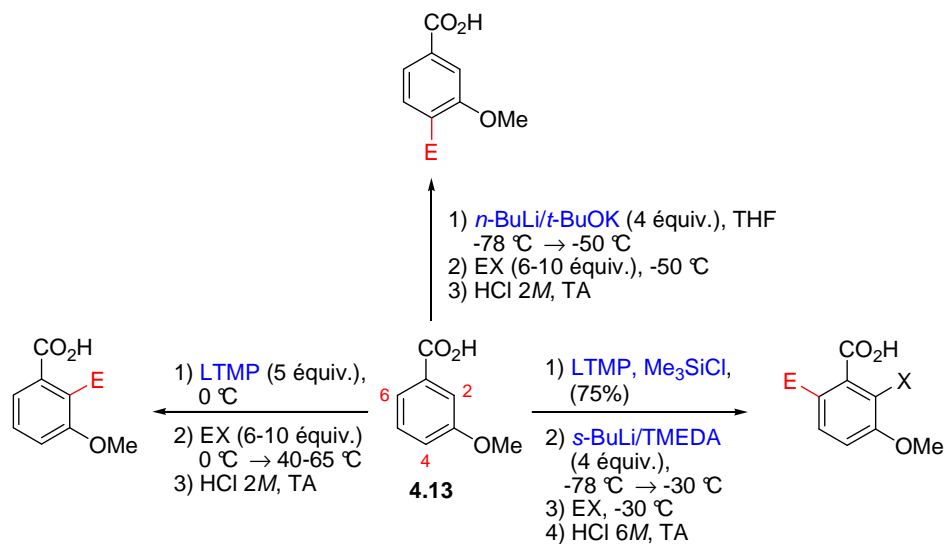


Schéma 80. Métallation régioflexible de l'acide *méta*-anisique (4.13)

La réactivité des acides *ortho*-halogénobenzoïques **4.1a**, **4.20a-b** *vis-à-vis* des bases lithiées est relativement complexe.<sup>192</sup> En présence de bases alkyllithiées, l'acide 2-fluorobenzoïque (**4.1a**) donne les produits **4.14** issus de l'*ipso*-substitution de l'atome de fluor. Avec LTMP, la métallation en *ortho* de l'atome de fluor est observée. Dans les conditions de piégeage *in situ* {LTMP/TMSCl}, l'acide 3-triméthylsilyl-2-fluorobenzoïque (**4.15**) est isolé avec un bon rendement (74 %). En l'absence de TMSCl, l'intermédiaire lithié **4.16** n'est pas stable (aux températures supérieures à -50 °C), et conduit après élimination de LiF au benzyne dissymétrique **4.17**. L'addition de LTMP à ce dernier fournit le composé **4.19** comme seul isomère après hydrolyse (Schéma 81).<sup>66a</sup>

<sup>192</sup> Gohier, F. Thèse de doctorat, Université du Maine, 2003. <http://cyberdoc.univ-lemans.fr/theses/2003/2003LEMA1005.pdf> (accessible au 20 octobre 2011).

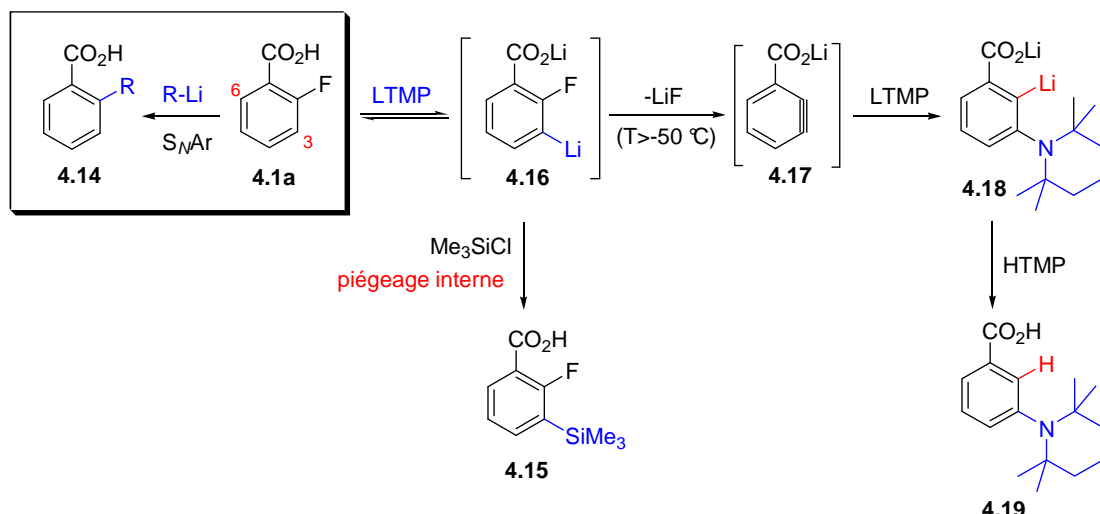


Schéma 81. Métallation de l'acide 2-fluorobenzoïque (4.1a)

Les réactions des acides 2-chloro- et 2-bromobenzoïques (**4.20a**) et (**4.20b**) avec le LTMP à -78 °C conduisent aux espèces lithiées en *ortho* du carboxylate **4.21a** et **4.21b**. Lorsque la technique de piégeage *in situ* n'est pas utilisée, à -50 °C, les anions **4.21** s'isomérisent en anions 3-lithio-2-halogénobenzoate de lithium (**4.23**) qui éliminent LiX comme dans le cas précédent, pour donner **4.19** via le benzyne **4.17** (Schéma 82). Le mélange *s*-BuLi/TMEDA métalle l'acide 2-chlorobenzoïque (**4.20a**) en *ortho* du carboxylate pour conduire aux acides **4.25**.

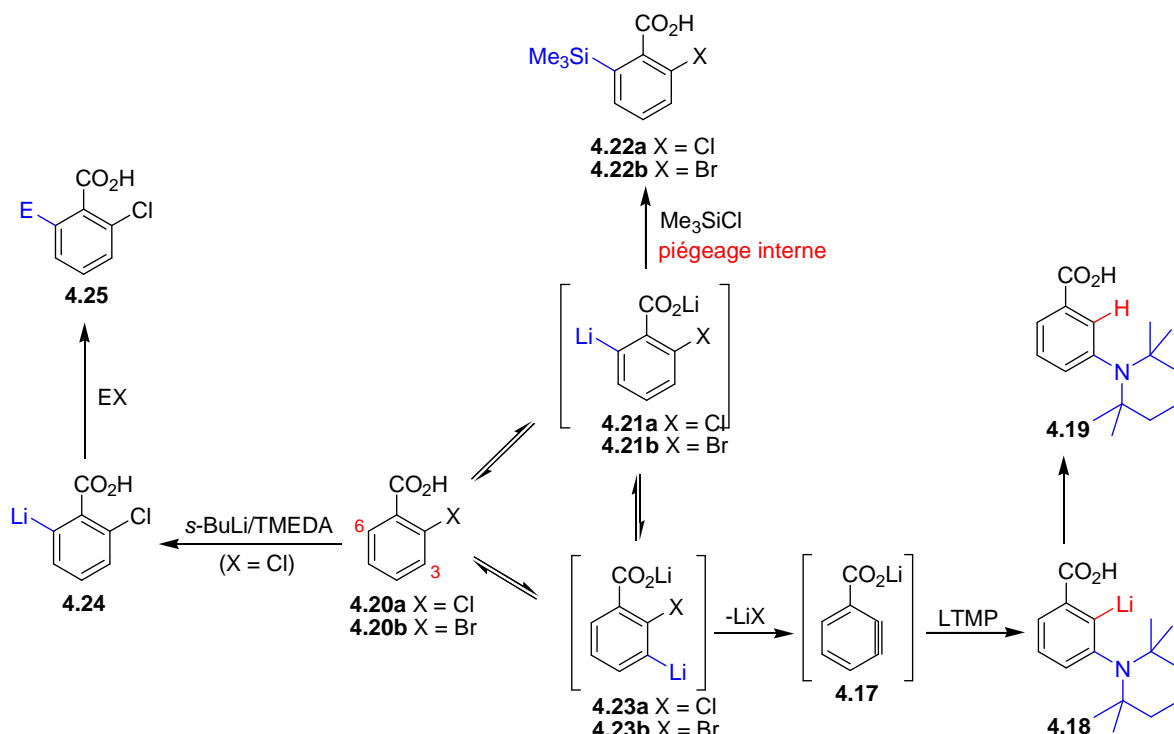
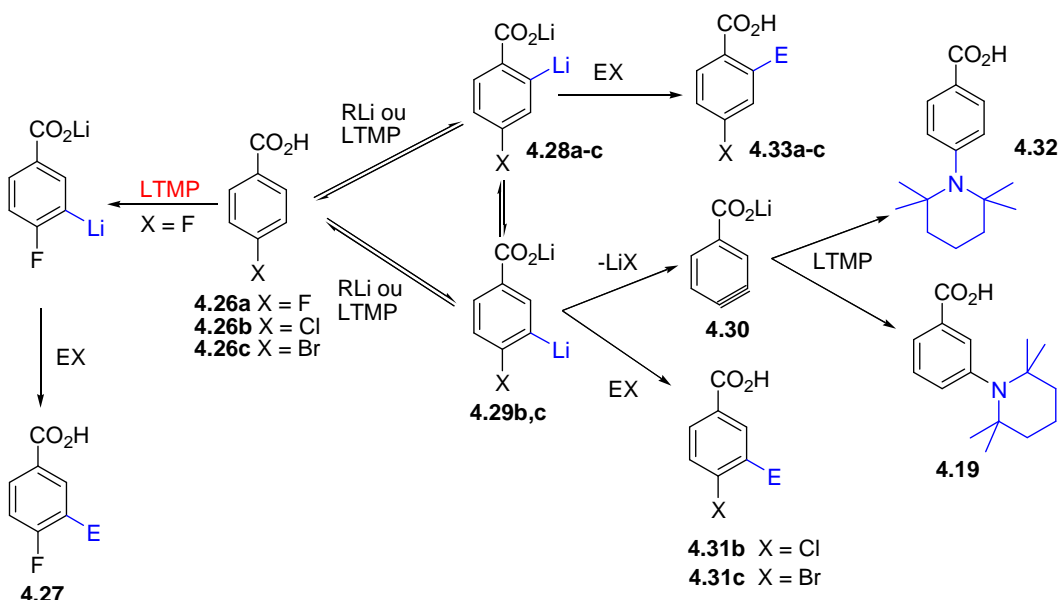


Schéma 82. Métallation des acides 2-chloro- et 2-bromobenzoïques (4.20a) et (4.20b)

Par traitement avec *s*-BuLi, *s*-BuLi/TMEDA ou *t*-BuLi à -78 °C, les acides 4-fluoro et 4-chlorobenzoïques (**4.26a**) et (**4.26b**) sont métallés préférentiellement dans la position

adjacente au carboxylate pour conduire majoritairement aux anions **4.28a,b** (Schéma 83).<sup>66f</sup> Un complet changement de sélectivité en présence du LTMP est observé dans le cas du dérivé fluoré **4.26a**. Les réactions des acides 4-chloro- et 4-bromobenzoïques **4.26b,c** avec LTMP conduisent à des déprotonations non régiosélectives. Les anions **4.29b** et **4.29c** éliminent partiellement LiX pour conduire au benzyne **4.30**, précurseur de **4.19** et **4.32**.


 Schéma 83. Métallation des acides 4-halogénobenzoïques **4.26a-c**

Enfin, en présence de LTMP, les acides 3-halogénobenzoïques **4.34** et 3,4-difluorobenzoïque (**4.35**) donnent une gamme large d'acides 3-halogénobenzoïques substitués en position C2 (Schéma 84). Les acides 2,4-difluorobenzoïque (**4.8b**) et 2-chloro-4-fluorobenzoïque (**4.36**) conduisent par métallation avec *s*-BuLi/TMEDA aux produits métallés en position C3.<sup>190</sup> Ces acides donnent les mêmes réactions quand n-BuLi seul est utilisé comme agent métallant.

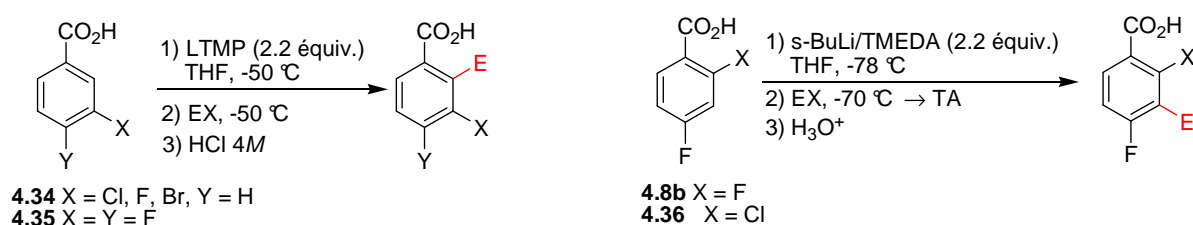


Schéma 84. Métallation des acides 3-halogénobenzoïques, 3,4-difluorobenzoïque et des acides 2,4-dihalogénobenzoïques

### 3- La réaction S<sub>N</sub>ArAB – Littérature et travaux antérieurs de l'équipe

#### 3-1- Formation de liaisons carbone – hétéroatome (O, N)

Les exemples de substitution, par les amines libres aliphatiques, de l'atome de fluor d'acides 2-fluorobenzoïques **4.37** activés par un ou plusieurs groupes électroattracteurs

nitrés/halogénés/sulfonylés sont nombreux (Schéma 85).<sup>193,194</sup> La réaction conduit aux acides 2-aminobenzoïques **4.38**.

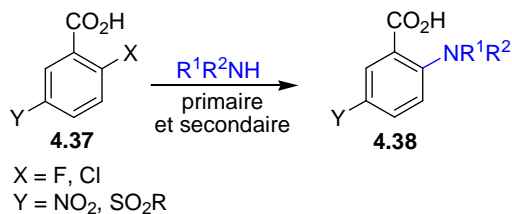


Schéma 85. Déplacement par les amines libres aliphatiques de l'atome de fluor d'acides 2-fluorobenzoïques **4.37** activés

Les arylamidures, obtenus par traitement des arylamines avec LiHMDS, réagissent également avec les acides 2-fluorobenzoïques **4.39** pour donner des dérivés d'acides anthraniliques **4.40** (FG: groupe fonctionnel) (Schéma 86).<sup>195</sup>

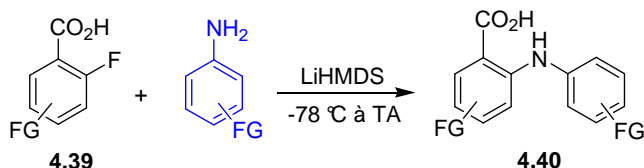


Schéma 86. Réaction des arylamidures avec les acides 2-fluorobenzoïques **4.39**

Par ailleurs, l'atome de fluor de l'acide 2-fluoro-4-bromobenzoïque (**4.10b**) peut être efficacement substitué par les alcoolates de sodium pour conduire aux aryléthers **4.41** (Schéma 87).<sup>196</sup>

<sup>193</sup> Micheel, F.; Weichbrodt, K.; Plenikowski, J. *Liebigs Ann. Chem.* **1953**, 581, 238 et 242.

<sup>194</sup> (a) Kato, S.; Morie, T.; Ohno, K.; Yoshida, N.; Yoshida, T.; Naruto, S. *Chem. Pharm. Bull.* **1995**, 43, 582.

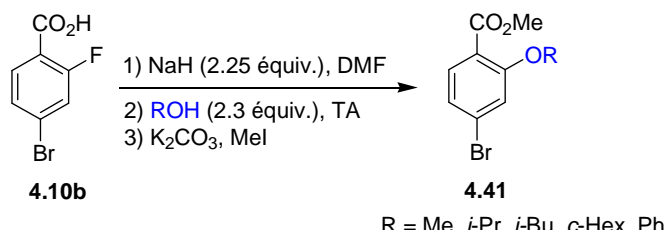
(b) Tempest, P.; Ma, V.; Kelly, M. G.; Jones, W.; Hulme, C. *Tetrahedron Lett.* **2001**, 42, 4963. (c) Abrous, L.; Hynes, J.; Friedrich, S. R.; Smith, A. B. III; Hirschmann, R. *Org. Lett.* **2001**, 3, 1089. (d) Abrous, L.; Jokiel, P. A.; Friedrich, S. R.; Hynes, J. Jr.; Smith, A. B. III; Hirschmann, R. *J. Org. Chem.* **2004**, 69, 280. (e) Ritchie, T. J.; Dziadulewicz, E. K.; Culshaw, A. J.; Miller, W.; Burgess, G. M.; Bloomfield, G. C.; Drake, G. S.; Dunstan, A. R.; Beattie, D.; Hughes, G. A.; Ganju, P.; McIntyre, P.; Bevan, S. J.; Davis, C.; Yaqoo, M. *J. Med. Chem.* **2004**, 47, 4642. (f) Nosova, E. V.; Lipunova, G. N.; Laeva, A. A.; Charushin, V. N. *Russ. Chem. Bull.* **2005**, 54, 733.

(g) Hennequin, L. F.; Allen, J.; Breed, J.; Curwen, J.; Fennell, M.; Green, T. P.; Lambert-van der Brempt, C.; Morgentin, R.; Norman, R. A.; Olivier, A.; Otterbein, L.; Plé, P.; Warin, N.; Costello, G. *J. Med. Chem.* **2006**, 49, 6465.

<sup>195</sup> (a) Chen, M. H.; Beylin, V. G.; Iakovleva, E.; Kesten, S. J.; Magano, J.; Vrieze, D. *Synth. Comm.* **2002**, 32, 411. (b) Tran, T. P.; Ellsworth, E. L.; Sanchez, J. P.; Watson, B. M. *Bioorg. Med. Chem. Lett.* **2007**, 17, 1312.

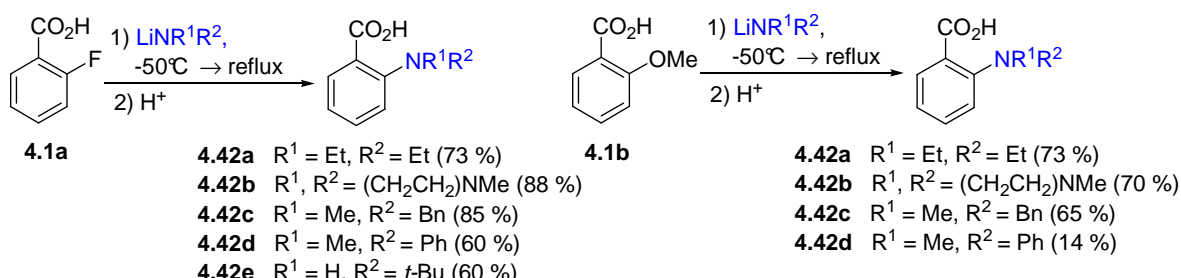
(c) Marlow, A., L.; Wallace, E.; Seo, J.; Lyssikatos, J., P.; Yang, H. W.; Blake, J.; Storey, R. A.; Se Booth, R. J.; Pittam, J. D.; Leonard, J.; Fielding, M. R. WO2007044084A2, 2007. (d) Davis, E. M.; Nanninga, T. N.; Tjiang, H. I.; Winkle, D. *Org. Process Res. Dev.* **2005**, 9, 843.

<sup>196</sup> Imanishi, M.; Tomishima, Y.; Itou, S.; Hamashima, H.; Nakajima, Y.; Washizuka, K.; Sakurai, M.; Matsui, S.; Imamura, E.; Ueshima, K.; Yamamoto, T.; Yamamoto, N.; Ishikawa, H.; Nakano, K.; Unami, N.; Hamada, K.; Matsumura, Y.; Takamura, F.; Hattori, K. *J. Med. Chem.* **2008**, 51, 1925.



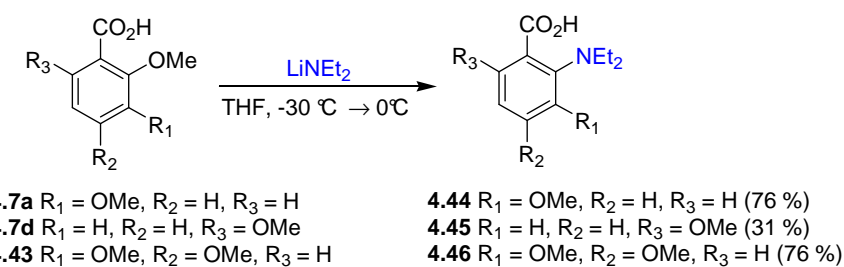
**Schéma 87.** Réaction de l'acide 2-fluoro-4-bromobenzoïque (4.10b) avec les alcoolates de sodium

Très récemment, la substitution nucléophile aromatique des dérivés d'acides 2-fluorobenzoïques et 2-méthoxybenzoïques *non activés* par les amidures de lithium a été étudiée dans l'équipe. Cette réaction, efficace et générale, permet d'accéder avec de bons rendements aux acides anthraniliques (Schéma 88).<sup>197</sup> Les acides 2-fluorobenzoïque (**4.1a**) et 2-méthoxybenzoïque (**4.1b**) réagissent avec les arylamidures mais aussi avec les alkylamidures et les dialkylamidures pour donner les produits de substitution correspondants.



**Schéma 88. Déplacement du fluor et du méthoxy des acides 4.1a et 4.1b par les amidures de lithium**

La présence de plusieurs groupes alcoxy est compatible avec la réaction  $S_NAr$ . La réaction des acides commerciaux 2,3-diméthoxybenzoïque (**4.7a**), 2,6-diméthoxybenzoïque (**4.7d**) et 2,3,4-triméthoxybenzoïques (**4.43**) avec LiNET<sub>2</sub> conduit aux dérivés *ortho*-substitués **4.44-4.46** (Schéma 89). La réaction de LiNET<sub>2</sub> avec l'acide 2,6-diméthoxybenzoïque est moins efficace, probablement à cause de l'encombrement stérique.<sup>198</sup>



**Schéma 89.** Amination des acides benzoïques polyméthoxylés 4.7a, 4.7d, 4.43

Avec l'acide 2,6-difluorobenzoïque (**4.8d**), il est possible d'introduire deux

<sup>197</sup> (a) Beleaud-Rotureau, M., thèse de doctorat, Université du Maine, 2010. [http://tel.archives-ouvertes.fr/docs/00/51/08/19/PDF/210-07-09\\_theseMB.pdf](http://tel.archives-ouvertes.fr/docs/00/51/08/19/PDF/210-07-09_theseMB.pdf) (accessible au 20 octobre 2011). (b) Belaud-Rotureau, M.; Le, T. T.; Phan, T. H. T.; Nguyen, T. H.; Aissaoui, R.; Gohier, F.; Derdour, A.; Nourry, A.; Castanet, A.-S.; Nguyen, K. P. P.; Mortier, J. *Org. Lett.* **2010**, *12* (10), 2406.

<sup>198</sup> Les alcoxyaryloxazolines présentent une réactivité similaire : ref<sup>21b</sup> et ref<sup>183</sup>.

groupements amino identiques (**4.8d** → **4.47**) ou différents (**4.8d** → **4.49**) (Schéma 90).

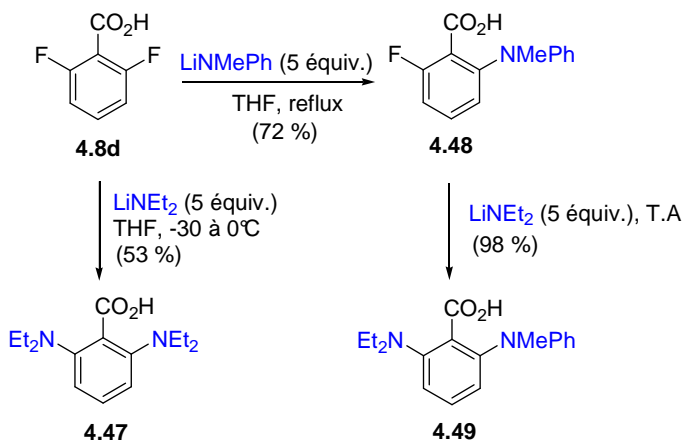


Schéma 90. Amination de l'acide 2,6-difluorobenzoïque (**4.8d**)

### 3-2- Formation de liaison carbone – carbone

Comme le *s*-BuLi et *t*-BuLi, les aryllithiens sont susceptibles de donner des réactions  $S_N\text{Ar}$  avec les acides benzoïques *ortho*-fluorés; toutefois, la réaction de PhLi avec **4.1a** à -30 °C donne le biphenyle **4.50** avec un rendement médiocre (17 %) (Schéma 78).<sup>197a</sup> Le produit majoritaire est la benzophénone **4.51** (75 %) résultant de l'addition de la base lithiée sur la fonction carbonyle. L'*ipso*-substitution de l'acide 2-méthoxybenzoïque rencontre le même problème. Ainsi *s*-BuLi réagit avec l'acide *ortho*-anisique (**4.1b**) pour fournir l'acide **4.5** avec un rendement faible (25 %).

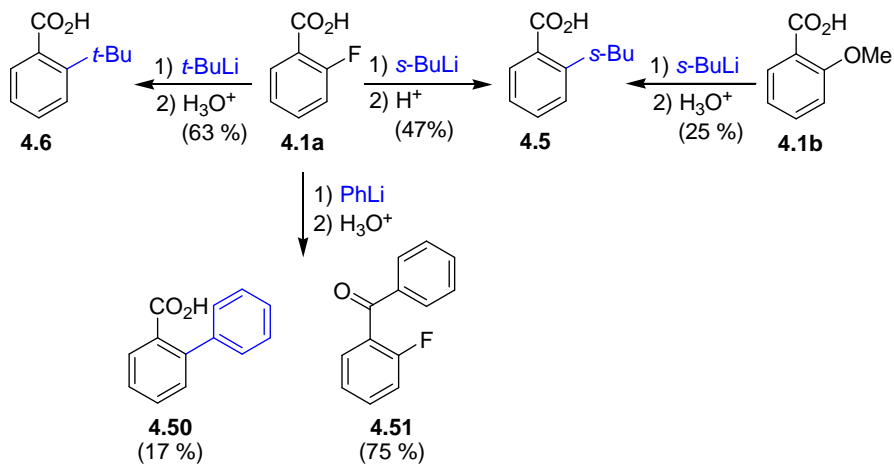


Schéma 91. Déplacement du fluor de l'acide 2-fluorobenzoïque (**4.1a**) par les organolithiens

Depuis cette découverte, quelques exemples de formation de liaison C-C par  $S_N\text{Ar}$  d'acides 2-fluorobenzoïques ont été décrits dans la littérature.

$\text{MeMgBr}$  réagit avec l'acide perfluorobenzoïque **4.52** pour donner le produit méthylé **4.53** résultant de la substitution *ipso* du fluor situé en *ortho* du carboxylate (Schéma 92).<sup>199</sup>

<sup>199</sup> Hashimoto, A.; Matsuda, S.; Tai, K.; Tone, H.; Nishi, T.; Inamikawa, J.; Tominaga, M. (Otsuka Pharmaceutical Co., Ltd.) WO2000015596, 2000.

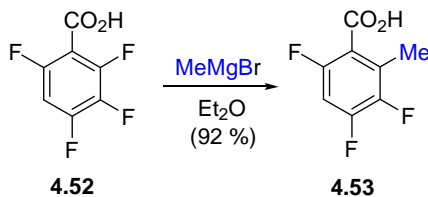


Schéma 92. Réactions de  $\text{MeMgBr}$  avec l'acide perfluorobenzoïque 4.52

Le bromure d'éthylmagnésium et le chlorure d'*iso*-propylmagnésium réagissent avec l'acide 2-fluoro-4-bromobenzoïque (**4.10b**) pour conduire aux produits d'*ipso*-substitution **4.54a**<sup>200</sup> et **4.54b**<sup>196</sup> avec des rendements modestes (Schéma 93).

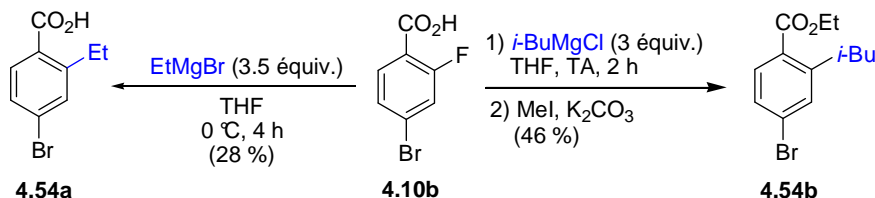


Schéma 93.  $\text{S}_{\text{N}}\text{Ar}$  de l'acide 4-bromo-2-fluorobenzoïque (**4.10b**) avec les alkylorganomagnésiens

Par ailleurs, le bromure d'*iso*-propylmagnésium déplace, avec un rendement quantitatif, l'atome de fluor de l'acide 3-fluorobiphényl-4-carboxylique **4.55** (Schéma 94). Cette réaction constitue l'étape clé de la synthèse de l'aminoalcool **4.56**, qui peut être utilisé dans le traitement de l'obésité.<sup>201</sup>

<sup>200</sup> (a) Frazee, J. S.; Hammond, M.; Manns, S.; Thompson, S. K.; Washburn, D. G.; Kano, K.; Nakamura, H. U.S. Patent US 20090233955 A1, 2009. (b) Hammond, M.; Washburn, D. G.; Hoang, T. H.; Manns, S.; Frazee, J. S.; Nakamura, H.; Patterson, J. R.; Trizna, W.; Wu, C.; Azzarano, L. M.; Nagilla, R.; Nord, M.; Trejo, R.; Head, M. S.; Zhao, B.; Smallwood, A. M.; Hightower, K.; Laping, N. J.; Schnackenberg, C. G.; Thompson, S. K. *Bioorg. Med. Chem. Lett.* **2009**, *19*, 4441.

<sup>201</sup> Kasai, K.; Kubota, M.; Suzuki, R.; Ozawa, T.; Ishikawa, T.; Kobayashi, M.; Sonehara, J.; Kobayashi, M. U.S. Patent US 20090030218 A1, 2009.

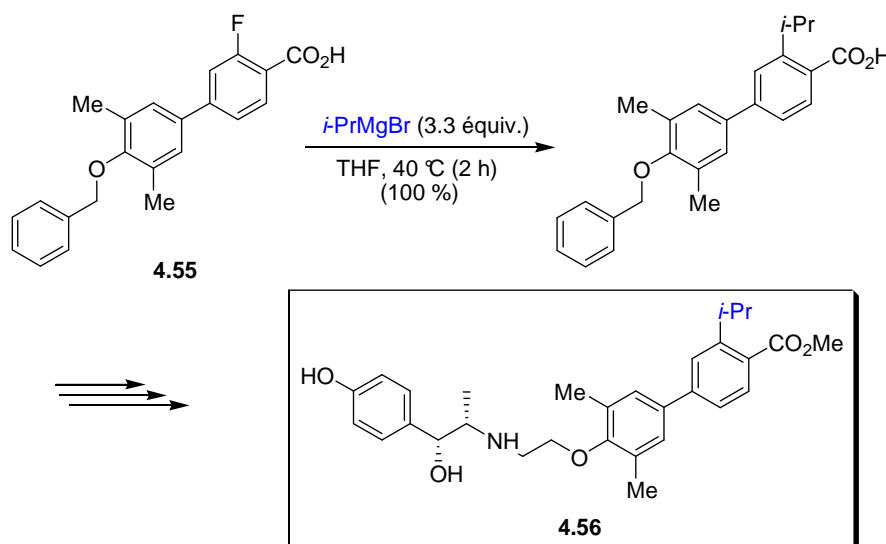


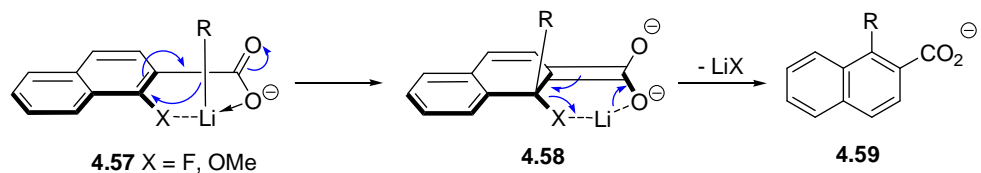
Schéma 94.  $S_NAr$  de l'acide 3-fluorobiphényl-4-carboxylique 4.55

À part la réaction citée plus haut, aucun exemple dans la littérature ne décrit la réaction  $S_NArAB$  des acides benzoïques *ortho*-alcoxyrés. Au sein de l'équipe, nous avons entrepris d'étudier de façon détaillée le potentiel de la réaction  $S_NArAB$  pour la formation de liaisons C-C biarylques.

Contrairement aux acides 2-fluoro- et 2-méthoxybenzoïques, les acides 1- et 2-naphtoïques *ortho*-fluorés et *ortho*-méthoxylés par réaction avec les organomagnésiens et les lithiens, conduisent exclusivement aux produits d'*ipso*-substitution avec d'excellents rendements (la cétone n'est pas formée).<sup>202,203</sup> Les alkylithiens linéaires (*n*-BuLi) et encombrés (*t*-BuLi) réagissent avec la même efficacité. La réaction  $S_NAr$  apparaît peu sensible à l'encombrement stérique. Si l'on admet que ces réactions s'effectuent selon un mécanisme d'addition-élimination, le carboxylate s'oriente dans une conformation coplanaire avec le cycle aromatique pendant que l'ion  $Li^+$  forme un complexe avec les groupements fluoro (ou méthoxy) et le carboxylate (complexe 4.57) (Schéma 95). Le groupement R entrerait perpendiculairement au cycle aromatique (intermédiaire 4.58). Cela est cohérent avec l'absence d'inhibition stérique observée lors de l'addition de réactifs organométalliques volumineux (type *t*-BuLi).

<sup>202</sup> (a) Travaux de thèse de Regadia Aissaoui, soutenance prévue en janvier 2012. (b) Aissaoui, R.; Nourry, A.; Coquel, A.; Dao, T. T. H.; Derdour, A.; Helesbeux, J. J.; Duval, O.; Castanet, A.-S.; Mortier, J. *J. Org. Chem. Soumis.*

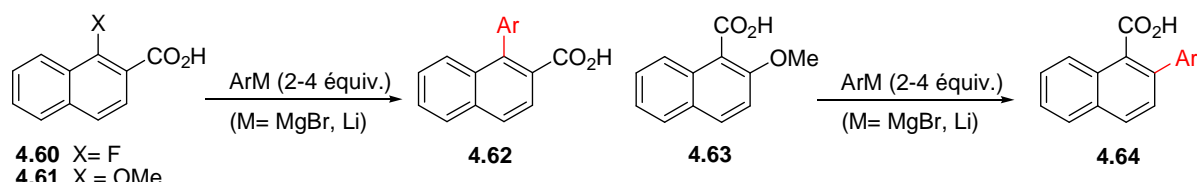
<sup>203</sup> D'une façon générale, les réactions de substitution nucléophile aromatique des dérivés naphtaléniques sont plus facile que celles des dérivés benzéniques correspondants. Voir (a) Brückner, R. *Mécanismes réactionnels en chimie organique*; De Boeck Université 1999. (b) Voir aussi Bunnett, J. F.; Zahler, R. E. *Chem. Rev.* **1951**, 273.

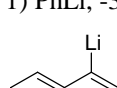


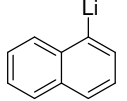
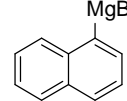
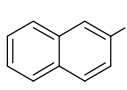
### Schéma 95. Mécanisme de la réaction S<sub>N</sub>Ar des acides naphtoïques

La réaction  $S_NArAB$  est également efficace pour la synthèse de 1- et 2-phénylnaphthalènes. Quelques exemples des structures synthétisées sont présentés dans le Tableau 11. Des phénylnaphthalènes mono-, di- ou trisubstitué en *ortho*, *ortho'* de l'axe biarylique sont préparés avec d'excellents rendements et les nucléophiles 2-MeC<sub>6</sub>H<sub>4</sub>Li, 2-MeC<sub>6</sub>H<sub>4</sub>MgBr, 4-MeOC<sub>6</sub>H<sub>4</sub>MgBr et 2,5-diMeC<sub>6</sub>H<sub>4</sub>MgBr déplacent facilement le fluor ou le méthoxy en *ortho* du groupement CO<sub>2</sub>M pour conduire aux composés **4.62a-c** (entrées 1-5). La réaction avec le 2,6-diMeOC<sub>6</sub>H<sub>3</sub>MgBr et le 2,6-diMeOC<sub>6</sub>H<sub>3</sub>Li est moins efficace, probablement en raison de l'encombrement stérique. Avec l'acide 2-méthoxy-1-naphtoïque **4.63** et le phényllithium, on n'observe pas la formation du produit d'*ipso*-substitution **4.64** (entrée 9) mais l'acide 2-méthoxy-3-méthyl-1-naphtoïque (**4.65**) (Figure 22), résultant de la métallation en *ortho* du méthoxy, est formé avec un excellent rendement (86 %). Les 1,1'-binaphthalènes et les 2,2'-binaphthalènes sont également accessibles par réaction  $S_NArAB$  (entrées 10-13).

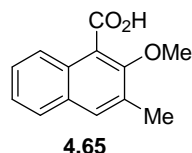
**Tableau 11. Substitution nucléophile aromatique des acides 1- et 2-naphtoïques *ortho*-fluorés et *ortho*-méthoxylés par les arylorganomagnésiens ou lithiens**



Entrée	Acide	ArM (2-4 équiv.), température	4.62, 4.64, rdt (%) <sup>a</sup>
1	<b>4.60</b>	2-MeC <sub>6</sub> H <sub>4</sub> Li, -30 °C	85 [4.62a]
2	<b>4.61</b>	2-MeC <sub>6</sub> H <sub>4</sub> Li, -30 °C	84 [4.62a]
3	<b>4.61</b>	2-MeC <sub>6</sub> H <sub>4</sub> MgBr, Δ <sup>b</sup>	81 [4.62a]
4	<b>4.61</b>	4-MeOC <sub>6</sub> H <sub>4</sub> MgBr, TA	83 [4.62b]
5	<b>4.61</b>	2,5-diMeC <sub>6</sub> H <sub>3</sub> MgBr, Δ <sup>b</sup>	72 [4.62c]
6	<b>4.60</b>	2,6-diMeOC <sub>6</sub> H <sub>3</sub> Li, Δ <sup>b</sup>	37 <sup>c</sup> [4.62d]
7	<b>4.60</b>	2,6-diMeOC <sub>6</sub> H <sub>3</sub> MgBr, Δ <sup>b</sup>	37 [4.62d]
8	<b>4.61</b>	2,6-diMeOC <sub>6</sub> H <sub>3</sub> MgBr, Δ <sup>b</sup>	29 [4.62d]
9	<b>4.63</b>	1) PhLi, -30 °C. 2) MeI	0 [4.64]
10	<b>4.60</b>	 , -30 °C	87 [4.62f]

Entrée	Acide	ArM (2-4 équiv.), température	4.62, 4.64, rdt (%) <sup>a</sup>
11	<b>4.61</b>	 , -30 °C	91 [4.62g]
12	<b>4.61</b>	 , Δ <sup>b</sup>	70 [4.62h]
13	<b>4.63</b>	 , Δ <sup>b</sup>	94 [4.64]

<sup>a</sup> Rendement isolé. <sup>b</sup> Reflux du THF.



**Figure 22. Acide 2-méthoxy-3-méthyl-1-naphtoïque 4.65**

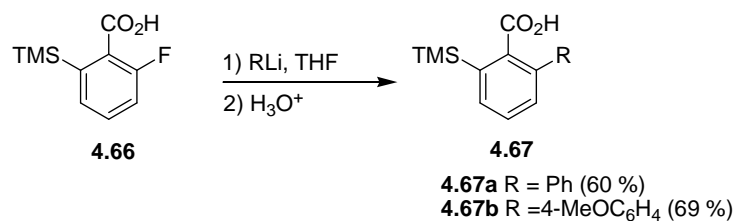
En série benzénique, afin de réduire le taux d'addition du nucléophile (lithien ou magnésien) sur le carboxylate, l'introduction d'un groupe triméthylsilyle TMS en *ortho* du carboxylate a été testée. La formation de cétones est diminuée dans la plupart des cas. Ainsi la réaction de l'acide 2-fluoro-6-triméthysilylbenzoïque (**4.66**) avec le phényllithium et le 4-méthoxyphényllithium, conduit à la formation des produits d'*ipso*-substitution **4.67a-b** avec de bons rendements (respectivement 60 % et 69 %)<sup>204</sup> (Schéma 96). L'encombrement stérique et les effets électroniques induits par le groupe SiMe<sub>3</sub> jouent très probablement un rôle important pour protéger le carbonyle des attaques nucléophiles.<sup>205,206</sup> Les effets électroniques d'un groupe R<sub>3</sub>Si sont de 4 types : (i) inductifs, (ii) de champ, (iii) recouvrement (p-d) π, et (iv) hyperconjugaison.<sup>207</sup> L'effet électronique total résultant d'un groupe R<sub>3</sub>Si dans une molécule ou un intermédiaire est la combinaison de ces effets. Par effet inductif, la liaison carbone-silicium est polarisée Si<sup>+</sup>-C<sup>-</sup>. L'effet électronique total serait également *globalement donneur*.

<sup>204</sup> Rendement RMN.

<sup>205</sup> Vorbrüggen, H. *Silicon-mediated Transformations of Functional Groups*; Wiley-VCH Verlag GmbH & Co. KGaA, Weinheim, 2004.

<sup>206</sup> Hwu, J. R.; Chen, B.-L.; Shiao, S.-S. *J. Org. Chem.* **1995**, 60, 2448 et références citées.

<sup>207</sup> Rappoport, Z.; Apelöig, Y. Eds; Wiley: Chichester *The Chemistry of Organosilicone Compounds*; Vol. 2, 1998.

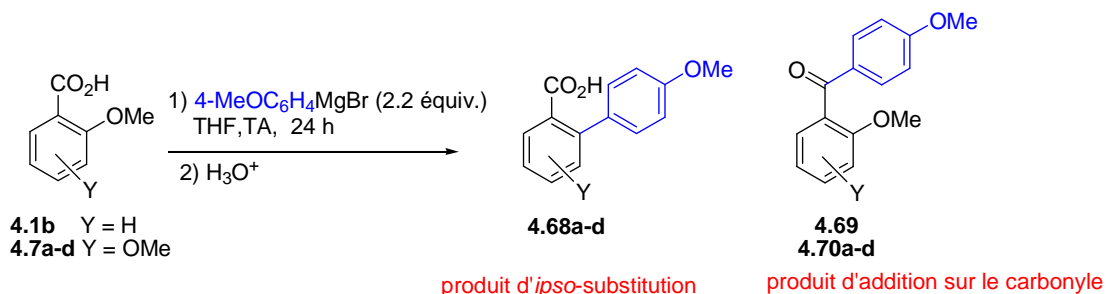


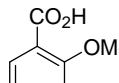
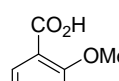
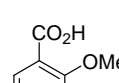
### Schéma 96. Réactions S<sub>N</sub>Ar de l'acide 2-fluoro-6-triméthylsilylbenzoïque (4.66) avec les aryllithiens

## 4- La réaction S<sub>N</sub>ArAB – Influence du groupement alcoxy — Résultats

La réactivité de l'acide 2-méthoxybenzoïque (**4.1b**) et des acides 2,Z-diméthoxybenzoïques (**4.7a-d**) vis-à-vis du bromure de *p*-méthoxyphénylmagnésium a été étudiée.<sup>208</sup> Pour cela, les acides ont été mis en présence de l'organomagnésien (2.2 équiv.), à température ambiante pendant une journée. Les résultats obtenus sont résumés dans le Tableau 12.

**Tableau 12. Réaction des acides 2,Z-diméthoxybenzoïques (4.7a-d) avec le bromure de *p*-méthoxyphénylmagnésium**



Entrée	Acide 4.1b, 4.7a-d	4.68a-d, rdt (%)	4.69, 4.70a-d, rdt (%)
1		0	86 <sup>a</sup>
	<b>4.1b</b>		
2		50 <sup>a</sup>	34 <sup>a</sup>
	<b>4.7a</b>		
3		10 <sup>a</sup>	54 <sup>a</sup>
	<b>4.7b</b>		

<sup>208</sup> Les travaux sur les acides 2,Z-diméthoxybenzoïques (**4.7a-d**) ont été initiés par Arnaud Nourry, ATER 2009-2010.

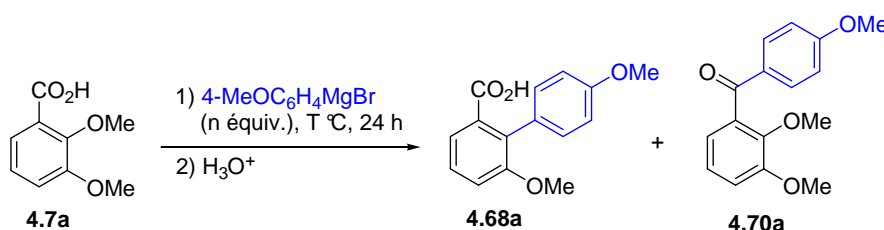
Entrée	Acide <b>4.1b</b> , <b>4.7a-d</b>	<b>4.68a-d</b> , rdt (%)	<b>4.69</b> , <b>4.70a-d</b> , rdt (%)
4		0	81 <sup>a</sup>
5		12 <sup>b</sup>	40 <sup>a</sup>

<sup>a</sup> Rendement isolé. <sup>b</sup> Rendement RMN <sup>1</sup>H

L’acide 2-méthoxybenzoïque (**4.1b**) conduit à la formation exclusive de la cétone **4.69** (entrée 1). Un résultat similaire est obtenu en présence d’un substituant OMe en position 5 du noyau aromatique de l’acide benzoïque (entrée 4). Les acides 2,4-diméthoxy- et 2,6-diméthoxybenzoïque (**4.7b**) et (**4.7d**) fournissent les produits d’*ipso*-substitution **4.68b** et **4.68d** avec un rendement isolé d’environ 10 % (entrées 3 et 5). Un groupement MeO en position 3 favorise la réaction S<sub>N</sub>ArAB et le produit d’*ipso*-substitution **4.68a** est isolé avec un rendement de 50 % (entrée 2). Dans ces conditions, la cétone **4.70a** est également formée (34 %).

Un travail d’optimisation des conditions réactionnelles a été accompli avec l’acide 2,3-diméthoxybenzoïque (**4.7a**). L’augmentation du nombre d’équivalents d’arylmagnésien (entrées 1-3, Tableau 13) ainsi que la diminution de la température (jusqu’à 0 °C) (entrées 4-5) favorise la formation de la cétone **4.70a** au détriment du produit d’*ipso*-substitution **4.68a**. Avec les conditions réactionnelles optimisées (2.0 équiv. de *p*-MeOC<sub>6</sub>H<sub>4</sub>MgBr, TA), le biphenyle **4.68a** est isolé avec un rendement de 66 % (entrée 1, Tableau 13).

Tableau 13. Optimisation de la réaction S<sub>N</sub>ArAB entre l’acide **4.7a** et le bromure de *p*-méthoxyphénylmagnésium



Entrée	T (°C)	n <sup>a</sup>	<b>4.68a</b>	<b>4.70a</b>
1	20	2.0	66 <sup>b</sup>	34 <sup>c</sup>
2	20	2.2	50 <sup>b</sup>	34 <sup>c</sup>
3	20	3.0	29 <sup>b</sup>	64 <sup>c</sup>
4	0	2.0	36 <sup>b</sup>	23 <sup>c</sup>
5	0	2.2	18 <sup>c</sup>	46 <sup>c</sup>

<sup>a</sup> 4-MeOC<sub>6</sub>H<sub>4</sub>MgBr (n équiv.). <sup>b</sup> Rendement isolé. <sup>c</sup> Rendement RMN <sup>1</sup>H

La réactivité de l'acide 2,3,4-triméthoxybenzoïque (**4.43**) avec le 4-MeOC<sub>6</sub>H<sub>4</sub>MgBr a également été examinée (Schéma 97). Par rapport à l'acide 2,3-diméthoxybenzoïque (**4.7a**), la présence supplémentaire du groupement méthoxy en position 4 est défavorable à la réaction S<sub>N</sub>ArAB. En fin de réaction, 27 % de l'acide de départ sont récupérés et le produit d'*ipso*-substitution **4.71** est isolé avec un rendement de seulement 25 %. La cétone **4.72** est le produit majoritairement formé (41 %).

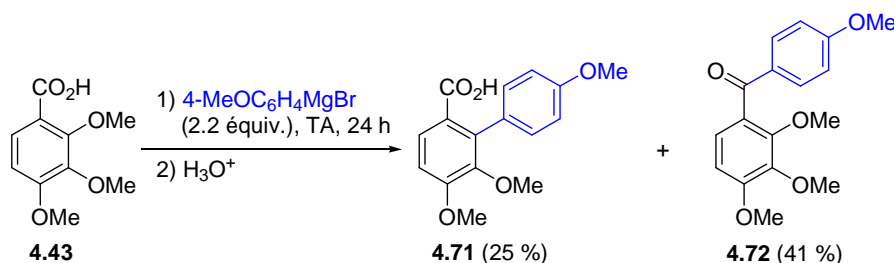


Schéma 97. Acide 2,3,4-triméthoxybenzoïque (**4.43**) et 4-MeOC<sub>6</sub>H<sub>4</sub>MgBr

Il est communément admis que par son effet mésomère donneur un substituant méthoxy enrichit le noyau aromatique en densité électronique. Ceci a pour conséquence de défavoriser la réaction de substitution nucléophile aromatique.<sup>203b</sup> Toutefois, de nombreux travaux montrent que pour la réaction S<sub>N</sub>Ar, la présence d'un méthoxy (ou alcoxy) en *ortho* du groupe partant favorise au contraire la substitution. Ainsi les réactifs de Grignard ne déplacent le méthoxy des composés 2-méthoxybenzonitriles que si la position 3 est occupée par un second méthoxy (Schéma 98).<sup>172</sup>

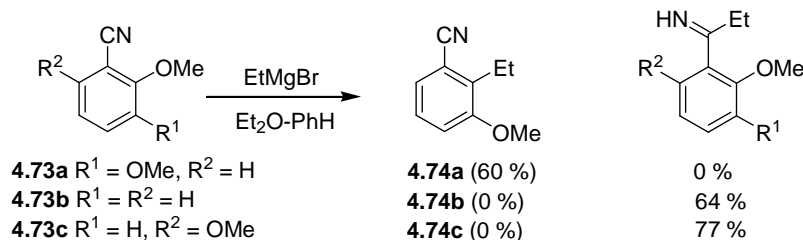


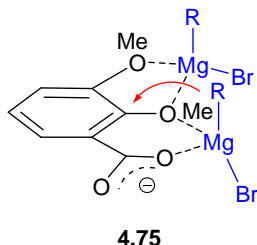
Schéma 98. Réaction S<sub>N</sub>Ar de poly(méthoxy)benzonitrile avec EtMgBr

La substitution du méthoxy en position 4 de la (3,4-diméthoxyphényl)mésitylcétone par le bromure de benzylmagnésium a également été décrite.<sup>209</sup> Par ailleurs, Meyers a observé la substitution régiosélective, par des organomagnésiens, de l'alcoxy en position 2 sur des substrats [2,6-dialcoxy-3,4-(méthylène-dioxy)phényl]oxazolines.<sup>210</sup> Pour les S<sub>N</sub>Ar activés par les esters, l'influence favorable d'un substituant méthoxy en position 3 du benzoate a été décrite dans le chapitre précédent (page 89). La chélation de l'organomagnésien aux groupes méthoxy pourrait être à l'origine de l'effet favorable exercé par le groupe OMe en 3. En effet, une telle coordination serait susceptible de placer non seulement le nucléophile à proximité du groupe partant mais également pourrait favoriser électriquement la réaction S<sub>N</sub>Ar.

<sup>209</sup> Voir Fuson, R. C.; Gaertner, R. J. *J. Org. Chem.* **1948**, *13*, 496.

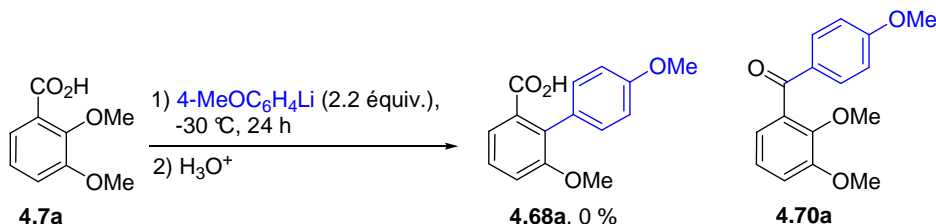
<sup>210</sup> Hutchings, R. H.; Meyers, A. I. *J. Org. Chem.* **1996**, *61*, 1004.

(notamment par une meilleure polarisation de la liaison C<sub>ipso</sub>-O).<sup>211</sup> Ceci constitue un exemple d'effet « CIPE » (complex induced proximity effect).<sup>212</sup> De façon similaire, on peut proposer que pour l'acide **4.7a**, le substituant méthoxy en position 3 favorise la réaction de substitution nucléophile par effet CIPE (Figure 23). Cet effet bénéfique est cependant nettement diminué lorsqu'un troisième substituant méthoxy est présent en position 4 (acide **4.43**). L'effet électronique mésomère donneur du méthoxy joue probablement un rôle dans la moindre réactivité de **4.43** par rapport à **4.7a**. La formation d'un chélate entre l'organomagnésien et les substituants méthoxys en position 3 et 4 n'est pas exclue.



**Figure 23. Complexation de l'acide 2,3-diméthoxybenzoïque avec les organomagnésiens**

Les aryllithiens présentent une réactivité nettement différente des organomagnésiens. Ainsi, mis en réaction avec l'acide 2,3-diméthoxybenzoïque (**4.7a**) à -30 °C pendant 24 h, le *p*-méthoxyphényllithium conduit à la formation exclusive de la cétone **4.70a**. Le produit d'*ipso*-substitution n'est pas formé (Schéma 99).



**Schéma 99. Réaction de l'acide 2,3-diméthoxybenzoïque (4.7a) avec le *p*-méthoxyphényllithium**

Avec l'acide 2,6-diméthoxybenzoïque (**4.7d**), le phényllithium (PhLi) conduit principalement au produit de décarboxylation **4.76** (Schéma 100).<sup>197a</sup> Le produit d'*ipso*-substitution n'est pas formé. Une fraction importante de l'acide **4.7d** n'a pas réagi (48 %). On récupère également 5 % de benzophénone (**4.77**).

<sup>211</sup> Gaertner, R. *Chem. Rev.* **1949**, *45*, 493.

<sup>212</sup> L'effet CIPE a été largement évoqué dans le cadre des réactions de déprotonation par les bases lithiées. Revue : (a) Beak, P.; Meyers, A. I. *Acc. Chem. Res.* **1986**, *19*, 356. Voir également (b) Castanet, A.-S.; Tilly, D.; Véron, J.-B.; Samanta, S. S.; De, A.; Ganguly, T.; Mortier, J. *Tetrahedron* **2008**, *64*, 3331. (c) refs <sup>66a,f,g</sup> et ref <sup>67</sup>.

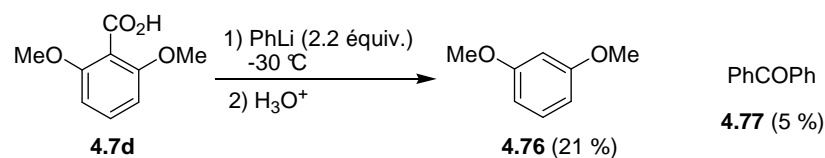


Schéma 100. Réaction de l'acide 2,6-diméthoxybenzoïque (4.7d) avec le phényllithium

Les deux composés **4.76** et **4.77** résultent de l'attaque du phényllithium sur le carbone (Schéma 101).<sup>213</sup> Le dialcoolate **4.78** n'est pas stable et se décompose en 2,6-diméthoxyphényllithium (**4.79**) et en benzoate de lithium **4.80**. En raison de la présence des deux groupements méthoxy, cet anion est fortement stabilisé.<sup>77,214</sup> La force motrice de la réaction serait la décompression stérique résultant de l'élimination du benzoate de lithium.<sup>215</sup> Le benzoate de lithium **4.80** réagit avec l'excès de PhLi pour donner la benzophénone (**4.77**).

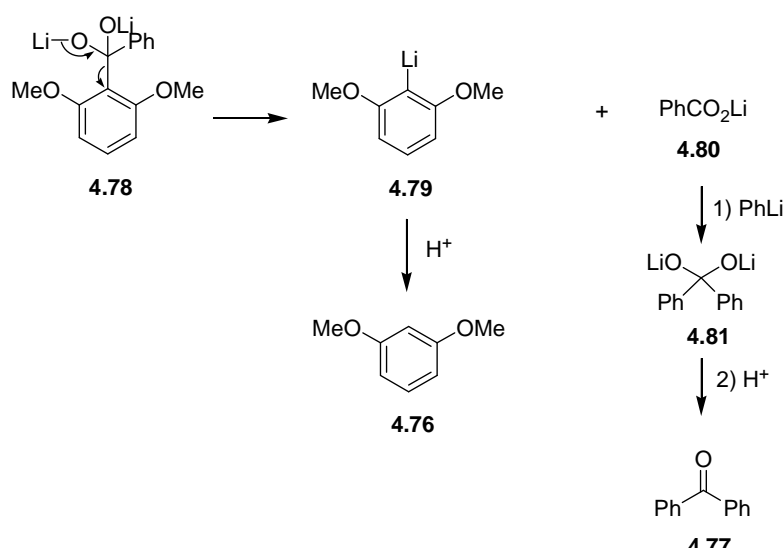


Schéma 101. Mécanisme de décarboxylation des dialcoolates de dilithium

Il est généralement admis que le dialcoolate de dilithium Ar<sup>1</sup>C(OLi)<sub>2</sub>Ar<sup>2</sup> est instable lorsque le groupe partant [Ar<sup>1</sup> dans Ar<sup>1</sup>C(OLi)<sub>2</sub>Ar<sup>2</sup>] donne un carbanion Ar<sup>1-</sup> plus stable que le *gem*-dialcoolate. L'effet des substituants présents sur les cycles aromatiques détermine en général la liaison qui est clivée.<sup>216</sup>

## 5- La réaction S<sub>N</sub>ArAB – Influence des halogènes

### 5-1- Préparation d'acides poly(halogéno)benzoïques

Divers acides poly(halogéno)benzoïques ont été préparés selon des protocoles décrits

<sup>213</sup> (a) Hodge P.; Perry, G. M.; Yates, P. *J. Chem. Soc. Perkin Trans. I* **1977**, 680. (b) Gilday, J. P.; Paquette, L. A. *Tetrahedron Lett.* **1988**, 29 (36), 4505 et ref citées. (c) Mehta, G.; Venkateswaran, R. V. *Tetrahedron* **2000**, 56, 1399.

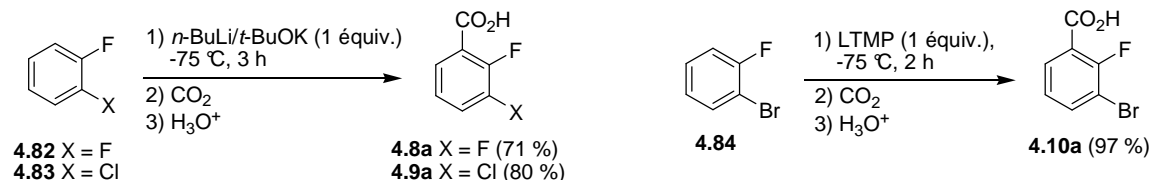
<sup>214</sup> Saa, J. M.; Deya, P. M.; Suner, G. A.; Frontera, A. *J. Am. Chem. Soc.* **1992**, 114, 9093.

<sup>215</sup> Concernant les réactions de fragmentation d'anions par décompression stérique résultant de la libération d'un anion lithié stabilisé, voir: Tomboulian, P.; Stehower, K. *J. Org. Chem.* **1968**, 33, 1509.

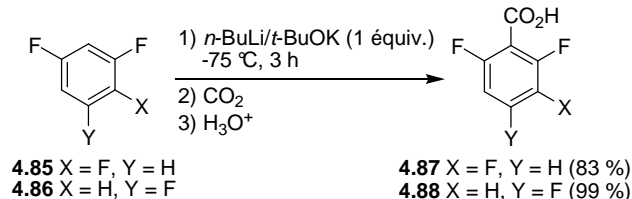
<sup>216</sup> Davies, D. G.; Derenberg, M.; Hodge, P. *J. Chem. Soc. (C)* **1971**, 455.

dans la littérature<sup>217</sup> par métallation des poly(halogéno)benzènes correspondants avec des bases fortes puis piégeage de l'anion formé par de la carboglace (Schéma 102, voir partie expérimentale, page 142).

#### Synthèse d'acides 2-fluoro-3-halobenzoïques



#### Synthèse d'acides trifluorobenzoïques



#### Synthèse de l'acide 2-bromo-6-fluorobenzoïque

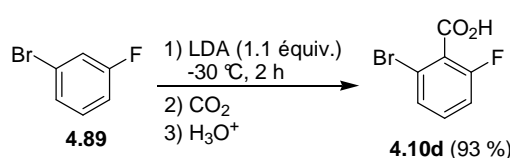


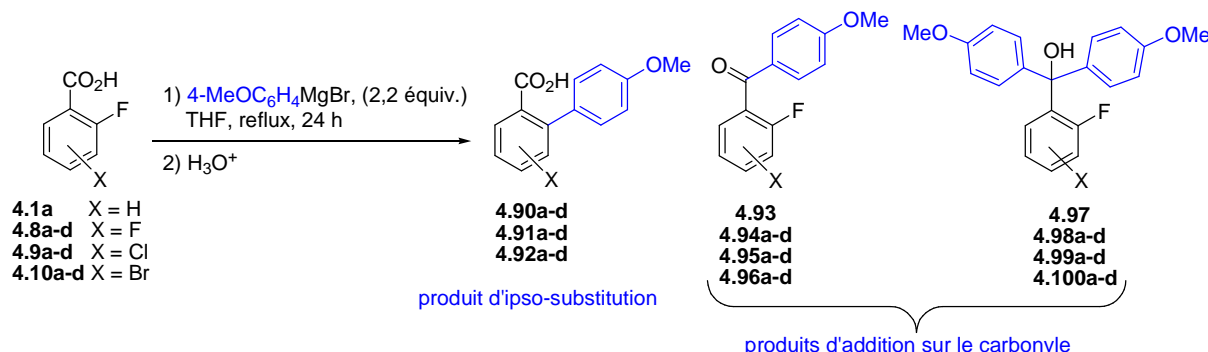
Schéma 102. Préparation des acides poly(halogéno)benzoïques

#### 5-2- Réactivité des acides 2-fluoro-Z-halogénobenzoïques ( $3 \leq Z \leq 6$ ) avec le bromure de *p*-méthoxyphénylmagnésium

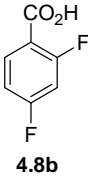
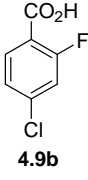
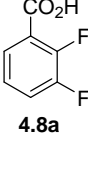
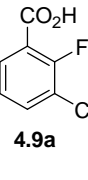
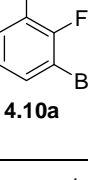
L'influence d'un substituant halogène (F, Cl, Br) en position 3, 4, 5 ou 6 du noyau aromatique de l'acide 2-fluorobenzoïque sur la réaction  $\text{S}_{\text{N}}\text{ArAB}$  a été étudiée. Afin de s'affranchir d'éventuelles réactions de métallation compétitive, l'étude a été menée en utilisant comme nucléophile un organomagnésien. Pour cela, les acides **4.8-4.10a-d** ont été mis en réaction avec le bromure de *p*-méthoxyphénylmagnésium (2.2 équiv., reflux du THF, 24 h) et leur réactivité a été comparée à celle de l'acide 2-fluorobenzoïque (**4.1a**). Les résultats obtenus sont regroupés dans le Tableau 14.

<sup>217</sup> (a) Schlosser, M.; Katsoulos, G.; Takagishi, S. *Synlett* **1990**, 747. (b) Mongin, F.; Schlosser, M. *Tetrahedron Lett.* **1996**, 37 (36), 6551. (c) Moyroud, J.; Guesnet, J.-L.; Bennetau, B.; Mortier, J. *Tetrahedron Lett.* **1995**, 36 (6), 881.

**Tableau 14. Réactions S<sub>N</sub>Ar des acides 2-fluoro-Z-halogénobenzoïques avec le bromure de *p*-méthoxyphénylmagnésium**



Entrée	Acide	4.90-4.92a-d, rdt (%)	Cétone 4.93, 4.94-4.96a-d, rdt (%)	Carbinol 4.97, 4.98-4.100a-d, rdt (%)
1		< 5	20 <sup>b</sup>	64 <sup>a</sup>
2		74 <sup>a</sup>	< 5	< 5
3		65 <sup>a</sup>	n.d <sup>c</sup>	n.d <sup>c</sup>
4		65 <sup>a</sup>	n.d <sup>c</sup>	n.d <sup>c</sup>
5		< 5	39 <sup>b</sup>	44 <sup>b</sup>

Entrée	Acide	4.90-4.92a-d, rdt (%)	Cétone 4.93, 4.94-4.96a-d, rdt (%)	Carbinol 4.97, 4.98-4.100a-d, rdt (%)
6	 <b>4.8b</b>	38 <sup>a</sup>	n.d <sup>c</sup>	39 <sup>a</sup>
7	 <b>4.9b</b>	13 <sup>a</sup>	22 <sup>b</sup>	30 <sup>b</sup>
8	 <b>4.8a</b>	34 <sup>a</sup>	n.d <sup>c</sup>	< 5
9	 <b>4.9a</b>	35 <sup>a</sup>	< 5	44 <sup>a</sup>
10	 <b>4.10a</b>	8 <sup>a</sup>	< 5	62 <sup>a</sup>

<sup>a</sup> rendement isolé. <sup>b</sup> rendement RMN. <sup>c</sup> non déterminé

Dans tous les essais réalisés, l'acide benzoïque mis en réaction est entièrement consommé.

Avec l'acide 2-fluorobenzoïque (**4.1a**), le bromure de *p*-méthoxyphénylmagnésium réagit uniquement sur le carboxylate pour donner, après hydrolyse acide, la cétone **4.93** et le carbinol **4.97** (entrée 1, Tableau 14).<sup>218</sup> Une réactivité similaire est observée lorsque le noyau aromatique de l'acide benzoïque est substitué en position 5 par un second atome de fluor (entrée 5).<sup>219</sup>

La présence d'un atome de F, Cl ou Br supplémentaire en position 3, 4 ou 6 du cycle

<sup>218</sup> Jorgenson, M. J. *Org. Reactions* **1970**, 18, 1.

<sup>219</sup> Les réactions réalisées à température ambiante conduisent également à la formation exclusive de produits d'addition sur le carbonyle.

aromatique favorise la formation du produit d'*ipso*-substitution. Ainsi avec les acides 2-fluorobenzoïques substitués en position 3 ou 4 par un halogène, un mélange du produit d'*ipso*-substitution et des produits d'addition sur le carbonyle est obtenu. Les rendements isolés en biphenyles **4.90a-b**, **4.91a-b**, **4.92a** sont toutefois moyens (< 40 %) (entrées 6-10). Les acides 2-fluoro-6-halogénobenzoïques **4.8-4.10d** conduisent à la formation très majoritaire du produit d'*ipso*-substitution et les acides 3-halogénobiphényl-2-carboxyliques **4.90-4.92d** sont isolés avec des rendements satisfaisants (65 % à partir des dérivés chlorés et bromés **4.9d** et **4.10d**; 74 % pour le dérivé fluoré **4.8d**) (entrées 2-4). Pour les acides **4.9d** et **4.10d**, seul l'atome de fluor est déplacé. La réactivité des halogénures d'aryle vis-à-vis des réactions  $S_NAr$  est bien établie et diminue dans l'ordre  $F > Cl > Br$ .<sup>220</sup> L'atome de fluor, petit et fortement électroattracteur, facilite sensiblement l'addition du nucléophile au système aromatique.

Sur l'ensemble des essais réalisés, le fluor (halogène le plus électroattracteur) apparaît comme l'halogène favorisant le plus la réaction  $S_NAr$  (entrées 2-4, entrée 6 vs 7). Il est connu depuis longtemps que les atomes d'halogène accélèrent les réactions de substitution nucléophile aromatique en raison de leur effet inductif attracteur.<sup>203b</sup> Les halogènes appauvriscent le noyau aromatique en densité électronique (effet -I) et sont donc également susceptibles de favoriser l'addition de nucléophile sur le benzoate. Il n'est donc pas aisés de prévoir quelle réaction sera favorisée pour un substituant donné. Dans la littérature, il est admis que le déplacement par  $S_NAr$  de F/OMe par les composés organométalliques polaires s'effectue selon un mécanisme d'addition 1,4 suivi d'une élimination (Schéma 103).<sup>221,222</sup> La régiosélectivité observée lors des réactions réalisées dépend donc de la compétition entre addition 1,2 (formation de cétones) et addition 1,4 (addition conjuguée qui conduit aux produits d'*ipso*-substitution).

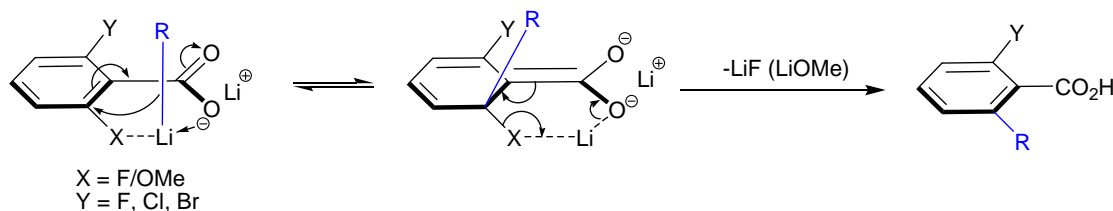


Schéma 103. Mécanisme de la réaction  $S_NArAB$

La sélectivité entre addition 1,2 et addition 1,4 est un problème bien étudié dans la littérature.<sup>223</sup> Il apparaît que la valeur du coefficient de l'orbitale la plus basse vacante

<sup>220</sup> Amii, H.; Uneyama, K. *Chem. Rev.* **2009**, *109*, 2119.

<sup>221</sup> Un mécanisme de type  $S_NR1$  pour les acides 2-fluoro ou 2-méthoxybenzoïques semble peu vraisemblable dans la mesure où l'addition de pièges à radicaux (tétraphénylhydrazine ou dimère du 2-méthyl-2-nitrosopropane) à un mélange d'acide 2-fluorobenzoïque et LiNEt<sub>2</sub> conduit seulement à une faible diminution du rendement en produit de réaction. Voir ref<sup>197b</sup>.

<sup>222</sup> L'addition conjuguée d'organolithiens aux acides 1- et 2-naphtoïques suivie par un piégeage par divers électrophiles permet un accès efficace aux 1,2-dihydronaphtalènes 1,1,2- et 1,2,2-trisubstitués. Voir ref<sup>69a</sup>.

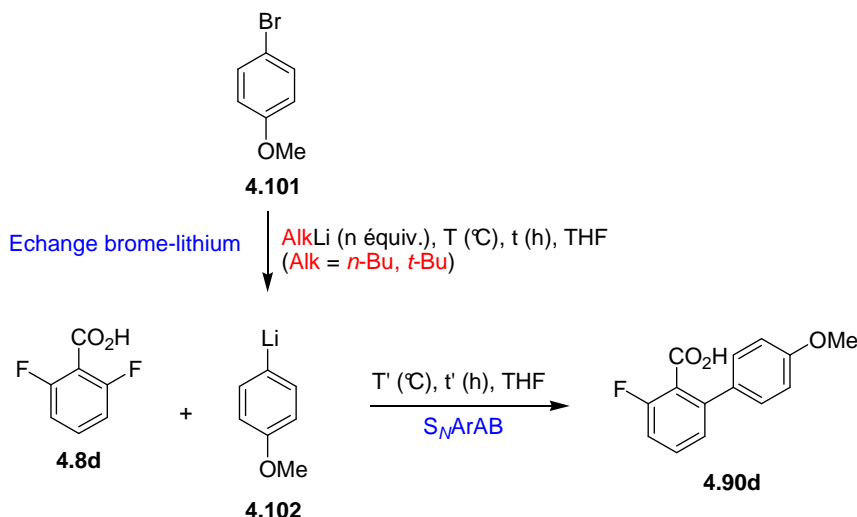
<sup>223</sup> (a) Lefour, J.-M.; Loupy, A. *Tetrahedron* **1978**, *34*, 2597. (b) Deschamps, B.; Nguyen, T. A.; Seyden Penne, J. *Tetrahedron Lett.* **1973**, *7*, 527. (c) Cohen, T.; Abraham, W. D.; Myers, M. *J. Am. Chem. Soc.* **1987**, *109*, 7923. (d) Yamazaki, T.; Hiraoka, S.; Kitazume, T. *J. Org. Chem.* **1994**, *59*, 5100. (e) Pridgen, L. N.;

(LUMO) pourrait être un des facteurs gouvernant la régiosélectivité observée.<sup>224</sup> Dans ce contexte, des contacts ont été pris avec le Dr R. Schurhammer du Laboratoire de modélisation et simulation moléculaire de l'Université de Strasbourg pour étudier ces transformations sur un plan théorique.

### 5-3- Réaction S<sub>N</sub>Ar des acides 2,6- et 2,4-difluorobenzoïques et 2-chloro-6-fluorobenzoïque (**4.8d**, **4.8b** et **4.9d**) avec le *p*-méthoxyphényllithium

L'acide 2,6-difluorobenzoïque (**4.8d**) a ensuite été mis en réaction avec le *p*-méthoxyphényllithium. Ce dernier est préparé par échange brome-lithium à partir du *p*-bromoanisole. Divers protocoles expérimentaux sont décrits dans la littérature pour synthétiser un aryllithien à partir du bromure d'aryle correspondant et les conditions réactionnelles utilisées lors de l'échange brome-lithium ont une influence notable sur le rendement de la réaction S<sub>N</sub>ArAB (Tableau 15).

Tableau 15. Optimisation des conditions d'échange brome-lithium

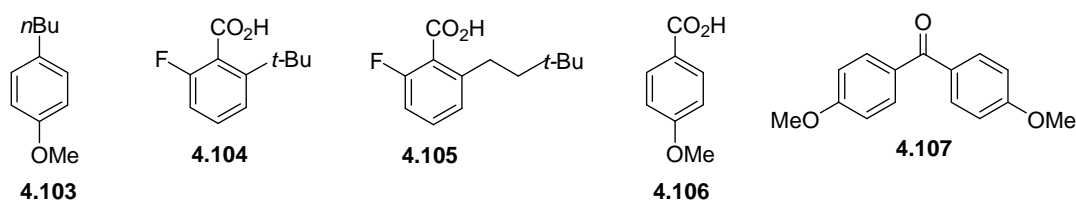


Entrée	Conditions réactionnelles <sup>a</sup>		4.90d, rdt (%)	Autres
	Échange brome-lithium	S <sub>N</sub> ArAB		
1	1 équiv. <i>n</i> -BuLi/1 équiv. ArBr, -50 °C	-50 °C à 0 °C, 2 h	70 <sup>b</sup>	[ <b>4.103</b> ]
2	2 équiv. <i>t</i> -BuLi/1 équiv. ArBr, -50 °C	-50 °C à 0 °C, 2 h	0	80 <sup>b</sup> [ <b>4.104</b> ]
3	2 équiv. <i>t</i> -BuLi/1 équiv. ArBr, -78 °C à 0 °C	-50 °C à 0 °C, 2 h	50 <sup>b</sup>	18 <sup>c</sup> [ <b>4.105</b> ], 9 <sup>c</sup> [ <b>4.106</b> ], 17 <sup>c</sup> [ <b>4.107</b> ]
4	1 équiv. <i>t</i> -BuLi/1 équiv. ArBr, -78 °C	-30 °C, 8 h	71 <sup>b</sup>	-
5	1 équiv. <i>t</i> -BuLi/1 équiv. ArBr, -78 °C	-30 °C, 24 h	91 <sup>b</sup>	-

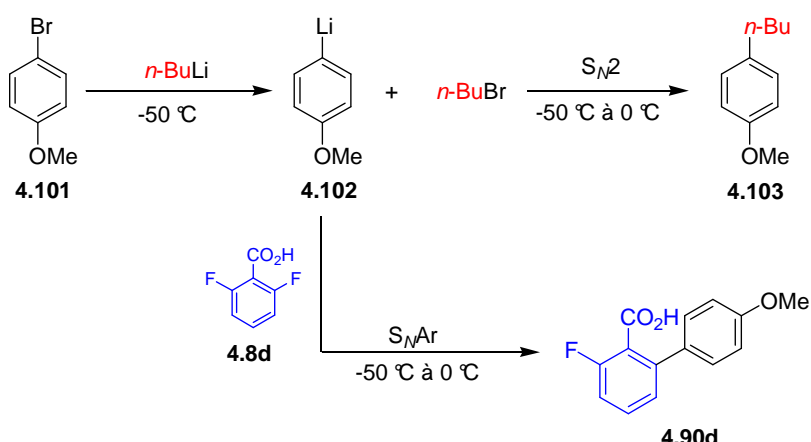
<sup>a</sup> 2.2 équiv. de *p*-MeOC<sub>6</sub>H<sub>4</sub>Br sont utilisés. <sup>b</sup> Rendement isolé. <sup>c</sup> Rendement RMN

Mokhallaati, M. K.; Wu, M.-J. *J. Org. Chem.* **1992**, 57, 1237. (f) Reich, H. J.; Sikorski, W. H. *J. Org. Chem.* **1999**, 64, 14. (g) Chatfield, D. C.; Augsten, A.; D'Cunha, C.; Lewandowska, E.; Wnuk, S. F. *Eur. J. Org. Chem.* **2004**, 313. (h) Sosnicki, J. G. *Tetrahedron* **2009**, 65, 1336.

<sup>224</sup> (a) Tomioka, K.; Shioya, Y.; Nagaoka, Y.; Yamada, K.-I. *J. Org. Chem.* **2001**, 66, 7051. (b) Tomioka, K.; Okamoto, T.; Kanai, M.; Yamataka, M. *Tetrahedron Lett.* **1994**, 35 (12), 1891.



Lorsque l'échange halogène-lithium est réalisé avec le *n*-butyllithium (1 équiv. *n*-BuLi/équiv bromure d'aryle) à -50 °C et que la réaction  $S_N\text{ArAB}$  est ensuite effectuée entre -50 °C et 0 °C pendant 2 h, le produit d'*ipso*-substitution **4.90d** est isolé avec un rendement de 70 %. La formation du 1-*n*-butyl-4-méthoxybenzène (**4.103**) est également observée (entrée 1, Tableau 15).<sup>225</sup> Ce produit résulte de l'alkylation de l'anion aryllithié **4.102** par le *n*-bromobutane, sous-produit de l'échange halogène-lithium (Schéma 104).



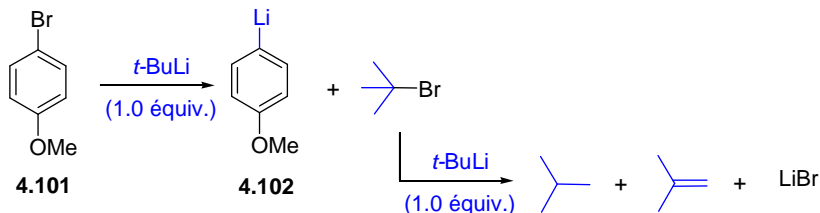
**Schéma 104.** Mécanisme de formation du 1-(*n*-butyl)-4-méthoxybenzène (**4.103**)

En concurrence avec la réaction  $S_N\text{Ar}$ , cette réaction consomme le nucléophile ArLi et peut donc s'opposer à une conversion quantitative en produit d'*ipso*-substitution. Cette alkylation compétitive a déjà été observée dans la littérature. Pour contourner ce problème, une solution consiste à utiliser le *t*-BuLi pour l'échange halogène-lithium.<sup>226</sup> Deux équivalents de *t*-BuLi par équivalent de bromure d'aryle sont habituellement utilisés. Le premier équivalent forme l'aryllithien et le deuxième détruit le *t*-bromobutane généré *in situ* pour conduire à l'*iso*-butane et l'*iso*-butène (Schéma 105). La température utilisée lors de cette séquence réactionnelle varie selon les publications,<sup>227</sup> et est généralement comprise entre -78 °C et 0 °C.

<sup>225</sup> D'après la RMN du brut réactionnel, on peut estimer que sur les 2.2 équiv. d'aryllithiens potentiellement formés par échange brome-lithium, 0.5 équiv. sont consommés par cette réaction d'alkylation.

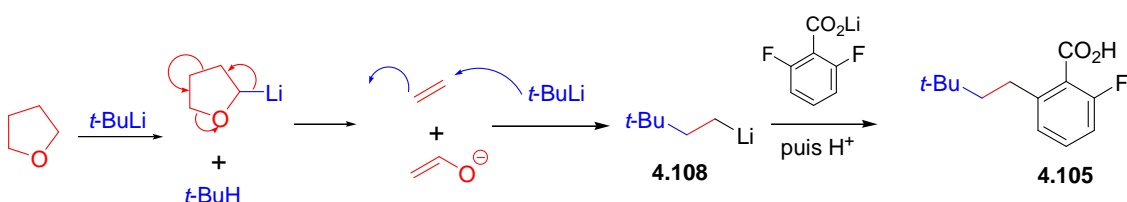
<sup>226</sup> Bailey, W. F.; Ludere, M. R.; Jordan, K. P. *J. Org. Chem.* **2006**, 71, 2825.

<sup>227</sup> (a) Bailey, W. F.; Punzalan, E. R.; *J. Org. Chem.* **1990**, 55, 5404. (b) Bailey, W. F.; Patricia, J. J. *J. Organomet. Chem.* **1988**, 352, 1. (c) Goto, S.; Velder, J.; El Sheikh, S.; Sakamoto, S.; Mitani, N.; Elmas, S.; Adler, A.; Becker, A.; Neudörfl, J.-M.; Lex, J.; Schmalz, H.-G. *Synlett* **2008**, 1361. (d) Wilcox, C. S.; Cowart, M. D. *Carbohydrate Research* **1987**, 171, 141. (e) Condo, Y.; Asai, M.; Miura, T.; Uchiyama, M.; Sakamoto, M. *Org. Lett.* **2001**, 3 (1), 13.


 Schéma 105. Formation du *p*-méthoxyphényllithium à partir de *t*-BuLi et du *p*-bromoanisole

Un essai a donc été réalisé en effectuant l'échange halogène-lithium avec 2 équivalents de *t*-BuLi par équivalent de bromure d'aryle à -50 °C pendant 1 h.<sup>228</sup> L'acide 2,6-difluorobenzoïque (**4.8d**) est ensuite ajouté au milieu réactionnel à -50 °C et la réaction S<sub>N</sub>ArAB est menée entre -50 °C et 0 °C. Dans ces conditions, seul l'acide 2-*t*-butyl-6-fluorobenzoïque (**4.104**) est isolé en fin de réaction (80 % de rendement) (entrée 2, Tableau 15). La réaction d'élimination du *t*-bromobutane par le *t*-BuLi ne se produit pas (ou est très lente) à -50 °C et, entre -50 °C et 0 °C, cette réaction est moins rapide que la réaction concurrente de S<sub>N</sub>Ar entre l'acide 2,6-difluorobenzoïque (**4.8d**) et le *t*-BuLi. Ce résultat montre également que le *t*-BuLi est plus réactif vis-à-vis de **4.8d** que l'aryllithien **4.102** dans la réaction S<sub>N</sub>Ar.

L'échange halogène-lithium a donc été effectué avec 2 équivalents de *t*-BuLi par équivalent de bromure d'aryle entre -78 °C et 0 °C pendant 1 h puis le lithien a été ramené à -50 °C avant d'être ajouté goutte-à-goutte à l'acide **4.8d** préalablement refroidi à -50 °C. À l'issue de la réaction, le produit d'*ipso*-substitution est isolé avec un rendement de 50 %. L'acide **4.105** est également formé avec une conversion de 18 % (entrée 3, Tableau 15). La formation de ce composé s'explique aisément. Lors de l'échange halogène-lithium, à 0 °C, l'attaque du THF (solvant de la réaction) par le *t*-BuLi<sup>229</sup> est en concurrence avec l'élimination du *t*-bromobutane et génère l'anion lithié *t*-BuCH<sub>2</sub>CH<sub>2</sub>Li **4.108**.<sup>77</sup> Ce dernier réagit ensuite avec l'acide 2,6-difluorobenzoïque (**4.8d**) pour former, après hydrolyse, le produit d'*ipso*-substitution **4.105** (Schéma 106).


 Schéma 106. Mécanisme de formation de l'acide **4.105**

On observe également la formation des composés **4.106** et **4.107** qui pourraient résulter de l'attaque de l'organolithien sur le carbonyle de l'acide **4.18d** (Schéma 107). Le dialcoolate **4.109** décompose vraisemblablement en *p*-méthoxybenzoate de lithium **4.111** et en 2,6-difluorophényllithium **4.110**<sup>230</sup> qui est susceptible d'éliminer LiF. L'addition de

<sup>228</sup> Nourry, A. stage post-doctoral, 2010.

<sup>229</sup> Le temps de demi-vie du *t*-Buli dans le THF à 0 °C est inférieur à 45 min. Voir ref<sup>77</sup>

<sup>230</sup> Voir Gupta, L.; Hoepker, A. C.; Singh, K. J.; Collum, D. B. *J. Org. Chem.* **2009**, 74, 2231.

l'organolithien au carboxylate **4.111** conduit, après hydrolyse, à la cétone **4.107**.

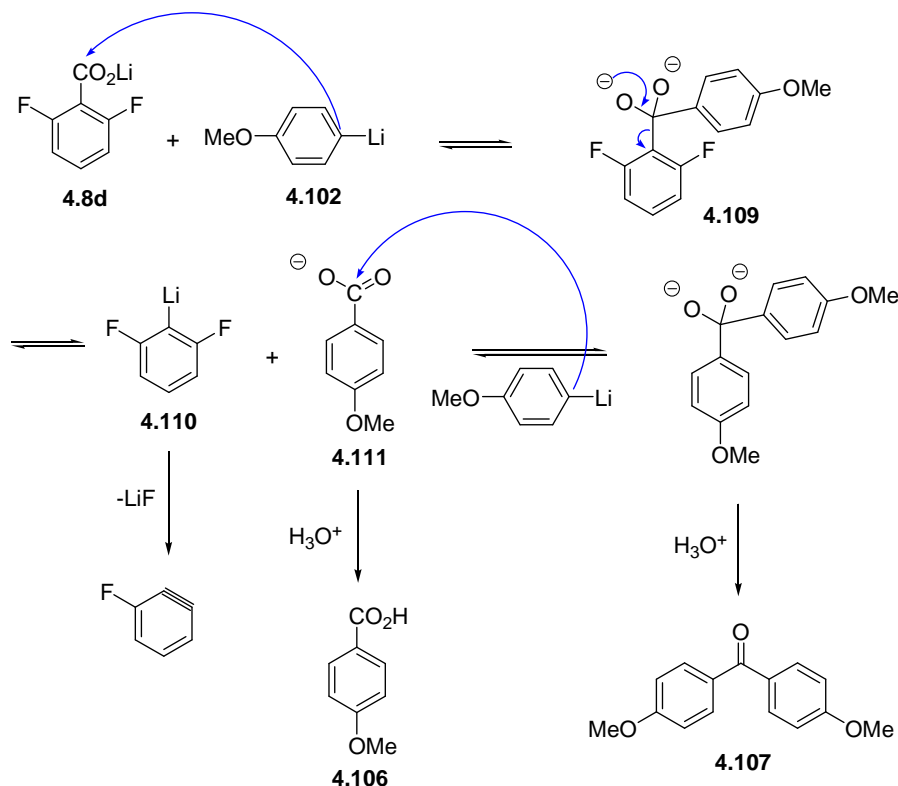


Schéma 107. Mécanisme de formation de l'acide **4.106** et de la cétone **4.107**

Finalement, l'échange halogène-lithium a été réalisé avec un seul équivalent de *t*-BuLi à -78 °C pendant 30 min. L'aryllithien est additionné à l'acide **4.8d** préalablement refroidi à -30 °C. Après 8 h de réaction à -30 °C, le rendement en produit d'*ipso*-substitution **4.90d** atteint 71 % (entrée 4) et après 24 h de réaction, le composé **4.90d** est isolé avec un rendement de 91 % (entrée 5). Notablement plus réactif que l'organomagnésien correspondant, l'aryllithien **4.102** permet de réaliser la réaction  $S_NAr$  à une température bien plus basse et à -30 °C aucun sous-produit résultant de l'attaque du lithien **4.102** sur le carbonyle de l'acide **4.8d** n'est formé.

La réactivité de l'acide 2,4-difluorobenzoïque (**4.8b**) avec le p-méthoxyphényllithium (2.2 équiv.) a été étudiée. Après 24 h de réaction à -30 °C, le brut réactionnel est piégé à cette température par du MeI (10 équiv.) puis est laissé remonter lentement à température ambiante. Le produit d'*ipso*-substitution **4.90b** est isolé avec un rendement très faible (4 %) et le produit majoritairement formé est la cétone **4.94b** (14 %) (Schéma 108). Aucun produit méthylé, résultant de l'*ortho*-lithiation de **4.8b** par l'aryllithien, n'est décelé dans le brut réactionnel et 80 % de l'acide **4.8b** engagé dans la réaction est récupéré.

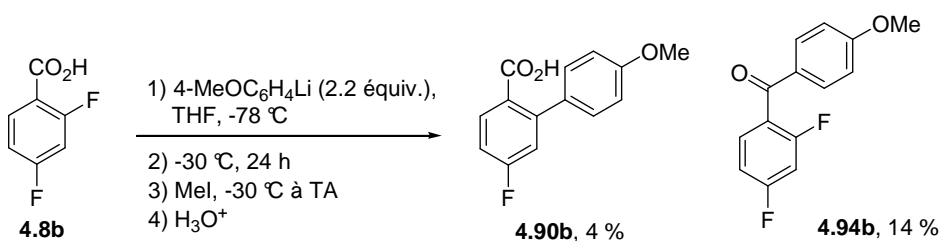


Schéma 108. Réaction de l'acide 2,4-difluorobenzoïque (4.8b) avec 4-MeOC<sub>6</sub>H<sub>4</sub>Li

La réaction S<sub>N</sub>ArAB a également été testée sur l'acide 2-chloro-6-fluorobenzoïque (**4.9d**). L'acide **4.9d** est moins réactif que l'acide 2,6-difluorobenzoïque (**4.8d**) et après 24 h de réaction à -30 °C avec 2.2 équivalents d'aryllithien, le produit d'*ipso*-substitution **4.91d** est isolé avec un rendement de 44 %.<sup>231</sup> L'augmentation de la température jusqu'à 0 °C et l'utilisation de 3 équiv. d'aryllithien permettent d'augmenter notablement le rendement (90 %). Les produits d'addition de l'aryllithien sur le carbone du carbonyle ne sont pas détectés (Schéma 109).

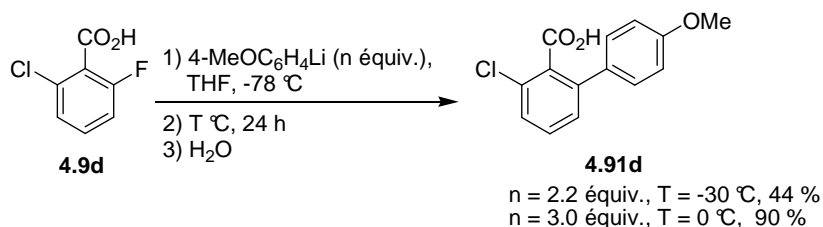


Schéma 109. Réaction de l'acide 2-chloro-6-fluorobenzoïque (4.11d) avec 4-MeOC<sub>6</sub>H<sub>4</sub>Li

Il serait intéressant de mettre l'acide 2-bromo-6-fluorobenzoïque (**4.12d**) en réaction avec le *p*-méthoxyphényllithium. Toutefois, la réaction d'échange brome-lithium sera très probablement en concurrence avec la réaction S<sub>N</sub>ArAB.<sup>232</sup>

#### 5-4- Application de la réaction S<sub>N</sub>ArAB à la synthèse des acides 3-halogénobiphényl-2-carboxyliques

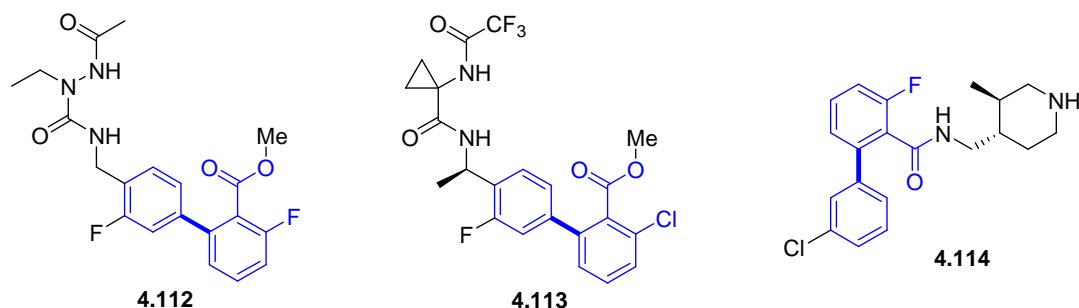
Le potentiel de la réaction S<sub>N</sub>ArAB pour la synthèse d'acides 3-halogénobiphényl-2-carboxyliques a ensuite été examiné. Les dérivés d'acides 3-halogénobiphényl-2-carboxyliques présentent diverses applications, notamment pharmaceutiques. À titre d'exemple, les esters méthyliques **4.112** et **4.113** sont des antagonistes efficaces du récepteur B1 de la bradykinine,<sup>233</sup> une hormone impliquée dans divers processus physiopathologiques

<sup>231</sup> 53 % du réactif de départ **4.9d** est récupéré à l'issu de la réaction.

<sup>232</sup> La vitesse d'échange halogène-lithium diminue dans l'ordre ArI > ArBr > ArCl > ArF; les composés ArCl et ArF ne sont pas utiles en synthèse pour de tels échanges. Voir ref<sup>77</sup>.

<sup>233</sup> (a) Zischinsky, G.; Stragies, R.; Schaudt, M.; Pfeifer, J. R.; Gibson, C.; Locardi, E.; Scharn, D.; Richter, U.; Kalkhof, H.; Dinkel, K.; Schnatbaum, K. *Bioorg. Med. Chem. Lett.* **2010**, 20, 1229. (b) Tang, C.; Subramanian, R.; Kuo, Y.; Krymgold, S.; Lu, P.; Kuduk, S. D.; Ng, C.; Feng, D.-M.; Elmore, C.; Soli, E.; Ho, J.; Bock, M. G.; Baillie, T. A.; Prueksaritanont, T. *Chem. Res. Toxicol.* **2005**, 18, 934. (c) Kuduk, S. D.; Di Marco, C. N.; Chang, R. K.; Wood, M. R.; Schirripa, K. M.; Kim, June J.; Wai, J. M. C.; DiPardo, R. M.; Murphy, K. L.; Ransom, R. W.; Harrell, C. M.; Reiss, D. R.; Holahan, M. A.; Cook, J.; Hess, J. F.; Sain, N.; Urban, M. O.; Tang, C.; Prueksaritanont, T.; Pettibone, D. J.; Bock, M. G. *J. Med. Chem.* **2007**, 50, 272. (d) Wood, M. R.; Schirripa, K. M.; Kim, J. J.; Kuduk, S. D.; Chang, R. K.; Di Marco, C. N.; DiPardo, R. M.; Wan, B.-L.; Murphy, K. L.

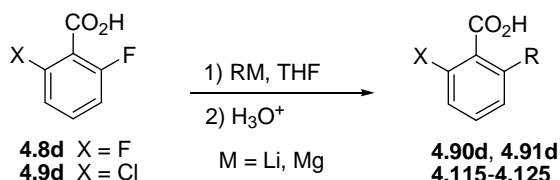
(douleur, allergies, inflammations chroniques...) alors que l'amide **4.114** est un agoniste des récepteurs muscariniques M1 (Figure 24).<sup>234,235</sup>



**Figure 24.** Esters **4.112**, **4.113** et amide **4.114**

Les acides 2,6-difluorobenzoïque (**4.8d**) et 2-chloro-6-fluorobenzoïque (**4.9d**) ont été mis en réaction avec une série de réactifs de Grignard et d'aryllithiens. Avec les aryllithiens, les conditions réactionnelles ont été optimisées pour chaque substrat. Les conditions expérimentales et les rendements obtenus sont résumés dans le Tableau 16.

**Tableau 16.** Réactions  $S_NArAB$  des acides 2,6-difluorobenzoïque et 2-chloro-6-fluorobenzoïque (**4.8d** et **4.9d**)



Entrée	Acide	Conditions	<b>4.90d, 4.91d</b>	<b>Autres</b>
			<b>4.115-4.125, rdt (%)</b>	<b>(%)</b>
1	<b>4.8d</b>	4-MeOC <sub>6</sub> H <sub>4</sub> MgBr (2.2 équiv.), reflux	74 <sup>a</sup> [ <b>4.90d</b> ]	-
2	<b>4.8d</b>	4-MeOC <sub>6</sub> H <sub>4</sub> Li (2.2 équiv.), -30 °C	91 <sup>a</sup> [ <b>4.90d</b> ]	-
3	<b>4.8d</b>	C <sub>6</sub> H <sub>5</sub> MgBr (2.2 équiv.), reflux	68 <sup>a</sup> [ <b>4.115</b> ]	-
4	<b>4.8d</b>	C <sub>6</sub> H <sub>5</sub> Li (3.0 équiv.), 0 °C	90 <sup>a</sup> [ <b>4.115</b> ]	-
5	<b>4.8d</b>	2-MeOC <sub>6</sub> H <sub>4</sub> MgBr (2.2 équiv.), reflux	< 5 [ <b>4.116</b> ]	-
6	<b>4.8d</b>	2-MeOC <sub>6</sub> H <sub>4</sub> Li (2.2 équiv.), 0 °C	38 <sup>a</sup> [ <b>4.116</b> ]	26 <sup>a</sup> [ <b>4.126</b> ]

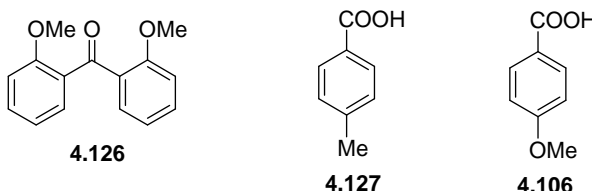
Ransom, R. W.; Chang, R. S. L.; Holahan, M. A.; Cook, J. J.; Lemaire, W.; Mosser, S. D.; Bednar, R. A.; Tang, C.; Prueksaritanont, T.; Wallace, A. A.; Mei, Q.; Yu, J.; Bohn, D. L.; Clayton, F. C.; Adarayn, E. D.; Sitko, G. R.; Leonard, Y. M.; Freidinger, R. M.; Pettibone, D. J.; Bock, M. G. *Bioorg. Med. Chem. Lett.* **2008**, *18*, 716. (e)  
 Tang, C.; Carr, B. A.; Poignant, F.; Ma, B.; Polksy-Fisher, S. L.; Kuo, Y.; Strong-Basalyga, K.; Norcross, A.; Richards, K.; Eisenhandler, R.; Carlini, E. J.; Di Marco, C. N.; Kuduk, S. D.; Yu, N. X.; Raab, C. E.; Rushmore, T.; Frederick, C. B.; Bock, M. G.; Prueksaritanont, T. *J. Pharmacol. Exp. Ther.* **2008**, *325*, 935.

<sup>234</sup> Les agonistes des récepteurs muscariniques M1 pourraient permettre un traitement symptomatique de la maladie d'Alzheimer. Fisher, A.; Pittel, Z.; Haring, R.; Bar-Ner, N.; Kligerspatz, M.; Natan, N.; Egozi, I.; Sonego, H.; Marcovitch, I.; Brandeis, R. *J. Mol. Neurosci.* **2003**, *20*, 349.

<sup>235</sup> Budzik, B.; Garzya, V.; Shi, D.; Walker, G.; Lauchart, Y.; Lucas, A. J.; Rivero, R. A.; Langmead, C. J.; Watson, J.; Wu, Z.; Forbes, I. T.; Jin, J. *Bioorg. Med. Chem. Lett.* **2010**, *20*, 3545.

Entrée	Acide	Conditions	4.90d, 4.91d	Autres
			4.115-4.125, rdt (%)	(%)
7	<b>4.8d</b>	4-MeC <sub>6</sub> H <sub>4</sub> MgBr (2.2 équiv.), reflux	24 <sup>a</sup> (55) <sup>b</sup> [4.117]	-
8	<b>4.8d</b>	4-MeC <sub>6</sub> H <sub>4</sub> Li (3.0 équiv.), 0 °C	78 <sup>a</sup> (96) <sup>b</sup> [4.117]	2 <sup>a</sup> [4.127]
9	<b>4.8d</b>	2-MeC <sub>6</sub> H <sub>4</sub> MgBr (2.2 équiv.), reflux	53 <sup>a</sup> [4.118]	-
10	<b>4.8d</b>	2-MeC <sub>6</sub> H <sub>4</sub> Li (3.0 équiv.), 0 °C	96 <sup>a</sup> [4.118]	-
11	<b>4.8d</b>	4-FC <sub>6</sub> H <sub>4</sub> MgBr (2.2 équiv.), reflux	44 <sup>a</sup> (63) <sup>b</sup> [4.119]	-
12	<b>4.8d</b>	2-naphthylMgBr (2.2 équiv.), reflux	29 <sup>a</sup> (80) <sup>b</sup> [4.120]	-
13	<b>4.8d</b>	2-naphthylLi (3.0 équiv.), 0°C	11 <sup>a</sup> (44) <sup>b</sup> [4.120]	-
14	<b>4.8d</b>	2,6-diMeC <sub>6</sub> H <sub>3</sub> Li (3.0 équiv.), 0 °C	62 <sup>a</sup> [4.121]	-
15	<b>4.9d</b>	4-MeOC <sub>6</sub> H <sub>4</sub> MgBr (2.2 équiv.), reflux	65 <sup>a</sup> [4.91d]	-
16	<b>4.9d</b>	4-MeOC <sub>6</sub> H <sub>4</sub> Li (3.0 équiv.), 0 °C	90 <sup>a</sup> [4.91d]	-
17	<b>4.9d</b>	4-MeC <sub>6</sub> H <sub>4</sub> Li (3.0 équiv.), 0 °C	53 <sup>a</sup> (62) <sup>b</sup> [4.122]	-
18	<b>4.9d</b>	2-MeC <sub>6</sub> H <sub>4</sub> Li (3.0 équiv.), 0 °C	59 <sup>a</sup> [4.123]	-
19	<b>4.9d</b>	2,5-diMeC <sub>6</sub> H <sub>3</sub> Li (3.0 équiv.), 0 °C	85 <sup>a</sup> [4.124]	-
20	<b>4.9d</b>	2,4,6-triMeC <sub>6</sub> H <sub>2</sub> Li (3.0 équiv.), 0 °C	9 <sup>a</sup> [4.125]	-

<sup>a</sup> Rendement purifié. <sup>b</sup> Rendement RMN.



Le *p*-méthoxyphényllithium, le phényllithium, le *p*-tolyllithium et l'*o*-tolyllithium déplacent un des deux atomes de fluor de l'acide 2,6-difluorobenzoïque (**4.8d**) pour donner les biphenyles correspondants **4.90d**, **4.115**, **4.117**, **4.118** avec d'excellents rendements (entrées 2, 4, 8 et 10). Le 2,6-diméthylphényllithium (entrée 14) conduit au produit d'*ipso*-substitution avec un rendement plus faible, mais néanmoins satisfaisant, (62 %), probablement en raison de l'encombrement stérique. La formation de produits d'addition sur le carbonyle n'est observée qu'à l'état de traces, sauf lors de l'utilisation du 2-méthoxyphényllithium. Dans ce cas, le rendement isolé en acide **4.116** n'est que de 38 % et 26 % de cétone **4.126** (entrée 6) sont également formés. Il est probable que **4.126** soit issue de l'addition sur le carbonyle de *o*-méthoxybenzoate de lithium par un mécanisme similaire à celui présenté dans le Schéma 107.

À l'exception du 2-naphyllithium, les aryllithiens testés sont plus réactifs que les organomagnésiens correspondants. Les bromures de *p*-méthoxyphénylmagnésium, de *p*-tolylmagnésium, d'*o*-tolylmagnésium conduisent, par réaction avec **4.8d**, aux biphenyles **4.90d**, **4.115**, **4.117**, **4.118** avec des rendements isolés compris entre 50 et 74 % (entrées 1, 3, 7 et 9). La présence d'un substituant inductif attracteur (atome de fluor) sur l'arylémagnésien (2.2 équiv.) diminue la réactivité du nucléophile. Après 24 h de réaction à reflux, une fraction

importante de l'acide de départ **4.8d** n'a pas réagi et le rendement brut en biphenyle **4.119** est de 63 % (entrée 11). Dans les mêmes conditions réactionnelles, la conversion est également incomplète avec le bromure de 2-naphtylmagnésium (entrée 12), ce qui complique la purification du phénynaphtalène synthétisé. Pour ces deux derniers essais, il serait intéressant de réaliser de nouvelles réactions en augmentant la quantité d'organomagnésien et/ou le temps de réaction.

Des rendements corrects à excellents en produit d'*ipso*-substitution sont également obtenus lors de la réaction de l'acide 2-chloro-6-fluorobenzoïque (**4.9d**) avec les aryllithiens. La réaction apparaît cependant plus sensible à l'encombrement stérique. Alors que le 2,5-diméthylphényllithium génère le biphenyle **4.124** avec un rendement isolé de 85 % (entrée 19), le 2,4,6-triméthylphényllithium est très peu réactif à 0 °C (9 % de biphenyle **4.125** isolé, 70 % du réactif de départ récupéré) (entrée 20).

Par ailleurs, la formation de terphényles n'a été observée dans aucun des essais réalisés.

### 5-5- Réactivité des acides 2,3,6- et 2,4,6-trifluorobenzoïques (4.87) et (4.88) avec le bromure de *p*-méthoxyphénylmagnésium

La réaction de l'acide 2,3,6-trifluorobenzoïque (**4.87**) avec 2.2 équiv. de 4-MeOC<sub>6</sub>H<sub>4</sub>MgBr est parfaitement régiosélective et conduit à la formation d'un seul produit d'*ipso*-substitution. L'acide 3,6-difluoro-2-(4-méthoxyphényl)benzoïque (**4.128**) est isolé avec un rendement de 83 % (Schéma 110) (pour la discussion de la structure du produit d'*ipso*-substitution, voir la partie expérimentale, page 163). L'atome de fluor en position 3 de l'acide benzoïque permet de diriger la réaction vers la substitution du fluor en position adjacente.

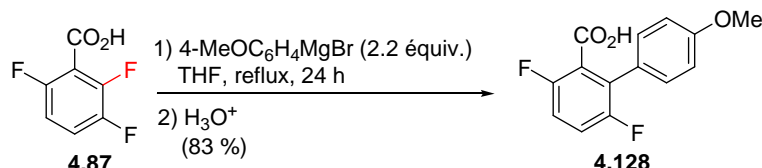


Schéma 110. Réaction S<sub>N</sub>Ar de l'acide 2,3,6-trifluorobenzoïque (4.87)

En présence de 4-MeOC<sub>6</sub>H<sub>4</sub>MgBr (2.2 équiv.), l'acide 2,4,6-trifluorobenzoïque (**4.88**) conduit à un mélange des produits mono- et disubstitués **4.129** et **4.130** difficilement séparables par chromatographie sur gel de silice (réaction quantitative, **4.129/4.130** 3:1) (Schéma 111). Avec les mêmes conditions réactionnelles, l'acide 2,6-difluorobenzoïque (**4.8d**) ne conduit pas à la formation du terphényle. Ceci est en accord avec l'effet activant pour la réaction S<sub>N</sub>ArAB d'un atome de fluor en position C4.

Le rendement brut en produit monosubstitué **4.129** atteint 88 % lorsque 2.0 équiv. d'arylorganomagnésien sont utilisés. La séparation de **4.129** et du réactif de départ **4.88** est difficile à réaliser par chromatographie sur gel de silice et **4.129** est isolé avec un rendement

<sup>236</sup> Pour d'autres exemples de réactions  $S_NAr$  « dirigées » par un atome d'halogène, voir Ouellet, S. G.; Bernardi, A.; Angelaud, R.; O'Shea, P. D. *Tetrahedron Lett.* **2009**, *50*, 3776.

de 39 %.

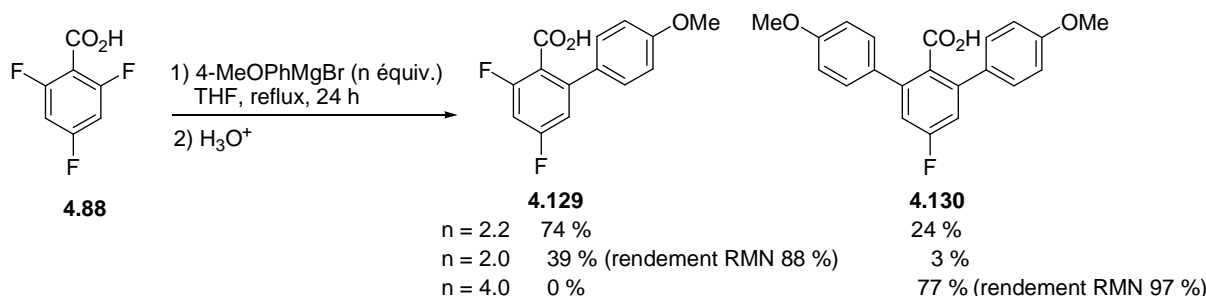


Schéma 111. Réactivité de l'acide 2,4,6-trifluorobenzoïque (4.88) avec 4-MeOC<sub>6</sub>H<sub>4</sub>MgBr

### 5-6- Synthèse de terphényles par S<sub>N</sub>ArAB — Résultats préliminaires

Les premiers essais de synthèse de terphényles par réaction S<sub>N</sub>ArAB ont été réalisés. Lorsque l'acide 2,4,6-trifluorobenzoïque (4.88) est mis en réaction avec 4 équiv. de 4-MeOC<sub>6</sub>H<sub>4</sub>MgBr, le terphényle 4.130 peut être isolé avec un très bon rendement de 77 % (Schéma 111).

Par ailleurs, l'acide 2-fluoro-6-(4-méthoxyphényl)benzoïque (4.90d) a été mis en réaction avec 2.2 équiv. de 4-MeOC<sub>6</sub>H<sub>4</sub>Li ou de 4-MeOC<sub>6</sub>H<sub>4</sub>MgBr. Le terphényle correspondant est isolé avec des rendements (non optimisés) de 49 % et 45 % respectivement (Schéma 112).

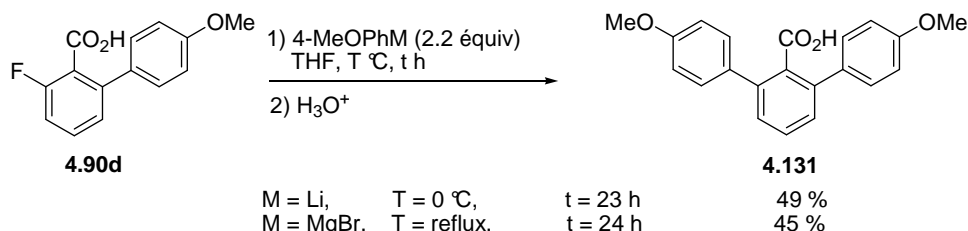


Schéma 112. Synthèse du terphényle 4.131

## 6- Conclusion – Perspectives

L'influence des substituants halogénés (F, Cl, Br) et méthoxylés d'acides benzoïques ortho-fluorés et ortho-méthoxylés sur la sélectivité S<sub>N</sub>Ar/addition 1,2 a été évaluée.

Dans le cas de l'acide 2,3-diméthoxybenzoïque, il a été découvert que la présence d'un substituant méthoxy en position 3 permet d'isoler le produit d'*ipso*-substitution avec un rendement correct. La réaction pourrait faire intervenir un complexe mettant en jeu une double chélation du magnésium par les groupes méthoxy.

La présence d'un atome d'halogène supplémentaire en position 6 permet d'inhiber l'addition du nucléophile au carbonyle. Les acides 2-fluoro-6-halogénobenzoïques conduisent aux produits de C2-substitution sans formation de cétones. Les acides 3-halogéno-biphényl-2-carboxyliques efficacement obtenus pourraient être les précurseurs de structures variées (Figure 25).

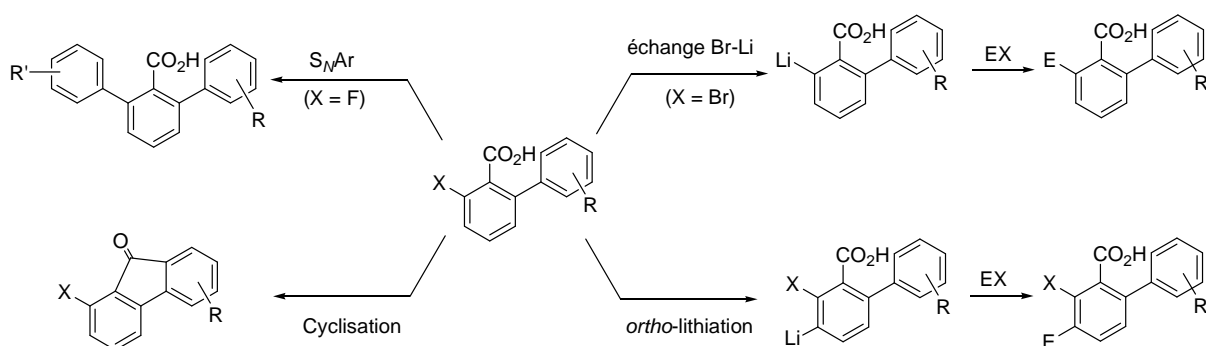


Figure 25. Fonctionnalisation des acides 3-halogénobiphényl-2-carboxyliques

## 7- Partie expérimentale

For instrumentation and materials, see chapter 1 (parts 10-1 and 10-2).

Grignard and organolithium reagents were titrated against 2-((2-phenylhydrazone)methyl)phenol<sup>237</sup> and *N*-benzylbenzamide<sup>88</sup> respectively.

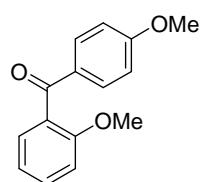
### 7-1- Reactions of 2,Z-dimethoxybenzoic acids (4.7a-d) and 2,3,4-trimethoxybenzoic acid (4.43) with 4-MeOC<sub>6</sub>H<sub>4</sub>MgBr (Table 12 and table 13)

#### General procedure

To a solution of 2-methoxybenzoic acid, 2,Z-dimethoxybenzoic acid or 2,3,4-trimethoxybenzoic acid (**4.43**) (3.0 mmol) in THF (20 mL) was added dropwise *p*-methoxyphenylmagnesium bromide (6.0 mmol) at room temperature. The reaction mixture was stirred at this temperature for 24 h, quenched with water at rt (5 mL), acidified to pH 1 (3*M* HCl) and extracted with ethylacetate (3 × 40 mL). The combined organic layers were dried (MgSO<sub>4</sub>) and concentrated *in vacuo*. The residue was purified by chromatography on silica gel (cyclohexane/ethylacetate).

#### (4-Methoxyphenyl)(2-methoxyphenyl)methanone (**4.69**)<sup>238</sup>

Table 12, entry 1



**4.69**

According to the general procedure, 2-methoxybenzoic acid **4.1b** (304 mg, 2.0 mmol) was allowed to react with 4-methoxyphenylmagnesium bromide (1.58*M* in THF, 2.8 mL, 4.4 mmol). Stirring was maintained at rt for 24 h. Standard workup and chromatography on silica gel (cyclohexane/ethylacetate 95/5 → 7/3) afforded (2-methoxyphenyl)(4-

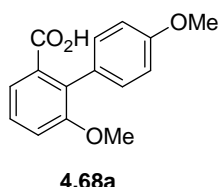
<sup>237</sup> Brian, E. L.; Edward, G. J. *J. Org. Chem.* **1999**, 64, 3755.

<sup>238</sup> Liao, Y.-X.; Hu, Q.-S. *J. Org. Chem.* **2010**, 75 (20), 6986.

methoxyphenyl)methanone (**4.69**) (416 mg, 86 %) as a slightly pink oil.  $^1\text{H}$  NMR (200 MHz,  $\text{CDCl}_3$ )  $\delta$ : 7.81 (d,  $J = 9.1$  Hz, 2H), 7.62 (ddd,  $J = 8.3$  Hz,  $J = 7.5$  Hz,  $J = 1.8$  Hz, 1H), 7.32 (dd,  $J = 7.5$  Hz,  $J = 1.8$  Hz, 1H), 7.07-7.6.97 (m, 2H), 6.92 (d,  $J = 9.1$  Hz, 2H), 3.87 (s, 3H), 3.74 (s, 3H).  $^{13}\text{C}$  NMR (100 MHz,  $\text{CDCl}_3$ )  $\delta$ : 195.1, 163.6, 157.1, 132.3, 131.5, 130.7, 129.3, 129.2, 120.5, 113.6, 111.5, 55.6, 55.5.

**6,4'-Dimethoxy-[1,1'-biphenyl]-2-carboxylic acid (**4.68a**)**

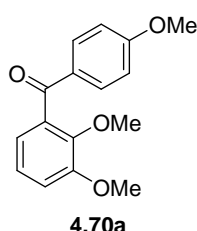
Table 13, entry 2



According to the general procedure, 2,3-dimethoxybenzoic acid (**4.7a**) (546 mg, 3.0 mmol) was allowed to react with 4-methoxyphenylmagnesium bromide (1.60M in THF, 3.8 mL, 6.0 mmol). Stirring was maintained at rt for 24 h. Standard workup and chromatography on silica gel (cyclohexane/ethylacetate 95/5  $\rightarrow$  8/2) afforded 6,4'-dimethoxy-[1,1'-biphenyl]-2-carboxylic acid (**4.68a**) (512 mg, 66 %) as a white solid. Mp 173-175 °C (litt. 170-172 °C).<sup>239</sup>  $^1\text{H}$  NMR (400 MHz,  $\text{CDCl}_3$ )  $\delta$ : 7.48 (dd,  $J = 7.8$  Hz,  $J = 1.0$  Hz, 1H), 7.35 (t,  $J = 8.1$  Hz, 1H), 7.19 (d,  $J = 8.8$  Hz, 2H), 7.10 (dd,  $J = 8.1$  Hz,  $J = 1.2$  Hz, 1H), 6.91 (d,  $J = 8.8$  Hz, 2H), 3.83 (s, 3H), 3.74 (s, 3H).  $^{13}\text{C}$  NMR (100 MHz,  $\text{CDCl}_3$ )  $\delta$ : 173.2, 158.8, 157.3, 132.0, 131.3, 130.7, 128.4, 128.2, 122.2, 114.6, 113.4, 56.1, 55.2. IR (ATR,  $\text{cm}^{-1}$ ): 2962, 2942, 2827, 2566, 1697, 1672, 1613, 1593, 1578, 1516, 1459, 1435, 1420, 1408, 1301, 1289, 1253, 1241, 1187, 1170, 1102, 1060, 1036. HRMS calcd for  $\text{C}_{15}\text{H}_{14}\text{O}_4$  ( $[\text{M}]^+$ ): 258.0892. Found: 258.0885.

**(2,3-dimethoxyphenyl)(4-methoxyphenyl)methanone (**4.70a**)<sup>240</sup>**

Table 13, entry 1



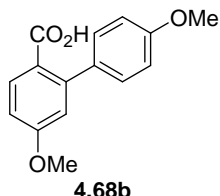
$^1\text{H}$  NMR (200 MHz,  $\text{CDCl}_3$ )  $\delta$ : 7.82 (d,  $J = 9.1$  Hz, 2H), 7.16-7.00 (m, 2H), 6.93-6.86 (m, 3H), 3.91 (s, 3H), 3.85 (s, 3H), 3.73 (s, 3H).  $^{13}\text{C}$  NMR (100 MHz,  $\text{CDCl}_3$ )  $\delta$ : 195.0, 163.8, 152.7, 146.6, 134.6, 132.4, 130.4, 124.0, 120.3, 114.0, 113.6, 61.7, 55.9, 55.5. HRMS calcd for  $\text{C}_{16}\text{H}_{16}\text{O}_4$  ( $[\text{M}]^+$ ): 272.1049. Found: 272.1062.

<sup>239</sup> Chew, W.; Hynes, R. C.; Harpp, D. N. *J. Org. Chem.* **1993**, 58, 4398.

<sup>240</sup> Compound **4.70a** was isolated as a mixture with 4-MeOC<sub>6</sub>H<sub>4</sub>OH (ratio 94:6).

**5,4'-Dimethoxy-[1,1'-biphenyl]-2-carboxylic acid (4.68b)**

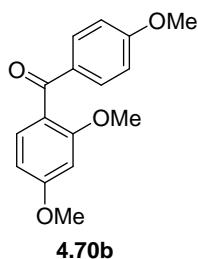
Table 12, entry 3



According to the general procedure, 2,4-dimethoxybenzoic acid (**4.7b**) (546 mg, 3.0 mmol) was allowed to react with 4-methoxyphenylmagnesium bromide (1.57M in THF, 3.8 mL, 6.0 mmol). Stirring was maintained at rt for 24 h. Standard workup and chromatography on silica gel (cyclohexane/ethylacetate 99/1 → 9/1) afforded 5,4'-dimethoxy-[1,1'-biphenyl]-2-carboxylic acid (**4.68b**) (77 mg, 10 %) as a yellow oil. <sup>1</sup>H NMR (400 MHz, CDCl<sub>3</sub>) δ: 7.96 (d, *J* = 8.8 Hz, 1H), 7.26 (d, *J* = 8.6 Hz, 2H), 6.91 (d, *J* = 8.8 Hz, 2H), 6.89 (dd, *J* = 8.6 Hz, *J* = 2.4 Hz, 1H), 6.81 (d, *J* = 2.7 Hz, 1H), 3.86 (s, 3H), 3.84 (s, 3H). <sup>13</sup>C NMR (100 MHz, CDCl<sub>3</sub>) δ: 171.3, 162.1, 159.0, 145.6, 133.8, 133.2, 129.6, 121.7, 116.6, 113.4, 112.3, 55.5, 55.2. IR (ATR, cm<sup>-1</sup>): 2934, 2903, 2833, 2627, 2528, 1668, 1611, 1599, 1571, 1556, 1515, 1491, 1458, 1440, 1403, 1274, 1241, 1222, 1173, 1152, 1109, 1021, 1005. HRMS calcd for C<sub>15</sub>H<sub>15</sub>O<sub>4</sub> ([M+H]<sup>+</sup>): 259.0970. Found: 259.0972.

**(2,4-Dimethoxyphenyl)(4-methoxyphenyl)methanone (4.70b)**

Table 12, entry 3

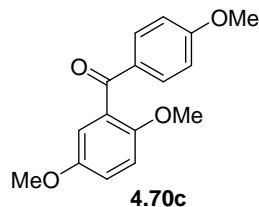


<sup>1</sup>H NMR (400 MHz, CDCl<sub>3</sub>) δ<sup>241</sup> 7.78 (d, *J* = 9.1 Hz, 2H), 7.34 (d, *J* = 8.3 Hz, 1H), 6.90 (d, *J* = 9.1 Hz, 2H), 6.55-6.51 (m, 2H), 3.86 (s, 6H), 3.72 (s, 3H). <sup>13</sup>C NMR (100 MHz, CDCl<sub>3</sub>) δ: 194.3, 163.2, 162.9, 159.2, 132.1, 131.6, 131.5, 122.0, 113.3, 104.5, 98.9, 55.6, 55.5, 55.4. IR (ATR, cm<sup>-1</sup>): 2933, 2838, 1650, 1596, 1574, 1504, 1460, 1417, 1304, 1275, 1348, 1207, 1148, 1120, 1107, 1024. HRMS calcd for C<sub>16</sub>H<sub>16</sub>O<sub>4</sub> ([M]<sup>+</sup>): 272.1049. Found: 272.1057.

<sup>241</sup> Sharghi, H.; Tamaddon, F. *Tetrahedron* **1996**, 52 (43), 13623.

**(2,5-Dimethoxyphenyl)(4-methoxyphenyl)methanone (4.70c)**

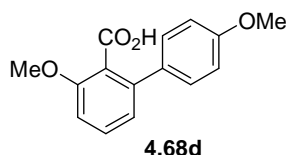
**Table 12, entry 4**



According to the general procedure, 2,5-dimethoxybenzoic acid (**4.7c**) (547 mg, 3.0 mmol) was allowed to react with 4-methoxyphenylmagnesium bromide (1.57M in THF, 3.8 mL, 6.0 mmol). Stirring was maintained at rt for 24 h. Standard workup and chromatography on silica gel (cyclohexane/ethylacetate 98/2 → 9/1) afforded (2,5-dimethoxyphenyl)(4-methoxyphenyl)methanone (**4.70c**) (664 mg, 81 %) as a yellow oil. <sup>1</sup>H NMR (400 MHz, CDCl<sub>3</sub>) δ: 7.81 (d, *J* = 9.0 Hz, 2H), 6.97 (m, 1H), 6.92-6.89 (m, 3H), 6.87 (d, *J* = 3.2 Hz, 1H), 3.85 (s, 3H), 3.78 (s, 3H), 3.68 (s, 3H). <sup>13</sup>C NMR (100 MHz, CDCl<sub>3</sub>) δ: 194.8, 163.7, 153.5, 151.1, 133.3, 130.5, 130.0, 116.7, 114.3, 113.6, 113.0, 56.4, 55.8, 55.5. IR (ATR, cm<sup>-1</sup>): 2934, 2844, 1656, 1595, 1572, 1491, 1462, 1442, 1419, 1310, 1288, 1249, 1217, 1167, 1148, 1113, 1040, 1021, 964, 845, 809. HRMS calcd for C<sub>16</sub>H<sub>16</sub>O<sub>4</sub> ([M]<sup>+</sup>): 272.1049. Found: 272.1061.

**3,4'-Dimethoxy-[1,1'-biphenyl]-2-carboxylic acid (4.68d)**

**Table 12, entry 5**

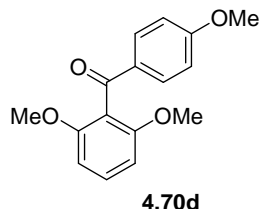


According to the general procedure, 2,6-dimethoxybenzoic acid (**4.7d**) (546 mg, 3.0 mmol) was allowed to react with 4-methoxyphenylmagnesium bromide (1.62M in THF, 4.2 mL, 6.6 mmol). Stirring was maintained at room temperature for 24 h. Standard workup and chromatography on silica gel (cyclohexane/ethylacetate 98/2 → 9/1) afforded 3,4'-dimethoxy-[1,1'-biphenyl]-2-carboxylic acid (**4.68d**) (90 mg, 12 % (NMR yield)).<sup>242</sup> <sup>1</sup>H NMR (200 MHz, CDCl<sub>3</sub>) δ: 7.44-7.36 (m, 3H), 6.99-6.90 (m, 4H), 3.90 (s, 3H), 3.83 (s, 3H). <sup>13</sup>C NMR (100 MHz, CDCl<sub>3</sub>) δ: 172.8, 157.7, 156.5, 140.9, 132.3, 130.7, 129.6, 122.4, 122.3, 113.9, 109.6, 56.2, 55.3. HRMS calcd for C<sub>15</sub>H<sub>15</sub>O<sub>4</sub> ([M+H]<sup>+</sup>): 259.0970. Found: 259.0962.

<sup>242</sup> **4.68d** could not be separated from 2,6-dimethoxybenzoic acid (**4.7d**)

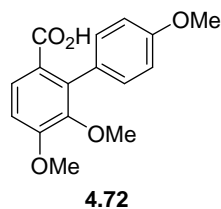
**(2,6-Dimethoxyphenyl)(4-methoxyphenyl)methanone (4.70d)**

Table 12, entry 5



Beige solid. Mp 103-105 °C.  $^1\text{H}$  NMR (200 MHz,  $\text{CDCl}_3$ )  $\delta$ : 7.82 (d,  $J = 8.9$  Hz, 2H), 7.33 (t,  $J = 8.3$  Hz, 1H), 6.90 (d,  $J = 8.9$  Hz, 2H), 6.61 (d,  $J = 8.3$  Hz, 2H), 3.85 (s, 3H), 3.71 (s, 6H).  $^{13}\text{C}$  NMR (100 MHz,  $\text{CDCl}_3$ )  $\delta$ : 193.9, 163.7, 157.5, 131.8, 131.0, 130.6, 118.2, 113.7, 104.1, 55.9, 55.5. IR (ATR,  $\text{cm}^{-1}$ ): 2995, 2929, 2840, 1660, 1590, 1573, 1508, 1468, 1430, 1420, 1300, 1288, 1248, 1187, 1172, 1140, 1102, 1018, 928. HRMS calcd for  $\text{C}_{16}\text{H}_{17}\text{O}_4$  ( $[\text{M}+\text{H}]^+$ ): 273.1127. Found: 273.1114.

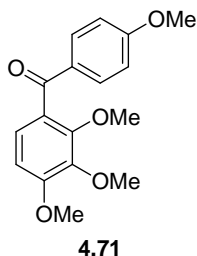
**5,6,4'-Trimethoxy-[1,1'-biphenyl]-2-carboxylic acid (4.72)**



According to the general procedure, 2,3,4-trimethoxybenzoic acid (**4.43**) (424 mg, 2.0 mmol) was allowed to react with 4-methoxyphenylmagnesium bromide (1.58M in THF, 2.8 mL, 4.4 mmol). Stirring was maintained at room temperature for 24 h. Standard workup and chromatography on silica gel (cyclohexane/ethylacetate 9/1 → 0/1) afforded 5,6,4'-trimethoxy-[1,1'-biphenyl]-2-carboxylic acid (**4.72**) (144 mg, 25 % (NMR yield)).<sup>243</sup>  $^1\text{H}$  NMR (200 MHz,  $\text{CDCl}_3$ )  $\delta$ : 7.79 (d,  $J = 8.7$  Hz, 1H), 7.19 (d,  $J = 8.7$  Hz, 2H), 6.95-6.90 (m, 3H), 3.94 (s, 3H), 3.85 (s, 3H), 3.47 (s, 3H).  $^{13}\text{C}$  NMR (50 MHz,  $\text{CDCl}_3$ )  $\delta$ : 168.3, 158.1, 154.9, 153.7, 146.2, 136.1, 130.2, 128.8, 125.7, 125.3, 112.8, 111.0, 59.9, 55.8, 54.9. HRMS calcd for  $\text{C}_{16}\text{H}_{16}\text{O}_5$  ( $[\text{M}]^+$ ): 288.0998. Found: 288.0996.

<sup>243</sup> **4.71** could not be separated from 2,3,4-trimethoxybenzoic acid (**4.43**)

**(4-Methoxyphenyl)(2,3,4-trimethoxyphenyl)methanone (4.71)**



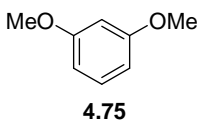
Beige solid. Mp 72-73 °C.  $^1\text{H}$  NMR (200 MHz,  $\text{CDCl}_3$ )  $\delta$  7.81 (d,  $J = 8.9$  Hz, 2H), 7.09 (d,  $J = 8.6$  Hz, 1H), 6.92 (d,  $J = 8.9$  Hz, 2H), 6.72 (d,  $J = 8.7$  Hz, 1H), 3.92 (s, 3H), 3.90 (s, 3H), 3.87 (s, 3H), 3.77 (s, 3H).  $^{13}\text{C}$  NMR (100 MHz,  $\text{CDCl}_3$ )  $\delta$  194.2, 163.5, 155.7, 152.3, 142.1, 132.3, 131.0, 126.9, 124.6, 113.5, 106.8, 61.9, 61.0, 56.1, 55.5. IR (ATR,  $\text{cm}^{-1}$ ): 3000, 2970, 2940, 2838, 1654, 1593, 1574, 1509, 1494, 1461, 1420, 1406, 1308, 1281, 1262, 1224, 1172, 1159, 1097. HRMS calcd for  $\text{C}_{17}\text{H}_{18}\text{O}_5$  ([M] $^+$ ): 302.1154. Found: 302.1167.

**7-2- Reactions of 2,3-dimethoxybenzoic acid (4.7a) and 2,6-dimethoxybenzoic acid (4.7d) with phenyllithium**

*General procedure*

At -30 °C, to a solution of 2,3-dimethoxybenzoic acid (**4.7a**) or 2,6-dimethoxybenzoic acid (**4.7d**) (547 mg, 3.0 mmol) in THF (5 mL) was added dropwise the aryllithium (6.6 mmol). The reaction mixture was stirred at this temperature for T h, quenched with water at rt (10 mL), acidified to pH 1 (3M HCl) and extracted with ethylacetate ( $3 \times 40$  mL). The combined organic layers were dried ( $\text{MgSO}_4$ ) and concentrated *in vacuo*. The residue was purified by chromatography on silica gel (cyclohexane/ethylacetate).

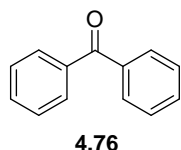
**1,3-Dimethoxybenzene (4.75)<sup>244</sup>**



Prepared from 2,6-dimethoxybenzoic acid (**4.7d**) (547 mg, 3.0 mmol) and PhLi (1.45M in hexanes, 4.55 mL, 6.6 mmol) according to the general procedure. The reaction mixture was stirred at -30°C for 2 h. After hydrolysis with water (20 mL), the aqueous layer was extracted with ethylacetate ( $3 \times 20$  mL). Standard work-up and chromatography on silica gel (cyclohexane/ethylacetate 100/0 → 98/2) afforded 1,3-dimethoxybenzene (**4.75**) (87 mg, 21 %) as a colorless oil.  $^1\text{H}$  NMR (200 MHz,  $\text{CDCl}_3$ )  $\delta$  7.19 (td,  $J = 8.1$  Hz,  $J = 0.7$  Hz, 1H), 6.53 (d,  $J = 2.4$  Hz, 1H), 6.50-6.42 (m, 2H), 3.79 (s, 6H).

<sup>244</sup> Saa, J. M.; Dopico, M.; Martonell, G.; Garcia-Raso, A. *J. Org. Chem.* **1990**, 55, 991.

**Benzophenone (4.76)<sup>245</sup>**



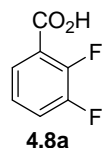
Isolated as side-product when 2,6-dimethoxybenzoic acid (**4.7d**) was allowed to react with phenyllithium (schema 99).  $^1\text{H}$  NMR (200 MHz,  $\text{CDCl}_3$ )  $\delta$ : 7.83-7.78 (m, 4H), 7.64-7.44 (m, 6H).

### 7-3- Preparation of poly(halo)benzoic acids

#### General procedure

Under argon, at -75 °C, fluoroarene (1 equiv.) was added dropwise to a stirred solution of base (n equiv.) in dry THF (2 mL/1.0 mmol of fluoroarene). After 3 h stirring at -75 °C, the reaction mixture was poured on an excess of freshly crushed dry ice and slowly allowed to warm up to rt. The solvent was removed *in vacuo* and the solid residue was dissolved in aq. 2.5M NaOH (2 mL/1.0 mmol of fluoroarene). The aqueous phase was washed with diethyl ether, acidified to pH 1 (3M HCl) and extracted with diethyl ether. The combined organic layers were washed with brine, dried ( $\text{MgSO}_4$ ) and concentrated *in vacuo* to yield halobenzoic acids.

#### 2,3-Difluorobenzoic acid (4.8a)



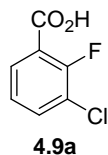
2,3-Difluorobenzoic acid (**4.8a**) was prepared from *n*-BuLi/*t*-BuOK<sup>246</sup> (50 mmol) and 1,2-difluorobenzene (**4.82**) (4.9 mL, 50 mmol) in dry THF (100 mL) according to the general procedure. Standard workup afforded **4.8a** (5.62 g, 71 %) as a white solid. Mp 159-160 °C (lit. 163-165 °C).<sup>247</sup>  $^1\text{H}$  NMR (200 MHz, acetone- $d_6$ )  $\delta$ : 10.95 (br s, 1H), 7.77 (dd,  $J$  = 7.9 Hz,  $J$  = 6.2 Hz,  $J$  = 5.0 Hz,  $J$  = 1.7 Hz, 1H), 7.56 (tdd,  $J$  = 8.3 Hz,  $J$  = 7.2 Hz,  $J$  = 1.7 Hz, 1H), 7.31 (m, 1H).  $^{13}\text{C}$  NMR (50 MHz,  $\text{CDCl}_3$ )  $\delta$ : 164.4 (dd,  $J$  = 3.5 Hz,  $J$  = 2.9 Hz), 151.9 (dd,  $J$  = 246.4 Hz,  $J$  = 12.5 Hz), 151.0 (dd,  $J$  = 260.0 Hz,  $J$  = 13.3 Hz), 128.0 (d,  $J$  = 3.7 Hz), 125.3 (dd,  $J$  = 5.1 Hz,  $J$  = 6.9 Hz), 122.3 (dd,  $J$  = 17.4 Hz,  $J$  = 1.1 Hz), 122.0 (d,  $J$  = 7.3 Hz). IR (ATR,  $\text{cm}^{-1}$ ): 3105, 2832, 2670, 2553, 1683, 1625, 1593, 1487, 1419, 1306, 1276, 1237, 1201, 1160, 1072, 945. HRMS calcd for  $\text{C}_7\text{H}_8\text{NO}_2\text{F}_2$  ([M+NH] $_4^+$ ): 176.0523. Found: 176.0532.

<sup>245</sup> Commercial product. CAS : 119-61-9.

<sup>246</sup> Prepared by adding *n*-BuLi (1.40*M* in hexane, 35 mL, 50 mmol) at -75 °C to a suspension of *t*-BuOK (5.6 g, 50 mmol) in dry THF (100 mL).

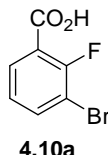
<sup>247</sup> Commercial product. CAS : 4519-39-5.

**3-Chloro-2-fluorobenzoic acid (4.9a)**



3-Chloro-2-fluorobenzoic acid (**4.9a**) was prepared from *n*-BuLi/*t*-BuOK<sup>248</sup> (25 mmol) and 1-chloro-2-fluorobenzene (**4.83**) (2.6 mL, 25 mmol) in dry THF (50 mL) according to the general procedure. Standard workup afforded **4.9a** (3.49 g, 80 %) as a white solid. Mp 163–166 °C (lit. 163–165 °C).<sup>249</sup> <sup>1</sup>H NMR (200 MHz, CDCl<sub>3</sub>) δ: 7.94 (ddd, *J* = 8.0 Hz, *J* = 6.4 Hz, *J* = 1.8 Hz, 1H), 7.66 (ddd, *J* = 8.0 Hz, *J* = 6.6 Hz, *J* = 1.8 Hz, 1H), 7.20 (ddd, *J* = 7.9 Hz, *J* = 3.0 Hz, *J* = 1.2 Hz, 1H). <sup>13</sup>C NMR (50 MHz, DMSO-*d*<sub>6</sub>) δ: 164.1 (d, *J* = 3.7 Hz), 156.3 (d, *J* = 259.1 Hz), 134.5, 130.6 (d, *J* = 1.1 Hz), 125.1 (d, *J* = 5.1 Hz), 121.2 (d, *J* = 6.2 Hz), 121.0 (d, *J* = 1.8 Hz). IR (ATR, cm<sup>-1</sup>): 2839, 2677, 2579, 1677, 1602, 1571, 1455, 1423, 1301, 1244, 1212, 1157, 1132, 1087, 1068, 938. HRMS calcd for C<sub>7</sub>H<sub>4</sub>O<sub>2</sub>FCl ([M]<sup>+</sup>): 173.9884. Found: 173.9891.

**3-Bromo-2-fluorobenzoic acid (4.10a)**



3-Bromo-2-fluorobenzoic acid (**4.10a**) was prepared from LTMP<sup>250</sup> (12 mmol) and 2-bromofluorobenzene (**4.84**) (1.3 mL, 12 mmol) in dry THF (50 mL) according to the general procedure. After 2 h stirring at –78 °C, the reaction mixture was quenched with dry ice and was slowly allowed to warm up to rt overnight. Recrystallization (heptane/diethylether) gave 3-bromo-2-fluorobenzoic acid (**4.10a**) (2.56 g, 97 %) as a white solid. Mp 169–170 °C (lit. 164–166 °C).<sup>217b</sup> <sup>1</sup>H NMR (200 MHz, CDCl<sub>3</sub>) δ: 9.59 (s, 1H), 7.96 (ddd, *J* = 8.2 Hz, *J* = 6.5 Hz, *J* = 1.8 Hz, 1H), 7.77 (ddd, *J* = 7.9 Hz, *J* = 6.1 Hz, *J* = 1.8 Hz, 1H), 7.13 (td, *J* = 7.9 Hz, *J* = 1.0 Hz, 1H). <sup>13</sup>C NMR (50 MHz, acetone-*d*<sub>6</sub>) δ: 164.5 (d, *J* = 3.7 Hz), 158.9 (d, *J* = 258.7 Hz), 138.7 (d, *J* = 0.7 Hz), 132.53 (d, *J* = 0.7 Hz), 126.33 (d, *J* = 5.1 Hz), 121.55 (d, *J* = 11.3 Hz), 110.9 (d, *J* = 22.0 Hz). IR (ATR, cm<sup>-1</sup>): 3089, 2978, 2861, 2643, 1687, 1599, 1446, 1262. HRMS calcd for C<sub>7</sub>H<sub>8</sub>FBrNO<sub>2</sub> ([M+NH<sub>4</sub>]<sup>+</sup>): 235.9722. Found: 235.9720.

<sup>248</sup> Prepared by adding *n*-BuLi (1.50*M* in hexane, 16.7 mL, 25 mmol) at -75 °C to a suspension of *t*-BuOK (2.8 g, 25 mmol) in dry THF (50 mL).

<sup>249</sup> Commercial product. CAS : 161957-55-7.

<sup>250</sup> Prepared by adding *n*-BuLi (1.14*M* in hexane, 10.5 mL, 12 mmol) at -78 °C to a solution of anhydrous 2,2,6,6-tetramethylpiperidin (4.2 mL, 12 mmol) in dry THF (50 mL).

**2,3,6-Trifluorobenzoic acid (4.87)**



2,3,6-Trifluorobenzoic acid (**4.87**) was prepared from *n*-BuLi/*t*-BuOK<sup>251</sup> (15 mmol) and 1,2,5-trifluorobenzene (**4.85**) (1.6 mL, 15 mmol) in dry THF (30 mL) according to the general procedure. Standard workup afforded **4.87** (2.9 g, 83 %) as a white solid. Mp 129-130 °C (lit. 130-131 °C).<sup>252</sup> <sup>1</sup>H NMR (200 MHz, CDCl<sub>3</sub>) δ: 10.26 (s, 1H), 7.34 (tdd, *J* = 9.3 Hz, *J* = 8.4 Hz, *J* = 4.8 Hz, 1H), 6.97 (tdd, *J* = 9.3 Hz, *J* = 3.7 Hz, *J* = 2.2 Hz, 1H). <sup>13</sup>C NMR (100 MHz, DMSO-*d*<sub>6</sub>) δ: 161.4 (d, *J* = 2.7 Hz), 156.5 (ddd, *J* = 250.6 Hz, *J* = 4.8 Hz, *J* = 2.9 Hz), 148.95 (ddd, *J* = 255.8 Hz, *J* = 15.7 Hz, *J* = 7.3 Hz), 147.9 (ddd, *J* = 244.1 Hz, *J* = 12.4 Hz, *J* = 4.0 Hz), 120.7 (ddd, *J* = 19.8 Hz, *J* = 10.2 Hz, *J* = 1.8 Hz), 114.0 (dd, *J* = 20.0 Hz, *J* = 15.0 Hz), 113.1 (ddd, *J* = 24.5 Hz, *J* = 6.6 Hz, *J* = 4.4 Hz). IR (ATR, cm<sup>-1</sup>): 3113, 2991, 2831, 2693, 2586, 1693, 1490, 1296. HRMS calcd for C<sub>7</sub>H<sub>7</sub>F<sub>3</sub>NO<sub>2</sub> ([M+NH<sub>4</sub>]<sup>+</sup>): 194.0429. Found: 194.0427.

**2,4,6-Trifluorobenzoic acid (4.88)**



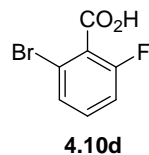
2,4,6-Trifluorobenzoic acid (**4.88**) was prepared from *n*-BuLi (1.34*M* in hexane, 14.9 mL, 20 mmol) and 1,3,5-trifluorobenzene (**4.86**) (2.0 mL, 20 mmol) in dry THF (40 mL) according to the general procedure. Standard workup afforded **4.88** (4.01 g, 99 %) as a yellow solid. Mp 140-142 °C (lit. 142-143 °C).<sup>253</sup> <sup>1</sup>H NMR (200 MHz, CDCl<sub>3</sub>) δ: 6.77 (m, 2H). <sup>13</sup>C NMR (50 MHz, acetone-*d*<sub>6</sub>) δ: 164.95 (td, *J* = 252.1 Hz, *J* = 15.7 Hz), 162.15 (ddd, *J* = 255.4 Hz, *J* = 15.7 Hz, *J* = 9.1 Hz), 161.7 (br s), 109.3 (td, *J* = 19.0 Hz, *J* = 4.7 Hz), 102.0 (ddd, *J* = 27.0 Hz, *J* = 26.3 Hz, *J* = 4.0 Hz). IR (ATR, cm<sup>-1</sup>): 3117, 2982, 2672, 1701, 1614, 1593, 1494, 1280. HRMS calcd for C<sub>7</sub>H<sub>7</sub>F<sub>3</sub>NO<sub>2</sub> ([M+NH<sub>4</sub>]<sup>+</sup>): 194.0429. Found: 194.0430.

<sup>251</sup> Prepared by adding *n*-BuLi (1.34*M* in hexane, 11.2 mL, 15 mmol) at -75 °C to a suspension of *t*-BuOK (1.68 g, 15 mmol) in dry THF (30 mL).

<sup>252</sup> Commercial product. CAS : 2358-29-4.

<sup>253</sup> Commercial product. CAS : 28314-80-9.

**2-Bromo-6-fluorobenzoic acid (4.10d)**



2-Bromo-6-fluorobenzoic acid (**4.10d**) was prepared from LDA<sup>254</sup> (17 mmol) and 3-bromofluorobenzene (1.7 mL, 15.5 mmol) in dry THF (100 mL) according to the general procedure. After 2 h stirring at -78 °C, the reaction mixture was quenched with dry ice. Stirring was maintained at this temperature for 3 h, and the reaction mixture was then allowed to warm up to rt overnight and hydrolyzed with water (100 mL). The organic phase was separated. The aqueous layer was washed with diethylether (2 × 150 mL), acidified with 2M HCl (pH 1-2), and extracted with diethylether (3 × 150 mL). These combined organic layers were dried over MgSO<sub>4</sub>, filtered and concentrated *in vacuo*. Purification of the residue by recrystallization (cyclohexane/ethylacetate) afforded **4.10d** (3.14 g, 93 %) as a white solid. Mp 154-155 °C (lit. 152-154 °C).<sup>217b</sup> <sup>1</sup>H NMR (400 MHz, CDCl<sub>3</sub>) δ: 7.45 (d, *J* = 8.1 Hz, 1H), 7.32 (ddd, *J* = 8.1 Hz, *J* = 8.1 Hz, *J* = 5.6 Hz, 1H), 7.14 (ddd, *J* = 9.1 Hz, *J* = 8.1 Hz, *J* = 1.1 Hz, 1H). <sup>13</sup>C NMR (100 MHz, DMSO-*d*<sub>6</sub>) δ: 164.5, 158.2 (d, *J* = 250.0 Hz), 132.1 (d, *J* = 8.9 Hz), 128.6 (d, *J* = 3.7 Hz), 125.7 (d, *J* = 22.0 Hz), 118.6 (d, *J* = 5.1 Hz), 115.1 (d, *J* = 21.4 Hz). IR (ATR, cm<sup>-1</sup>): 2872, 2665, 1696, 1600, 1449, 1297. HRMS calcd for C<sub>7</sub>H<sub>4</sub>FBrO<sub>2</sub> ([M+NH<sub>4</sub>]<sup>+</sup>): 217.9379. Found: 217.9382.

**7-4- S<sub>N</sub>Ar reactions of 2-fluoro-Z-halobenzoic acids with *p*-methoxyphenylmagnesium bromide (Table 14)**

*General procedure*

To a solution of 2-fluoro-Z-halobenzoic acid (3.0 mmol) in THF (20 mL) was added dropwise *p*-methoxyphenylmagnesium bromide (6.6 mmol) at room temperature. The reaction mixture was refluxed for 24 h, quenched with water at rt (10 mL), acidified to pH 1 (3M HCl) and extracted with ethylacetate (3 × 40 mL). The combined organic layers were dried (MgSO<sub>4</sub>) and concentrated *in vacuo*. The residue was purified by chromatography on silica gel.

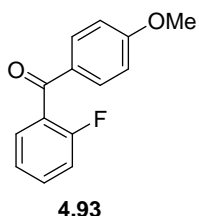
**(2-Fluorophenyl)(4-methoxyphenyl)methanone (4.93) and (2-fluorophenyl)bis(4-methoxyphenyl)methanol (4.97)**

**Table 14, entry 1 (4.1a + 4-MeOC<sub>6</sub>H<sub>4</sub>MgBr)**

According to the general procedure, 2-fluorobenzoic acid (**4.1a**) (420 mg, 3.0 mmol) was allowed to react with 4-methoxyphenylmagnesium bromide (1.22*M* in THF, 5.4 mL, 6.6 mmol). Standard workup and chromatography on silica gel (cyclohexane/ethylacetate 99/1 → 9/1) afforded (2-fluorophenyl)(4methoxyphenyl)methanone (**4.93**) (135 mg, 20 % (NMR yield)) and (2-fluorophenyl)bis(4methoxyphenyl)methanol (**4.97**) (645 mg, 64 %).

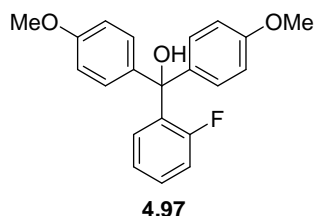
<sup>254</sup> Prepared by adding *n*-BuLi (1.29*M* in hexane, 13.4 mL, 17 mmol) at -78 °C to a solution of anhydrous di-*iso*-propylamine (2.4 mL, 17 mmol) in dry THF (50 mL).

(2-Fluorophenyl)(4-methoxyphenyl)methanone (**4.93**)<sup>238</sup>



<sup>1</sup>H NMR (400 MHz, CDCl<sub>3</sub>) δ: 7.83 (d, *J* = 8.6 Hz, 2H), 7.52-7.47 (m, 2H), 7.25 (m, 1H), 7.15 (t, *J* = 8.6 Hz, 1H), 6.94 (d, *J* = 8.6 Hz, 2H), 3.88 (s, 3H). <sup>13</sup>C NMR (100 MHz, CDCl<sub>3</sub>) δ: 191.8, 163.9, 159.6 (d, *J* = 250.8 Hz), 132.4 (d, *J* = 8.0 Hz), 132.3, 130.3 (d, *J* = 3.2 Hz), 130.1, 127.4 (d, *J* = 16.0 Hz), 124.1 (d, *J* = 3.2 Hz), 116.0 (d, *J* = 22.4 Hz), 113.7, 55.4. IR (ATR, cm<sup>-1</sup>): 2958, 2844, 1657, 1597, 1499, 1483, 1449, 1420, 1316, 1296, 1248, 1175, 1157, 1145, 1101, 1027. HRMS calcd for C<sub>14</sub>H<sub>12</sub>FO<sub>2</sub> ([M+H]<sup>+</sup>): 231.0821. Found: 231.0817.

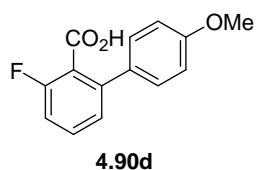
(2-Fluorophenyl)bis(4-methoxyphenyl)methanol (**4.97**)



Orange oil. <sup>1</sup>H NMR (400 MHz, CDCl<sub>3</sub>) δ: 7.28 (m, 1H), 7.17 (d, *J* = 8.8 Hz, 4H), 7.05 (ddd, *J* = 11.0 Hz, *J* = 8.1 Hz, *J* = 1.2 Hz, 1H), 7.01 (td, *J* = 7.6 Hz, *J* = 1.2 Hz, 1H), 6.84 (d, *J* = 9.0 Hz, 4H), 6.8 (td, *J* = 8.1 Hz, *J* = 1.7 Hz, 1H), 3.79 (s, 6H), 3.48 (OH). <sup>13</sup>C NMR (100 MHz, CDCl<sub>3</sub>) δ: 160.5 (d, *J* = 245.5 Hz), 158.4, 137.7, 134.3 (d, *J* = 10.3 Hz), 129.7 (d, *J* = 2.9 Hz), 129.1 (d, *J* = 9.6 Hz), 128.4, 123.2 (d, *J* = 3.7 Hz), 115.7 (d, *J* = 23.6 Hz), 112.8, 80.0, 54.8. IR (ATR, cm<sup>-1</sup>): 3502, 3000, 2916, 2848, 1608, 1582, 1508, 1483, 1463, 1450, 1414, 1298, 1246, 1174, 1161, 1115, 1101, 1031. HRMS calcd for C<sub>21</sub>H<sub>19</sub>FO<sub>3</sub> ([M]<sup>+</sup>): 338.1318. Found: 338.1306.

**3-Fluoro-4'-methoxy-[1,1'-biphenyl]-2-carboxylic acid (**4.90d**)**

Table 14, entry 2 (**4.8d + 4-MeOC<sub>6</sub>H<sub>4</sub>MgBr**)

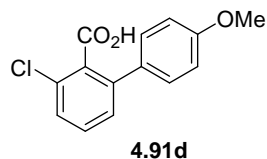


According to the general procedure, 2,6-difluorobenzoic acid (**4.8d**) (474 mg, 3.0 mmol) was allowed to react with 4-methoxyphenylmagnesium bromide (1.58*M* in THF, 4.2 mL, 6.6 mmol). Standard workup and chromatography on silica gel (cyclohexane/ethylacetate 95/5 → 0/1) afforded 3-fluoro-4'-methoxy-[1,1'-biphenyl]-2-

carboxylic acid (**4.90d**) (548 mg, 74 %) as a white solid. Mp 147-149 °C.  $^1\text{H}$  NMR (400 MHz,  $\text{CDCl}_3$ )  $\delta$ : 7.44 (ddd,  $J = 8.3$  Hz,  $J = 8.3$  Hz,  $J = 5.9$  Hz, 1H), 7.34 (d,  $J = 8.0$  Hz, 2H), 7.17 (d,  $J = 7.8$  Hz, 1H), 7.10 (dd,  $J = 9.3$  Hz,  $J = 8.3$  Hz, 1H), 6.94 (d,  $J = 8.0$  Hz, 2H), 3.84 (s, 3H).  $^{13}\text{C}$  NMR (100 MHz,  $\text{CDCl}_3$ )  $\delta$ : 170.7, 159.8 (d,  $J = 252.4$  Hz), 159.6, 142.3 (d,  $J = 2.4$  Hz), 131.6 (d,  $J = 11.2$  Hz), 131.5, 129.5, 125.7 (d,  $J = 3.2$  Hz), 120.5 (d,  $J = 16.0$  Hz), 114.2 (d,  $J = 21.6$  Hz), 114.1, 55.3. IR (ATR,  $\text{cm}^{-1}$ ): 2960, 2838, 2636, 2536, 1691, 1666, 1605, 1569, 1516, 1483, 1438, 1291, 1245, 1177, 1133, 1099, 1038, 1021, 940. HRMS calcd for  $\text{C}_{14}\text{H}_{12}\text{FO}_3$  ([M+H] $^+$ ): 247.0770. Found: 247.0771.

**3-Chloro-4'-methoxy-[1,1'-biphenyl]-2-carboxylic acid (4.91d)**

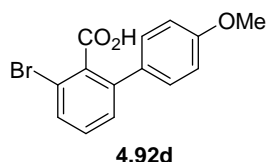
Table 14, entry 3 (**4.9d** + 4-MeOC<sub>6</sub>H<sub>4</sub>MgBr)



According to the general procedure, 2-chloro-6-fluorobenzoic acid (**4.9d**) (574 mg, 3.0 mmol) was allowed to react with 4-methoxyphenylmagnesium bromide (1.42*M* in THF, 4.7 mL, 6.6 mmol). Standard workup and chromatography on silica gel (cyclohexane/ethylacetate 9/1 → 1/1) afforded 3-chloro-4'-methoxy-[1,1'-biphenyl]-2-carboxylic acid (**4.91d**) (512 mg, 65 %) as a beige solid. Mp 142-143 °C.  $^1\text{H}$  NMR (400 MHz,  $\text{CDCl}_3$ )  $\delta$ : 7.41-7.38 (m, 2H), 7.35 (d,  $J = 8.6$  Hz, 2H), 7.28 (m, 1H), 6.93 (d,  $J = 8.8$  Hz, 2H), 3.84 (s, 3H).  $^{13}\text{C}$  NMR (50 MHz,  $\text{CDCl}_3$ )  $\delta$ : 172.6, 159.6, 141.2, 132.0, 131.3, 130.8, 130.5, 129.5, 128.3, 127.9, 114.0, 55.3. IR (ATR,  $\text{cm}^{-1}$ ): 3072, 2966, 2925, 2831, 1696, 1608, 1512, 1447, 1385, 1248, 1177, 1049, 899, 793. HRMS calcd for  $\text{C}_{14}\text{H}_{12}\text{ClO}_3$  ([M+H] $^+$ ): 263.0475. Found: 263.0466.

**3-Bromo-4'-methoxy-[1,1'-biphenyl]-2-carboxylic acid (4.92d)**

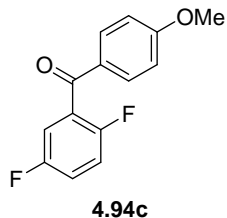
Table 14, entry 4 (**4.10d** + 4-MeOC<sub>6</sub>H<sub>4</sub>MgBr)



According to the general procedure, 2-bromo-6-fluorobenzoic acid (**4.10d**) (426 mg, 2.0 mmol) was allowed to react with 4-methoxyphenylmagnesium bromide (1.13*M* in THF, 3.9 mL, 4.4 mmol). Standard workup and chromatography on silica gel (cyclohexane/ethylacetate 98/2 → 8/2) afforded 3-bromo-4'-methoxy-[1,1'-biphenyl]-2-carboxylic acid (**4.92d**) (398 mg, 65 %) as an orange oil.  $^1\text{H}$  NMR (400 MHz,  $\text{CDCl}_3$ )  $\delta$ : 7.56 (m, 1H), 7.35 (d,  $J = 8.7$  Hz, 2H), 7.32-7.29 (m, 2H), 6.93 (d,  $J = 8.7$  Hz, 2H), 3.83 (s, 3H).  $^{13}\text{C}$  NMR (100 MHz,  $\text{CDCl}_3$ )  $\delta$ : 171.7, 159.6, 141.4, 134.3, 131.5, 131.1, 130.7, 129.6, 128.9, 119.2, 114.1, 55.3. IR (ATR,  $\text{cm}^{-1}$ ): 2930, 2836, 1704, 1608, 1556, 1513, 1439, 1244, 1177, 1150, 1111, 1039, 1023. HRMS calcd for  $\text{C}_{14}\text{H}_{11}\text{O}_3\text{Br}$  ([M] $^+$ ): 305.9892. Found: 305.9883.

**(2,5-Difluorophenyl)(4-methoxyphenyl)methanone (4.94c)**

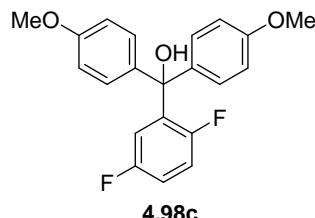
Table 14, entry 5 (4.8c + 4-MeOC<sub>6</sub>H<sub>4</sub>MgBr)



According to the general procedure, 2,5-difluorobenzoic acid (**4.8c**) (474 mg, 3.0 mmol) was allowed to react with 4-methoxyphenylmagnesium bromide (1.44M in THF, 4.6 mL, 6.6 mmol). Standard workup and chromatography on silica gel (cyclohexane/ethylacetate 98/2 → 8/2) afforded (2,5-difluorophenyl)(4-methoxyphenyl)methanone (**4.94c**) as a white solid (117 mg, 16 %). Mp 65-67 °C. <sup>1</sup>H NMR (400 MHz, CDCl<sub>3</sub>) δ: 7.83 (d, *J* = 8.1 Hz, 2H), 7.23-7.10 (m, 3H), 6.96 (d, *J* = 8.8 Hz, 2H), 3.89 (s, 3H). <sup>13</sup>C NMR (50 MHz, CDCl<sub>3</sub>) δ: 190.4, 164.1, 158.3 (dd, *J* = 246.3 Hz, *J* = 3.7 Hz), 155.5 (dd, *J* = 248.5 Hz, *J* = 3.7 Hz), 132.3, 129.5 (d, *J* = 0.7 Hz), 128.5 (dd, *J* = 13.9 Hz, *J* = 11.0 Hz), 118.9 (dd, *J* = 17.6 Hz, *J* = 15.4 Hz), 117.4 (dd, *J* = 18.3 Hz, *J* = 15.0 Hz), 116.6 (dd, *J* = 16.1 Hz, *J* = 12.8 Hz), 113.4, 55.6. IR (ATR, cm<sup>-1</sup>): 3081, 2942, 2840, 1643, 1621, 1595, 1514, 1485, 1468, 1439, 1416, 1319, 1309, 1263, 1199, 1172, 1188, 1120, 1021. HRMS calcd for C<sub>14</sub>H<sub>11</sub>F<sub>2</sub>O<sub>2</sub> ([M+H]<sup>+</sup>): 249.0727. Found: 249.0719.

**(2,5-Difluorophenyl)bis(4-methoxyphenyl)methanol (4.98c)**

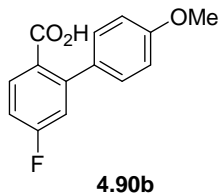
Table 14, entry 5 (4.8c + 4-MeOC<sub>6</sub>H<sub>4</sub>MgBr)



Yellow oil. <sup>1</sup>H NMR (400 MHz, CDCl<sub>3</sub>) δ: 7.17 (d, *J* = 8.8 Hz, 4H), 7.03-6.93 (m, 2H), 6.85 (d, *J* = 8.8 Hz, 4H), 6.61 (m, 1H), 3.81 (s, 6H), 3.37 (OH). <sup>13</sup>C NMR (100 MHz, CDCl<sub>3</sub>) δ: 159.0, 158.1 (dd, *J* = 242.9 Hz, *J* = 2.4 Hz), 156.6 (dd, *J* = 241.3 Hz, *J* = 2.4 Hz), 137.4, 136.5 (dd, *J* = 12.8 Hz, *J* = 6.4 Hz), 128.7, 117.1 (dd, *J* = 26.4 Hz, *J* = 8.8 Hz), 116.9 (dd, *J* = 26.4 Hz, *J* = 4.0 Hz), 115.4 (dd, *J* = 24.0 Hz, *J* = 8.8 Hz), 113.3, 80.1, 55.2. IR (ATR, cm<sup>-1</sup>): 3480, 3002, 2957, 2837, 1608, 1583, 1508, 1481, 1464, 1442, 1416, 1331, 1299, 1245, 1175, 1128, 1116, 1092, 1031. HRMS calcd for C<sub>21</sub>H<sub>18</sub>F<sub>2</sub>O<sub>3</sub> ([M]<sup>+</sup>): 356.1224. Found: 356.1236.

**5-Fluoro-4'-methoxy-[1,1'-biphenyl]-2-carboxylic acid (4.90b)**

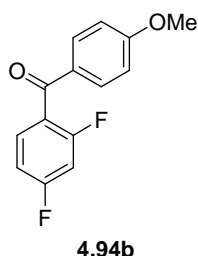
**Table 14, entry 6 (4.8b + 4-MeOC<sub>6</sub>H<sub>4</sub>MgBr)**



According to the general procedure, 2,4-difluorobenzoic acid (**4.8b**) (474 mg, 3.0 mmol) was allowed to react with *p*-methoxyphenylmagnesium bromide (1.30*M* in THF, 5.1 mL, 6.6 mmol). Standard workup and chromatography on silica gel (cyclohexane/ethylacetate 99/1 → 85/15) afforded 5-fluoro-4'-methoxy-[1,1'-biphenyl]-2-carboxylic acid (**4.90b**) (277 mg, 38 %) as a white solid. Mp 147–149 °C. <sup>1</sup>H NMR (400 MHz, CDCl<sub>3</sub>) δ: 7.97 (dd, *J* = 8.6 Hz, *J* = 5.9 Hz, 1H), 7.22 (d, *J* = 8.8 Hz, 2H), 7.09–7.02 (m, 2H), 6.92 (d, *J* = 8.8 Hz, 2H), 3.84 (s, 3H). <sup>13</sup>C NMR (100 MHz, CDCl<sub>3</sub>) δ: 172.5, 164.5 (d, *J* = 254.3 Hz), 159.5, 146.4 (d, *J* = 8.8 Hz), 133.5 (d, *J* = 9.6 Hz), 132.4 (d, *J* = 1.5 Hz), 129.5, 125.3 (d, *J* = 2.9 Hz), 118.2 (d, *J* = 22.1 Hz), 113.8 (d, *J* = 21.4 Hz), 113.7, 55.3. IR (ATR, cm<sup>−1</sup>): 2960, 2838, 2636, 2536, 1691, 1666, 1605, 1569, 1516, 1483, 1438, 1291, 1245, 1177, 1133, 1099, 1038, 1021, 940. HRMS calcd for C<sub>14</sub>H<sub>12</sub>FO<sub>3</sub> ([M + H]<sup>+</sup>): 247.0770. Found: 247.0771.

**(2,4-Difluorophenyl)(4-methoxyphenyl)methanone (4.94b)**

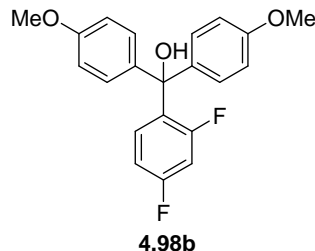
**Table 14, entry 6 (4.8b + 4-MeOC<sub>6</sub>H<sub>4</sub>MgBr)**



Beige oil. <sup>1</sup>H NMR (200 MHz, CDCl<sub>3</sub>) δ: 7.81 (dd, *J* = 9.1 Hz, *J* = 1.4 Hz, 2H), 7.55 (ddd, *J* = 7.8 Hz, *J* = 7.8 Hz, *J* = 6.5 Hz, 1H), 7.04–6.85 (m, 4H), 3.88 (s, 3H). <sup>13</sup>C NMR (100 MHz, CDCl<sub>3</sub>) δ: 190.8, 164.5 (dd, *J* = 254.0 Hz, *J* = 12.0 Hz), 164.0, 160.5 (dd, *J* = 254.8 Hz, *J* = 12.8 Hz), 132.2 (d, *J* = 1.6 Hz), 130.2, 123.8 (dd, *J* = 15.2 Hz, *J* = 4.0 Hz), 113.8, 111.8 (dd, *J* = 21.6 Hz, *J* = 3.2 Hz), 104.5 (t, *J* = 25.6 Hz), 55.6. IR (ATR, cm<sup>−1</sup>): 3071, 2937, 2842, 1643, 1595, 1512, 1493, 1468, 1440, 1420, 1318, 1308, 1292, 1258, 1177, 1145, 1137, 1121, 1092, 1019. HRMS calcd for C<sub>14</sub>H<sub>10</sub>F<sub>2</sub>O<sub>2</sub> ([M]<sup>+</sup>): 248.0649. Found: 249.0651.

**(2,4-Difluorophenyl)bis(4-methoxyphenyl)methanol (4.98b)**

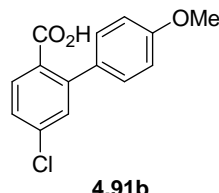
Table 14, entry 6 (4.8b + 4-MeOC<sub>6</sub>H<sub>4</sub>MgBr)



Beige solid. Mp 57-59 °C. <sup>1</sup>H NMR (400 MHz, CDCl<sub>3</sub>) δ: 7.15 (d, *J* = 8.8 Hz, 4H), 6.86-6.77 (m, 6H), 6.74 (ddd, *J* = 9.1 Hz, *J* = 9.1 Hz, *J* = 2.4 Hz, 1H), 3.80 (s, 6H), 3.34 (OH). <sup>13</sup>C NMR (100 MHz, CDCl<sub>3</sub>) δ: 162.4 (dd, *J* = 249.2 Hz, *J* = 12.5 Hz), 160.7 (dd, *J* = 248.4 Hz, *J* = 11.8 Hz), 158.9, 137.9, 131.1-130.9 (m, 2\*C), 128.7, 113.3, 110.4 (dd, *J* = 19.9, *J* = 2.9 Hz), 104.7 (dd, *J* = 26.5 Hz, *J* = 25.8 Hz), 80.1, 55.3. IR (ATR, cm<sup>-1</sup>): 3526, 3078, 2999, 2965, 2841, 1607, 1507, 1497, 1467, 1444, 1423, 1340, 1295, 1284, 1270, 1241, 1231, 1187, 1169, 1155, 1138, 1094, 1026, 1017. HRMS calcd for C<sub>21</sub>H<sub>18</sub>F<sub>2</sub>O<sub>3</sub> ([M]<sup>+</sup>): 356.1224. Found: 356.1210.

**5-Chloro-4'-methoxy-[1,1'-biphenyl]-2-carboxylic acid (4.91b)**

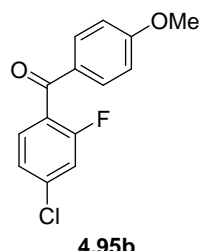
Table 14, entry 7 (4.9b + 4-MeOC<sub>6</sub>H<sub>4</sub>MgBr)



According to the general procedure, 4-chloro-2-fluorobenzoic acid (**4.9b**) (262 mg, 1.5 mmol) was allowed to react with 4-methoxyphenylmagnesium bromide (1.44*M* in THF, 2.3 mL, 3.3 mmol). Standard workup and chromatography on silica gel (cyclohexane/ethylacetate 99/1 → 8/2) afforded 5-chloro-4'-methoxy-[1,1'-biphenyl]-2-carboxylic acid (**4.91b**) (51 mg, 13 %) as a beige solid. Mp 165-168 °C. <sup>1</sup>H NMR (400 MHz, CDCl<sub>3</sub>) δ: 7.87 (d, *J* = 8.7 Hz, 1H), 7.38-7.34 (m, 2H), 7.24 (d, *J* = 8.7 Hz, 2H), 6.91 (d, *J* = 8.7 Hz, 2H), 3.84 (s, 3H). <sup>13</sup>C NMR (100 MHz, CDCl<sub>3</sub>) δ: 172.6, 159.4, 144.9, 138.2, 132.2, 132.0, 131.3, 129.6, 127.0, 113.7, 55.2. IR (ATR, cm<sup>-1</sup>): 2934, 2839, 2508, 1673, 1607, 1588, 1513, 1462, 1438, 1405, 1295, 1241, 1178, 1111, 1037, 1021. HRMS calcd for C<sub>14</sub>H<sub>12</sub>ClO<sub>3</sub> ([M+H]<sup>+</sup>): 263.0475. Found: 263.0468.

**(4-Chloro-2-fluorophenyl)(4-methoxyphenyl)methanone (4.95b)<sup>255</sup>**

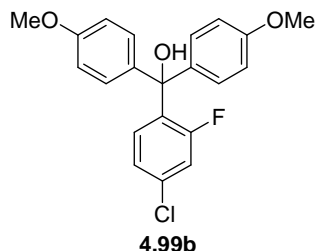
Table 14, entry 7 (4.9b + 4-MeOC<sub>6</sub>H<sub>4</sub>MgBr)



<sup>1</sup>H NMR (400 MHz, CDCl<sub>3</sub>)  $\delta$ : 7.80 (d, *J* = 8.6 Hz, 2H), 7.47 (m, 1H), 7.25 (m, 1H), 7.19 (d, *J* = 9.3 Hz, *J* = 1.7 Hz, 1H), 6.95 (d, *J* = 8.8 Hz, 2H), 3.88 (s, 3H). <sup>13</sup>C NMR (50 MHz, CDCl<sub>3</sub>)  $\delta$ : 190.8, 164.2, 159.8 (d, *J* = 255.0 Hz), 137.9 (d, *J* = 10.2 Hz), 132.3 (d, *J* = 1.5 Hz), 131.5 (d, *J* = 4.4 Hz), 130.0 (d, *J* = 1.1 Hz), 126.1 (d, *J* = 15.4 Hz), 124.9 (d, *J* = 3.7 Hz), 117.0 (d, *J* = 25.6 Hz), 113.9, 55.6. IR (ATR, cm<sup>-1</sup>): 2999, 2925, 2835, 1644, 1598, 1569, 1511, 1479, 1460, 1403, 1318, 1294, 1248, 1212, 1176, 1186, 1151, 1120, 1076. HRMS calcd for C<sub>14</sub>H<sub>11</sub>FO<sub>2</sub>Cl ([M + H]<sup>+</sup>): 265.0432. Found: 265.0431.

**(4-Chloro-2-fluorophenyl)bis(4-methoxyphenyl)methanol (4.99b)**

Table 14, entry 7 (4.9b + 4-MeOC<sub>6</sub>H<sub>4</sub>MgBr)

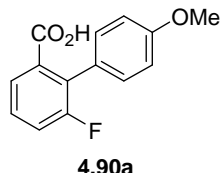


Beige oil. <sup>1</sup>H NMR (400 MHz, CDCl<sub>3</sub>)  $\delta$ : 7.15 (d, *J* = 8.8 Hz, 4H), 7.09 (dd, *J* = 11.5 Hz, *J* = 2.0 Hz, 1H), 7.02 (dd, *J* = 8.3 Hz, *J* = 2.2 Hz, 1H), 6.85 (d, *J* = 8.8 Hz, 4H), 6.81 (dd, *J* = 8.8 Hz, *J* = 8.6 Hz, 1H), 3.77 (s, 6H), 3.30 (OH). <sup>13</sup>C NMR (50 MHz, CDCl<sub>3</sub>)  $\delta$ : 160.4 (d, *J* = 249.2 Hz), 158.8, 137.5, 134.2 (d, *J* = 11.1 Hz), 133.5 (d, *J* = 10.3 Hz), 130.7 (d, *J* = 3.7 Hz), 128.6, 123.8 (d, *J* = 3.7 Hz), 116.8 (d, *J* = 26.5 Hz), 113.2, 79.9, 55.1. IR (ATR, cm<sup>-1</sup>): 3489, 3000, 2917, 2836, 1605, 1583, 1573, 1507, 1481, 1462, 1441, 1402, 1365, 1299, 1245, 1217, 1173, 1156, 1115, 1079, 1031, 1006. HRMS calcd for C<sub>21</sub>H<sub>18</sub>FO<sub>2</sub>Cl ([M]<sup>+</sup>): 372.0929. Found: 372.0940.

<sup>255</sup> Compound 4.95b was isolated as a mixture with 4,4'-dimethoxybiphenyl (ratio 88:12).

**6-Fluoro-4'-methoxy-[1,1'-biphenyl]-2-carboxylic acid (4.90a)**

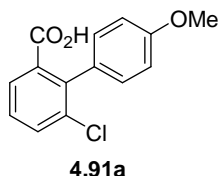
Table 14, entry 8 (4.8a + 4-MeOC<sub>6</sub>H<sub>4</sub>MgBr)



According to the general procedure, 2,3-difluorobenzoic acid (**4.8a**) (316 mg, 2.0 mmol) was allowed to react with 4-methoxyphenylmagnesium bromide (1.30M in THF, 3.4 mL, 4.4 mmol). Standard workup workup and chromatography on silica gel (cyclohexane/ethylacetate 98/2 → 0/1) afforded 6-fluoro-4'-methoxy-[1,1'-biphenyl]-2-carboxylic acid (**4.90a**) (165 mg, 34 %) as a white solid. Mp 135-137 °C. <sup>1</sup>H NMR (400 MHz, CDCl<sub>3</sub>) δ: 7.72 (d, *J* = 7.8 Hz, 1H), 7.37 (ddd, *J* = 8.0 Hz, *J* = 8.0 Hz, *J* = 5.1 Hz, 1H), 7.30 (ddd, *J* = 9.3 Hz, *J* = 8.3 Hz, *J* = 1.2 Hz, 1H), 7.23 (d, *J* = 8.7 Hz, 2H), 6.94 (d, *J* = 8.7 Hz, 2H), 3.84 (s, 3H). <sup>13</sup>C NMR (100 MHz, CDCl<sub>3</sub>) δ: 172.1 (d, *J* = 3.7 Hz), 160.0 (d, *J* = 245.9 Hz), 159.3, 132.0 (d, *J* = 2.9 Hz), 130.6 (d, *J* = 1.5 Hz), 130.2 (d, *J* = 17.7 Hz), 128.4 (d, *J* = 8.8 Hz), 126.2 (d, *J* = 3.7 Hz), 125.5, 119.6 (d, *J* = 23.8 Hz), 113.5, 55.2. IR (ATR, cm<sup>-1</sup>): 2962, 1702, 1603, 1573, 1514, 1449, 1409, 1278, 1239, 1175, 1034, 1020. HRMS calcd for C<sub>14</sub>H<sub>12</sub>FO<sub>3</sub> ([M+H]<sup>+</sup>): 247.0770. Found: 247.0770.

**6-Chloro-4'-methoxy-[1,1'-biphenyl]-2-carboxylic acid (4.91a)**

Table 14, entry 9 (4.9a + 4-MeOC<sub>6</sub>H<sub>4</sub>MgBr)

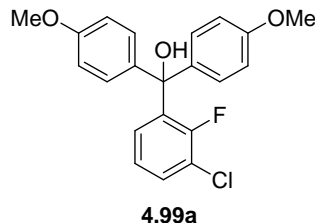


According to the general procedure, 3-chloro-2-fluorobenzoic acid (**4.9a**) (349 mg, 2.0 mmol) was allowed to react with 4-methoxyphenylmagnesium bromide (1.13M in THF, 3.9 mL, 4.4 mmol). Standard workup workup and chromatography on silica gel (cyclohexane/ethylacetate 98/2 → 8/2) afforded 6-chloro-4'-methoxy-[1,1'-biphenyl]-2-carboxylic acid (**4.91a**) (185 mg, 35 %) as a beige solid. Mp 132-134 °C (litt. 137-139). <sup>256</sup> <sup>1</sup>H NMR (200 MHz, CDCl<sub>3</sub>) δ: 7.82 (dd, *J* = 7.8 Hz, *J* = 1.3 Hz, 1H), 7.64 (dd, *J* = 8.0 Hz, *J* = 1.3 Hz, 1H), 7.35 (dd, *J* = 7.8 Hz, *J* = 8.0 Hz, 1H), 7.16 (d, *J* = 8.8 Hz, 2H), 6.94 (d, *J* = 8.8 Hz, 2H), 3.86 (s, 3H). <sup>13</sup>C NMR (100 MHz, CDCl<sub>3</sub>) δ: 172.5, 159.0, 140.8, 135.3, 133.2, 132.5, 130.1, 129.8, 128.6, 128.1, 113.4, 55.1. IR (ATR, cm<sup>-1</sup>): 2827, 2537, 1698, 1610, 1584, 1512, 1454, 1432, 1404, 1288, 1261, 1236, 1175, 1036, 1020, 906. HRMS calcd for C<sub>14</sub>H<sub>12</sub>ClO<sub>3</sub> ([M+H]<sup>+</sup>): 263.0475. Found: 263.0480.

<sup>256</sup> Castanet, A.-S.; Tilly, D.; Véron, J. B.; Samanta, S. S.; De, A.; Ganguly, T.; Mortier, J. *Tetrahedron* **2008**, 64, 3331.

**(3-Chloro-2-fluorophenyl)bis(4-methoxyphenyl)methanol (4.99a)**

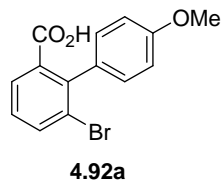
**Table 14, entry 9 (4.9a + 4-MeOC<sub>6</sub>H<sub>4</sub>MgBr)**



Brown oil. <sup>1</sup>H NMR (400 MHz, CDCl<sub>3</sub>)  $\delta$ : 7.35 (ddd, *J* = 8.0 Hz, *J* = 6.9 Hz, *J* = 1.7 Hz, 1H), 7.16 (d, *J* = 8.8 Hz, 4H), 6.96 (ddd, *J* = 8.0 Hz, *J* = 8.0 Hz, *J* = 1.0 Hz, 1H), 6.85 (d, *J* = 8.8 Hz, 4H), 6.77 (ddd, *J* = 7.6 Hz, *J* = 7.6 Hz, *J* = 1.7 Hz, 1H), 3.80 (s, 6H), 3.34 (OH). <sup>13</sup>C NMR (50 MHz, CDCl<sub>3</sub>)  $\delta$ : 159.0, 156.3 (d, *J* = 257.6 Hz), 137.6, 136.6 (d, *J* = 10.3 Hz), 130.2, 128.8, 128.5 (d, *J* = 2.9 Hz), 124.0 (d, *J* = 4.4 Hz), 122.0 (d, *J* = 19.0 Hz), 113.5, 80.5, 55.3. IR (ATR, cm<sup>-1</sup>): 3484, 3002, 2935, 2836, 1607, 1583, 1508, 1449, 1365, 1297, 1245, 1174, 1115, 1030. HRMS calcd for C<sub>21</sub>H<sub>18</sub>FO<sub>3</sub>Cl ([M]<sup>+</sup>): 372.0929. Found: 372.0933.

**6-Bromo-4'-methoxy-[1,1'-biphenyl]-2-carboxylic acid (4.92a)**

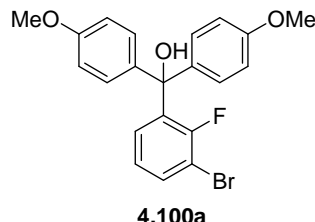
**Table 14, entry 10 (4.10a + MeOC<sub>6</sub>H<sub>4</sub>MgBr)**



According to the general procedure, 3-bromo-2-fluorobenzoic acid (**4.10a**) (426 mg, 2.0 mmol) was allowed to react with 4-methoxyphenylmagnesium bromide (1.39*M* in THF, 3.2 mL, 4.4 mmol). Standard workup and chromatography on silica gel (cyclohexane/ethylacetate 98/2 → 0/1) afforded 6-bromo-4'-methoxy-[1,1'-biphenyl]-2-carboxylic acid (**4.92a**) (50 mg, 8 % (NMR yield)) as an orange oil. <sup>1</sup>H NMR (200 MHz, CDCl<sub>3</sub>)  $\delta$ : 7.86 (m, 2H), 7.26 (t, *J* = 8.2 Hz, 1H), 7.13 (d, *J* = 8.8 Hz, 2H), 6.94 (d, *J* = 8.9 Hz, 2H), 3.85 (s, 3H). IR (ATR, cm<sup>-1</sup>): 2953, 2931, 2832, 2532, 1702, 1681, 1610, 1512, 1452, 1428, 1403, 1288, 1258, 1236, 1175, 1035, 915. HRMS calcd for C<sub>14</sub>H<sub>12</sub>BrO<sub>3</sub> ([M+H]<sup>+</sup>): 306.9970. Found: 306.9973.

**(3-Bromo-2-fluorophenyl)bis(4-methoxyphenyl)methanol (4.100a)**

**Table 14, entry 10 (4.10a + 4-MeOC<sub>6</sub>H<sub>4</sub>MgBr)**



Brown oil. <sup>1</sup>H NMR (400 MHz, CDCl<sub>3</sub>)  $\delta$ : 7.50 (ddd, *J* = 8.0 Hz, *J* = 6.6 Hz, *J* = 1.7 Hz, 1H), 7.16 (d, *J* = 9.0 Hz, 4H), 7.91 (ddd, *J* = 7.8 Hz, *J* = 7.8 Hz, *J* = 0.7 Hz, 1H), 6.85 (d, *J* = 9.0 Hz, 4H), 6.80 (ddd, *J* = 7.8 Hz, *J* = 7.8 Hz, *J* = 1.7 Hz, 1H), 3.81 (s, 6H), 3.35 (OH). <sup>13</sup>C NMR (100 MHz, CDCl<sub>3</sub>)  $\delta$ : 158.8, 156.8 (d, *J* = 246.9 Hz), 137.4, 136.4 (d, *J* = 11.8 Hz), 132.9, 129.1 (d, *J* = 3.0 Hz), 128.6, 124.3 (d, *J* = 4.4 Hz), 113.2, 109.9 (d, *J* = 22.1 Hz), 80.3, 55.1. IR (ATR, cm<sup>-1</sup>): 3557, 3029, 2958, 2928, 2838, 1605, 1585, 1507, 1441, 1413, 1321, 1294, 1253, 1239, 1223, 1182, 1168, 1131, 1119, 1027, 1018. HRMS calcd for C<sub>21</sub>H<sub>18</sub>O<sub>3</sub>FBr ([M]<sup>+</sup>): 416.0423. Found: 416.0405.

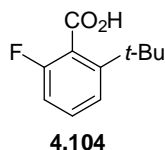
**7-5- S<sub>N</sub>Ar reactions of 2,6-difluorobenzoic acid (4.8d) with *p*-methoxyphenyllithium (Table 15)**

*General procedure*

To a stirred solution of *p*-bromoanisole (*n* equiv.) in dry THF (15 mL) at -T °C was added dropwise the alkylolithium (*n'* equiv.). The reaction mixture was stirred at this temperature for 30 minutes then the *p*-methoxyphenyllithium was added to a solution of 2,6-difluorobenzoic acid (4.8d) (3.0 mmol, 1 equiv.) in dry THF (5 mL) at -T' °C. After t h stirring at this temperature, the reaction mixture was quenched with water (5 mL), acidified with 3*M* HCl (pH 1) and extracted with ethylacetate (3 × 40 mL). The combined organic layers were dried (MgSO<sub>4</sub>) and concentrated *in vacuo*. The residue was purified by chromatography on silica gel (cyclohexane/ethylacetate).

**2-*tert*-Butyl-6-fluoro-benzoic acid (4.104)**

**Table 15, entry 2**



To a stirred solution of *p*-bromoanisole (2.2 equiv.) in dry THF (15 mL) at -50 °C was added dropwise *t*-BuLi (4.4 equiv.). The reaction mixture was stirred at this temperature for 1 h then the *p*-methoxyphenyllithium was added to a solution of 2,6-difluorobenzoic acid (4.8d) (3.0 mmol, 1 equiv.) in dry THF (5 mL) at -50 °C. The reaction mixture was allowed to warm up to 0 °C and stirred at this temperature for 2 h. The reaction mixture was quenched with

water (10 mL). The aqueous layer was acidified (pH 1) with 2M HCl and was extracted with ethylacetate ( $3 \times 50$  mL). The combined organic layers were dried over MgSO<sub>4</sub>, and concentrated in vacuo to afford 2-*tert*-butyl-6-fluorobenzoic acid (**4.104**) (469 mg, 80 %) as a beige solid. Mp 103-106 °C. <sup>1</sup>H NMR (400 MHz, CDCl<sub>3</sub>)  $\delta$ : 7.34 (ddd,  $J = 8.3$  Hz,  $J = 8.3$  Hz,  $J = 6.4$  Hz, 1H), 7.27 (m, 1H), 7.00 (ddd,  $J = 8.8$  Hz,  $J = 7.8$  Hz,  $J = 1.0$  Hz, 1H), 1.45 (s, 9H). <sup>13</sup>C NMR (50 MHz, CDCl<sub>3</sub>)  $\delta$ : 174.1 (d,  $J = 2.6$  Hz), 159.7 (d,  $J = 246.4$  Hz), 149.5 (d,  $J = 1.5$  Hz), 130.6 (d,  $J = 9.0$  Hz), 122.5 (d,  $J = 2.9$  Hz), 120.9 (d,  $J = 17.6$  Hz), 112.9 (d,  $J = 21.6$  Hz), 36.4 (d,  $J = 1.8$  Hz), 31.4. IR (ATR, cm<sup>-1</sup>): 2969, 2871, 2639, 1693, 1613, 1575, 1477, 1454, 1398, 1366, 1293, 1268, 1248, 1120, 1071, 938. HRMS calcd for C<sub>11</sub>H<sub>13</sub>FO<sub>2</sub> ([M]<sup>+</sup>): 196.0900. Found: 196.0896.

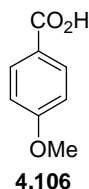
### 3-Fluoro-4'-methoxy-[1,1'-biphenyl]-2-carboxylic acid

**Table 15, entry 5**

To a stirred solution of *p*-bromoanisole (0.82 mL, 6.6 mmol) in dry THF (15 mL) at -78 °C was added dropwise *t*-BuLi (1.23*M* in hexane, 5.4 mL, 6.6 mmol). The reaction mixture was stirred at this temperature for 30 minutes then the *p*-methoxyphenyllithium was added to a solution of 2,6-difluorobenzoic acid (**4.8d**) (474 mg, 3.0 mmol) in dry THF (5 mL) at -30 °C. After 24 h stirring at this temperature, the reaction mixture was quenched with water (10 mL). Standard work-up and chromatography on silica gel afforded 3-fluoro-4'-methoxy-[1,1'-biphenyl]-2-carboxylic acid (673 mg, 91 %).

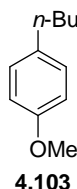
### Isolated side-products

#### 4-Methoxybenzoic acid (**4.106**)<sup>257</sup>



<sup>1</sup>H NMR (200 MHz, CDCl<sub>3</sub>)  $\delta$ : 8.07 (d,  $J = 8.9$  Hz, 2H), 6.95 (d,  $J = 8.9$  Hz, 2H), 3.88 (s, 3H).

#### 1-(*n*-Butyl)-4-methoxybenzene (**4.103**)<sup>258</sup>

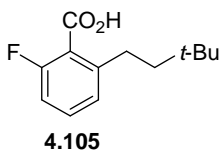


<sup>1</sup>H NMR (400 MHz, CDCl<sub>3</sub>)  $\delta$ : 7.08 (d,  $J = 8.7$  Hz, 2H), 6.81 (d,  $J = 8.7$  Hz, 2H), 3.78 (s, 3H), 2.55 (t,  $J = 7.7$  Hz, 2H), 1.56 (m, 2H), 1.38 (m, 2H), 0.92 (t,  $J = 7.3$  Hz, 3H).

<sup>257</sup> Commercial product. CAS : 100-09-4.

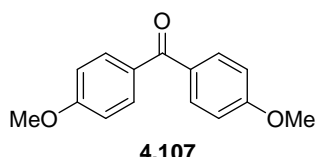
<sup>258</sup> Inés, B.; Moreno, I.; Sanmartín, R.; Domínguez, E. *J. Org. Chem.* **2008**, 73 (21), 8448.

**2-(3,3-Dimethylbutyl)-6-fluorobenzoic acid (4.105)**



White solid. Mp 102-103 °C.  $^1\text{H}$  NMR (200 MHz,  $\text{CDCl}_3$ )  $\delta$ : 11.0 (s, 1H), 7.35 (ddd,  $J = 8.2$  Hz,  $J = 7.8$  Hz,  $J = 5.6$  Hz, 1H), 7.06-6.92 (m, 2H), 2.81-2.72 (m, 2H), 1.55-1.42 (m, 2H), 0.96 (s, 9H).  $^{13}\text{C}$  NMR (50 MHz, Acetone- $d_6$ )  $\delta$ : 172.1, 160.4 (d,  $J = 252.9$  Hz), 145.1 (d,  $J = 1.5$  Hz), 132.2 (d,  $J = 9.2$  Hz), 125.6 (d,  $J = 3.0$  Hz), 120 (d,  $J = 14.3$  Hz), 113.4 (d,  $J = 21.6$  Hz), 46.4, 30.7, 30.2, 29.4 (d,  $J = 2.2$  Hz), 29.3, 27.0. IR (ATR,  $\text{cm}^{-1}$ ): 2959, 2909, 2867, 2811, 2672, 1693, 1618, 1575, 1461, 1408, 1298, 1262, 1125, 1068, 1047, 1013. HRMS calcd for  $\text{C}_{13}\text{H}_{18}\text{FO}_2$  ( $[\text{M}+\text{H}]^+$ ): 225.1291. Found: 225.1291.

**Bis(4-methoxyphenyl)methanone (4.107)<sup>259</sup>**



$^1\text{H}$  NMR (200 MHz,  $\text{CDCl}_3$ )  $\delta$ : 7.79 (d,  $J = 8.8$  Hz, 4H), 6.96 (d,  $J = 9.0$  Hz, 4H), 3.89 (s, 6H).  $^{13}\text{C}$  NMR (50 MHz,  $\text{CDCl}_3$ )  $\delta$ : 194.9, 163.0, 132.4, 130.6, 113.5, 55.5.

**7-6- S<sub>N</sub>Ar reactions of 2,6-difluorobenzoic acid (4.8d), 2-chloro-6-fluorobenzoic acid (4.9d) and trifluorobenzoic acids 4.87 and 4.88 – Synthesis of 3-halo-[1,1'-biphenyl]-2-carboxylic acids 4.115-4.125**

**General procedure with Grignard reagents**

To a solution of 2-fluorohalobenzoic acid (3.0 mmol) in THF (20 mL) was added dropwise *p*-methoxyphenylmagnesium bromide (6.6 mmol) at room temperature. The reaction mixture was refluxed for 24 h, quenched with water at rt (10 mL), acidified to pH 1 (3*M* HCl) and extracted with ethylacetate (3 × 40 mL). The combined organic layers were dried ( $\text{MgSO}_4$ ) and concentrated *in vacuo*. The residue was purified by chromatography on silica gel.

**General procedure with organolithium**

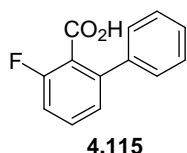
To a stirred solution of *p*-bromoanisole (n equiv.) in dry THF (15 mL) at  $-T$  °C was added dropwise the alkylolithium (n' equiv.). The reaction mixture was stirred at this temperature for 30 minutes then the aryllithium was added to a solution of 2-fluorobenzoic acid (3.0 mmol, 1 equiv.) in dry THF (5 mL) at  $-T'$  °C. After 24 h stirring at this temperature, the reaction mixture was quenched with water (5 mL), acidified with 3*M* HCl (pH 1) and extracted with ethylacetate (3 × 40 mL). The combined organic layers were dried ( $\text{MgSO}_4$ )

<sup>259</sup> Ishiyama, T.; Hartwig, J. *J. Am. Chem. Soc.* **2000**, 122 (48), 12043.

and concentrated *in vacuo*. The residue was purified by chromatography on silica gel (cyclohexane/ethylacetate).

**3-Fluoro-[1,1'-biphenyl]-2-carboxylic acid (4.115)**

Table 16, entries 3 et 4



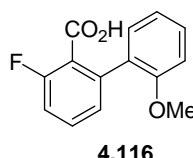
According to the general procedure, 2,6-difluorobenzoic acid (**4.8d**) (316 mg, 2.0 mmol) was allowed to react with phenylmagnesium bromide (1.13*M* in THF, 3.9 mL, 4.4 mmol). Standard workup and chromatography on silica gel (cyclohexane/ethylacetate 99/1 → 9/1) afforded 3-fluoro-[1,1'-biphenyl]-2-carboxylic acid (**4.115**) (293 mg, 68 %) as a white solid.

Alternatively, 2,6-difluorobenzoic acid (**4.8d**) (474 mg, 3.0 mmol) was allowed to react with phenyllithium (9.0 mmol) at 0 °C for 24 h. Standard workup afforded 3-fluoro-[1,1'-biphenyl]-2-carboxylic acid (**4.115**) (584 mg, 90 %).

Mp 122.5–125 °C.  $^1\text{H}$  NMR (400 MHz,  $\text{CDCl}_3$ )  $\delta$ : 7.46 (td,  $J = 8.3 \text{ Hz}, J = 5.6 \text{ Hz}$ , 1H), 7.40–7.38 (m, 5H), 7.19 (d,  $J = 7.8 \text{ Hz}$ , 1H), 7.13 (td,  $J = 9.5 \text{ Hz}, J = 8.6 \text{ Hz}$ , 1H).  $^{13}\text{C}$  NMR (100 MHz,  $\text{CDCl}_3$ )  $\delta$ : 171.2, 159.9 (d,  $J = 252.4 \text{ Hz}$ ), 142.8 (d,  $J = 2.4 \text{ Hz}$ ), 139.0 (d,  $J = 2.4 \text{ Hz}$ ), 131.8 (d,  $J = 8.8 \text{ Hz}$ ), 128.5, 128.2, 128.1, 125.8 (d,  $J = 3.2 \text{ Hz}$ ), 120.4 (d,  $J = 16.0 \text{ Hz}$ ), 114.7 (d,  $J = 21.6 \text{ Hz}$ ). IR (ATR,  $\text{cm}^{-1}$ ): 2860, 2654, 1690, 1612, 1567, 1460, 1401, 1293, 1267, 1238. HRMS calcd for  $\text{C}_{13}\text{H}_9\text{FO}_2$  ([M] $^+$ ): 216.0587. Found: 216.0587.

**3-Fluoro-2'-methoxy-[1,1'-biphenyl]-2-carboxylic acid (4.116)**

Table 16, entry 6

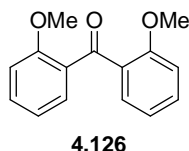


According to the general procedure, 2,6-difluorobenzoic acid (**4.8d**) (316 mg, 2.0 mmol) was allowed to react with 2-methoxyphenyllithium (6.0 mmol). Stirring was maintained at 0 °C for 24 h. Standard workup and chromatography on silica gel (cyclohexane/ethylacetate 99/1 → 8/2) afforded 3-fluoro-2'-methoxy-[1,1'-biphenyl]-2-carboxylic acid (**4.116**) (188 mg, 38 %) as a brown oil.  $^1\text{H}$  NMR (400 MHz,  $\text{CDCl}_3$ )  $\delta$ : 7.46 (ddd,  $J = 8.3 \text{ Hz}, J = 8.3 \text{ Hz}, J = 5.6 \text{ Hz}$ , 1H), 7.34 (ddd,  $J = 8.1 \text{ Hz}, J = 7.3 \text{ Hz}, J = 1.7 \text{ Hz}$ , 1H), 7.25 (dd,  $J = 7.3 \text{ Hz}, J = 1.7 \text{ Hz}$ , 1H), 7.14–7.09 (m, 2H), 7.01 (ddd,  $J = 7.6 \text{ Hz}, J = 1.2 \text{ Hz}, J = 1.0 \text{ Hz}$ , 1H), 6.89 (d,  $J = 8.1 \text{ Hz}$ , 1H), 3.72 (s, 3H).  $^{13}\text{C}$  NMR (100 MHz,  $\text{CDCl}_3$ )  $\delta$ : 168.2, 159.0 (d,  $J = 253.2 \text{ Hz}$ ), 155.0, 138.8 (d,  $J = 2.4 \text{ Hz}$ ), 130.7 (d,  $J = 9.6 \text{ Hz}$ ), 129.3, 128.5, 127.3 (d,  $J = 2.4 \text{ Hz}$ ), 125.7 (d,  $J = 3.2 \text{ Hz}$ ), 120.2 (d,  $J = 14.4 \text{ Hz}$ ), 119.8, 113.8 (d,  $J$

$\delta = 22.4$  Hz), 109.6, 53.9. IR (ATR,  $\text{cm}^{-1}$ ): 2967, 2932, 2871, 1725, 1602, 1583, 1570, 1498, 1457, 1433, 1376, 1274, 1241, 1081. HRMS calcd for  $\text{C}_{14}\text{H}_{12}\text{FO}_3$  ( $[\text{M}+\text{H}]^+$ ): 247.0770. Found: 247.0765.

**Bis(2-methoxyphenyl)methanone (4.126)**

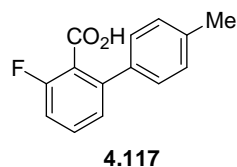
Table 16, entry 6



Brown oil.  $^1\text{H}$  RMN (400 MHz,  $\text{CDCl}_3$ )  $\delta$ : 7.51 (dd,  $J = 7.6$  Hz,  $J = 1.7$  Hz, 2H), 7.43 (ddd,  $J = 8.3$  Hz,  $J = 7.3$  Hz,  $J = 1.7$  Hz, 2H), 6.99 (td,  $J = 7.6$  Hz,  $J = 1.0$  Hz, 2H), 6.91 (d,  $J = 8.6$  Hz, 2H), 3.66 (s, 3H).  $^{13}\text{C}$  NMR (100 MHz,  $\text{CDCl}_3$ )  $\delta$ : 194.4, 157.1, 131.4, 129.2, 128.9, 119.1, 110.2, 54.4. IR (ATR,  $\text{cm}^{-1}$ ): 2938, 2835, 1650, 1599, 1581, 1485, 1462, 1434, 1309, 1281, 1247, 1165, 1117, 1107, 1049, 1018. HRMS calcd for  $\text{C}_{15}\text{H}_{15}\text{O}_3$  ( $[\text{M}+\text{H}]^+$ ): 243.1021. Found: 243.1024.

**3-Fluoro-4'-methyl-[1,1'-biphenyl]-2-carboxylic acid (4.117)**

Table 16, entries 7 et 8



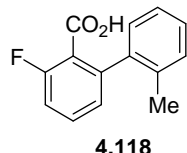
According to the general procedure, 2,6-difluorobenzoic acid (**4.8d**) (474 mg, 3.0 mmol) was allowed to react with 4-methylphenylmagnesium bromide (1.47M in THF, 4.5 mL, 6.6 mmol). Standard workup afforded 3-fluoro-4'-methyl-[1,1'-biphenyl]-2-carboxylic acid (**4.117**) (167 mg, 24 % (55 % (NMR yield)) as a white solid.

Alternatively, 2,6-difluorobenzoic acid (**4.8d**) (474 mg, 3.0 mmol) was allowed to react with 4-methylphenyllithium (9.0 mmol). Stirring was maintained at 0 °C for 24 h. Standard workup and chromatography on silica gel (cyclohexane/ethylacetate 99/1 → 8/2) afforded 3-fluoro-4'-methyl-[1,1'-biphenyl]-2-carboxylic acid (**4.117**) (540 mg, 78 %).

Mp 104–109 °C.  $^1\text{H}$  NMR (400 MHz,  $\text{CDCl}_3$ )  $\delta$ : 9.8 (br s, 1H), 7.41 (ddd,  $J = 8.1$  Hz,  $J = 8.1$  Hz,  $J = 5.6$  Hz, 1H), 7.28 (d,  $J = 8.1$  Hz, 2H), 7.20–7.14 (m, 3H), 7.08 (td,  $J = 8.6$  Hz,  $J = 1.0$  Hz, 1H), 2.37 (s, 3H).  $^{13}\text{C}$  NMR (100 MHz,  $\text{CDCl}_3$ )  $\delta$ : 171.1, 159.9 (d,  $J = 252.1$  Hz), 142.8 (d,  $J = 2.2$  Hz), 138.0, 136.2 (d,  $J = 2.2$  Hz), 131.7 (d,  $J = 8.8$  Hz), 129.4, 128.2, 125.8 (d,  $J = 2.9$  Hz), 120.4, 114.5 (d,  $J = 21.4$  Hz), 21.3. IR (ATR,  $\text{cm}^{-1}$ ): 2920, 2656, 1702, 1613, 1564, 1459, 1401, 1294, 1238, 1091, 925. HRMS calcd for  $\text{C}_{14}\text{H}_{11}\text{FO}_2$  ( $[\text{M}]^+$ ): 230.0743. Found: 230.0752.

**3-Fluoro-2'-methyl-[1,1'-biphenyl]-2-carboxylic acid (4.118)**

Table 16, entries 9 et 10



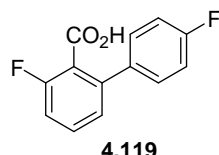
According to the general procedure, 2,6-difluorobenzoic acid (**4.8d**) (474 mg, 3.0 mmol) was allowed to react with 2-methylphenylmagnesium bromide (1.1*M* in THF, 6.0 mL, 6.6 mmol). Standard workup afforded 3-fluoro-2'-methyl-[1,1'-biphenyl]-2-carboxylic acid (**4.118**) (379 mg, 53 %) as a white solid.

Alternatively, 2,6-difluorobenzoic acid (**4.8d**) (474 mg, 3.0 mmol) was allowed to react with 2-methylphenyllithium (9.0 mmol). Stirring was maintained at 0 °C for 24 h. Standard workup and chromatography on silica gel (cyclohexane/ethylacetate 99/1 → 8/2) afforded 3-fluoro-2'-methyl-[1,1'-biphenyl]-2-carboxylic acid (**4.118**) (679 mg, 96 %).

Mp 113-119 °C.  $^1\text{H}$  NMR (400 MHz,  $\text{CDCl}_3$ )  $\delta$ : 9.9 (br s, 1H), 7.43 (dd, ,  $J = 8.1$  Hz, ,  $J = 8.1$  Hz,  $J = 5.4$  Hz, 1H), 7.26-7.07 (m, 5H), 7.01 (d,  $J = 8.1$  Hz, 2H), 2.10 (s, 3H).  $^{13}\text{C}$  NMR (50 MHz,  $\text{CDCl}_3$ )  $\delta$ : 170.8, 160.1 (d,  $J = 253.9$  Hz), 143.2 (d,  $J = 1.8$  Hz), 138.7 (d,  $J = 2.2$  Hz), 135.8, 131.8 (d,  $J = 9.1$  Hz), 130.1, 129.0, 128.2, 126.2 (d,  $J = 3.3$  Hz), 125.5, 120.8 (d,  $J = 14.3$  Hz), 114.9 (d,  $J = 21.6$  Hz), 20.1. IR (ATR,  $\text{cm}^{-1}$ ): 2933, 2651, 2570, 1693, 1614, 1573, 1463, 1408, 1299, 1273, 1241, 1120, 1089. HRMS calcd for  $\text{C}_{14}\text{H}_{12}\text{FO}_2$  ( $[\text{M}+\text{H}]^+$ ): 231.0821. Found: 231.0823.

**3,4'-Difluoro-[1,1'-biphenyl]-2-carboxylic acid (4.119)**

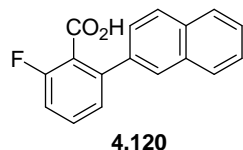
Table 16, entry 11



According to the general procedure, 2,6-difluorobenzoic acid (**4.8d**) (474 mg, 3.0 mmol) was allowed to react with 4-fluorophenylmagnesium bromide (1.30*M* in THF, 5.1 mL, 6.6 mmol). Stirring was maintained at reflux for 24 h. Standard workup and chromatography on silica gel (cyclohexane/ethylacetate 99/1 → 9/1) afforded 3,4'-difluoro-[1,1'-biphenyl]-2-carboxylic acid (**4.119**) (313 mg, 44 %) as beige solid. Mp 120-122 °C.  $^1\text{H}$  NMR (400 MHz,  $\text{CDCl}_3$ )  $\delta$ : 7.47 (ddd,  $J = 8.6$  Hz,  $J = 5.6$  Hz,  $J = 5.4$  Hz, 1H), 7.35 (dd,  $J = 8.8$  Hz,  $J = 5.4$  Hz, 2H), 7.17-7.07 (m, 4H).  $^{13}\text{C}$  NMR (100 MHz,  $\text{CDCl}_3$ )  $\delta$ : 171.1, 162.7 (d,  $J = 247.7$  Hz), 159.8 (d,  $J = 252.4$  Hz), 141.7 (d,  $J = 2.4$  Hz), 135.0 (dd,  $J = 3.9$  Hz,  $J = 2.4$  Hz), 131.8 (d,  $J = 9.6$  Hz), 130.0 (d,  $J = 8.0$  Hz), 125.7 (d,  $J = 3.2$  Hz), 120.2 (d,  $J = 15.2$  Hz), 115.5 (d,  $J = 21.6$  Hz), 114.9 (d,  $J = 21.6$  Hz). IR (ATR,  $\text{cm}^{-1}$ ): 3019, 2868, 2652, 2545, 1689, 1605, 1573, 1510, 1462, 1429, 1410, 1398, 1280, 1237, 1219, 1158, 1129, 1088. HRMS calcd for  $\text{C}_{13}\text{H}_9\text{F}_2\text{O}_2$  ( $[\text{M}+\text{H}]^+$ ): 235.0571. Found: 235.0578.

**2-Fluoro-6-naphthalen-2-yl-benzoic acid (4.120)**

**Table 16, entries 12 et 13**



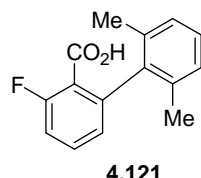
According to the general procedure, 2,6-difluorobenzoic acid (**4.8d**) (474 mg, 3.0 mmol) was allowed to react with 2-naphthylmagnesium bromide (1.53M in THF, 4.3 mL, 6.6 mmol). Stirring was maintained at reflux for 24 h. Standard workup and chromatography on silica gel (cyclohexane/ethylacetate 99/1 → 9/1) afforded 2-fluoro-6-naphthalen-2-yl-benzoic acid (**4.120**) (233 mg, 29 %) (80 % NMR yield) as beige solid.

Alternatively, 2,6-difluorobenzoic acid (**4.8d**) (474 mg, 3.0 mmol) was allowed to react with 2-naphthyllithium (9.0 mmol) at 0 °C for 24 h. Standard workup afforded 2-fluoro-6-naphthalen-2-yl-benzoic acid (**4.120**) (85 mg, 11 % (NMR yield 44 %)).

Mp 119-121 °C.  $^1\text{H}$  NMR (200 MHz,  $\text{CDCl}_3$ )  $\delta$  7.86-7.75 (m, 4H), 7.54-7.44 (m, 4H), 7.28 (dd,  $J = 7.8$  Hz,  $J = 0.9$  Hz, 1H), 7.15 (ddd,  $J = 9.4$  Hz,  $J = 8.3$  Hz,  $J = 1.1$  Hz, 1H).  $^{13}\text{C}$  NMR (100 MHz,  $\text{CDCl}_3$ )  $\delta$  170.6, 159.9 (d,  $J = 252.4$  Hz), 142.7 (d,  $J = 2.4$  Hz), 136.5 (d,  $J = 2.4$  Hz), 133.2, 132.8, 131.7 (d,  $J = 9.6$  Hz), 128.2, 128.1, 127.7, 127.3, 126.5, 126.4, 126.2, 126.0 (d,  $J = 3.2$  Hz), 120.6 (d,  $J = 16.0$  Hz), 114.7 (d,  $J = 21.6$  Hz). IR (ATR,  $\text{cm}^{-1}$ ): 3054, 2906, 2652, 1702, 1613, 1598, 1573, 1458, 1395, 1295, 1259, 1240. HRMS calcd for  $\text{C}_{17}\text{H}_{11}\text{FO}_2$  ([M] $^+$ ): 266.0743. Found: 266.0731.

**3-Fluoro-2',6'-dimethyl-[1,1'-biphenyl]-2-carboxylic acid (4.121)**

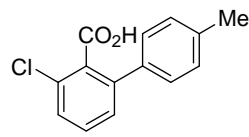
**Table 16, entry 14**



According to the general procedure, 2,6-difluorobenzoic acid (**4.8d**) (474 mg, 3.0 mmol) was allowed to react with 2,6-dimethylphenyllithium (9.0 mmol). Stirring was maintained at 0 °C for 24 h. Standard workup and chromatography on silica gel (cyclohexane/ethylacetate 98/2 → 9/1) afforded 3-fluoro-2',6'-dimethyl-[1,1'-biphenyl]-2-carboxylic acid (**4.121**) (454 mg, 62 %) as a white solid. Mp 158-160 °C.  $^1\text{H}$  NMR (400 MHz,  $\text{CDCl}_3$ )  $\delta$  7.49 (ddd,  $J = 8.3$  Hz,  $J = 7.8$  Hz,  $J = 5.6$  Hz, 1H), 7.18-7.12 (m, 2H), 7.06 (d,  $J = 7.6$  Hz), 6.95 (dd,  $J = 7.6$  Hz,  $J = 1.0$  Hz), 1.98 (s, 6H).  $^{13}\text{C}$  NMR (50 MHz,  $\text{CDCl}_3$ )  $\delta$  169.8, 160.3 (d,  $J = 243.3$  Hz), 142.4 (d,  $J = 2.2$  Hz), 138.2 (d,  $J = 1.5$  Hz), 136.0, 132.2 (d,  $J = 8.8$  Hz), 127.8, 127.1, 125.7 (d,  $J = 3.7$  Hz), 120.6 (d,  $J = 14.7$  Hz), 114.7 (d,  $J = 22.1$  Hz), 20.4. IR (ATR,  $\text{cm}^{-1}$ ): 3055, 2923, 2856, 2656, 2537, 1693, 1611, 1573, 1462, 1291, 1128, 896, 769. HRMS calcd for  $\text{C}_{15}\text{H}_{14}\text{FO}_2$  ([M+H] $^+$ ): 245.0978. Found: 245.0970.

**3-Chloro-4'-methyl-[1,1'-biphenyl]-2-carboxylic acid (4.122)**

Table 16, entry 17

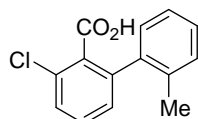


4.122

According to the general procedure, 2-chloro-6-fluorobenzoic acid (**4.9d**) (350 mg, 2.0 mmol) was allowed to react with 4-methylphenyllithium (6.0 mmol). Stirring was maintained at 0 °C for 24 h. Standard workup and chromatography on silica gel (cyclohexane/ethylacetate 98/2 → 6/4) afforded 3-chloro-4'-methyl-[1,1'-biphenyl]-2-carboxylic acid (**4.122**) (260 mg, 53 %) as a white solid. Mp 149–152 °C. <sup>1</sup>H NMR (400 MHz, CDCl<sub>3</sub>) δ: 7.41–7.39 (m, 2H), 7.32 (d, J = 8.3 Hz, 2H), 7.29 (dd, J = 6.1 Hz, J = 2.7 Hz, 1H), 7.21 (d, J = 8.3 Hz, 2H), 2.40 (s, 3H). <sup>13</sup>C NMR (100 MHz, CDCl<sub>3</sub>) δ: 172.7, 141.7, 138.0, 136.1, 132.0, 130.9, 130.6, 129.3, 128.3, 128.2, 128.1, 21.2. IR (ATR, cm<sup>-1</sup>): 3028, 2925, 2655, 2551, 1698, 1592, 1558, 1515, 1457, 1443, 1393, 1288, 1191, 1157, 1129, 1043, 928. HRMS calcd for C<sub>14</sub>H<sub>11</sub>ClO<sub>2</sub> ([M]<sup>+</sup>): 246.0448. Found: 246.0445.

**3-Chloro-2'-methyl-[1,1'-biphenyl]-2-carboxylic acid (4.123)**

Table 16, entry 18

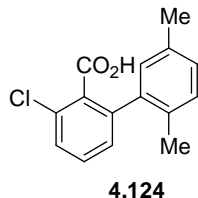


4.123

According to the general procedure, 2-chloro-6-fluorobenzoic acid (**4.9d**) (350 mg, 2.0 mmol) was allowed to react with 2-methylphenyllithium (6.0 mmol). Stirring was maintained at 0 °C for 24 h. Standard workup and chromatography on silica gel (cyclohexane/ethylacetate 98/2 → 8/2) afforded 3-chloro-2'-methyl-[1,1'-biphenyl]-2-carboxylic acid (**4.123**) (288 mg, 59 %) as a white solid. Mp 120–122 °C. <sup>1</sup>H NMR (400 MHz, CDCl<sub>3</sub>) δ: 7.43–7.36 (m, 2H), 7.30–7.22 (m, 2H), 7.19–7.12 (m, 3H), 2.11 (s, 3H). <sup>13</sup>C NMR (100 MHz, CDCl<sub>3</sub>) δ: 171.9, 141.4, 138.1, 136.0, 132.7, 130.7, 130.2, 130.0, 129.2, 128.4, 128.3, 128.2, 125.4, 20.0. IR (ATR, cm<sup>-1</sup>): 3021, 2925, 2642, 2542, 1697, 1605, 1565, 1491, 1457, 1440, 1387, 1286, 1187, 1156, 1130, 1051. HRMS calcd for C<sub>14</sub>H<sub>11</sub>ClO<sub>2</sub> ([M]<sup>+</sup>): 246.0448. Found: 246.0461.

**3-Chloro-2',5'-dimethyl-[1,1'-biphenyl]-2-carboxylic acid (4.124)**

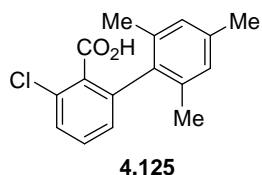
Table 16, entry 19



According to the general procedure, 2-chloro-6-fluorobenzoic acid (**4.9d**) (574 mg, 3.0 mmol) was allowed to react with 2,5-dimethylphenyllithium (9.0 mmol). Stirring was maintained at 0 °C for 24 h. Standard workup and chromatography on silica gel (cyclohexane/ethylacetate 99/1 → 9/1) afforded 3-chloro-2',5'-dimethyl-[1,1'-biphenyl]-2-carboxylic acid (**4.124**) (665 mg, 85 %) as a beige solid. Mp 115–118 °C. <sup>1</sup>H NMR (400 MHz, CDCl<sub>3</sub>) δ: 7.42–7.34 (m, 2H), 7.13 (dd, J = 7.3 Hz, J = 1.5 Hz, 1H), 7.11–7.06 (m, 2H), 6.95 (s, 1H), 2.29 (s, 3H), 2.06 (s, 3H). <sup>13</sup>C NMR (100 MHz, CDCl<sub>3</sub>) δ: 171.7, 141.6, 138.0, 134.8, 132.8, 132.7, 130.6, 130.2, 129.9, 129.0, 128.4, 128.1, 20.8, 19.5. IR (ATR, cm<sup>-1</sup>): 2921, 2858, 2644, 1698, 1592, 1562, 1499, 1462, 1446, 1402, 1381, 1300, 1175, 1155, 1141, 1123. HRMS calcd for C<sub>15</sub>H<sub>14</sub>ClO<sub>2</sub> ([M+H]<sup>+</sup>): 261.0682. Found: 261.0680.

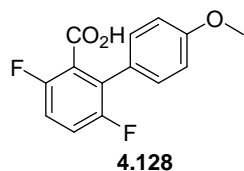
**3-Chloro-2',4',6'-trimethyl-[1,1'-biphenyl]-2-carboxylic acid (4.125)**

Table 16, entry 20



According to the general procedure, 2-chloro-6-fluorobenzoic acid (**4.9d**) (350 mg, 2.0 mmol) was allowed to react with 2,4,6-trimethylphenyllithium (6.0 mmol). Stirring was maintained at 0 °C for 24 h. Standard workup and chromatography on silica gel (cyclohexane/ethylacetate 99/1) afforded 3-chloro-2',4',6'-trimethyl-[1,1'-biphenyl]-2-carboxylic acid (**4.125**) (50 mg, 9 %) as a white solid. Mp 201–204 °C. <sup>1</sup>H NMR (400 MHz, CDCl<sub>3</sub>) δ: 7.42–7.40 (m, 2H), 7.05 (dd, J = 5.6 Hz, J = 3.2 Hz, 1H), 6.89 (s, 2H), 2.32 (s, 3H), 1.96 (s, 3H). <sup>13</sup>C NMR (100 MHz, CDCl<sub>3</sub>) δ: 171.3, 140.8, 137.6, 136.4, 134.9, 133.0, 130.8, 128.3, 128.1, 128.0, 21.1, 20.3. IR (ATR, cm<sup>-1</sup>): 2921, 2853, 1699, 1611, 1590, 1562, 1459, 1443, 1397, 1376, 1292, 1189; 1153, 1126, 1036. HRMS calcd for C<sub>16</sub>H<sub>15</sub>ClO<sub>2</sub> ([M]<sup>+</sup>): 274.0761. Found: 274.0784.

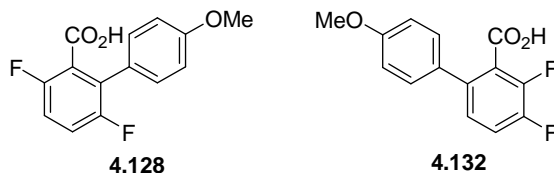
**3,6-Difluoro-4'-methoxy-[1,1'-biphenyl]-2-carboxylic acid (4.128)**



According to the general procedure, 2,3,6-trifluorobenzoic acid (**4.87**) (528 mg, 3.0 mmol) was allowed to react with 4-methoxyphenylmagnesium bromide (1.10*M* in THF, 6.0 mL, 6.6 mmol). Stirring was maintained at reflux for 24 h. Standard workup and chromatography on silica gel (cyclohexane/ethylacetate 98/2 → 0/1) afforded 3,6-difluoro-4'-methoxy-[1,1'-biphenyl]-2-carboxylic acid (**4.128**) (436 mg, 83 %) as a white solid. Mp 130–132 °C.  $^1\text{H}$  NMR (400 MHz,  $\text{CDCl}_3$ )  $\delta$ : 7.30 (d,  $J = 8.8$  Hz, 2H), 7.19 (ddd,  $J = 9.0$  Hz,  $J = 9.0$  Hz,  $J = 4.4$  Hz, 1H), 7.07 (ddd,  $J = 9.0$  Hz,  $J = 9.0$  Hz,  $J = 3.9$  Hz, 1H), 6.90 (d,  $J = 8.8$  Hz, 2H), 3.85 (s, 3H).  $^{13}\text{C}$  NMR (50 MHz,  $\text{CDCl}_3$ )  $\delta$ : 169.4 (d,  $J = 2.9$  Hz), 159.8, 155.6 (dd,  $J = 249.1$  Hz,  $J = 2.9$  Hz), 155.6 (dd,  $J = 243.3$  Hz,  $J = 2.9$  Hz), 130.6, 129.2 (dd,  $J = 19.9$  Hz,  $J = 2.9$  Hz), 122.3 (dd,  $J = 17.7$  Hz,  $J = 2.2$  Hz), 124.3 (d,  $J = 1.5$  Hz), 118.7 (dd,  $J = 25.8$  Hz,  $J = 8.8$  Hz), 115.7 (dd,  $J = 13.6$  Hz,  $J = 8.1$  Hz), 114.0, 55.3.  $^{19}\text{F}$  NMR (188 MHz,  $\text{CDCl}_3$ )  $\delta$ : -44.7 (ddd,  $J_{F-F} = 17.3$  Hz,  $J_{F-H} = 8.0$  Hz,  $J_{F-H} = 4.6$  Hz, 1F), -45.7 (ddd,  $J_{F-F} = 17.3$  Hz,  $J_{F-H} = 9.2$  Hz,  $J_{F-H} = 3.4$  Hz, 1F). IR (ATR,  $\text{cm}^{-1}$ ): 2921, 1705, 1609, 1581, 1517, 1468, 1365, 1247, 1178, 1165, 1085, 1029. HRMS calcd for  $\text{C}_{14}\text{H}_{10}\text{FO}_3$  ( $[\text{M}]^+$ ): 264.0598. Found: 264.0625.

**Structure determination of *ipso*-substituted product**

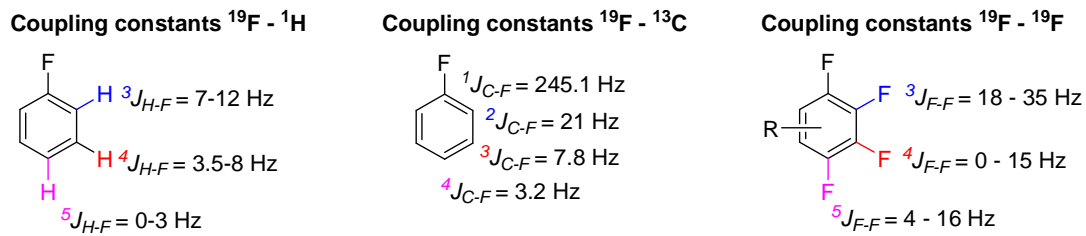
Theoretically two structures (**4.128** and **4.132**) are possible for the *ipso*-substituted product (Figure 26) :



**Figure 26. Possible structures of *ipso*-substituted product synthesized by reaction of **4.87** with **4-MeOC<sub>6</sub>H<sub>4</sub>MgBr****

It is not so trivial to identify the structure of the *ipso*-substituted product from its  $^1\text{H}$ ,  $^{13}\text{C}$  and  $^{19}\text{F}$  NMR spectra. Usual values for  $^{19}\text{F}$ - $^1\text{H}$ ,  $^{19}\text{F}$ - $^{13}\text{C}$  and  $^{19}\text{F}$ - $^{19}\text{F}$  coupling constants are shown in Figure 27.<sup>260</sup>

<sup>260</sup> Pretsch, E.; Bühlmann, P.; Affolter, C. *Structure determination of Organic Compounds*; Springer-Verlag Berlin, 2000.



**Figure 27.**  $^{19}\text{F}$ - $^1\text{H}$ ,  $^{19}\text{F}$ - $^{13}\text{C}$  and  $^{19}\text{F}$ - $^{19}\text{F}$  coupling constants of fluorobenzene derivatives

Analysis of the structures **4.128** and **4.132** indicates that theoretical  $^{19}\text{F}$  NMR spectra of these compounds show different  $^{19}\text{F}$ - $^1\text{H}$  and  $^{19}\text{F}$ - $^{19}\text{F}$  coupling constants (Table 17).

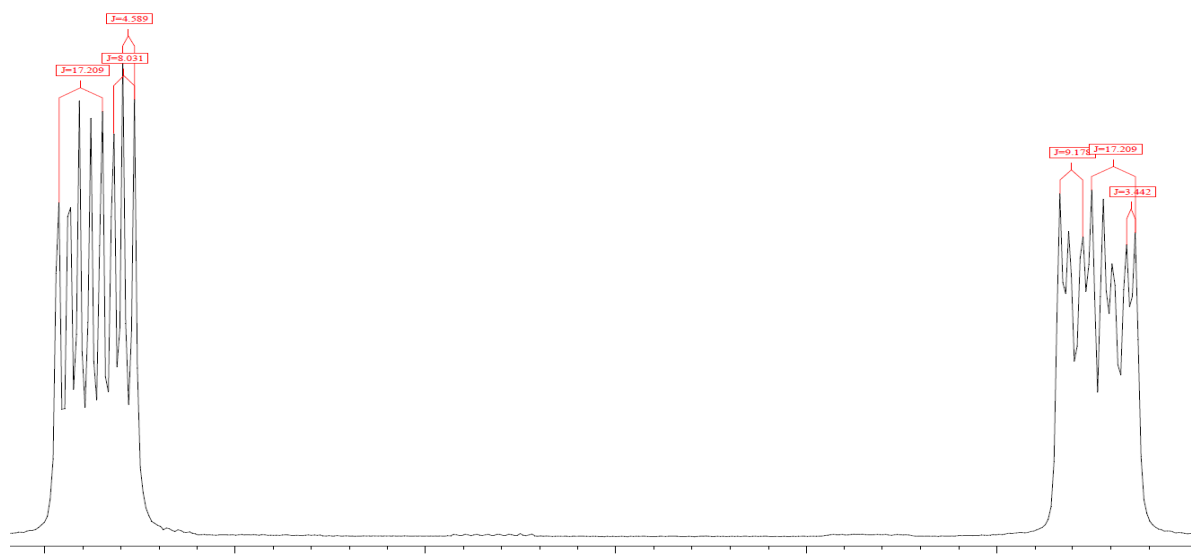
**Table 17. Theoretical  $^{19}\text{F}$ - $^1\text{H}$  and  $^{19}\text{F}$ - $^{19}\text{F}$  coupling constants for biphenyls **4.128** and **4.132****

Structure	Fluor	Expected multiplicity, coupling constants
 <b>4.128</b>	- $\text{F}_\text{A}$	ddd, $^5J_{F-F} = 4-16 \text{ Hz}$ , $^3J_{H-F} = 7-12 \text{ Hz}$ , $^4J_{H-F} = 3.5-8 \text{ Hz}$
	- $\text{F}_\text{B}$	ddd, $^5J_{F-F} = 4-16 \text{ Hz}$ , $^3J_{H-F} = 7-12 \text{ Hz}$ , $^4J_{H-F} = 3.5-8 \text{ Hz}$
 <b>4.132</b>	- $\text{F}_\text{A}$	ddd, $^3J_{F-F} = 18-35 \text{ Hz}$ , $^4J_{H-F} = 3.5-8 \text{ Hz}$ , $^5J_{H-F} = 0-3 \text{ Hz}$
	- $\text{F}_\text{B}$	ddd, $^3J_{F-F} = 18-35 \text{ Hz}$ , $^3J_{H-F} = 7-12 \text{ Hz}$ , $^4J_{H-F} = 3.5-8 \text{ Hz}$

$^{19}\text{F}$  NMR spectrum of the *ipso*-substituted compound is shown in Figure 28. It reveals two signals at -44.7 ppm and -45.7 ppm:

$$\delta = -44.7 \text{ ppm, ddd, } J_{F-F} = 17.3 \text{ Hz, } J_{F-H} = 8.0 \text{ Hz, } J_{F-H} = 4.6 \text{ Hz}$$

$$\delta = -45.7 \text{ ppm, ddd, } J_{F-F} = 17.3 \text{ Hz, } J_{F-H} = 9.2 \text{ Hz, } J_{F-H} = 3.4 \text{ Hz,}$$


 Figure 28.  $^{19}\text{F}$  NMR spectrum (400MHz- $\text{CDCl}_3$ )

The measured coupling constant  $^{19}\text{F}$ - $^{19}\text{F}$  (17.3 Hz) doesn't allow an unambiguous structure elucidation of the *ipso*-substituted product. It is also difficult to give any conclusion from  $J_{F-H}$  values, although the measured values seem to be closer to those of **4.128** than those of **4.132**.

Theoretical  $^{13}\text{C}$  NMR spectra of **4.128** and **4.132** also show differences, especially for some aromatic carbons (Table 18).<sup>260</sup>

 Table 18. Theoretical  $^{13}\text{C}$ - $^{19}\text{F}$  coupling constants for biphenyls **4.128** and **4.132**

Structure	Carbon	Expected multiplicity, coupling constants
<b>4.128</b>	$-\text{C}_{\textcolor{blue}{1}}$	dd, $^2J_{\text{C-F}} = 21$ Hz, $^3J_{\text{C-F}} = 7.8$ Hz
	$-\text{C}_{\textcolor{blue}{4}}$	dd, $^2J_{\text{C-F}} = 21$ Hz, $^3J_{\text{C-F}} = 7.8$ Hz
	$-\text{C}_{\textcolor{blue}{5}}$	dd, $^2J_{\text{C-F}} = 21$ Hz, $^3J_{\text{C-F}} = 7.8$ Hz
<b>4.132</b>	$-\text{C}_{\textcolor{blue}{1}}$	dd, $^3J_{\text{C-F}} = 7.8$ Hz, $^4J_{\text{C-F}} = 3.2$ Hz
	$-\text{C}_{\textcolor{blue}{5}}$	dd, $^2J_{\text{C-F}} = 21$ Hz, $^3J_{\text{C-F}} = 7.8$ Hz
	$-\text{C}_{\textcolor{blue}{6}}$	dd, $^3J_{\text{C-F}} = 7.8$ Hz, $^4J_{\text{C-F}} = 3.2$ Hz

$^{13}\text{C}$  NMR spectrum of the *ipso*-substituted product show the following these characteristic signals.<sup>261</sup>

$\delta = 129.2$  ppm, dd,  $J_{\text{C-F}} = 19.9$  Hz,  $J = 2.9$  Hz ( $\text{C}_{\textcolor{blue}{1}}$ )

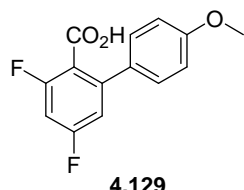
<sup>261</sup> Identified by analysis of HMBC and HSQC 2D NMR.

$\delta = 118.7$  ppm, dd,  $J_{C-F} = 25.8$  Hz,  $J_{C-F} = 8.8$  Hz (CH)

$\delta = 115.7$  ppm, dd,  $J_{C-F} = 13.6$  Hz,  $J_{C-F} = 8.1$  Hz (CH)

On the basis of the above spectral feature, the *ipso*-substituted compound was identified as 3,6-difluoro-2-(4-methoxyphenyl)benzoic acid (**4.128**). It would be interesting to confirm this conclusion with a X-ray diffraction.

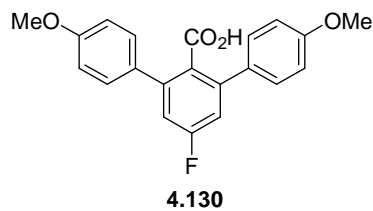
#### **4,6-Difluoro-4'-methoxy-[1,1'-biphenyl]-2-carboxylic acid (4.129)**



According to the general procedure, 2,4,6-trifluorobenzoic acid (**4.88**) (390 mg, 2.0 mmol) was allowed to react with 4-methoxyphenylmagnesium bromide (1.40*M* in THF, 3.8 mL, 4.0 mmol). Stirring was maintained at reflux for 24 h. Standard workup and chromatography on silica gel (cyclohexane/ethylacetate 98/2 → 85/15) afforded 4,6-difluoro-4'-methoxy-[1,1'-biphenyl]-2-carboxylic acid (**4.129**) (207 mg, 39 % (NMR yield 88 %))<sup>262</sup> as a white solid. Mp 130–132 °C.  $^1\text{H}$  NMR (400 MHz,  $\text{CDCl}_3$ )  $\delta$ : 7.30 (d,  $J = 8.8$  Hz, 2H), 6.94–6.82 (m, 4H), 3.84 (s, 3H).  $^{13}\text{C}$  NMR (50 MHz,  $\text{CDCl}_3$ )  $\delta$ : 170.6, 163.5 (dd,  $J = 253.2$  Hz,  $J = 13.2$  Hz), 160.8 (dd,  $J = 255.0$  Hz,  $J = 13.2$  Hz), 160.0, 144.5 (dd,  $J = 10.2$  Hz,  $J = 3.7$  Hz), 130.6 (dd,  $J = 2.6$  Hz,  $J = 2.2$  Hz), 129.4, 116.6 (dd,  $J = 15.4$  Hz,  $J = 3.7$  Hz), 114.2, 113.1 (dd,  $J = 21.9$  Hz,  $J = 3.7$  Hz), 102.8 (dd,  $J = 26.0$  Hz,  $J = 26.0$  Hz), 55.3. IR (ATR,  $\text{cm}^{-1}$ ): 2917, 2654, 2537, 1698, 1607, 1590, 1517, 1432, 1396, 1345, 1294, 1279, 1247, 1208, 1180, 1128, 1030. HRMS calcd for  $\text{C}_{14}\text{H}_{10}\text{FO}_3$  ([M] $^+$ ): 264.0598. Found: 264.0620.

#### 7-7- Synthesis of terphenyls

#### **5-Fluoro-4,4''-di-methoxy-[1,1':3',1''-terphenyl]-2-carboxylic acid (4.130)**

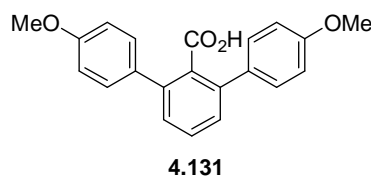


To a solution of 2,4,6-trifluorobenzoic acid (**4.88**) (390 mg, 2.0 mmol) in THF (20 mL) was added dropwise *p*-methoxyphenylmagnesium bromide (1.35*M* in THF, 5.9 mL, 8.0 mmol) at rt. The reaction mixture was refluxed for 24 h, quenched with water at rt (10 mL), acidified to pH 1 (3*M* HCl) and extracted with ethylacetate (3 × 40 mL). The combined organic layers were dried ( $\text{MgSO}_4$ ) and concentrated *in vacuo*. The residue was purified by

<sup>262</sup> **4.129** could not be separated with 4-fluoro-2,6-di(methoxyphenyl)benzoic acid **4.130**.

chromatography on silica gel (cyclohexane/ethylacetate 98/2 → 1/1) to afford 5-fluoro-4,4''-di-methoxy-[1,1':3',1''-terphenyl]-2-carboxylic acid (**4.130**) (542 mg, 77 %) as a yellow solid. Mp 194–196 °C.  $^1\text{H}$  NMR (400 MHz,  $\text{CDCl}_3$ )  $\delta$ : 9.5 (s, 1H), 7.34 (d,  $J$  = 8.7 Hz, 4H), 7.02 (d,  $J$  = 9.3 Hz, 2H), 6.92 (d,  $J$  = 8.7 Hz, 4H), 3.84 (s, 6H).  $^{13}\text{C}$  NMR (100 MHz, acetone- $d_6$ )  $\delta$ : 169.0, 161.8 (d,  $J$  = 246.9 Hz), 159.5, 141.9 (d,  $J$  = 8.1 Hz), 131.7 (d,  $J$  = 1.5 Hz), 130.2 (d,  $J$  = 3 Hz), 129.5, 114.7 (d,  $J$  = 22 Hz), 113.5, 54.6. IR (ATR,  $\text{cm}^{-1}$ ): 2938, 2833, 2639, 1704, 1608, 1590, 1513, 1428, 1393, 1296, 1251, 1177, 1162, 1110, 1031. HRMS calcd for  $\text{C}_{21}\text{H}_{18}\text{FO}_4$  ([M+H] $^+$ ): 353.1189. Found: 353.1182.

**4,4''-di-methoxy-[1,1':3',1''-terphenyl]-2-carboxylic acid (4.131)**



To a stirred solution of *p*-bromoanisole (0.57 mL, 4.53 mmol) in dry THF (12 mL) at –78 °C was added dropwise *t*-BuLi (7.25 mL, 9.06 mmol). The reaction mixture was stirred at this temperature for 30 minutes then the aryllithium was added to a solution of 3-fluoro-4'-methoxy-[1,1'-biphenyl]-2-carboxylic acid (**4.90d**) (508 mg, 2.1 mmol) in THF (15 mL) at 0 °C. After 24 h stirring at this temperature, the reaction mixture was quenched with water (5 mL), acidified with 3*M* HCl (pH 1) and extracted with ethylacetate (3 × 40 mL), the combined organic layers were dried ( $\text{MgSO}_4$ ) and concentrated *in vacuo*. The residue was purified by chromatography on silica gel (cyclohexane/ethylacetate 8/2 → 1/1) to afford 4,4''-di-methoxy-[1,1':3',1''-terphenyl]-2-carboxylic acid (**4.131**) (336 mg, 49 %) as a white solid.

Alternatively, 3-fluoro-4'-methoxy-[1,1'-biphenyl]-2-carboxylic acid (**4.90d**) (504 mg, 2.0 mmol) was allowed to react with *p*-methoxyphenylmagnesium bromide (1.49*M* in THF, 3.0 mL, 4.4 mmol). Stirring was maintained at reflux for 24 h. Standard workup afforded 4,4''-di-methoxy-[1,1':3',1''-terphenyl]-2-carboxylic acid (**4.131**) (312 mg, 45 %).

Mp 139–141 °C.  $^1\text{H}$  NMR (400 MHz,  $\text{CDCl}_3$ )  $\delta$ : 7.55–7.29 (m, 7H), 6.92 (d,  $J$  = 8.8 Hz, 1H), 3.83 (s, 6H).  $^{13}\text{C}$  NMR (50 MHz,  $\text{CDCl}_3$ )  $\delta$ : 174.6, 159.1, 139.7, 132.7, 131.7, 129.5, 129.4, 128.6, 113.7, 55.2. IR (ATR,  $\text{cm}^{-1}$ ): 3068, 3003, 2978, 2929, 2830, 2652, 2537, 1703, 1609, 1514, 1449, 1295, 1247, 1180, 1032. HRMS calcd for  $\text{C}_{21}\text{H}_{18}\text{O}_4$  ([M] $^+$ ): 334.1205. Found: 334.1204.



# Conclusion générale

Dans le cadre d'un projet général concernant l'étude de la réactivité des acides benzoïques non protégés avec les organométalliques polaires, la synthèse totale d'analogues structuraux de l'apogossypol mettant en jeu des réactions de métallation aromatique a été étudiée ainsi que la réaction de substitution nucléophile aromatique des acides benzoïques *ortho*-fluorés et *ortho*-méthoxylés.

Le gossypol, ( $1,1',6,6',7,7'$ -hexahydroxy- $5,5'$ -di-*iso*-propyl- $3,3'$ -diméthyl- $2,2'$ -binaphthalène- $8,8'$ -dicarboxaldéhyde), pigment principal des graines de coton, existe sous la forme de deux atropoisomères et possède de multiples applications pharmaceutiques. Il est notamment un inhibiteur efficace des protéines anti-apoptotiques de la famille Bcl-2. Le gossypol déformylé ou apogossypol présente des propriétés similaires mais est plus stable, plus sélectif et moins毒. Une méthode permettant de remplacer les groupes *iso*-propyles du gossypol par des groupes structurellement proches a été mise au point. La stratégie retenue met à profit les compétences du laboratoire dans le domaine des réactions de métallation et repose sur la lithiation latérale de l'acide 4-hydroxy-6,7-diméthoxy-8-méthyl-2-naphtoïque par le tétraméthylpipéridure de lithium. Divers dérivés  $5,5'$ -didés-*iso*-propyl- $5,5'$ -dialkylapogossypol racémiques ont été préparés selon cette méthode (Schéma 113).

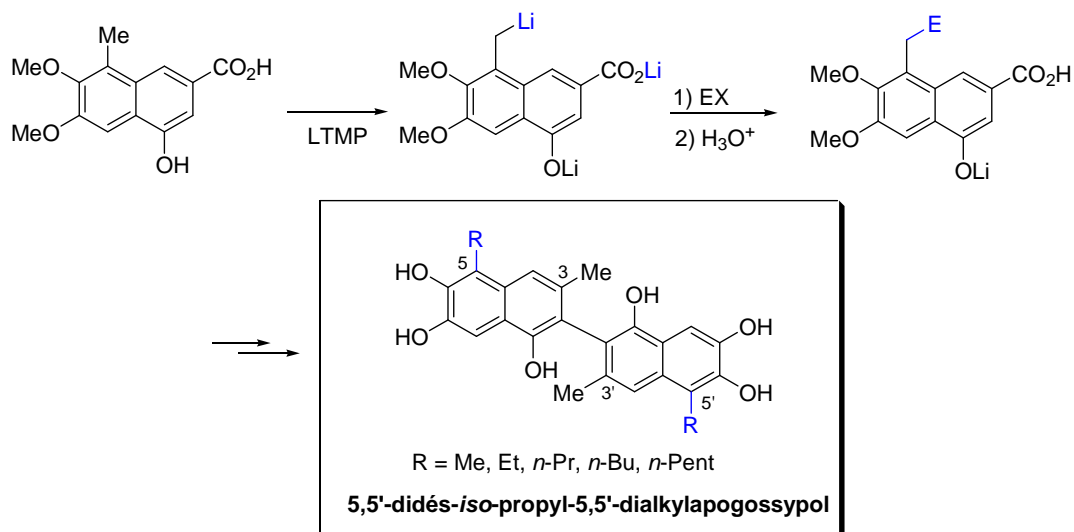


Schéma 113. Synthèse des  $5,5'$ -didés-*iso*-propyl- $5,5'$ -dialkylapogossypol

La synthèse asymétrique d'analogues de l'apogossypol a également été étudiée et la voie de synthèse sélectionnée repose sur le « concept lactone ». Un intermédiaire avancé de la synthèse, une lactone fonctionnalisée a été préparée (Schéma 114).

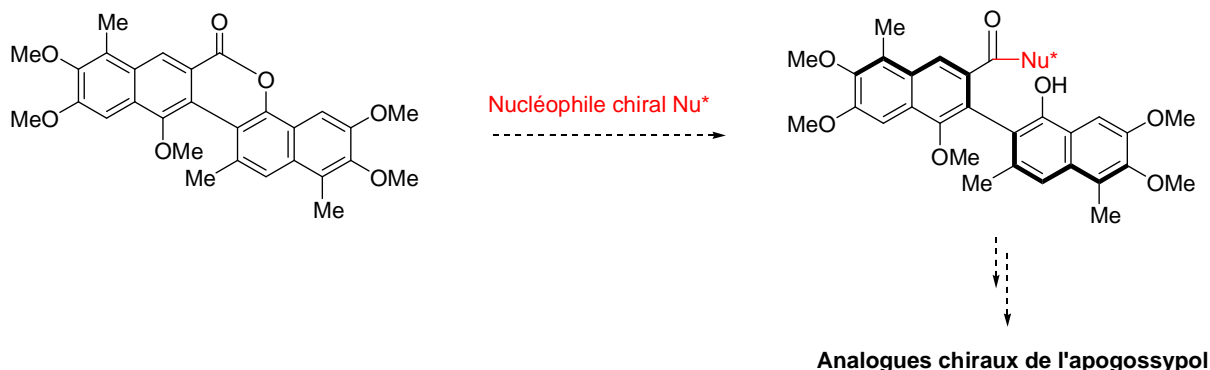


Schéma 114. Concept lactone appliquée à la lactone

Les perspectives offertes par ce travail sont nombreuses. Les travaux sur la synthèse atroposélective d'analogues de l'apogossypol pourront être poursuivis par l'étude de l'ouverture de la lactone synthétisée par des nucléophiles chiraux. Par ailleurs, afin d'accéder aux analogues du gossypol, la formylation des analogues de l'apogossypol pourra être étudiée. Enfin la nature des substituants en position 3,3'de l'apogossypol doit pouvoir être modifiée facilement. En effet les tosylates dérivés des 3-(hydroxyméthyl)-6,7-diméthoxy-5-alkyl-naphtalèn-1-ol sont susceptibles de réagir avec les nucléophiles pour conduire à des analogues de l'apogossypol totalement nouveaux.

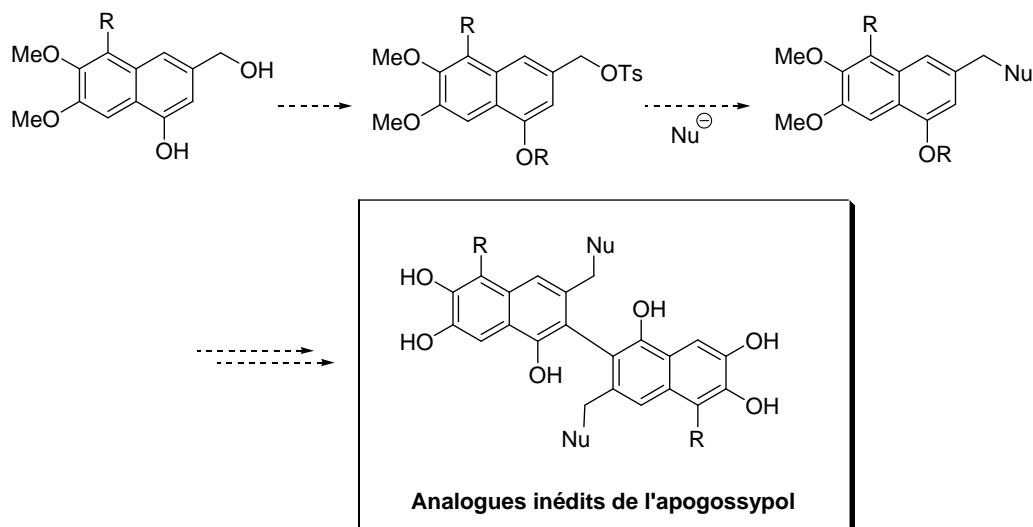


Schéma 115. Synthèse de nouveaux analogues de l'apogossypol

La synthèse reportée a été brevetée.<sup>263</sup> L'activité anticancéreuse des analogues de l'apogossypol synthétisés doit être prochainement évaluée. Notre objectif est également de tester les propriétés anti VIH, antivirales, antipsoriasis et contraceptives des produits synthétisés.

La deuxième partie de la thèse est consacrée à l'étude de la réaction de substitution nucléophile aromatique des acides benzoïques *ortho*-fluorés et *ortho*-méthoxylés (réaction  $\text{S}_{\text{N}}\text{ArAB}$ ). Une revue de la littérature des réactions de substitution nucléophile aromatique

<sup>263</sup> Mortier, J.; Castanet, A.-S.; Chau, N. T. T. WO2009080949 A1, 2009.

activée par les esters a été présentée. L'influence de substituants méthoxylés et halogénés (F, Cl, Br) sur la sélectivité S<sub>N</sub>Ar/addition 1,2 a été évaluée. De façon notable, la présence d'un substituant méthoxy en position 3 permet de limiter la formation de cétone et le produit d'ipsosubstitution est isolé avec un rendement correct. Il a également été montré que les acides 2-fluoro-6-halobenzoïques conduisent, par réaction avec les aryllithiens et les arylmagnésiens, aux produits d'*ipso*-C2-substitution avec un excellent rendement et la réaction S<sub>N</sub>ArAB permet un accès efficace aux acides 3-halogénobiphényl-2-carboxyliques (Schéma 116).

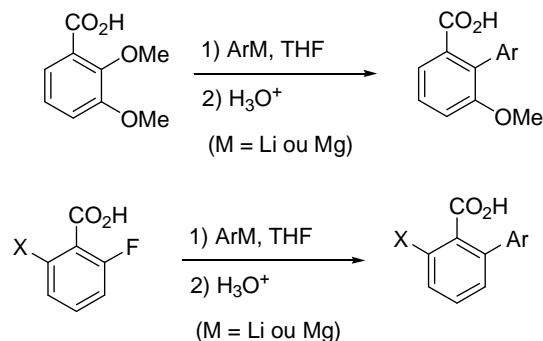


Schéma 116. Réaction S<sub>N</sub>ArAB des acides 2,3-diméthoxybenzoïque et 2-fluoro-6-halogénobenzoïque



# Références bibliographiques et notes

- <sup>1</sup> Revues récentes : (a) Kenar, J. A. *J. Am. Oil Chem. Soc.* **2006**, 83, 269. (b) Dodou, K. *Expert Opin. Investig. Drugs* **2005**, 14, 1419.
- <sup>2</sup> (a) Wang, S.; Yang, D. WO2005094804 A1, 2005. (b) Flack, M. R.; Knazek, R.; Reidenberg, M. US5385936, 1995 et US 6114397, 2000.
- <sup>3</sup> Ascenta Therapeutics Web site. <http://www.ascenta.com/development/index.php#at101> (accessible au 15 octobre 2011). Voir aussi : Wang, S.; Yang, D. US2003008924A1, 2003.
- <sup>4</sup> Becattini, B.; Kitada, S.; Leone, M.; Monosov, E.; Chandler, S.; Zhai, D.; Kipps, T. J.; Reed, J. C.; Pellechia, M. *Chem. Biol.* **2004**, 11, 389.
- <sup>5</sup> Kitada, S.; Kress, C. L.; Krajewska, M.; Jia, L.; Pellechia, M.; Reed, J. C. *Blood* **2008**, 111, 3211.
- <sup>6</sup> (a) Edward, J. D. Jr.; Cashaw, J. L. *J. Am. Chem. Soc.* **1956**, 78, 3224. (b) Edward, J. D. Jr.; Cashaw, J. L. *J. Am. Chem. Soc.* **1958**, 80, 3798. (c) Ognyanov, V. I.; Petrov, O. S.; Tiholov, E. P.; Mollov, N. M. *Helv. Chim. Acta* **1989**, 72, 353. (d) Venuti, M. C. *J. Org. Chem.* **1981**, 46, 3124. (e) Shirley, D. A.; Dean, W. L. *J. Am. Chem. Soc.* **1957**, 79, 1205.
- <sup>7</sup> (a) Meyers, A. I.; Willemse, J. J. *Chem. Commun.* **1997**, 1573. (b) Meyers, A.; Willemse, J. J. *Tetrahedron* **1998**, 54, 10493.
- <sup>8</sup> Brown, W. M.; Metzger, L. E.; Barlow, J. P.; Humsaker, L. A.; Deck, L. M.; Royer, R. E.; Vander Jagt, D. L. *Chem.-Biol. Interact.* **2003**, 143-144, 481.
- <sup>9</sup> (a) Bringmann, G.; Menche, D. *Acc. Chem. Res.* **2001**, 34, 615. (b) Bringmann, G.; Pfeifer, R. M.; Schreiber, P.; Hartner, K.; Kocher, N.; Brun, R.; Peters, K.; Peters, E. M.; Breuning, M. *Tetrahedron* **2004**, 60, 6335.
- <sup>10</sup> Vander Jagt, D. L.; Deck, L. M.; Royer, R. E. *Current Med. Chem.* **2000**, 7, 479.
- <sup>11</sup> (a) Cass, G. B.; Tiritan, E.; Matlin, S. A.; Freire, E. E. *Phytochemistry* **1991**, 30, 2655. (b) King, T. J.; de Silva, L. B. *Tetrahedron Lett.* **1968**, 3, 261. (c) Datta, S. C.; Murti, V. V. S.; Seshadri, T. R. *Indian J. Chem., Sect. B* **1972**, 10, 263.
- <sup>12</sup> Jaroszewski, J. W.; Strom-Hansen, T.; Hansen, L. L. *Chirality* **1992**, 4, 216.
- <sup>13</sup> (a) Tyson, R. *Chem. Ind. (London)* **1988**, 118. (b) Matlin, S. A.; Belenguer, A.; Tyson, R. G.; Brookes, A. N. *J. High Resolut. Chromatogr. Chromatogr. Commun.* **1987**, 10, 86.
- <sup>14</sup> Stipanovic, R. D.; Bell, A. A.; Benedict, C. R. *Biologically active natural products : Agrochemicals*, CRC Press, 1999, chapitre 18.
- <sup>15</sup> (a) Kumar, S.; Adediran, S. A.; Nukaga, M.; Pratt, R. F. *Biochemistry* **2004**, 43 (9), 2664. (b) Liu, J.; Stipanovic, R. D.; Bell, A. A.; Puckhaber, L. S.; Magill, C. W. *Phytochemistry* **2008**, 69, 3038.
- <sup>16</sup> Voir Dao, V. T. thèse de doctorat de l'université Paris XI-Orsay, n° d'ordre 7072, 2002. <http://tel.archives-ouvertes.fr/docs/00/04/59/23/PDF/tel-00004168.pdf> (accessible au 15 octobre 2011) et références citées.
- <sup>17</sup> (a) Carruth, F. E. *J. Am. Chem. Soc.* **1918**, 40, 647. (b) Clark, E. P. *J. Biol. Chem.* **1928**, 78, 159. (c) Adams, R.; Butterbaugh, D. J. *J. Am. Chem. Soc.* **1938**, 60, 2174.
- <sup>18</sup> Hass, R. H.; Shirley, D. A. *J. Org. Chem.* **1965**, 30, 4111.
- <sup>19</sup> (a) Nelson, T. D.; Meyers, A. I. *Tetrahedron Lett.* **1993**, 34, 3061. (b) Nelson, T. D.; Meyers, A. I. *J. Org. Chem.* **1994**, 59, 2655. (c) Nelson, T. D.; Meyers, A. I. *J. Org. Chem.* **1994**, 59, 7184. (c) Meyers, A. I.; McKennon, M. J. *Tetrahedron Lett.* **1995**, 36, 5869.
- <sup>20</sup> Gant, T. G.; Meyers, A. I. *Tetrahedron* **1994**, 50, 2297.
- <sup>21</sup> (a) Reuman, M.; Meyers, A. I. *Tetrahedron* **1985**, 41, 837. (b) Meyers, A. I.; Williams, B. E. *Tetrahedron Lett.* **1978**, 19, 223. (c) Meyers, A. I.; Mihelich, E. D. *Angew. Chem., Int. Ed. Engl.* **1976**, 15, 270.
- <sup>22</sup> Shimano, M.; Meyers, A. I. *J. Am. Chem. Soc.* **1994**, 116, 10815.
- <sup>23</sup> Johnson, W. S.; Daub, G. H. *Org. Reactions* **1951**, 6, 1.
- <sup>24</sup> Meyers, A. I.; Himmelsbach, R. J.; Reuman, M. J. *Org. Chem.* **1983**, 48, 4053.

## Références bibliographiques et notes

- <sup>25</sup> Moorlag, H.; Meyers, A. I. *Tetrahedron Lett.* **1993**, 34, 6993.
- <sup>26</sup> (a) Omura, K.; Swern, D. *Tetrahedron* **1978**, 34, 1651. (b) Marx, M.; Tidwell, T. T. *J. Org. Chem.* **1984**, 49, 788.
- <sup>27</sup> Edwards, J. D. Jr.; Cashaw, J. L. *J. Am. Chem. Soc.* **1957**, 79, 2283 et ref<sup>6b</sup>.
- <sup>28</sup> Nelson, D. J.; Uschak, E. A. *J. Org. Chem.* **1977**, 42, 3308.
- <sup>29</sup> La synthèse du 1-bromo-2-*iso*-propyl-3,4-diméthoxybenzène **1.32** à partir du 3-*iso*-propylcatéchol est décrite par Mollov. Voir ref<sup>6c</sup>.
- <sup>30</sup> Bell, K. H.; Weiss, U. *Aust. J. Chem.* **1965**, 18, 1273.
- <sup>31</sup> (a) Edwards, J. D.; Cashaw, J. L. *J. Org. Chem.* **1955**, 20, 847. (b) Edwards, J. D.; Cashaw, J. L. *J. Am. Chem. Soc.* **1956**, 78, 3821.
- <sup>32</sup> Hunig, S.; Wehner, G. *Chem. Ber.* **1980**, 113, 302.
- <sup>33</sup> Horning, E. C.; Reisner, D. B. *J. Am. Chem. Soc.* **1949**, 71, 1036.
- <sup>34</sup> Kanaoka, Y.; Machida, M.; Yonemitsu, O.; Ban, Y. *Chem. Pharm. Bull.* **1965**, 13, 1065.
- <sup>35</sup> Fu, P. P.; Harvey, R. G. *Chem. Rev.* **1978**, 78, 317.
- <sup>36</sup> Quick, J.; Crelling, J. K. *J. Org. Chem.* **1978**, 43, 155.
- <sup>37</sup> Royer, R. E.; Deck, L. M.; Vander Jagt, T. J.; Martinez, F. J.; Mills, R. G.; Young, S. A.; Vander Jagt, T. L. *J. Med. Chem.* **1995**, 38, 2427.
- <sup>38</sup> Wei, J.; Vander Jagt, D. L.; Royer, R. E.; Deck, L. M. *Tetrahedron Lett.* **2010**, 51, 5757.
- <sup>39</sup> Deck, L. M.; Brazwell, E. M.; Vander Jagt, D. L.; Royer, R. E. *Org. Prep. Proced. Int.* **1990**, 22, 495.
- <sup>40</sup> Wei, J.; Kitada, S.; Rega, M. F.; Stebbins, J. L.; Zhai, D.; Cellitti, J.; Yuan, H.; Emdadi, A.; Dahl, R.; Zhang, Z.; Yang, L.; Reed, J. C.; Pellecchia, M. *J. Med. Chem.* **2009**, 52, 4511.
- <sup>41</sup> Meltzer, P. C.; Bickford, H. P.; Lambert, G. J. *J. Org. Chem.* **1985**, 50, 3121.
- <sup>42</sup> Yamanoi, Y.; Nishihara, H. *J. Org. Chem.* **2008**, 73, 6671.
- <sup>43</sup> (a) Minerva, S. *Ginecol.* **2007**, 59, 299. (b) Coutinho, F. M. *Contraception* **2002**, 65, 259. (c) Qian, S.-Z.; Wang, Z. -G. *Annu. Rev. Pharmacol. Toxicol.* **1984**, 24, 329. (d) Segal, S. J. *Gossypol, a Potential Contraceptive for Men*, Plenum Press, New York, 1985.
- <sup>44</sup> Yu, Y.; Deck, A.; Hunsaker, L. A. *Biochem. Pharmacol.* **2001**, 62, 81.
- <sup>45</sup> Wichmann, K.; Krusius, T.; Sinervirta, R.; Puranen, J.; Janne, J. *Contraception* **1986**, 33, 519.
- <sup>46</sup> La capacitation correspond à l'ensemble des modifications membranaires et intracellulaires qui rendent les spermatozoïdes capables de féconder l'ovocyte.
- <sup>47</sup> (a) Radloff, R. J.; Deck, L. M.; Royer, R. E. *Pharmacology Res. Comm.* **1986**, 18, 1063. (b) Dorsett, P. H.; Kerstine, E. E. *J. Pharm. Sci.* **1975**, 64 (6), 1073. (c) Lin, T. S.; Schinazi, R.; Griffith, B. P.; August, E. M.; Eriksson, B. F. H.; Zheng, D. K.; Huang, L.; Prusoff, W. H. *Antimicrob. Agents Chemother.* **1989**, 33 (12), 2149.
- <sup>48</sup> (a) Lin, T. S.; Shinazi, R. F.; Zhu, J. *Biochem. Pharmacol.* **1993**, 46 (2), 251. (b) Keller, P. A.; Birch, C.; Leach, S. P.; Tyssen, D.; Griffith, R. J. *Mol. Graphics Model.* **2003**, 21, 365.
- <sup>49</sup> (a) Royer, R. E.; Deck, L. M.; Campos, N. M.; Hunsaker, L. A.; Vander Jagt, D. L. *J. Med. Chem.* **1986**, 29, 1799. (b) Razakantoanina, V.; Nguyen, K. P. P.; Jaureguiberry, G. *Parasit. Res.* **2000**, 86, 665.
- <sup>50</sup> Le psoriasis est une affection d'origine génétique qui, à la suite de l'action de certains facteurs tels que des blessures ou une infection, conduit à une surproduction de cellules cutanées, les kératinocytes, qui provoquent un épaississement de la peau avec des parties écailleuses, rouges à la surface. À ce jour, aucun traitement curatif permettant de guérir complètement du psoriasis n'est connu.
- <sup>51</sup> Dodou, K.; Anderson, R. J.; Lough, W. J.; Small, D. A. P.; Shelley, M. D.; Groundwater, P. W. *Bioorg. Med. Chem.* **2005**, 13, 4228.
- <sup>52</sup> (a) Ref<sup>1b</sup>. Voir aussi : (b) ref<sup>16</sup>. (c) Gunasekaran, G. R.; Priya, D. K. D.; Gayathri, R.; Sakthisekaran, D. *Biochem. Biophys. Res. Commun.* **2011**, 411, 661.
- <sup>53</sup> Il est à noter que les études de phase cliniques II portent sur le (–)-gossypol et non sur le gossypol racémique. Voir également Qiu, J.; Levin, L. R.; Buck, J.; Reidenberg, M. M. *Exp. Biol. Med.* **2002**, 227, 398.
- <sup>54</sup> (a) Wang, S.; Yang, D. WO2002097053A3, 2002. Voir aussi : (b) Wang, S.; Chen, J.; Keana, J. F. W.; Guao, M.; US20080021110 A1, 2008.
- <sup>55</sup> Actuellement en phase clinique II aux Etats-Unis pour des patients atteints de glioblastome, de carcinome cortical adrenal, de cancer de la prostate. Voir : (a) <http://clinicaltrials.gov/ct2/show/NCT00891072> (b)

## Références bibliographiques et notes

<http://clinicaltrials.gov/ct2/show/NCT00848016> (c) <http://clinicaltrials.gov/ct2/show/NCT00666666> (accessible au 27 octobre 2011).

<sup>56</sup> (a) Wolter, K. G.; Wang, S. J.; Henson, B. S.; Wang, S.; Griffith, K. A.; Kumary, B.; Chen, J.; Carey, T. E.; Bradfordy, C. R.; D'Silva, N. J. *Neoplasia* **2006**, 8, 163. (b) Zhang M.; Liu, H.; Tian, Z.; Griffith, B. N.; Ji, M.; Quentin Li, Q. *Life Sciences* **2007**, 80, 767. (c) Gilbert, N. E.; O'Reilly, J. E.; George Chang, C. J.; Lit, Y. C.; Brueggemeier, R. W. *Life Sciences* **1995**, 57, 61. (d) Xu, L.; Yang, D.; Wang, S.; Tang, W.; Liu, M.; Davis, M.; Chen, J.; Rae, J. M.; Lawrence, T.; Lippman, M. E. *Mol. Cancer Ther.* **2005**, 4, 197. (e) Oliver, C. L.; Bauer, J. A.; Wolter, K. G.; Ubell, M. L.; Narayan, A.; O'Connell, K. M.; Fisher, S. G.; Wang, S.; Wu, X.; Ji, M.; Carey, T. E.; Bradford, C. R. *Clin. Cancer Res.* **2004**, 10, 7757. (f) Chang J. S.; Hsu, Y. L.; Kuo, P. L.; Chiang, L. C.; Lin, C. C. *Clin. Exp. Pharmacol. Physiol.* **2004**, 31 (10), 716. (g) Carruthers, N. J.; Dowd, M. K.; Stemmer, P. M. *Eur. J. Pharmacology* **2007**, 555, 106. (h) Wang, G.; Nikolovska-Coleska, Z.; Yang, C. Y.; Wang, R.; Tang, G.; Guo, J. *J. Med. Chem.* **2006**, 49, 6139. (i) Volate, S. R.; Kawasaki, B. T.; Hurt, E. M.; Milner, J. A.; Kim, Y. S.; White, J.; Farrar, W. L. *Mol. Cancer Ther.* **2010**, 9 (2), 461. (j) Pang, X.; Wu, Y.; Wu, Y.; Lu, B.; Chen, J.; Wang, J.; Yi, Z.; Qu, W.; Liu, M. *Mol. Cancer Ther.* **2011**, 10, 795. (k) Balakrishnan, K.; Wierda, W. G.; Keating M. J.; Gandhi, V. *Blood* **2008**, 112 (5), 1971. (l) Sung, B.; Ravindran, J.; Prasad, S.; Pandey, M. K.; Aggarwal, B. B. *J. Biol. Chem.* **2010**, 285 (46), 35418.

<sup>57</sup> Johnstone, R. W.; Ruefli, A. A.; Lowe, S. W. *Cell* **2002**, 108, 153.

<sup>58</sup> Kitada, S.; Leone, M.; Sareth, S.; Zhai, D.; Reed, J. C.; Pellecchia, M. *J. Med. Chem.* **2003**, 46, 4259.

<sup>59</sup> Wei, J.; Rega, M. F.; Kitada, S.; Yuan, H.; Zhai, D.; Risbood, P.; Seltzman, H. H.; Twine, C. E.; Reed, J. C.; Pellecchia, M. *Cancer Letters* **2009**, 273, 107.

<sup>60</sup> Racémique ou optiquement pur.

<sup>61</sup> (a) Wei, J.; Kitada, S.; Rega, M. F.; Emdadi, A.; Yuan, H.; Cellitti, J.; Stebbins, J. L.; Zhai, D.; Sun, J.; Yang, L.; Dahl, R.; Zhang, Z.; Wu, B.; Wang, S.; Reed, T. A.; Lawrence, N.; Sebti, S.; Reed, J. C.; Pellecchia, M. *Mol. Cancer Ther.* **2009**, 8, 904. (b) Wei, J.; Stebbins, J. L.; Kitada, S.; Dash, R.; Placzek, W.; Rega, M. F.; Wu, B.; Cellitti, J.; Zhai, D.; Yang, L.; Dahl, R.; Fisher, P. B.; Reed, J. C.; Pellecchia, M. *J. Med. Chem.* **2010**, 53, 4166.

<sup>62</sup> La gossypolone résulte de l'oxydation du gossypol. Elle présente également une activité anticancéreuse. (a) Shelley, M. D.; Hartley, L.; Fish, R. G.; Groundwater, P.; Morgan, J. J. G.; Mort, D.; Mason, M.; Evans, A. *Cancer Lett.* **1999**, 135, 171. (b) Flack, M. R.; Knazek, R.; Reidenberg, M. U.S. Patent 40862, 2009. L'apogossypolone **1.77** est un inhibiteur de Bcl-2 présentant une activité anticancéreuse notable. (a) Wang, S.; Nikolovska-Coleska, Z.; Yang, C.-Y.; Chen, J. WO 2006050447 A2, 2006. (b) Sun, J.; Li, Z.-M.; Hu, Z.-Y.; Zeng, Z.-L.; Yang, D.-J.; Jiang, W.-Q. *Oncol. Rep.* **2009**, 22, 193. (c) Arnold, A. A.; Aboukameel, A.; Chen, J.; Yang, D.; Wang, S.; Al-Katib, A.; Mohammad, R. M. *Mol. Cancer* **2008**, 7, 20.

<sup>63</sup> Wei, J.; Kitada, S.; Stebbins, J. L.; Placzek, W.; Zhai, D.; Wu, B.; Rega, M. F.; Zhang, Z.; Cellitti, J.; Yang, L.; Dahl, R.; Reed, J. C.; Pellecchia, M. *J. Med. Chem.* **2010**, 53, 8000.

<sup>64</sup> Einhorn, C.; Einhorn, J.; Luche, J.-L. *Tetrahedron Lett.* **1991**, 32, 2771.

<sup>65</sup> (a) Snieckus, V. *Chem. Rev.* **1990**, 90, 879. (b) Quéguiner, G.; Marsais, F.; Snieckus, V.; Epsztajn, J. *Adv. Heterocyclic Chem.* **1991**, 52, 187. (c) Schlosser, M. *Organometallics in Synthesis. A Manual*; Wiley: Chichester, 2nd Edition, 2002.

<sup>66</sup> (a) Gohier, F.; Castanet, A.-S.; Mortier, J. *Org. Lett.* **2003**, 5, 1919. (b) Gohier, F.; Mortier, J. *J. Org. Chem.* **2003**, 68, 2030. (c) Tilly, D.; Samanta, S. S.; De, A.; Castanet, A.-S.; Mortier, J. *Org. Lett.* **2005**, 7, 827. (d) Tilly, D.; Castanet, A.-S.; Mortier, J. *Chem. Lett.* **2005**, 34, 446. (e) Gohier, F.; Castanet, A.-S.; Mortier, J. *Synth. Comm.* **2005**, 35, 831. (f) Gohier, F.; Castanet, A.-S.; Mortier, J. *J. Org. Chem.* **2005**, 70, 1501. (g) Nguyen, T. H.; Chau, N. T. T.; Castanet, A.-S.; Nguyen, K. P. P.; Mortier, J. *Org. Lett.* **2005**, 7, 2445. (h) Tilly, D.; Samanta, S. S.; Castanet, A.-S.; De, A.; Mortier, J. *Eur. J. Org. Chem.* **2006**, 7, 827. (i) Tilly, D.; Castanet, A.-S.; Mortier, J. *Tetrahedron Lett.* **2006**, 47, 1121. (j) Nguyen, T. H.; Castanet, A.-S.; Mortier, J. *Org. Lett.* **2006**, 8, 765.

<sup>67</sup> Whisler, M. N.; MacNeil, S.; Snieckus, V.; Beak, P. *Angew. Chem, Int. Ed.* **2004**, 43, 2206.

<sup>68</sup> Revues : (a) Lochmann, L. *Eur. J. Inorg. Chem.* **2000**, 1115. (b) Schlosser, M. *Eur. J. Org. Chem.* **2001**, 3975. (c) Schlosser, M. *Pure Appl. Chem.* **1988**, 60, 1627.

<sup>69</sup> (a) Plunian, B.; Mortier, J.; Vaultier, M. *J. Org. Chem.* **1996**, 61, 5206. (b) Mortier, J.; Vaultier, M.; Plunian, B.; Sinbandhit, S. *Can. J. Chem.* **1999**, 77, 98 et références citées. (c) Plunian, B.; Vaultier, M.; Mortier, J. *Chem. Comm.* **1998**, 1, 81.

<sup>70</sup> Voir Chau, N. T. T., thèse de doctorat, Université du Maine, 2008. [http://tel.archives-ouvertes.fr/docs/00/32/28/32/PDF/2008-09-17\\_TheseThanhChau.pdf](http://tel.archives-ouvertes.fr/docs/00/32/28/32/PDF/2008-09-17_TheseThanhChau.pdf) (accessible au 15 octobre 2011)

<sup>71</sup> Pour des applications de l'acide 3,4-diméthoxy-2-méthylbenzoïque, voir par exemple (a) Dressman, B. A.; Fritz, J. E.; Hammond, M.; Hornback, W. J.; Kaldor, S. W.; Kalish, V. J.; Munroe, J. E.; Reich, S. H.; Tatlock, J.

## Références bibliographiques et notes

H.; Shepherd, T. A.; Rodriguez, M. J.; Jungheim, L. N. World Patent WO9509843, 1995. (b) Golding, B. T.; Griffin, R. J.; Quarterman, C. P.; Slack, J. A.; Williams, J. G. U.S. Patent US6258840B1, 2001. Acide 2-chloro-3,4-diméthoxybenzoïque (c) Michelotti, E. L.; Springman, E. B.; Nguyen, D.; Shetty, R. S.; Lee, Y.; Moffett, K. K.; Ludington, J. L.; Fujimoto, T. T.; Konteatis, Z. D.; Liu, B.; Hollinger, F.; Dorsey, B. D. WO06062982A2, 2006. (d) Blaszykowski, C.; Aktoudianakis, E.; Bressy, C.; Alberico, D.; Lautens, M. *Org. Lett.* **2006**, 8, 2043. (e) Betzemeier, B.; Krist, B.; McConnell, D.; Steurer, S.; Impagnatiello, M.; Weyer-Czernilofsky, U.; Hilberg, F.; Brueckner, R.; Daimann, G.; Heckel, A.; Kley, J.; Lehmann-Lintz, T.; Roth, G. European Patent EP1645556A1, 2006.

<sup>72</sup> Piégeage *in situ* : le substrat est ajouté à une solution contenant LTMP et TMSCl, voir Krizan, T. D.; Martin, J. C. *J. Am. Chem. Soc.* **1983**, 105, 6155 et références citées.

<sup>73</sup> Les acides 3,4-diméthoxy-2-triméthylsilylbenzoïque et 3,4-diméthoxy-5-triméthylsilylbenzoïque sont formés avec des rendements bruts inférieurs à 10 %.

<sup>74</sup> En raison de l'effet coopératif des groupements CO<sub>2</sub>Li et OMe qui stabilise l'anion lithié dans la position *ortho* commune par complexation.

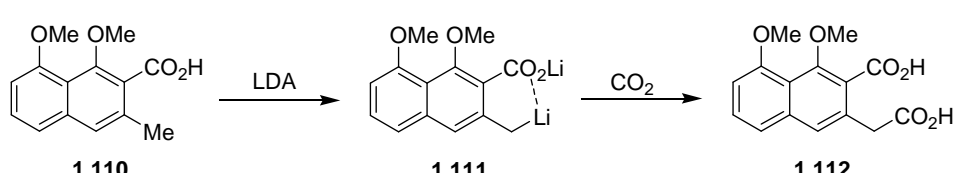
<sup>75</sup> Clark, R. D.; Jahangir, A. *Org. Reactions* **1995**, 47, 1.

<sup>76</sup> Rendement brut. Le composé **1.98g** n'est pas aisément purifié par recristallisation ou chromatographie sur gel de silice.

<sup>77</sup> Clayden, J. *Organolithiums: Selectivity for Synthesis*; Pergamon: Oxford, 2002.

<sup>78</sup> Dolbier, W. R.; Enoch, H. O. *J. Am. Chem. Soc.* **1977**, 99, 4533.

Le composé **1.110** est converti, par réaction avec le LDA, en dianion **1.111** stabilisé par coordination du lithium avec le carboxylate. Le piégeage de l'anion par la carboglace suivie d'une hydrolyse acide conduit à l'acide naphtalèneacétique **1.112** (~85 %).



<sup>79</sup> La remétallation de **1.108d** est vraisemblablement plus rapide que la destruction de l'excès de LTMP par l'électrophile. Voir ref <sup>66f</sup>.

<sup>80</sup> **1.6a** est ajouté à un mélange de LTMP/TMSCl à -78 °C. Voir ref <sup>72</sup>.

<sup>81</sup> Préparé par métallation de l'acide vératrique avec LTMP (4 équiv.) à 0 °C suivie du piégeage du dianion par l'iodométhane. Voir: Chau, N. T. T.; Nguyen, T. H.; Castanet, A.-S.; Nguyen, K. P. P.; Mortier, J. *Tetrahedron* **2008**, 64, 10552.

<sup>82</sup> Borchardt, R. T.; Bhatia, P. *J. Med. Chem.* **1982**, 25, 263.

<sup>83</sup> Marsais, F.; Cronnier, A.; Trecourt, F.; Quéguiner, G. *J. Org. Chem.* **1987**, 52, 1133.

<sup>84</sup> Hudlicky, M. *Reductions in Organic Chemistry*, Wiley: New York, 1984, pp. 76.

<sup>85</sup> (a) Bringmann, G.; Ochse, M.; Götz, R. *J. Org. Chem.* **2000**, 65, 2069. (b) Bringmann, G.; Hamm, A.; Schraut, M. *Org. Lett.* **2003**, 5, 2805.

<sup>86</sup> Frija, L. M. T.; Cristiano, M. L. S.; Guimarães, E. M. O.; Martins, N. C.; Loureiro, R. M. S.; Bickley, J. F. *J. Mol. Catal. A: Chem.* **2005**, 242 (1-2), 241.

<sup>87</sup> Armstrong, D. R.; Breckenridge, R. J.; Cameron, C.; Nonhebel, D. C.; Pauson, P. L.; Perkins, P. G. *Tetrahedron Lett.* **1983**, 24, 1071.

<sup>88</sup> Burchat, A. F.; Chong, J. M.; Nielsen, N. *J. Organomet. Chem.* **1997**, 542, 281.

<sup>89</sup> Prepared from 3,4-dimethoxy-2-methylbenzoic acid (**1.98a**) according to: ref <sup>82</sup>. Compound **1.98a** was prepared by metalation of veratric acid with LTMP (4 equiv.) at 0 °C followed by quench with iodomethane. See: Chau, N. T. T.; Nguyen, T. H.; Castanet, A.-S.; Nguyen, K. P. P.; Mortier, J. *Tetrahedron* **2008**, 64, 10552.

<sup>90</sup> Tetsuya, T.; Hirohisa, D.; Tokutaro, O.; Tsuyoshi, O.; Iwao, O.; Eiichi, K. *Tetrahedron* **2004**, 60, 6295.

<sup>91</sup> Armstrong, D. R.; Cameron, C.; Nonhebel, D. C.; Perkins, P. G. *J. Chem. Soc., Perkin Trans. 2* **1983**, 563.

<sup>92</sup> (a) Torssell, K. B. G. *Natural Product Chemistry*; Taylor & Francis: New York, 1997. (b) Okuda, T.; Yoshida, T.; Hatano, T. *In Prog. Chem. Org. Nat. Prod.*; Herz, W.; Kirby, G. W.; Moore, R. E.; Steglich, W.; Tamm, C.; Eds.; Springer: Wien, 1995; Vol. 66, p 1. (c) Bringmann, G.; Pokorny, F. *In The Alkaloids*; Cordell, G. A., Ed.; Academic: New York, 1995; Vol. 46, p 127.

## Références bibliographiques et notes

<sup>93</sup> (a) Nicolaou, K. C.; Li, H.; Boddy, C. N. C.; Ramanjulu, J. M.; Yue, T.-Y; Natarajam, S.; Chui, X. J.; Bräse, S.; Rübsam, F. *Chem. Eur. J.* **1999**, 5, 2584. (b) Williams, D. H.; Bardsley, B. *Angew. Chem. Int. Ed.* **1999**, 38, 1172.

<sup>94</sup> Lipshutz, B. H.; Keith, J. M. *Angew. Chem. Int. Ed.* **1999**, 38, 3530.

<sup>95</sup> Monovich, L. G.; Le Huérou, Y.; Rönn, M.; Molander, G. A. *J. Am. Chem. Soc.* **2000**, 122 (1), 52.

<sup>96</sup> (a) Walsh, P. J.; Lurain, A. E.; Balsells, J. *Chem. Rev.* **2003**, 103, 3297. (b) Pu, L. *Chem. Rev.* **2004**, 104, 1687. (c) Mikami, K.; Yamanaka, M. *Chem. Rev.* **2003**, 103, 3369.

<sup>97</sup> Noyori, R. *Angew. Chem. Int. Ed.* **2002**, 41, 2008.

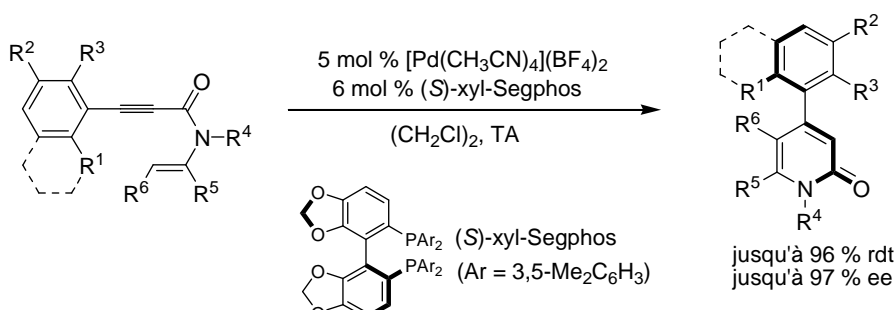
<sup>98</sup> Schmid, R.; Foricher, J.; Cereghetti, M.; Schönholzer, P. *Helv. Chim. Acta* **1991**, 74, 370.

<sup>99</sup> (a) Goodby, J. W.; Clark, N. A.; Laggerwall, S. T. *Ferroelectric Liquid Crystals: Principles, Properties and Applications*; Gordon and Breach: Philadelphia, 1991. (b) Collings, P. J.; Hird, M. *Introduction to Liquid Crystals Chemistry and Physics*; Taylor and Francis: London, 1997.

<sup>100</sup> Voir par exemple (a) Kazlauskas, R. J. *J. Am. Chem. Soc.* **1989**, 111, 4953. (b) Jacques, J.; Fouquay, C. *Org. Synth.* **1988**, 67, 1.

<sup>101</sup> Revues : (a) Lloyd-Williams, P.; Giralt, E. *Chem. Soc. Rev.* **2001**, 30, 145. (b) Kamikawa, K.; Uemura, M. *Synthlett* **2000**, 7, 938. (c) Stanforth, S. P. *Tetrahedron* **1998**, 54, 263. (d) Bringmann, G., Walter, R.; Weirich, R. dans: Helmchen, G.; Hoffmann, R. W.; Mulzer, J.; Schaumann, E. (Eds.), *Methods of Organic Chemistry* (Houben Weyl), fourth ed., vol. E21a, Thieme, Stuttgart, **1995**, 567. (e) Bringmann, G.; Walter, R.; Weirich, R. *Angew. Chem.* **1990**, 102, 1006. (f) Bringmann, G.; Walter, R.; Weirich, R. *Angew. Chem. Int. Ed. Engl.* **1990**, 29, 977. (g) Lutomski, K. A.; Meyers, A. I. dans : Morrison, J. D. (Ed.) *Asymmetric Synthesis*, vol. 3, Academic Press, New York, **1984**, 213. (h) Bringmann, G.; Mortimer, A. J. P.; Keller, P. A.; Gresser, M. J.; Garner, J.; Breuning, M. *Angew. Chem. Int. Ed.* **2005**, 44, 5384. (i) Bringmann, G.; Gulder, T.; Gulder, T. A. M.; Breuning, M. *Chem. Rev.* **2011**, 111, 563.

<sup>102</sup> Voir par exemple Imase, H.; Suda, T.; Shibata, Y.; Noguchi, K.; Hirano, M.; Tanaka, K. *Org. Lett.* **2009**, 11 (8), 1805.



<sup>103</sup> (a) Miyano, S.; Fukushima, H.; Handa, S.; Ito, H.; Hashimoto, H. *Bull. Chem. Soc. Jpn.* **1988**, 61, 3249. (b) Miyano, S.; Handa, S.; Shimizu, K.; Tagami, K.; Hashimoto, H. *Bull. Chem. Soc. Jpn.* **1984**, 57, 1943.

<sup>104</sup> (a) Lipshutz, B. H.; Kayser, F.; Liu, Z.-P. *Angew. Chem. Int. Ed.* **1994**, 33, 1842. (b) Lipshutz, B. H.; Siegmann, K.; Garcia, E.; Kayser, F. *J. Am. Chem. Soc.* **2002**, 115, 9276.

<sup>105</sup> Lipshutz, B. H.; James, B. J.; Vance, S.; Carrico, I. *Tetrahedron Lett.* **1997**, 38 (5), 753.

<sup>106</sup> (a) Lipshutz, B. H.; Müller, P.; Leinweber, D. *Tetrahedron Lett.* **1999**, 40, 3677. (b) Lin, G.-Q.; Zhong, M. *Tetrahedron: Asymmetry* **1997**, 8, 1369. (c) Lin, G.-Q.; Zhong, M. *Tetrahedron Lett.* **1997**, 38, 1087. (d) Baker, R. W.; Kyasnoor, R. V.; Sargent, M. V.; Skelton, B. W.; White, A. H. *Aust. J. Chem.* **2000**, 53, 487. (e) Lipshutz, B. H.; Liu, Z.-P.; Kayser, F. *Tetrahedron Lett.* **1994**, 35, 5567.

<sup>107</sup> (a) Madec, J.; Michaud, G.; Genêt, J.-P.; Marinetti, A. *Tetrahedron: Asymmetry* **2004**, 15, 2253. (b) Michaud, G.; Bulliard, M.; Ricard, L.; Genêt, J.-P.; Marinetti, A. *Chem. Eur. J.* **2002**, 8, 3327. (c) Qiu, L.; Wu, J.; Chan, S.; Au-Yeung, T. T. L.; Ji, J.-X.; Guo, R.; Pai, C.-C.; Zhou, Z.; Li, X.; Fan, Q.-H.; Chan, A. S. C. *Proc. Natl. Acad. Sci. U.S.A.* **2004**, 101, 5815.

<sup>108</sup> Mortier, J. *Curr. Org. Chem.* **2011**, 15, 2413.

<sup>109</sup> Meyers, A. I.; Nelson, T. D.; Moorlag, H.; Rawson, D. J.; Meier, A. *Tetrahedron* **2004**, 60, 4459.

<sup>110</sup> (a) Wilson, J. M.; Cram, D. J. *Org. Chem.* **1984**, 49, 4930.

<sup>111</sup> Suzuki, T.; Hotta, H.; Hattori, T.; Miyano, S. *Chem. Lett.* **1990**, 807.

<sup>112</sup> L'efficacité de transfert chiral est défini par Cram par la relation (rendement chimique × excès énantiomérique)/100.

## Références bibliographiques et notes

- <sup>113</sup> (a) Baker, R. W.; Pocock, G. R.; Sargent, M. V.; Twiss, E. *Tetrahedron: Asymmetry* **1993**, *4*, 2423. (b) Baker, R. W.; Sargent, M. V. *Pure Appl. Chem.* **1994**, *66*, 2143. (c) Baker, R. W.; Hockless, D. C. R.; Pocock, G. R.; Sargent, M. V.; Skelton, B. W.; Sobolev, A. N.; Twiss, E.; White, A. H. *J. Chem. Soc. Perkin Trans. 1* **1995**, 2615.
- <sup>114</sup> (a) Nakajima, M.; Kanayama, K.; Miyoshi, I.; Hashimoto, S.-I. *Tetrahedron Lett.* **1995**, *36*, 9519. (b) Nakajima, M.; Miyoshi, I.; Kanayama, K.; Hashimoto, S.-I.; Noji, M.; Koga, K. *J. Org. Chem.* **1999**, *64*, 2264. (c) Kozlowski, M. C.; Morgan, B. J.; Linton, E. C. *Chem. Soc. Rev.* **2009**, *38*, 3193.
- <sup>115</sup> Smrcina, M.; Poláková, J.; Vyskocil, S.; Kokovsky, P. *J. Org. Chem.* **1993**, *58*, 4534.
- <sup>116</sup> Hassan, J.; Sévignon, M.; Gozzi, C.; Schulz, E.; Lemaire, M. *Chem. Rev.* **2002**, *102*, 1359.
- <sup>117</sup> Hiyama, T. *Metal-Catalyzed Cross-coupling Reactions*; Diederich, F.; Stang, P. J. Ed.; Wiley-VCH, 1998.
- <sup>118</sup> (a) Cammidge, A. N.; Crépy, K. V. L. *Chem. Comm.* **2000**, 1723. (b) Yin, J.; Buchwald, S. L. *J. Am. Chem. Soc.* **2000**, *122*, 12051. (c) Castanet, A.-S.; Colobert, F.; Broutin, P.-E.; Obringer, M. *Tetrahedron: Asymmetry* **2002**, *13*, 659. (d) Mikami, K.; Miyamoto, T.; Hatano, M. *Chem. Commun.* **2004**, 2082. (e) Bermejo, A.; Ros, A.; Fernandez, R.; Lassaletta, J. M. *J. Am. Chem. Soc.* **2008**, *130*, 15798. (f) Uozumi, Y.; Matsuura, Y.; Arakawa, T.; Yamada, Y. M. A. *Angew. Chem. Int. Ed.* **2009**, *48*, 2708.
- <sup>119</sup> Des bons rendements et une excellente énantiomélectivité ont été obtenus lors de la réaction de 2,6-ditriflates achiraux avec des réactifs de Grignard en présence d'un complexe de palladium chiral. Voir (a) Kamikawa, T.; Hayashi, T. *Tetrahedron* **1999**, *55*, 3455. (b) Kamikawa, T.; Uozumi, Y.; Hayashi, T. *Tetrahedron Lett.* **1996**, *37*, 3161. (c) Hayashi, T.; Niizuma, S.; Kamikawa, T.; Suzuki, N.; Uozumi, Y. *J. Am. Chem. Soc.* **1995**, *117*, 9101.
- <sup>120</sup> Une excellente diastéréosélectivité a également été obtenue lors de la formation de lactames biaryliques par réaction, avec le (*R*)-phénylglycinol, d'un biaryle substitué en *ortho*, *ortho'* par un groupement ester et une cétone. Voir (a) Penhoat, M.; Levacher, V.; Dupas, G. *J. Org. Chem.* **2003**, *68*, 9517. (b) Bouet, A.; Heller, B.; Papamicaël, C.; Dupas, G.; Oudeyer, S.; Marsais, F.; Levacher, V. *Org. Biomol. Chem.* **2007**, *5*, 1397.
- <sup>121</sup> (a) Bringmann, G.; Breuning, M.; Tasler, S. *Synthesis* **1999**, *4*, 525. (b) Bringmann, G.; Breuning, M.; Pfeifer, R.-M.; Schenk, W. A.; Kamikawa, K.; Uemura, M. *J. Organomet. Chem.* **2002**, *661*, 31 et ref. citées dans ces deux revues.
- <sup>122</sup> Bringmann, G.; Tasler, S.; Pfeifer, R.-M.; Breuning, M. *J. Organomet. Chem.* **2002**, *661*, 49.
- <sup>123</sup> Bringmann, G.; Breuning, M.; Walter, R.; Wuzik, A.; Peters, K.; Peters, E.-M. *Eur. J. Org. Chem.* **1999**, 3047.
- <sup>124</sup> Bringmann, G.; Breuning, M.; Tasler, S.; Endress, H.; Ewers, C. L. J.; Göbel, L.; Peters, K.; Peters, E.-M. *Chem. Eur. J.* **1999**, *5*, 3029.
- <sup>125</sup> Bringmann, G.; Hartung, T. *Tetrahedron* **1993**, *49*, 7891.
- <sup>126</sup> Bringmann, G.; Wuzik, A.; Stowasser, R.; Rummey, C.; Göbel, L.; Stalke, D.; Pfeiffer, M.; Schenk, W. A. *Organometallics* **1990**, *18*, 5017.
- <sup>127</sup> Kamikawa, K.; Norimura, K.; Furusyo, M.; Uno, T.; Sato, Y.; Konoo, A.; Bringmann, G.; Uemura, M. *Organometallics* **2003**, *22*, 1038.
- <sup>128</sup> Bringmann, G.; Holenz, J.; Weirich, R.; Rübenacker, M.; Funke, C. *Tetrahedron* **1998**, *54*, 497.
- <sup>129</sup> Bringmann, G.; Pabst, T.; Henschel, P.; Kraus, J.; Peters, K.; Peters, E.-M.; Rycroft, D. S.; Connolly, J. D. *J. Am. Chem. Soc.* **2000**, *122*, 9127.
- <sup>130</sup> Gerhard Bringmann, G.; Menche, D.; Kraus, J.; Mühlbacher, J.; Peters, K.; Peters, E. M.; Brun, R.; Bezabih, M.; Abegaz, B. *M. J. Org. Chem.* **2002**, *67*, 5595.
- <sup>131</sup> Bringmann, G.; Hinrichs, J.; Henschel, P.; Kraus, J.; Peters, K.; Peters, E.-M. *Eur. J. Org. Chem.* **2002**, 1096.
- <sup>132</sup> Lanfranchi, D. A.; Hanquet, G. *J. Org. Chem.* **2006**, *71*, 4854.
- <sup>133</sup> Carreño, M. C.; Ruano, J. L. G.; Sanz, G.; Toledo, M. A.; Urbano, A. *Synlett* **1997**, 1241.
- <sup>134</sup> Connolly, T. J.; Matchett, M.; McGarry, P.; Sukhtankar, S.; Zhu, J. *Org. Proc. Res. Dev.* **2004**, *8*, 624.
- <sup>135</sup> Krohn, K.; Bernhard, S.; Flörke, U.; Hayat, N. *J. Org. Chem.* **2000**, *65*, 3218.
- <sup>136</sup> (a) Auerbach, J.; Weissman, S. A.; Blackblock, T. J.; Angelos, M. R.; Hoogsteen, K. *Tetrahedron Lett.* **1993**, *34*, 931. (b) Chassaing, C.; Haudrechy, A.; Langlois, Y. *Tetrahedron Lett.* **1997**, *38*, 4415.
- <sup>137</sup> Tamura, Y.; Fukata, F.; Sasho, M.; Tsugoshi, T.; Kita, Y. *J. Org. Chem.* **1985**, *50*, 2273.
- <sup>138</sup> Bringmann, G.; Menche, D.; Mühlbacher, J.; Reichert, M.; Saito, N.; Pfeiffer, S. S.; Lipshutz, B. H. *Org. Lett.* **2002**, *4*, 2833.
- <sup>139</sup> (a) Tamiya, M.; Ohmori, K.; Kitamura, M.; Kato, H.; Arai, T.; Oorui, M.; Suzuki, K. *Chem. Eur. J.* **2007**, *13*, 9791. (b) Inanaga, J.; Hirata, K.; Saeki, H.; Katsuki, T.; Yamaguchi, M. *Bull. Chem. Soc. Jpn.* **1979**, *52*, 1989.

## Références bibliographiques et notes

- <sup>140</sup> Otera, J. *Esterification : Methods, reactions and applications*; Wiley-VCH Verlag GmbH & Co. KgaA, 2010.
- <sup>141</sup> Bringmann, G.; Hinrichs, J.; Kraus, J.; Wuzik, A.; Schulz, T. *J. Org. Chem.* **2000**, 65, 2517.
- <sup>142</sup> (a) Cuny, G. D. *Tetrahedron Lett.* **2004**, 45, 5167; (b) Fagnou, K.; Campeau, L.-C. *Chem. Comm.* **2006**, 1253.
- <sup>143</sup> Campeau, L.-C.; Parisien, M.; Leblanc, M.; Fagnou, K. *J. Am. Chem. Soc.* **2004**, 126, 9186.
- <sup>144</sup> Alam, A.; Tsuboi, S. *Tetrahedron* **2007**, 63, 10454.
- <sup>145</sup> (a) McKillop, A.; Turrell, A. G.; Young, D. W.; Taylor, E. C. *J. Am. Chem. Soc.* **1980**, 102, 6504. (b) Albrecht, M. *Synthesis* **1996**, 230.
- <sup>146</sup> Isolated as a mixture with bromoester **2.16**
- <sup>147</sup> Pour des informations générales sur la réaction de substitution nucléophile aromatique voir : (a) Suwinski, J.; Swierczek, K. *Tetrahedron* **2001**, 57, 1639. (b) Rossi, R. A.; Pierini, A. B.; Peñéñory, A. B. *Chem. Rev.* **2003**, 103, 71. (c) Makosza, M.; Wojciechowski, K. *Chem. Rev.* **2004**, 104, 2631. (d) Charushin, V. N.; Chupakhin, O. N. *Mendeleev Commun.* **2007**, 17, 249. (e) Crampton, M. R. In *Organic Reaction Mechanisms*; A. C. Knipe, W. E. W., Ed.; John Wiley & Sons: UK, 2004, p 189.
- <sup>148</sup> Fuson, R. C.; Wassmundt, F. W. *J. Am. Chem. Soc.* **1956**, 78, 5409.
- <sup>149</sup> Rice, J. E.; He, Z.-M. *J. Org. Chem.* **1990**, 55, 5490.
- <sup>150</sup> Rice, J. E.; Shih, H.-C.; Hussain, N.; LaVoie, E. J. *J. Org. Chem.* **1987**, 52, 849.
- <sup>151</sup> Hotta, H.; Suzuki, T.; Miyano, S. *Chem. Lett.* **1990**, 143.
- <sup>152</sup> Oi, S.; Matsunaga, K.; Hattori, T.; Miyano, S. *Synthesis* **1993**, 895.
- <sup>153</sup> Hattori, T.; Tanaka, H.; Okaishi, Y.; Miyano, S. *J. Chem. Soc., Perkin Trans. I* **1995**, 235.
- <sup>154</sup> Parker, J. S.; Smith, N. A.; Welham, M. J.; Moss, W. O. *Org. Process Res. Dev.* **2004**, 8 (1), 45.
- <sup>155</sup> Un dérivé naphtalénique peut être transformé dans une réaction  $S_NAr$  plus facilement qu'un dérivé benzénique analogue. Voir Brückner, R. *Mécanismes réactionnels en chimie organique*; De Boeck Université 1999.
- <sup>156</sup> Hattori, T.; Suzuki, T.; Miyano, S. *J. Chem. Soc., Chem. Com.* **1991**, 1375.
- <sup>157</sup> Heathcock, C. H.; Pirrung, M. C.; Montgomery, S. H.; Lampe, J. *Tetrahedron* **1981**, 23, 4087.
- <sup>158</sup> Hattori, T.; Suzuki, T.; Hayashizaka, N.; Koike, N.; Miyano, S. *Bull. Chem. Soc. Jpn.* **1993**, 66 (10), 3034.
- <sup>159</sup> Hattori, T.; Hayashizaka, N.; Miyano, S. *Synthesis* **1995**, 41.
- <sup>160</sup> (a) Huang, H.-C.; Reitz, D. B.; Chamberlain, T. S.; Olins, G. M.; Corpus, V. M.; McMahon, E. G.; Palomo, M. A.; Koepke, J. P.; Smits, G. J.; McGraw, D. E.; Blaine, E. H.; Manning, R. E. *J. Med. Chem.* **1993**, 36, 2172. (b) Kubo, K.; Kohara, Y.; Imamiya, E.; Sugiura, Y.; Inada, Y.; Furukawa, Y.; Nishikawa, K.; Naka, T. *J. Med. Chem.* **1993**, 36, 2182. et les références citées.
- <sup>161</sup> Aki, S.; Haraguchi, Y.; Sakikawa, H.; Ishigami, M.; Fujioka, T.; Furuta, T.; Minamikawa, J.-I. *Org. Process Res. Dev.* **2001**, 5 (5), 535.
- <sup>162</sup> Pirrung, M. C.; Heathcock, C. H. *J. Org. Chem.* **1980**, 45, 1727.
- <sup>163</sup> Tanaka, T.; Sakurai, Y.; Fujisawa, N.; Hongoh, O.; Nishi, T. WO95/00468, 1995.
- <sup>164</sup> Yamaki, M.; Bai, L.; Inoue, K.; Takagi, S. *Phytochemistry* **1989**, 28, 3503.
- <sup>165</sup> (a) Hattori, T.; Shimazumi, Y.; Yamabe, O.; Koshiishi, E.; Miyano, S. *Chem. Commun.* **2002**, 2234. (b) Hattori, T.; Shimazumi, Y.; Goto, H.; Yamabe, O.; Morohashi, N.; Kawai, W.; Miyano, S. *J. Org. Chem.* **2003**, 68, 2099.
- <sup>166</sup> Hattori, T.; Koike, N.; Satoh, T.; Miyano, S. *Tetrahedron Lett.* **1995**, 36, 4821.
- <sup>167</sup> Hattori, T.; Takeda, A.; Suzuki, K.; Koike, N.; Koshiishi, E.; Miyano, S. *J. Chem. Soc. Perkin Trans. I* **1998**, 3661.
- <sup>168</sup> La présence d'un méthyle en position 3 retarde la réaction  $S_NAr$  voir Hattori, T.; Koike, N.; Miyano, S. *J. Chem. Soc., Perkin Trans. I* **1994**, 2273.
- <sup>169</sup> Il est généralement admis que les substituants électroattracteurs favorisent la  $S_NAr$  alors que les groupements électrodonneurs la retardent. Voir Bunnett, J. F.; Zahler, R. E. *Chem. Com.* **1951**, 273.
- <sup>170</sup> Wells, K. M.; Shi, Y.; Lynch, J. E.; Humphrey, G. R.; R. P. Volante R. P.; Reider, P. J. *Tetrahedron Lett.* **1996**, 37, 6439.

## Références bibliographiques et notes

- 171 Boyd, M. R.; Hallock, Y. F.; Cardellina II, J. H.; Manfredi, K. P.; Blunt, J. W.; McMahon, J. B.; Buckheit Jr., R. W.; Bringmann, G.; Schäffer, M.; Cragg, G. M.; Thomas, D. W.; Jato, J. G. *J. Med. Chem.* **1994**, 37, 1740.
- 172 Pour un effet similaire en série benzonitrile, voir Fuson, R. C; Chadwick, D. W. *J. Org. Chem.* **1948**, 13, 484.
- 173 Kojima, T.; Ohishi, T.; Yamamoto, I.; Matsuoka, T.; Kotsuki, H. *Tetrahedron Lett.* **2001**, 42, 1709.
- 174 Hattori, T.; Hotta, H.; Suzuki, T.; Miyano, S. *Bull. Chem. Soc. Jpn.* **1993**, 66, 613.
- 175 Koshiishi, E.; Hattori, T.; Ichihara, N.; Miyano, S. *J. Chem. Soc., Perkin Trans. 1* **2002**, 377.
- 176 Hattori, T.; Iwato, H.; Natori, K.; Miyano, S. *Tetrahedron Asym.* **2004**, 15, 881.
- 177 Van Veldhuizen, J. J.; Gillingham, D. G.; Garber, S. B.; Kataoka, O.; Hoveyda, A. H. *J. Am. Chem. Soc.* **2003**, 125, 12502.
- 178 Koike, N.; Hattori, T.; Takeda, A.; Okaishi, Y.; Miyano, S. *Chem. Lett.* **1997**, 641.
- 179 Shindo, M.; Yamamoto, Y.; Yamada, K. -I.; Tomioka, K. *Chem. Pharm. Bull.* **2009**, 57 (7), 752.
- 180 Hattori, T.; Koike, N.; Okaishi, Y.; Miyano, S. *Tetrahedron Lett.* **1996**, 37, 2057.
- 181 Kamikawa, K.; Uemura, M. *Tetrahedron Lett.* **1996**, 37, 6359.
- 182 Meyers, A. I.; Mihelich, E. D. *J. Am. Chem. Soc.* **1975**, 97, 7383.
- 183 Meyers, A. I.; Gabel, R.; Mihelich, E. D. *J. Org. Chem.* **1978**, 43, 1372.
- 184 Meyers, A. I.; Williams, B. E. *Tetrahedron Lett.* **1978**, 3, 223.
- 185 (a) Sasikumar, T. K.; Burnett, D. A.; Zhang, H.; Smith-Torhan, A.; Fawzi, A.; Lachowicz, J. E. *Bioorg. Med. Chem. Lett.* **2006**, 16 (17), 4543. (b) Guo, Z.; Schultz, A. G. *Tetrahedron Lett.* **2001**, 42 (9), 1603. (c) Kim, D.; Wang, L.; Hale, J. J.; Lynch, C. L.; Budhu, R. J.; MacCoss, M.; Mills, S. G.; Malkowitz, L.; Gould, S. L.; DeMartino, J. A.; Springer, M. S.; Hazuda, D.; Miller, M.; Kessler, J.; Hrin, R. C.; Carver, G.; Carella, A.; Henry, K.; Lineberger, J.; Schleif, W. A.; Emini, E. A. *Bioorg. Med. Chem. Lett.* **2005**, 15 (8), 2129.
- 186 Clayden, J.; Foricher, Y. J. Y.; Lam, H. K. *Eur. J. Org. Chem.* **2002**, 3558.
- 187 (a) Hoarau, C.; Couture, A.; Deniau, E.; Grandclaudon, P. *Synthesis* **2000**, 655. (b) Moreau, A.; Couture, A.; Deniau, E.; Grandclaudon, P. *Synthesis* **2004**, 1664.
- 188 Chupakhin, O. N.; Charushin, V. N.; Vander Plas, H. C. *Nucleophilic Aromatic Substitution of Hydrogen*; Academic Press: San Diego, CA, 1994.
- 189 l'Agence européenne d'évaluation des médicaments (EMEA) indique pour le palladium une dose journalière tolérée de 10 ppm et 1 ppm, si l'API est administré respectivement par voie orale et par voie parentérale, Committee for Medicinal Products for Human Use (CHMP), *Guideline on the specification limits for residues of metal catalysts or metal reagents*, London, 21 Février 2008, [http://www.ema.europa.eu/docs/en\\_GB/document\\_library/Scientific\\_guideline/2009/09/WC500003586.pdf](http://www.ema.europa.eu/docs/en_GB/document_library/Scientific_guideline/2009/09/WC500003586.pdf) (accessible au 29 septembre 2011).
- 190 Bennetau, B.; Mortier, J.; Moyroud, J.; Guesnet, J. L. *J. Chem. Soc. Perkin Trans. 1* **1995**, 1265.
- 191 Nguyen, T. H.; Chau, N. T. T.; Castanet, A.-S.; Nguyen, K. P. P.; Mortier, J. J. *Org. Chem.* **2007**, 72, 3419.
- 192 Gohier, F. Thèse de doctorat, Université du Maine, 2003. <http://cyberdoc.univ-lemans.fr/theses/2003/2003LEMA1005.pdf> (accessible au 20 octobre 2011).
- 193 Micheel, F.; Weichbrodt, K.; Plenikowski, J. *Liebigs Ann. Chem.* **1953**, 581, 238 et 242.
- 194 (a) Kato, S.; Morie, T.; Ohno, K.; Yoshida, N.; Yoshida, T.; Naruto, S. *Chem. Pharm. Bull.* **1995**, 43, 582. (b) Tempest, P.; Ma, V.; Kelly, M. G.; Jones, W.; Hulme, C. *Tetrahedron Lett.* **2001**, 42, 4963. (c) Abrous, L.; Hynes, J.; Friedrich, S. R.; Smith, A. B. III; Hirschmann, R. *Org. Lett.* **2001**, 3, 1089. (d) Abrous, L.; Jokiel, P. A.; Friedrich, S. R.; Hynes, J. Jr.; Smith, A. B. III; Hirschmann, R. *J. Org. Chem.* **2004**, 69, 280. (e) Ritchie, T. J.; Dziadulewicz, E. K.; Culshaw, A. J.; Mller, W.; Burgess, G. M.; Bloomfield, G. C.; Drake, G. S.; Dunstan, A. R.; Beattie, D.; Hughes, G. A.; Ganju, P.; McIntyre, P.; Bevan, S. J.; Davis, C.; Yaqoo, M. *J. Med. Chem.* **2004**, 47, 4642. (f) Nosova, E. V.; Lipunova, G. N.; Laeva, A. A.; Charushin, V. N. *Russ. Chem. Bull.* **2005**, 54, 733. (g) Hennequin, L. F.; Allen, J.; Breed, J.; Curwen, J.; Fennell, M.; Green, T. P.; Lambert-van der Brempt, C.; Morgentin, R.; Norman, R. A.; Olivier, A.; Otterbein, L.; Plé, P.; Warin, N.; Costello, G. *J. Med. Chem.* **2006**, 49, 6465.
- 195 (a) Chen, M. H.; Beylin, V. G.; Iakovleva, E.; Kesten, S. J.; Magano, J.; Vrieze, D. *Synth. Comm.* **2002**, 32, 411. (b) Tran, T. P.; Ellsworth, E. L.; Sanchez, J. P.; Watson, B. M. *Bioorg. Med. Chem. Lett.* **2007**, 17, 1312. (c) Marlow, A., L.; Wallace, E.; Seo, J.; Lyssikatos, J., P.; Yang, H. W.; Blake, J.; Storey, R. A.; Se Booth, R. J.; Pittam, J. D.; Leonard, J.; Fielding, M. R. WO2007044084A2, 2007. (d) Davis, E. M.; Nanninga, T. N.; Tjiong, H. I.; Winkle, D. *Org. Process Res. Dev.* **2005**, 9, 843.

## Références bibliographiques et notes

- <sup>196</sup> Imanishi, M.; Tomishima, Y.; Itou, S.; Hamashima, H.; Nakajima, Y.; Washizuka, K.; Sakurai, M.; Matsui, S.; Imamura, E.; Ueshima, K.; Yamamoto, T.; Yamamoto, N.; Ishikawa, H.; Nakano, K.; Unami, N.; Hamada, K.; Matsumura, Y.; Takamura, F.; Hattori, K. *J. Med. Chem.* **2008**, *51*, 1925.
- <sup>197</sup> (a) Belaud-Rotureau, M., thèse de doctorat, Université du Maine, 2010. [http://tel.archives-ouvertes.fr/docs/00/51/08/19/PDF/210-07-09\\_thA\\_seMB.pdf](http://tel.archives-ouvertes.fr/docs/00/51/08/19/PDF/210-07-09_thA_seMB.pdf) (accessible au 20 octobre 2011). (b) Belaud-Rotureau, M.; Le, T. T.; Phan, T. H. T.; Nguyen, T. H.; Aissaoui, R.; Gohier, F.; Derdour, A.; Nourry, A.; Castanet, A.-S.; Nguyen, K. P. P.; Mortier, J. *Org. Lett.* **2010**, *12* (10), 2406.
- <sup>198</sup> Les alcoxyaryloxazolines présentent une réactivité similaire : ref<sup>21b</sup> et ref<sup>183</sup>.
- <sup>199</sup> Hashimoto, A.; Matsuda, S.; Tai, K.; Tone, H.; Nishi, T.; Inamikawa, J.; Tominaga, M. (Otsuka Pharmaceutical Co., Ltd.) WO2000015596, 2000.
- <sup>200</sup> (a) Frazee, J. S.; Hammond, M.; Manns, S.; Thompson, S. K.; Washburn, D. G.; Kano, K.; Nakamura, H. U.S. Patent US 20090233955 A1, 2009. (b) Hammond, M.; Washburn, D. G.; Hoang, T. H.; Manns, S.; Frazee, J. S.; Nakamura, H.; Patterson, J. R.; Trizna, W.; Wu, C.; Azzarano, L. M.; Nagilla, R.; Nord, M.; Trejo, R.; Head, M. S.; Zhao, B.; Smallwood, A. M.; Hightower, K.; Laping, N. J.; Schnackenberg, C. G.; Thompson, S. K. *Bioorg. Med. Chem. Lett.* **2009**, *19*, 4441.
- <sup>201</sup> Kasai, K.; Kubota, M.; Suzuki, R.; Ozawa, T.; Ishikawa, T.; Kobayashi, M.; Sonehara, J.; Kobayashi, M. U.S. Patent US 20090030218 A1, 2009.
- <sup>202</sup> (a) Travaux de thèse de Regadia Aissaoui, soutenance prévue en janvier 2012. (b) Aissaoui, R.; Nourry, A.; Coquel, A.; Dao, T. T. H.; Derdour, A.; Helesbeux, J. J.; Duval, O.; Castanet, A.-S.; Mortier, J. *J. Org. Chem.* Soumis.
- <sup>203</sup> D'une façon générale, les réactions de substitution nucléophile aromatique des dérivés naphthaléniques sont plus facile que celles des dérivés benzéniques correspondants. Voir (a) Brückner, R. *Mécanismes réactionnels en chimie organique*; De Boeck Université 1999. (b) Voir aussi Bunnett, J. F.; Zahler, R. E. *Chem. Rev.* **1951**, 273.
- <sup>204</sup> Rendement RMN.
- <sup>205</sup> Vorbrüggen, H. *Silicon-mediated Transformations of Functional Groups*; Wiley-VCH Verlag GmbH & Co. KGaA, Weinheim, 2004.
- <sup>206</sup> Hwu, J. R.; Chen, B.-L.; Shiao, S.-S. *J. Org. Chem.* **1995**, *60*, 2448 et références citées.
- <sup>207</sup> Rappoport, Z.; Apeloig, Y. Eds; Wiley: Chichester *The Chemistry of Organosilicone Compounds*; Vol. 2, 1998.
- <sup>208</sup> Les travaux sur les acides 2,Z-diméthoxybenzoïques (**4.7a-d**) ont été initiés par Arnaud Nourry, ATER 2009-2010.
- <sup>209</sup> Voir Fuson, R. C.; Gaertner, R. *J. Org. Chem.* **1948**, *13*, 496.
- <sup>210</sup> Hutchings, R. H.; Meyers, A. I. *J. Org. Chem.* **1996**, *61*, 1004.
- <sup>211</sup> Gaertner, R. *Chem. Rev.* **1949**, *45*, 493.
- <sup>212</sup> L'effet CIPE a été largement évoqué dans le cadre des réactions de déprotonation par les bases lithiées. Revue : (a) Beak, P.; Meyers, A. I. *Acc. Chem. Res.* **1986**, *19*, 356. Voir également (b) Castanet, A.-S.; Tilly, D.; Véron, J.-B.; Samanta, S. S.; De, A.; Ganguly, T.; Mortier, J. *Tetrahedron* **2008**, *64*, 3331. (c) refs<sup>66a,f,g</sup> et ref<sup>67</sup>.
- <sup>213</sup> (a) Hodge P.; Perry, G. M.; Yates, P. *J. Chem. Soc. Perkin Trans. I* **1977**, 680. (b) Gilday, J. P.; Paquette, L. A. *Tetrahedron Lett.* **1988**, *29* (36), 4505 et ref citées. (c) Mehta, G.; Venkateswaran, R. V. *Tetrahedron* **2000**, *56*, 1399.
- <sup>214</sup> Saa, J. M.; Deya, P. M.; Suner, G. A.; Frontera, A. *J. Am. Chem. Soc.* **1992**, *114*, 9093.
- <sup>215</sup> Concernant les réactions de fragmentation d'anions par décompression stérique résultant de la libération d'un anion lithié stabilisé, voir: Tomboulian, P.; Stehower, K. *J. Org. Chem.* **1968**, *33*, 1509.
- <sup>216</sup> Davies, D. G.; Derenberg, M.; Hodge, P. *J. Chem. Soc. (C)* **1971**, 455.
- <sup>217</sup> (a) Schlosser, M.; Katsoulos, G.; Takagishi, S. *Synlett* **1990**, 747. (b) Mongin, F.; Schlosser, M. *Tetrahedron Lett.* **1996**, *37* (36), 6551. (c) Moyroud, J.; Guesnet, J.-L.; Bennetau, B.; Mortier, J. *Tetrahedron Lett.* **1995**, *36* (6), 881.
- <sup>218</sup> Jorgenson, M. *J. Org. Reactions* **1970**, *18*, 1.
- <sup>219</sup> Les réactions réalisées à température ambiante conduisent également à la formation exclusive de produits d'addition sur le carbonyle.
- <sup>220</sup> Amii, H.; Uneyama, K. *Chem. Rev.* **2009**, *109*, 2119.
- <sup>221</sup> Un mécanisme de type  $S_NR1$  pour les acides 2-fluoro ou 2-méthoxybenzoïques semble peu vraisemblable dans la mesure où l'addition de pièges à radicaux (tétraphénylhydrazine ou dimère du 2-méthyl-2-

## Références bibliographiques et notes

nitrosopropane) à un mélange d'acide 2-fluorobenzoïque et LiNEt<sub>2</sub> conduit seulement à une faible diminution du rendement en produit de réaction. Voir ref<sup>197b</sup>.

<sup>222</sup> L'addition conjuguée d'organolithiens aux acides 1- et 2-naphtoïques suivi par un piégeage par divers électrophiles permet un accès efficace aux 1,2-dihydronaphthalènes 1,1,2- et 1,2,2-trisubstitués. Voir ref<sup>69a</sup>.

<sup>223</sup> (a) Lefour, J.-M.; Loupy, A. *Tetrahedron* **1978**, 34, 2597. (b) Deschamps, B.; Nguyen, T. A.; Seyden Penne, J. *Tetrahedron Lett.* **1973**, 7, 527. (c) Cohen, T.; Abraham, W. D.; Myers, M. *J. Am. Chem. Soc.* **1987**, 109, 7923. (d) Yamazaki, T.; Hiraoka, S.; Kitazume, T. *J. Org. Chem.* **1994**, 59, 5100. (e) Pridgen, L. N.; Mokhallaati, M. K.; Wu, M.-J. *J. Org. Chem.* **1992**, 57, 1237. (f) Reich, H. J.; Sikorski, W. H. *J. Org. Chem.* **1999**, 64, 14. (g) Chatfield, D. C.; Augsten, A.; D'Cunha, C.; Lewandowska, E.; Wnuk, S. F. *Eur. J. Org. Chem.* **2004**, 313. (h) Sosnicki, J. G. *Tetrahedron* **2009**, 65, 1336.

<sup>224</sup> (a) Tomioka, K.; Shioya, Y.; Nagaoka, Y.; Yamada, K.-I. *J. Org. Chem.* **2001**, 66, 7051. (b) Tomioka, K.; Okamoto, T.; Kanai, M.; Yamataka, M. *Tetrahedron Lett.* **1994**, 35 (12), 1891.

<sup>225</sup> D'après la RMN du brut réactionnel, on peut estimer que sur les 2.2 équiv. d'aryllithiens potentiellement formés par échange brome-lithium, 0.5 équiv. sont consommés par cette réaction d'alkylation.

<sup>226</sup> Bailey, W. F.; Ludere, M. R.; Jordan, K. P. *J. Org. Chem.* **2006**, 71, 2825.

<sup>227</sup> (a) Bailey, W. F.; Punzalan, E. R.; *J. Org. Chem.* **1990**, 55, 5404. (b) Bailey, W. F.; Patricia, J. J. *J. Organomet. Chem.* **1988**, 352, 1. (c) Goto, S.; Velder, J.; El Sheikh, S.; Sakamoto, S.; Mitani, N.; Elmas, S.; Adler, A.; Becker, A.; Neudörfl, J.-M.; Lex, J.; Schmalz, H.-G. *Synlett* **2008**, 1361. (d) Wilcox, C. S.; Cowart, M. D. *Carbohydrate Research* **1987**, 171, 141. (e) Condo, Y.; Asai, M.; Miura, T.; Uchiyama, M.; Sakamoto, M. *Org. Lett.* **2001**, 3 (1), 13.

<sup>228</sup> Nourry, A. stage post-doctoral, 2010.

<sup>229</sup> Le temps de demi-vie du *t*-Buli dans le THF à 0 °C est inférieur à 45 min. Voir ref<sup>77</sup>.

<sup>230</sup> Voir Gupta, L.; Hoepker, A. C.; Singh, K. J.; Collum, D. B. *J. Org. Chem.* **2009**, 74, 2331.

<sup>231</sup> 53 % du réactif de départ **4.9d** est récupéré à l'issu de la réaction.

<sup>232</sup> La vitesse d'échange halogène-lithium diminue dans l'ordre ArI > ArBr > ArCl > ArF; les composés ArCl et ArF ne sont pas utiles en synthèse pour de tels échanges. Voir ref<sup>77</sup>.

<sup>233</sup> (a) Zischinsky, G.; Stragies, R.; Schaudt, M.; Pfeifer, J. R.; Gibson, C.; Locardi, E.; Scharn, D.; Richter, U.; Kalkhof, H.; Dinkel, K.; Schnatbaum, K. *Bioorg. Med. Chem. Lett.* **2010**, 20, 1229. (b) Tang, C.; Subramanian, R.; Kuo, Y.; Krymgold, S.; Lu, P.; Kuduk, S. D.; Ng, C.; Feng, D.-M.; Elmore, C.; Soli, E.; Ho, J.; Bock, M. G.; Baillie, T. A.; Prueksaritanont, T. *Chem. Res. Toxicol.* **2005**, 18, 934. (c) Kuduk, S. D.; Di Marco, C. N.; Chang, R. K.; Wood, M. R.; Schirripa, K. M.; Kim, June J.; Wai, J. M. C.; DiPardo, R. M.; Murphy, K. L.; Ransom, R. W.; Harrell, C. M.; Reiss, D. R.; Holahan, M. A.; Cook, J.; Hess, J. F.; Sain, N.; Urban, M. O.; Tang, C.; Prueksaritanont, T.; Pettibone, D. J.; Bock, M. G. *J. Med. Chem.* **2007**, 50, 272. (d) Wood, M. R.; Schirripa, K. M.; Kim, J. J.; Kuduk, S. D.; Chang, R. K.; Di Marco, C. N.; DiPardo, R. M.; Wan, B.-L.; Murphy, K. L.; Ransom, R. W.; Chang, R. S. L.; Holahan, M. A.; Cook, J. J.; Lemaire, W.; Mosser, S. D.; Bednar, R. A.; Tang, C.; Prueksaritanont, T.; Wallace, A. A.; Mei, Q.; Yu, J.; Bohn, D. L.; Clayton, F. C.; Adarayn, E. D.; Sitko, G. R.; Leonard, Y. M.; Freidinger, R. M.; Pettibone, D. J.; Bock, M. G. *Bioorg. Med. Chem. Lett.* **2008**, 18, 716. (e) Tang, C.; Carr, B. A.; Poignant, F.; Ma, B.; Polksky-Fisher, S. L.; Kuo, Y.; Strong-Basalyga, K.; Norcross, A.; Richards, K.; Eisenhandler, R.; Carlini, E. J.; Di Marco, C. N.; Kuduk, S. D.; Yu, N. X.; Raab, C. E.; Rushmore, T.; Frederick, C. B.; Bock, M. G.; Prueksaritanont, T. *J. Pharmacol. Exp. Ther.* **2008**, 325, 935.

<sup>234</sup> Les agonistes des récepteurs muscariniques M1 pourraient permettre un traitement symptomatique de la maladie d'Alzheimer. Fisher, A.; Pittel, Z.; Haring, R.; Bar-Ner, N.; KligerSpatz, M.; Natan, N.; Egozi, I.; Sonego, H.; Marcovitch, I.; Brandeis, R. *J. Mol. Neurosci.* **2003**, 20, 349.

<sup>235</sup> Budzik, B.; Garzya, V.; Shi, D.; Walker, G.; Lauchart, Y.; Lucas, A. J.; Rivero, R. A.; Langmead, C. J.; Watson, J.; Wu, Z.; Forbes, I. T.; Jin, J. *Bioorg. Med. Chem. Lett.* **2010**, 20, 3545.

<sup>236</sup> Pour d'autres exemples de réactions SNAr « dirigées » par un atome d'halogène, voir Ouellet, S. G.; Bernardi, A.; Angelaud, R.; O'Shea, P. D. *Tetrahedron Lett.* **2009**, 50, 3776.

<sup>237</sup> Brian, E. L.; Edward, G. *J. Org. Chem.* **1999**, 64, 3755.

<sup>238</sup> Liao, Y.-X.; Hu, Q.-S. *J. Org. Chem.* **2010**, 75 (20), 6986.

<sup>239</sup> Chew, W.; Hynes, R. C.; Harpp, D. N. *J. Org. Chem.* **1993**, 58, 4398.

<sup>240</sup> Compound **4.70a** was isolated as a mixture with 4-MeOC<sub>6</sub>H<sub>4</sub>OH (ratio 94:6).

<sup>241</sup> Sharghi, H.; Tamaddon, F. *Tetrahedron* **1996**, 52 (43), 13623.

<sup>242</sup> **4.68d** could not be separated from 2,6-dimethoxybenzoic acid (**4.7d**)

<sup>243</sup> **4.71** could not be separated from 2,3,4-trimethoxybenzoic acid (**4.43**)

## Références bibliographiques et notes

- <sup>244</sup> Saa, J. M.; Dopico, M.; Martonell, G.; Garcia-Raso, A. *J. Org. Chem.* **1990**, *55*, 991.
- <sup>245</sup> Commercial product. CAS : 119-61-9.
- <sup>246</sup> Prepared by adding *n*-BuLi (1.40*M* in hexane, 35 mL, 50 mmol) at -75 °C to a suspension of *t*-BuOK (5.6 g, 50 mmol) in dry THF (100 mL).
- <sup>247</sup> Commercial product. CAS : 4519-39-5.
- <sup>248</sup> Prepared by adding *n*-BuLi (1.50*M* in hexane, 16.7 mL, 25 mmol) at -75 °C to a suspension of *t*-BuOK (2.8 g, 25 mmol) in dry THF (50 mL).
- <sup>249</sup> Commercial product. CAS : 161957-55-7.
- <sup>250</sup> Prepared by adding *n*-BuLi (1.14*M* in hexane, 10.5 mL, 12 mmol) at -78 °C to a solution of anhydrous 2,2,6,6-tetramethylpiperidin (4.2 mL, 12 mmol) in dry THF (50 mL).
- <sup>251</sup> Prepared by adding *n*-BuLi (1.34*M* in hexane, 11.2 mL, 15 mmol) at -75 °C to a suspension of *t*-BuOK (1.68 g, 15 mmol) in dry THF (30 mL).
- <sup>252</sup> Commercial product. CAS : 2358-29-4.
- <sup>253</sup> Commercial product. CAS : 28314-80-9.
- <sup>254</sup> Prepared by adding *n*-BuLi (1.29*M* in hexane, 13.4 mL, 17 mmol) at -78 °C to a solution of anhydrous di-*iso*-propylamine (2.4 mL, 17 mmol).
- <sup>255</sup> Compound **4.95b** was isolated as a mixture with 4,4'-dimethoxybiphenyl (ratio 88:12).
- <sup>256</sup> Castanet, A.-S.; Tilly, D.; Véron, J. B.; Samanta, S. S.; De, A.; Ganguly, T.; Mortier, J. *Tetrahedron* **2008**, *64*, 3331.
- <sup>257</sup> Commercial product. CAS : 100-09-4.
- <sup>258</sup> Inés, B.; Moreno, I.; Sanmartín, R.; Domínguez, E. *J. Org. Chem.* **2008**, *73* (21), 8448.
- <sup>259</sup> Ishiyama, T.; Hartwig, J. *J. Am. Chem. Soc.* **2000**, *122* (48), 12043.
- <sup>260</sup> Pretsch, E.; Bühlmann, P.; Affolter, C. *Structure determination of Organic Compounds*; Springer-Verlag Berlin, 2000.
- <sup>261</sup> Identified by analysis of HMBC and HSQC 2D NMR.
- <sup>262</sup> **4.129** could not be separated with 4-fluoro-2,6-di(methoxyphenyl)benzoic acid **4.130**.
- <sup>263</sup> Mortier, J.; Castanet, A.-S.; Chau, N. T. T. WO2009080949 A1, 2009.



## Annexe

Le présent travail a fait l'objet de deux publications :

Belaud-Rotureau, M.; Le, T. T.; Phan, T. H. T.; Nguyen, T. H.; Aissaoui, R.; Gohier, F.; Derdour, A.; Nourry, A.; Castanet, A.-S.; Nguyen, K. P. P.; Mortier, J. « *Synthesis of N-Aryl and N-Alkyl Anthranilic Acids via S<sub>N</sub>Ar Reaction of Unprotected 2-Fluoro and 2-Methoxybenzoic Acids by Lithioamides* » *Org. Lett.* **2010**, 12, 2406.

Le, T. T.; Chau, N. T. T.; Nguyen, T. T.; Brien, J.; Thai, T. T.; Nourry, A.; Castanet, A.-S.; Nguyen, K. P. P.; Mortier J. « *Evidence for a Trianion Intermediate in the Metalation of 4-Hydroxy-6,7-dimethoxy-8-methyl-2-naphthoic Acid. Methodology and Application to Racemic 5,5'-Didesisopropyl-5,5'-dialkylapogossypol Derivatives* » *J. Org. Chem.* **2011**, 76 (2), 601-608.



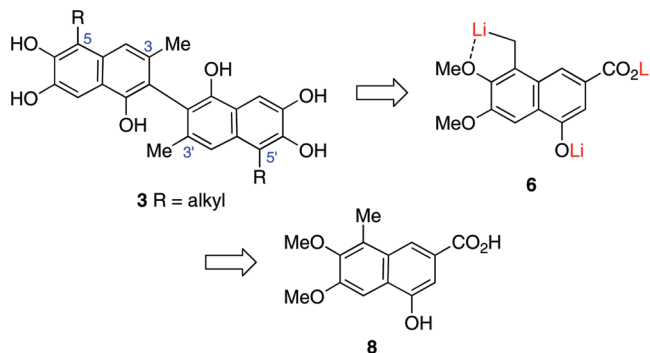
# Evidence for a Trianion Intermediate in the Metalation of 4-Hydroxy-6,7-dimethoxy-8-methyl-2-naphthoic Acid. Methodology and Application to Racemic 5,5'-Didesisopropyl-5,5'-dialkylapogossypol Derivatives

Tin Thanh Le,<sup>‡</sup> Nguyet Trang Thanh Chau,<sup>‡,§</sup> Tai Tan Nguyen,<sup>‡</sup> Josselin Brien,<sup>‡</sup> Trieu Tien Thai,<sup>‡</sup> Arnaud Nourry,<sup>‡</sup> Anne-Sophie Castanet,<sup>‡</sup> Kim Phi Phung Nguyen,<sup>§</sup> and Jacques Mortier<sup>\*,‡</sup>

<sup>‡</sup>Université du Maine and CNRS, Unité de Chimie Organique Moléculaire et Macromoléculaire (UMR 6011), Faculté des Sciences, avenue Olivier Messiaen, 72085 Le Mans Cedex 9, France, and <sup>§</sup>University of Ho Chi Minh City, École des Sciences naturelles, Laboratoire de Chimie Organique, 227/2 Nguyen van Cu, Arrondissement 5, Ho Chi Minh City, Viet Nam

jacques.mortier@univ-lemans.fr

Received October 28, 2010



The metalation of 4-hydroxy-6,7-dimethoxy-8-methyl-2-naphthoic acid (**8**) affording trianion **6** is presented and applied to the regioselective efficient construction of a series of 5,5'-didesisopropyl-5,5'-dialkylapogossypol derivatives **3** that are potent pan-active inhibitors of antiapoptotic Bcl-2 family proteins.

## Introduction

Due to the ample ortho substitution present in the complex polyphenolic binaphthyl gossypol (**1**) (Figure 1), the yellow main pigment of cotton seed, restricted rotation about the symmetrically structural aryl–aryl bond shows relatively stable axially chiral enantiomers and indeed both have been isolated from natural sources.<sup>1</sup> Compound **1** displays multiple pharmacological applications: male oral contraceptive, treatment of bronchitis, total inhibitor of the replication of HIV 1, in vitro antiviral activity against herpes type 2 virus, influenza virus.<sup>1</sup>

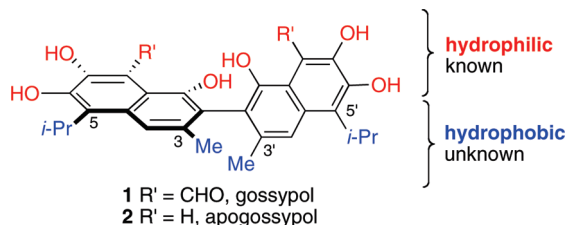


FIGURE 1. Gossypol (**1**) and apogossypol (**2**).

These are gossypol's anticancer properties that have most recently generated the most interest. Gossypol is a potent inhibitor of Bcl-2, Bcl-XL, and Mcl-1, functioning as a BH3

\*To whom correspondence should be addressed. Fax: +33 (0) 243 83 39 02.  
(1) Reviews: (a) Kenar, J. A. *J. Am. Oil Chem. Soc.* **2006**, *83*, 269–302.

(b) Dodou, K. *Expert Opin. Invest. Drugs* **2005**, *14*, 1419–1434.

(2) (a) Kitada, S.; Leone, M.; Sareth, S.; Zhai, D.; Reed, J. C.; Pellecchia, M. *J. Med. Chem.* **2003**, *46*, 4259–4264. (b) Zhang, M.; Liu, H.; Guo, R.; Ling, Y.; Wu, X.; Li, B.; Roller, P. P.; Wang, S.; Yang, D. *Biochem. Pharmacol.* **2003**, *66*, 93–103.

(3) Ascenta Therapeutics Web site. <http://www.ascenta.com/development/index.php#at101> (accessed October 27, 2010). See also : Wang, S.; Yang, D. US2003008924A1, 2003.

mimetic.<sup>2</sup> It is currently in phase II clinical trials, displaying single-agent antitumor activity in patients with advanced malignancies.<sup>3</sup>

In spite of its broad biological interest, very little attention has been paid to the total synthesis of **1**. A formal racemic synthesis was reported by Edwards and Cashaw in 1956.<sup>4</sup> In the course of their synthesis of desapogossypol hexamethyl ether, Shirley reported an organolithium–CoBr<sub>2</sub> oxidative coupling that proceeded in poor yield (25%).<sup>5</sup> The first asymmetric total synthesis of (*S*)-(+)-gossypol was described by Meyers using chiral oxazolines as the naphthyl substituent via an asymmetric Ullmann coupling.<sup>6</sup>

Whereas many efforts were focused on modifying the hydrophilicity of gossypol's structure by hemisynthesis to enhance its therapeutic effects while minimizing its toxicity,<sup>1</sup> almost nothing is known about the influence of the two hydrophobic 5,5'-diisopropyl and 3,3'-dimethyl moieties. Recent docking studies suggest that it might be possible to modulate the biological activity in terms of efficiency and specificity by modifying the substitution pattern at the 5,5' positions.<sup>7</sup> In mice studies, compound **1** displays some toxicity and off target effects likely due to the two reactive aldehyde groups, which are important for targeting other cellular proteins such as dehydrogenases, for example. Apogossypol (**2**), a degradation derivative of **1** that lacks the aldehydes, retains activity against antiapoptotic Bcl-2 family proteins in vitro and in cells.<sup>8</sup>

A recent report by Pellecchia et al.<sup>9</sup> describing an hemisynthesis to 5,5'-substituted apogossypol derivatives **3** that replaces the isopropyl groups with alkyl groups prompts us to describe our own results in reaching these important substances. Retrosynthetic analysis pointed to a naphthoic acid such as **8** as a possible precursor to the apogossypol skeleton (Figure 2). Lateral lithiation of **8** followed by alkylation should afford in principle naphthoic acid **4** possessing the requisite alkyl substituent. Parent 1- and 2-naphthoic acids display a rather complex reactivity toward organolithium reagents.<sup>10</sup> Therefore, compound **8** can be metalated potentially by strong bases ortho to the carboxy<sup>10</sup> and methoxy<sup>11</sup> functions, i.e., in positions 1, 3, and 5. The CO<sub>2</sub>H group is also

(4) (a) Edward, J. D., Jr.; Cashaw, J. L. *J. Am. Chem. Soc.* **1956**, *78*, 3224–3225. See also: (b) Ognyanov, V. I.; Petrov, O. S.; Tiholov, E. P.; Mollov, N. M. *Helv. Chim. Acta* **1989**, *72*, 353–360. (c) Venuti, M. C. *J. Org. Chem.* **1981**, *46*, 3124–3127.

(5) Shirley, D. A.; Dean, W. L. *J. Am. Chem. Soc.* **1957**, *79*, 1205–1207.

(6) (a) Meyers, A. I.; Willemse, J. J. *Chem. Commun.* **1997**, 1573–1574. (b) Meyers, A. I.; Willemse, J. J. *Tetrahedron* **1998**, *54*, 10493–10511.

(7) Brown, W. M.; Metzger, L. E.; Barlow, J. P.; Humsaker, L. A.; Deck, L. M.; Royer, R. E.; Vander Jagt, D. L. *Chem.-Biol. Interact.* **2003**, *143*–144, 481–491.

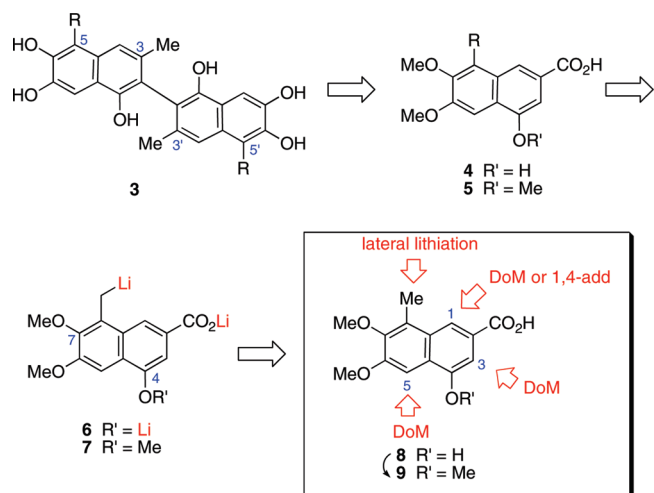
(8) Beccattini, B.; Kitada, S.; Leone, M.; Monosov, E.; Chandler, S.; Zhai, D.; Kipps, T. J.; Reed, J. C.; Pellecchia, M. *Chem. Biol.* **2004**, *11*, 389–395.

(9) Wei, J.; Kitada, S.; Rega, M. F.; Stebbins, J. L.; Zhai, D.; Cellitti, J.; Yuan, H.; Emdadi, A.; Dahl, R.; Zhang, Z.; Yang, L.; Reed, J. C.; Pellecchia, M. *J. Med. Chem.* **2009**, *52*, 4511–4523.

(10) Tilly, D.; Castanet, A.-S.; Mortier, J. *J. Chem. Lett.* **2005**, *34*, 446–447.

(11) (a) Nguyen, T. H.; Chau, N. T. T.; Castanet, A.-S.; Nguyen, K. P. P.; Mortier, J. *J. Org. Chem.* **2007**, *72*, 3419–3429. (b) Nguyen, T. H.; Castanet, A.-S.; Mortier, J. *Org. Lett.* **2006**, *8*, 765–768. (c) Nguyen, T. H.; Chau, N. T. T.; Castanet, A.-S.; Nguyen, K. P. P.; Mortier, J. *Org. Lett.* **2005**, *7*, 2445–2448. (d) Substitution of the methoxy group in unprotected 2-methoxy-1-naphthoic acid and 1-methoxy-2-naphthoic acid to afford the corresponding anthranilic acids occurs upon reaction with lithioamides: Belaud-Rotureau, M.; Le, T. T.; Phan, T. H. T.; Nguyen, T. H.; Aissaoui, R.; Gohier, F.; Derdour, A.; Nourry, A.; Castanet, A.-S.; Nguyen, K. P. P.; Mortier, J. *Org. Lett.* **2010**, *12*, 2406–2409.

(12) Plunian, B.; Mortier, J.; Vaultier, M.; Toupet, L. *J. Org. Chem.* **1996**, *61*, 5206–5207.

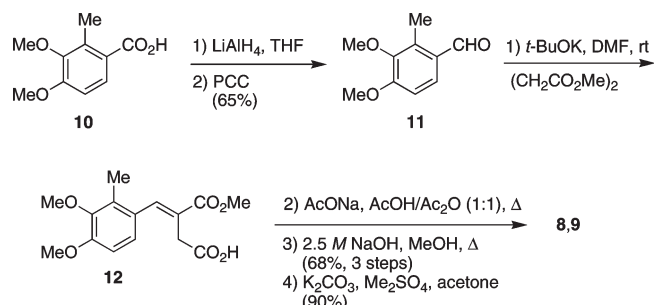


**FIGURE 2.** 5,5'-Didesisopropyl-5,5'-dialkylapogossypol derivatives **3** from naphthoic acid precursors **8** and **9**.

known to promote 1,4-addition of metallating agents to the naphthalene π-system.<sup>12</sup>

Since lateral lithiation of **8** involves the formation of a trianion **6** that is unprecedented in the naphthalene series, metalation of trimethoxylated naphthoic acid **9** via the intermediacy of dianion **7** was preliminarily tested. Last, reduction of the carboxylate of compound **4** followed by dimerization of the resulting α-naphthol should provide apogossypol derivatives **3**.

### SCHEME 1. Preparation of 4-Hydroxy-6,7-dimethoxy-8-methyl-2-naphthoic Acid (**8**) and 4,6,7-Trimethoxy-8-methyl-2-naphthoic Acid (**9**)



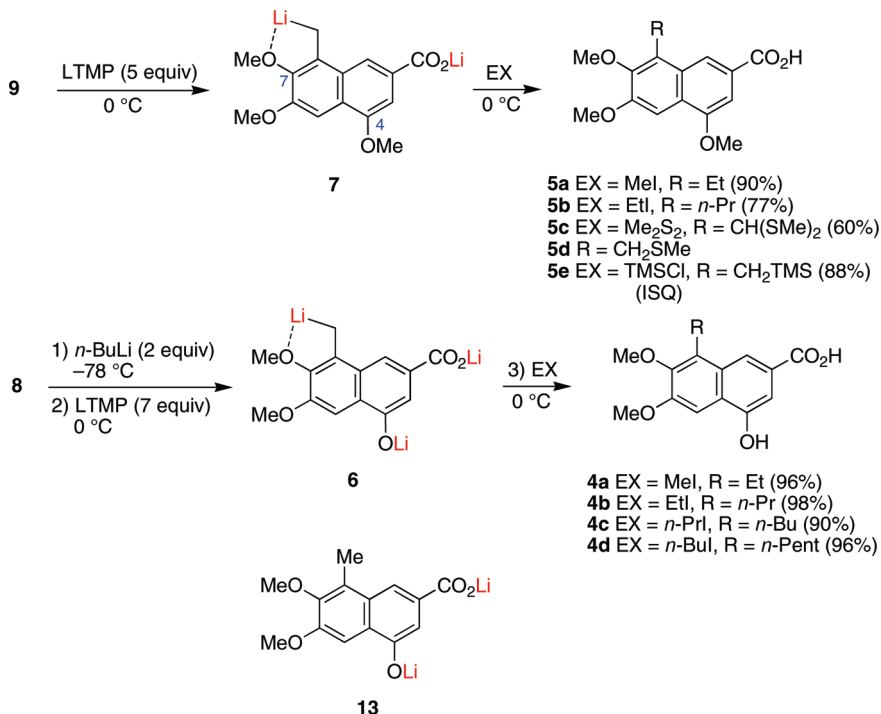
### Results and Discussion

Naphthoic acids **8** and **9** were prepared according to Scheme 1. Reduction of 3,4-dimethoxy-2-methylbenzoic acid (**10**)<sup>13</sup> providing aldehyde **11** was achieved with  $\text{LiAlH}_4/\text{PCC}$ .<sup>14</sup> Aldehyde **11** was subjected to Stobbe condensation conditions<sup>4c</sup> by using  $t\text{-BuOK}$ /dimethyl succinate to give the half-ester acid **12**, which was not isolated but directly treated with sodium acetate in  $\text{AcOH}/\text{Ac}_2\text{O}$  (1:1). After saponification, naphthoic acid **8** was isolated in 68% yield (3 steps). Subsequent

(13) Prepared by metalation of veratric acid with LTMP (4 equiv) at  $0^\circ\text{C}$  followed by quench with iodomethane. See: Chau, N. T. T.; Nguyen, T. H.; Castanet, A.-S.; Nguyen, K. P. P.; Mortier, J. *Tetrahedron* **2008**, *64*, 10552–10557.

(14) Borchardt, R. T.; Bhatia, P. *J. Med. Chem.* **1982**, *25*, 263–271.

**SCHEME 2.** Lateral Lithiation of 4,6,7-trimethoxy-8-methyl-2-naphthoic Acid (**9**) and 4-Hydroxy-6,7-dimethoxy-8-methyl-2-naphthoic Acid (**8**)



methylation of **8** to give **9** was performed under standard conditions.

Lateral lithiation of benzenes requires an ortho-stabilizing group capable of either delocalizing a negative charge or stabilizing the organolithium by coordination.<sup>15</sup> Primary, allylic, and benzylic halides usually give good yields of laterally alkylated products. Secondary and acetylenic halides have been used in several instances. Successful reaction with these substrates is noteworthy since many aryllithiums arising from ortho-lithiation reactions do not alkylate or give poor yields with halides other than iodomethane.<sup>16</sup> Whereas lateral lithiation of *o*-toluic acids is readily accomplished by treatment with LDA, reaction of *o*-methylanisole with organolithium reagents suffers from competing ortho-lithiation.<sup>15</sup>

LTMP (5 equiv) deprotonated laterally the trimethoxylated naphthoic acid **9** to dianion **7** stabilized by coordination of the benzylic lithium with the etherial oxygen in position 7 (Scheme 2). Subsequent alkylation with MeI and EtI afforded **5a** (90%) and **5b** (77%). With dimethyl disulfide, the monosubstitution product **5d** was remetalated during the quench to provide **5c** exclusively.<sup>17</sup> Under in situ quench (ISQ) conditions, in which **9** was added to a mixture of LTMP/TMSCl at  $-78\text{ }^{\circ}\text{C}$ ,<sup>18</sup> **5e** was isolated in 88% yield.

To our delight, lateral lithiation/alkylation of naphthoic acid **8** with LTMP/MeI afforded **4a** in excellent yield (96%).

(15) (a) Clark, R. D.; Jahangir, A. *Org. React.* **1995**, *47*, 1–314. (b) Clayden, J. *Organolithiums: Selectivity for Synthesis*; Pergamon: Oxford, 2002; pp 73–85.

(16) (a) Bennetau, B.; Mortier, J.; Moyroud, J.; Guesnet, J. *L. J. Chem. Soc., Perkin Trans. I* **1995**, 1265–1271. (b) Flippin, L. A. *Tetrahedron Lett.* **1991**, *32*, 6857–6860. (c) Buttery, C. D.; Knight, D. W.; Nott, A. P. *Tetrahedron Lett.* **1982**, *23*, 4127–4130. (d) Comins, D. L.; Brown, J. D.; Mantlo, N. B. *Tetrahedron Lett.* **1982**, *39*, 3979–3982.

(17) Remetalation of **5d** presumably occurs faster than destruction of the excess of LTMP by the electrophile. See: Gohier, F.; Castanet, A.-S.; Mortier, J. *J. Org. Chem.* **2005**, *70*, 1501–1504.

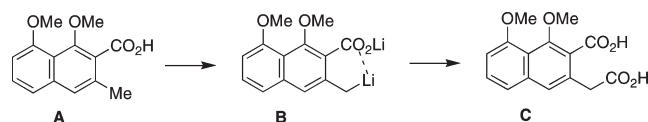
(18) Krizan, T.; Martin, J. *J. Am. Chem. Soc.* **1983**, *105*, 6155–6157.

Best results were obtained when the reaction was carried out with 7 equiv of LTMP in THF at  $0\text{ }^{\circ}\text{C}$ , after in situ formation of the dilithium salt **13** with 2 equiv of *n*-BuLi at  $-78\text{ }^{\circ}\text{C}$ , followed by addition of MeI. The excess of LTMP produced a trilithium reagent presumed to be **6** as a reddish brown solution. No traces of ortho-substitution products were detected in the crude reaction mixture. An excess of LTMP was required presumably because the p-electrons of the methoxy and lithium alkoxide groups coordinate strongly with the base.<sup>19</sup> According to these optimized conditions, **6** also reacted with a variety of iodoalkanes to give the substitution products **4b–d** in excellent yields. The hydroxy substituent as the lithium alkoxide at position 4, which is expected to decrease the electrophilicity of the carbonyl group by an electronic effect, confers stability to **6**: self-condensation was not observed even at  $0\text{ }^{\circ}\text{C}$ . To the best of our knowledge, the formation of a trianion in the naphthalenic series is unprecedented.<sup>20,21</sup>

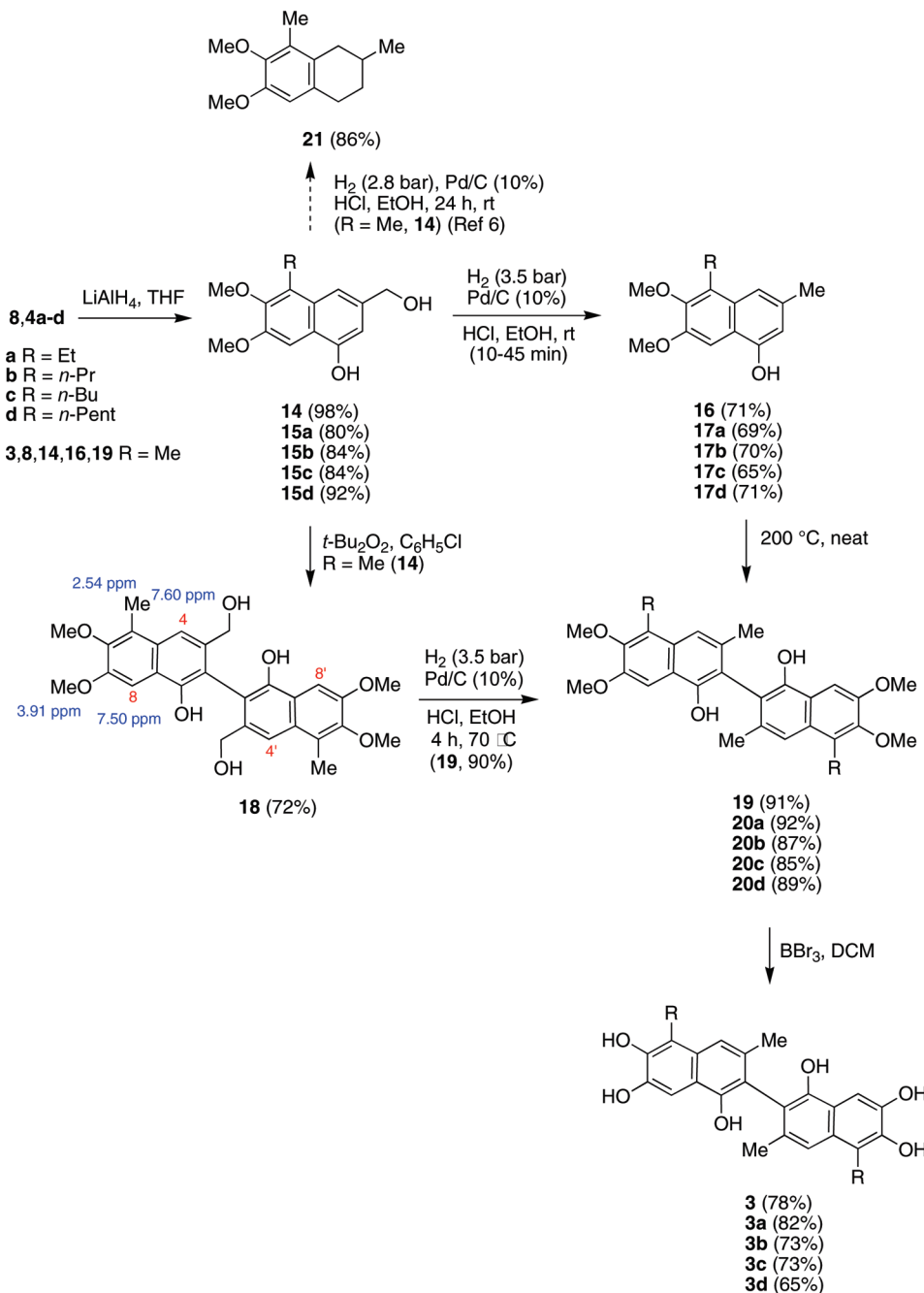
The pentasubstituted naphthalenes **8** and **4a–d** were converted to the alcohols **14** and **15a–d** by treatment with LiAlH<sub>4</sub> in refluxing THF (Scheme 3). Catalytic hydrogenation of **14**, **15a–d** to give 5-alkyl-6,7-dimethoxy-3-methylnaphthalen-1-ols

(19) Marsais, F.; Cronnier, A.; Trecourt, F.; Quéguiner, G. *J. Org. Chem.* **1987**, *52*, 1133–1136.

(20) Only one example of lateral lithiation of a naphthoic acid derivative was mentioned in the literature: Hauser, F. M.; Rhee, R. *J. Am. Chem. Soc.* **1977**, *99*, 4533–4534. Compound **A**, upon treatment with LDA, was converted to a dilithium anion **B** which was carboxylated and hydrolyzed to give naphthaleneacetic acid **C**. The benzylic anion is stabilized by coordination of the lithium with the carboxylate.



## SCHEME 3. Synthesis of 5,5'-Didesisopropyl-5,5'-dialkylapogossypol (3)



**16, 17a–d** was not straightforward.<sup>22,23</sup> The presence of three oxygen atoms makes the naphthalene ring easily reducible. Under the experimental conditions used by Meyers,<sup>6</sup> **14** was directly transformed into 1,2,3,4-tetrahydronaphthalene **21** (86%). At higher temperature (70 °C) a mixture of **16**, **21**

was obtained (55:45). Best yields of **16**, **17a–d** were obtained when the reduction was carried out with 10% Pd/C under a pressure of 3.5 bar of H<sub>2</sub> and a catalytic amount of HCl for a shorter reaction time (10–45 min).<sup>24</sup>

The phenolic coupling of **14** leading to binaphthalenediol **18** was achieved with *t*-Bu<sub>2</sub>O<sub>2</sub> in 72% yield.<sup>25</sup> Structure of **18** was determined by the NOESY technique.<sup>26</sup> Upon warming

(21) Lateral lithiations involving trianions are very scarce. See: (a) Tahara, N.; Fukuda, T.; Iwao, M. *Tetrahedron Lett.* **2004**, *45*, 5117–5120. (b) Katz, A. H.; Demerson, C. A.; Shaw, C. C.; Asselin, A. A.; Humber, L. G.; Conway, K. M.; Gavin, G.; Guinossos, C.; Jensen, N. P.; Mobilio, D.; Noureldin, R.; Schmid, J.; Shah, U.; Van Engen, D.; Chau, T. T.; Weichman, B. M. *J. Med. Chem.* **1988**, *31*, 1244–1250.

(22) Hudlicky, M. *Reductions in Organic Chemistry*; Wiley: New York, 1984; pp 76–81.

(23) (a) Bringmann, G.; Ochse, M.; Götz, R. *J. Org. Chem.* **2000**, *65*, 2069–2077. (b) Bringmann, G.; Hamm, A.; Schraut, M. *Org. Lett.* **2003**, *5*, 2805–2808.

(24) Frija, L. M. T.; Cristiano, M. L. S.; Guimarães, E. M. O.; Martins, N. C.; Loureiro, R. M. S.; Bickley, J. F. *J. Mol. Catal. A: Chem.* **2005**, *242* (1–2), 241–250.

(25) Armstrong, D. R.; Breckenbridge, R. J.; Cameron, C.; Nonhebel, D. C.; Pauson, P. L.; Perkins, P. G. *Tetrahedron Lett.* **1983**, *24*, 1071–1074.

(26) The protons H4,H4' (7.60 ppm) show clear interactions with the methyl group at 2.54 ppm. There are also spatial interactions between H8, H8' (7.50 ppm) and MeO (3.91 ppm).

at 200 °C, neat compounds **16**, **17a–d** dimerized to binaphthols **19**, **20a–d** in high yields. Binaphthol **19** was also obtained by catalytic hydrogenation of **18** (90%). Subsequent demethylation with boron tribromide<sup>27</sup> afforded the expected 5,5'-didesisopropyl-5,5'-dialkylapogossypols **3**, **3a–d**.

## Conclusion

This straightforward de novo synthesis gives access to a variety of apogossypol derivatives which are not accessible by conventional hemisynthetic means.<sup>9</sup> The mesylates/tosylates derived from **14**, **15a–d** and **18** are particularly useful in that they may be used in substitution reactions with a wide variety of nucleophiles to give apogossypol analogues modified in the 3,3' positions.<sup>28</sup> The 2,2'-binaphthalenes **3** were screened to determine their effect on the development of tumoral cells. These results will be reported elsewhere.

## Experimental Section

**A. Preparation of 4-Hydroxy-6,7-dimethoxy-8-methyl-2-naphthoic Acid (8).** To a solution of 3,4-dimethoxy-2-methylbenzaldehyde (**11**)<sup>29</sup> (6.50 g, 0.036 mol) and dimethyl succinate (4.8 mL, 0.036 mol) in dry DMF (150 mL) was added *t*-BuOK (4.83 g, 0.043 mol). The mixture was allowed to stir at rt overnight. Water (100 mL) was added and the mixture was washed with diethyl ether (3 × 100 mL). The aqueous layer was acidified to pH 3 by adding aq 3 M HCl and extracted with diethyl ether (3 × 100 mL). The combined organic layers were dried over MgSO<sub>4</sub>, and the solvent was evaporated in vacuo to yield half ester acid **12** (10.26 g). The crude compound **12** was then dissolved in acetic acid/acetic anhydride (1:1, 200 mL), dry sodium acetate (6.50 g, 0.079 mol) was added, and the mixture was refluxed overnight. The resulting solution was cooled at 0 °C and neutralized to pH 6–7 with aq 2.5 M NaOH. Diethyl ether (100 mL) was added to dissolve the yellow precipitate. The aqueous layer was extracted with diethyl ether (5 × 100 mL). The combined organic layers were dried over MgSO<sub>4</sub> and the solvent was evaporated in vacuo to give a crude residue (21.71 g) that was dissolved in aq 2.5 M NaOH/methanol (1:1, 250 mL). The mixture was refluxed overnight. After evaporation of MeOH, the resulting solution was acidified at 0 °C to pH 2 by adding aq 3 M HCl, then the precipitate was filtered and washed with hot chloroform. The precipitate was dissolved in ethylacetate, then the organic layer was dried (MgSO<sub>4</sub>) and concentrated in vacuo to yield 4-hydroxy-6,7-dimethoxy-8-methyl-2-naphthoic acid (**8**) as a pale yellow solid [6.37 g, 68% calculated from 3,4-dimethoxy-2-methylbenzaldehyde (**11**)]. Mp > 250 °C dec. <sup>1</sup>H NMR (400 MHz, acetone-*d*<sub>6</sub>) δ 8.23 (s, 1H), 7.56 (s, 1H), 7.48 (s, 1H), 4.02 (s, 3H), 3.86 (s, 3H), 2.61 (s, 3H). <sup>13</sup>C NMR (50 MHz, DMSO-*d*<sub>6</sub>) δ 167.8, 152.7, 152.4, 147.2, 128.5, 126.6, 126.2, 124.4, 117.3, 106.7, 99.7, 60.2, 55.4, 11.2. IR (ATR, cm<sup>-1</sup>) 3418, 3002, 2942, 1678, 1601. HRMS calcd for C<sub>14</sub>H<sub>15</sub>O<sub>5</sub> ([M + H]<sup>+</sup>) 263.0919, found 263.0912.

**B. Preparation of 4,6,7-Trimethoxy-8-methyl-2-naphthoic Acid (9).** To a solution of 4-hydroxy-6,7-dimethoxy-8-methyl-2-naphthoic acid (**8**) (0.262 g, 1 mmol) in acetone (10 mL) were added successively potassium carbonate (0.553 g, 4 mmol) and dimethyl sulfate (0.21 mL, 2.2 mmol). The mixture was stirred at rt for 24 h, the insoluble was filtered off, and the filtrate was concentrated in vacuo. The residue was dissolved in DCM

(27) Royer, R. E.; Deck, L. M.; Vander Jagt, T. J.; Martinez, F. J.; Mills, R. G.; Young, S. A.; Vander Jagt, D. L. *J. Med. Chem.* **1995**, *38*, 2427–2432.  
(28) See: Mortier, J.; Castanet, A.-S.; Chau, N. T. T. WO2009080949A1, 2009.

(29) Prepared from 3,4-dimethoxy-2-methylbenzoic acid (**10**) according to ref 14. Compound **10** was prepared by metalation of veratric acid with LTMP (4 equiv) at 0 °C followed by quench with iodomethane: see ref 13.

(20 mL), then the DCM solution was washed with water (3 × 10 mL), dried over MgSO<sub>4</sub>, and concentrated in vacuo. Chromatography on silica gel (cyclohexane/ethylacetate 9:1) gave methyl 4,6,7-trimethoxy-8-methyl-2-naphthoate as a white solid (0.260 g, 90%). Mp 125–126 °C. <sup>1</sup>H NMR (200 MHz, CDCl<sub>3</sub>) δ 8.28 (s, 1H), 7.48 (s, 1H), 7.36 (s, 1H), 4.05 (s, 3H), 4.01 (s, 3H), 3.97 (s, 3H), 3.87 (s, 3H), 2.64 (s, 3H). <sup>13</sup>C NMR (50 MHz, CDCl<sub>3</sub>) δ 167.7, 154.6, 153.7, 147.8, 128.8, 127.7, 125.7, 125.2, 119.9, 102.6, 99.6, 60.7, 55.7, 55.6, 52.1, 11.6. IR (ATR, cm<sup>-1</sup>) 3002, 2947, 1709, 1599. Anal. Calcd for C<sub>16</sub>H<sub>18</sub>O<sub>5</sub>: C, 66.19, H, 6.25. Found: C, 65.95, H, 6.25. HRMS *m/z* calcd for C<sub>16</sub>H<sub>19</sub>O<sub>5</sub> ([M + H]<sup>+</sup>) 291.1232, found 291.1241.

Methyl 4,6,7-trimethoxy-8-methyl-2-naphthoate (0.260 g, 0.896 mmol) was dissolved in aq 1 M KOH (12.5 mL). The resulting mixture was heated to reflux overnight, cooled to rt, and acidified to pH 2 (aq 2 M HCl). The white precipitate was filtered off, washed with water, and dissolved in ethylacetate. The organic layer was dried over MgSO<sub>4</sub> and concentrated in vacuo to provide pure 4,6,7-trimethoxy-8-methyl-2-naphthoic acid (**9**) as a white solid (0.228 g, 92%). Mp 126–127 °C. <sup>1</sup>H NMR (200 MHz, CDCl<sub>3</sub>) δ 8.41 (s, 1H), 7.50 (s, 1H), 7.42 (s, 1H), 4.07 (s, 3H), 4.02 (s, 3H), 3.88 (s, 3H), 2.66 (s, 3H). <sup>13</sup>C NMR (100 MHz, DMSO-*d*<sub>6</sub>) δ 167.7, 154.0, 153.2, 147.4, 128.0, 126.9, 126.1, 124.7, 118.9, 102.7, 99.3, 60.2, 55.6, 55.4, 11.2. IR (ATR, cm<sup>-1</sup>) 2940, 1678, 1603. HRMS *m/z* calcd for C<sub>15</sub>H<sub>17</sub>O<sub>5</sub> ([M + H]<sup>+</sup>) 277.1076, found 277.1073.

**C. Lateral Lithiation of 4,6,7-Trimethoxy-8-methyl-2-naphthoic Acid (9) and 4-Hydroxy-6,7-dimethoxy-8-methyl-2-naphthoic Acid (8).** **Lateral Lithiation of 4,6,7-Trimethoxy-8-methyl-2-naphthoic Acid (9).** General Procedure. 4,6,7-Trimethoxy-8-methyl-2-naphthoic acid (**9**) in dry THF (20 mL/mmole of **9**) was added dropwise to a solution of LTMP in THF (1.5 M, 5 equiv) at 0 °C. The resulting mixture was allowed to warm to rt, stirred for 2 h, and treated with an electrophile (8–10 equiv). After 2 h of stirring, water (15 mL) was added. The aqueous layer was washed with diethyl ether (2 × 15 mL), acidified to pH 1–2 by adding aq 2 M HCl, and extracted with diethyl ether (3 × 15 mL). The combined organic layers were dried over MgSO<sub>4</sub> and concentrated in vacuo. The crude residue was recrystallized to give naphthoic acids **5a–d**.

**8-Ethyl-4,6,7-trimethoxy-2-naphthoic Acid (5a).** **5a** was prepared from 4,6,7-trimethoxy-8-methyl-2-naphthoic acid (**9**) (0.414 g, 1.5 mmol), LTMP (7.5 mmol), and iodomethane (0.93 mL, 15 mmol) according to the general procedure. Recrystallization (cyclohexane/ethylacetate) gave 8-ethyl-4,6,7-trimethoxy-2-naphthoic acid (**5a**) as a white solid (0.392 g, 90%). Mp 234 °C. <sup>1</sup>H NMR (200 MHz, acetone-*d*<sub>6</sub>) δ 8.22 (s, 1H), 7.44 (s, 1H), 7.29 (s, 1H), 3.96 (s, 3H), 3.89 (s, 3H), 3.78 (s, 3H), 3.02 (q, *J* = 7.5 Hz, 2H), 1.16 (t, *J* = 7.5 Hz, 3H). <sup>13</sup>C NMR (100 MHz, DMSO-*d*<sub>6</sub>) δ 167.8, 154.2, 153.2, 146.9, 132.9, 127.0, 126.5, 125.0, 118.5, 102.6, 99.6, 60.6, 55.6, 55.4, 18.6, 15.4. IR (KBr, cm<sup>-1</sup>) 2940, 2826, 2637, 1682, 1464. HRMS calcd for C<sub>16</sub>H<sub>19</sub>O<sub>5</sub> ([M + H]<sup>+</sup>) 291.1232, found 291.1230.

**4,6,7-Trimethoxy-8-propyl-2-naphthoic Acid (5b).** **5b** was prepared from 4,6,7-trimethoxy-8-methyl-2-naphthoic acid (**9**) (0.202 g, 0.73 mmol), LTMP (3.65 mmol), and iodoethane (0.47 mL, 5.84 mmol) according to the general procedure. Recrystallization (cyclohexane/ethylacetate) gave 4,6,7-trimethoxy-8-propyl-2-naphthoic acid (**5b**) as a white solid (0.170 g, 77%). Mp 223–224 °C. <sup>1</sup>H NMR (200 MHz, acetone-*d*<sub>6</sub>) δ 8.44 (s, 1H), 7.53 (s, 1H), 7.41 (s, 1H), 4.07 (s, 3H), 4.03 (s, 3H), 3.91 (s, 3H), 3.11 (t, *J* = 8.0 Hz, 2H), 1.81–1.62 (m, 2H), 1.08 (t, *J* = 7.4 Hz, 3H). <sup>13</sup>C NMR (100 MHz, DMSO-*d*<sub>6</sub>) δ 167.8, 154.1, 153.0, 147.2, 131.3, 127.3, 126.5, 124.9, 118.6, 102.5, 99.6, 60.4, 55.5, 55.4, 27.3, 23.8, 14.2. IR (KBr, cm<sup>-1</sup>) 3438, 2962, 2646, 1686, 1602, 1505, 1422, 1259, 1062, 838. HRMS calcd for C<sub>17</sub>H<sub>21</sub>O<sub>5</sub> ([M + H]<sup>+</sup>) 305.1389, found 305.1391.

**8-[Bis(methylthio)methyl]-4,6,7-trimethoxy-2-naphthoic Acid (5c).** **5c** was prepared from 4,6,7-trimethoxy-8-methyl-2-naphthoic

acid (**9**) (0.120 g, 0.44 mmol), LTMP (2.2 mmol), and dimethyl disulfide (0.33 mL, 4.4 mmol) according to the general procedure. Recrystallization (cyclohexane/ethylacetate) gave 8-(bis(methylthio)methyl)-4,6,7-trimethoxy-2-naphthoic acid (**5e**) as a yellow solid (0.095 g, 60%). Mp > 250 °C dec. <sup>1</sup>H NMR (200 MHz, acetone-*d*<sub>6</sub>) δ 9.14 (s, 1H), 7.67 (s, 1H), 7.44 (s, 1H), 5.91 (s, 1H, *CH*(SCH<sub>3</sub>)<sub>2</sub>), 4.11 (s, 3H), 4.07 (s, 3H), 3.96 (s, 3H), 2.28 (s, 6H). <sup>13</sup>C NMR (100 MHz, DMSO-*d*<sub>6</sub>) δ 165.4, 151.7, 149.8, 143.9, 126.4, 123.4, 123.2, 123.0, 119.2, 100.5, 99.1, 58.9, 53.4, 53.3, 46.8, 14.7. IR (KBr, cm<sup>-1</sup>) 3423, 2940, 2635, 1682, 1601, 1501, 1429, 1260, 1040, 850, 697. HRMS calcd for C<sub>16</sub>H<sub>20</sub>O<sub>5</sub>S ([M - SCH<sub>3</sub>]<sup>+</sup>) 321.0797, found 321.0782.

**4,6,7-Trimethoxy-8-[(trimethylsilyl)methyl]-2-naphthoic Acid (**5e**).** To a solution of LTMP (4.2 mmol) in THF (10 mL) at -78 °C were added successively chlorotrimethylsilane (0.72 mL, 5.7 mmol) and 4,6,7-trimethoxy-8-methyl-2-naphthoic acid (**9**) (0.276 g, 1 mmol). Stirring was maintained at this temperature for 1 h. The reaction mixture was warmed gradually to rt over a period of 2 h. Water (10 mL) was added and the solution was basified to pH 10 by adding aq 2 M NaOH. The aqueous layer was washed with diethyl ether (2 × 15 mL), acidified to pH 1–2 (aq 2 M HCl), and extracted with diethyl ether (3 × 20 mL). The combined organic layers were dried over MgSO<sub>4</sub> and concentrated in vacuo. The residue was purified by recrystallization (cyclohexane/ethylacetate) to yield 4,6,7-trimethoxy-8-[(trimethylsilyl)methyl]-2-naphthoic acid (**5e**) as a white solid (0.307 g, 88%). Mp 236.5–237.5 °C. <sup>1</sup>H NMR (200 MHz, CDCl<sub>3</sub>) δ 8.37 (s, 1H), 7.44 (s, 1H), 7.40 (s, 1H), 4.07 (s, 3H), 4.03 (s, 3H), 3.88 (s, 3H), 2.63 (s, 2H), 0.02 (s, 9H). <sup>13</sup>C NMR (100 MHz, DMSO-*d*<sub>6</sub>) δ 167.8, 153.9, 153.2, 145.8, 130.4, 127.1, 125.3, 124.8, 120.0, 102.3, 98.0, 59.6, 55.6, 55.5, 55.3, 16.0, -0.8. IR (KBr, cm<sup>-1</sup>) 2942, 2646, 1686, 1599, 1468, 1420, 1263, 1121, 1031, 839. HRMS calcd for C<sub>18</sub>H<sub>25</sub>O<sub>5</sub>Si ([M + H]<sup>+</sup>) 349.1471, found 349.1468.

**Lateral Lithiation of 4-Hydroxy-6,7-dimethoxy-8-methyl-2-naphthoic Acid (**8**). General Procedure.** To a stirred solution of dilithium salt **13** [prepared by addition of 2 equiv of *n*-BuLi to 4-hydroxy-6,7-dimethoxy-8-methyl-2-naphthoic acid (**8**) (0.524 g, 2 mmol) at -78 °C] in dry THF (8 mL) at 0 °C was added dropwise LTMP (14 mmol) in dry THF (16 mL). The mixture was stirred at 0 °C for 15 min and the electrophile (MeI, EtI, *n*-PrI, *n*-BuI, 10 equiv) was slowly added. The resulting solution was stirred for 1–3 h and quenched with water (5 mL). The aqueous phase was washed with ethylacetate (2 × 20 mL), acidified to pH 1–2 by adding aq 2 M HCl, and extracted with ethylacetate (3 × 40 mL). The combined organic layers were dried over MgSO<sub>4</sub> and concentrated in vacuo. The crude residue was chromatographed over silica gel (ethylacetate) to give naphthoic acids **4a–d**.

**8-Ethyl-4-hydroxy-6,7-dimethoxy-2-naphthoic Acid (**4a**).** **4a** was prepared according to the general procedure with iodomethane (1.3 mL, 20 mmol) as an electrophile. Stirring was maintained at 0 °C for 1 h. Purification by column chromatography on silica gel (ethylacetate) yielded 8-ethyl-4-hydroxy-6,7-dimethoxy-2-naphthoic acid (**4a**) as a beige solid (0.532 g, 96%). Mp 226–228 °C. <sup>1</sup>H NMR (400 MHz, acetone-*d*<sub>6</sub>) δ 8.28 (s, 1H), 7.59 (s, 1H), 7.49 (s, 1H), 4.03 (s, 3H), 3.91 (s, 3H), 3.15 (q, *J* = 7.6 Hz, 2H), 1.30 (t, *J* = 7.6 Hz, 3H). <sup>13</sup>C NMR (100 MHz, acetone-*d*<sub>6</sub>) δ 171.1, 154.5, 153.5, 148.5, 134.2, 129.1, 127.2, 126.4, 119.2, 107.8, 101.2, 61.2, 56.0, 19.8, 15.9. IR (ATR, cm<sup>-1</sup>) 3338, 2934, 1671, 1602, 1582, 1471, 1435, 1407, 1278, 1257, 1230, 1213, 1177. HRMS calcd for C<sub>15</sub>H<sub>17</sub>O<sub>5</sub> ([M + H]<sup>+</sup>) 277.1076, found 277.1074.

**4-Hydroxy-6,7-dimethoxy-8-propyl-2-naphthoic Acid (**4b**).** **4b** was prepared according to the general procedure with iodoethane (1.6 mL, 20 mmol) as an electrophile. Stirring was maintained at 0 °C for 2 h. Purification by column chromatography on silica gel (ethylacetate) afforded 4-hydroxy-6,7-dimethoxy-8-propyl-2-naphthoic acid (**4b**) as a beige solid (0.566 g, 98%).

Mp 226–228 °C. <sup>1</sup>H NMR (400 MHz, acetone-*d*<sub>6</sub>) δ 8.26 (s, 1H), 7.57 (s, 1H), 7.45 (s, 1H), 4.01 (s, 3H), 3.89 (s, 3H), 3.08 (m, 2H), 1.69 (m, 2H), 1.05 (t, *J* = 7.5 Hz, 3H). <sup>13</sup>C NMR (100 MHz, acetone-*d*<sub>6</sub>) δ 168.3, 154.3, 153.3, 148.8, 132.5, 129.4, 126.9, 126.2, 119.3, 107.6, 101.1, 61.0, 55.9, 28.5, 24.9, 14.7. IR (ATR, cm<sup>-1</sup>) 3390, 2963, 2929, 2873, 1675, 1617, 1468. HRMS calcd for C<sub>16</sub>H<sub>22</sub>NO<sub>5</sub> ([M + NH<sub>4</sub>]<sup>+</sup>) 308.1498, found 308.1495.

**D. Preparation of 3-(Hydroxymethyl)-6,7-dimethoxy-5-alkynaphthalen-1-ols **14** and **15a–d**. 3-(Hydroxymethyl)-6,7-dimethoxy-5-methylnaphthalen-1-ol (**14**).** To a suspension of LiAlH<sub>4</sub> (0.30 g, 7.92 mol) in dry THF (3 mL) was added dropwise a solution of 4-hydroxy-6,7-dimethoxy-8-methyl-2-naphthoic acid (**8**) (1.04 g, 3.96 mmol) in dry THF (12 mL).<sup>30</sup> The reaction mixture was refluxed overnight, hydrolyzed (10 mL), and acidified to pH 1–2 by adding aq 2 M HCl. The aqueous layer was extracted with diethyl ether (3 × 20 mL). The combined organic layers were dried over MgSO<sub>4</sub> and concentrated in vacuo to yield 3-(hydroxymethyl)-6,7-dimethoxy-5-methylnaphthalen-1-ol (**14**) as a beige solid (0.96 g, 98%). Mp 175–177 °C. <sup>1</sup>H NMR (400 MHz, acetone-*d*<sub>6</sub>) δ 8.84 (s, 1H), 7.50 (s, 1H), 7.38 (s, 1H), 6.91 (s, 1H), 4.70 (d, *J* = 5.8 Hz, 1H), 4.17 (t, *J* = 5.8 Hz, 2H), 3.96 (s, 3H), 3.82 (s, 3H), 2.52 (s, 3H). <sup>13</sup>C NMR (100 MHz, CDCl<sub>3</sub>) δ 151.8, 150.7, 146.8, 137.4, 129.4, 124.8, 120.9, 112.3, 106.4, 99.2, 64.3, 59.6, 54.5, 10.5. IR (ATR, cm<sup>-1</sup>) 3419, 3169, 2935, 2872, 1607. HRMS calcd for C<sub>14</sub>H<sub>17</sub>O<sub>4</sub> ([M + H]<sup>+</sup>) 249.1127, found 249.1136. Anal. Calcd for C<sub>14</sub>H<sub>16</sub>O<sub>4</sub>: C, 67.73; H, 6.50. Found: C, 67.83; H, 6.51.

**General Procedure for the Preparation of **15a–d**.** To a suspension of LiAlH<sub>4</sub> (4 equiv) in dry THF (1 mL/mmole of **4a–d**) was added dropwise a solution of **4a–d** in dry THF (3 mL/mmole). The reaction mixture was heated at 30 °C overnight. After hydrolysis and acidification to pH 1–2 (aq 2 M HCl), the aqueous layer was extracted with diethyl ether (3 × 20 mL). The combined organic layers were dried over MgSO<sub>4</sub>, and concentrated in vacuo to yield spectroscopically pure compounds **15a–d**.

**5-Ethyl-3-(hydroxymethyl)-6,7-dimethoxynaphthalen-1-ol (**15a**).** **15a** was prepared according to the general procedure from 8-ethyl-4-hydroxy-6,7-dimethoxy-8-methyl-2-naphthoic acid (**4a**) (0.800 g, 2.90 mmol). Standard workup gave 5-ethyl-3-(hydroxymethyl)-6,7-dimethoxynaphthalen-1-ol (**15a**) as a beige solid (0.605 g, 80%). Mp 150–152 °C. <sup>1</sup>H NMR (400 MHz, acetone-*d*<sub>6</sub>) δ 8.71 (s, 1H), 7.50 (s, 1H), 7.43 (s, 1H), 6.88 (s, 1H), 4.70 (d, *J* = 5.7 Hz, 2H), 4.10 (t, *J* = 5.7 Hz, 1H), 3.95 (s, 3H), 3.86 (s, 3H), 3.12 (q, *J* = 7.5 Hz, 2H), 1.23 (t, *J* = 7.5 Hz, 3H). <sup>13</sup>C NMR (100 MHz, acetone-*d*<sub>6</sub>) δ 153.4, 152.2, 147.9, 139.3, 132.4, 129.9, 122.7, 113.3, 107.6, 101.0, 65.5, 61.0, 55.7, 19.6, 15.7. IR (ATR, cm<sup>-1</sup>) 3431, 3201, 2954, 2866, 1605, 1467, 1409, 1250, 1219. HRMS calcd for C<sub>15</sub>H<sub>18</sub>O<sub>4</sub> ([M]<sup>+</sup>) 262.1205, found 262.1194.

**3-(Hydroxymethyl)-6,7-dimethoxy-5-propynaphthalen-1-ol (**15b**).** **15b** was prepared according to the general procedure from 4-hydroxy-6,7-dimethoxy-8-propyl-2-naphthoic acid (**4b**) (0.400 g, 1.38 mmol). Standard workup gave 3-(hydroxymethyl)-6,7-dimethoxy-5-propynaphthalen-1-ol (**15b**) as a beige solid (0.320 g, 84%). Mp 169–170 °C. <sup>1</sup>H NMR (400 MHz, acetone-*d*<sub>6</sub>) δ 8.69 (s, 1H), 7.50 (s, 1H), 7.42 (s, 1H), 6.87 (s, 1H), 4.68 (d, *J* = 5.6 Hz, 2H), 4.08 (t, *J* = 5.6 Hz, 1H), 3.95 (s, 3H), 3.85 (s, 3H), 3.03–2.99 (m, 2H), 1.70–1.61 (m, 2H), 1.03 (t, *J* = 7.5 Hz, 3H). <sup>13</sup>C NMR (100 MHz, acetone-*d*<sub>6</sub>) δ 153.4, 152.1, 148.2, 139.3, 130.8, 130.2, 122.6, 113.4, 107.5, 101.0, 65.4, 60.9, 55.7, 28.6, 24.7, 14.8. IR (ATR, cm<sup>-1</sup>) 3431, 3425, 3175, 2947, 2867, 1606, 1468, 1415. HRMS calcd for C<sub>16</sub>H<sub>21</sub>O<sub>4</sub> ([M + H]<sup>+</sup>) 277.1440, found 277.1436.

**E. Preparation of 6,7-Dimethoxy-3-methyl-5-alkynaphthalen-1-ols **16**, **17a–d** and 6,7-Dimethoxy-2,8-dimethyl-1,2,3,4-tetrahydronaphthalene (**21**). General Procedure.** To a solution of

(30) Tetsuya, T.; Hirohisa, D.; Tokutaro, O.; Tsuyoshi, O.; Iwao, O.; Eiichi, K. *Tetrahedron* **2004**, *60*, 6295–6310.

3-(hydroxymethyl)-6,7-dimethoxy-5-alkylnaphthalen-1-ols **14**, **15a–d** in ethanol (10 mL/mmol) was added 10% Pd/C (0.160 g/mmol) and aq 1 M HCl (1 mL/mmol). The reaction mixture was stirred for 45 min at 25 °C (10 min for **14**) under a hydrogen pressure of 3.5 bar. The catalyst was filtered off over Celite 545 and washed with acetone. The combined filtrates were concentrated in vacuo to give a residue that was dissolved in DCM (10 mL/mmol). The DCM layer was washed with sat. NaHCO<sub>3</sub> and water, and dried over MgSO<sub>4</sub>. Concentration in vacuo gave a residue that was purified by chromatography on silica gel (cyclohexane/ethylacetate 8:2).

**6,7-Dimethoxy-3,5-dimethylnaphthalen-1-ol (16).** **16** was prepared according to the general procedure from 3-(hydroxymethyl)-6,7-dimethoxy-5-methylnaphthalen-1-ol (**14**) (1.656 g, 6.67 mmol). Standard workup followed by recrystallization (cyclohexane/ethylacetate) and chromatography on silica gel (cyclohexane/ethylacetate 9:1) provided pure 6,7-dimethoxy-3,5-dimethylnaphthalen-1-ol (**16**) as a beige solid (1.100 g, 71%). Mp 165 °C. <sup>1</sup>H NMR (400 MHz, DMSO-*d*<sub>6</sub>) δ 9.86 (s, 1H), 7.35 (s, 1H), 7.09 (s, 1H), 6.66 (s, 1H), 3.88 (s, 3H), 3.73 (s, 3H), 2.43 (s, 3H), 2.37 (s, 3H). <sup>13</sup>C NMR (100 MHz, DMSO-*d*<sub>6</sub>) δ 152.2, 150.2, 146.7, 133.4, 129.6, 124.4, 119.8, 113.9, 109.5, 99.6, 60.1, 55.1, 21.7, 11.1. IR (ATR, cm<sup>-1</sup>) 3342, 2932, 1605, 1583. HRMS *m/z* calcd for C<sub>14</sub>H<sub>17</sub>O<sub>3</sub> ([M + H]<sup>+</sup>) 233.1178, found 233.1168.

**5-Ethyl-6,7-dimethoxy-3-methylnaphthalen-1-ol (17a).** **17a** was prepared according to the general procedure from 5-ethyl-3-(hydroxymethyl)-6,7-dimethoxynaphthalen-1-ol (**15a**) (0.470 g, 1.80 mmol). Standard workup and purification afforded 5-ethyl-6,7-dimethoxy-3-methylnaphthalen-1-ol (**17a**) as a pale yellow solid (0.305 g, 69%). Mp 126–128 °C. <sup>1</sup>H NMR (400 MHz, CDCl<sub>3</sub>) δ 7.37 (s, 1H), 7.27 (s, 1H), 6.59 (s, 1H), 5.18 (s, 1H), 3.97 (s, 3H), 3.89 (s, 3H), 3.06 (q, *J* = 7.5 Hz, 2H), 2.43 (s, 3H), 1.27 (t, *J* = 7.5 Hz, 3H). <sup>13</sup>C NMR (100 MHz, CDCl<sub>3</sub>) δ 151.1, 150.8, 147.0, 133.5, 131.8, 129.4, 120.3, 115.8, 110.1, 99.6, 61.1, 55.5, 22.0, 19.1, 15.2. IR (ATR, cm<sup>-1</sup>) 3348, 2962, 2932, 1602, 1448, 1409, 1373, 1264, 1232, 1215, 1201, 1148. HRMS calcd for C<sub>15</sub>H<sub>19</sub>O<sub>3</sub> ([M + H]<sup>+</sup>) 247.1334, found 247.1331.

**6,7-Dimethoxy-3-methyl-5-propylnaphthalen-1-ol (17b).** **17b** was prepared according to the general procedure from 3-(hydroxymethyl)-6,7-dimethoxy-5-propylnaphthalen-1-ol (**15b**) (0.355 g, 1.28 mmol). Standard workup and purification provided 6,7-dimethoxy-3-methyl-5-propylnaphthalen-1-ol (**17b**) (0.234 g, 70%) as an orange solid. Mp 132–134 °C. <sup>1</sup>H NMR (400 MHz, CDCl<sub>3</sub>) δ 7.36 (s, 1H), 7.25 (s, 1H), 6.58 (s, 1H), 5.05 (br s, 1H), 3.97 (s, 3H), 3.88 (s, 3H), 3.02–2.98 (m, 2H), 2.43 (s, 3H), 1.63–1.72 (m, 2H), 1.05 (t, *J* = 7.5 Hz, 3H). <sup>13</sup>C NMR (100 MHz, CDCl<sub>3</sub>) δ 151.0, 150.8, 147.3, 133.4, 130.3, 129.7, 120.2, 116.0, 110.1, 99.6, 61.0, 55.5, 28.0, 24.0, 22.0, 14.6. IR (ATR, cm<sup>-1</sup>) 3401, 2956, 2924, 2868, 1601, 1582, 1464, 1411. HRMS calcd for C<sub>16</sub>H<sub>21</sub>O<sub>3</sub> ([M + H]<sup>+</sup>) 261.1491, found 261.1503.

**6,7-Dimethoxy-2,8-dimethyl-1,2,3,4-tetrahydronaphthalene (21).** To a solution of 3-(hydroxymethyl)-6,7-dimethoxy-5-methylnaphthalen-1-ol (**14**) (77 mg, 0.31 mmol) in ethanol (4 mL) were added 10% Pd/C (0.15 g) and aq 3 M HCl (0.25 mL). The reaction mixture was stirred for 24 h at 25 °C under a hydrogen pressure of 2.7 bar. The catalyst was filtered off over Celite 545 and washed with ethanol (2 × 20 mL). The filtrate was concentrated in vacuo and the residue was dissolved in DCM (20 mL). The DCM layer was washed with sat. NaHCO<sub>3</sub> (10 mL) and water (10 mL), dried over MgSO<sub>4</sub>, and concentrated in vacuo to yield 6,7-dimethoxy-2,8-dimethyl-1,2,3,4-tetrahydronaphthalene (**21**) as a yellow orange oil (59 mg, 86%). <sup>1</sup>H NMR (200 MHz, DMSO-*d*<sub>6</sub>) δ 6.56 (s, 1H), 3.72 (s, 3H), 3.60 (s, 3H), 2.72–2.49 (m, 4H), 2.04 (s, 3H), 1.80–1.72 (m, 2H), 1.30–1.19 (m, 1H), 1.04 (d, *J* = 6.4 Hz, 3H). <sup>13</sup>C NMR (100 MHz, CDCl<sub>3</sub>) δ 149.2, 144.1, 131.0, 129.1, 127.1, 108.9, 59.4, 54.6, 34.4, 30.2, 29.1, 28.4, 21.3, 10.5. HRMS, *m/z* calcd for C<sub>14</sub>H<sub>24</sub>NO<sub>2</sub> ([M + NH]<sup>+</sup>) 238.1807, found 238.1813.

**F. Dimerization Reactions. Preparation of Binaphthalenes 19, 20a–d. General Procedure.** The neat compounds **16**, **17a–d** were heated overnight at 200 °C<sup>31</sup> to give the products **19**, **20a–d** which were purified by sublimation.

**2-(1-Hydroxy-6,7-dimethoxy-3,5-dimethylnaphthalen-2-yl)-6,7-dimethoxy-3,5-dimethylnaphthalen-1-ol (19).** **19** was prepared according to the general procedure from 6,7-dimethoxy-3,5-dimethylnaphthalen-1-ol (**16**) (0.400 g, 1.72 mmol). 2-(1-Hydroxy-6,7-dimethoxy-3,5-dimethylnaphthalen-2-yl)-6,7-dimethoxy-3,5-dimethylnaphthalen-1-ol (**19**) was isolated as a brown solid (0.364 g, 91%). Mp > 290 °C dec. <sup>1</sup>H NMR (400 MHz, DMSO-*d*<sub>6</sub>) δ 8.23 (s, 2H), 7.48 (s, 2H), 7.33 (s, 2H), 3.90 (s, 6H), 3.76 (s, 6H), 2.51 (s, 6H), 1.98 (s, 6H). <sup>13</sup>C NMR (100 MHz, DMSO-*d*<sub>6</sub>) δ 150.3, 149.4, 146.6, 133.5, 128.9, 124.3, 120.7, 118.2, 115.3, 100.5, 60.2, 55.3, 20.5, 11.2. IR (ATR, cm<sup>-1</sup>) 3342, 2954, 2901, 1604, 1573, 1486, 1473, 1457, 1412, 1400, 1368, 1334, 1244, 1189, 1138. HRMS calcd for C<sub>28</sub>H<sub>31</sub>O<sub>6</sub> ([M + H]<sup>+</sup>) 463.2121, found 463.2138.

**5-Ethyl-2-(5-ethyl-1-hydroxy-6,7-dimethoxy-3-methylnaphthalen-2-yl)-6,7-dimethoxy-3-methylnaphthalen-1-ol (20a).** **20a** was prepared according to the general procedure from 5-ethyl-6,7-dimethoxy-3-methylnaphthalen-1-ol (**17a**) (0.295 g, 1.20 mmol). 5-Ethyl-2-(5-ethyl-1-hydroxy-6,7-dimethoxy-3-methylnaphthalen-2-yl)-6,7-dimethoxy-3-methylnaphthalen-1-ol (**20a**) was isolated as a brown solid (0.270 g, 92%). Mp > 290 °C dec. <sup>1</sup>H NMR (400 MHz, DMSO-*d*<sub>6</sub>) δ 8.27 (s, 2H), 7.49 (s, 2H), 7.36 (s, 2H), 3.91 (s, 6H), 3.81 (s, 6H), 3.02 (q, *J* = 7.5 Hz, 4H), 1.97 (s, 6H), 1.24 (t, *J* = 7.5 Hz, 6H). <sup>13</sup>C NMR (50 MHz, DMSO-*d*<sub>6</sub>) δ 150.3, 149.6, 146.2, 133.6, 130.5, 127.9, 121.1, 118.0, 114.9, 100.8, 60.5, 55.3, 20.7, 18.5, 15.4. IR (ATR, cm<sup>-1</sup>) 3383, 2958, 2925, 1600, 1573, 1456, 1401, 1367, 1236, 1191, 1140. HRMS calcd for C<sub>30</sub>H<sub>35</sub>O<sub>6</sub> ([M + H]<sup>+</sup>) 491.2434, found 491.2441.

**2-(1-Hydroxy-6,7-dimethoxy-3-methyl-5-propylnaphthalen-2-yl)-6,7-dimethoxy-3-methyl-5-propylnaphthalen-1-ol (20b).** **20b** was prepared according to the general procedure from 6,7-dimethoxy-3-methyl-5-propylnaphthalen-1-ol (**17b**) (0.300 g, 1.15 mmol). 2-(1-Hydroxy-6,7-dimethoxy-3-methyl-5-propylnaphthalen-2-yl)-6,7-dimethoxy-3-methyl-5-propylnaphthalen-1-ol (**20b**) was isolated as a brown solid (0.260 g, 87%). Mp 247–248 °C. <sup>1</sup>H NMR (400 MHz, DMSO-*d*<sub>6</sub>) δ 7.95 (s, 2H), 7.51 (s, 2H), 7.35 (s, 2H), 3.91 (s, 6H), 3.82 (s, 6H), 2.98 (t, *J* = 7.9 Hz, 4H), 1.99 (s, 6H), 1.64–1.70 (m, 4H), 1.04 (t, *J* = 7.5 Hz, 6H). <sup>13</sup>C NMR (50 MHz, DMSO-*d*<sub>6</sub>) δ 150.2, 149.5, 146.5, 133.5, 128.9, 128.2, 121.1, 118.0, 115.0, 100.8, 60.4, 55.3, 27.4, 23.7, 20.7, 14.5. IR (ATR, cm<sup>-1</sup>) 3429, 3392, 2931, 2868, 1600, 1574, 1462, 1417, 1404, 1250, 1140, 1096. HRMS calcd for C<sub>32</sub>H<sub>39</sub>O<sub>6</sub> ([M + H]<sup>+</sup>) 519.2747, found 519.2759.

**3,3'-Bis(hydroxymethyl)-6,6',7,7'-tetramethoxy-5,5'-dimethyl-2,2'-binaphthyl-1,1'-diol (18).** To a solution of 3-(hydroxymethyl)-6,7-dimethoxy-5-methylnaphthalen-1-ol (**14**) (113 mg, 0.45 mmol) in chlorobenzene (6 mL) was added di-*tert*-butyl peroxide (82  $\mu$ L, 0.45 mmol).<sup>4b,25,32</sup> The mixture was heated at 105 °C for 50 h, then cooled and concentrated in vacuo. The crude residue was recrystallized in benzene to yield 3,3'-bis(hydroxymethyl)-6,6',7,7'-tetramethoxy-5,5'-dimethyl-2,2'-binaphthyl-1,1'-diol (**18**) as a white solid (80 mg, 72%). Mp 289–291 °C. <sup>1</sup>H NMR (200 MHz, DMSO-*d*<sub>6</sub>) δ 8.33 (s, 2H), 7.60 (s, 2H), 7.50 (s, 2H), 5.00 (br s, 2H), 4.21 (d, *J* = 14.0 Hz, 2H), 4.05 (d, *J* = 14.0 Hz, 2H), 3.91 (s, 6H), 3.78 (s, 6H), 2.54 (s, 6H). In the NOESY spectrum, the protons H4,H4' (7.60 ppm) show clear interactions with the methyl group at 2.54 ppm. There are also spatial interactions between H8,H8' (7.50 ppm)

(31) Edward, J. D., Jr.; Cashaw, J. L. *J. Am. Chem. Soc.* **1957**, *79*, 2283–2285.

(32) Armstrong, D. R.; Cameron, C.; Nonhebel, D. C.; Perkins, P. G. *J. Chem. Soc., Perkin Trans. 2* **1983**, 563–568.

and MeO (3.91 ppm).  $^{13}\text{C}$  NMR (100 MHz, DMSO- $d_6$ )  $\delta$  150.6, 149.2, 146.7, 137.6, 128.9, 124.9, 121.4, 115.0, 112.5, 100.4, 61.6, 60.2, 55.4, 11.4. IR (KBr,  $\text{cm}^{-1}$ ) 3465, 3348, 2942, 1741, 1686, 1604, 1577, 1470, 1253, 1083, 1004, 844. HRMS,  $m/z$  calcd for  $\text{C}_{28}\text{H}_{31}\text{O}_8$  ( $[\text{M} + \text{H}]^+$ ) 495.2019, found 495.2028.

**G. Deprotection of the Methoxy Groups. Preparation of 5,5'-Didesisopropyl-5,5'-dialkylapogossypols 3, 3a–d. General Procedure.** To a solution of binaphthalenes **19**, **20a–d** dissolved in dry DCM (40 mL/mmol) at  $-78^\circ\text{C}$  was added dropwise  $\text{BBr}_3$  (1 M in DCM) (10 equiv).<sup>9</sup> The reaction mixture was stirred for 1 h at  $-78^\circ\text{C}$  and for 1 h at rt. Aq 6 M HCl (50 mL/mmol) (cooled beforehand at  $0^\circ\text{C}$ ) was added and the reaction mixture was stirred at  $0^\circ\text{C}$  for 1 h. The aqueous layer was extracted with diethyl ether, then the combined organic layers were washed with water and brine, dried over  $\text{MgSO}_4$ , and concentrated in vacuo. The residue was purified by flash chromatography on silica gel (cyclohexane/ethylacetate 8:2  $\rightarrow$  5:5) and C-18 column chromatography ( $\text{H}_2\text{O}/\text{acetonitrile}$ ) to provide pure 5,5'-didesisopropyl-5,5'-dialkylapogossypols **3**, **3a–d**.

**3,5-Dimethyl-2-(1,6,7-trihydroxy-3,5-dimethylnaphthalen-2-yl)-naphthalene-1,6,7-triol (3).** **3** was prepared according to the general procedure from 2-(1-hydroxy-6,7-dimethoxy-3,5-dimethylnaphthalen-2-yl)-6,7-dimethoxy-3,5-dimethylnaphthalen-1-ol (**19**) (0.112 g, 0.24 mmol). 3,5-Dimethyl-2-(1,6,7-trihydroxy-3,5-dimethylnaphthalen-2-yl)naphthalene-1,6,7-triol (**3**) was isolated as a beige solid (0.077 g, 78%). Mp  $> 150^\circ\text{C}$  dec.  $^1\text{H}$  NMR (200 MHz, acetone- $d_6$ )  $\delta$  7.54 (s, 2H), 7.30 (s, 2H), 7.20 (br s, 2H), 2.52 (s, 6H), 2.08 (s, 6H).  $^{13}\text{C}$  NMR (50 MHz, acetone- $d_6$ )  $\delta$  150.8, 145.1, 144.6, 134.0, 131.1, 119.4, 116.0, 115.8, 114.7, 103.6, 21.0, 11.1. IR (KBr,  $\text{cm}^{-1}$ ) 3442, 2921, 1691, 1639, 1619, 1508, 1458, 1349, 1310, 1232, 1165, 1041, 854. HRMS calcd for  $\text{C}_{24}\text{H}_{23}\text{O}_6$  ( $[\text{M} + \text{H}]^+$ ) 407.1495, found 407.1478.

**5-Ethyl-2-(5-ethyl-1,6,7-trihydroxy-3-methylnaphthalen-2-yl)-3-methylnaphthalene-1,6,7-triol (3a).** **3a** was prepared according to the general procedure from 5-ethyl-2-(5-ethyl-1-hydroxy-6,7-dimethoxy-3-methylnaphthalen-2-yl)-6,7-dimethoxy-3-methylnaphthalen-1-ol (**20a**) (0.101 g, 0.21 mmol). 5-Ethyl-2-(5-ethyl-1,6,7-

trihydroxy-3-methylnaphthalen-2-yl)-3-methylnaphthalene-1,6,7-triol (**3a**) was isolated as a beige solid (0.073 g, 82%). Mp  $> 150^\circ\text{C}$  dec.  $^1\text{H}$  NMR (400 MHz, acetone- $d_6$ )  $\delta$  8.86 (br s, 2H), 7.56 (s, 2H), 7.38 (s, 2H), 7.14 (s, 2H), 3.12 (q,  $J = 7.5\text{ Hz}$ , 4H), 2.07 (s, 6H), 1.30 (t,  $J = 7.5\text{ Hz}$ , 6H).  $^{13}\text{C}$  NMR (50 MHz, acetone- $d_6$ )  $\delta$  151.0, 144.6 (2), 134.1, 130.2, 122.4, 119.7, 115.7, 114.6, 103.9, 21.1, 19.2, 14.7. IR (ATR,  $\text{cm}^{-1}$ ) 3440, 2962, 2929, 2872, 1613, 1504, 1446, 1264, 1213, 1154. HRMS calcd for  $\text{C}_{26}\text{H}_{27}\text{O}_6$  ( $[\text{M} + \text{H}]^+$ ) 435.1808, found 435.1803.

**3-Methyl-5-propyl-2-(1,6,7-trihydroxy-3-methyl-5-propynaphthalen-2-yl)naphthalene-1,6,7-triol (3b).** **3b** was prepared according to the general procedure from 2-(1-hydroxy-6,7-dimethoxy-3-methyl-5-propynaphthalen-2-yl)-6,7-dimethoxy-3-methyl-5-propynaphthalen-1-ol (**20b**) (0.100 g, 0.19 mmol). 3-Methyl-5-propyl-2-(1,6,7-trihydroxy-3-methyl-5-propynaphthalen-2-yl)-naphthalene-1,6,7-triol (**3b**) was isolated as a beige solid (0.065 g, 73%). Mp  $> 150^\circ\text{C}$  dec.  $^1\text{H}$  NMR (400 MHz, acetone- $d_6$ )  $\delta$  8.87 (br s, 2H), 7.56 (s, 2H), 7.40 (br s, 2H), 7.37 (s, 2H), 7.13 (s, 2H), 3.09–3.05 (m, 4H), 2.06 (s, 6H), 1.79–1.70 (m, 4H), 1.09 (t,  $J = 7.5\text{ Hz}$ , 6H).  $^{13}\text{C}$  NMR (50 MHz, acetone- $d_6$ )  $\delta$  150.9, 145.0, 144.5, 134.0, 130.5, 121.0, 119.6, 115.9, 114.6, 103.9, 28.1, 23.9, 21.1, 14.8. IR (ATR,  $\text{cm}^{-1}$ ) 3445, 2956, 2929, 2864, 1698, 1614, 1504, 1447, 1376, 1349, 1243, 1210, 1148, 1089. HRMS calcd for  $\text{C}_{28}\text{H}_{30}\text{O}_6$  ( $[\text{M}]^+$ ) 462.2042, found 462.2052.

**Acknowledgment.** T.T.L. and N.T.T.C. are indebted to the French Ministry of Research and Technologies and the Agence Universitaire de la Francophonie for doctoral fellowships. We also express appreciation to Patricia Gangnery and Frédéric Legros (Université du Maine) for technical assistance.

**Supporting Information Available:** Complete experimental information and details of compound characterization. This material is available free of charge via the Internet at <http://pubs.acs.org>.

# Synthesis of *N*-Aryl and *N*-Alkyl Anthranilic Acids via S<sub>N</sub>Ar Reaction of Unprotected 2-Fluoro- and 2-Methoxybenzoic Acids by Lithioamides

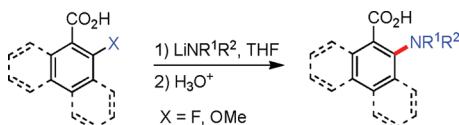
Mickaël Belaud-Rotureau,<sup>†</sup> Tin Thanh Le,<sup>†,‡</sup> Thi Huong Thu Phan,<sup>†,‡</sup>  
 Thi Huu Nguyen,<sup>†</sup> Regadie Aissaoui,<sup>†,§</sup> Frédéric Gohier,<sup>†</sup> Aïcha Derdour,<sup>§</sup>  
 Arnaud Nourry,<sup>†</sup> Anne-Sophie Castanet,<sup>†</sup> Kim Phi Phung Nguyen,<sup>‡</sup> and  
 Jacques Mortier\*,<sup>†</sup>

Université du Maine and CNRS, Unité de Chimie Organique Moléculaire et Macromoléculaire (UMR 6011), Faculté des Sciences, avenue Olivier Messiaen, 72085 Le Mans Cedex 9, France, Université Nationale de Ho-Chi-Minh-Ville, École des Sciences Naturelles, Laboratoire de Chimie Organique, 283/2 Nguyen Van Cu, arrondissement 5, Ho Chi Minh Ville, Viet Nam, and Université d'Oran Es-Senia, Laboratoire de Synthèse Organique Appliquée, Faculté des Sciences, BP 1524 Es-Senia, Oran 31000, Algeria

*jacques.mortier@univ-lemans.fr*

Received April 1, 2010

## ABSTRACT



Substitution of the fluoro or methoxy group in *unprotected* 2-fluoro- and 2-methoxybenzoic acids to afford *N*-aryl and *N*-alkyl anthranilic acids occurs upon reaction with lithioamides under mild conditions in the absence of a metal catalyst.

*N*-Aryl and *N*-alkyl anthranilic acids are very important synthetic intermediates which have been marketed as anti-inflammatory agents for the treatment of dysmenorrhea and rheumatic pain and as candidates for the therapy of neurodegenerative and amyloid diseases.<sup>1</sup> *N*-Aryl anthranilic acids are also synthetic precursors of acridines, which have been

utilized as antimalarial and anticancer drugs.<sup>2</sup> Traditionally, these compounds have been prepared by the copper-mediated coupling of amines with halobenzoic acids (the Ullmann reaction).<sup>3</sup> The success of this reaction often requires strongly activated aryl halides and forcing reaction conditions. Anthranilic acids have also been prepared by Buchwald–Hartwig amination with alkyl 2-halobenzoates in the presence of base and palladium catalyst and subsequent ester cleavage.<sup>4</sup>

Due to potentially toxic contamination of pharmaceutical products, effective removal of Pd or Cu in active pharmaceutical ingredients (API) poses acute problems inasmuch as the limits set by health authorities are very low. Guidelines from the European Medicines Agency have set the permitted

\* Université du Maine and CNRS.

† Université Nationale de Ho-Chi-Minh-Ville.

‡ Université d'Oran Es-Senia.

(1) (a) Green, N. S.; Palaninathan, S. K.; Sacchettini, J. C.; Kelly, J. W. *J. Am. Chem. Soc.* **2003**, *125*, 13404–13414. (b) Oza, V. B.; Smith, C.; Raman, B.; Koepf, E. K.; Lashuel, H. A.; Petrassi, H. M.; Chiang, K. P.; Powers, E. T.; Sachettini, J.; Kelly, J. W. *J. Med. Chem.* **2002**, *45*, 321–332.

(2) (a) Sebold-Leopold, J. S.; Dudley, D. T.; Herrera, R.; Van Beclaeire, K.; Wiland, A.; Gowen, R. C.; Tecle, H.; Barrett, S. D.; Bridges, A.; Przybranowski, S.; Leopold, W. R.; Saltiel, A. R. *Nat. Med. (N. Y., NY, U. S.)* **1999**, *5*, 810–816. (b) Barrett, S. D.; Kaufman, M. D.; Milbank, J. B.; Newcastle, G. W.; Spicer, J. A.; Tecle, H. WO03062191, 2003.

(3) Wolf, C.; Liu, S.; Mei, X.; August, A. T.; Casimir, M. D. *J. Org. Chem.* **2006**, *71*, 3270–3273.

(4) Hartwig, J. F. *Acc. Chem. Res.* **2008**, *41*, 1534–1544.

daily exposure of patients to palladium,  $100 \mu\text{g}\cdot\text{day}^{-1}$  for oral doses and  $10 \mu\text{g}\cdot\text{day}^{-1}$  for parenterally administered drugs.<sup>5</sup> On the basis of these guidelines, the pharmaceutical industry generally needs to achieve less than 10 and 1 ppm, for oral and parenteral drug substances, respectively. For large scale synthesis, it is best to avoid the use of Pd during the last three steps and place Pd-coupling reactions early in the process in hopes of reducing the amount of metal throughout the synthesis. On a practical level, when a synthetic scheme requires the use of a metal such as Pd at the end of a synthesis and the standards of metal content permitted in the API are exceeded, it is necessary to find empirically a disposal method such as nanofiltration or use scavenging agents, which is costly in time and money.<sup>6</sup>

Conventional wisdom indicates that the nucleophilic aromatic substitution ( $S_N\text{Ar}$ ) reaction of benzoic acids requires steps of protection and deprotection of the carbonyl which acts as an essential carbon anchor group for subsequent chemical transformations. Although there have been numbers of reports using aryloxazolines<sup>7</sup> and 2,6-dialkylphenyl aryl-carboxylates<sup>8</sup> to dictate the  $S_N\text{Ar}$  reaction course, these methods have suffered from several limitations, the most severe being most certainly the difficulty of removal of the protecting carbonyl group. 2,6-Disubstituted benzamides and benzoates are especially inert to hydrolysis except in cases where anchimeric assistance by *ortho*-introduced electrophiles is capable of forming five- or six-membered-ring tetrahedral intermediates, which greatly enhances amide hydrolytic rates.<sup>9,10</sup> Therefore, there is still a need to explore more efficient and concise methodologies.

While carrying out earlier work involving the coupling reactions of alkyllithium with unprotected fluoro-substituted benzoic acids,<sup>11</sup> we became aware that surprisingly only very few studies investigated the fluoro displacement reaction of 2-fluorobenzoic acid derivatives with lithioamides.<sup>12,13</sup> Herein we report that this process is general, affords anthranilic acids, and does not require the use of a catalyst. It is also shown that subjecting 2-methoxy benzoic acids to lithioamides results in methoxide displacement.

(5) Note for guidance on specification limits for residues of metal catalysts, 2002. The European Agency for the Evaluation of Medicinal Products Web site. <http://www.emea.europa.eu/pdfs/human/swp/444600en.pdf> (accessed April 21, 2010).

(6) See, for instance: (a) Prasad, K.; Repic, O.; Blacklock, T. J. *Org. Process Res. Dev.* **2003**, *7*, 733–742. (b) Pink, C. J.; Wong, H. t.; Ferreira, F. C.; Livingston, A. G. *Org. Process Res. Dev.* **2008**, *12*, 589–595.

(7) Gant, T. G.; Meyers, A. I. *Tetrahedron* **1994**, *50*, 2297–2360.

(8) Hattori, T.; Satoh, T.; Miyano, S. *Synthesis* **1996**, *514*–518.

(9) Snieckus, V. *Chem. Rev.* **1990**, *90*, 879–933.

(10) Deprotection of 2-amino aryloxazolines requires acidic conditions (3 M HCl, 12–24 h, reflux) which are not compatible with delicate structures. Yields do not exceed 70%, and in many instances the deprotection only leads to degradation products. See: Meyers, A. I.; Gabel, R. J. *Org. Chem.* **1977**, *42*, 2653–2654.

(11) The reaction of 2-fluorobenzoic acid with *s*-BuLi and *t*-BuLi affords the the *ipso*-attack product arising out of substitution of the fluorine atom by the alkyl group: (a) Gohier, F.; Castanet, A.-S.; Mortier, J. *Org. Lett.* **2003**, *5*, 1919–1922. Metalation reactions, recent references: (b) Nguyen, T. H.; Castanet, A.-S.; Mortier, J. *Org. Lett.* **2006**, *8*, 765–768. (c) Nguyen, T. H.; Chau, N. T. T.; Castanet, A.-S.; Nguyen, K. P. P.; Mortier, J. *J. Org. Chem.* **2007**, *72*, 3419–3429. (d) Tilly, D.; Fu, J.-m.; Zhao, B.-p.; Alessi, M.; Castanet, A.-S.; Snieckus, V.; Mortier, J. *Org. Lett.* **2010**, *12*, 68–71.

The amino substituent was directly introduced in place of the *ortho*-fluoro/methoxy group in fair-to-excellent yields (Table 1).

$\text{LiNEt}_2$ ,  $\text{LiN}(\text{CH}_2\text{CH}_2)_2\text{NMe}$ ,  $\text{LiNMeBn}$ , and  $\text{LiNBn}_2$  readily displaced the fluorine of the lithium salt of 2-fluorobenzoic acid (**1**) at  $-50^\circ\text{C}$  to give anthranilic acids **3–6** (entries 1–4). Lithium arylamides and diarylamides entered into the displacement reaction with benzoate **1** under somewhat forcing conditions ( $50$ – $60^\circ\text{C}$ , entries 5 and 6). This may be attributed to lower  $pK_a$  values in comparison to dialkylamines.<sup>14</sup> Most striking are those examples using so-called “nonnucleophilic” bases such as LDA and  $\text{LiNH}_t\text{-Bu}$ , indicating that there are virtually no steric effects to inhibit fluoro displacement (entries 7 and 9). LDA which is commonly used as a strong base of scarce nucleophilicity due to steric congestion reacted with lithium benzoate **1** to afford the aminated product **9** in appreciable amount.<sup>15</sup> In an attempt to introduce an *ortho*- $\text{NH}_2$  unit, **1** was treated with a THF solution of  $\text{LiNH}_2$  (3.5 equiv) (entry 8). However, the amidation product **11** was the only isolable product from this reaction.  $\text{LiNH}_t\text{-Bu}$  also led to **11** by rapid degradation of **12** during acidic workup.

In view of the efficiency of lithioamides in this reaction and the unlikelihood of their ability to proceed by electron transfer (ET) mechanisms, this reaction presumably proceeds through an addition–elimination sequence.<sup>16,17</sup>

The closely related lithium 2,2,6,6-tetramethylpiperidine (LTMP) exhibited a totally different behavior when exposed to **1** (entry 10 and Scheme 1). LTMP metalated the position adjacent to fluorine affording dianion **14** which partly

(12) Two recent papers described LiHMDS-promoted coupling of primary and *N*-substituted anilines with 2-fluorobenzoic acid (or amide) to give *N*-arylanthranilic acids and *N*-arylanthranilamides: (a) Chen, M. H.; Beylin, V. G.; Iakovleva, E.; Kesten, S. J.; Magano, J.; Vrieze, D. *Synth. Commun.* **2002**, *32*, 411–417. (b) Davis, E. M.; Nanninga, T. N.; Tjiong, H. I.; Winkle, D. D. *Org. Process Res. Dev.* **2005**, *9*, 843–846.

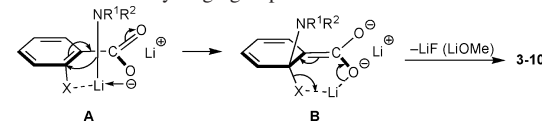
(13) Nucleophilic displacements of 2-fluorobenzoic acid derivatives are well known to occur readily in the presence of strong electron-withdrawing substituents ( $\text{NO}_2$ ,  $\text{CF}_3$ ,  $\text{CN}$ ,  $\text{F}_x$ , etc.). See: Crampton, M. R. *Organic Reaction Mechanisms*; A. C. Knipe, W. E. W., Ed.; John Wiley & Sons: UK, 2004; p 189.

(14) Lithium arylamides have weaker nucleophilic strengths than lithium dialkylamines but are more stable at higher temperature ( $50$ – $60^\circ\text{C}$ ).

(15) The synthesis of anthranilic acids using sterically hindered amines via a three-component coupling with arynes and  $\text{CO}_2$  has been reported: Yoshida, H.; Morishita, T.; Ohshita, J. *Org. Lett.* **2008**, *10*, 3845–3847.

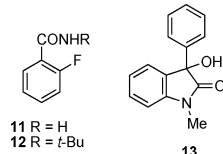
(16) Smith, M. B.; March, J. *Advanced Organic Chemistry*, 6th ed.; Wiley-Interscience: New York, 2007; pp 853–864, and references cited therein. Addition of radical scavengers (tetraphenylhydrazine or 2-methyl-2-nitrosopropane dimer) to a mixture of **1** and  $\text{LiNEt}_2$  gave only a slight decrease of yield of the substitution product **3**.

(17) If it is assumed that these reactions proceed via an addition–elimination sequence, then the  $\sigma$  complex **B** allows the carboxylate to orientate itself in a coplanar fashion with the aromatic ring while  $\text{Li}^+$  forms a strong complex with the fluoro/methoxy group and the carboxylate. For the complex-induced proximity effect, CIPE, see: Whisler, M. N.; MacNeil, S.; Snieckus, V.; Beak, P. *Angew. Chem., Int. Ed.* **2004**, *43*, 2206–2225. The transition state leading to **B** may be envisioned as forming from **A**, where the  $\text{NR}^1\text{R}^2$  group enters from the side almost perpendicular to the aromatic ring (to the  $\pi$  cloud). This is consistent with the lack of steric inhibition to addition by large groups.



**Table 1.** Amination Reactions of 2-Fluoro- and 2-Methoxybenzoic Acids (**1** and **2**)

entry	<b>1, 2</b>	LiNR <sup>1</sup> R <sup>2</sup> (equiv) <sup>a</sup>	temp (°C)	<b>3–10</b> % <sup>b</sup>		others
				<b>3–10</b>	% <sup>b</sup>	
1	<b>1</b>	LiNET <sub>2</sub> (2.2)	-50	87 (73*)	[ <b>3</b> ]	—
2	<b>1</b>	LiN(CH <sub>2</sub> CH <sub>2</sub> ) <sub>2</sub> NMe (2.2)	-50	95 (88*)	[ <b>4</b> ]	—
3	<b>1</b>	LiNMeBn (2.2)	-50	95 (85*)	[ <b>5</b> ]	—
4	<b>1</b>	LiNBn <sub>2</sub> (2.2)	-50	93 (80*)	[ <b>6</b> ]	—
5	<b>1</b>	LiNMePh (2.2)	50	100 (64*)	[ <b>7</b> ]	—
6	<b>1</b>	LiNPh <sub>2</sub> (2.2)	60	72	[ <b>8</b> ]	—
7	<b>1</b>	LDA (2.2)	-50	33 (28*)	[ <b>9</b> ]	—
8	<b>1</b>	LiNH <sub>2</sub> (3.5)	60	0		50 (40*) [ <b>11</b> ]
9	<b>1</b>	LiNH <sup>t</sup> -Bu (2.2)	0	60 (36*)	[ <b>10</b> ]	30 (15*) [ <b>11</b> ] <sup>c</sup>
10	<b>1</b>	LTMP (2.2)	-50	0		<sup>d</sup>
11	<b>2</b>	LiNET <sub>2</sub> (2.2)	-50 → 0	97 (93*)	[ <b>3</b> ]	—
12	<b>2</b>	LiN(CH <sub>2</sub> CH <sub>2</sub> ) <sub>2</sub> NMe (2.2)	0	87 (70*)	[ <b>4</b> ]	—
13	<b>2</b>	LiNMeBn (2.2)	-50 → 0	90 (65*)	[ <b>5</b> ]	—
14	<b>2</b>	LiNMeBn (5)	-50 → 0	5 [5]		95 (51*) [ <b>13</b> ] <sup>e</sup>
15	<b>2</b>	LiNBn <sub>2</sub> (2)	0 → rt	50 (45*)	[ <b>6</b> ]	—
16	<b>2</b>	LiNMePh (2.2)	60	14	[ <b>7</b> ]	—
17	<b>2</b>	LiNPh <sub>2</sub> (2.2)	60	0		—
18	<b>2</b>	LDA (2.2)	0	5	[ <b>9</b> ]	—
19	<b>2</b>	LTMP (2.2)	-50	0		<sup>d</sup>



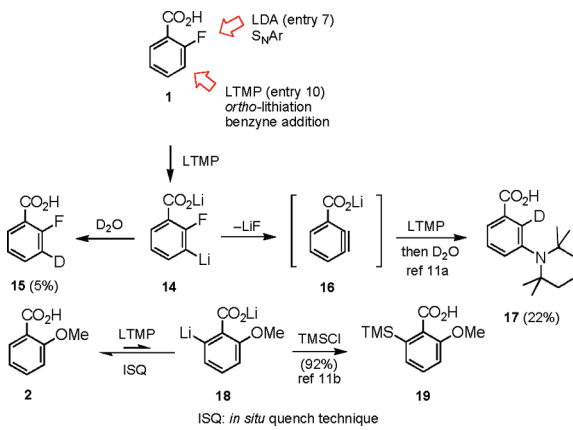
<sup>a</sup> The lithioamides LiNR<sup>1</sup>R<sup>2</sup> were prepared in situ by deprotonation of the corresponding amines with *n*-BuLi. <sup>b</sup> NMR yields (%). Isolated yields (recrystallized or chromatographed) are followed by an asterisk (\*). All new compounds gave correct analytical data. See Supporting Information. <sup>c</sup> Deterbutylation of **12** led to amide **11**. <sup>d</sup> See Scheme 1. <sup>e</sup> See Scheme 2.

eliminated LiF to give the transient lithium benzyne-3-carboxylate (**16**). Electrophilic quenching of **14** with D<sub>2</sub>O provided **15**, whereas reaction of benzyne **16** with the excess of LTMP followed by quench with D<sub>2</sub>O gave **17**.

To our delight, the methoxy group was also found to be an efficient leaving group. Reaction of 2-methoxybenzoic acid (**2**) with LiNET<sub>2</sub>, LiN(CH<sub>2</sub>CH<sub>2</sub>)<sub>2</sub>NMe, and LiNMeBn gave anthranilic acids **3–5** in good yields (entries 11–13). Increasing the amount of LiNMeBn to 5 equiv modified dramatically the course of the reaction (entry 14). The dioxindole **13** resulted as the main product.<sup>19</sup>

An attractive rationale for the formation of dioxindole **13** would involve initial benzylic deprotonation of **5** by the excess of LiNMeBn leading to **20** as outlined in Scheme 2. In an experiment to probe this question, **5** was allowed to react with 5 equiv of LiNMeBn to give a red solution which was hydrolyzed to **13**. It can be assumed that the benzylic lithiation of **5** is followed by an intramolecular nucleophilic addition of the carbanion to the carboxylate leading to indolin-3-one **22** by way of the geminal dilithio dialkoxide **21**.<sup>20</sup> Deprotonation by the excess of base in the presence of molecular oxygen contained in the nondegassed

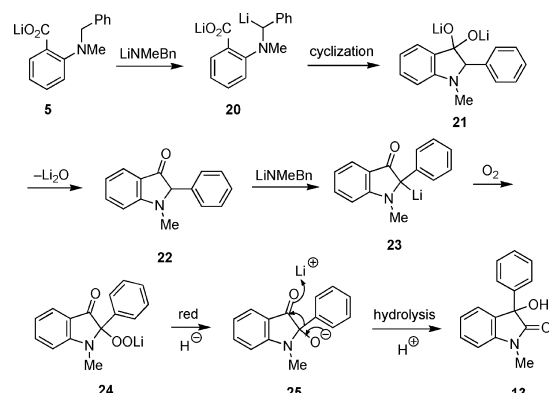
**Scheme 1.** Reactions of Benzoic Acids **1** and **2** with LTMP



(18) The base and TMSCl were premixed prior to addition of the acid. The deprotonation which produces a small concentration of the trappable aryllithium **18** is sufficiently rapid to make the process competitive with reaction of the hindered base with the in situ electrophile (TMSCl). See ref 11b.

(19) Structure of **13** was confirmed by NOESY and HMBC (see Supporting Information).

**Scheme 2.** Postulated Mechanism for the Formation of Dioxindole **13**



THF solution<sup>21</sup> provides an organolithium peroxide species **24**.<sup>22</sup> Reduction by a hydride ion transferred by LiNMeBn<sup>23</sup> affords alkoxide **25** which undergoes subsequent 1,2-phenyl shift<sup>24</sup> to dioxindole **13** after acidic hydrolysis.<sup>25</sup>

The reaction of LiNBn<sub>2</sub> yielded anthranilic acid **6** (45%) (entry 15). LiNMePh, LiNPh<sub>2</sub>, and LDA were almost unreactive toward **2**. Whereas 2-methoxybenzoic acid (**2**) did not react with LTMP after MeI addition (−50 °C) under external quench conditions (entry 19), in situ quenching (ISQ) with LTMP in the presence of TMSCl at −78 °C led to **19** (via **18**) free of any isomers (92%) (Scheme 1).<sup>18</sup> It is well demonstrated that the fluoro group is a better leaving group and smaller in bulk than the methoxy.<sup>7,8</sup>

Reaction of commercially available 2,3-dimethoxy, 2,3,4-trimethoxy, and 2,6-dimethoxybenzoic acids (**26–28**) with LiNET<sub>2</sub> led to *ortho*-substituted derivatives **29–31** (Scheme 3).<sup>26</sup> Introduction of LiNET<sub>2</sub> to the 2,6-dimethoxybenzoic acid **28** proceeded with less efficiency presumably due to steric effects. In an attempt to introduce two substituents *ortho* to the acid **32**, 5 equiv of NEt<sub>2</sub> was used, and a good yield of the 2,6-disubstituted product **33** was obtained (THF, −30 to 0 °C). In the presence of a weaker nucleophile such as LiNMePh (vide supra), the monosubstitution product **34** was formed exclusively, even in refluxing THF. These results suggest that it should be feasible to introduce two different amino groups. This indeed proved to be the case by the clean conversion of **34** to **35**.

In the literature, examples of direct amination reactions of a naphthalene are very scarce.<sup>7,8</sup> Reaction of 2-methoxy-

(20) The geminal dimetallo dialkoxide C(OM)<sub>2</sub> (M = Li, K) group is a good director of *ortho*-metalation: Tilly, D.; Samanta, S. S.; De, A.; Castanet, A.-S.; Mortier, J. *Org. Lett.* **2005**, *7*, 827–830.

(21) Clayden, J.; Menet, C. J. *Tetrahedron Lett.* **2003**, *44*, 3059–3062.

(22) Rappoport, Z. *The Chemistry of Peroxides*; Wiley-Interscience: New York, 2006; Vol. 2, part 1.

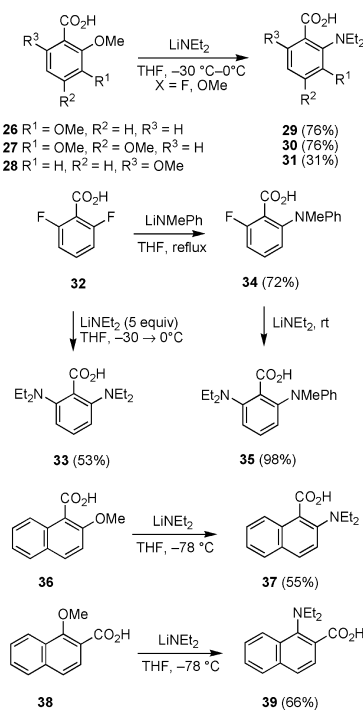
(23) Majewski, M.; Gleave, D. M. *J. Organomet. Chem.* **1994**, *470*, 1–16.

(24) Observations of a similar rearrangement, leading to dioxindoles, have been reported: Kafka, S.; Klasek, A.; Kosmrlj, J. *J. Org. Chem.* **2001**, *66*, 6394–6399.

(25) In deoxygenated medium, the reaction of **2** with LiNMeBn (5 equiv) led to **5** (>90%). It is assumed that the reduction step leading to **25** is the first irreversible step in the pathway.

(26) All new compounds gave correct analytical data. See Supporting Information.

**Scheme 3.** Amination Reactions of Methoxybenzoic Acids **26–28**, 2,6-Difluorobenzoic Acid **32**, and Naphthoic Acids **36** and **38**



1-naphthoic acid (**36**)<sup>27</sup> and 1-methoxy-2-naphthoic acid (**38**)<sup>28</sup> with LiNET<sub>2</sub> provided the naphthalenes **37** and **39**.

We believe that the chemistry reported herein might become rapidly a preferable alternative to the oxazoline and BHA–ester systems. The carboxylic acid substituent which is one of the most reliable resources for introduction of various functionalities does not require protection/deprotection steps or the use of metal catalysts. These preliminary results indicate that the amination of *ortho*-fluoro- and *ortho*-methoxybenzoic acids may provide additional methodology to aromatic substitution, and further studies in this respect are in progress.<sup>29</sup> The biaryl skeleton can be reached by a process involving unprotected benzoic acid derivatives and aryllithium and aryl Grignard reagents. This work will be reported soon.

**Acknowledgment.** Helpful discussions with Dr. Sven Taylor and Dr. Gérard Moine (Hoffmann-La Roche Ltd., Basel) are gratefully acknowledged. M.B.R., T.T.L., and R.A. are indebted to the French Ministry of Research and Technologies, the Algerian Ministry of Research, and Soprema for doctoral fellowships. We also express appreciation to Patricia Gangnery (Université du Maine) for technical assistance.

**Supporting Information Available:** Details of compound characterization. This material is available free of charge via the Internet at <http://pubs.acs.org>.

OL1007586

(27) (a) Fuson, R. C. *J. Am. Chem. Soc.* **1956**, *78*, 5409–5413. (b) Gant, T. G.; Meyers, A. I. *J. Am. Chem. Soc.* **1992**, *114*, 1010–1015.

(28) Castagnetti, E.; Schlosser, M. *Chem.—Eur. J.* **2002**, *8*, 799–804.

(29) A patent application was filed: Mortier, J.; Castanet, A.-S.; Belaud-Rotureau, M. patent pending, filing number FR201051226 (2010).

## Abstract

As part of a program directed toward the study of the reactivity of unprotected benzoic acids with polar organometallics, the total racemic synthesis of apogossypol analogues by metalation reactions was studied as well as the aromatic nucleophilic substitution reaction of *ortho*-fluoro- and *ortho*-methoxybenzoic acids ( $S_NArAB$  reaction).

Gossypol (1,1',6,6',7,7'-hexahydroxy-5,5'-di-*iso*-propyl-3,3'-diméthyl-2,2'-binaphthalène-8,8'-dicarboxaldéhyde) which is the main pigment of cotton seed, displays multiple pharmacological applications. It is a potent anti-apoptotic Bcl-2 protein inhibitor. The racemic route developed herein allows the replacement of the *iso*-propyl groups by virtually any alkyl groups, providing a series of 5,5'-dides-*iso*-propyl-5,5'-dialkylapogossypol derivatives. Lateral metalation of 4-hydroxy-6,7-dimethoxy-8-methyl-2-naphthoic acid with LTMP is the key step of the synthesis. Atroposelective synthesis of apogossypol analogue was also examined. The strategy relies on the “lactone concept” and involves a functionalized lactone as a key intermediate.

The influence of halogen atoms (F, Cl, Br) and methoxy groups on the 1,2-addition/ $S_NArAB$  selectivity was examined. Treatment of 2-fluoro-6-halobenzoic acids with organolithiums or Grignard reagents gives *ipso*-substituted products in excellent yields. The method allows the efficient preparation of 3-halo-[1,1'-biphenyl]-2-carboxylic acids and does not require protection of the carboxylate. Interestingly, the presence of an additional methoxy in C3 reduces the nucleophilic addition of the organometallic species to the carboxylate and 2,3-dimethoxybenzoic acid affords *ipso*-substituted products in good yields.

### Key words

Benzoic acid	Lateral metalation	Aromatic nucleophilic substitution ( $S_NAr$ )
Gossypol	Biaryl	<i>Ipso</i> -substitution
Apogossypol	Atropoisomer	Organolithium
Bcl-2	Lactone concept	Grignard reagent
Lithiation	Atropoisomery	Formation of C-C bonds

## Résumé

Dans le cadre d'un projet général concernant l'étude de la réactivité des acides benzoïques non protégés avec les organométalliques, la synthèse totale d'analogues structuraux de l'apogossypol mettant en jeu des réactions de métallation aromatique a été étudiée ainsi que la réaction de substitution nucléophile aromatique des acides benzoïques *ortho*-fluorés et *ortho*-méthoxylés.

Le gossypol, (1,1',6,6',7,7'-hexahydroxy-5,5'-di-*iso*-propyl-3,3'-diméthyl-2,2'-binaphthalène-8,8'-dicarboxaldéhyde), pigment principal des graines du cotonnier, existe sous la forme de deux atropoisomères et possède de multiples applications pharmaceutiques. Il est notamment un inhibiteur efficace des protéines anti-apoptotiques de la famille Bcl-2. Le gossypol déformylé ou apogossypol présente des propriétés similaires mais est plus stable, plus sélectif et moins毒ique. Une méthode permettant de remplacer les groupes *iso*-propyles du gossypol par des groupes structurellement proches a été mise au point. La stratégie retenue met à profit les compétences du laboratoire dans le domaine des réactions de métallation et repose sur la lithiation latérale de l'acide 4-hydroxy-6,7-diméthoxy-8-méthyl-2-naphtoïque par le tétraméthylpipéridure de lithium. Divers dérivés 5,5'-didés-*iso*-propyl-5,5'-dialkylapogossypol racémiques ont été préparés selon cette méthode. La synthèse asymétrique d'analogues de l'apogossypol a également été étudiée et la voie de synthèse sélectionnée repose sur le « concept lactone ». Un intermédiaire avancé de la synthèse, une lactone fonctionnalisée potentiellement réductible de façon asymétrique, a été préparée.

La deuxième partie est consacrée à l'étude de la réaction de substitution nucléophile aromatique des acides benzoïques *ortho*-fluorés et *ortho*-méthoxylés (réaction  $S_NArAB$ ). Une revue de la littérature des réactions de substitution nucléophile aromatique activée par les esters est présentée. L'influence de substituants méthoxylés et halogénés (F, Cl, Br) sur la sélectivité  $S_NAr$ /addition 1,2 a été évaluée. Il est montré que les acides 2-fluoro-6-halogénobenzoïques conduisent, par réaction avec les aryllithiens et les arylmagnésiens, aux produits d'*ipso*-C2-substitution avec un excellent rendement et la réaction  $S_NArAB$  permet un accès efficace aux acides 3-halogéno-[1,1'-biphényl]-2-carboxyliques. Dans le cas de l'acide 2,3-diméthoxybenzoïque, il a été découvert que la présence d'un substituant méthoxy en position 3 permet de limiter la formation de cétone et le produit d'*ipso*-substitution est isolé avec un rendement correct.

## Mots-clés

Acide benzoïque	Métallation latérale	Substitution nucléophile aromatique ( $S_NAr$ )
Gossypol	Biaryle	$S_NAr$ activée par les esters
Apogossypol	Atropoisomère	<i>Ipso</i> -substitution
Bcl-2	Concept lactone	Organolithien
Lithiation	Atropoisomérie	Organomagnésiens